

# АТЛАС

МОЛЛЮСКОВ  
И ФОРАМИНИФЕР

морских  
отложений  
верхней юры  
и неокома  
Западно-  
Сибирской  
нефте-  
газоносной  
области



МИНИСТЕРСТВО ГЕОЛОГИИ СССР

Сибирский научно-исследовательский институт геологии,  
геофизики и минерального сырья (СНИИГГиМС)  
научно-производственного объединения "Сибгео"

Западно-Сибирский научно-исследовательский  
геологоразведочный  
нефтяной институт (ЗапСибНИГНИ)

# АТЛАС

МОЛЛЮСКОВ  
И ФОРАМИНИФЕР

морских отложений  
верхней юры и неокома  
Западно-Сибирской  
нефтегазоносной  
области

В ДВУХ ТОМАХ

том I

СТРАТИГРАФИЧЕСКИЙ ОЧЕРК  
МОЛЛЮСКИ



МОСКВА "НЕДРА" 1990

ББК 28.1

А 92

УДК 564+563.12(084.4) : 551.762.3+551.763.1(571.1)

Составители: *Н. П. Вячкилева, И. Г. Климова, А. С. Турбина,  
Ю. В. Брадучан, В. А. Захаров, С. В. Меледина, А. Н. Алейников*

Выпущено по заказу Сибирского научно-исследовательского института геологии, геофизики и минерального сырья (СНИИГГиМС) НПО «Сибгео»

А  $\frac{1804030000-385}{043(01)-90}$

ISBN 5-247-02472-9  
ISBN 5-247-02087-1

© Сибирский научно-исследовательский институт геологии, геофизики и минерального сырья (СНИИГГиМС), 1990

Западная Сибирь является крупнейшей нефтегазоносной провинцией мира. Своеобразие этого региона как геологического объекта заключается в том, что вся его территория представляет мощную толщу осадочных пород, доступных для изучения только с помощью глубоких скважин.

С конца 40-х годов XX в. до настоящего времени на Западно-Сибирской плите пробурены тысячи глубоких скважин, открыты многочисленные месторождения нефти и газа, получена разнообразная геологическая информация и накоплены богатейшие палеонтологические коллекции.

За истекшие десятилетия модель геологического строения мезозойского чехла плиты менялась несколько раз, чему в немалой степени способствовало изучение палеонтологических остатков морского происхождения, в первую очередь моллюсков и фораминифер. Благодаря этим группам фауны, стратиграфия мезозойских морских отложений (юра—неоком), представляющих интерес для нефтегазопроисхождения работ в Западной Сибири, изучена достаточно детально и даже лучше многих других в Бореальном поясе.

Придавая большое значение палеонтологической основе, на которой базируется датировка местных стратиграфических подразделений и их корреляция, составители атласа провели в рамках тематических исследований СНИИГГиМС ревизию и обобщение палеонтологического материала, собранного из керна скважин и хранящегося в коллекционном фонде СНИИГГиМС (г. Новосибирск), ЗапСибНИГНИ (г. Тюмень) и, частично, в ИГиГ СО АН СССР (г. Новосибирск). В основу атласа легли коллекции аммонитов и двустворчатых моллюсков, насчитывающие около 2,5 тысяч экземпляров, и фораминифер — более 10 тысяч образцов.

Составлению атласа предшествовали ревизия определений макро- и микрофауны с учетом новых работ по систематике, а также уточнение геологической привязки образцов, содержащих фауну.

Основные работы были сосредоточены в СНИИГГиМСе (двустворчатые моллюски юры и неокома, аммониты и фораминиферы неокома) и ЗапСибНИГНИ (аммониты верхней юры, фораминиферы верхней юры).

Ревизия привязки фауны к местным стратиграфическим подразделениям выполнена в ЗапСибНИГНИ Ю. В. Брэдучаном.

Атлас состоит из двух томов. В первом томе помещен стратиграфический очерк верхнеюрских и неокомских отложений Западной Сибири, насыщенный богатым фактическим материалом и отражающий новейшие взгляды ведущих специалистов стра-

тиграфов и геологов-нефтяников ЗапСибНИГНИ на пространственное взаимоотношение местных стратиграфических подразделений и их возрастной объем. Очерк написан Ю. В. Брадучаном (ЗапСибНИГНИ).

Здесь же приведено описание и изображение 124 видов, 40 родов, 25 семейств моллюсков. Цель описания — аргументация определений видовой, чаще родовой, групповой, а иногда подсемейственной и семейственной принадлежности. Оно выполнено в иконографическом стиле, что объясняется спецификой ядерного материала. Изображение фауны дано в 87 таблицах.

В описании моллюсков участвовали: Н. П. Вячкилева (ЗапСибНИГНИ) — аммониты верхней юры, И. Г. Климова (СНИИГГиМС) — аммониты неокома (берриас, валанжин, готерив); С. В. Меледина (ИГиГ СО АН СССР) — аммониты келловея; А. Н. Алейников (СНИИГГиМС) — некоторые аммониты волжского яруса; А. С. Турбина (СНИИГГиМС) — двустворчатые моллюски верхней юры и неокома; В. А. Захаров (ИГиГ СО АН СССР) — некоторые двустворчатые моллюски верхней юры и неокома, научное руководство исследованиями двустворчатых моллюсков. Изучение позднеюрских аммонитов и ревизия их таксономической принадлежности проведены под научным руководством М. С. Месежникова (ВНИГРИ), который долгие годы курировал палеонтолого-стратиграфические исследования на территории Западной Сибири.

Во втором томе составители помещают описание фораминифер морской юры и неокома, верхней юры и нижнего мела Западно-Сибирской равнины. В нем приведены диагнозы и описание 313 видов, принадлежащих 78 родам, 17 семействам и пяти отрядам; 19 видов описаны впервые.

Общее и организационное руководство осуществлялось С. П. Булытниковой и И. Г. Климовой.

В процессе подготовки работы составители получили ценные сведения от А. И. Лебедва (ЗапСибНИГНИ), дополняющие и уточняющие стратиграфическое положение некоторых двустворчатых моллюсков.

В оформлении рукописи большую работу выполнили: фотограф СНИИГГиМС Г. Ю. Ковган, сфотографировавший коллекции моллюсков, и художники-микрорепалеонтологи В. И. Жарков, Ф. И. Зайцева, А. А. Фирсов (СНИИГГиМС), О. А. Денисова (ЗапСибНИГНИ). Фотографии фораминифер выполнены в ИГиГ СО АН СССР.

Всем специалистам, способствовавшим составлению атласа выражается искренняя благодарность.

# Стратиграфический очерк

---

Очерк составлен на основе описаний местных стратиграфических подразделений верхней юры и некома морского генезиса, фауна которых показана в атласе.

## ВЕРХНЯЯ ЮРА

Единым стратиграфическим подразделением, сформировавшимся в позднеюрское время, является даниловская свита, выделенная в скв. 62-Р Даниловской площади в интервале глубин 1734—1824 м [12] (рис. 1).

Она прослеживается в виде субмеридиональной полосы шириной 80—120 км от п-ова Ямал на севере до г. Тюмени на юге. Латеральные взаимоотношения с подразделениями соседних районов разнообразные и сложные. Свита трансгрессивно залегает на отложениях, относящихся к тюменской свите или палеозою, и согласно перекрывается харасоимской или ахской свитами, только на Новопортовой площади (юг п-ова Ямал) отмечается перерыв.

В стратотипическом разрезе по литологическим особенностям даниловская свита подразделяется на две подсвиты. Нижняя (1802—1824 м) представлена глинами аргиллитоподобными темно-серыми, приближающимися к черным, тонкоотмученными с мелкокаовистыми, реже неяснораковистым изломом, иногда слабо известковистыми, в верхней части в различной степени глауконитовыми, вплоть до тонких (3—5 см) прослоев глауконита, с карбонатными конкрециями. Эта зона конкреций является своеобразным маркирующим горизонтом и протягивается на многие сотни километров вкост простирания, встречаясь в верхах абалакской, георгиевской и реже в низах марьяновской свит. В нижней части разреза подсвиты встречаются глины алевритистые, слюдястые, почти черного цвета иногда с ходами илоедов, выполненными алевритовым материалом, с растительным детритом. В самом основании отмечается пласт, обогащенный оолитами сидерита, иногда он известковистый с примесью слабоотсортированного песчано-алевритового материала. Мощность его 2—5 м. Базальный пласт тоже является своеобразным маркирующим горизонтом и прослеживается приблизительно на той же площади, что и зона конкреций. Он отмечается в основании абалакской, васюганской, точинской и наунакской свит.

В своде Даниловского поднятия, где выклинивается тюменская свита, даниловская свита непосредственно залегает на по-

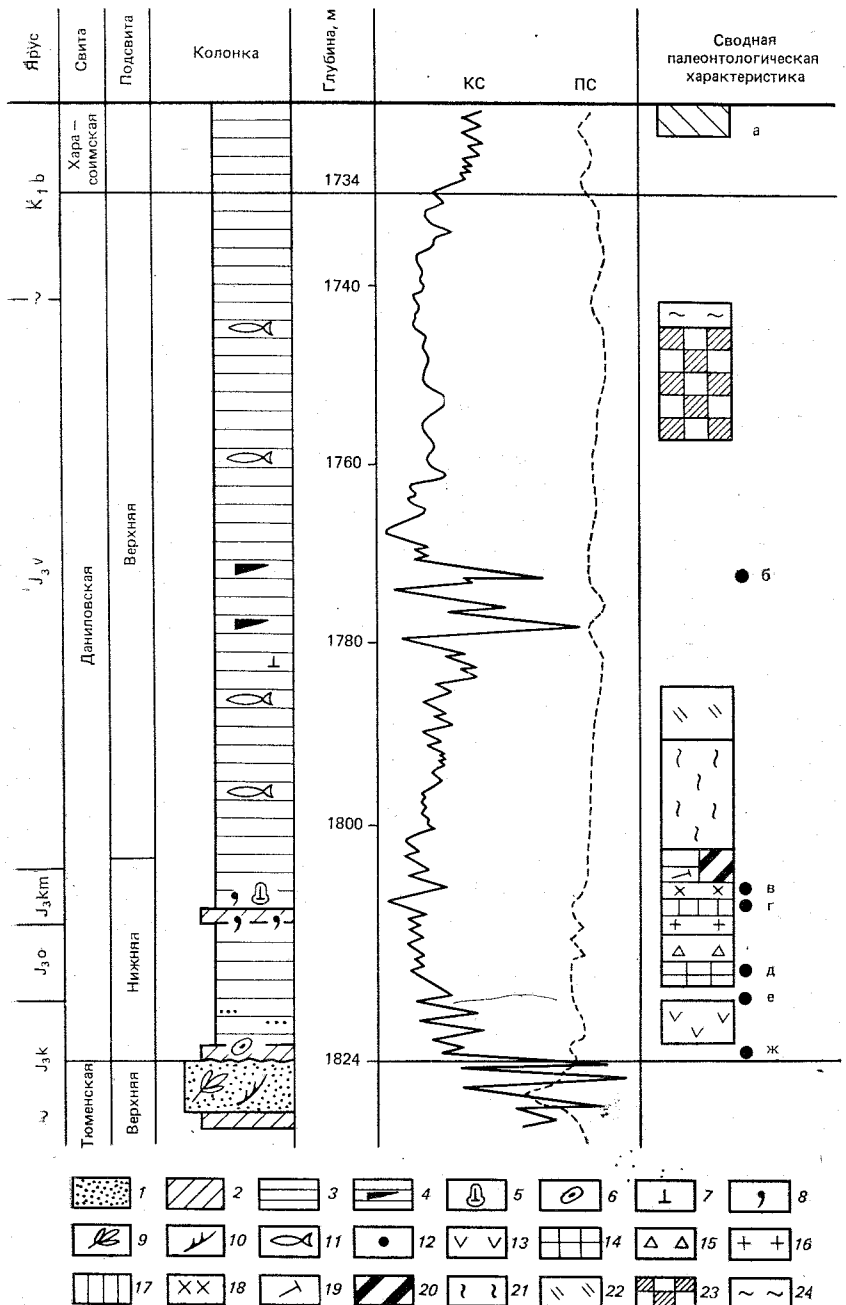


Рис. 1. Стратотипический разрез даниловской свиты. Составил Ю. В. Брадучан

1 — песчаники; 2 — алевролиты; 3 — глины; 4 — то же, слабо битуминозные; 5 — конкреции; 6 — оолиты; 7 — карбонаты; 8 — глауконит; 9 — крупномер

родах фундамента. В нижней половине подсвиты выделяется вогулкинская толща [19].

На основании находок аммонитов и фораминифер нижняя подсвита датируется нижним келловеем (верхняя часть) — нижним подъярусом волжского яруса. В действующей стратиграфической схеме мезозойских отложений Западной Сибири она ограничена вверху кровлей кимериджа. Расширение стратиграфического объема обусловлено более детальным исследованием вертикального и горизонтального распространения комплекса фораминифер с *Tolypammina virgula* — *Planularia pressula*.

Судя по имеющимся палеонтологическим данным, нижняя граница подсвиты на большей части распространения проходит на одном уровне — в пределах нижнего келловея, но на Новопортовском локальном поднятии, весьма резком и контрастном, отмечается ее омоложение.

Мощность нижней подсвиты в стратотипическом районе изменяется от 0 до 27 м, увеличиваясь на севере до 40 м.

Верхняя подсвита (1734—1802 м) представлена глинами аргиллитоподобными темно-серыми, почти черными со слабым буроватым оттенком, тонкоотмученными, с мелкораковистыми и плоскими изломами, в единичных прослоях слабо алевроитистыми с неясным неровным изломом, известковистыми. В средней части подсвиты отмечаются прослой слабо битуминозных разностей, черных с неясно выраженным коричневатым оттенком, с плоско-полураковистым изломом, неравномерно плитчатых с остатками *Onychites* sp. Контакты с выше- и нижележащими отложениями плавные, постепенные. По всему разрезу подсвиты на плоскостях напластования встречаются остатки рыб в виде чешуи, остатков плавников и отдельных элементов позвоночника.

Мощность верхней подсвиты в стратотипическом районе 33—75 м. Следует отметить, что в полных разрезах мощность верх-

---

ные растительные остатки; 10 — растительный детрит; 11 — ихтиодетрит; 12 — местоположение аммонитов; 13—24 — комплексы фораминифер: 13 — *Dorothia insperata* — *Tochammina rostovzevi* —  $J_3k_{2-3}$ , 14 — *Ammobaculites tobolskensis* — *Eomarssonella paraconica* —  $J_{3o_1}$ , 15 — *Ammobaculites pseudoinfirmus* — *Eomarssonella paraconica* —  $J_{3o_2}$ , 16 — *Recurvoides disputabilis* — *Spiroplectammina tobolskensis* —  $J_{3o_3}$ , 17 — *Trochammina omskensis* — *Verneuilinoides gracilis* —  $J_3km_1^1$ , 18 — *Haplophragmoides canuiformis* — *Lenticulina michailovi* — *Saracenaria subsuta* —  $J_3km_2^2$ , 19 — *Pseudolamarckina lopsiensis* —  $J_3km_2$ , 20 — *Tolypammina virgula* — *Planularia pressula* —  $J_3km_2-v_1$ , 21 — *Spiroplectammina vicinalis* — *Saracenaria pravoslavlevi* —  $J_{3v_1-2}$ , 22 — *Trochammina septentrionalis* —  $J_{3v_1-2}$ , 23 — *Ammodiscus veteranus* — *Evolutinella emeljanzevi* —  $J_{3v_3}$ , 24 — *Trochammina kondaensis* — *Evolutinella volosatovi* —  $J_{3v_3}$ . *Trochammina rasaceaformis* — комплекс фораминифер — к. в. (а); макрофауна (б—ж): *Dorsoplanitinae* (б); *Amoeboceras* (*Amoebites*) sp. (в); *Amoeboceras* (*Amoebites*) sp. indet. juv.,? ex gr. A. (A.) *spathi* Schulgina (г); *Cardioceras* (? *Plasmaticeras*) sp. indet. juv., C. (*Scoticardioceras*) sp. indet. juv.,? *Golaticeras* sp. indet. juv. (д); *Quenstedtoceras* sp. (е); *Pseudocodoceras* sp. indet. (ж)



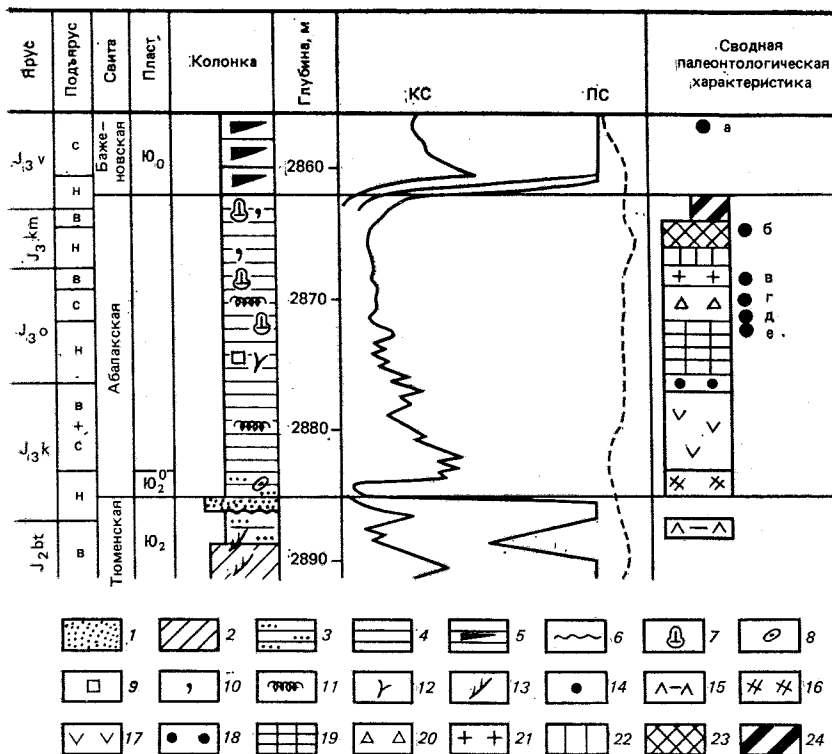


Рис. 2. Сводный биостратиграфический разрез абалакской свиты Салымского района. Малымская скв. 98. Составил Ю. В. Брадучан.

1 — песчаник; 2 — алевролит; 3 — глина алевролитовая; 4 — глина; 5 — то же битуминозная; 6 — несогласие; 7 — конкреция; 8 — оолиты; 9 — пирит; 10 — глауконит; 11 — ходы илоедов; 12 — водоросли; 13 — растительный детрит; 14 — местоположение аммонитов; 15—24 — комплексы фораминифер: 15 — *Ammodiscus baticus*, 16 — *Cribrostomoides memorabilis* — J<sub>3</sub>k<sub>1</sub>, 17 — *Dorothy insperata* — *Trochammina rostovzevi* — J<sub>3</sub>o<sub>1</sub><sup>1</sup>, 18 — *Dorothy insperata* — *Eomassonella paraconica*, 19 — *Ammobaculites tobolskensis* — *Eomassonella paraconica* — J<sub>3</sub>o<sub>1</sub>, 20 — *Ammodiscus pseudoimimus* — *Tolypammina svetlanae* — J<sub>3</sub>o 21 — *Recurvoides disputabilis* — *Spiroplectammina tobolskensis* — J<sub>3</sub>o<sub>3</sub>, 22 — *Trochammina omskensis* — *Verneuilinoides graciosus* — J<sub>3</sub>km<sub>1</sub><sup>1</sup>, 23 — *Haplophragmoides canuiformis* — *Lenticulina michailovi* — *Saraceraria subsuta* — J<sub>3</sub>km 24 — *Tolypammina virgula* — *Planularia pressula* — J<sub>3</sub>k<sub>2</sub> — v. *Dorsoplites* e gr. *maximus* Spath (a); *Amoeboceras* (? *Amoebites*) sp. indet. — J<sub>3</sub>km<sub>1</sub> (б) *Amoeboceras* sp. indet. cf. *A. glosense* (Bigot and Brasil) (в); *Cardioceras* (*Maltoniceras*) sp. nov. aff. *C. highworthensis* Arkell — J<sub>3</sub>o<sub>2</sub><sup>3-4</sup> (г); *C. (Plasmaticeras) salymensis* Popl. — J<sub>3</sub>o<sub>2</sub><sup>1-2</sup> (д); *Cardioceras* (*Cardioceras* sp. cf. *C. (C.) percaelatum* Pavl. — J<sub>3</sub>o<sub>1</sub><sup>3-4</sup>

ней подсвиты в 2,5—3 раза больше нижней. Это соотношение довольно устойчиво.

В краевой части распространения свиты в ее составе отмечаются прослои и даже целые пачки алевролитов и песчаников приуроченные к основанию, даже к средней и верхней ее частям

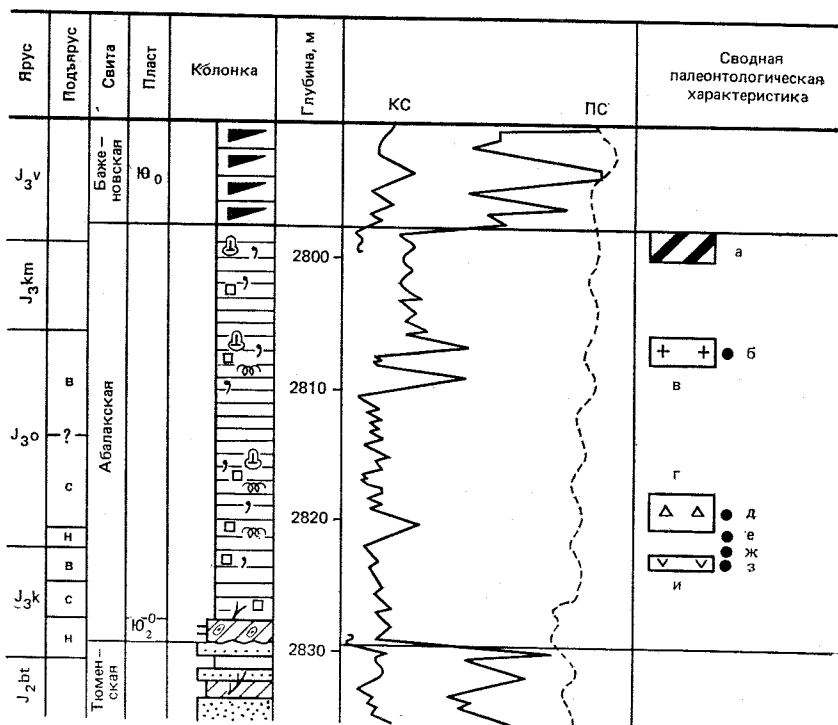


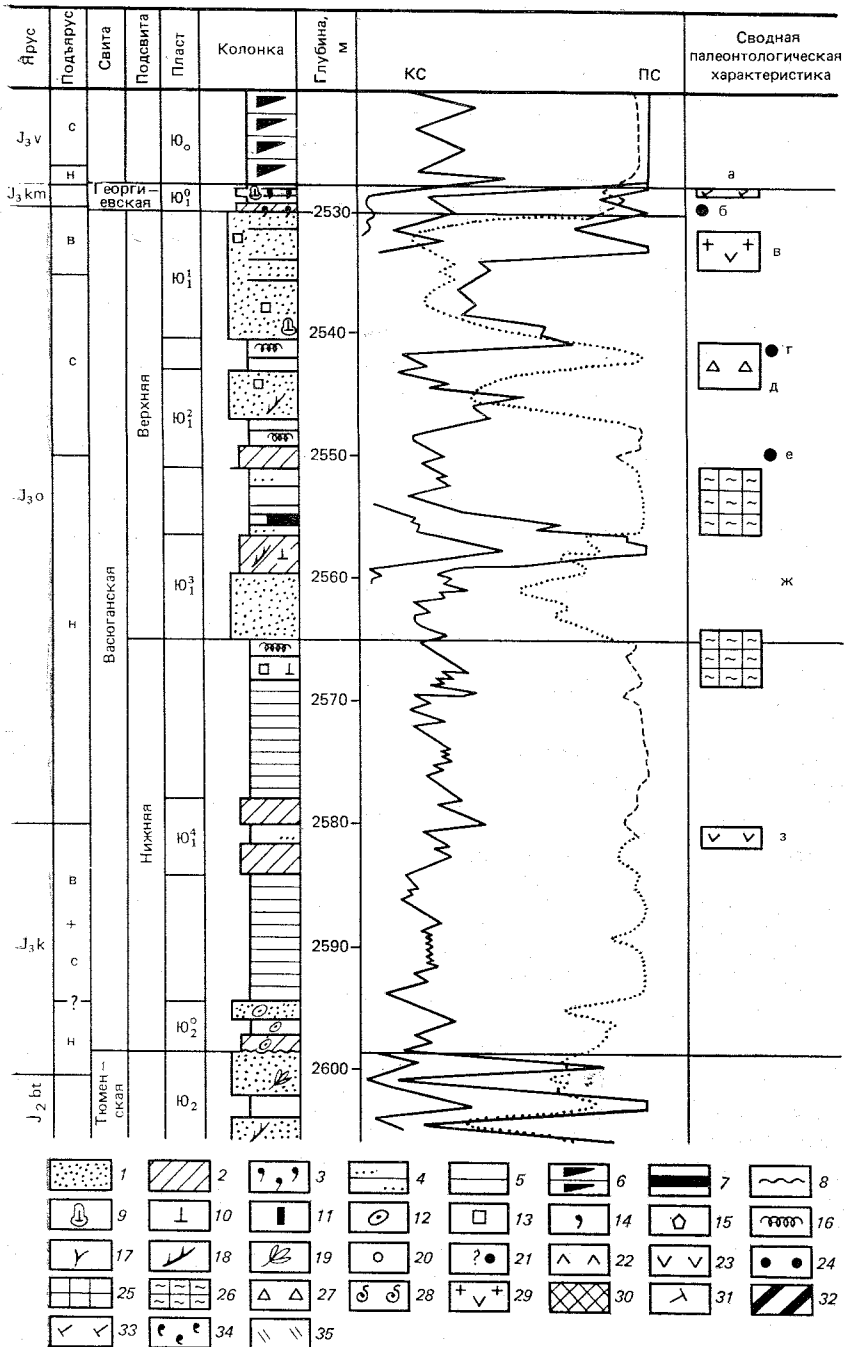
Рис. 3. Сводный биостратиграфический разрез абалакской свиты района Эргинской площади, скв. 28. Составил Ю. В. Брадучан.

Усл. обозначения на рис. 2. *Tolyammina virgula Planularia pressula* —  $J_3k_{m2}-v_1$  (a); *Amoeboceras rosenkrantzi* Spath —  $J_3o_3^3$  (б); *Recurvoides disputabilis Spiroplectamina tobolskensis* —  $J_3o_3$  (в); *Ammodiscus pseudoinjimus* — *Eomarsionella paraconica* —  $J_3o_2$  (г); *Cardioceras (Maltoniceras) sp. nov. aff. highworthensis Arkell* —  $J_3o_2^{2-3}$  (д); *Cardioceras (Plasmotoceras) aff. tenuicostatum* (Nik.) —  $J_3o_2^1$  (е); *Cardioceras (Cardioceras) cf. cordatum* (Sow.) —  $J_3o_1^{3-4}$  (ж); *Longaeviceras cf. keiserlingi* (Sok.) —  $J_3k_3^1$  (з); *Dorthis insperata* и *Trochamina rostovzevi* —  $J_3k_{2-3}$  (и)

[2, 55]. Мощность свиты изменяется от 40 до 100 м. Ее возраст на основании встреченной фауны — келловей-ранний берриас.

На востоке эквивалентом нижней части отложений даниловской свиты является абалакская свита. Она распространена на огромной территории: от Шаимского района на западе до западного склона Сургутского свода — на востоке и от северной оконечности п-ова Ямал на севере до устья р. Тобол — на юге. Свита сложена глинами, трансгрессивно залегает на доюрских образованиях заводоуковской и большехетской серий и согласно перекрывается только битуминозными отложениями, обособляемыми в мулымьинскую, тутлеймскую и баженовскую свиты.

Наименование свита получила от с. Абалак (район г. Тобольска), около которого расположена одноименная разведоч-



ная площадь, но впервые описана при характеристике сводного разреза Уватской опорной скважины [40]. В южной части распространения, включая Уватский район, рассматриваемые отложения слабо изучены, особенно палеонтологически. Долгое время основной фактический материал поступал из Березовского и Шаимского нефтегазоносных районов, где на резких положительных структурах во многих случаях юрские отложения вообще выклиниваются. В таких зонах сформировалась вогулкинская толща, которая является прибрежно- и мелководноморским аналогом абалакской свиты [13].

Переход от вогулкинской толщи к глинам абалакской свиты происходит на коротком расстоянии с одновременным сокращением мощности последних. В целом свита хорошо изучена палеонтологически. В ней обнаружено много аммонитов, на основании которых, в основном, разработана зональная шкала келловей-кимериджских отложений закрытой территории Западной Сибири. Еще больше здесь фораминифер, которые в пределах ряда площадей образуют непрерывную смыкаемую вертикальную последовательность.

Основной фактический материал в последнее время поступает из центральной части Мансийской синеклизы (рис. 2, 3), где мощность абалакской свиты невелика и изменяется от 15 до 32 м.

Представлена она глинами аргиллитоподобными, в разной степени уплотненными (ранее они описывались как аргиллиты),

**Рис. 4. Сводный биостратиграфический разрез верхнеюрских отложений района Первомайской площади скв. 268. Каймысовский район. Составил Ю. В. Брадучан.**

1 — песчаник; 2 — алевролит; 3 — глаукониты; 4 — глина аргиллитоподобная алевролитовая; 5 — глина аргиллитоподобная; 6 — то же, битуминозная; 7 — уголь; 8 — граница несогласий; 9 — конкреция; 10 — известковистость; 11 — сидерит; 12 — оолиты; 13 — пирит; 14 — глауконит; 15 — криноиден; 16 — ходы илоедов и пескожилов; 17 — водоросли; 18 — обугленный растительный детрит и аттрит; 19 — крупномерные растительные остатки; 20 — местоположение макрофауны, 21 — то же, условно; 22—35 — комплексы фораминифер: 22 — *Ammodiscus uglicus* — J<sub>3</sub>k<sub>1</sub>, 23 — *Dorothia insperata* — *Trochammina rostovzevi* — J<sub>3</sub>k<sub>2-3</sub>, 24 — *Dorothia insperata* — *Eomarssonella paraconica* — J<sub>3</sub>o<sub>1</sub>, 25 — *Ammobaculites tobolskensis* — *Eomarssonella paraconica* — J<sub>3</sub>o<sub>1</sub>, 26 — *Ammobaculites tobolskensis* — *Trochammina oxfordina* — J<sub>3</sub>o<sub>1</sub>, 27 — *Ammodiscus pseudoinfimus* — *Tolypammina svetlanae* — J<sub>3</sub>o<sub>2</sub>, 28 — *Glomospirella galinae* — J<sub>3</sub>o<sub>2-3</sub>, 29 — *Recurvoides disputabilis* — J<sub>3</sub>o<sub>3</sub>, 30 — *Haplophragmoides canuiformis* — *Lenticulina michailovi* — *Saracenaria subsula* — J<sub>3</sub>km<sub>1</sub>, 31 — *Pseudolamarckina lopsiensis* — J<sub>3</sub>km<sub>2</sub>, 32 — *Tolypammina virgula* — *Planularia pressula* — J<sub>3</sub>km<sub>2</sub>v<sub>1</sub>, 33 — *Pseudolamarckina voliaensis* — J<sub>3</sub>v<sub>1</sub>, 34 — *Spiroplectammina vicinalis* — *Dorothia tortuosa* — J<sub>3</sub>v<sub>1-2</sub>, 35 — *Trochammina septentrionalis* — J<sub>3</sub>v<sub>1-2</sub>. VPseudolamarckina voliaensis — J<sub>3</sub>v<sub>1</sub> (a); Amoeboceras: (? Amoebites) sp. indet. — J<sub>3</sub>km<sub>1</sub>, A. cf. *teucum* Späth emend. Mesezhn — J<sub>3</sub>o<sub>3</sub><sup>3</sup> (б); *Recurvoides disputabilis* — J<sub>3</sub>o<sub>3</sub> (в); *Cardioceras* (*Maltoniceras*) sp. nov. aff. C. (M.) *highworthensis* Arkett — J<sub>3</sub>o<sub>2</sub><sup>3-4</sup> (г); *Ammodiscus pseudoinfimus* — *Tolypammina svetlanae* — J<sub>3</sub>o<sub>2</sub> (д); *Cardioceratinae* — J<sub>3</sub>o<sub>1-2</sub> (е); *Ammobaculites tobolskensis* — *Trochammina oxfordiana* — J<sub>3</sub>o<sub>1</sub> (ж); *Dorothia insperata* и *Trochammina rostovzevi* — J<sub>3</sub>k<sub>2-3</sub> (з)

темно-серыми, реже серыми, преимущественно тонкоотмученными с различными модификациями раковистого излома. В нижней части свиты локализуются слюдястые разности. Глаукоцит развит по всему разрезу, но к периферии смещается к верхним слоям. Довольно часто породы биотурбированы и по ходам ископаемых организмов развит пирит, имеющий червеобразную форму.

Анализируя положение ряда конкреционных горизонтов в составе абалакской свиты у восточной кромки их распространения, напрашивается вывод, что они образуют единый уровень с соответствующими песчаными пластами васюганской свиты.

В более северных районах в верхней части абалакских глин отмечаются небольшие прослои слабобитуминозных разностей. Они встречаются и в зоне перехода васюганской свиты в абалакскую. В верхней половине подразделения отмечаются онихиты, изредка лингулы.

Возраст абалакской свиты датируется келловейским—началом ранневолжского времени.

Восточный возрастной эквивалент абалакской свиты — васюганская и георгиевская свиты. Песчаники первой из них нефтегазоносны. Поэтому выделение, прослеживание и уточнение возраста элементов разреза подразделения, помимо общестратиграфического, имеют большое практическое значение.

Стратотип васюганской свиты — Ново-Васюганская опорная скважина в интервале глубин 2702—2772 м [72]. Васюганская свита трансгрессивно залегает на тюменской, а изредка в приподнятых частях Верхнедемьянского и Александровского мегавалов, на породах фундамента. Перекрывается она георгиевской и марьяновской свитами, контакт с которыми в одних случаях плавный, в других — резкий. На отдельных локальных структурах Нижневартовского и Каймысовского сводов на васюганской свите с перерывом залегают битуминозные породы. Территория ее распространения от пос. Уренгоя на севере до г. Барабинска на юге, от г. Сургута на западе и до г. Нижневартовска на востоке.

Васюганская свита сложена песчаниками, алевролитами и глинами, среди которых выделяются многочисленные разновидности. Все породы васюганской свиты насыщены обугленным растительным детритом и атритом. Смешиваясь с глинистым материалом, они образуют углеподобную массу, особенно когда детрит изменен. В отдельных случаях отмечаются скопления обломков древесины, некоторые из них витренизированы. В основании песчаных пластов отмечаются окатыши глин часто совместно с обломками древесины. Породы в значительной степени биотурбированы за счет жизнедеятельности донных организмов. В отдельных прослоях этот процесс протекал настолько активно, что полностью переработана первичная слоистость. Ходы илоедов и пескожилов развиты, в основном, в горизонтальной плоскости, но встречаются и вертикальные; часто по ним развит

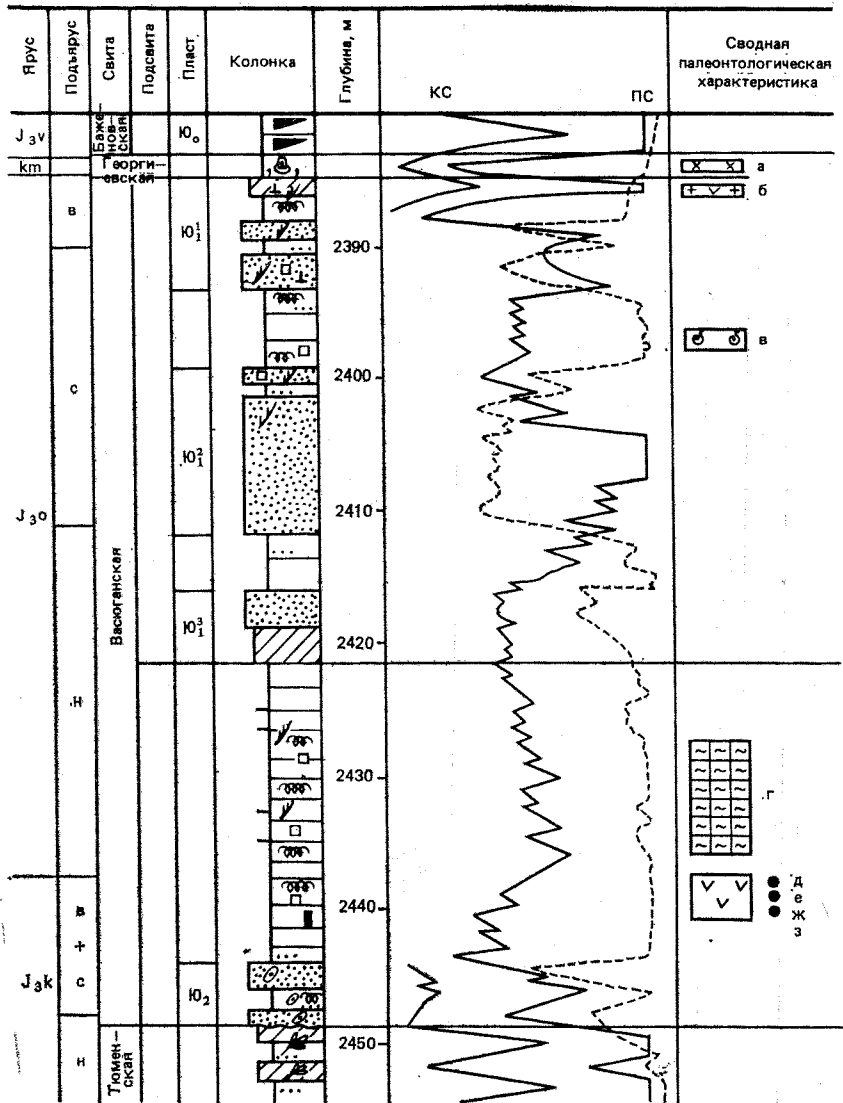
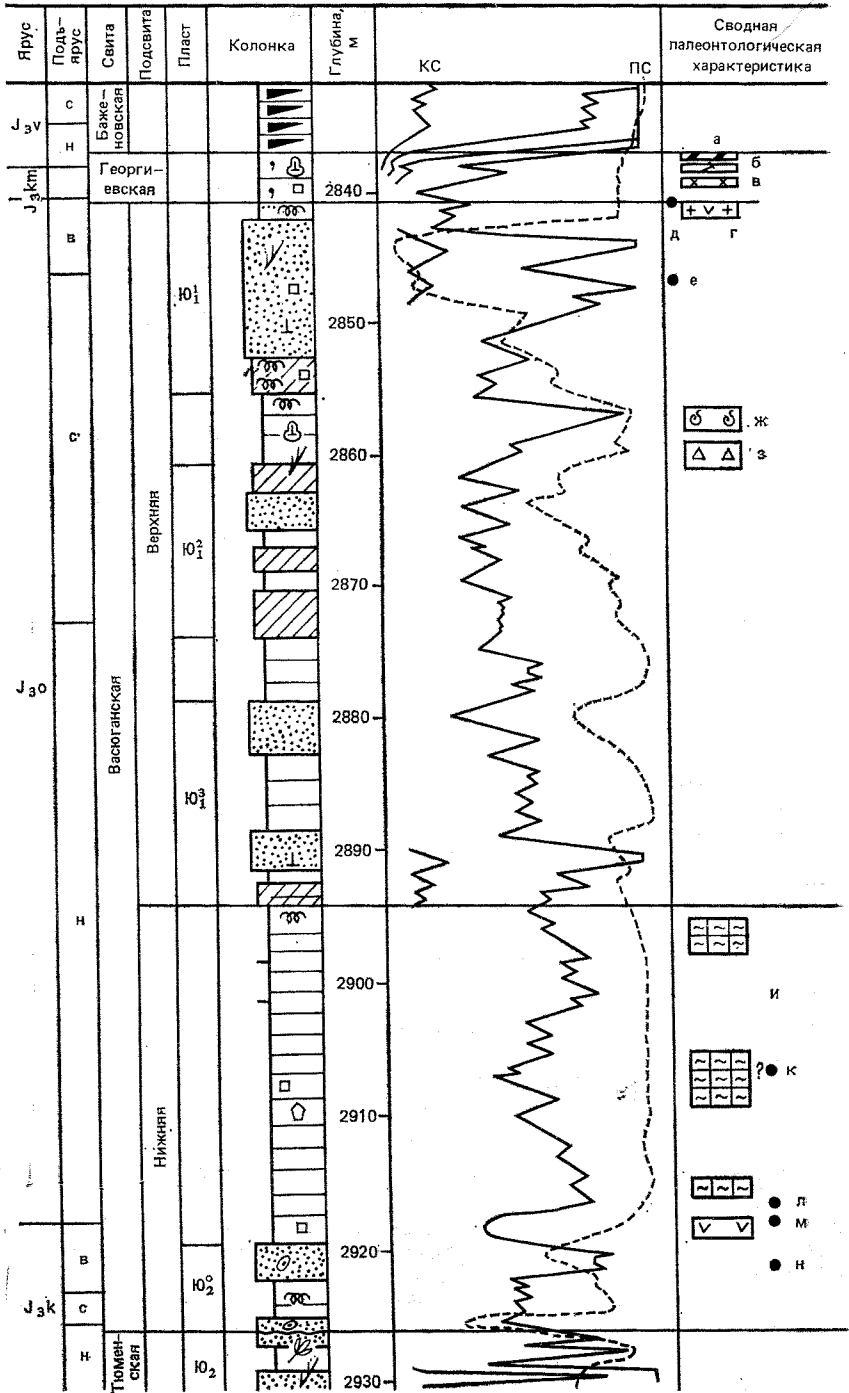


Рис. 5. Сводный биостратиграфический разрез верхнеюрских отложений района Самотлорской площади, скв. 36. Нижневартровский район. Составил Ю. В. Брадучан.

Усл. обозначения см. на рис. 4. *Haplophragmoides canuiformis*, *Lenticulina michailovi* — *Saracenia subsuta* —  $J_3km_1^2$  (а); *Recurvoides disputabilis* —  $J_3o_3$  (б); *Glomospirella galinae* —  $J_3o_2-3$  (в); *Ammobaculites tobolskensis* и *Trochammina oxfordiana* —  $J_3o_1$  (г); *Malletia meginica* A. Leb. —  $J_3k-o_1$  (д); *Qenstedtoceras henrici* R. Douv. —  $J_3k_3^2$  (е); *Q. leachi* (Sow.) —  $J_3k_3^2$  (ж); *Praebuchia* sp. indet. (з)



пирит. Размер ходов разнообразен: от единиц миллиметров до крупных, диаметр которых около 0,8 см. Довольно обычны серпулы, которые иногда образуют массовые скопления толщиной до 5 см.

На юго-востоке района развития свиты песчаники почти равномерно формируются по разрезу. На громадной территории они локализируются в верхней половине свиты, что послужило основанием выделить две подсвиты: нижнюю глинистую и верхнюю преимущественно песчаную.

При анализе сводного палеонтологического материала васюганской свиты (рис. 4—8) выяснилось, что пласты группы Ю<sub>1</sub> имеют биостратиграфические критерии. Внутри пласта Ю<sub>1</sub><sup>1</sup> проходит граница верхнего и среднего оксфорда, Ю<sub>1</sub><sup>2</sup> имеет преимущественно среднеоксфордский возраст, Ю<sub>1</sub><sup>3</sup> — раннеоксфордский, в нижней части Ю<sub>1</sub><sup>4</sup> трассируется граница между оксфордским и келловейским ярусами (см. рис. 4) [49].

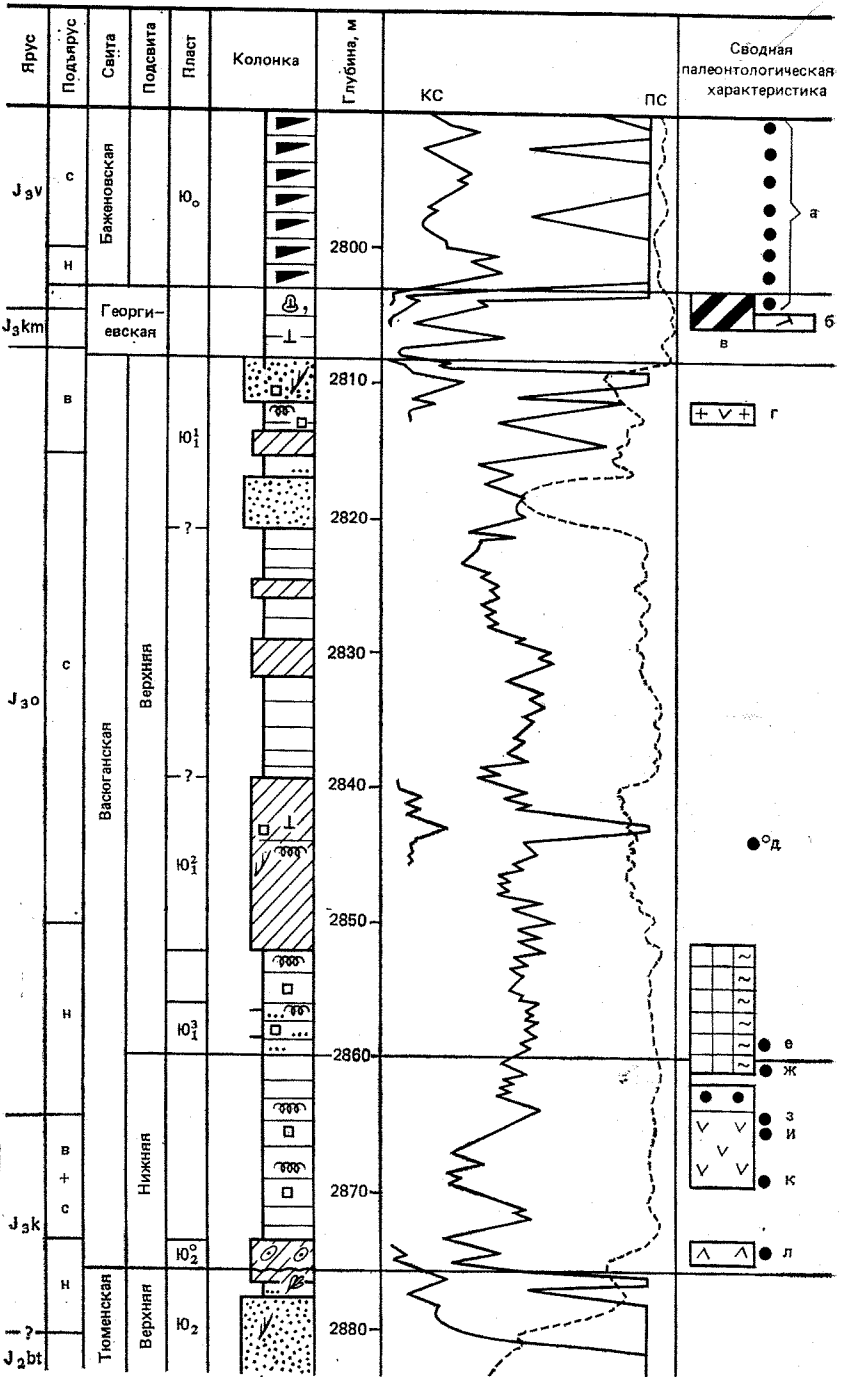
В мощностных соотношениях васюганской свиты вдоль Широтного Приобья можно отметить некоторые особенности. С востока на запад при более или менее постоянной ее мощности (в среднем около 60 м) толщина верхней части (Ю<sub>1</sub>) возрастает, а нижней — сокращается. Если на востоке отложения, выделенные в верхнюю подсвиту, составляют немного более 50 % общей мощности ее, то на западе эта доля возрастает по крайней мере до 70 % и соответственно уменьшается нижняя часть. При этом на западе внутри верхней подсвиты происходят непропорциональные изменения. Мощность отложений, составляющих пласт Ю<sub>1</sub><sup>1</sup> и подстилающий его глинистый раздел, увеличивается, а пласт Ю<sub>1</sub><sup>3</sup>, представленный алевроито-глинистыми породами, резко сокращается. Переходный тип разреза фиксируется в районах Покачевской, Ватьеганской (см. рис. 6) и Чумпасской площадей. Он характеризуется некоторым увеличением мощности верхней подсвиты и соответственно более или менее равномерным увеличением мощности составляющих ее трех пластов.

Несколько иные соотношения отмечаются при сравнении западных разрезов васюганской свиты с абалакской. На Салымской площади мощность отложений келловейского возраста

Рис. 6. Сводный биостратиграфический разрез верхнеюрских отложений района Ватьеганской площади, скв. 9. Нижневартовский район. Составил Ю. В. Брадучан.

Усл. обозначения см. на рис. 4. *Tolypammina virgula* и *Planularia pressula* — J<sub>3</sub>km<sub>2</sub>-v<sub>1</sub> (a); *Pseudolamarckina lopsiensis* — J<sub>3</sub>km<sub>2</sub> (б); *Haplophragmoides canuiformis*, *Lenticulina michailovi* и *Saracenaria subsuta* — J<sub>3</sub>km<sub>1</sub><sup>2</sup> (в); *Recurvovoides disputabilis* — J<sub>3</sub>o<sub>3</sub> (г); *Amoeboceras* sp. — J<sub>3</sub>o<sub>3</sub> (д); *Cardioceras* (*Subvertebriceras*) cf. *zenaidae* Il'ov. — J<sub>3</sub>o<sub>2</sub><sup>3-4</sup> (е); *Glomospirella galinae* — J<sub>3</sub>o<sub>2-3</sub> (ж); *Ammodiscus pseudoinfimus* — *Tolypammina svetlanae* — J<sub>3</sub>o<sub>2</sub> (з); *Trochammina oxfordiana*, *Ammobaculites tobolskensis* — J<sub>3</sub>o<sub>1</sub> (и); *Cardioceras* (*Scarburgiceras*) ex gr. *alphacordatum* Spath — J<sub>3</sub>o<sub>1</sub><sup>1-2</sup> (к); *Quenstedtoceratinae* — J<sub>3</sub>k<sub>3</sub> (л); ? *Quenstedtoceras* sp. indet. — J<sub>3</sub>k<sub>3</sub> (м); *Longaeviceras* cf. *novosemelicum* (B o d y l.) — J<sub>3</sub>k<sub>3</sub><sup>2</sup> (н)





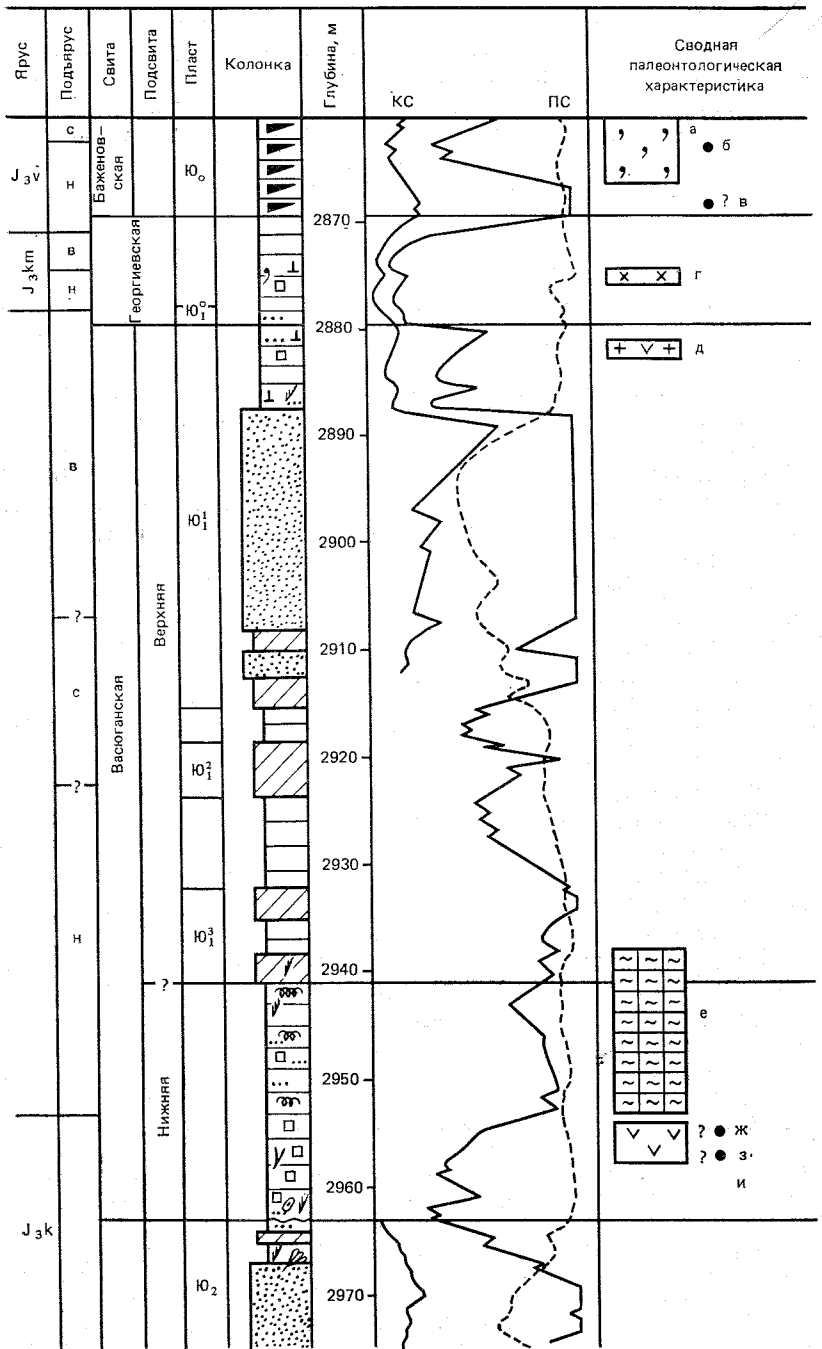
практически остается такой же, что и в районе г. Сургута (8 против 10 м), но почти на порядок сокращается мощность оксфордских отложений (с 50 до 6 м), и наибольшей величины эти изменения достигают в верхнем подъярусе оксфорда.

Эквивалентом верхней части абалакской свиты является георгиевская свита. Стратотип ее выделен в разрезе Большереченской скв. 1-Р. Свита имеет очень широкое распространение: от пос. Уренгой на севере до г. Омска на юге и от г. Сургута на западе до пос. Ларьяка на востоке. Залегает она на васюганской, наунакской и татарской свитах, а в наиболее высоких точках Верхнедемянского и Александровского мегавалов на очень ограниченной территории трансгрессивно перекрывает породы фундамента. Перекрывается только битуминозными образованиями, которые выделены в баженовскую свиту. Контакт с баженовской свитой согласный, хотя в зонах пониженной мощности достаточно контрастный из-за карбонатных конкреций.

Георгиевская свита сложена глинами аргиллитоподобными темно-серыми, иногда черными, преимущественно тонкоотмученными, реже алевритистыми, с разнообразными типами раковинистого излома (мелкораквинистый, раковинистый, полураковинистый, плоско-раковинистый), с глауконитом, который распространен крайне неравномерно: от единичных зерен до прослоев глауконитов мощностью до 0,5 м. Иногда глауконит отсутствует, особенно в районах повышенной мощности свиты (20—40 м) (рис. 9). В таких случаях георгиевские образования в большей части представлены уплотненными, тонкоотмученными глинами темно-серыми, почти черными. Глауконит в них появляется только в верхних и нижних слоях. В северном районе в верхах свиты встречаются слабо битуминозные разности. В восточной части района развития свиты в ее низах, но не повсеместно, отмечаются песчаники. Породы, выделенные в георгиевскую свиту, обогащены глауконитом, стяжениями пирита, остатками ростров белемнитов; иногда внутри глин отмечаются известковистые образования и под ними глины, как правило, листоватые. На юге и отчасти юго-востоке в основании свиты обособляется довольно мощная пачка глауконитовых песчаников (более 10 м), которая выделяется в барабинскую пачку. По предложению Г. М. Татьянина, эти песчаники индексируются Ю<sub>1</sub><sup>0</sup>. К этому

Рис. 7. Сводный биостратиграфический разрез верхнеюрских отложений района Федоровской площади, скв. 148. Сургутский район. Составил Ю. В. Брадучан.

Усл. обозначения см. на рис. 4. *Buchia mosquensis* (Buch.) — J<sub>3</sub>v<sub>1-2</sub> (a); *Pseudolamarckina lopsiensis* — J<sub>3</sub>km<sub>2</sub> (б); *Tolypammina virgula* — *Planularia pressula* — J<sub>3</sub>km<sub>2</sub>-v<sub>1</sub> (в); *Recurvoidea disputabilis* — J<sub>3</sub>o<sub>3</sub> (г); *Cardioceras* sp. indet. — J<sub>3</sub>o<sub>1-2</sub> (д); *Cardioceras (Scarburgiceras)* ex gr. *alphacordatum* Spath — J<sub>3</sub>o<sub>1</sub><sup>1-2</sup> (е); *Malletia megionica* A. Leb. — J<sub>3</sub>k-o<sub>1</sub> (ж); *Quenstedtoceras* sp. indet. — J<sub>3</sub>k<sub>3</sub> (з); *Longaeviceras* sp. indet. — J<sub>3</sub>k<sub>3</sub> (u); *Quenstedtoceras* sp. indet. — J<sub>3</sub>k<sub>3</sub> (к); *Cadoceratinae* — J<sub>3</sub>k<sub>1</sub> (л)



пласту Ю. В. Брадучан относит также конкреционную плиту, фиксируемую на ряде площадей в подошве свиты.

Возраст георгиевской свиты — частично поздний оксфорд — начало ранневолжского времени.

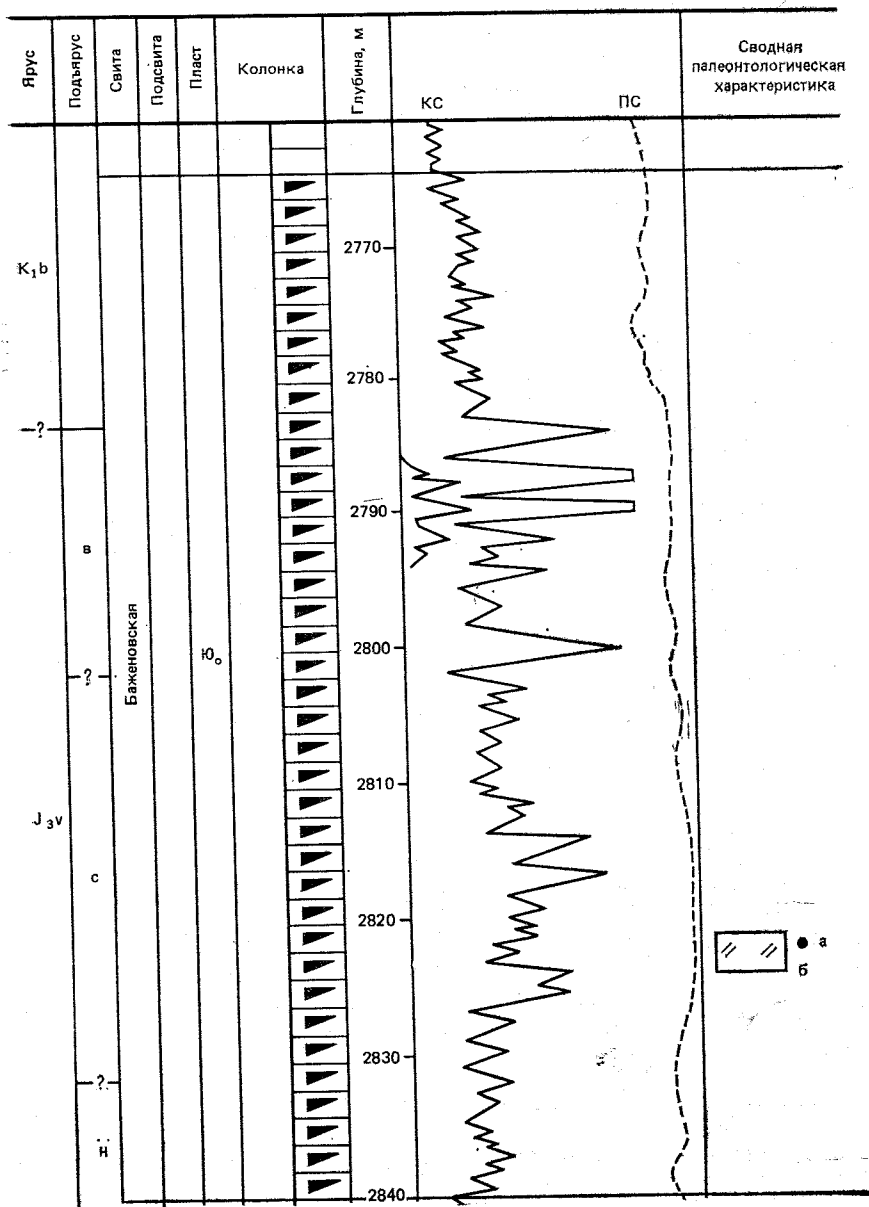
В северо-восточном направлении нижняя часть георгиевских глин замещается песчаниками и совместно с аналогами верхней половины васюганской свиты образует единую, преимущественно песчаную толщу, которая известна как сиговская свита со стратотипом в Туруханской опорной скважине [66]. Развита она в северной половине приенисейской части Западно-Сибирской геосинеклизы и Енисей-Хатангского прогиба. Согласно залегает на глинах точинской свиты, а по мере приближения к восточному обрамлению Западно-Сибирской плиты с угловым несогласием — на палеозойских образованиях. Верхний контакт с яновстанской свитой согласный. В Усть-Енисейском районе отмечаются различные типы несогласий вплоть до полного выпадения. По общему облику пород сиговская свита напоминает васюганскую, но верхняя ее часть обогащена глауконитом. По строению разреза она делится на две подсвиты. Нижняя приблизительно соответствует верхней подсвите васюганской, а верхняя — низам георгиевской свиты.

Новые палеонтологические данные по району Усть-Часельской площади позволили решить ряд спорных вопросов о границе двух подсвит. Находки верхнеоксфордских аммонитов в разрезах Усть-Часельской и Верхнечасельской площадей позволили однозначно утверждать, что причина разногласия кроется в объеме пласта Ю<sub>1</sub><sup>0</sup>, залегающего в основании верхней подсвиты (рис. 10) и представленного глауконитовыми песчаниками. Его мощность изменяется от 20 см до 3 м. Поэтому, расчленяя разрез по каротажу, пласт Ю<sub>1</sub><sup>0</sup> при малых мощностях относят к верхней подсвите, при больших — к нижней.

Верхняя граница сиговской свиты проходит в верхней зоне нижнего подъяруса кимериджа. Присутствие в нижних слоях перекрывающей яновстанской свиты комплекса фораминифер с *Tolypammina virgula* — *Planularia pressula* довольно часто указывает на трассировку в этих разрезах уровня поверхности георгиевской свиты, что позволяет скоррелировать разрезы центральных и северо-восточных районов.

Рис. 8. Сводный биостратиграфический разрез верхнеюрских отложений района Губкинской площади, скв. 38. Пурпейский район. Составил Ю. В. Брадучан.

Усл. обозначения см. на рис. 4. *Spiroplectammina vicinalis* — *Dorothia tortuosa* — J<sub>3</sub>V<sub>1-2</sub> (a); *Pectinatites* sp. indet. — J<sub>3</sub>V<sub>1</sub><sup>3</sup> (б); ? *Subdichotomoceras* sp. — J<sub>3</sub>V<sub>1</sub><sup>2?</sup> (в); *Haplophragmoides canuiformis* — *Lenticulina michailovi* — *Saracenaria subsuta* — J<sub>3</sub>K<sub>1</sub><sup>2</sup> (г); *Recurvoides disputabilis* — J<sub>3</sub>O<sub>3</sub> (д); *Ammobaculites tobolskensis* — *Trochammina oxfordiana* — J<sub>3</sub>O<sub>1</sub> (е); ? *Longaeviceras* sp. cf. *L. nikitini* (S o k.) — J<sub>3</sub>K<sub>3</sub><sup>1</sup> (ж); *Quenstedtoceratinae* — J<sub>3</sub>K<sub>3</sub> (з); *Meleagrinnella* sp. juv., *Limatula* sp. juv. (и)



В пределах рассматриваемого района мощность сиговской свиты сильно изменяется. Особенно это проявляется на Черничной и Термокарстовой площадях. На расстоянии 52 км с запада на восток толщина сиговских образований возрастает от 140 до 330 м, что является максимальной величиной для этого подразделения.

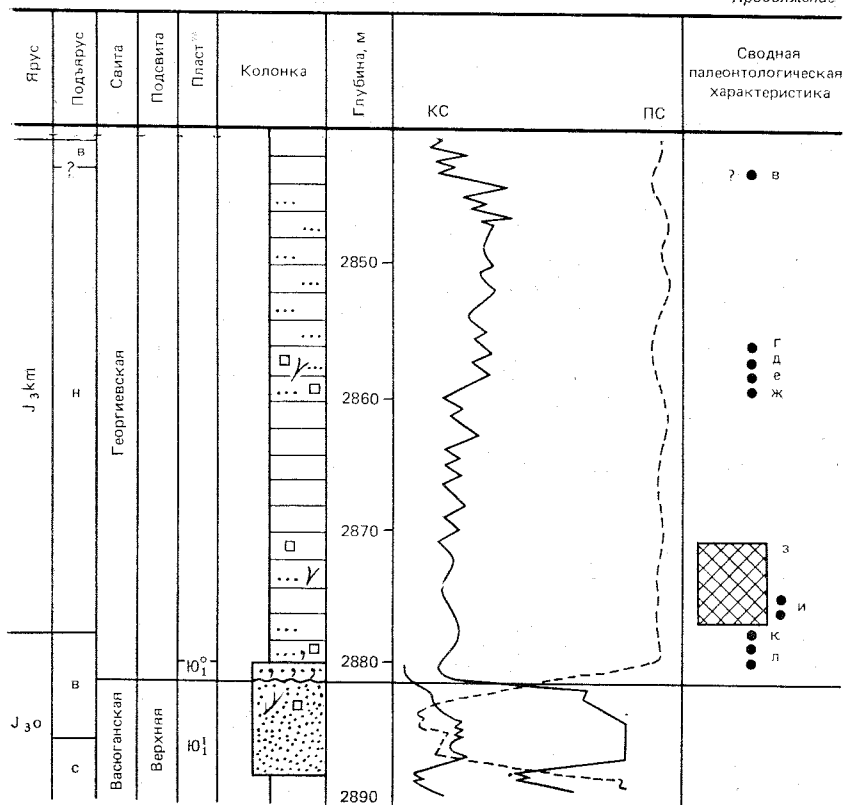


Рис. 9. Сводный биостратиграфический разрез георгиевской и баженовской свит района Харампурской площади, скв. 324. Составил Ю. В. Брадучан.

Усл. обозначения см. на рис. 4. *Buchia* ex gr. *fischeriana* (d'Orb.) —  $J_3v_2$ — $K_1b$  (а); *Trochammina septentrionalis* —  $J_3v_{1-2}$  (б); *Rasenia* (? *Zonovia*) sp. —  $J_3km_1$ — $km_2$  (в); *Inoceramus* cf. *carinatus* Zakh. —  $J_3km$  (г); *Amoeboceras* (*Amoebites*) ex gr. *kitchini* (Solf.) (д); *A.* (A.) sp. indet. (е); *A.* (A.) cf. *kitchini* (Solf.) —  $J_3km_1$  (ж); *Haplophragmoides canuiforomis* — *Lenticulina michailovi* — *Saraceneria subsuta* —  $J_3km_1$  (з); *Amoeboceras* (*Amoebites*) sp. indet. —  $J_3km_1$  (и); *Amoeboceras* sp. (ex gr. *regulare* Spath) —  $J_3o_3^3$  (к); *A.* (*Amoeboceras*) cf. *alternoides* (Nik.) и *A.* sp. ex gr. *A. glosense* (Bigot and Brasil) —  $J_3o_3^{1-2}$  (л)

От Харампура на севере до г. Петропавловска на юге в юго-восточной подковообразной зоне разной ширины обособляется марьяновская свита, соответствующая по стратиграфическому объему двум свитам: георгиевской и баженовской [3]. Она согласна или трансгрессивно залегает на васюганской, наунакской или татарской свитах; на юге, у обрамления, с угловым несогласием перекрывает породы фундамента. Верхний контакт ее

согласный с отложениями, объединяемыми в зареченский надгоризонт (берриас—низы апта).

Марьяновская свита мощностью 30—220 м сложена глинами аргиллитоподобными темно-серыми, с буроватыми и коричневатыми оттенками, которые плавно убывают вниз по разрезу. Глины, как правило, тонкоотмученные, с раковистым и плоско-раковистым изломами. На юге, у обрамления, в свите отмечаются алевритовые разности и прослой алевролитов и песчаников (рис. 11). На северо-востоке на стыке с усть-енисейским типом разреза в ее составе резко увеличивается количество песчаников. Именно такой разрез вскрыт на Верхнекаралькинской площади, расположенной в верховьях р. Таз, где среди глин насчитываются пять пронизываемых пластов, которые Ю. В. Брадучан индексирует Ю<sub>Г1</sub>—Ю<sub>Г5</sub>. Иногда в основании описываемого подразделения отмечается пласт Ю<sub>1</sub><sup>0</sup>, представленный глауконитовыми песчаниками.

Палеонтологических находок в составе подразделения немного и материал рассредоточен по разным разрезам. Возраст марьяновской свиты определяется по редким находкам аммонитов, комплексов фораминифер и положению в разрезе, на основании чего она датируется поздним оксфордом—ранним берриасом.

Особого внимания заслуживает комплекс фораминифер с *Ammodiscus veteranus* — *Evolutinella volossatovi*, встреченный на Татарской площади. Эта ассоциация фораминифер широко известна на территории равнины и считается характерной, в основном, для верхнего подъяруса волжского яруса, так как она часто отмечена с аммонитами этого стратиграфического уровня. В данном случае комплекс найден с *Hectoroceras* cf. *kochi* Spath, зоны *Hectoroceras kochi* бореального берриаса. Это сочетание двух палеонтологических находок в одном образце керна дает основание для предположения о возможности на юге Западно-Сибирской плиты возрастного скольжения комплекса фораминифер с *Ammodiscus veteranus* — *Evolutinella volossatovi* в сторону его омоложения. Поскольку на севере Средней Сибири *Ammodiscus veteranus* известен в зоне *Hectoroceras kochi* берриаса, можно было бы допустить его проникновение на юг Западной Сибири вдоль приенисейской части равнины. Однако никаких следов присутствия этого вида в раннем берриасе в Западной Сибири пока нет. Ввиду того, что комплекс фораминифер на юге Западной Сибири приурочен к краевой части плиты, вблизи зоны выклинивания неокомских отложений может быть обосновано и другое предположение о его перетолжении. В пользу такого допущения свидетельствует поведение комплексов фораминифер в зонах выклинивания неокомских отложений, в частности в Березовском районе, где известны перетолженные волжские и особенно ряд берриасских комплексов фораминифер.

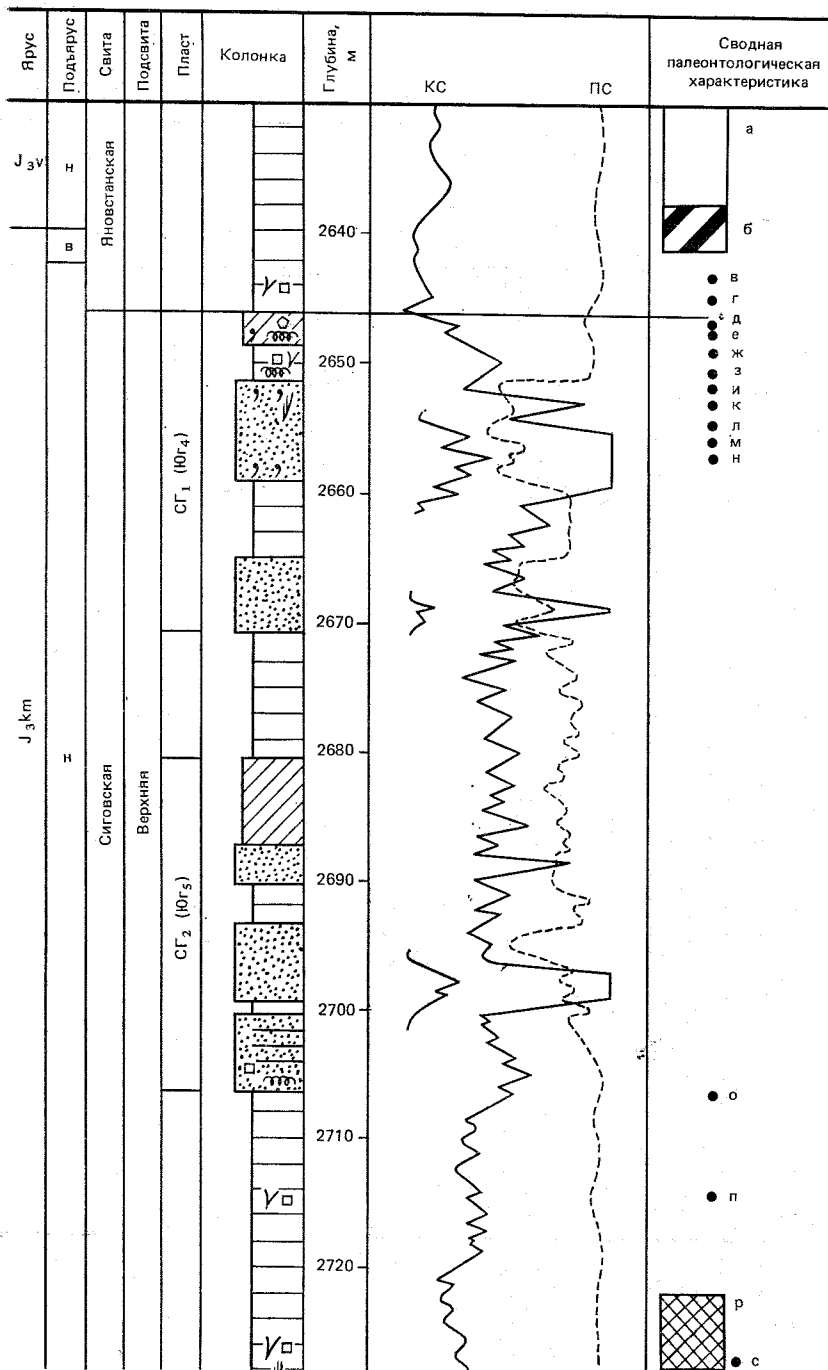
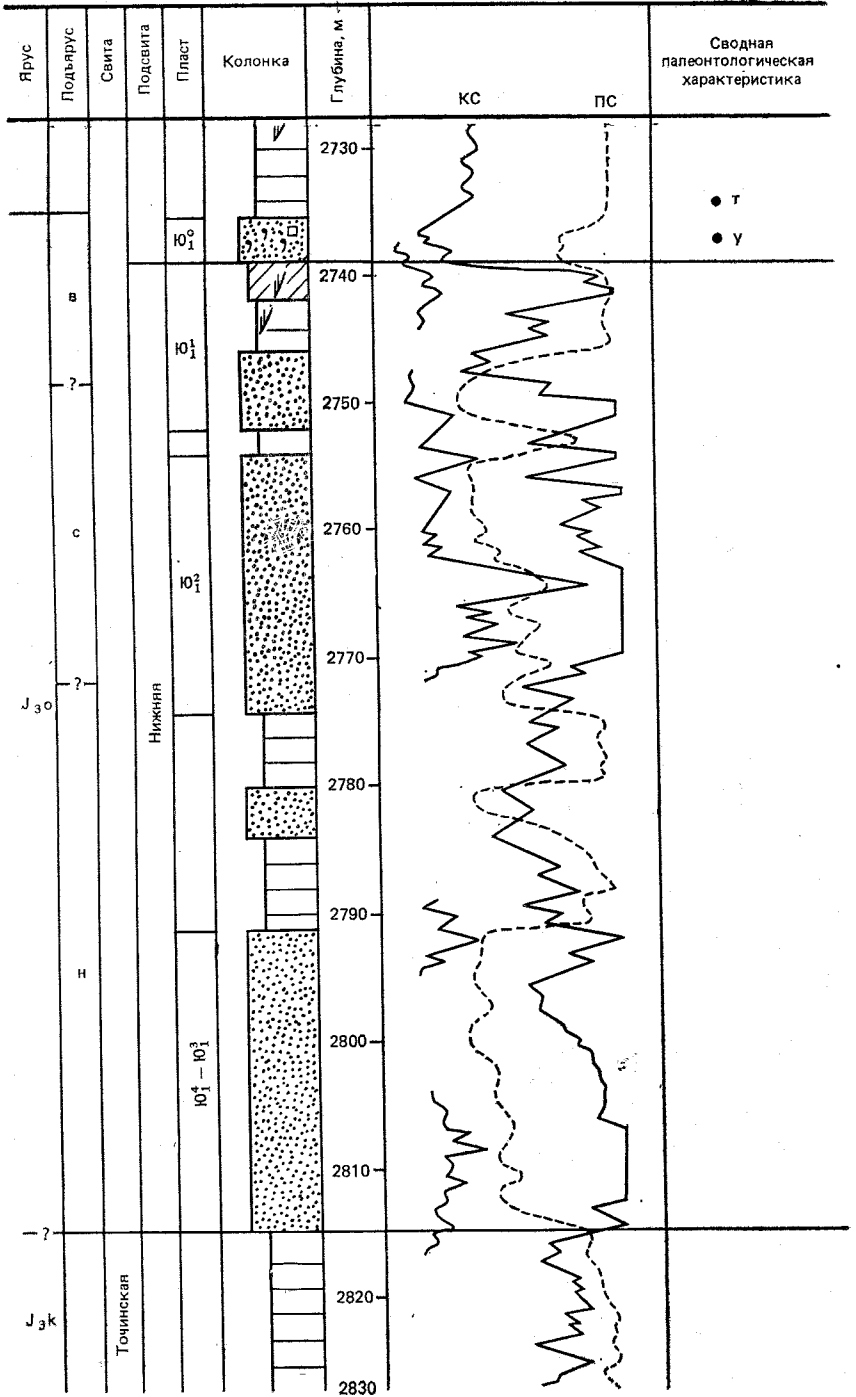


Рис. 10.

сиговск 24





## НЕОКОМ (БЕРРИАС — ГОТЕРИВ)

Неокомские отложения формировались в условиях регрессии. Мощность их в среднем около 1000 м с убыванием вверх по разрезу глинистых пород морского генезиса с одновременным увеличением доли континентальных образований, исключение составляют районы Широкого Приобья, где начало апта ознаменовалось кратковременной местной трансгрессией, обусловившей накопление глинистых осадков, к которым приурочен отражающий сейсмический горизонт М. Площадь распространения местных стратиграфических подразделений меньше, чем нижележащего комплекса, и составляет в среднем около 100 тыс. км<sup>2</sup>. Неокомские отложения представляют собой наиболее сложно построенные из всех образований осадочного чехла Западно-Сибирской равнины.

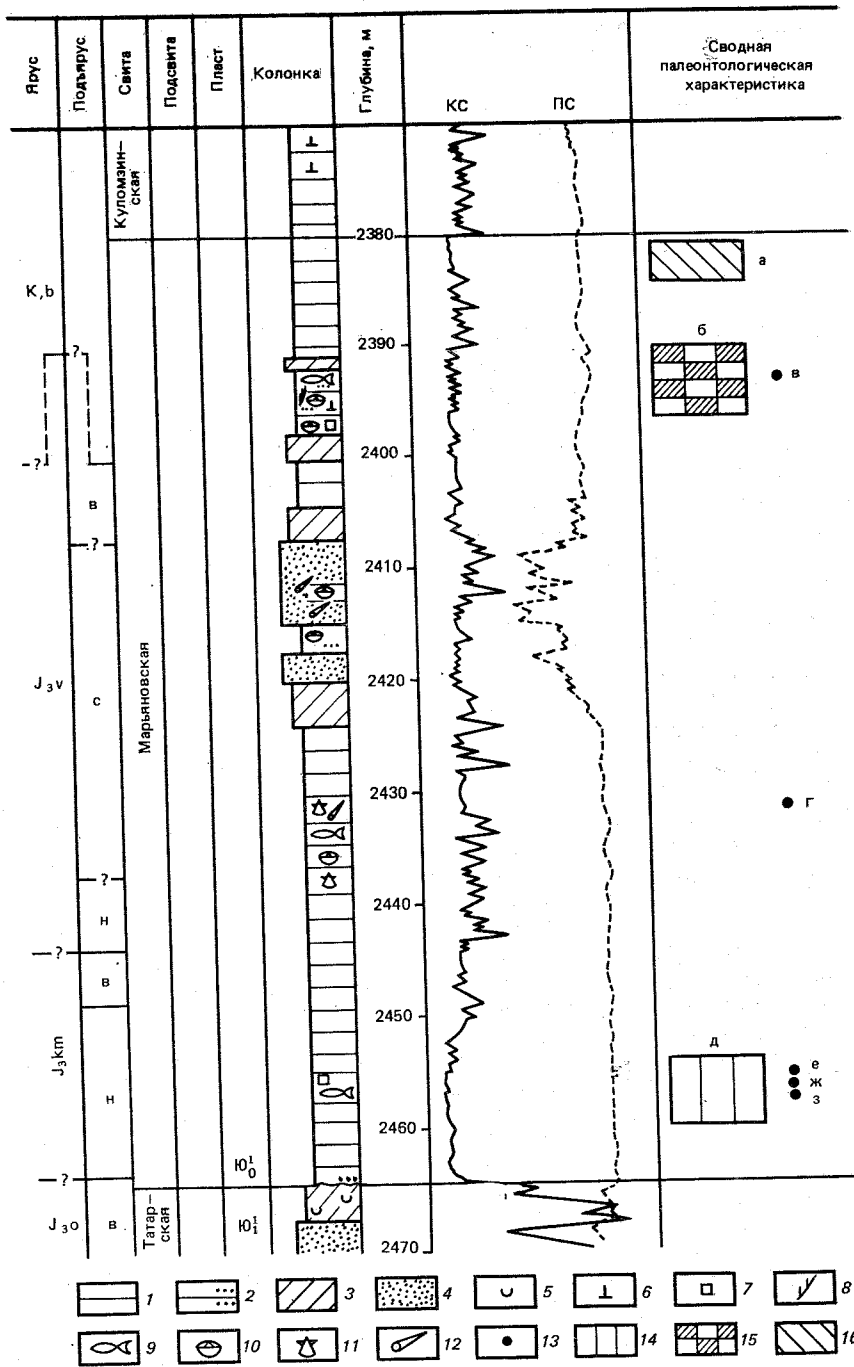
В составе рассматриваемого стратиграфического диапазона, по данным различных авторов, в общей сложности выделяются две серии, 35 свит, 21 подсвита, 11 толщ и 36 пачек, но на этом не кончается дифференциация разреза. В ряде нефтегазоносных областей центральной части равнины выделяется до 30 продуктивных пластов, имеющих свою индексацию. Естественно, что в данном стратиграфическом очерке все эти единицы рассмотреть невозможно. Поэтому приводится описание ряда свит, имеющих наибольшую палеонтологическую изученность.

Одно из таких подразделений — куломзинская свита, получающая развитие на юго-востоке равнины [67]. Она охватывает полукольцом территорию от пос. Ларьяка на востоке до г. Петропавловска на юге. На крайнем юго-востоке куломзинской свите соответствует нижняя часть илекских пестроцветов, на северо-востоке она является эквивалентом низов существенно песчаных

---

**Рис. 10. (Продолжение). Сводный биостратиграфический разрез сиговской свиты района Усть-Чайльской площади. Усть-Чайльская скв. 199, Толькинский район. Составил Ю. В. Брадучан.**

Усл. обозначения см. на рис. 4. Обедненный комплекс: *Spiroplectamina vicinalis* — *Dorothia tortuosa* — *Spiroplectamina vicinalis* — *Saracenaria pravoslavlevi* — J<sub>3</sub>v<sub>1-2</sub> (a); *Tolyppamina virgula* — *Planularia pressula* — J<sub>3</sub>km<sub>2</sub>—v<sub>1</sub> (б); *Rasenia* sp. indet. (? cf. *R. repentina* Mesezhn.) — J<sub>3</sub>km<sub>2</sub><sup>2</sup> (в); *R. sp. indet.* (? cf. *R. triplicata* Mesezhn.) — J<sub>3</sub>km<sub>1</sub><sup>2</sup> (z); *Amoeboceras (Amoebites)* cf. *alticarinatum* Mesezhn. et Romm (d); *A. (A.) sp. indet. ex gr. A. (A.) rasenense* Spath (e); *A. (A.) sp. indet. cf. A. (A.) salfeldi* Spath — J<sub>3</sub>km<sub>1</sub> (ж); *Rasenia (Rasenia)* cf. *optima* Mesezhn. — J<sub>3</sub>km<sub>1</sub><sup>2</sup> (з); *R. (R.) cf. repentina* Mesezhn. — J<sub>3</sub>km<sub>1</sub><sup>2</sup> (u); *A. (A.) ex gr. kitchini* (Salf.) — J<sub>3</sub>km<sub>1</sub> (к); *Rasenia (Rasenia)* sp. cf. *R. (R.) optima* Mesezhn. — J<sub>3</sub>km<sub>1</sub><sup>2</sup> (л); *A. (A.) sp. indet. ex gr. A. (A.) spathi* Schulgina — J<sub>3</sub>km<sub>1</sub> (м); *A. (A.) cf. alticarinatum* Mesezhn. et Romm — J<sub>3</sub>km<sub>1</sub> (н); *Amoeboceras (Amoebites)* sp. cf. *A. (A.) mesezhnikovii* Sykes et Surlyk juq. — J<sub>3</sub>km<sub>1</sub> (о); *A. (A.) ex gr. spathi* Schulgina — J<sub>3</sub>km<sub>1</sub> (п); *Haptophragmoides canuiformis* — *Lenticulina michailovi* — *Saracenaria subsuta* — J<sub>3</sub>km<sub>1</sub> (р); *Amoeboceras (Amoebites)* ex gr. *rasenense* Spath — J<sub>3</sub>km<sub>1</sub> (с); *A. (A.) sp. cf. A. (A.) salfeldi* Spath — J<sub>3</sub>km<sub>1</sub> (т); *Amoeboceras regulare* Spath — J<sub>3</sub>o<sup>3</sup> (y)



отложений, относящихся к елокуйской и юрацкой свитам, а на западе ее аналог — глины мегионской свиты. Она согласно залегает на баженовской и марьяновской свитах, а вдоль обрамления с угловым несогласием перекрывает образования фундамента. На всей территории распространения вверху она имеет плавный контакт с песчаниками тарской свиты (рис. 12).

Свита сложена глинами аргиллитоподобными темно-серыми до серых, основная масса которых тонкоотмученная, но часты и алевритистые разности с убыванием доли последних к центральной части равнины. Излом раковистый, плоский, в алевритовых прослоях неровный. Текстура глины полосчатая за счет горизонтальных слойков (2—4 мм) серого алевритового материала, который иногда известковистый. Встречается и довольно часто волнисто-полосчатая слоистость. Изредка вдоль слоистости отмечается обугленный растительный атрит, еще реже — детрит.

Среди пород, в основном глинистых, встречаются пиритизированные водоросли, редкие сидеритизированные прослои, ходы илоедов, остатки рыб и т. д. Близ кровли в отдельных разрезах отмечены прослои серых известковистых мелкозернистых песчаников обычно 3—5 м мощности, на Вахской площади достигающих 20 м.

Общая мощность куломзинской свиты около 200 м, но в северной части Тарского Прииртышья она достигает 270 м (Новологиновская площадь). Минимальная мощность отмечается вдоль зоны регионального выклинивания неокома, где в составе подразделения появляются прослои песчаников, которые очень быстро замещаются глинами в сторону центральных районов.

В западной части распространения свиты, ближе к ее основанию, обособляются песчаники серые и светло-серые, как правило, мелкозернистые, часто с высоким содержанием алевритовой фракции, с неравномерной известковистостью, преимущественно линзообразной формы. Они чередуются в сложном сочетании с алевролитами и глинами. Эта толща пород известна под названием ачимовская. Она развита не только в рассматри-

Рис. 11. Сводный биостратиграфический разрез марьяновской свиты Татарской площади. Татарская скв. 1. Составил Ю. В. Брадучан.

1 — глина аргиллитоподобная; 2 — то же, алевритовая; 3 — алевролит; 4 — песчаник; 5 — пестроцветность; 6 — карбонатность; 7 — пирит; 8 — обугленный растительный атрит, детрит; 9 — ихтиодетрит; 10 — лингула, 11 — двустворка; 12 — белемнит; 13 — местоположение макрофауны, 14—16 — комплексы фораминифер; 14 — *Trochammina omskensis* и *Verneuillinoides graciosus* —  $J_3km_1^1$ , 15 — *Ammodiscus veteranus* — *Evolutinella volossatovi* —  $J_3V_3$ , 16 — *Trochammina rosaceaformis* —  $K_{1b}$ .

*Trochammina rosaceaformis* —  $K_{1b}$  (a); *Ammodiscus veteranus* — *Evolutinella volossatovi* —  $J_3V_3$  (б); *Hectoroceras* cf. *kochi* Spath —  $K_{1b}$  (в); *Dorsoplani-tes* sp. indet. —  $J_3V_2$  (г); *Trochammina omskensis* — *Verneuillinoides graciosus* —  $J_3km_1^1$  (д); *Pictonia* sp. juv. —  $J_3km_1^1$  (е); *Prorasenia* sp. —  $J_3km_1^1$  (ж); *Rase-nia* sp. —  $J_3km_1^1$  (з)

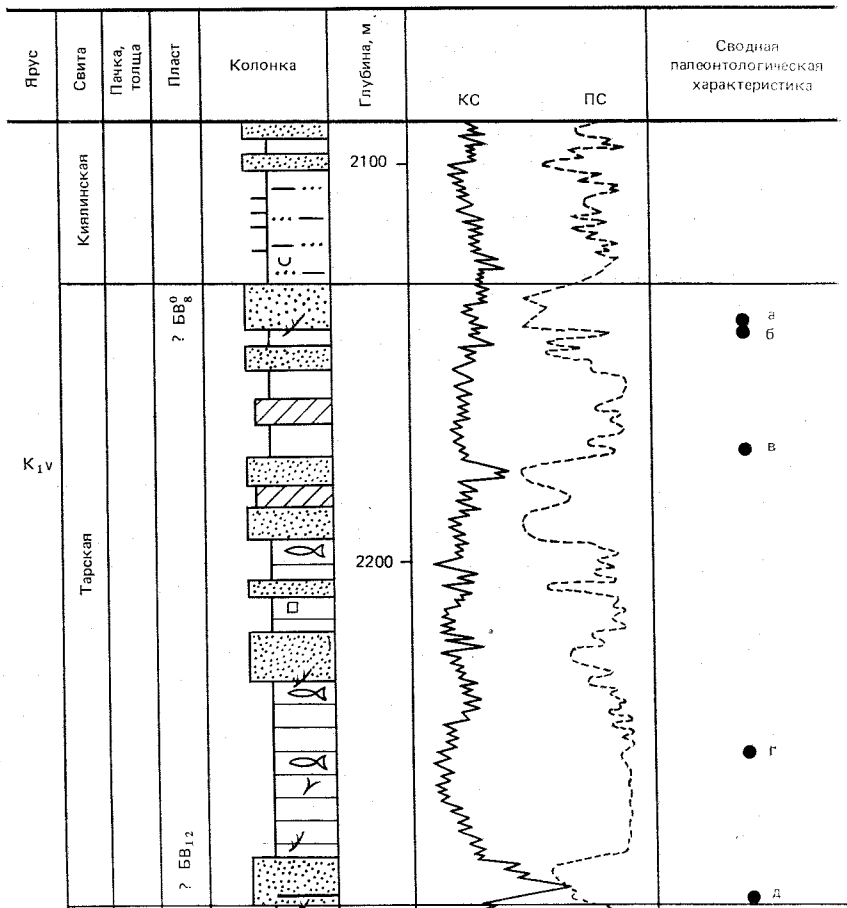
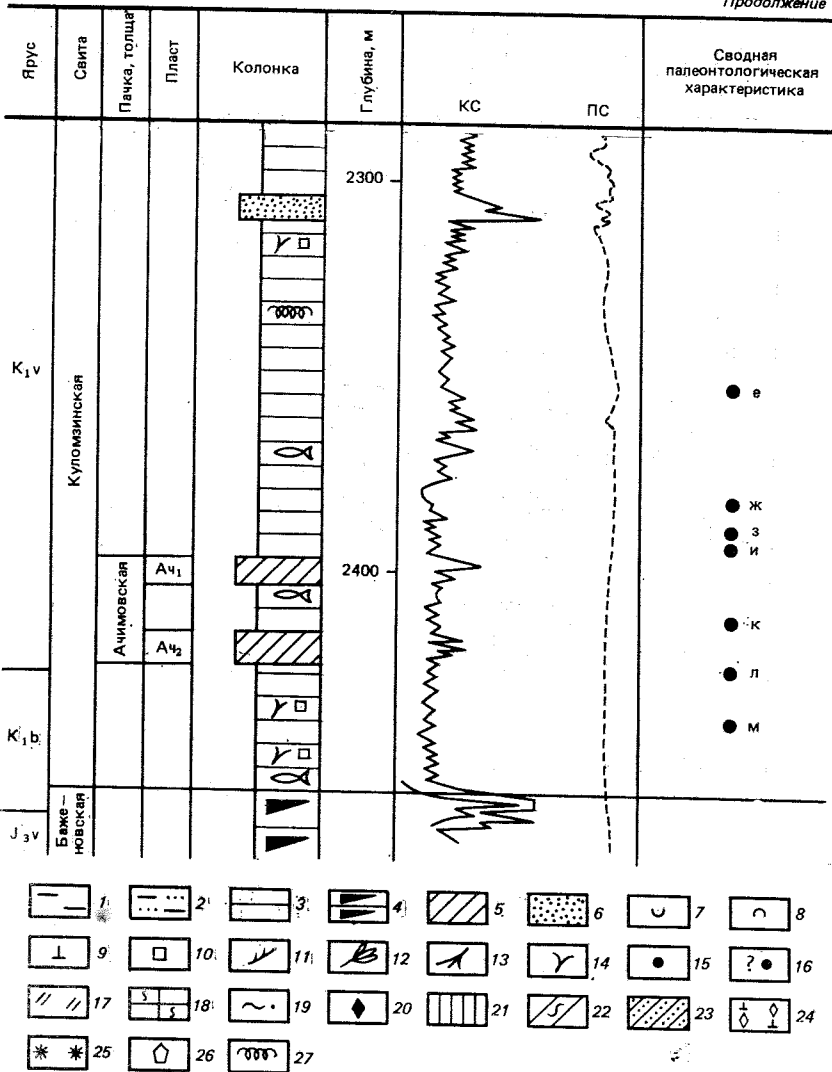


Рис. 12. Сводный биостратиграфический разрез куломзинской и тарской свит Тарского Прииртышья. Ивановская скв. 1. Составил Ю. В. Бродучан.

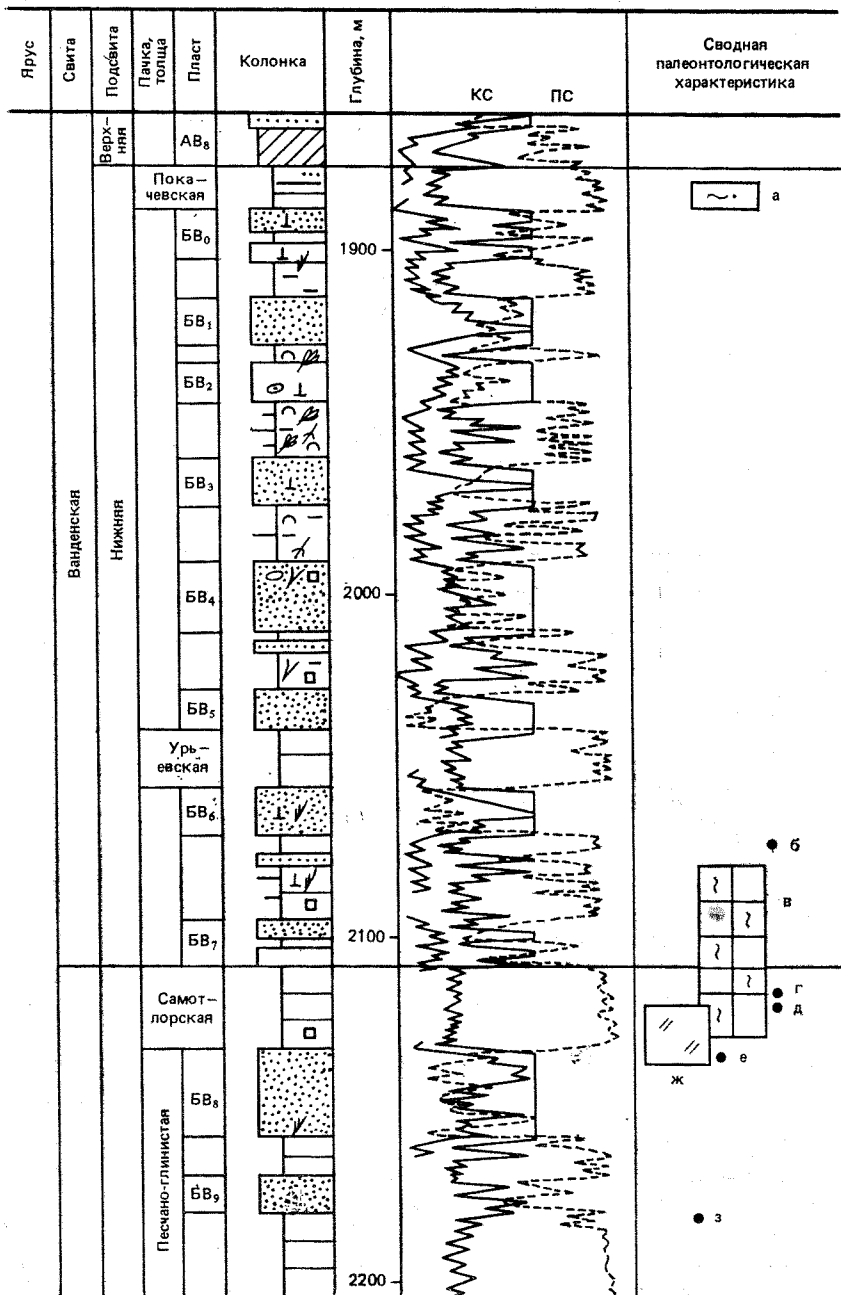
1 — глины; 2 — глины алевритовые; 3 — глины аргиллитоподобные; 4 — то же, битуминозные; 5 — алевролиты; 6 — песчаники; 7 — пестроцветность; 8 — зеленоцветность; 9 — известковость; 10 — пирит; 11 — обугленный растительный детрит и атрит; 12 — флора; 13 — корневидные растительные остатки; 14 — водоросли; 15 — местоположение макрофауны; 16 — то же, условно; 17 — 25 — комплексы фораминифер: 17 — *Trochammina sibirica* — *T. gyroidiniformis*, 18 — *Cribrostomoides ? sinuosus* — *C. infracretaceous*, 19 — *Ammodiscus continentalis*, 20 — *Cribrostomoides concavoides*, 21 — *Trochammina gyroidiniformis* — *Acruliammina pseudolonga*, 22 — *Hyperammina aptica* — *Saccammina callosa*, 23 — *Lenticulina prima*, 24 — *Kutsevella difficilis*, 25 — *Trochammina fusca*, 26 — криноидеи; 27 — ходы илоедов и пескожилов.

*Neotollia* sp. indet. — K<sub>1</sub>V<sub>1</sub><sup>1</sup> (а); *Temnoptychites* (? *Russanovia*) sp. — K<sub>1</sub>V<sub>1</sub><sup>1</sup> (б); *Ammonites* gen. et sp. indet. (в); *Temnoptychites* cf. *syzranicus* (Pavl.) — K<sub>1</sub>V<sub>1</sub><sup>1</sup> (г); *Neotollia* cf. *maimetschensis* Schulg. — K<sub>1</sub>V<sub>1</sub><sup>1</sup> (д); *Neotollia* sp. (cf. *N. maimetschensis* Schulg.) — K<sub>1</sub>V<sub>1</sub><sup>1</sup> (е); *Neotollia* sp. indet. — K<sub>1</sub>V<sub>1</sub><sup>1</sup> (ж); *Neotollia* sp. indet. — K<sub>1</sub>V<sub>1</sub><sup>1</sup> (з); *Temnoptychites* cf. *insolutus* Klim. — K<sub>1</sub>V<sub>1</sub><sup>1</sup> (и); *Neotollia* sp. indet. — K<sub>1</sub>V<sub>1</sub><sup>1</sup> (к); *Tollia* sp. indet. — K<sub>1</sub>b (л); *Tollia* sp. indet. juv. — K<sub>1</sub>b (м)



ваемом подразделении, но и прослеживается в составе мегнионской, сортымской и ахской свит. На западе она развита приблизительно до меридиана р. Салым. Общее строение ачимовской толщи весьма неоднородное. На одних территориях ее песчаники имеют плащеобразную форму развития, на других — ближе к полосовидной, на некоторых вообще отсутствуют, как, например, в Ярсомовском прогибе. Мощность ее изменяется в широких пределах и превышает 150 м.

Глины, залегающие между ачимовской толщиной и баженовской свитой, имеют характерную микрослоистость, обусловлен-



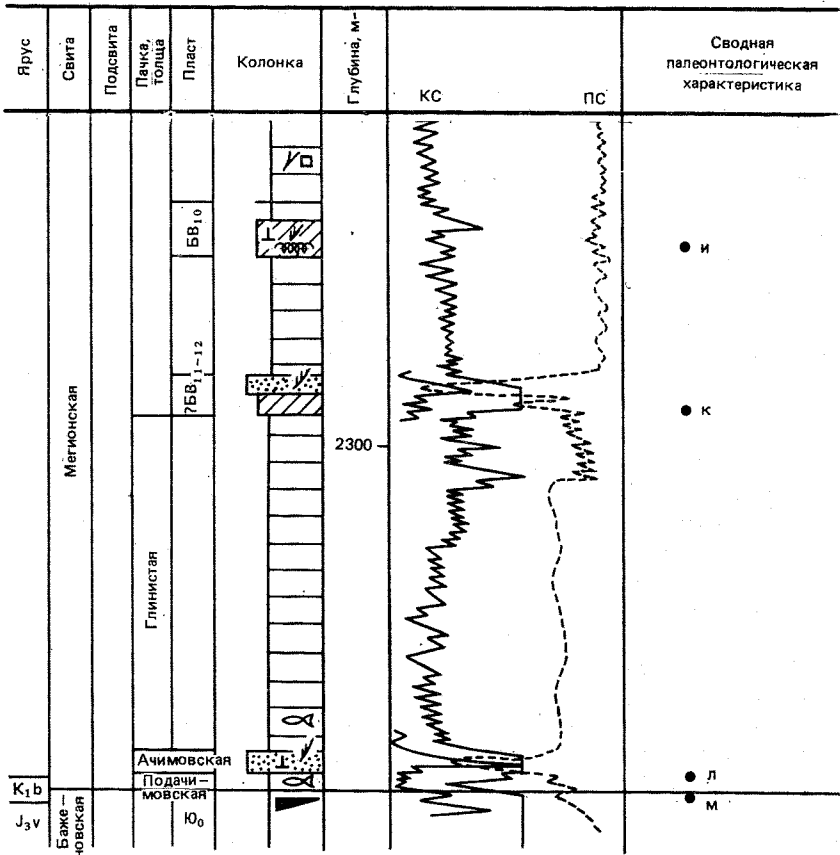


Рис. 13. Сводный биостратиграфический разрез мегнионской свиты района Вагинской площади, скв. 124. Нижневартовский район. Составил Ю. В. Бродучан.

Усл. обозначения см. на рис. 12. *Ammodiscus continentalis* — K<sub>1v</sub>—g<sub>1</sub> (а); *Neotollia* sp. — K<sub>1v1</sub><sup>1</sup> (б); *Cribrostomoides? sinuosus* — C. *infracretaceous* — K<sub>1v1</sub>—g<sub>1</sub> (в); *Malletia* cf. *taimyrica* Sanin — K<sub>1b</sub>—g<sub>1</sub> (г); *Neotollia* sp. indet. — K<sub>1v1</sub><sup>1</sup> (д); *Temnophychites* (*Subtemnoptychites*) sp. indet. — K<sub>1v1</sub><sup>1</sup> (е); *Trochammina sibirica* — T. *gyroidiniformis* — K<sub>1v1</sub> (ж); *Ammonites* (?*Neotollia*) sp. indet. — ?K<sub>1v1</sub><sup>1</sup> (з); *Neotollia* sp. indet. — K<sub>1v1</sub><sup>1</sup> (и); *Neotollia* sp. indet. — K<sub>1v1</sub><sup>1</sup> (к); *Neotollia* aff. *maimetschensis* Schulg. — K<sub>1v1</sub><sup>1</sup> (л); *Praetollia* sp. indet. *Schulginites* sp. — K<sub>1b</sub> (м)

ную чередованием очень тонких слоев (доли миллиметров) более светлых и темных тонов, а ближе к основанию в их составе появляются такие же битуминозные слои. Вниз по разрезу частота битуминозных разностей увеличивается и они образуют битуминозные прослои до 1—2 м. Ниже они постепенно переходят в небитуминозные разности. В подачимовской части разреза битуминозных прослоев бывает несколько. Наибольшая мощ-



ность такого разреза вскрыта Омской опорной скважиной — около 50 м.

Стратиграфический объем куломзинской свиты определяется довольно многочисленными находками аммонитов, сильно рассредоточенными по площади, не всегда удовлетворительной сохранности. Наибольшая концентрация аммонитов отмечается в Тарском Прииртышье (см. рис. 12). Возрастной объем куломзинской свиты соответствует значительной части берриаса и части нижнего подъяруса валанжина.

Непосредственно выше куломзинских глин залегает толща песчаников тарской свиты [67]. Развита она на той же территории, что и куломзинская свита, и ее возрастными аналогами являются те же подразделения, только более их высокие слои. Тарская свита согласно залегает на куломзинской, а в зоне регионального выклинивания неокома с угловым несогласием перекрывает образования фундамента; имеет плавный контакт с киялинской, вартовской и ванденской свитами.

Сложена песчаниками светло-серыми, серыми, иногда зеленовато-серыми, мелко- и среднезернистыми, в отдельных случаях известковыми, плотными, чаще слабо сцементированными глинистым цементом. Породы массивные и слоистые. Слоистость слабоволнистая, иногда горизонтальная и еще реже косая, обусловленная слюдисто-глинистым материалом, иногда подчеркнутая обугленным растительным атритом, реже детритом. Песчаники чередуются с подчиненными прослоями серых аргиллитоподобных глин, иногда зеленоватых, и алевролитами. В западном направлении количество глинистого материала несколько возрастает. Повышенная концентрация его отмечается в Нюрольской впадине, где песчаники образуют крупные изолированные линзы. Песчаники тарской свиты полимиктовые и кварцполевошпатовые, иногда в них отмечаются окатыши вмещающих глин. На юго-востоке при переходе тарской свиты в илекскую в первой появляются прослой блеклых пестроцветов. Для свиты характерны: обугленный растительный атрит—детрит, ихтиодетрит, прослой ракушечника, редкие отпечатки водорослей, крайне редко пирит. Мощность ее в южных районах около 40—50 м, увеличивается в сторону впадины до 200 м.

Возраст устанавливается по находкам аммонитов в пределах нижней зоны нижнего валанжина.

В западном направлении в составе тарской свиты резко возрастает роль глинистых пород и она становится практически неотличимой от куломзинской свиты, образуя с ней единое литологическое тело — мегионскую свиту. Стратотип ее выделен в разрезе Мегионской скв. 1 в интервале глубин 2098—2430 м. Развита свита в меридиональной полосе от пос. Тазовское на севере до южного обрамления. На севере ширина зоны распространения свиты узкая, существенно расширяющаяся в Нижне-вартовском районе и постепенно сужающаяся в южном направлении. В южной половине равнины западная граница мегион-

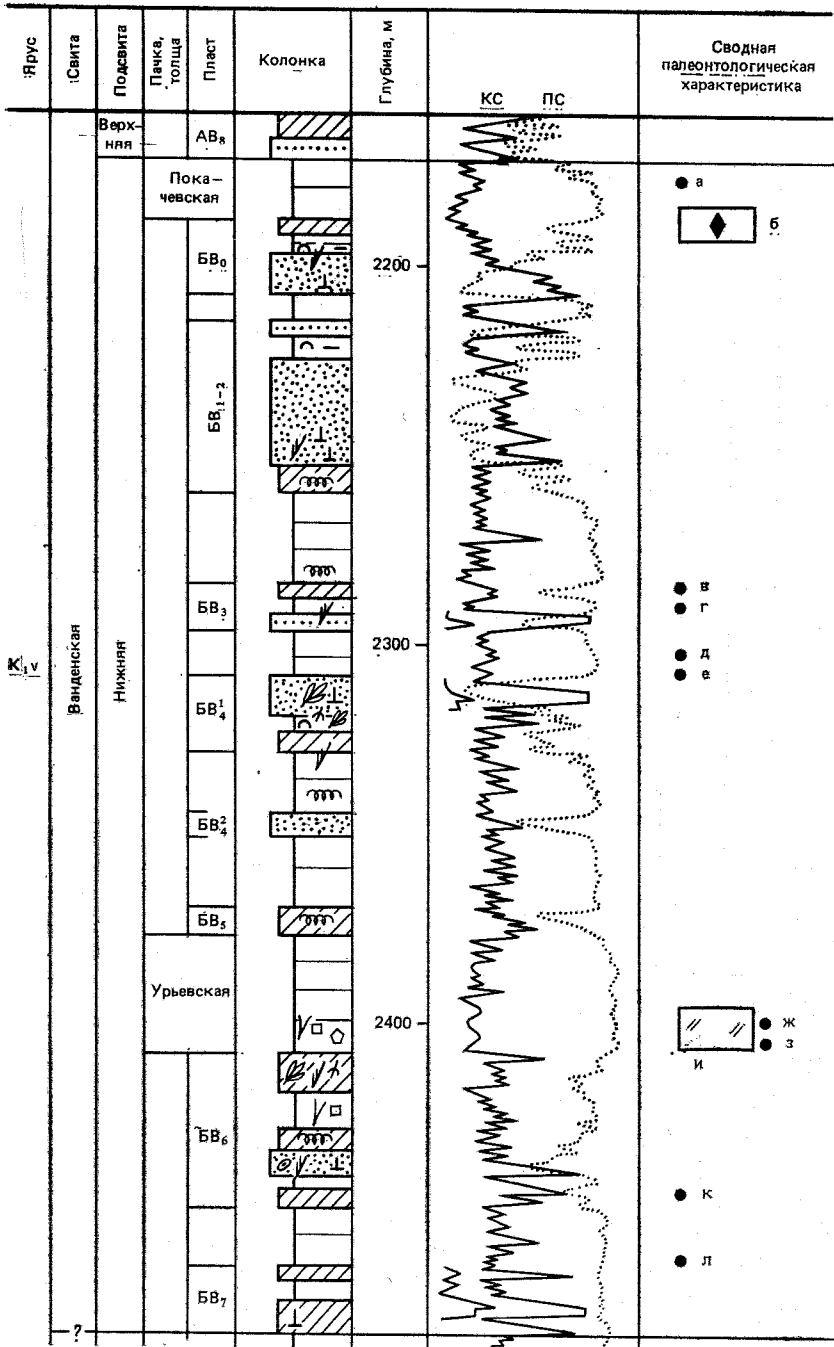


Рис. 14.

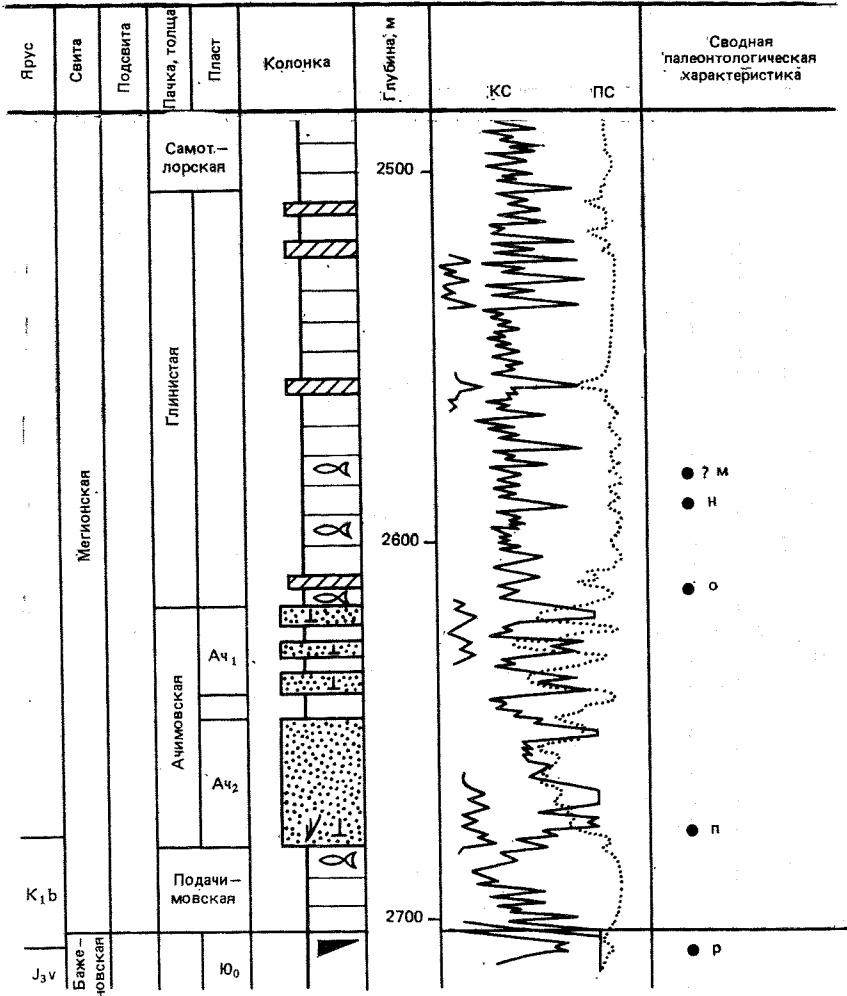


Рис. 14. (Продолжение). Сводный биостратиграфический разрез мегнионской свиты района Покачевской площади, скв. 41. Нижневартовский район. Составил Ю. В. Брадучан.

Усл. обозначения см. на рис. 12. *Aguilerella* sp.—K<sub>1</sub>v (a); *Cribrostomoides concavoides*—K<sub>1</sub>v—g (б); *Malletia taimyrica* Sanin—K<sub>1</sub>b—g<sub>1</sub> (в); *Temnoptychites* sp. juv.—K<sub>1</sub>v<sub>1</sub> (г); *Polyptychites* s. l.—K<sub>1</sub>v (д); *Aguilerella* sp.—?K<sub>1</sub>v (е); *Menjaites* sp. indet.—K<sub>1</sub>v<sub>1</sub><sup>1</sup> (скопление) (ж); *Temnoptychites* sp. juv.—K<sub>1</sub>v<sub>1</sub><sup>1</sup> (з); *Trochammina sibirica*—*T. gyroidiniiformis*—K<sub>1</sub>v<sub>1</sub> (u); *Neotollia* sp. indet.—K<sub>1</sub>v<sub>1</sub><sup>1</sup> (к); *Temnoptychites* sp. juv. (cf. *T. simplicissimus* Bodul.)—K<sub>1</sub>v<sub>1</sub> (л); ? *Neotollia* sp. indet.—K<sub>1</sub>v<sub>1</sub><sup>1</sup>? (м); *Neotollia* sp. indet.—K<sub>1</sub>v<sub>1</sub><sup>1</sup> (н); *Temnoptychites* sp. indet. cf. *T. hoplitoides* (Nik.)—K<sub>1</sub>v<sub>1</sub><sup>1</sup> (о); *Surites* (?*Tollia*) sp. juv.—K<sub>1</sub>b (п); *Craspedites* sp.—J<sub>3</sub>v<sub>3</sub> (р)

ской свиты неясна, нет четких представлений о соотношении ее с вышележащими образованиями. Границы мегиионской свиты в изученных районах согласные [56].

Наиболее изучена свита в Широком Приобье, где она почти повсеместно имеет пятичленное деление (рис. 13). В составе свиты выделяются пласты БВ<sub>8</sub>—БВ<sub>12</sub>. Если стратотип свиты принят по Мегиионской скв. 1, то эталонным разрезом пластов служит Ватинская скв. 124 (см. рис. 13). В западном направлении пласты замещаются глинами, в результате чего расширяется стратиграфический диапазон глинистой толщи при одновременном сокращении ее мощности. Пласты БВ<sub>12</sub>—БВ<sub>11</sub> развиты только у восточной границы, к западу они довольно быстро замещаются и выделение их на Мегиионской, Ватинской площадях носит условный характер. Предполагается, что подошва БВ<sub>12</sub> близка границе куломзинской и тарской свит. Более распространенным по площади является пласт БВ<sub>10</sub>. Строение его линзообразное и прослеживается до центральной части Нижневартовского района. Венчает песчано-глинистую толщу пласт БВ<sub>8</sub>, который вблизи Ярсомовского прогиба также замещается глинами.

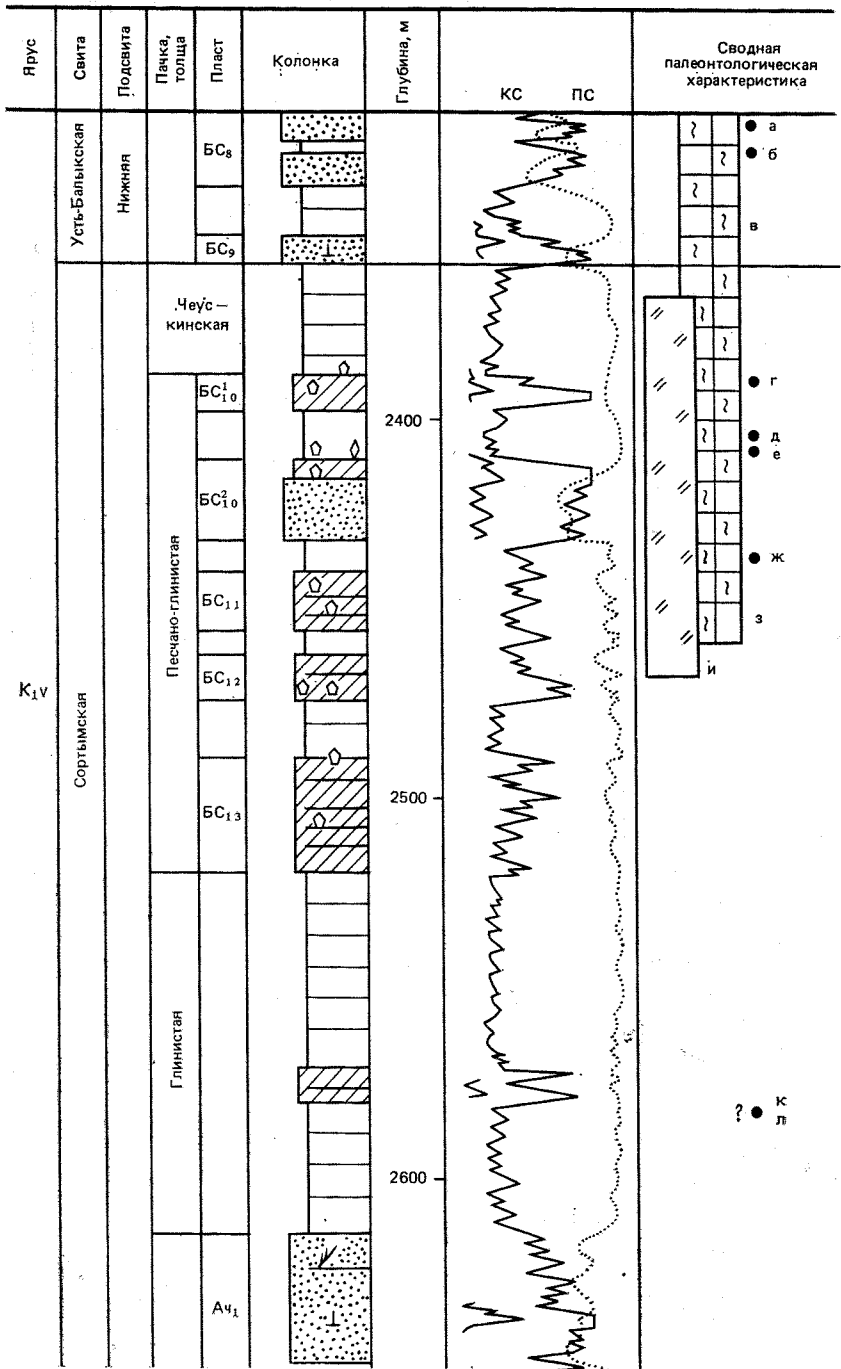
Завершает разрез свиты пачка аргиллитоподобных полосчатых глин с пластом песчаника на востоке, индексируемого БВ<sub>8</sub><sup>0</sup>. В настоящее время выяснилось, что стратиграфическое положение этих глин намного ниже чеускинской пачки Сургутского района, с которой они сопоставлялись. По предложению Г. С. Ясовича глины названы самотлорской пачкой.

Мощность мегиионской свиты изменяется в широких пределах. Так, на широте Среднего Приобья она составляет 450 м на востоке и 220 м на западе, где проведение кровли подразделения носит условный характер (рис. 14).

Возраст мегиионской свиты датируется как берриас—ранний валанжин, в районе Ярсомовского прогиба — только нижний валанжин.

В центральной части равнины на мегиионской, отчасти тарской свитах, залегает ванденская свита [11]. Она характеризуется чередованием зелено- и сероцветных глин с пластами песчаников и охватывает стратиграфический интервал от валанжина до баррема (?) включительно. По соотношению сероцветных глинистых прослоев, количеству песчаных пластов она подразделяется на две подсвиты: нижнюю и верхнюю. Наибольший интерес представляет нижняя подсвита, как наиболее насыщенная ископаемыми органическими остатками. Среди глинистых отложений выделяются две довольно устойчивые пачки, особенно в западной части распространения свиты (см. рис. 13 и 14).

Исходя из приведенных данных и учитывая палеонтологический материал более западных районов, можно утверждать, что нижневанденская подсвита охватывает более верхние слои нижней зоны нижнего валанжина.



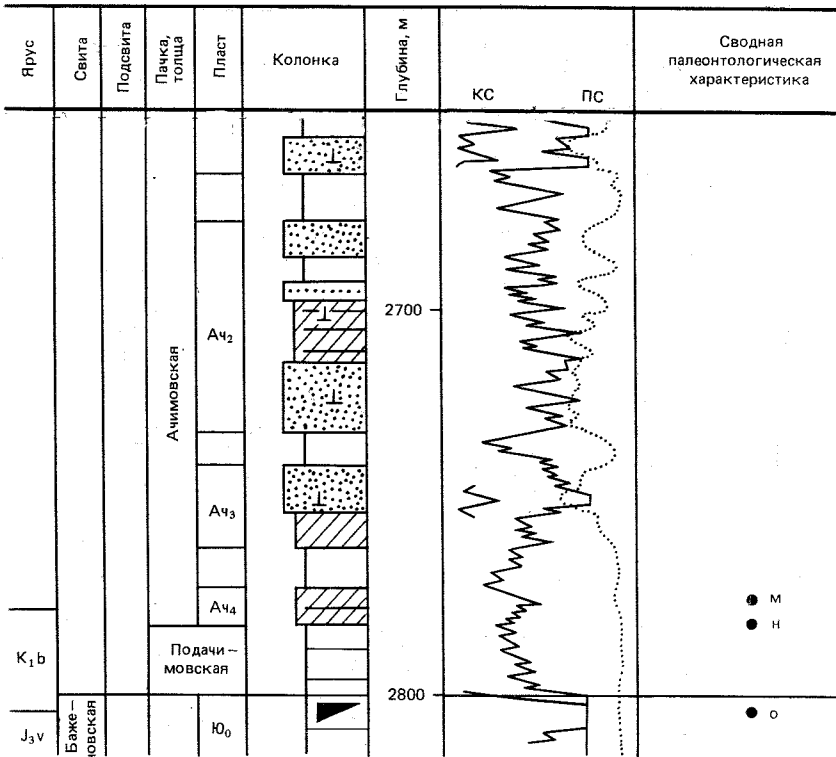
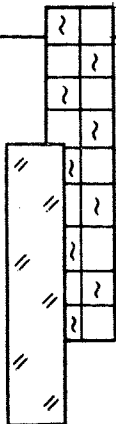
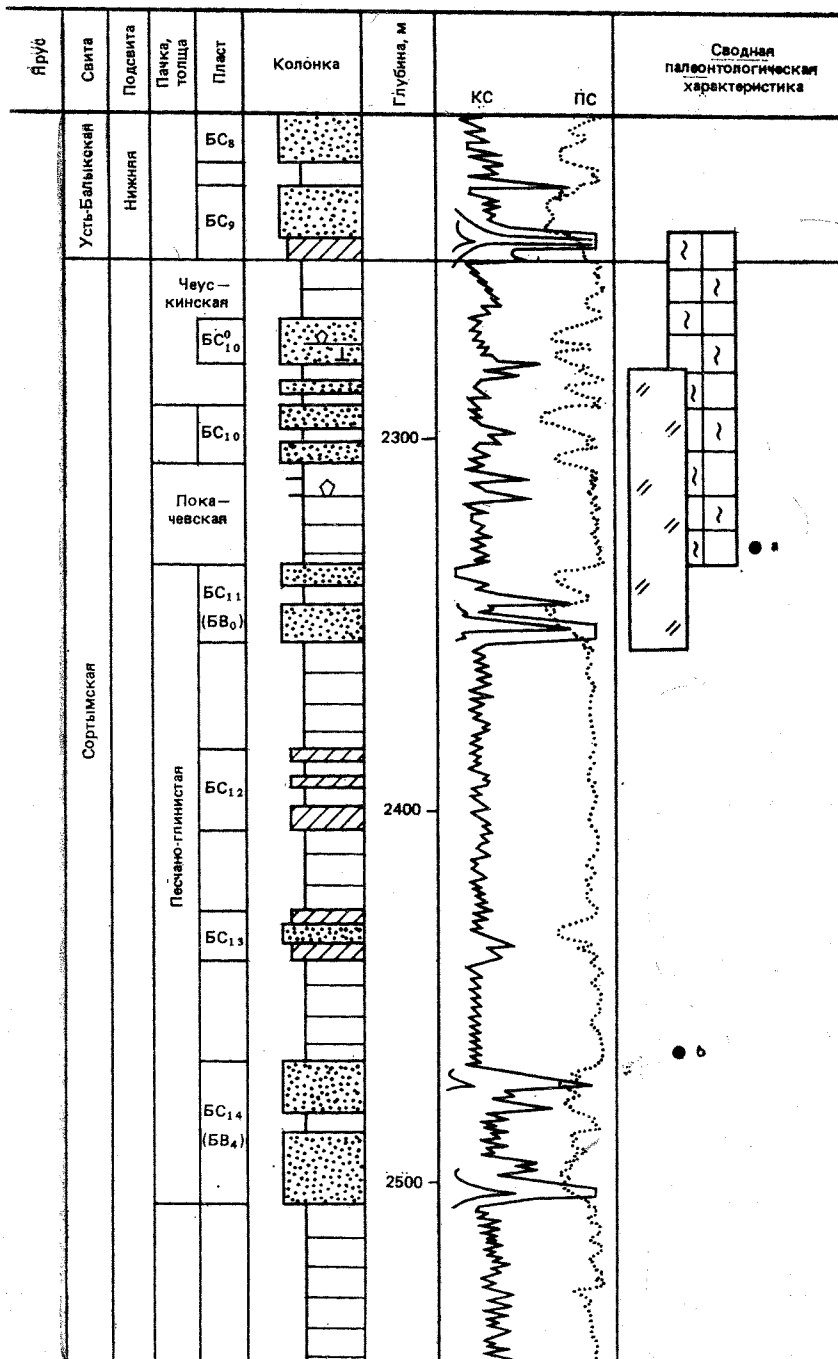


Рис. 15. Сводный биостратиграфический разрез сортымской свиты района Усть-Балыкской площади, скв. 540. Сургутский район. Составил Ю. В. Браду-чан.

Усл. обозначения см. на рис. 12. *Aguilerella anabarensis* (Krimh.) —  $K_{IV}$  (a); *Nuculoma variabilis* (Sow.) (б); *Cribrostamoides* ? *sinuosus* — *C. infracretaceous* —  $K_{IV}$ —g (в); *Polyptychites* sp. indet. —  $K_{IV}$  (z); *Siberiptychites* cf. *stubendorffi* (Schm.) —  $K_{IV}^1$  (д); *Malletia taimyrica* Sanin —  $K_{Ib}$ —g<sub>1</sub> (e); ? *Siberiptychites* sp. indet., ? *Astieriptychites* (? *Siberites*) sp. indet. —  $K_{IV}^1$  (ж); *Malletia taimyrica* Sanin —  $K_{Ib}$ —g<sub>1</sub> (з); *Trochammina sibirica* — *I. gyroidiniiformis* —  $K_{IV}^1$  (u); ? *Amundiptychites* sp. indet. (cf. *A. sachsi* Klim.) —  $K_{IV}^2$  (к); *Polyptychites* s. l. —  $K_{IV}$  (л); *Temnoptychites* sp., *Temnoptychites* sp. indet. —  $K_{IV}^1$  (м); *Bojarkia* sp. indet. —  $K_{Ib}$  (н); *Craspedites* ex gr. *mosquensis* Geras. —  $J_3V_3^2$  (o)

Стратиграфическим эквивалентом мегнионской свиты, нижней и отчасти верхневанденской подсвит является сортымская свита [68], переход к которой происходит на меридиане Ярсомовского прогиба, являющегося своеобразным рубежом для неокомских отложений. Здесь наращивается стратиграфический объем баженовской свиты за счет берриасского яруса и соответственно происходит омоложение вышележащих свит в их нижней части. Наиболее хорошо изучена свита в центральной части Сургутского свода в стратотипическом разрезе. Выше ачимовских пес-



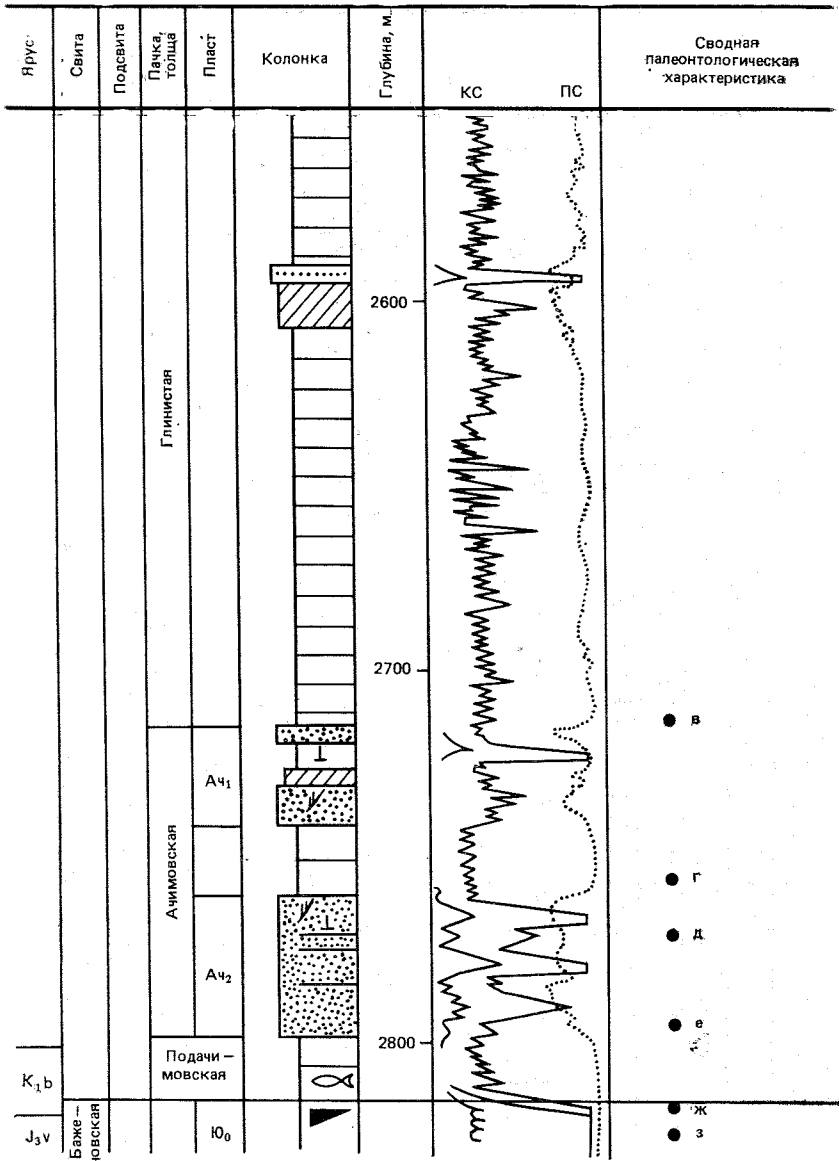


Рис. 16. Сводный биостратиграфический разрез сортымской свиты района Восточно-Сургутской площади, скв. 197. Сургутский район. Составил Ю. В. Брадучан.

Усл. обозначения см. на рис. 12. *Malletia* cf. *taimyrica* Sanin — K<sub>1</sub>b—g<sub>1</sub> (a); *Temnoptychites* sp. — K<sub>1</sub>v<sub>1</sub><sup>1</sup> (б); *Temnoptychites* sp. indet. — K<sub>1</sub>v<sub>1</sub><sup>1</sup> (в); *Temnoptychites* sp. — K<sub>1</sub>v<sub>1</sub><sup>1</sup> (г); *Temnoptychites* sp. indet. juv. — K<sub>1</sub>v<sub>1</sub><sup>1</sup> (д); *Temnoptychites* ex gr. *triptychiformis* (Nik.) — K<sub>1</sub>v<sub>1</sub><sup>1</sup> (е); *Buchia okensis* (Pavl.) — B. *volgensis* (Lah.) — K<sub>1</sub>b (ж); B. *russiensis* (Pavl.), B. *obliqua* (Tullb.) — J<sub>3</sub>v<sub>3</sub> (з)



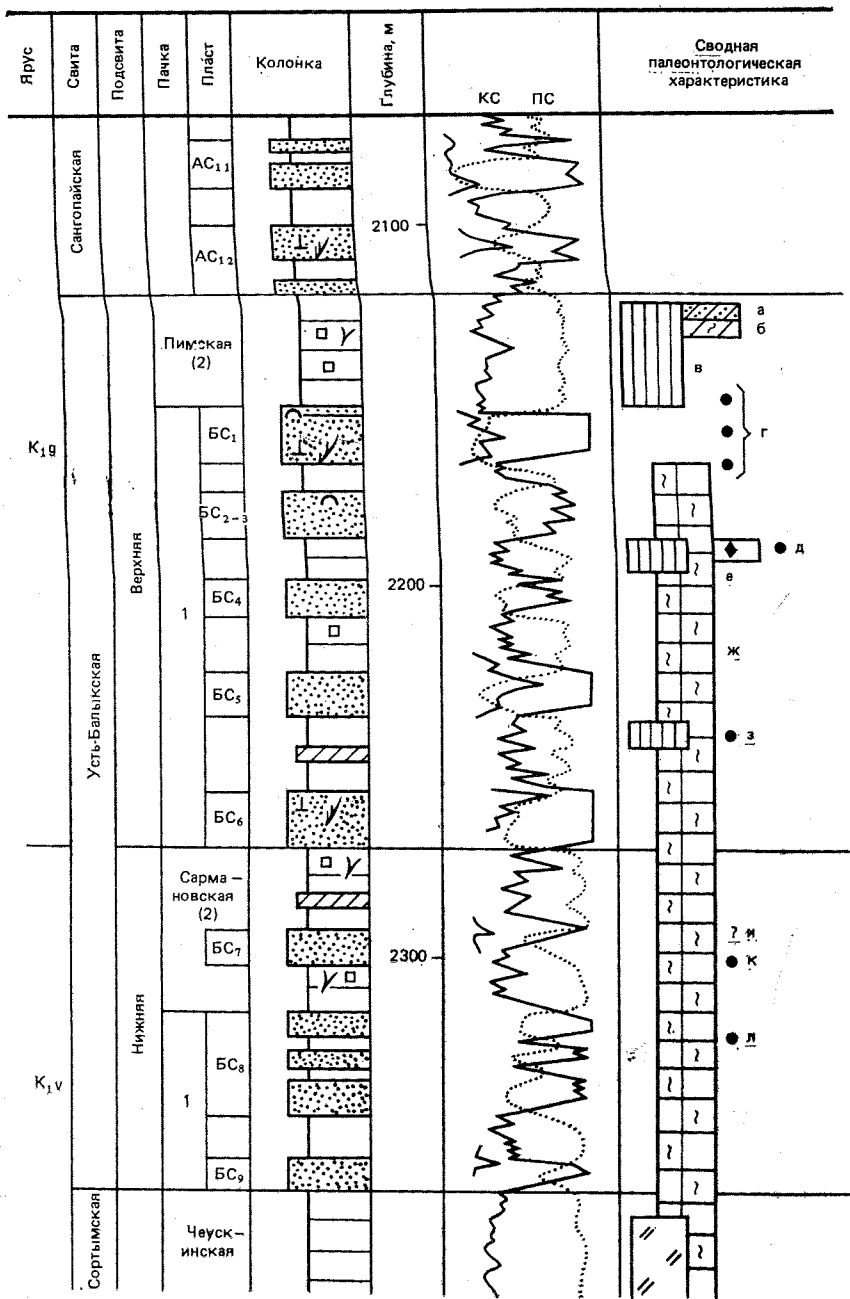


Рис. 17. Сводный биостратиграфический разрез усть-балыкской свиты района Усть-Балыкской площади, скв. 540. Сургутский район. Составил Ю. В. Брадучан.

чаников располагается мощная глинистая толща, сложенная глинами аргиллитоподобными темно-серыми, тонкоотмученными, с раковистым и плоско-раковистым изломами, с линзовидной слоистостью, с крупными пачками сильно слюдистых разностей. Слюдистые глины имеют ступенчатый излом и раскалываются под разными углами от 10 до 75°. Естественным верхним рубежом глинистой толщи является подошва чеускинской пачки, сложенной линзовидными аргиллитоподобными темно-серыми глинами. Чеускинская пачка завершает сортымскую свиту.

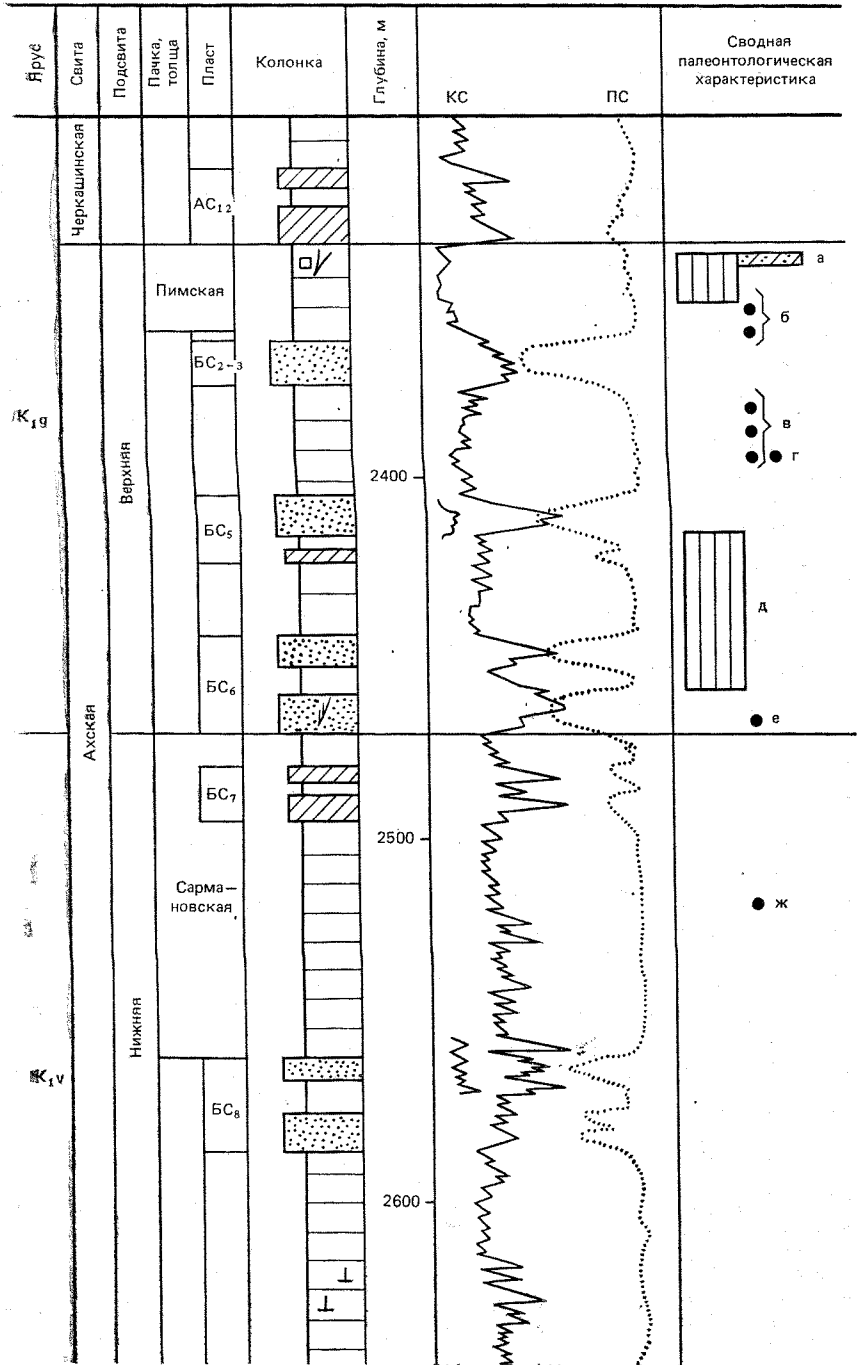
На фоне глинистой толщи в ее верхней части локализуется серия песчаных пластов, которые вместе с вмещающими их глинами образуют своеобразные песчано-глинистые толщи. Элементы этих толщ — пласты трудно сопоставимы друг с другом. Это иллюстрируется тем, что только для Сургутского района, где изученность наиболее высокая, принято три типовых разреза по выделению пластов. Такая дробность обусловлена тем, что в пластах обнаружены многочисленные залежи жидких углеводородов, требующих индексации. Допущение ошибки в сопоставлении велико, а в процессе уточнения переиндексации пластов практически невозможно.

Первым и, следовательно, стратотипическим, является разрез Усть-Балыкской скв. 540 (рис. 15). По мере разбуривания территории Сургутского района возникли разногласия в корреляции пластов по смежным площадям со стратотипом и поэтому в 1986 г. на совещании в г. Тюмени был принят еще один гипостратотипический (дополнительный) разрез только для пластов сортымской свиты по Восточно-Сургутской скв. 197 (рис. 16). Следует подчеркнуть, что рассматриваемые два эталона принадлежат разным песчано-глинистым толщам, между которыми существует глинистый барьер. Гипостратотип располагается восточнее основного разреза и его пласты, по мнению большинства исследователей, более достоверно увязаны с пластами Нижневартовского района. По сочленению стратотипического и дополнительного эталонов существуют разные мнения. Для северной части Сургутского и южной части Пурпейского районов принят гипостратотипический разрез Муравленковской скв. 216, где выделено три крупных пласта БС<sub>10</sub>—БС<sub>12</sub>.

Стратотипом пластов БП верхов сортымской свиты Пурпейского района приняты разрезы Губкинских скв. 38/41, а дополнительным — Восточно-Таркосалинской скв. 72.

---

Усл. обозначения см. на рис. 12. *Lenticulina prima* — K<sub>1g</sub> (a); *Hyperammina aptica* — *Saccamina callosa* — K<sub>1g</sub> (б); *Trochammina gyroidiniiformis* — *Acruliammina pseudolonga* — K<sub>1g</sub> (в); *Buchia sublaevis* (Keys.) — K<sub>1v2</sub>—g<sub>1</sub> (г); *Buchia* aff. *keyserlingi* (Trautsch.) — K<sub>1g1</sub> (д); *Cribrostomoides concavooides* — K<sub>1v</sub>—g (e); *Cribrostomoides? sinuosus* — *C. infracretaceous* — K<sub>1v</sub>—g (ж); *Simbirskitidae* — K<sub>1g1</sub> (з); ? *Aguilerella* sp. indet. — ? K<sub>1v</sub> (и); *Malletia taimyrica* Sanin — K<sub>1b</sub>—g<sub>1</sub> (к); *Aguilerella anabarensis* (Krimh.) — K<sub>1v</sub> (л)



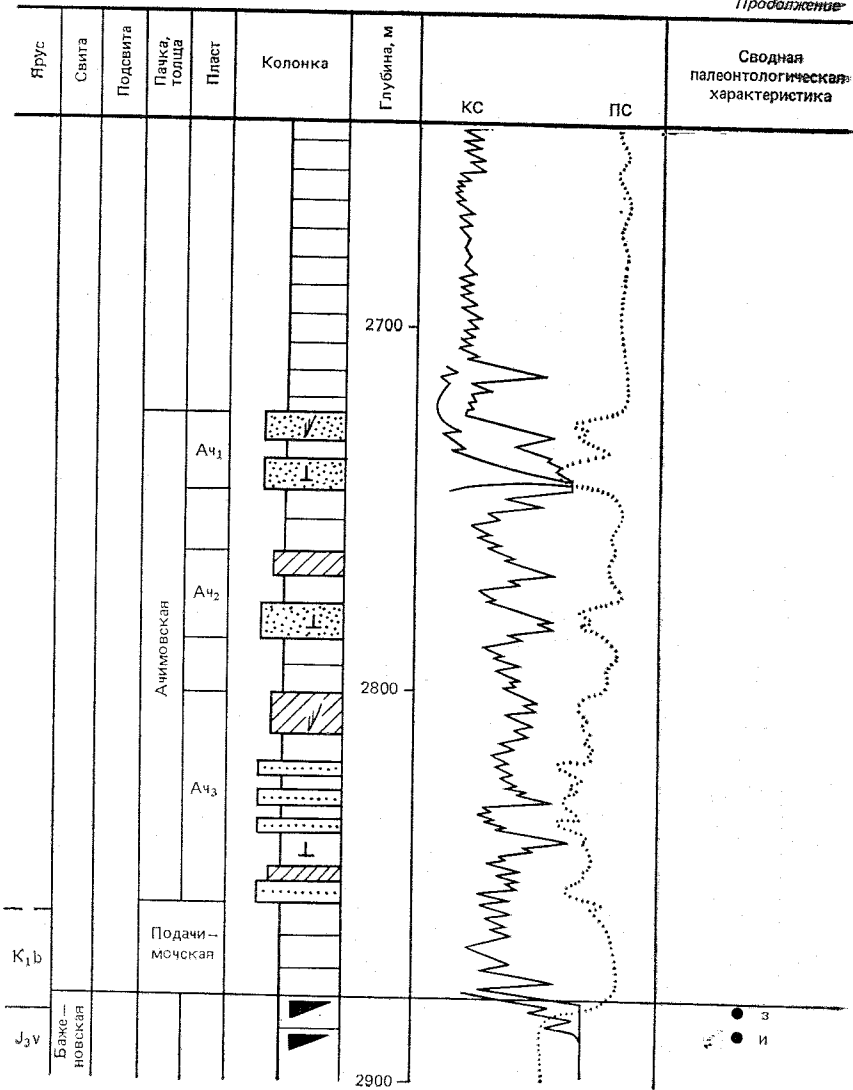


Рис. 18. Сводный биостратиграфический разрез усть-балыкской свиты района Усть-Балыкской площади, скв. 540. Сургутский район. Составил Ю. В. Брадучан.

Усл. обозначения см. на рис. 12. *Lenticulina prima* — K<sub>1g</sub> (a); *Buchia sublaevis* (Key s.) — K<sub>1v2g1</sub> (б); *Buchia sublaevis* (Key s.) — K<sub>1v2-g1</sub> (в); *Buchia* aff. *keyserlingi* (Tr.) — K<sub>1g1</sub> (г); *Trochammina gyroidiniiformis* — *Acruliammina pseudolonga* — K<sub>1g</sub> (д); *Homolosomes* sp. — K<sub>1g1</sub><sup>1</sup> (е); *Ammonites* валанжинского облика (ж); *Hectoroceras kochi* Spath. — K<sub>1b</sub> (з); *Craspedites* sp. indet. — J<sub>3v3</sub> (и)

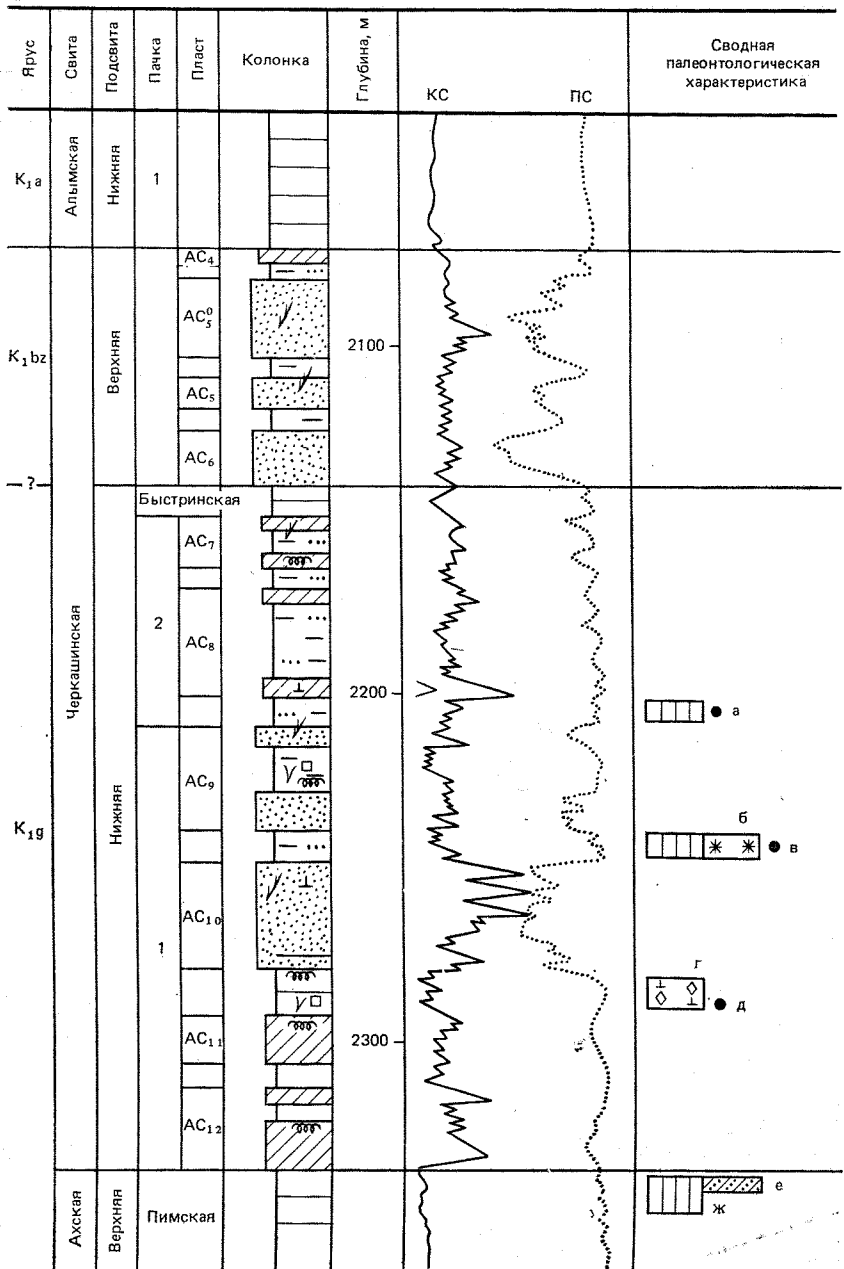


Рис. 19. Сводный биостратиграфический разрез черныашинской свиты района Салымской площади, скв. 128. Салымский район. Составил Ю. В. Брадучан.

Усл. обозначения см. на рис. 12. *Speetonicerias* sp. indet.— ?K<sub>1g</sub><sup>2</sup> (а); *Trocham-*

Для Уренгойского района (пласты БУ) стратотипом служит разрез Уренгойской скв. 17, а дополнительным — Усть-Ямсовейской скв. 5.

Между тремя районами принято следующее сопоставление пластов: БМ<sub>10</sub>-БП<sub>7</sub>-БУ<sub>10</sub>.

Мощность сортымской свиты изменяется в больших пределах. Средняя ее мощность в Сургутском районе около 400 м, а в Уренгойском достигает 900 м. Стратиграфический объем свиты определяется палеонтологическими данными и положением в разрезе.

Севернее Сибирских Увалов облик свиты меняется. Здесь резко увеличено число песчаных пластов, глины часто алевроитовые, появляются разнообразные типы слоистости. Все породы обогащены обугленным растительным детритом и атритом. Поэтому выделение свиты носит условный характер. Территория развития свиты в южных районах равнины пока неясна.

В центральной части равнины на сортымской свите залегает сероцветная, ритмично построенная толща пород с преобладанием песчаников, сформировавшаяся в мелководно-морских условиях. Эту часть разреза в 1969 г. было предложено выделить в самостоятельную усть-балыкскую свиту со стратотипом в разрезе скв. 72 Усть-Балыкской площади [9]. В действующей стратиграфической схеме она отнесена к нижневартовской подсвите, хотя слагающие ее породы не имеют никакого сходства с вартовскими, преимущественно континентальными зеленоцветными отложениями.

Песчаники, слагающие большую часть усть-балыкской свиты, серые до светло-серых, средне-мелкозернистые, полимиктовые, со значительным содержанием обломков эффузивных пород, поэтому имеют во многих случаях зеленоватый оттенок разной интенсивности. Породы массивные и слоистые с преобладанием волнистой слоистости, подчеркнутой глинистым материалом и обугленным растительным атритом, реже детритом.

В составе свиты выделяются две устойчивые глинистые пачки. Верхняя из них, венчающая подразделение, названа пимской и представлена глинами аргиллитоподобными серыми до темно-серых, серповидно-оскольчатыми, с коричневатыми каемками просвечивания, мощностью до 30 м. В восточной части в ней появляются прослой песчаников. Пимская пачка является региональным репером и одновременно рубежом между группами пластов А и Б.

Ниже пимской пачки выделяется серия песчаных пластов с БС<sub>1</sub> по БС<sub>6</sub> включительно. Они разделены между собой довольно устойчивыми глинистыми пропластками.

---

*minajusca* — K<sub>1g</sub> (б); *Ammonites* (? *Homolosomes*) sp. indet. — K<sub>1g</sub><sup>1</sup> (в); *Kutsevella difficilis* — K<sub>1g</sub> (г); *Speetonicerias* sp. indet. — K<sub>1g</sub><sup>2</sup> (д); *Lenticulina prima* — K<sub>1g</sub> (е); *Trochammina gyroidiniformis* — *AcruIAMmina pseudolonga* — K<sub>1g</sub> (ж)

Под БС<sub>6</sub> обособляется еще одна глинистая пачка — сармановская, внутри которой почти по всей территории ее развития отмечается пласт БС<sub>7</sub>.

Под сармановской пачкой локализуются еще два пласта — БС<sub>8</sub> и БС<sub>9</sub>, которые вместе с перекрывающими их глинами образуют нижнюю подсвиту, а пласты БС<sub>1</sub>—БС<sub>6</sub> с пимской пачкой — верхнюю (рис. 17). В четырех пунктах в кровле отдельных пластов (БС<sub>1</sub>, БС<sub>2-3</sub> и БС<sub>8</sub>) отмечаются небольшие прослои (до 5 см мощности) зеленоцветных комковатых глин.

Свита развита к югу от Сибирских Увалов, захватывая Сургутский свод, большую часть Юганской впадины, к югу заметно сужается и, возможно, распространяется до широты г. Тобольска. Мощность усть-балыкской свиты от 190 до 250 м с общей тенденцией увеличения в западном направлении, где она является эквивалентом верхов ахской свиты.

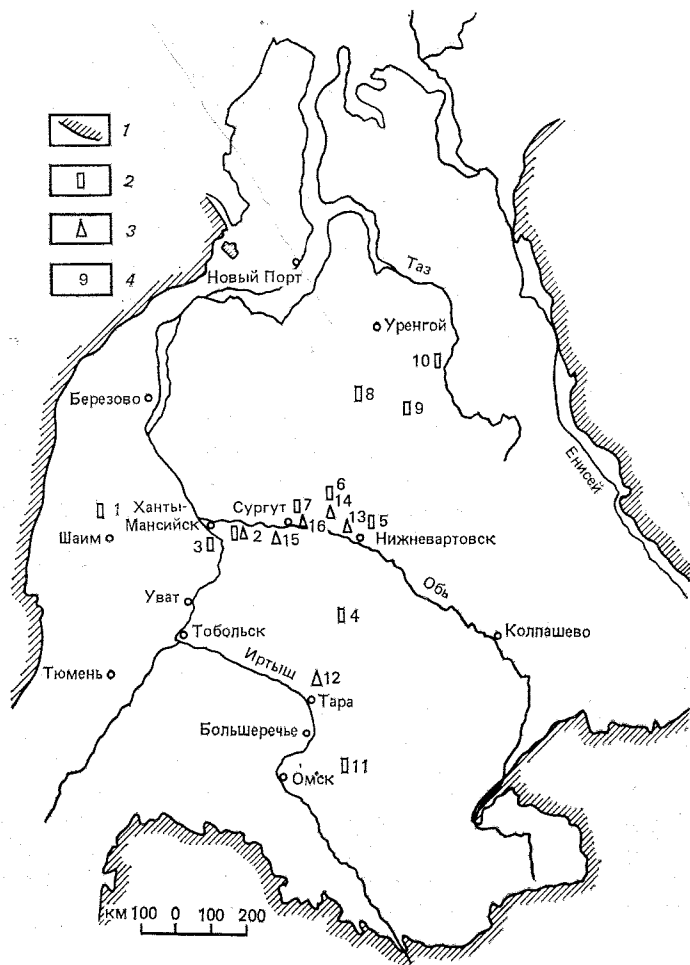
Возрастное положение определяется единичными находками аммонитов, двустворок и комплексами фораминифер (см. рис. 17). Исходя из приведенных данных и учитывая, что в перекрывающих отложениях встречается фауна верхней части нижнего готерива, стратиграфический объем усть-балыкской свиты охватывает верхи валанжина — частично нижний готерив.

К западу вся эта существенно песчаная толща глинизируется, песчаники замещаются глинами, а оставшиеся приобретают линзообразный характер. Приблизительно такой же процесс отмечается и для нижележащих отложений. В результате их слияния образуется ахская свита со стратотипом в Уватской опорной скважине (интервал 2100—2710 м). Развита она на огромной территории от северной оконечности п-ова Ямал до южного обрамления в виде узкой меридиональной полосы. Ахская свита согласно залегает на баженовской, тутлеймской и даниловской свитах, а в пределах Туринского выступа — непосредственно на породах фундамента. Верхний контакт плавный, постепенный. Обе границы ее скользящие.

Ахская свита представлена глинами аргиллитоподобными темно-серыми, реже серыми, как правило, тонкоотмученными, однородными с прослоями глинистых известняков, реже сидеритов, мощностью до 1 м [40]. Наибольший фактический материал по строению свиты имеется по Салымскому району, где пробурен практически непрерывный ряд скважин, позволяющих проследить отдельные элементы сургутских разрезов и тем самым более надежно сопоставить и увязать различные стратиграфические подразделения (рис. 18).

На ахской свите залегает черкашинская, представленная песчаниками, алевролитами и глинами, образующими очень сложные сочетания, с общим преобладанием алевроито-песчаных пород, среди которых выделяются пласты с АС<sub>4</sub> по АС<sub>12</sub> включительно [10].

Стратотип в разрезе Уватской опорной скважины — в интервале 1948—2100 м. Свита развита в относительно узкой мери-



**Рис. 20.** Схема расположения основных биостратиграфических разрезов верхнеюрских и неокомских отложений Западно-Сибирской равнины. Составил Ю. В. Брадучан.

1 — обрамление; 2 — верхнеюрские разрезы; 3 — неокомские разрезы, 4 — площади: 1 — Даниловская, 2 — Салымская, 3 — Эргинская, 4 — Первомайская, 5 — Самотлорская, 6 — Ватьеганская, 7 — Федоровская, 8 — Губкинская, 9 — Харампурская, 10 — Усть-Часельская, 11 — Татарская, 12 — Ивановская, 13 — Ватинская, 14 — Покачевская, 15 — Усть-Балыкская, 16 — Восточно-Сургутская

диональной полосе от широты Сибирских Увалов, через Салымский район, до широты г. Тобольска. Повсеместно перекрывается алымской свитой, контакт с которой согласный.

Наибольший фактический материал в настоящее время имеется по Салымскому району (рис. 19), где свита делится на две подсвиты: нижнюю — глинисто-песчаную и верхнюю — песчаную.



Облик пород для всей свиты одинаков, но концентрация их в тех или иных частях подразделения разная. Во многих случаях породы, слагающие свиту, несут признаки оползания, особенно это проявляется в нижней части на Приобской площади, где угол наклона слоистости достигает 30—40°, и вся она гофрирована.

Мощность свиты изменяется в больших пределах — от 130 до 550 м, с увеличением в западном направлении. При этом отмечается следующая особенность: чем больше мощность ахской свиты, тем меньше черкашинской, и наоборот.

Стратиграфический диапазон свиты определяется находками аммонитов, микрофаунистических и спорово-пыльцевых комплексов.

В западном направлении черкашинская свита замещается глинами и они, сливаясь с ахской и алымской свитами, образуют единую серию глинистых образований берриас—раннеаптского возраста с относительно условным делением.

Дифференциация неокома происходит в приуральской части равнины, где отдельные стратиграфические подразделения хорошо прослеживаются, имеют свою палеонтологическую характеристику, многократно изложенную в многочисленных публикациях. Некоторые уточнения диагностики тех или иных органических ископаемых остатков, приведенные в атласе, не вносят принципиальных изменений в сложившиеся представления и поэтому в данном очерке не рассматриваются.

Сравнивая поздние юрские и неокомские образования (рис. 20), следует отметить, что и для тех и других свойственно явление недокомпенсации, но если в позднеюрское время все осадки формировались в таких условиях в центральных частях седиментационного бассейна, то в неокоме это свойственно только нижним слоям, а верхние являлись как бы залечивающими, компенсирующими прогибание.

# Палеонтологическое описание

## ТИП MOLLUSCA

КЛАСС BIVALVIA Linnaeus, 1758

ПОДКЛАСС PALAEOGASTROPODA Korobkov, 1954

ОТРЯД NUCULOIDA Dall, 1889

НАДСЕМЕЙСТВО NUCULOIDEA Gray, 1824

Семейство NUCULIDAE Gray, 1824

РОД *NUCULOMA* Cossmann, 1907

*Nuculoma variabilis* (Sowerby)

Табл. 1, фиг. 5—15

Синонимика: см. Лебедев, 1981, с. 105.

Распространение и возраст. Верхний бат — нижний готерив севера Средней Сибири и Новой Земли, келловей — нижний готерив Западной Сибири, бат—портланд Западной Европы, верхний бат—келловей Индии.

Местонахождение. Площади: Александровская, скв. 2, инт. 2496—2502 м, основание куломзинской свиты; Нарымская, скв. 4, гл. 2445,9 м, куломзинская свита; Ермаковская, скв. 3, гл. 920 м, сиговская свита; Белоярская, скв. 1, инт. 2217—2232 м, марьяновская свита; Завьяловская, скв. 4, инт. 2774,0—2777,7 м, васюганская свита; профиль Шокурья-Саранпаульский, скв. 5, инт. 135,0—140,8 м; скв. 1, инт. 154—160,0 м, лопсинская свита.

РОД *DACRYOMYA* Agassiz, 1840

*Dacryomya chetaensis* Sanin

Табл. 2, фиг. 1—13

Синонимика: см. Лебедев, 1981, с. 107.

Распространение и возраст. Волжский ярус — валанжин Хатангской впадины, верхний келловей—валанжин Западной Сибири.

Местонахождение. Профиль Шокурья-Саранпаульский, скв. 2, инт. 116,0—123,0 м, федоровская свита; площади: Ларлом-

кинская, скв. 1, инт. 2101,0—2109,0 м, тарская свита; Кыксинская, скв. 1, инт. 1045—1065 м; скв. 3, инт. 1033—1039 м, яновская свита; Елогуйская, скв. 1, гл. 1190 м, елогуйская свита; Ермаковская, скв. 1, инт. 760—766,5 м, сиговская свита; Нижневартовская, скв. 22, инт. 2550—2558 м, васюганская свита; Татарская, скв. 2, инт. 2322—2327 м, куломзинская свита, инт. 2465—2467 м, марьяновская свита; Ушаковская, скв. 2, инт. 2646—2657 м, куломзинская свита. Представители вида встречены в средней части нижневартовской подсвиты Вынгинской и Вэнгапурской площадей.

НАДСЕМЕЙСТВО MALLETIOIDAE H. Adams  
et A. Adams, 1858

Семейство MALLETIIDAE H. Adams  
et A. Adams, 1858

РОД *MALLETIA* Desmoulin, 1852

*Malletia megionica* A. Lebedev

Табл. 4, фиг. 7—17

*Malletia megionica*: Лебедев, 1981, с. 114, табл. 11, фиг. 5, 6.

Распространение и возраст. Келловой — (?) нижней оксфорд Западной Сибири.

Местонахождение. Площади: Айсазская, скв. 1, инт. 2794,5—2798,9 м; Восточно-Моисеевская, скв. 3, инт. 2787—2794,3 м; Нововасильевская, скв. 1, инт. 2447,0—2453 м; Западно-Кельветская, скв. 66, инт. 2452,5—2456,5 м; Мегионская, скв. 1, инт. 2519—2527 м; Нижневартовская, скв. 22, инт. 2550—2558 м, васюганская свита.

*Malletia elongata* Sanin et A. Lebedev

Табл. 4, фиг. 2, 3

*Malletia elongata*: Санин, Лебедев, 1981, с. 111, табл. 11, фиг. 3а, 3б.

Распространение и возраст. Верхний валанжин (?) — нижний готерив Западной Сибири.

Местонахождение. Площади: Кедровская, скв. 33, инт. 2147—2156 м, основание ванденской свиты; Саргатская, скв. 3, инт. 2186—2192 м, куломзинская свита. Профиль Медведовский, скв. 21, инт. 815—821 м, верхняя часть ахской свиты.

*Malletia taimyrica* S a n i n

Табл. 3, фиг. 1—3, 5—19

Синонимика: см. Лебедев, 1981, с. 109.

Распространение и возраст. Берриас — нижний го-терив севера Средней и Западной Сибири.

Местонахождение. Площади: Кочетская, скв. 1, инт. 2106,4—2110,9 м, тарская свита; Устьильгинская, скв. 1, инт. 2149,3—2155,3 м, куломзинская свита; Средневасюганская, скв. 5, инт. 2067—2073 м; Кулайская, скв. 3, инт. 2012—2018 м, тарская свита; Нарымская, скв. 2, инт. 2292—2298 м; Колпашевская, скв. 2, гл. 2209 м; Устьильгинская, скв. 2, инт. 2123,3—2130,6 м; Татарская, скв. 4, инт. 2417—2422 м; Соболиная, скв. 172, инт. 2264,2—2270,2 м, куломзинская свита; Чупальская, скв. 58, инт. 2964,0—2968,0 м; Ушаковская, скв. 2, инт. 2647—2657 м, куломзинская свита; Карабашская, скв. 3, инт. 1656—1659,8 м, ахская свита; Аганская, скв. 8, инт. 2245—2248,8 м; Покачевская, скв. 44, инт. 2282—2288 м; Тайбинская, скв. 76, инт. 2316—2349 м, низы вартовской свиты; Вэганякутинская, скв. 123, инт. 2405—2417 м; Малобалакская (Майская), скв. 22, инт. 2526—2534 м; Нятлонганская, скв. 151, инт. 2669—2676 м; Тепловская, скв. 42, инт. 2435,5—2439 м, верхняя часть мегионской свиты.

*Malletia* spp. indet.

Табл. 3, фиг. 4; табл. 4, фиг. 4—6

Фрагменты ядер правых и левых створок. Удлиненно-овальная раковина с округло-широкой передней и удлиненно-округленной задней частями позволяют установить принадлежность этих двустворок к роду *Malletia*.

Местонахождение. Площади: Ракитинская, скв. 4, инт. 2452,6—2454,5 м; Южно-Матюшинская, скв. 41, инт. 2591,0—2596,6 м (4,1), баженовская свита; Береговая, скв. 2, инт. 3135—3150 м (9,1), дерябинская свита; Глуховская, скв. 4, инт. 3018—3019 м (ср. к), васюганская свита.

РОД *TAIMYRODON* S a n i n, 1973

*Taimyrodon borissiakii* S a n i n

Табл. 1, фиг. 1—4

Синонимика: см. Лебедев, 1961, с. 116.

Распространение и возраст. Берриас и нижний валанжин севера Средней и Западной Сибири.

Местонахождение. Площади: Кулайская, скв. 3, инт. 2012,2—2018 м, тарская свита; Покровская, скв. 3, инт. 1423,7—1431,0 м, ахская свита; Лодочная, скв. 1, инт. 2760—2766 м (2,8), нижнехетская свита; Похромская, скв. 79, инт. 1410—1416 м, низы алясовской свиты; Тобольская, скв. 1, гл. 1847 м, средняя часть ахской свиты.

НАДСЕМЕЙСТВО NUCULANOIDEA H. Adams  
et A. Adams, 1858

Семейство NUCULANIDAE H. Adams et A. Adams, 1858

РОД *NUCULANA* Link, 1807

ПОДРОД *JUPITERIA* Bellardi, 1875

*Nuculana (Jupiteria) subrecurva* (Phillips)

Табл. 4, фиг. 1

Синонимика: см. Лебедев, 1981, с. 117.

Распространение и возраст. Берриас—готерив севера Средней и Западной Сибири.

Местонахождение. Площади: Татарская, скв. 2, инт. 2322—2327 м, куломзинская свита; мегионская свита Сургутского и средняя часть ахской свиты Салымского района.

ПОДКЛАСС PTERIOMORPHA Beurlen, 1944

ОТРЯД ARCOIDA Lamarck, 1871

НАДСЕМЕЙСТВО ARCACEA Lamarck, 1809

Семейство CRAMMATODONTIDAE Meek et Hayden, 1864

Подсемейство CRAMMATODONTINAE Brause, 1942

РОД *GRAMMATODON* Meek et Hayden, 1861

*Grammatodon lopsiensis* Sanin

Табл. 5, фиг. 7—12

*Grammatodon lopsiensis*: Санин и др., 1984, с. 76, табл. XIII, фиг. 1—4.

Распространение и возраст. Верхний кимеридж — волжский ярус, нижний подъярус восточного склона, Приполярного Зауралья и в Западной Сибири.

Местонахождение. Площади: Нижнебайхская, скв. 1, инт. 158—165 м, Суходудинская, скв. 3, инт. 1108—1153 м, янов-станская свита; Монсеевская, скв. 1, инт. 2380,8—2388,1 м, георгиевская свита; Южно-Чулымская, скв. 1, инт. 1144,4—1149,7 м, марьяновская свита; профиль Щокурья-Саранпаульский, скв. 5, инт. 84,0—88,0 м, федоровская свита, инт. 135,0—140,8 м, лопсинская свита.

РОД *COSMETODON* Branson, 1942

*Cosmetodon* cf. *bojarkensis* Sanin

Табл. 5, фиг. 1—3

Имеется одно ядро правой и два ядра левых створок, которые скошенностью раковины и округленностью заднего края напоминают *C. bojarkensis* Sanin [61, 1984, с. 85, табл. XV, фиг. 1—8]. Сохранность материала не позволяет точно установить видовую принадлежность.

Распространение и возраст. Нижний кимеридж восточного склона Приполярного Зауралья, севера Средней и в Западной Сибири.

Местонахождение. Площадь Вяткинская, скв. 4, инт. 1760—1767 м, марьяновская свита, профиль Щокурья-Саранпаульский, скв. 5, инт. 135—140,8 м, лопсинская свита.

*Cosmetodon* sp. indet.

Табл. 5, фиг. 4—6

Ядра с вытянутыми в длину с сильно смещенными макушками.

Местонахождение. Площади: Катильгинская, скв. 96, инт. 2484,1—2490,2 м, васюганская свита; Елогуйская, скв. 1, инт. 1153—1163 м, елогуйская свита (основание).

## ОТРЯД ANISOMYARIA

НАДСЕМЕЙСТВО PECTINACEA Rafinesque, 1815

Семейство OXYTOMIDAE Ichikawa, 1958

РОД *ОХУТОМА* Meek, 1864

ПОДРОД *ОХУТОМА* s. str.

*Oxytoma (Oxytoma) expansa* (Phillips)

Табл. 6, фиг. 1—5

Синонимика: см. Захаров, 1966, с. 11; Турбина, 1978, с. 117, фиг. 1—5.

Распространение и возраст. Бат (?), келловой—оксфорд Англии, верхняя юра Северной Европы, портланд Гренландии, нижний кимеридж о. Шпицберген, нижний кимеридж—нижний валанжин севера Средней Сибири и верхний келловой—валанжин Западной Сибири.

Местонахождение. Площади: Чуэльская, скв. 7, инт. 1539—1543 м, алясовская свита (демнинская пачка); Раки-тинская, скв. 1, инт. 1560—1566 м, нижняя часть ахской свиты; Покровская, скв. 4, инт. 1587—1591 м, марьяновская свита; Омская, скв. 1, инт. 2384—2396 м, георгиевская свита, Татарская, скв. 1, инт. 2454—2460 м; Белоярская, скв. 1, инт. 2154—2160 м, марьяновская свита; Колпашевская скв. 2, инт. 2342,2—2350,5 м; Татарская, скв. 2, инт. 2465—2467,5 м, георгиевская свита; Белоярская, скв. 1, инт. 2252—2260 м, верхи наунакской свиты.

*Oxytoma (Oxytoma) articostata* Z a k h a r o v

Табл. 6, фиг. 11, 12

*Oxytoma (Oxytoma) articostata*: Захаров, 1966, с. 14, табл. 11, фиг. 2—4; Турбина, 1978, с. 117, фиг. 11, 12.

Распространение и возраст. Берриас—готерив севера Средней и в Западной Сибири.

Местонахождение. Площади: Нововасюганская, скв. 1, инт. 2203,8—2298 м, тарская свита; Колпашевская, скв. 2, гл. 2209 м; Колпашевская, скв. 3, инт. 2223—2228 м, куломзинская свита.

*Oxytoma (Oxytoma) neocomiana* G l a s u n o v a

Табл. 6, фиг. 13—18

*Oxytoma (Oxytoma) neocomiana*: Глазунова, 1960, с. 134, табл. XXXIII, фиг. 8а—б; Турбина, 1978, с. 118, фиг. 17.

Распространение и возраст. Берриас—нижний валанжин Западной Сибири.

Местонахождение. Площади: Завьяловская, скв. 5, инт. 2150—2154, тарская свита; Елогуйская, скв. 1, инт. 1156—1160 м, елогуйская свита; Ермаковская, скв. 1, инт. 721,8—728,3 м, яновстанская свита; Омская, скв. 1, инт. 2195—2198 м, куломзинская свита; Северо-Чупальская, скв. 32, инт. 2607—2617 м, сортымская свита; Устьбалыкская, скв. 89, гл. 2102,6 м, устьбалыкская свита.

*Oxytoma (Oxytoma) zakharovi* T u r b i n a

Табл. 6, фиг. 6—10

*Oxytoma (Oxytoma) zakharovi*: Турбина, 1978, с. 116, фиг. 6—10.

Распространение и возраст. Берриас—валанжин Западной Сибири.

Местонахождение. Площади: Березовская, скв. 2, инт. 1301,4—1311,4 м; Горная, скв. 323, инт. 1685—1691 м; Кугинская, скв. 161, инт. 1180—1185 м, алясовская свита; Викуловская, скв. 2, инт. 1917—1923 м; Вяткинская, скв. 4, инт. 1564—1571 м; Михайловская, скв. 1, инт. 1746—1749,7 м, ахская свита; Омская, скв. 1, инт. 2256—2267 м; Среднеvasюганская, скв. 1, инт. 2101—2105 м; Новологиновская, скв. 1, инт. 2328,8—2335,1 м, верхняя часть куломзинской свиты; Татарская, скв. 1, инт. 2391—2397 м, марьяновская свита; Ларьякская, скв. 1, инт. 2370—2376 м, тарская свита; Кыксинская, скв. 1, инт. 1045—1052 м, верхняя подсвита яновстанской свиты.

Р О Д *MELEAGRINELLA* Whitfield, 1885

*Meleagrinnella* cf. *decussata* (Münster)

Табл. 7, фиг. 10—16

Синонимика: см. Бодылевский, Шульгина, 1958, с. 50.

Эта форма представлена в коллекции пятью неполностью сохранившимися левыми и правыми створками. Наиболее характерные особенности — слабая выпуклость левой створки, редко расположенные радиальные ребра, единичное присутствие ребер второго порядка, а также отсутствие ребер третьего порядка.

Распространение и возраст. ? Келловей Западной Сибири; байос севера Средней Сибири и ФРГ.

Местонахождение. Площади: Завьяловская, скв. 4, инт. 2474—2477 м; Чагвинская, скв. 3, инт. 2759,5—3007,7 м; Ивановская, скв. 1, инт. 2584—2591 м, нижняя подсвита васюганской свиты.

*Meleagrinnella* ex. gr. *ovalis* (Phillips)

Табл. 8, фиг. 1—7; табл. 9, фиг. 4—9

В коллекции имеется массовое захоронение раковин разного возраста и различной степени сохранности. От типичных *M. ovalis* (Phill.) отличаются более редкими радиальными ребрами.

Местонахождение. Площади: Таловая, скв. 5, инт. 2936,7—2944,4 м; скв. 10, инт. 2892,6—2895,1 м; скв. 7, инт. 2865,1—2866,5 м; Мыльджинская, скв. 53, инт. 2423,2—2431,2 м; Южно-Фестивальная, скв. 1, инт. 2879—2886 м; Глуховская, скв. 4, инт. 3014,6—3018,0 м, васюганская свита.



*Meleagrinnella ovalis* (Phillips)

Табл. 7, фиг. 1—9

Синонимика: см. Захаров, 1966, с. 19.

Распространение и возраст. Верхний бат—оксфорд севера Средней Сибири; келловей—оксфорд Западной Сибири; оксфорд—кимеридж Северо-Востока СССР и Дальний Восток.

Местонахождение. Площади: Ларьковская, скв. 1, инт. 2679,5—2687,6 м, георгиевская свита; Кулайская, скв. 100, инт. 385—390 м; Матюшкинская, скв. 32, инт. 2649,5—2655 м; Черталинская, скв. 1, инт. 2839,6—2850,3 м; Глуховская, скв. 2, инт. 3002,5—3004,7 м; Таловая, скв. 5, инт. 2865,7—2895,1 м; инт. 2937,7—2949 м; скв. 9, инт. 2874,6—2885,8 м; Чворовая, скв. 1, инт. 2775,9—2782,9 м; Западно-Катыльгинская, скв. 109, инт. 2585,5—2592,3 м; скв. 107, инт. 2578,0—2584,0 м; Поселковая, скв. 2, инт. 2678,5—2691,5 м; Ломовая, скв. 206, инт. 2751,0—2758,0 м; Игольская, скв. 2, инт. 2797,3—2800,1 м, васюганская свита.

*Meleagrinnella subovalis* Zakharov

Табл. 10, фиг. 1—20

Синонимика: см. Захаров, 1966, с. 21.

Распространение и возраст. Кимеридж — ? нижний подъярус волжского яруса севера Средней Сибири, кимеридж — ? волжский ярус восточного склона Приполярного Зауралья, средний оксфорд—кимеридж Западной Сибири.

Местонахождение. Площади: Покровская, скв. 3, инт. 1538—1546 м; скв. 4, инт. 1576—1595 м; скв. 7, инт. 1583—1591 м; Тюменская, скв. 1, инт. 1400—1406 м; Татарская, скв. 1, инт. 2454—2460 м; Рявкинская, скв. 5, инт. 1350—1356 м, Кугинская, скв. 161, инт. 1202—1207 м; Белоярская, скв. 1, инт. 2217—2225 м, марьяновская свита; Максимкинярская, скв. 1, инт. 1983—1995 м, максимовская свита; Октябрьская, скв. 1, гл. 1415 м, марьяновская свита; Туруханская, скв. 16, инт. 138,8—144,3 м, яновстанская свита; профиль Щокурья-Саранпаульский, скв. 5, инт. 124—154 м, лопсинская свита.

*Meleagrinnella recta* Turbina

Табл. 10, фиг. 21, 22

*Meleagrinnella recta*: Турбина, 1984, с. 73, табл. XXIII, фиг. 7—8.

Распространение и возраст. Волжский ярус Западной Сибири.

Местонахождение. Площадь Мальцевская, скв. 2, инт. 1137—1147 м, марьяновская свита.

*Meleagrinnella lata* Turbina

Табл. 9, фиг. 1—3; табл. 10, фиг. 23—28

*Meleagrinnella lata*: Турбина, 1984, с. 12, табл. XXIII, фиг. 1—6.  
Распространение и возраст. Кимериджский и волжский ярусы Западной Сибири.

Местонахождение. Площади: Елогуйская, скв. 1, инт. 1225—1231 м, яновстанская свита; Вяткинская, скв. 1, инт. 1658,7—1678,8 м; скв. 2, инт. 1689—1723 м; скв. 4, инт. 1725—1732 м; Таборинская, скв. 1-ПР, инт. 1243—1256 м, марьяновская свита.

**Семейство ENTOLIIDAE** Когобков, 1960

РОД *ENTOLIUM* Meek, 1864

*Entolium demissum* (Phillips)

Табл. 11, фиг. 1—12

Синонимика: см. Захаров, 1966, с. 32.

Распространение и возраст. Вид очень широкого географического распространения в пределах юры и нижнего мела. В Сибири известен в юре и неокоме.

Местонахождение. Площади: Уватская, скв. 1, инт. 2137—2157,0 м, ахская свита; Устьбалькская, скв. 65, инт. 2170—2174 м, устьбалькская свита; Завьяловская, скв. 2, инт. 2100—2106 м; скв. 5, инт. 2150—2154 м; Межовская, скв. 1, инт. 2174—2186 м, тарская свита; Нарымская, скв. 2, инт. 2292,8—2298,2 м; Татарская, скв. 4, инт. 2401—2406 м, куломзинская свита; Большереченская, скв. 2, инт. 2442,9—2446,6 м, тарская свита; Заводоуковская, скв. 1, инт. 1240—1245 м, ахская свита; Суходудинская, скв. 1, инт. 916—928 м; скв. 2, инт. 915—921 м, нижнехетская свита; Мальцевская, скв. 2, инт. 1118—1126 м; Вяткинская, скв. 2, инт. 1669—1700 м, марьяновская свита; Нововасюганская, скв. 51, инт. 2552—2557 м, георгиевская свита; Тобольская, скв. 3, инт. 2219—2231 м, абалакская свита.

*Entolium nummulare* (Fischer de Waldheim)

Табл. 12, фиг. 1—12

Синонимика: см. Захаров, 1966, с. 35.

Распространение и возраст. Верхняя юра—неоком СССР: нижний волжский ярус — баррем Русской платформы, верхний волжский ярус — верхний валанжин восточного склона Приполярного Зауралья, оксфорд — нижний готерив Средней и Западной Сибири, нижний волжский ярус Восточной Гренландии, оксфорд — нижний волжский ярус о. Шпицберген.

Местонахождение. Профили: Шокурья-Саранпаульский, скв. 2, инт. 547—556 м, лопсинская свита; скв. 4, инт. 268—277 м; скв. 5, инт. 69—160 м, федоровская свита; площади: Березовская, скв. 10, инт. 1291—1292 м; Деминская, скв. 33, инт. 1346—1347,6 м; Мулымьинская (Шаимская), скв. 37, инт. 1492—1495 м; Деминская, скв. 33, инт. 1353—1356 м, вогулкинская толща; Большереченская, скв. 1, инт. 2442—2446 м; Колпашевская, скв. 2, гл. 2253 м; Татарская, скв. 1, инт. 2330—2335 м, куломзинская свита; скв. 1, инт. 2433—2460 м; Белоярская, скв. 1, инт. 2154,7—2160,7 м; Вяткинская, скв. 1, инт. 1668—1678 м, марьяновская свита; Елогуйская, скв. 1, инт. 1153—1159 м, елогуйская свита.

## Семейство PECTINIDAE Rafinesque, 1815

РОД *CAMPTONECTES* Meek, 1864

ПОДРОД *CAMPTONECTES* s. str.

*Camptonecten (Camptonectes) lens* Sowerby

Табл. 13, фиг. 7—12

Синонимика: см. Захаров, 1966, с. 42.

Распространение и возраст. Келловей—валанжин севера Средней Сибири, оксфорд—берриас Западной Сибири, келловей Русской равнины, Кавказа, верхний лейас—средняя юра Центральной Европы, бат—кимеридж Англии, верхняя юра Франции.

Местонахождение. Площади: Утешевская, скв. 4, инт. 1334—1341 м, марьяновская свита; Омская, скв. 1, гл. 2377 м, георгиевская свита; Татарская, скв. 1, инт. 2454—2460 м, марьяновская свита; Елогуйская, скв. 1, инт. 1153—1165 м, елогуйская свита; профиль Шокурья-Саранпаульский, скв. 5, инт. 104,6—109,7 м, федоровская свита.

ПОДРОД *MCLEARNIA* Crickmay, 1930 (=BOREIONECTES: Zakhafov, 1965)

*Camptonectes (Mclearnia) broenlundi* Raven

Табл. 13, фиг. 4—6

Синонимика: см. Захаров, 1966, с. 44.

Распространение и возраст. Оксфорд—нижний волжский ярус севера Средней Сибири; оксфорд Западной Сибири; верхний оксфорд—нижний кимеридж Гренландии.

Местонахождение. Площади: Ермаковская, скв. 3, гл. 930 м, сиговская свита; Майзасская, скв. 1, инт. 2512—2520 м, георгиевская свита.

*Camptonectes (Mclearnia) imperialis* (Keyserling)

Табл. 13, фиг. 1—3

Синонимика: см. Захаров, 1966, с. 53.

Распространение и возраст. Берриас — нижний готерив севера Средней Сибири; берриас — валанжин Западной Сибири.

Местонахождение. Площади: Кыксинская, скв. 1, инт. 1031—1038, яновстанская свита; Омская, скв. 1, инт. 2255—2269 м, куломзинская свита.

Подсемейство CHLAMYSINAE К о р о б к о в, 1960

РОД *CHLAMYS* Bolten, 1798

? *Chlamys* sp. indet.

Табл. 41, фиг. 2, 3

Фрагмент ядра левой створки с часто расположенными ребрами (фиг. 2) и отпечаток с широкими редкими ребрами (фиг. 3) условно отнесены к роду *Chlamys*.

Местонахождение. Площадь Южно-Чулымская, скв. 1, инт. 1205,4—1213,6 м (2,1 нк), марьяновская свита.

РОД *AEQUIPECTEN* Fischer, 1887

*Aequipecten* aff. *arachnoideus* (Sokolov et Bodylevsky)

Табл. 41, фиг. 1

Синонимика: см. «Баженовский горизонт...», 1986, с. 121.

Распространение и возраст. Волжский ярус, верхний подъярус Западной Сибири.

Местонахождение. Площади: Толпаровская, скв. 1, гл. 2602,9 м; Салымская, скв. 162, инт. 2995—3002 м, гл. 1,6 м (снизу); Нижнетабаганская, скв. 14, инт. 2632,0—2639,5 м, гл. 0,35 м (снизу), баженовская свита.

НАДСЕМЕЙСТВО PTERIODEA

Семейство BUCHIIDAE Со х, 1953

РОД *BUCHIA* Rouillier, 1845

*Buchia concentrica* (Sowerby)

Табл. 14, фиг. 2—5, 9—12

Синонимика: см. Захаров, 1981, с. 64.

Распространение и возраст. Оксфорд — нижний кимеридж севера Средней и Западной Сибири; оксфорд — ниж-

ний кимеридж СССР; верхний оксфорд — нижний кимеридж Восточной Гренландии, Западной и Арктической Канады, Аляски.

Местонахождение. Площади: Татарская, скв. 1, инт. 2454—2467 м; Викуловская, скв. 2, гл. 2053 м, марьяновская свита; Белоярская, скв. 1, инт. 2224—2232,8 м, контакт марьяновской и наунакской свит; Согринская, скв. 1, инт. 1845—1851 м, вогулкинская толща; Восточно-Моисеевская, скв. 3, инт. 2753,5—2764,7 м; Игольская, скв. 3, инт. 2747—2749 м, васюганская свита; Долганская, скв. 2, инт. 2071—2076 м, сиговская свита; Кандаковская, скв. 93, инт. 2190,9—2198,9 м; Северо-Сикторская, скв. 84, инт. 2741—2751 м; Устьильгинская, скв. 3, инт. 2266—2273 м, георгиевская свита; Устьчасельская, скв. 204, инт. 2732—2738 м (2,1), сиговская свита; профиль Щокурья-Саранпаульский, скв. 5, инт. 154,5—160 м, лопсинская свита.

### *Buchia rugosa* (Fischer et Waldheim)

Табл. 14, фиг. 6—8

Синонимика: см. Захаров, 1981, с. 81.

Распространение и возраст. В европейской части СССР — нижний и средний волжский подъярусы, на севере Сибири предположительно, нижневолжский подъярус. На Северо-Востоке — от кимериджа до средневолжского подъяруса, в Гренландии, на о. Шпицберген и на Приполярном Урале — средневолжский подъярус.

Местонахождение. Площадь Елогуйская, скв. 1, инт. 1237—1239 м, яновстанская свита.

### *Buchia mosquensis* (Buch)

Табл. 14, фиг. 1; табл. 15, фиг. 8—13;

табл. 16, фиг. 1—10; табл. 17, фиг. 1—7

Синонимика: см. Захаров, 1981, с. 83.

Распространение и возраст. Нижний и средний подъярусы волжского яруса Русской равнины, севера Средней и в Западной Сибири, Северо-Востока СССР, Западной Европы.

Местонахождение. См. «Баженовский горизонт...», 1986, с. 115.

### *Buchia ex gr. mosquensis* (Buch)

Табл. 15, фиг. 1—7

Четыре ядра правых и три левых створок. Форма характеризуется овальным контуром раковины, более округленным передним краем правых створок, более узкими левыми створками по сравнению с типичными экземплярами.

Местонахождение. Площади: Тобольская, скв. 1, инт. 2064—2074 м; скв. 3, инт. 2144—2156 м, тутлеймская свита; Викуловская, скв. 2, инт. 2018—2024 м, марьяновская свита.

*Buchia russiensis* (P a v l o w)

Табл. 19, фиг. 1, 2

Синонимика: см. Захаров, 1981, с. 89.

Распространение и возраст. Волжский ярус, средний подъярус Русской равнины, севера Средней Сибири, арктических островов Северного Ледовитого океана, Аляски, средний и верхний подъярусы волжского яруса Западной Сибири и севера европейской части СССР, Северо-Востока СССР.

Местонахождение. Площадь Покомасовская, скв. 16, инт. 2709—2714 м (2,6), баженовская свита.

*Buchia* cf. *russiensis* (P a v l o w)

Табл. 18, фиг. 1—4; табл. 19, фиг. 3—7

В коллекции имеется скопление разрозненных ядер и отпечатков правых и левых створок. По ядрам отдельных относительно высоких прямых створок и апикальному углу они могут быть отнесены к виду *B. russiensis* (P a v l o w) [23, табл. XIII, фиг. 7; табл. XIV, фиг. 1—8, с. 89].

Местонахождение. См. «Баженовский горизонт...», 1986, с. 117.

*Buchia taimyrensis* Z a k h a r o v

Табл. 20, фиг. 8

*Buchia taimyrensis*: Захаров, 1981, с. 95, табл. XVIII; фиг. 1—8; табл. XIX, фиг. 1—7.

Распространение и возраст. Волжский ярус, средний подъярус севера Средней и Западной Сибири, север европейской части СССР.

Местонахождение. Площадь Ракитинская, скв. 4, инт. 2436,5—2445,5 м, баженовская свита.

*Buchia* cf. *taimyrensis* Z a k h a r o v

Табл. 20, фиг. 9

Все три ядра, судя по сохранившимся частям, имеют прямую, высокую раковину и сглаженную скульптуру, обычно характерную для вида [23, табл. XVIII, фиг. 1—8; табл. XIX, фиг. 1—7, с. 95].

Местонахождение. Площадь Салымская, скв. 116, инт. 2926—2933 м (0,15 снизу), баженовская свита.

*Buchia obliqua* (Tullberg)

Табл. 19, фиг. 8—9

Синонимика: см. Захаров, 1981, с. 78.

Распространение и возраст. Волжский ярус, верхний подъярус севера Сибири и севера Русской равнины.

Местонахождение. Площади: Южно-Сургутская, скв. 20, инт. 2803—2809 м (2,94); Покомасовская, скв. 8, инт. 2721—2734 м (9,0); Нижнесортымская, скв. 210, инт. 2846—2847 м; Салымская, скв. 98, инт. 2826—2833,5 м, баженовская свита.

*Buchia fischeriana* (d'Orbigny)

Табл. 21, фиг. 1—7

Синонимика: см. Захаров, 1981, с. 101.

Распространение и возраст. Волжский ярус, средний и верхний подъярусы севера Средней Сибири; средневожский подъярус — основание берриаса Западной Сибири; средний подъярус волжского яруса — нижняя часть берриаса Русской равнины, бассейна р. Печоры, Северо-Востока СССР; верхний титон (?) в Северной Америке — Калифорнии; ? верхневожский подъярус в Канаде.

Местонахождение. Площади: Покомасовская, скв. 8, инт. 2724—2734 м (2,7); Большереченская, скв. 1, инт. 2515,0—2522,0 м, баженовская свита; Шугинская, скв. 2, инт. 1943,5—1947,8 м, марьяновская свита; Лодочная, скв. 1, инт. 2773—2778 м (3,1), нижнехетская свита.

*Buchia* cf. *fischeriana* (d'Orbigny)

Табл. 19, фиг. 5—7; табл. 21, фиг. 9—13; табл. 22, фиг. 1—9;

Табл. 23, фиг. 1—8

В коллекции имеется несколько десятков различной сохранности разрозненных ядер и отпечатков правых и левых створок. По наличию правильных умеренно широких концентрических ребер и особенностей очертания примакушечной части правой створки эти экземпляры скорее всего принадлежат к *B. fischeriana* (d'Orb.) [23, табл. XXI, фиг. 1—9, с. 101], другие более широкие и округленные напоминают *B. unschensis* (Pavlov).

Местонахождение. См. «Баженовский горизонт...», 1986, с. 116; площади: Киевеганская, скв. 356, инт. 2553,6—2561,0 м (0,7); Киевеганская, скв. 360, инт. 2563,6—2571,0 м (0,3—0,7); Львовская, скв. 15, инт. 2563,4—2575,0 м, баженовская свита.

*Buchia terebratuloides* (L a h u s e n)

Табл. 24, фиг. 1, 2

Синонимика: см. Захаров, 1981, с. 105.

Распространение и возраст. Волжский ярус, верхний подъярус — основание берриаса севера Средней и Западной Сибири и басс. р. Печоры, арктических островов; берриас Мангышлака, верхневолжский подъярус — берриас Северо-Востока и берриас (?) Дальнего Востока СССР; верхние горизонты юры на Тихоокеанском побережье Северной Америки.

Местонахождение. Площади: Салымская, скв. 127, инт. 2829—2930 м (2,2); скв. 154, инт. 2893—2998 м (5,0), скв. 130, инт. 2911—2920 м; Нижнесортымская, скв. 210, инт. 2846—2847 м, скв. 231, инт. 2956—2959 м (0,8—1,2); Покомасовская, скв. 16, инт. 2709—2714 м (2,5); скв. 8, инт. 2724—2734 м; Западно-Катыльгинская, скв. 100, инт. 2558,9—2565 м (5,0), баженовская свита.

*Buchia* cf. *terebratuloides* (L a h u s e n)

Табл. 21, фиг. 8; табл. 24, фиг. 3, 4

Одиннадцать разрозненных створок: правых (шесть) и левых (пять) с частично сохранившейся скульптурой. По очертанию задненижнего края и курвоидному онтогенезу правой створки эти экземпляры похожи на *B. terebratuloides* (L a h.) [23, табл. XXIII, фиг. 4—6, с. 105].

Местонахождение. См. «Баженовский горизонт...», 1986, с. 118; площади: Покомасовская, скв. 16, инт. 2709,0—2714,0 м; скв. 8, инт. 2724—2734 м; Верхнесалымская, скв. 102, инт. 2874—2884 м; Нижнесортымская, скв. 210, инт. 2846—2847 м; скв. 231, инт. 2956—2959 м; Южно-Сургутская, скв. 20, инт. 2803—2809 м; Вэнягинская, скв. 104, инт. 2657—2663 м; Салымская, скв. 129, инт. 3000—3007 м; скв. 130, инт. 2920—2928 м (1,6); Проточная, скв. 1, инт. 2337,2—2343,2 м, баженовская свита; Шеркалинская, скв. 1, инт. 2130—2137 м, тутлеймская свита; Лодочная, скв. 1, инт. 2998,0—3002,2 м, нижнехетская свита.

*Buchia* ex gr. *terebratuloides* (L a h u s e n)

Табл. 24, фиг. 5, 6

Имеются ядра правой и левой створок небольшого размера, треугольно-округленные в очертании, со слабой концентрической скульптурой.

Местонахождение. Площадь Салымская, скв. 121, инт. 3000—3007 м; скв. 127, инт. 2836—2837 м, баженовская свита.



*Buchia* ex gr. *terebratuloides* (L a h u s e n) — *unschensis*  
(P a v l o w)

Табл. 18, фиг. 5—8

Фрагменты ядер с остатками скульптуры — три правых и пять левых створок, которые по широко расставленным концентрическим ребрам и короткой прямой макушке левой створки напоминают бухий из группы *terebratuloides—unschensis*.

Местонахождение. Площади: Мыльджинская, скв. 6, инт. 2423—2430 м; Кондаковская, скв. 33, инт. 2123,4—2125,2 м; Герасимовская, скв. 2, инт. 2568—2572 м, баженовская свита; Тобольская, скв. 1, инт. 2064—2074,3 м, тутлеймская свита; Ушаковская, скв. 2, инт. 2315—2325 м (1,2—1,8), яновстанская свита.

*Buchia unshensis* (P a v l o w)

Табл. 25, фиг. 1—6

Синонимика: см. Захаров, 1981, с. 109.

Распространение и возраст. Волжский ярус, верхний подъярус — нижний берриас севера Средней и Западной Сибири, бассейна р. Печоры, Арктической Канады.

Местонахождение. Площади: Салымская, скв. 121, инт. 2985—2992 м; Покомасовская, скв. 8, инт. 2724—2734 м; Тагринская, скв. 106, инт. 2816—2825 м; Салымская, скв. 98, инт. 2826—2833 м; Нижнесортымская, скв. 231, инт. 2956—2959 м; Южно-Ягунская, скв. 84, инт. 2802—2803 м; Федюшкинская, скв. 2, инт. 2820,5—2825,5 м, баженовская свита; Лодочная, скв. 1, гл. 2958 м (6,7); нижнехетская свита; Сузунская, скв. 15, инт. 2804—2830 м (2,0).

*Buchia* cf. *unschensis* (P a v l o w)

Табл. 24, фиг. 7—9; табл. 25, фиг. 8—13

Имеются три ядра левых и шесть правых створок неполной сохранности. Все ядра имеют близкую к округлым очертаниям правильную концентрическую скульптуру.

Местонахождение. См. «Баженовский горизонт...», 1986, с. 118; площади: Южно-Фестивальная, скв. 4, инт. 2765,3—2768,6 м; Снежная, скв. 134, инт. 2409,7—2415,7 м; Киевеганская, скв. 355, инт. 2509,6—2514,7 м, баженовская свита; профиль Щокурья—Саранпаульский, скв. 2, инт. 465—472 м, федоровская свита.

*Buchia* ex gr. *unschensis* (P a v l o w)

Табл. 25, фиг. 7

Под этим названием описывается одно несколько деформированное ядро гладкой правой створки, округлое в очертании и относительно скошенное.

Местонахождение. Площади: Покомасовская, скв. 16, инт. 2709—2714 м (0,2); Салымская, скв. 147, инт. 2883—2890 м (0,5); Салымская, скв. 157, инт. 2867,8—2874,0 м (3,8); Колтогорская, скв. 2, инт. 2710,1—2716,9 м (3,5); Сороминская, скв. 2, инт. 2594,4—2608,3 м (0,7—0,8), баженовская свита.

*Buchia* sp. indet. ? *Buchia* ex gr. *lahuseni* (P a v l o w)

Табл. 20, фиг. 6

Одно ядро (частично погруженное в породу) и отпечаток правой створки неполной сохранности. Сходство с *B. lahuseni* выражается в общем облике раковины, но плохая сохранность экземпляров не позволяет утверждать принадлежность их к этому виду [88, табл. 1, фиг. 31, с. 32].

Местонахождение. Площадь Мальцевская, скв. 2, инт. 1094—1100 м, нижняя часть ахской свиты.

*Buchia* cf. *tenuicollis* (P a v l o w)

Табл. 20, фиг. 5, 7

*Aucella tenuicollis* P a v l o w, 1907, с. 49, табл. III, фиг. 4—6; Турбина, 1972, с. 149, табл. 1, фиг. 6.

Под этим названием описываются три ядра левой створки. Левая створка сильно вытянута в длину и косая с узкой изогнутой макушкой. Поверхность раковины покрыта нерезкими концентрическими складками. По очертанию раковины, скульптуре, характеру макушки описываемые экземпляры наибольшее сходство имеют с *Buchia tenuicollis* (P a v l o w) [73, табл. III, фиг. 4—6, с. 49].

Распространение и возраст. Вид известен в волжском ярусе, верхнем подъярусе — берриасе центральной части Русской равнины и Западной Сибири.

Местонахождение. Площади: Зареченская, скв. 2, инт. 987—990 м, марьяновская свита; Мальцевская, скв. 2, инт. 1094—1100 м, ахская свита; Ларьякская, скв. 1, инт. 2535—2541 м, куломзинская свита.

*Buchia okensis* (P a v l o w)

Табл. 26, фиг. 1, 2

Синонимика: см. Захаров, 1981, с. 116.

Распространение и возраст. Нижняя часть берриаса (преимущественно зона *Hectoroceras kochi*) в Западной Сибири и на севере Средней Сибири, на Русской равнине и в Северной Америке.

Местонахождение. Площади: Фроловская, скв. 2, инт. 2777—2778 м; Южно-Сургутская, скв. 304, инт. 2807—2812 м (1,2); Омбинская, скв. 1, инт. 2837—2842 м, баженовская свита; Сузунская, скв. 1, инт. 2901—2908 м, нижнехетская свита.

*Buchia* cf. *okensis* (P a v l o w)

Табл. 20, фиг. 1—4; табл. 26, фиг. 1, 2

В коллекции имеется тринадцать различной сохранности ядер и отпечатков правых и левых створок и два целых экземпляра. По особенностям скульптуры и очертанию верхнего края формы напоминают *Buchia okensis* (P a v l.) [23, табл. XXXII, фиг. 1—4, с. 116].

Местонахождение. См. «Баженовский горизонт...», 1986, с. 119; площади: Южно-Сургутская, скв. 53, инт. 2807—2812 м; Икилорская, скв. 34, инт. 2803—2810 м; Омбинская, скв. 1, инт. 2837—2842 м; Нижнесортымская, скв. 210, инт. 2846—2847 м, баженовская свита; Лодочная, скв. 1, инт. 2908—2930 м, нижнехетская свита.

*Buchia volgensis* (L a h u s e n)

Табл. 27, фиг. 1—3, 5, 13, 14, табл. 28, фиг. 1, 3, 5, 9

Синонимика: см. Захаров, 1981, с. 125.

Распространение и возраст. Берриас (от зоны *Hectoroceras kochi* до *Bojarkia mesezhnikowi*) на севере Средней и Западной Сибири и в бассейне р. Печоры, берриас Северной Америки.

Местонахождение. Площади: Венгаяхинская, скв. 37, инт. 2795—2810 м (5,0); скв. 355, инт. 2761—2771 м (2,5—3,0); Южно-Сургутская, скв. 859, инт. 2807—2812 м (1,2); Омбинская, скв. 1, инт. 2837—2842 м (0,3); Икилорская, скв. 304, инт. 2800—2803 м (1,8—2,3); Лосиноярская, скв. 40, гл. 2345,1 м, верхняя часть баженовской—нижняя часть куломзинской свиты; Межовская, скв. 8, инт. 2207—2211 м; Полонская, скв. 2, гл. 2491,8 м; Татарская, скв. 1, инт. 2349—2355 м, куломзинская свита; Мальцевская, скв. 2, инт. 1094—1100 м, ахская свита.

*Buchia* cf. *volgensis* (L a h u s e n)

Табл. 27, фиг. 4, 6—12; табл. 28, фиг. 2, 4, 6—8

Несколько десятков экземпляров различной сохранности. Характерная для вида вогнутость под макушкой правой створки, неправильная скульптура, инверсионный онтогенез левой створки и широкая раковина. Экземпляры похожи на *B. volgensis* (L a h.) [23, табл. XXXVIII, фиг. 3, с. 125].

Местонахождение. Площади: Северо-Васюганская, скв. 1, инт. 2196,0—2219,3 м; скв. 4, инт. 2307,6—2324,5 м; Амбарская, скв. 2, инт. 2325,4—2545,7 м; Александровская, скв. 2, инт. 2496,5—2502,0 м; Ларьякская, скв. 1, инт. 2608—2613,5 м; Завьяловская, скв. 1, инт. 2367—2373,3 м; Пудинская, скв. 1, инт. 2390,0—2395 м; Черталинская, скв. 1, инт. 2769—2780 м; Толпаровская, скв. 1, инт. 2580,7—2586,2 м; Мыльджинская, скв. 7, инт. 2290,1—2300,3 м; скв. 1, инт. 2312,3—2318,9 м; скв. 22, инт. 2268—2277 м; Полонская, скв. 22, инт. 2481—2490,9 м; Верхнесалатская, скв. 33, инт. 2479,6—2492,9 м; Кананакская, скв. 2, инт. 2186—2191 м; Туйская, скв. 1, инт. 2363—2376 м; Гужайская, скв. 230, инт. 2427—2441 м; Сенькинская, скв. 7, инт. 1994—2000 м; Южно-Мыльджинская, скв. 22, инт. 2398,4—2403,1 м; Мыльджинская, скв. 44, инт. 2341—2347 м; Назинская, скв. 3, инт. 2087,6—2093,6 м; Речная, скв. 283, инт. 2209,7—2240,0 м; Ломовая, скв. 207, инт. 2626,6—2630,0 м; Татарская, скв. 1, инт. 2349—2355 м, куломзинская свита; Заводоуковская, скв. 1, инт. 1240—1245 м; Покровская, скв. 10, инт. 1429—1444 м, ахская свита; Уватская, скв. 3, инт. 2613—2620 м, скв. 1, инт. 2649—2658 м; Чуэльская, скв. 7, инт. 1583—1597 м; скв. 81, инт. 1648—1652 м; Шугинская, скв. 2, инт. 1934,5—1947,5 м, тутлеймская свита; Суходудинская, скв. 3, инт. 1007—1013,6 м; Лодочная, скв. 1, инт. 2896—2901,0 м, нижнехетская свита; Долганская, скв. 1, инт. 1704—1716 м; Майская, скв. 1, инт. 2202—2216 м; Суходудинская, скв. 2, инт. 1039—1044,0 м; Туруханская, скв. 1, инт. 2071—2078 м, яновстанская свита; Костровская, скв. 4, инт. 1356—1360,0 м, юрацкая свита; Шаймская, скв. 70, инт. 1517—1520 м, мулымьинская свита; Проточная, скв. 8, инт. 2340—2377 м, баженовская свита; профиль Щокурья-Саранпаульский, скв. 2, инт. 458—465 м, федоровская свита.

*Buchia* cf. *keyserlingi* (L a h u s e n)

Табл. 29, фиг. 1—13

Синонимика: см. Захаров, 1981, с. 141.

В коллекции имеется 20 более или менее полно сохранившихся раковин и ядер различных размеров. Раковины высокие, слабо скошенные, умеренно выпуклые, слабо неравностворчатые. Очертания левой створки напоминают высокий равнобед-

ренный треугольник. Правая почти округлая. Примакушечная часть левой створки обычно вытянута. Сужение левой створки постепенное; правая сужается довольно резко. Ядра покрыты концентрическими ребрами, некоторые гладкие. Все это показывает на близость к *B. keyserlingi* (L a h.) [23, табл. I.I, фиг. 1—7, с. 141].

Распространение и возраст. Вид распространен в валанжине на севере Средней и Западной Сибири, бассейн р. Печоры; валанжин — основание готерива севера Евразии и Северной Америки.

Местонахождение. Площади: Устьильгинская, скв. 3, инт. 2008—2016 м; скв. 6, гл. 2048 м; Ларьковская, скв. 1, гл. 2375,9 м; Среднеvasюганская, скв. 3, инт. 2055,7—2060,7 м; Пудинская, скв. 1, инт. 2307—2312 м; 2263—2270 м; 2464—2470 м; Туйская, скв. 1, инт. 2064—2070 м, тарская свита; Александровская, скв. 1, инт. 2277—2281 м, куломзинская свита; Ларьяковская, скв. 1, инт. 2411—2419,7 м, тарская свита.

### *Buchia* cf. *sublaevis* (Keyserling)

Табл. 30, фиг. 2—11

Синонимика: см. Захаров, 1981, с. 149.

В коллекции имеется несколько десятков ядер преимущественно мелких форм с частично сохранившимся веществом раковины. Ядра высокие, умеренно-скошенные. Левая створка косовально-треугольная, неравносторонняя, выпуклая. Правая створка округлая, менее выпуклая. Скульптура на створках представлена пластинчатыми концентрическими ребрами. Ядра гладкие с редкими морщинистыми пережимами. Указанные признаки характерны для *B. sublaevis*. Недостаточная сохранность не позволяет определить описываемые экземпляры без ограничения.

Распространение и возраст. Верхний валанжин — нижний готерив севера Средней и Западной Сибири, в басс. р. Печоры, от кровли нижнего валанжина до верхнего валанжина (включительно) в Северной Америке.

Местонахождение. Площади: Сухо-Дудинская, скв. 1, инт. 649,4—661,7 м, суходудинская свита; Тобольская, скв. 1, инт. 1935—1983 м; скв. 3, инт. 2007—2019 м, ахская свита; Шамская, скв. 68, инт. 1497,5—1500 м, мулымбинская свита; Баклянская, скв. 2, инт. 2159,1—2163 м.

### *Buchia* sp. indet.

Табл. 30, фиг. 1

Раковина маленькая, слабо скошена, вздутая, плавно округленная, покрыта слабо выраженными концентрическими линиями. Плохая сохранность не позволяет судить о ее видовой принадлежности.

Местонахождение. Площадь Вяткинская, скв. 4, инт. 1509—1519 м, ахская свита.

## НАДСЕМЕЙСТВО LIMACEA Rafinesque, 1815

### Семейство LINIDAE Rafinesque, 1815

#### РОД *LIMATULA* Wood, 1839

*Limatula consobrina* (d'Orbigny)

Табл. 31, фиг. 6, 7

Синонимика: см. Захаров, 1966, с. 59.

Распространение и возраст. Нижний волжский ярус — берриас Русской платформы; кимеридж — готерив севера Средней и Западной Сибири.

Местонахождение. Площади: Березовская, скв. 15, инт. 1269—1276 м, алясовская свита; Бочкаревская, скв. 1, инт. 2280—2284 м; Мыльджинская, скв. 5, инт. 2110,4—2115,4 м, тарская свита; Маньинская, скв. 1, инт. 444—449 м, федоровская свита; Мулымьинская (шаимская), скв. 13, инт. 1576—1579,9 м, мулымьинская свита; Колпашевская, скв. 2, инт. 2273,5—2276,2 м; Северо-Васюганская, скв. 4, инт. 2307—2324 м, куломзинская свита; Суходудинская, скв. 1, инт. 924—942 м, нижнехетская свита; Кыксинская, скв. 1, инт. 1026—1035 м; Ермаковская, скв. 1, гл. 730 м, яновстанская свита; Елогуйская, скв. 1, инт. 1153—1165 м, елогуйская свита; Вяткинская, скв. 4, инт. 1688—1746 м; Тюменская, скв. 1, инт. 1399—1400 м, марьяновская свита; Нарыкарская, скв. 120, инт. 1876,2—1882,7 м, абалакская свита; профиль Щокурья-Саранпаульский, скв. 2, инт. 472—479,8 м, федоровская свита.

## НАДСЕМЕЙСТВО PINNACEA

### Семейство PINNIDAE Leach, 1819

#### РОД *PINNA* Linne, 1758

*Pinna* sp. indet.

Табл. 32, фиг. 7, 8

Имеются два ядра неполной сохранности. По форме раковины и скульптуре экземпляры сходны с целым рядом видов группы *Pinna lanceolata* — *P. suprairensis* [20, табл. XVIII, фиг. 6, 7, с. 70]. Однако плохая сохранность материала не позволяет даже предположительно определить видовую принадлежность.

Распространение и возраст. Волжский ярус, верхняя часть верхнего подъяруса — основание берриаса Западной Сибири.

Местонахождение. Площадь Лодочная, скв. 1, инт. 2998—3002 м (0,5), нижнехетская свита.

ОТРЯД **PTERIODA** Newell, 1965

ПОДОТРЯД **PTERIINA** Newell, 1965

НАДСЕМЕЙСТВО **PTERIACEA** Gray, 1874

Семейство **ISOGNOMONIDAE**, Woodring, 1925

Подсемейство **ISOGNOMONINAE**, Dall, 1895

РОД **ISOGNOMON** Solander et Humphry, 1786

*Isognomon* cf. *isognomonoides* (Stahl)

Табл. 33, фиг. 3—5

Синонимика: см. Захаров, Шурыгин, 1978, с. 116.

Три неполных ядра левых створок. Раковина средних размеров, высокая, умеренно скошенная. Передний край слегка вогнут под макушкой и слабо выступает в нижней части. Задний край почти прямой. Перечисленные признаки могут указывать на принадлежность описанных остатков к виду *Isognomon isognomonoides* (Stahl) [27, табл. III, фиг. 1—3, с. 116].

Распространение и возраст. Вид распространен в среднем и верхнем бате севера Средней Сибири, келловее — нижнем оксфорде Западной Сибири, средней юре Западной Европы.

Местонахождение. Площади: Пуглымская, скв. 88, инт. 2455—2457 м (0,3); Игольская, скв. 12, инт. 2771,6—2785,6 м, васюганская свита.

*Isognomon* ex gr. *embolicum* Zakharov

Табл. 33, фиг. 6—8

Ядро и отпечаток правой и ядро левой створок. По прямой раковине с оттянутой острой макушкой экземпляры принадлежат, возможно, *Isognomon embolicum* Zakharov [27, табл. XXIV, фиг. 5; табл. XXVI, фиг. 1, 2].

Распространение и возраст. Вид известен в нижнем кимеридже севера Средней Сибири; кимеридже Западной Сибири.

70

Местонахождение. Площадь Южно-Тамбаевская, скв. 75, инт. 2580,5—2590,5 м (7,4), георгиевская свита.

## Семейство INOCERAMIDAE Giebel, 1852

РОД *INOCERAMUS* Sowerby, 1814

*Inoceramus subplanus* Zakharov et Turbina

Табл. 34, фиг. 1—3; табл. 35, фиг. 5—7

*Inoceramus subplanus*: Захаров, Турбина, 1979, с. 29.

Распространение и возраст. Вид встречен в бухиозоне *Buchia unschensis* на севере Средней Сибири, верхневолжском подъярусе — основании берриаса Западной Сибири.

Местонахождение. Площади: Сосновская, скв. 71, инт. 2336,7—2344,8 м (0,7); Лесная, скв. 206, инт. 2606,6—2612,6 м (2,3); Салымская, скв. 98, инт. 2826—2833,5 м; Снежная, скв. 135, инт. 2415,7—2423,2 м (1,1), баженовская свита; Сузунская, скв. 15, инт. 2843—2858,7 м (2), прикровельная часть яновстанской свиты.

*Inoceramus* cf. *subplanus* Zakharov et Turbina

Табл. 34, фиг. 4

Шесть фрагментов ядер с остатками раковинного слоя. По крупным прямым округленным в очертании раковинам эти остатки отнесены к *In. subplanus* в открытой номенклатуре.

Местонахождение. Площади: Покомасовская, скв. 8, инт. 2724—2734 м (3,0); Южно-Ягунская, скв. 84, инт. 2802—2808 м (3,0—3,1); Салымская, скв. 147, инт. 2875,5—2883,0 м (1,1); скв. 130, инт. 2912—2920 м (2,0); скв. 98, инт. 2819,0—2833,5 м (0,05); Колтогорская, скв. 2, инт. 2710,1—2716,9 м (0,5), баженовская свита.

*Inoceramus vereshagini* Pochialeinen

Табл. 34, фиг. 5—8

Синонимика: см. Захаров, Турбина, 1979, с. 28.

Распространение и возраст. Волжский ярус — верхний подъярус (зона *Craspedites taimyrensis*) — основание берриаса (зона *Chetaites sibiricus*) на севере Средней и Западной Сибири, валанжин северо-востока и Дальнего Востока СССР.

Местонахождение. Площади: Тагринская, скв. 55, инт. 2744—2758 м (1,0); Северо-Останинская, скв. 16, инт. 2470,3—2475,7 м, баженовская свита; Пудинская, скв. 1, инт. 2459—2464 м, марьяновская свита; Долганская, скв. 3, инт. 1565,0—1567,8 м, яновстанская свита.



*Inoceramus* cf. *vereshagini* Pochialeinen

Табл. 35, фиг. 1—4; табл. 36, фиг. 1—5

Описывается около двух десятков неполностью сохранившихся раскрытых двустворчатых раковин различных размеров с характерной слегка скошенной вытянутостью в дорзовентральном направлении и покрытых морщинистыми концентрическими ребрами.

Местонахождение. Площади: Покомасовская, скв. 8, инт. 2724—2734 м (5,7); скв. 12, инт. 2802—2808 м (0,7); Салымская, скв. 162, инт. 2995—3002 м (3,0); скв. 147, инт. 2912—2920 м (1,9); скв. 257, инт. 2867—2881,0 м (0,5); скв. 121, инт. 2985—2992 м (3,15); Колтогорская, скв. 2, инт. 2710,1—2716,9 м (3,5); Полонская, скв. 2, инт. 2486,9—2493,5 м; Айзановская, скв. 1, инт. 2290,0—2986,8 м, баженовская свита; Сорымоишимская, скв. 6, инт. 2769—2777 м (0,7).

*Inoceramus* sp. indet.

Табл. 36, фиг. 6, 7; табл. 37, фиг. 1—7

Фрагменты ядер и отпечатков по ряду сохранившихся признаков принадлежат к роду *Inoceramus*. Плохая сохранность не позволяет установить видовую принадлежность указанных фрагментов, однако совершенно ясно, что они принадлежат к иноцебрам разных видов.

Местонахождение. Площади: Мирная, скв. 409, инт. 2407,7—2417,4 м; Салымская, скв. 157, инт. 2881—2885 м; Летняя, скв. 2, гл. 2567,5 м; Южно-Ягунская, скв. 84, инт. 2802—2808 м; Салимханская, скв. 3, инт. 2550—2559,7 (4,8); Сороминская, скв. 2, инт. 2608,3—2625 м; Покомасовская, скв. 12, инт. 2764—2770 м (0,7); Сарымоишимская, скв. 6, инт. 2769,5—2770 м (0,7), баженовская свита.

ПОДОТРЯД *OSTREINA* Ferussac, 1822

НАДСЕМЕЙСТВО *OSTREACEA* Rafinesque, 1815

Семейство *OSTREIDAE* Lamarck, 1818

Подсемейство *OSTREINAE* Lamarck, 1818

РОД *LIOSTREA* Douville, 1904

ПОДРОД *PRAEEXOXYRA* Charies et Maubenge, 1952

*Liostrea* (*Praeexogyra*) *anabarensis* Bodylevsky

Табл. 38, фиг. 1—4

Синонимика: см. Захаров, 1966, с. 108.

Распространение и возраст. Берриас — нижний готерив севера Средней и Западной Сибири.

Местонахождение. Площади: Татарская, скв. 1, инт. 2349,2—2355,3 м, куломзинская свита; Заводоуковская, скв. 3, инт. 1155—1165 м, нижняя подсвита карбанской свиты; Покурская, скв. 1, гл. 2267 м, мегионская свита; Парабельская, скв. 3, инт. 2143,5—2149,5 м; Моисеевская, скв. 3, инт. 2169,1—2179,4 м, Пудинская, скв. 1, инт. 2328—2333 м, татарская свита; Мегионская, скв. 30, инт. 2132—2134,5 м, мегионская свита; Кыксинская, скв. 1, инт. 1031—1038 м; скв. 3, инт. 1003—1022,3 м, яновстанская свита; профиль Шокурья-Саранпаульский, скв. 5, инт. 190,5—195,5 м, федоровская свита.

*Liostrea (Pracexogyra) lyapinensis* Z a k h a r o v

Табл. 38, фиг. 5—9

Синонимика: см. Захаров, 1972, с. 227.

Распространение и возраст. Берриас на восточном склоне Приполярного Зауралья и Западной Сибири.

Местонахождение. Площадь Лодочная, скв. 1, инт. 2760—2766 м, нижнехетская свита; профиль Шокурья-Саранпаульский, скв. 1, инт. 449,5—455,5 м, федоровская свита.

*Liostrea (Pracexogyra) siberica* Z a k h a r o v

Табл. 39, фиг. 4—6

Синонимика: см. Захаров, Месежников, 1974, с. 145.

Распространение и возраст. Верхняя часть верхнего подъяруса волжского яруса восточного склона Приполярного Зауралья — основание берриаса (зона *Chetaites sibiricus*) на севере Средней Сибири и Западной Сибири.

Местонахождение. Площадь Доволенская, скв. 1, инт. 1175,8—1181,3 м, марьяновская свита.

*Liostrea (Liostrea) plastica* (T r a u t s c h o l d)

Табл. 38, фиг. 10, 11; табл. 39, фиг. 1—3

Синонимика: см. Захаров, Месежников, 1974, с. 149.

Распространение и возраст. Нижний киммеридж — нижний подъярус волжского яруса севера Средней и в Западной Сибири, Гренландии, нижний подъярус волжского яруса восточного склона Приполярного Зауралья; верхний киммеридж — нижний подъярус волжского яруса Русской платформы, портланд Франции, средний титон ФРГ.

Местонахождение. Площади: Викуловская, скв. 2, инт. 2052—2058, марьяновская свита; Салымская, скв. 127, инт. 2836—2837 м; Тагайская, скв. 1, инт. 2706—2709 м; Федюшкинская, скв. 5, инт. 2832—2838 м; скв. 2, инт. 2837—2843 м, Широкая, скв. 50, инт. 2622,3—2629,5 м; Мурашевская, скв. 1, инт. 2510,8—2829 м, Восточно-Чековская, скв. 1, инт. 2555—

2562 м; Южно-Тамбаевская, скв. 75, инт. 2580,5—2590,5 м (0,2) баженовская свита.

*Liostrea (Liostrea) sp. indet.*

Табл. 39, фиг. 12

Фрагмент ядра плохой сохранности.

Местонахождение. Площадь Татарская, скв. 2, инт. 2322—2327 м, куломзинская свита.

РОД *EXOGYRA* S o y, 1820

*Exogyra nana* (S o w e r b y)

Табл. 39, фиг. 7—11

Синонимика: см. Герасимов, 1955, с. 131.

Распространение и возраст. От среднего келловея до верхневолжского подъяруса включительно в центральных областях европейской части СССР; верхний кимеридж — волжский ярус (нижний подъярус) Западной Сибири.

Местонахождение. Площадь Южно-Чулымская, скв. 1, инт. 1205—1213 м (2,1), марьяновская свита.

ОТРЯД *MITILOIDA* F e r u s s a c, 1822

НАДСЕМЕЙСТВО *MYTILACEA* R a f i n e s q u e, 1815

Семейство *MYTILIDAE* R a f i n e s q u e, 1815

Подсемейство *CRENELLINAE* A d a m s e t A d a m s, 1857

РОД *MUSCULUS* R ö d i n g, 1798

«*Musculus*» *sibiricus* B o d y l e v s k y

Табл. 32, фиг. 3, 4

Синонимика: см. Захаров, 1966, с. 125.

Распространение и возраст. Берриас — нижний го-терив севера Средней Сибири, берриас — валанжин Западной Сибири.

Местонахождение. Профили: Маньинский, скв. 1, инт. 429—436 м; Шокурья-Саранпаульский, скв. 2, инт. 532—544,2 м, федоровская свита; площадь Лодочная, скв. 1, гл. 2958 м (1,3), нижнехетская свита.

«*Musculus*» *uralensis* (d' O r b i g n y)

Табл. 32, фиг. 1, 2

Синонимика: см. Захаров, Месежников, 1974, с. 125.

Распространение и возраст. Волжский ярус, средний подъярус — берриас Русской равнины; волжский ярус

восточного склона Приполярного Зауралья, берриас Западной Сибири.

Местонахождение. Площади: Колпашевская, скв. 2, инт. 2272—2283 м; Северо-Васюганская, скв. 4, инт. 2307,6—2324,0 м, Татарская, скв. 1, инт. 2349—2385 м, куломзинская свита (нижняя часть); Долганская, скв. 1, инт. 1367—1377,6 м, верхняя часть яновстанской свиты; Елогуйская, скв. 1, гл. 1163,7 м, елогуйская свита (нижняя часть); Березовская, скв. 11, инт. 1277,5—1279,5 м, алясовская свита (чуэльская пачка).

«*Musculus*» cf. *czekanowskii* (L a h u s e n)

Табл. 32, фиг. 5, 6

Синонимика: см. Захаров, 1966, с. 120.

Два неполностью сохранившихся ядра. Прямой спинной край, отсутствие скошенности в верхней части заднего конца раковины, слабый киль, свидетельствующий о близости к виду *M. czekanowskii* (L a h u s e n) [20, табл. XIV, фиг. 1, с. 120].

Распространение и возраст. Келловей — нижний оксфорд севера Средней Сибири; оксфорд—кимеридж Западной Сибири, верхний аален Лено-Оленекской впадины, бассейн Забайкалья, бат Дальнего Востока и Северной Якутии, верхний бат — нижний келловей Буреинского бассейна.

Местонахождение. Площади: Вяткинская, скв. 4, инт. 1718—1725 м, марьяновская свита; Карасевская, скв. 61, инт. 2661,5—2666,5 м (1,05), васюганская свита.

## ПОДКЛАСС HETERODONTA Neumayr, 1884

ОТРЯД VENEROIDA Adams and Adams, 1858

ПОДОТРЯД LUCININA Dall, 1889

НАДСЕМЕЙСТВО CRASSATELLACEA Menke, 1830

Семейство ASTARTIDAE Gray, 1840

Подсемейство ASTARTINAE Gray

РОД ASTARTE Sowerby, 1818 (=CRASSINA: Lamarck, 1818)

ПОПРОД ASTARTE s. str.

*Astarte (Astarte) lopsiyaensis* Z a k h a r o v

Табл. 40, фиг. 14—16

*Astarte (Astarte) lopsiyaensis*: Захаров, 1970, с. 73, табл. VII, фиг. 1—5; табл. VI, фиг. 11—13.

Распространение и возраст. Верхний кимеридж восточного склона Приполярного Зауралья и Западной Сибири.

Местонахождение. Профиль Шокурья-Саранпаульский, скв. 5, инт. 98,6—193,6 м, лопсинская свита; площади: Белоярская, скв. 1, инт. 2211,8—2217,8 м, марьяновская свита; Маньинская, скв. 11, инт. 108,5—113,3 м; Саранпаульская, скв. 306, гл. 230 м, лопсинская свита.

*Astarte (Astarte) lyapinensis* Захаров

Табл. 40, фиг. 1—13

*Astarte (Astarte) lyapinensis*: Захаров, 1970, с. 78, табл. VII, фиг. 14—18; табл. VIII, фиг. 1.

Распространение и возраст. Кимеридж севера Средней и Западной Сибири, кимеридж восточного склона Приполярного Зауралья.

Местонахождение. Профиль Шокурья-Саранпаульский, скв. 5, инт. 96,2—293 м, лопсинская свита; площади: Маньинская, скв. 11, инт. 84,6—89,3 м, лопсинская свита; Татарская, скв. 2, инт. 2445—2451 м, георгиевская свита; Вяткинская, скв. 4, инт. 1732—1739 м, марьяновская свита; Туруханская, скв. 1, инт. 2230—2236 м, яновстанская свита; Владимировская, скв. 2, инт. 1548,7—1552,2 м, марьяновская свита.

*Astarte (Astarte) veneris* d'Orbigny

Табл. 40, фиг. 17

Синонимика: см. Захаров, 1970, с. 58.

Распространение и возраст. Волжский ярус восточного склона Приполярного Зауралья, берриас севера Средней и Западной Сибири.

Местонахождение. Площади: Амбарская, скв. 1, инт. 2322—2327 м, Татарская, скв. 2, инт. 2447—2453 м; скв. 1, инт. 2349—2355 м; скв. 4, инт. 2372—2378 м; скв. 3, инт. 2407—2410 м; Тембисская, скв. 2, гл. 2156 м; Колпашевская, скв. 2, гл. 2287,7 м; Устьильгинская, скв. 3, инт. 2101—2106 м, куломзинская свита; Михайловская, скв. 1, инт. 1746,2—2749,7 м; Вяткинская, скв. 2, инт. 1635—1642 м, ахская свита; Елогуйская, скв. 1, инт. 1031—1059 м; Кыксинская, скв. 3, инт. 1003,3—1006 м, елогуйская свита; скв. 1, инт. 1026—1059 м; Туруханская, скв. 1, инт. 2020—2042 м, 2203—2216 м; Елогуйская, скв. 1, инт. 1153—1165 м, елогуйская свита; Ермаковская, скв. 1, инт. 700—710 м, инт. 738—766 м; Костровская, скв. 2, инт. 1532,4—1538,5 м; скв. 4, инт. 1471,6—1476,2 м, яновстанская свита.

*Astarte (Astarte) veneriformis* Захаров

Табл. 40, фиг. 18, 19

*Astarte (Astarte) veneriformis*: Захаров, 1970, с. 64, табл. V, фиг. 9—14.

Распространение и возраст. Валанжин — нижний готерив (?) восточного склона Приполярного Зауралья, севера Средней и Западной Сибири.

Местонахождение. Площади: Сургутская, скв. 1 (51), инт. 2341—2349 м, сортымская свита; Туйская, скв. 1, инт. 2064—2070 м; Черемшанская, скв. 1, инт. 2377—2389 м, тарская свита; Рявкинская, скв. 5, инт. 1172—1178 м, тарская свита; Сенькинская, скв. 9, инт. 2057—2072 м, куломзинская свита; Ятринская, скв. 71, гл. 99,1 м; скв. 69, гл. 55 м; профиль Щокурья-Саранпаульский, скв. 1, инт. 361—369 м, хорооимская свита.

Подсемейство ERIPHYLINAЕ, 1952

РОД *ERIPHYLA* Gabb, 1864

*Eriphyla (Lyapinella) asiatica* Zakharov

Табл. 40, фиг. 20—24

*Eriphyla (Lyapinella) asiatica*: Захаров, 1970, с. 114, табл. XIV, фиг. 10—11; табл. XV, фиг. 1—7.

Распространение и возраст. Волжский ярус (средний и верхний подъярусы) восточного склона Приполярного Зауралья и Западной Сибири.

Местонахождение. Площади: Южно-Чулымская, скв. 1, инт. 1149,9—1154,9 м, марьяновская свита; Кыксинская, скв. 1, инт. 1031—1038 м; Туруханская, скв. 1, инт. 2032—2042 м, яновстанская свита.

ПОДКЛАСС ANOMALODASMATA Dall, 1899

ОТРЯД PHOLADOMYOIDA Newell, 1965

НАДСЕМЕЙСТВО PHOLADOMYACEA Grey, 1847

Семейство PHOLADOMYIDAE Gray, 1847

РОД *GONIOMYA* Agassiz, 1841

*Goniomya* af. *dubois* Agassiz

Табл. 31, фиг. 1—4

Синонимика: см. Герасимов, 1955, с. 83.

Имеется два целых ядра неполной сохранности, с остатками скульптуры. По удлиненно-овально-треугольным очертаниям передней части раковины, выступающей макушке, слабо выраженной радиальной скульптуре раковины сходны с *Goniomya dubois* Agassiz [14, табл. XIX, фиг. 1, 2, с. 83].

Распространение и возраст. Оксфорд—берриас Западной Сибири, оксфорд—волжский ярус восточного склона Приполярного Зауралья; келловей, волжский ярус европейской части СССР и Дальнего Востока.

Местонахождение. Профили: Шокурья-Саранпаульский, скв. 5, инт. 110,1—123,5 м, лопсинская свита; инт. 183,6—184,2 м, маурымьинская свита; скв. 2, инт. 465,8—472,0 м, федоровская свита; площади: Татарская, скв. 1, инт. 2349—2355,5 м, куломзинская свита; Елогуйская, скв. 1, инт. 1153—1165 м, елогуйская свита; Кыксинская, скв. 2, инт. 1054,6—1067,4 м, яновстанская свита; Налимья, скв. 8, инт. 2883,8—2891,8 м (5,1), васюганская свита.

РОД *PHOLADOMYA* Sowerby, 1823

*Pholadomya* cf. *hemicardia* Roemer

Табл. 31, фиг. 5

Синонимика: см. Герасимов, 1955, с. 80.

Одно целое ядро. Раковина овального или овально-треугольного очертания, неравносторонняя. Макушка значительно выделяется над замочным краем, приближена к короткой уплощенной передней части раковины. Створки выпуклые. Поверхность створок с 8—11 отходящими от макушки радиальными ребрами. По этим признакам экземпляр сходен с *Pholadomya hemicardia* Roemer [14, табл. XI, фиг. 1—3, с. 80].

Распространение и возраст. Вид известен в кимеридж—берриасе Западной Сибири, келловей—верхнем оксфорде Русской платформы, оксфорд—нижнем кимеридже Гренландии, Франции и Швеции.

Местонахождение. Профиль Шокурья-Саранпаульский, скв. 2, инт. 63,8—88,0 м, федоровская свита; скв. 5, инт. 110—128 м, лопсинская свита; площади: Татарская, скв. 1, инт. 2454—2460 м, марьяновская свита; Ермаковская, скв. 1, гл. 745 м; Кыксинская, скв. 3, инт. 1022,3—1024,3 м, яновстанская свита; Колпашевская, скв. 2; инт. 2773,5—2776,2 м, куломзинская свита.

Семейство PLEUROMYIDAE Dall, 1980

РОД *PLEUROMYA* Agassiz, 1842

*Pleuromya* sp. indet.

Табл. 41, фиг. 5

Имеющийся в нашем распоряжении материал представлен одним непольностью сохранившимся ядром, которое по косоусеченному переднему и суженному заднему краям больше всего

напоминает *Pleuromya peregrina* (d'Orbigny) [25, табл. XXXVII, фиг. 2, 3, с. 158].

Местонахождение. Площадь Южно-Чулымская, скв. 1, инт. 1149,9—1154,9 м (1,4), марьяновская свита.

*Pleuromya* ex gr. *subpolaris* Koschelkina

Табл. 41, фиг. 4

Крупное целое ядро, удлинненно-овальное, сильно выпуклое, резко неравностороннее. Передний край короткий. Задняя часть длинная, слегка суженная, макушка широкая, слабо выступающая, загнута внутрь. Перечисленные признаки указывают на принадлежность данного экземпляра к *Pleuromya subpolaris* Koschelkina [27, табл. XII, фиг. 2, с. 153].

Распространение и возраст. Вид известен в верхнем келловее севера Средней Сибири, верхнем келловее — нижнем оксфорде Западной Сибири.

Местонахождение. Площадь Южно-Матюшкинская, скв. 41, инт. 2610,1—2615,1 м (2,8), васюганская свита.

## НАДСЕМЕЙСТВО HIATELLACEA Gray, 1824

### Семейство HIATELLIDAE Gray, 1824

#### РОД *PANOPEA* Menard, 1807

*Panopea* ex gr. *borealis* Eichwald

Табл. 41, фиг. 6

Ядро левой створки с широким передним концом, крутым передним склоном макушки.

Распространение и возраст. Вид известен в волжском ярусе (среднем и верхнем подъярусе) восточного склона Приполярного Зауралья; волжском ярусе (верхнем подъярусе) — валанжине Западной Сибири.

Местонахождение. Площадь Ереминская, скв. 6, инт. 1024—1029 м, хоросимская свита.

## НАДСЕМЕЙСТВО PANDORACEA Rafinesque, 1815

### Семейство THRACIIDAE Stoliczka, 1870

#### РОД *THRACIA* Sowerby, 1823

*Thracia* cf. *lata* Agassiz

Табл. 42, фиг. 1—11

Синонимика: см. Бодылевский, Шульгина, 1958, с. 47. Одиннадцать деформированных фрагментов ядер и отпечат-



ков с остатками раковинного слоя. Овальное очертание раковины, тонкая концентрическая скульптура, состоящая из часто расположенных перекрывающихся линий, позволяет отнести изученные остатки к указанному виду [7, табл. XVIII, фиг. 7, 8, с. 47].

Распространение и возраст. Валанжин севера Средней Сибири, волжский ярус — валанжин Западной Сибири, нижневолжский подъярус — валанжин низовьев Енисея, верхняя юра ФРГ.

Местонахождение. Площади: Березовская (Инги-Сомская), скв. 15, инт. 1269—1276 м, алясовская свита; Викуловская, скв. 2, гл. 1805 м, ахская свита; Татарская, скв. 1, инт. 2281,7—2283,7 м; 2301—2346 м, куломзинская свита; Омская, скв. 1, инт. 2155—2161 м, тарская свита; Парабельская, скв. 3, инт. 2214—2220 м, куломзинская свита; Кыксинская, скв. 1, инт. 1059—1065 м, Кыксинская, скв. 3, инт. 1046—1057,7 м, яновстанская свита; Лодочная, скв. 1, инт. 2736—2741 м (0,7), нижнехетская свита; Арыхалыхская, скв. 5, гл. 347 м.

### *Thracia ex gr. scythica* Eichwald

Табл. 42, фиг. 12—17

Фрагменты трех ядер и четырех сдавленных отпечатков. Формы удлинненно-овальные, почти равносторонние, передний край плавно сочленяется с полого выпуклым нижним краем, задний край слабо спрямлен, нижнее сочленение плавное. Макушка маленькая, почти центральная.

Распространение и возраст. Келловей севера Средней Сибири; верхний келловей—оксфорд Западной Сибири, верхняя юра европейской части СССР.

Местонахождение. Профиль Шокурья-Саранпаульский, скв. 5, инт. 190—195 м, маурыннинская свита; площади: Чворовая, скв. 1, инт. 2757,2—2764,4 м; Пограничная, скв. 2, инт. 2765,1—2771,6 м; Кулайская, скв. 3, инт. 2851—2858 м; Нижневартовская, скв. 22, инт. 2550—2558 м; Дальняя, скв. 1, инт. 2576,5—2583,5 м; Таловая, скв. 9, инт. 2874—2877 м; Южно-Фестивальная, скв. 1, инт. 2821,5—2886,0 м; Восточная, скв. 1, инт. 2468,1—2473,7 м (4,1), васюганская свита; Кыксинская, скв. 1, инт. 1059—1065 м, нижняя часть яновстанской свиты; Большелайдинская, скв. 1, инт. 1394—1406 м, нижняя часть сеговской свиты; Южно-Чулымская, скв. 1, инт. 1144—1149 м (1,5), марьяновская свита.

## ОТРЯД SCHIZODONTA

### НАДСЕМЕЙСТВО TRIGONIACEA

Семейство TRIGONIIDAE Lamarck, 1819

Подсемейство MYOPHORELLINAE Konayashi

РОД *MYOPHORELLA* Bayla, 1878

*Myophorella* sp. indet.

Табл. 33, фиг. 1, 2

Два фрагмента ядер правой и левой створок с характерными для этого рода правильными косыми рядами бугорков.

Распространение и возраст рода. Волжский ярус Западной Сибири; юра — нижний мел Подмосковного бассейна, восточного склона Приполярного Зауралья, Кавказа, Мангышлака, Туркмении и Приморского края.

Местонахождение. Площадь Южно-Чулымская, скв. 1, инт. 1102,1—1109,0 м (0,2), марьяновская свита.

## КЛАСС CERHALOPODA

### ПОДКЛАСС AMMONOIDEA

#### НАДСЕМЕЙСТВО KOSMOCERATACEA

Семейство KOSMOCERATIDAE Haug, 1887

Подсемейство KERPLERITINAE Tintant, 1963

РОД *SIGALOCERAS* Hyatt, 1900

*Sigaloceras* sp. indet.

Табл. 43, фиг. 1

Фрагмент ядра раковины среднего размера. По характеру ребристости: тонким, густым, пологосерповидноизогнутым, низко ветвящимся ребрам и умеренно узкому умбиликусу отнесен к роду *Sigaloceras*. Ближе всего форма к *S. filocostatus* Sok. [65, табл. 1, фиг. 2].

Распространение и возраст. Нижний келловей, зона *Sigaloceras calloviense*, подзона *Sigaloceras calloviense* Англии, Франции, ФРГ, центральных районов европейской части СССР, Крыма, Кавказа, Мангышлака и Средней Азии. Слои с *Sigaloceras* Западной Сибири.

Местонахождение. Площадь Пальяновская, скв. 96, инт. 2494—2509 м (0,45), основание абалакской свиты.

ПОДРОД *GULIELMINA* Виссман, 1925

? *Sigaloceras (Gulielmina)* sp. indet.

Табл. 43, фиг. 2

Ядро раковины среднего размера, с умеренно объемлющими оборотами и густыми тонкими, низко ветвящимися ребрами. Создается впечатление соединения ребер по два—три на вентральном перегибе. Устье с длинными латеральными выростами. Благодаря тонкой густой ребристости, отсутствию прирубональных и латеральных бугорков, форме устьевого края, экземпляр отнесен к *Sigaloceras (Gulielmina)*, хотя из-за намечающегося соединения ребер на вентральном перегибе остается сомнение в таком определении. Вид определить не представляется возможным.

Распространение и возраст. Нижний келловей, зона *Sigaloceras calloviense*, подзона *Sigaloceras calloviense* Англии и слои с *Sigaloceras* Западной Сибири. Нижний келловей Мангышлака и Каратау.

Местонахождение. Площадь Верхненазымская, скв. 280, инт. 2565—2577 м (0,1), основание абалакской свиты.

Подсемейство KOSMOCERATINAE Haug, 1887

РОД *KOSMOCERAS* Waagen, 1869

*Kosmoceras (Kosmoceras) gemmatum* (Phillips) juv.

Табл. 43, фиг. 5

Синонимика: см. Ломинадзе, Сахаров, 1985.

Пиритизированное ядро. Экземпляр отнесен к виду *K. gemmatum* (Phill.) по наличию высоких латеральных бугорков, к которым подходит по одному первичному ребру, а также двойных и тройных вторичных ребер, заканчивающихся по одному, по два в вентральном бугорке или свободно. Бугорки по обе стороны вентра расположены в начале один против другого, позднее — один расположен между двумя противоположными.

Распространение и возраст. Верхний келловей Англии, Франции, ФРГ, Польши, европейской части СССР, Средней Азии и Западной Сибири.

Местонахождение. Площадь Сотэюганская, скв. 352, инт. 2123—2127 м (1,3), абалакская свита.

ПОДРОД *GULIELMITES* Виссман, 1923

*Kosmoceras (Gulielmites)* sp. ind. ex gr. *K. (G.) jason*

(Reinecke)

Табл. 43, фиг. 3

Фрагменты двух ядер. Большой фрагмент представляет раковину среднего размера, с умеренно узким умбиликусом, с тонкими густыми, слабо наклоненными ребрами, низко ветвящимися и подходящими к вентральному перегибу по одному. На меньшем фрагменте четко обозначаются мелкие округлые бугорки вдоль вентрального перегиба — признак, позволяющий отнести экземпляры к роду *Kosmoceras*. Характер ребристости сближает экземпляры с *K. (G.) jason* (Reinecke) [51, с. 93, табл. 4, фиг. 28; 38, с. 57, табл. 7, фиг. 7а, б; 43, с. 42—44, табл. IX, фиг. 1—3; табл. X, фиг. 2, 3].

Распространение и возраст. *Kosmoceras (Gulielmites) jason* (Rein.) характеризует средний келловей, зону *Kosmoceras jason* Англии, Франции, ФРГ, Польши, европейской части СССР (бассейн р. Печоры, центральные районы европейской части СССР, бассейн р. Илека, Донбасс, Северный Кавказ), Мангышлака и Туаркыра; средний келловей Западной Сибири.

Местонахождение. Площадь Среднеазымская, скв. 251, инт. 2610—2625 м (1,5), основание абалакской свиты.

*Kosmoceras* s. l. cf. *transitionis* Nikitin

Табл. 43, фиг. 4

*Kosmoceras transitionis*: Никитин, 1881, с. 73, табл. 4, фиг. 35.

Ядро полной раковины. Экземпляр отождествлен с *Kosmoceras transitions* Nik. [42, с. 73, табл. 4, фиг. 35] по наличию характерных для вида черт: высоких, умеренно объемных оборотов, высоких округлых латеральных и вентральных бугорков, тонких ветвящихся и редких сквозных ребер. Первичные ребра, наклоненные вперед, попарно сливаются в латеральном бугорке; вторичные, выгнутые назад, отходят от латеральных бугорков по три, редко — четыре: два из них сливаются в вентральном бугорке, другие заканчиваются в соседнем бугорке, иногда соединяясь с соседним ребром. Сквозные ребра проходят в промежутках между латеральными бугорками и оканчиваются между вентральными бугорками. На последней трети оборота латеральные бугорки сглаживаются. Устьевой край раковины повторяет изгиб ребер, вытягиваясь в латеральный вырост. От близкого вида *K. spinosum* Sow. [62, табл. 540, фиг. 2; 51, с. 97, табл. IV, фиг. 34; 38, с. 61, табл. 8, фиг. 10; 51, с. 112,

табл. 2, фиг.15] *K. transitionis* Nik. отличается более инволютными и высокими оборотами, равномерными, более частыми латеральными бугорками, постепенно сглаживающимися, более тонкой ребристостью и малочисленностью сквозных ребер.

Распространение и возраст. Верхний келловей ФРГ, Польши, Земли Франца-Иосифа, Новой Земли, европейской части СССР, Западной Сибири, Мангышлака и Туаркыра.

Местонахождение. Площадь Верхненазымская, скв. 284, инт. 2600—2610 м (0,24), основание абалакской свиты.

*Kosmoceras* s. l. sp. juv.

Табл. 43, фиг. 6—7

Два деформированных пиритизированных ядра. Юные особи с развитыми рядами латеральных и вентральных бугорков и гладкой широкой вентральной стороной. На одном из аммонитов (фиг. 7) видно слияние в вентральных бугорках двух ребер, отходящих от соседних латеральных бугорков, — характерный признак верхнекелловейских *Kosmoceras*.

Распространение и возраст. Средний и, главным образом, верхний келловей Западной Европы, европейской части СССР, Кавказа, Средней Азии и Западной Сибири.

Местонахождение. Площадь Северо-Памяляихская, скв. 31, инт. 3298,5—3300,0 м (0,3), васюганская свита.

## НАДСЕМЕЙСТВО STEPHANOCERATACEAE

### Семейство CARDIOCERATIDAE Hyatt, 1892

#### Подсемейство CADOCERATINAE Hyatt, 1900

#### *Cadoceratinae* gen. et sp. indet.

Табл. 43, фиг. 8—13

Отпечатки, ядра и фрагменты ядер. Форма раковин не известна. Умбиликус умеренно широкий или умеренно узкий. Преобладают ребра двуветвистые, с точкой ветвления вблизи середины боковых сторон, имеются вставные ребра. Наиболее вероятно принадлежность к подсемейству *Cadoceratinae*.

Распространение и возраст. Нижний—средний келловей Западной и Восточной Европы, Новой Земли, Земли Франца-Иосифа, о. Шпицберген, Сибири, Северной Америки и Гренландии.

Местонахождение. Площади: Западно-Сургутская, скв. 928, инт. 2782—2788 м (1,9), базальный слой васюганской свиты; Большекаменная, скв. 144, инт. 2303,45—2319,95 м (0,7),

абалакская свита; Нейтинская, скв. 27, инт. 2566—2580 м (2,5; 8,3; 9,55), даниловская свита.

РОД *PSEUDOCADOCERAS* Вискман, 1918

*Pseudocadoceras* sp. indet.

Табл. 43, фиг. 14

Фрагмент ядра. Отнесен к *Pseudocadoceras* благодаря мелкой уплощенной раковине с умеренно узким умбиликусом и с чередующимися двураздельными и одиночными, редко вставными ребрами. Ребра дугообразные, наклоненные, ветвящиеся на середине латеральной стороны.

Распространение и возраст. Нижний—средний келловей Северо-Западной и Восточной Европы, Западной Сибири, севера Средней Сибири, Земли Франца-Иосифа, Канады и Аляски.

Местонахождение. Площадь Даниловская, скв. 97, инт. 1746,7—1749,7 м (низ), базальный слой даниловской свиты.

Подсемейство QUENSTEDTOCERATINAE Hyatt, 1877 emend. Nikitin, 1884

РОД *EBORACICERAS* Вискман, 1918

*Eboraciceras* sp. indet. cf. *E. nikolaevi* (Bodylevsky)

Табл. 43, фиг. 15—16

Два ядра раковины среднего размера, с узким или очень узким умбиликусом. Ребра частые, утолщающиеся к вентральной стороне, наклоненные вперед, слабо серповидноизогнутые, но постепенно выпрямляющиеся, двуветвистые. В приумбональной части ребра постепенно сглаживаются. Отмеченные особенности раковин являются основанием для отнесения их к роду *Eboraciceras* Вискман; наиболее близки они к *E. nikolaevi* (Bodyl.) [3, с. 73—75, табл. IX, фиг. 1а, б; 2а, б, в].

Распространение и возраст. Род *Eboraciceras* характеризует зону *Quenstedtoceras lamberti* Западной и Восточной Европы и зону *Eboraciceras subordinarium* верхнего келловей Западной Сибири и севера Средней Сибири.

Вид *Eboraciceras nikolaevi* (Bodyl.) зону *Eboraciceras subordinarium* Западной Сибири и севера Средней Сибири.

Местонахождение. Площади: Южно-Тамбейская, скв. 5, инт. 3435—3450 м (6,5), абалакская свита; Нейтинская, скв. 27, инт. 2566—2580 м (1,7), даниловская свита.

*Eboraciceras* sp. indet. cf. *E. subordinarium* В у с к т а н

Табл. 43, фиг. 17

Фрагмент ядра раковины среднего размера. Ребра дву-трех-раздельные, между пучками имеются по два—три вставных ребра. Точка ветвления в нижней трети латеральной стороны. Умбиликальные ребра, широко расставленные, имеют вид удлиненных бугорков; вторичные ребра прямые, наклоненные вперед. По типу ребристости экземпляр соответствует средним оборотам. *Eboraciceras subordinarium* В у с к т а н [76, табл. СХХII, фиг. 1, 2; 84, с. 42, табл. IV, фиг. 4; 28, с. 107—111, табл. 5, фиг. 2а; табл. 42, фиг. 1а].

Распространение и возраст. *Eboraciceras subordinarium* В у с к т а н известен из верхнего келловея, зоны *Quensstedtoceras lamberti* Англии и Франции и зоны *Eboraciceras subordinarium* Западной Сибири и севера Средней Сибири.

М е с т о н а х о ж д е н и е. Площадь Усть-Балыкская, скв. 1150, инт. 2876,0—2880,6 м (2,9), переходная зона абалакской и васюганской свит.

РОД *LONGAEVICERAS* В у с к т а н, 1918

*Longaeviceras* sp. cf. *L. nikitini* (S o k o l o v)

Табл. 45, фиг. 4

Нецелое ядро.

Узкий умбиликус и тип ребристости — двураздельные ребра с низким ветвлением, частые дугообразные одиночные и длинные вставные ребра позволяют предполагать сходство с видом *Longaeviceras nikitini* (S o k o l o v) [63, с. 24—25; табл. 1, фиг. 3].

Распространение и возраст. *Longaeviceras nikitini* (S o k.) характеризует верхний келловей, зону *Longaeviceras keyserlingi* Новой Земли, бассейна р. Печоры, Западной Сибири и низовьев Енисея.

М е с т о н а х о ж д е н и е. Площадь Комсомольская, скв. 403, инт. 3016,7—3028,7 м (7,0), васюганская свита.

*Longaeviceras* cf. *keyserlingi* (S o k o l o v)

Табл. 44, фиг. 11—12

С и н о н и м и к а: см. Меледина, 1977.

Отпечаток и ядро.

Раковины с узким умбиликусом. Ребра серповидные, наклоненные, наиболее сильно на привентральной части боковых сторон; одиночные, вставные, опускающиеся ниже середины боковых сторон, редко двураздельные, иногда с повторным ветвле-

нием вблизи вентрального перегиба на приустьевой части раковины. Перечисленные признаки на близость к *L. keyserlingi* (Sok.) [63, с. 25—26, табл. II, фиг. 2].

Распространение и возраст. Верхний келловей, зона *Longaeviceras keyserlingi* о. Шпицберген, Земли Франца-Иосифа, Новой Земли, бассейна р. Печоры, Западной Сибири и севера Средней Сибири.

Местонахождение. Площади: Новопортовская, скв. 96, инт. 2030,8—2042,6 м (0,63), даниловская свита; Эргинская, скв. 28, инт. 2815—2825 м (6,0), абалакская свита.

*Longaeviceras cf. novosemelicum* (Bodylevsky)

Табл. 44, фиг. 13—19

*Quenstedtioceras mariae*: Соколов, 1913, с. 67—68, табл. 2 фиг. 1. *Cadoceras nikitinianum*: Makowski, 1952, с. 26—27, табл. III, фиг. 1, 1a; табл. IV, фиг. 1—3. *Longaeviceras novosemelicum*: Бодылевский, 1960, с. 80, табл. VII, фиг. 2; табл. X, фиг. 4a; 4б; 5a; 5б. *Cadoceras tschefkini*: Makowski, 1962, с. 78, табл. VII. *Longaeviceras staffinense*: Sykes, 1975, с. 72—73, табл. I, фиг. 1a—с; фиг. 3a; 3в. *Vertumnoceras nikitinianum*: Меледина, 1977, с. 168—171, табл. 9, фиг. 3a, 3б; табл. 10, фиг. 2a, 2б; табл. II, фиг. 3a, 3б; табл. 16, фиг. 3a, 3б.

Семь ядер и фрагментов ядер.

Раковины средних размеров с умеренно узким умбиликусом. Ребра грубые, приостренные, разреженные, одиночные и двураздельные, между которыми развиты вставные — от одного до трех. Умбиликальные ребра радиальные, они выше и острее вентральных. Вентральные ребра серповидно изогнутые, утолщающиеся и приподнятые на вентральной стороне. Изменчивость проявляется в характере ребристости, ребра от умеренно сильных (табл. 44, фиг. 14) до очень грубых, острых и резких (табл. 44, фиг. 13, 15, 18—19). По весьма характерной скульптуре западно-сибирские экземпляры уверенно определяются как *L. cf. novosemelicum* (Bodul.) [65, с. 80, табл. VII, фиг. 2; табл. X, фиг. 4, 5].

Распространение и возраст. Верхний келловей, зона *Quenstedtioceras lamberti* Польши, Новой Земли, бассейна р. Печоры; зона *Eboraceras subordinarium* Западной Сибири и севера Средней Сибири. Зона *Quenstedtioceras mariae*, подзона *Scarburgiceras scarburgense* нижнего оксфорда Шотландии.

Местонахождение. Площади: Ватьеганская, скв. 41, инт. 2925—2932 м (2,5), васюганская свита; Еловая, скв. 3, инт. 2900—2907 м (1,12), васюганская свита; Икилорская, скв. 303, инт. 2897—2903 м (3,3), васюганская свита; Нижнесортымская, скв. 231, инт. 2989—2996 м (3,25), абалакская свита; Новопортовская, скв. 61, инт. 2021—2027 м (низ); скв. 87, инт.



2010—2025 м (0,4), даниловская свита; Усть-Балыкская, скв. 1150, инт. 2876—2880,6 м (2,9), переходная зона абалакской и васюганской свит.

*Longaeviceras* sp. indet.

Табл. 45, фиг. 1—3

Фрагменты трех ядер.

Принадлежность к *Longaeviceras* предполагается по узкому или умеренно узкому умбиликусу и характеру ребер. Ребра дугообразные или серповидные, наклоненные вперед, низковетвящиеся, чередующиеся с одиночными и вставными, утолщающиеся на сифональной стороне и образующие на ней синусовидный выгиб.

Распространение и возраст. Верхний келловей зоны *Peltoceras athleta* и *Quenstedtoceras lamberti* Англии; зона *Longaeviceras keyserlingi* о. Шпицберген, Земли Франца-Иосифа, Новой Земли, бассейна р. Печоры, Западной Сибири, севера Средней Сибири и низовьев Енисея; зона *Quenstedtoceras lamberti* Польши, Новой Земли и бассейна р. Печоры; зона *Eboracicerias subordinarium* Западной Сибири и севера Средней Сибири. Нижний оксфорд, зона *Quenstedtoceras mariae*, подзона *Scarburgiceras scarburgense* Шотландии.

Местонахождение. Площади: Федоровская, скв. 153, инт. 2867—2874 м (4,7), васюганская свита; Тазовская, скв. 52, инт. 3546—3554 м (4,0), абалакская свита; Уренгойская, скв. 253, инт. 3656—3670 м (0,85), абалакская свита.

? *Longaeviceras* — ? *Quenstedtoceras* (*Soaniceras*) sp. indet.

Табл. 45, фиг. 5

Нецелое ядро.

Размер раковины и серповидные ребра с характерным синусовидным выгибом на вентральной стороне сближают экземпляр с родом *Longaeviceras*, а умеренно узкий умбиликус и относительно многочисленные вставные ребра между широко расставленными основными делают его сходным с *Quenstedtoceras* (? *Scaniceras*).

Местонахождение. Площадь Икилорская, скв. 305, инт. 2857—2864 м (0,1), васюганская свита.

РОД *QUENSTEDTOCERAS* Hyatt, 1877

*Quenstedtoceras* subgen. et sp. indet.

Табл. 44, фиг. 1—10

Одиннадцать целых ядер и фрагментов.

О принадлежности к роду *Quenstedtoceras* свидетельствуют особенности скульптуры экземпляров: рельефные, полого-серпо-

видные, преимущественно двуветвистые ребра с точкой ветвления на середине латеральной стороны и редкие вставные; выгиб ребер вперед на привентральной части боковых сторон.

Распространение и возраст. Верхний келловей, зона *Quenstedtoceras lamberti* Западной и Восточной Европы, Шпицбергена, Кавказа, Средней Азии; зона *Eboracicerias subordinarium* Западной Сибири и севера Средней Сибири, зона *Quenstedtoceras collieri* Западных Внутренних районов США, зона *Quenstedtoceras henrici* Западной Канады и слои с *Eboracicerias* Арктической Канады.

Местонахождение. Площади: Восточно-Янгтинская, скв. 112, инт. 3022—3028 м (0,36), васюганская свита; Емьеговская, скв. 517, инт. 2409—2421 м (6,3), абалакская свита; Нарыкарская, скв. 120, инт. 1876—1882 м (1,5), абалакская свита; Нижнесортымская, скв. 231, инт. 2989—2996 м (3,3), абалакская свита; Новопортовская, скв. 96, инт. 2030,8—2042,6 м (1,56), даниловская свита; Талинская, скв. 113, инт. 2515,2—2524,7 м (8,5), абалакская свита; Уренгойская, скв. 254, инт. 3711—3724 м (6,75), абалакская свита; Федоровская, скв. 92, инт. 2793—2797 м (0,2), васюганская свита; Федошинская, скв. 5, инт. 2901,7—2908,4 м (2,4), васюганская свита; Ягылъяхская, скв. 2, инт. 2461,5—2476,5 м (8,35), васюганская свита.

*Quenstedtoceras* s. l. sp.

Табл. 45, фиг. 8

Фрагмент ядра.

Уп্লощенная раковина с умеренно широким умбиликусом и полого серповидноизогнутые основные ребра, чередующиеся с двумя—тремя вставными—признаки, обосновывающие отнесенные экземпляра к роду *Quenstedtoceras*.

Местонахождение. Площадь Каренская, скв. 100, инт. 3027—3038,5 м, абалакская свита.

ПОДРОД *LAMBERTICERAS* Вискман, 1920

*Quenstedtoceras (Lamberticeras)* ex gr. *lamberti* (Sowerby)

Табл. 45, фиг. 9

Ядро.

Уп্লощенная форма раковины с умеренно широким умбиликусом, серповидная форма ребер, сочетание двураздельных, одиночных и вставных—по одному между двумя основными—признаки, характерные для группы *Quenstedtoceras lamberti* (Sowerby).

Распространение и возраст. Верхний келловей, зона *Quenstedtoceras lamberti* Англии, Франции, ФРГ, европейской части СССР, Средней Азии, Западной Сибири и севера Средней Сибири.

Местонахождение. Площадь Талинская, скв. 113, гл. 2522 м, абалакская свита.

*Quenstedtoceras (Lamberticeras) sp. nov. ex gr.*

*Quenstedtoceras lamberti (Sowery)*

Табл. 45, фиг. 6

Нецелое ядро.

Экземпляр близок по всем морфологическим показателям *Qu. (L.) lamberti (Sow.)*, но отличается более тонкой и густой ребристостью на фрагмоконе. Возможно это новый вид из группы *Qu. (L.) lamberti (Sow.)*.

Местонахождение. Площадь Каренская, скв. 400, инт. 3027—3038,5 м, абалакская свита.

*Quenstedtoceras (Lamberticeras) sp. cf. Qu. henrici*

*Douville juv.*

Табл. 45, фиг. 7

Нецелое ядро.

Умеренно широкий умбиликус, изменение сечения оборотов от округлого до овального, серпообразная форма ребер с синусовидным вентральным выгибом, преобладание двураздельных ребер над одиночными и вставными, создают сходство экземпляра с юными формами *Qu. (L.) henrici Douville* [77, табл. IV, фиг. 24].

Распространение и возраст. *Quenstedtoceras henrici (Douville)* известен из верхнего келловея: зоны *Quenstedtoceras lamberti* Англии, Франции, ФРГ, Польши, европейской части СССР, Средней Азии, зоны *Eboraciceras subordinarium* Западной Сибири и зоны *Quenstedtoceras henrici* Западной Канады.

Местонахождение. Площадь Пальяновская, скв. 411, инт. 2639—2643 м (1,7), абалакская свита.

ПОДРОД *SOANICERAS* Meledina, 1977

*Quenstedtoceras sp. cf. Qu. (? Soaniceras) principale Sasonov*

Табл. 45, фиг. 10

Нецелое ядро.

Раковина мелкая, умеренно инволютная; ребра полого серпообразные, одиночные и вставные, по два между соседними главными. Характером ребристости сходен с *Qu. (? Soaniceras) principale Sasonov* [57, с. 119—120, табл. XI, фиг. 3а, 3б], в

отличие от которого у описываемого экземпляра ребра сильно утолщаются и изгибаются вперед к вентральному перегибу.

Распространение и возраст. Верхний келловей, зона *Eboracicerus subordinarium* Западной Сибири и севера Средней Сибири; верхний келловей, зона *Peltoceras athleta* Саратовского Поволжья.

Местонахождение. Площадь Новопортовская, скв. 82, инт. 2039—2049 м (4,05), даниловская свита.

*Quenstedtoceras (Soaniceras) cf. involutum* (Thoizkaya)

Табл. 45, фиг. III

*Quenstedtoceras involutus*: Камышева-Елпатьевская, 1956, и др., с. 42, табл. 19, фиг. 47. *Quenstedtoceras (Soaniceras) involutum*: Меледина, 1977, с. 154.

Отпечаток мелкой умеренно инволютной раковины. По характеру скульптуры близок виду *Qu. (Soaniceras) involutum* (Thoiz.) [14, с. 42, табл. 19, фиг. 47].

Распространение и возраст. Верхний келловей, зона *Quenstedtoceras lamberti* Саратовского Поволжья, зона *Eboracicerus subordinarium* Западной Сибири и севера Средней Сибири.

Местонахождение. Площадь Каменная, скв. 13, инт. 2394,6—2398,6 м (0,9), абалакская свита.

*Quenstedtoceras (Soaniceras) parvulum* Meledina

Табл. 45, фиг. 12—15

Синонимика: см. Меледина, 1977.

Ядра и отпечатки раковин из Западной Сибири тождественны северосибирским экземплярам, упомянутым в синонимике.

Распространение и возраст. Верхний келловей, зона *Eboracicerus subordinarium* Западной Сибири и севера Средней Сибири.

Местонахождение. Площадь Новопортовская, скв. 82, инт. 2039—2049 м (2,3); скв. 96, инт. 2030,8—2042,6 м (1,44), даниловская свита.

*Quenstedtoceras* (? *Soaniceras*) sp. nov.

Табл. 45, фиг. 16—17

Три ядра.

Мелкая инволютная раковина с частыми нитевидными дугообразными ребрами, имеющими нечеткий характер ветвления на середине латеральной стороны. Первичные ребра слабо рельефные, вторичные — еще более ослабленные. Устье с вытянутым

вентральным краем. По размеру раковины и общему характеру ребристости определена принадлежность и *Quenstedtoceras* (? *Soaniceras*), а также такие признаки, как частота, нитевидность и слабая выраженность ребер, позволяют предполагать новый вид.

Местонахождение. Площади: Бованенковская, скв. 126, инт. 2830—2841 м (7,2), переходная зона даниловской и абалакской свит: Нарыкарская, скв. 120, инт. 1876—1882 м (2,3), абалакская свита.

Подсемейство **CARDIOCERATINAE** Siemiradzki, 1891

РОД **GOLIATHICERAS** Buckman, 1919

ПОДРОД **KORYTHOCERAS** Buckman, 1920

*Goliathiceras* (*Korythoceras*) cf. *rotundatum* (Nikitin)

Табл. 46, фиг. 21

Синонимика: см. Князев, 1975.

Нецелое ядро.

Тип скульптуры: короткие, острые, высокие, сигмоидально изогнутые первичные ребра и низкие, широкие, сильно серповидно-изогнутые вторичные, а также грубо зазубренный слабо обособленный киль позволяют считать аммонит близким к виду *C. (K.) rotundatum* (Nikitin) [50, с. 141, табл. 1, фиг. 12; 51, с. 54—55, табл. 2, фиг. 16]. Неполная сохранность экземпляра не допускает полного отождествления с указанным видом.

Распространение и возраст. *Goliathiceras* (*Korythoceras*) *rotundatum* (Nikitin) характеризует нижний оксфорд, зону *Cardioceras bukowskii* Западной Европы и европейской части СССР; зону *Cardioceras gloriosum*, подзону *Cardioceras gloriosum* севера Средней Сибири; слои с *Scarburgiceras* Западной Сибири.

Местонахождение. Площадь Елизаровская, скв. 25, инт. 2458—2462 м (1,0 м от низа), абалакская свита.

РОД **CARDIOCERAS** Neumayr et Uhlig, 1881

ПОДРОД **SCARBURGIOCERAS** Buckman, 1924

*Cardioceras* (*Scarburgiceras*) *praecordatum* R. Douville

Табл. 47, фиг. 10

Синонимика: см. Князев, 1975.

Распространение и возраст. Нижний оксфорд, зона *Quenstedtoceras mariae*, подзона *Cardioceras praecordatum* Западной Европы, европейской части СССР, Средней Азии; зо-

на *Cardioceras gloriosum*, подзона *Cardioceras praecordatum* севера Средней Сибири; слои с *Scarburgiceras* Западной Сибири, Аляски и Канады.

Местонахождение. Площадь Каменная, скв. 11, инт. 2406,4—2410,9 м (0,4), абалакская свита.

*Cardioceras (Scarburgiceras) cf. praecordatum*

R. Douville juv.

Табл. 46, фиг. 2

Ядро.

Раковина мелкая, умеренно эволютная, с широким умбиликусом, густыми, слабо дифференцированными серповидно-изогнутыми ребрами, с редким появлением третичных ребер и отсутствием бугорков в точке ветвления. От тонкорребристых разновидностей *C. (Scarb.) praecordatum* R. Douville [84, табл. 7, фиг. 7, 7а; 90, табл. 6, фиг. 1, 8; табл. 7, фиг. 1—3] отличается более изящной густой упорядоченной ребристостью и более обособленным килем.

Местонахождение. Площадь Талинская, скв. 113, инт. 2515,2—2524,7 м (3,7), абалакская свита.

*Cardioceras (Scarburgiceras) sp. indet. ex gr.*

*C. (Scarb.) scarburgense* (Young et Bird)

Табл. 46, фиг. 1

Один неполный отпечаток с сохранившимся раковинным сломом.

Слабая дифференциация ребер, низкая точка ветвления, незначительные бугорковидные утолщения в точке деления, регулярное повторное ветвление, а также грубо зазубренный, нерезко обособленный киль свидетельствуют о принадлежности аммонита к группе *C. (Scarb.) scarburgense* (Young et Bird) [37, с. 30] и о его близости к *C. (Scarb.) praecordatum* R. Douville.

Распространение и возраст. Группа видов *C. (Scarb.) scarburgense* (Young et Bird) характеризует нижний оксфорд, зону *Quenstedtoceras mariae* Западной Европы, европейской части СССР и Средней Азии; зону *Cardioceras obliteratedatum* и зону *Cardioceras gloriosum*, подзону *Cardioceras praecordatum* Западной Сибири и севера Средней Сибири; слои с *Scarburgiceras* Западной Сибири, Аляски и Канады.

Местонахождение. Площадь Вачимская, скв. 8, инт. 2687—2694 м (1,88), васюганская свита.

*Cardioceras (Scarburgiceras) gloriosum* Arkell

Табл. 46, фиг. 4

Синонимика: см. Князев, 1975.

Распространение и возраст. Нижний оксфорд, зона *Quenstedtoceras mariae*, подзона *Cardioceras praecordatum* и зона *Cardioceras bukowskii* Западной Европы; зона *Cardioceras gloriosum* севера Средней Сибири, Северо-Востока СССР и Западной Канады; слои с *Cardioceras gloriosum* Арктической Канады и Аляски; слои с *Scarburgiceras* Западной Сибири.

Местонахождение. Площадь Пальяновская, скв. 43, инт. 2473—2488 м (4,5), абалакская свита.

*Cardioceras (Scarburgiceras) cf. gloriosum* Arkell

Табл. 46, фиг. 7—8

Фрагменты двух ядер.

Среднего размера раковины с резко дифференцированной скульптурой, большим числом вторичных дугообразных изогнутых ребер, высоким четким бугорком в точке ветвления ребер и грубо зазубренным, но нерезко обособленным килем. Наиболее близки *C. (Scarb.) gloriosum* Arkell. Экземпляр на табл. 46, фиг. 7 представляет последнюю четверть наружного оборота полной раковины, на что указывают сближенные и сглаженные первичные ребра, последние из них, по-видимому, повторяют очертание устья. Учитывая высокую степень дифференциации ребер и хорошо развитые бугорки в точке ветвления, есть основание причислить к этому же виду экземпляра на табл. 46, фиг. 3, отнесенного к группе *C. (Scarb.) alphacordatum* Spath.

Местонахождение. Площадь Емьеговская, скв. 4, инт. 2331,9—2335,4 м (верх); скв. 517, инт. 2409—2421 м (5,0), абалакская свита.

*Cardioceras (Scarburgiceras) ex gr. alphacordatum* Spath

Табл. 46, фиг. 5—6

Фрагменты двух ядер.

Раковины средних размеров с разной степенью дифференциации ребер в зависимости от стадии роста, серповидно-изогнутыми вторичными ребрами, более или менее сильно развитым бугорком в точке ветвления и грубо зазубренным нерезко обособленным килем. Из-за неудовлетворительной сохранности отнесены к группе *C. (Scarb.) alphacordatum* Spath без видového отождествления.

Распространение и возраст. Группа *Cardioceras* (*Scarburgiceras*) *alphacordatum* Spath характеризует нижний оксфорд, зону *Quenstedtoceras mariae*, подзону *Cardioceras praecordatum* и зону *Cardioceras bukowskii* Западной Европы и европейской части СССР; зону *Cardioceras gloriosum* севера Средней Сибири, Северо-Востока СССР и Западной Канады; слои с *Cardioceras alphacordatum* и *Cardioceras gloriosum* Арктической Канады и Аляски; слои с *Scarburgiceras* Западной Сибири и зону *Quenstedtocerae mariae/Cardioceras cordatum* северо-восточной Гренландии.

Местонахождение. Площади: Восточно-Сургутская, скв. 28, инт. 2869—2877 м (1,05), васюганская свита; Западно-Фроловская, скв. 4, инт. 2796—2802 м (3,2), абалакская свита; Средне-Ватьеганская, скв. 88, инт. 3127—3137 м (4,35), васюганская свита.

ПОДРОД *CARDIOCERAS* Neumayr et Uhlig, 1881

*Cardioceras* (*Cardioceras*) cf. *percaelatum* Pavlow

Табл. 46, фиг. 9—10

Синонимика: см. Князев, 1975.

Два ядра.

Резко дифференцированная скульптура, радиальные первичные и сильно изогнутые истончающиеся в прикилевой части вторичные ребра, резкие бугорки в точке деления, повторное ветвление и высокий четко обособленный киль дают основание считать экземпляры сходными с видом *C. (C.) percaelatum* Pavlow [54, с. 50, табл. 14, фиг. 8—9].

Распространение и возраст. Нижний оксфорд, зона *Cardioceras percaelatum* Западной Европы, европейской части СССР, севера Средней Сибири, Северо-Востока СССР, Аляски, Западной и Арктической Канады; верхняя часть зоны *Cardioceras cordiforme* Западных внутренних областей США и слои с *Cardioceras* s. s. (*Cardioceras percaelatum*, *Cardioceras cordatum*) Западной Сибири.

Местонахождение. Площади: Айторская, скв. 7, инт. 2410,5—2414,5 м (2,5), абалакская свита; Салымская, скв. П, инт. 2886—2889 м (0,4 м от низа), абалакская свита.

*Cardioceras* (*Cardioceras*) cf. *cordatum* (Sowerby)

Табл. 46, фиг. III

Синонимика: см. Князев, 1975.

Ядро.

Дифференцированной скульптурой, длинными первичными ребрами, делящимися на два—три вторичных ребра, бугорками в точке ветвления, повторным делением ребер и четко обо-



собленным изящным килем экземпляр имеет сходство с видом *C. cordatum* (Sowerby) [92, с. 51, табл. 7, фиг. 4; 38, с. 49, табл. 5, фиг. 3, 4]. От близкого *C. percaelatum* Pavlow отличается более изящной скульптурой, более низким реберным отношением, большей длиной первичных ребер и менее резким изгибом вторичных ребер.

Распространение и возраст. Нижний оксфорд, зона *Cardioceras cordatum* Западной Европы, европейской части СССР, Средней Азии, севера Средней Сибири, Аляски и Канады; слои с *Cardioceras* s. s. Западной Сибири и Западных внутренних областей США.

Местонахождение. Площадь Селияровская, скв. 18, инт. 2842—2851 м (4,8), абалакская свита.

### *Cardioceras* (*Cardioceras*) ex gr. *cordatum* (Sowerby)

Табл. 46, фиг. 12—16, 18—20

Восемь ядер и фрагментов.

Мелкие и среднего размера раковины типом скульптуры, а именно дифференцированной ребристостью, длинными первичными ребрами, хорошо развитыми латеральными бугорками и четко обособленным изящным килем близки к группе *Cardioceras cordatum* (Sowerby).

Местонахождение. Площади: Айпимская, скв. 15, инт. 2940—2951 м (1,8), абалакская свита; Елизаровская, скв. 27, инт. 2450,60—2458,50 м, абалакская свита; Каменная, скв. 3, инт. 2391,7—2396,6 м (1,2), абалакская свита; Карабашская, скв. 3, инт. 1871,25—1874,65 м (середина), даниловская свита; Пальяновская, скв. 418, инт. 2343—2360 м (6,1), абалакская свита; Туканская, скв. 54, инт. 2922—2929 м (1,45 м от низа), васюганская свита; Шеркалинская, скв. 131, инт. 2205,9—2210,9 м (1,0), абалакская свита; Южно-Поселковая, скв. 1, инт. 2820,8—2823,0 м (1,0), васюганская свита.

### ПОДРОД *SUBVERTEBRICERAS* Arkell, 1941

#### *Cardioceras* (*Subvertebriceras*) cf. *densiplicatum* Boden juv.

Табл. 47, фиг. 6

Синонимика: см. Князев, 1975.

Два ядра.

Характером навивания, субпрямоугольным, вытянутым в высоту сечением оборотов с уплощенными латеральными сторонами и характером развития скульптуры (ребра по мере роста раковины становятся грубее и теряют сигмоидальность) близки виду *Cardioceras densiplicatum* Boden. Но из-за того, что экземпляры мелкие, к указанному виду отнесены условно. Экземпляры близки изображенным В. Г. Князевым [37, табл. XVІІІ, фиг. 10; табл. XIX, фиг. 1—9] с севера Средней Сибири.

Распространение и возраст. Средний оксфорд, зона *Cardioceras densiplicatum* Шотландии, Литвы, Западной Сибири и севера Средней Сибири.

Местонахождение. Площади: Нижнесортымская, скв. 208, инт. 2929—2936 м (2,0), абалакская свита; Хангокуртская, скв. 827, инт. 2266,3—2271,0 м (0,5), абалакская свита (экземпляр не изображен).

### *Cardioceras (Subvertebriceras) zenaidae* Ilv a i s k y

Табл. 47, фиг. 7

*Cardioceras zenaidae*: Ilv a i s k y, 1903, с. 269, табл. X, фиг. 33—36. *Cardioceras (Subvertebriceras) zenaidae*, Arkell, 1942, с. 241, табл. II, фиг. 1, 2. *Cardioceras zenaidae*: Камышева-Елпатьевская и др., 1956, с. 50, табл. XX, фиг. 62. *Cardioceras zenaidae*: Сазонов, 1957, с. 142—143, табл. XVII, фиг. 3, 3а, 3б; табл. XVIII, фиг. 4. *Cardioceras (Subvertebriceras) zenaidae*: Malinowska, 1963, с. 47—48, табл. XVIII, фиг. 106.

Нецелое ядро.

Полностью соответствует описанию и изображению вида Д. Иловайского. Легко узнается по характерной скульптуре: четко обозначенным рядам латеральных и вентро-латеральных бугорков и по развитию тонких четких третичных ребер, которые по два—три отходят к килю от каждого вентро-латерального бугорка. Отличается отсутствием вторичных ребер, идущих от латеральных бугорков к вентро-латеральным. Это небольшое отличие, однако, лежит в пределах изменчивости вида [79, табл. X, фиг. 35]. Близким видом, вероятно, является *Cardioceras canadense* (Whiteaves) из оксфорда Канады, от которого наша форма отличается несколько большим количеством третичных ребер.

Распространение и возраст. Средний оксфорд, верхи зоны *Cardioceras densiplicatum* и зона *Cardioceras tenuiserratum* (возможно, *Cardioceras zenaidae*) европейской части СССР; зона *Cardioceras densiplicatum* Восточной Гренландии и Шотландии, зона *Cardioceras excavatum* Польши и зона *Cardioceras tenuiserratum* Западной Сибири.

Местонахождение. Площадь Каменная, скв. 201, инт. 2455—2460 м (0,1), абалакская свита.

### ПОДРОД *SCOTICARDIOCERAS* Buckman

#### *Cardioceras (Scoticardioceras)* cf. *excavatum* (Sowerby)

Табл. 47, фиг. 8—9

Синонимика: см. Князев, 1975.

Два нецелых ядра.

Экземпляры умеренно инволютные, уплощенные, со слабо дифференцированной скульптурой и изящной ребристостью, сглаживающейся на средних оборотах. С повторным ветвлении

ем вторичных ребер, которые, резко изгибаясь и истончаясь в вентро-латеральной области, образуют короткие третичные ребра, переходящие на киль. По всем указанным признакам экземпляры близки *Cardioceras excavatum* (Sowerby) [92, с. 5, табл. 105].

Распространение и возраст. Нижний—средний оксфорд, зона *Cardioceras cordatum*, зона *Perisphinctes plicatilis*, подзона *Cardioceras vertebrale* и ее аналоги и зона *Cardioceras densiplicatum* Западной Европы, европейской части СССР, Средней Азии, Западной Сибири, севера Средней Сибири, Земли Франца-Иосифа, Новой Земли и США (Вайоминг). Верхи зоны *Cardioceras bukowskii* и низы зоны *Cardioceras excavatum* Польши.

Местонахождение. Площади: Каменная, скв. 21, инт. 2407—2414 м, абалакская свита; Камынская, скв. 50, инт. 2888—2897 м (0,6), абалакская свита.

#### ПОДРОД *PLASMATOCERAS* Buckman, 1925

*Cardioceras (Plasmatoceras) cf. tenuistriatum* (Borissiak)

Табл. 47, фиг. III

Синонимика: см. Malinowska, 1963.

Фрагмент ядра.

Небольшим размером и характером скульптуры — многочисленными тонкими (струйчатыми) вторичными ребрышками, отходящими от сравнительно более грубых первичных ребер, экземпляр тождествен *Cardioceras tenuistriatum* (Boris.) [8, с. 10, табл. 1, фиг. 13]. Из-за недостаточной сохранности отнесен к указанному виду со знаком cf.

Распространение и возраст. Средний оксфорд, зона *Cardioceras tenuicostatum* ФРГ, зона *Cardioceras excavatum* Польши, зона *Cardioceras densiplicatum* Шотландии, Литвы, Днепровско-Донецкой впадины, бассейна р. Печоры, Западной Сибири и севера Средней Сибири.

Местонахождение. Площадь Шеркалинская, скв. 131, инт. 2205,9—2210,9 м (верх), абалакская свита.

#### ПОДРОД *MALTONICERAS* Arkell, 1941

*Cardioceras (Maltoniceras) sp. aff. C. highworthensis* Arkell

Табл. 47, фиг. 1—5

Диагноз. Среднего размера, умеренно инволютная раковина, с высоким треугольным сечением оборотов, с четко развитыми рядами латеральных и вентро-латеральных бугорков. Регулярная ребристость отсутствует. Киль высокий, тонко зубренный. Вентро-латеральный перегиб пологий.

Описание. Среднего размера, умеренно инволютные раковины, с высоким треугольным сечением средних и поздних

оборотов. Ранние обороты более вздутые и низкие. По мере роста сечение оборотов вытягивается, а наружная сторона приостается. Умбиликус умеренно узкий, умбиликальная стенка низкая, с пологим умбиликальным перегибом. На ранних и средних оборотах регулярная ребристость отсутствует, лишь иногда появляются признаки первичных ребер. Развиты ряды крупных более или менее вытянутых латеральных бугорков и косо расположенных тоже удлиненных вентро-латеральных бугорков, которые присутствуют на всех стадиях роста. У экз. на табл. 47, фиг. 2а, 2б при диаметре 37 мм на наружном обороте насчитывается 8 латеральных бугорков; вентро-латеральные бугорки располагаются чаще, на один латеральный бугорок приходится 3 вентро-латеральных. Ребристость развивается редко, лишь у экз. на табл. 47, фиг. 5 в конце наружного оборота хорошо видна вторичная ребристость, заменившая вентро-латеральные бугорки. Характерна струйчатость, которую можно наблюдать лишь на хорошо сохранившихся отпечатках в глинистых фациях или на хорошо сохранившихся частях раковины (табл. 47, фиг. 2а, 2б). Киль низкий, тонко зазубренный, к концу наружного оборота становится высоким, появляются короткие третичные ребра.

Экземпляры из Западной Сибири формой раковины и нерегулярной скульптурой ближе всего к виду *Cardioceras (Maltoniceras) highworthensis* Arkell, но последний крупнее, а стадия отсутствия ребристости выражена не столь резко. У сибирских экземпляров спорадически появляются умбиликальные бугорки, что для данного вида не характерно.

Распространение и возраст. Вид *Cardioceras (Maltoniceras) highworthensis* Arkell характеризует средний оксфорд, зону *Cardioceras densiplicatum*, подзону *Cardioceras maltonense* и зону *Cardioceras tenuiserratum*, подзону *Cardioceras tenuiserratum* Англии, зону *Cardioceras tenuiserratum* Западной Сибири и зону *Cardioceras tenuiserratum* Польши.

Местонахождение. Площади: Верхнесалымская, скв. 21, инт. 2941—2964 м (5,2), абалакская свита; Емьеговская, скв. 517, инт. 2409—2421 м (0,05), абалакская свита; Катильгинская, скв. 102, инт. 2648,3—2655,5 м (2,5), глинисто-карбонатная конкреция в низах верхней подсвиты васюганской свиты; Тевризская, скв. 4, инт. 2363,8—2368,3 м (0,45 м от низа), васюганская свита; Эргинская, скв. 28, инт. 2815—2825 м (2,2), абалакская свита.

ПОДРОД *MITICARDIOCERAS* Buckman, 1923

*Cardioceras (Miticardioceras)* sp.

Табл. 47, фиг. 12

Фрагмент отпечатка.

Небольшой размер раковины, тонкие радиальные нечеткие нерегулярные первичные ребра, которые заканчиваются доволь-

но крупным бугорком, являются основанием для отнесения формы к подроду *Miticardioceras*. Верхняя часть оборота гладкая, развита слабо заметная струйчатость.

Распространение и возраст. Средний оксфорд, зона *Cardioceras tenuiserratum* Восточной Гренландии, Шотландии, Англии, Франции, Германии, Польши и Западной Сибири.

Местонахождение. Площадь Южно-Табаганская, скв. 135, инт. 2607—2610 м, васюганская свита.

РОД *АМОЕВОСЕРАС* Hyatt, 1900

ПОДРОД *АМОЕВОСЕРАС* s. str.

*Amoeboceras* (*Amoeboceras*) cf. *alternoides* (Nikitin)

Табл. 48, фиг. 1—2

Синонимика: см. Сазонов, 1957.

Фрагменты двух ядер.

Характерная ребристость: отсутствие бугорков, извилистые, наклоненные вперед на вентро-латеральном перегибе ребра, которые, изгибаясь, далеко протягиваются по вентру, и высокий мелкозубренный киль указывают на сходство экземпляров с видом *Amoeboceras alternoides* (Nik.) [50, с. 67, табл. 1, фиг. 14; 63, с. 41, табл. III, фиг. 1; 52, с. 6—8, табл. 1, фиг. 1]. К этому же виду очень условно можно приблизить экземпляр из Черкашинской скв. 1 (табл. 48, фиг. 3).

Распространение и возраст. Верхний оксфорд, зона *Amoeboceras alternoides* европейской части СССР и Шпицбергена; зона *Amoeboceras alternans* восточного склона Приполярного Урала, низовьев р. Енисея и севера Средней Сибири, слои с *Amoeboceras* spp. Западной Сибири.

Местонахождение. Площади: Среднеяровская, скв. 3, инт. 3250—3265 м (1,8), яновстанская свита; Харампурская, скв. 324, инт. 2879—2889 м (1,5), васюганская свита; Черкашинская, скв. 1, инт. 2312,05—2318,45 м (низ), абалакская свита.

*Amoeboceras* sp. aff. *A. glosense* (Bigot et Brasil)

Табл. 48, фиг. 4—5

Ядро и фрагмент ядра.

Раковины мелкие, умеренно инволютные. Бугорки не развиты, наблюдается лишь небольшое утолщение вторичных ребер в вентро-латеральной части. Вторичные ребра резко изгибаются вперед на вентро-латеральном перегибе и далеко протягиваются вдоль кия. Киль высокий мелкозубренный, экземпляры напоминают *Amoeboceras glosense* (Bigot et Brasil) [93,

табл. 113, фиг. 5—7, 9; табл. 115, фиг. 1, 9; табл. 116, фиг. 1—3, 6—10], от которого отличаются извилистыми, в основном оди-  
ночными ребрами.

Распространение и возраст. Верхний оксфорд, зо-  
на *Amoeboceras glosense* Гренландии, Шотландии, Англии и  
Франции, слои с *Amoeboceras* spp. Западной Сибири.

Местонахождение. Площадь Новопортовская, скв. 88,  
инт. 2005—2016 м, даниловская свита.

*Amoeboceras* sp. ex gr. *A. glosense* (Bigot et Brasil)

Табл. 48, фиг. 8

Ядро.

Мелкая инволютная раковина тонкой острой ребристостью  
и отсутствием бугорков наиболее близка *Amoeboceras* группы  
*glosense*, вероятно, мелкий экземпляр вида *A. damoni* Spath  
[93, с. 874—876, табл. 116, фиг. 4—5].

Местонахождение. Площадь Харампурская, скв. 324,  
инт. 2879—2889 м (1,8), васюганская свита.

*Amoeboceras* sp. cf. *A. serratum* (J. Sowerby)

Табл. 48, фиг. 11

Ядро мелкой раковины.

На последней половине оборота резко меняется характер  
скульптуры: острые прямолинейные радиальные ребра первой  
половины оборота истончаются и сглаживаются, плавно изги-  
баясь к ventру. Небольшой размер и раннее исчезновение реб-  
ристости отличают описываемую форму от всех известных видов  
*Amoeboceras*. В какой-то степени имеется сходство с внутренни-  
ми оборотами неотипа *Amoeboceras serratum* (J. Sowerby)  
[93, табл. 117, фиг. 1].

Местонахождение. Площадь Харампурская, скв. 309,  
инт. 2909—2916 м (5,0), васюганская свита.

*Amoeboceras* cf. *kostromense* (Nikitin)

Табл. 48, фиг. 7

Синонимика: см. Сазонов, 1957.

Нецелое ядро.

Мелкая умеренно эволютная раковина грубой резкой реб-  
ристостью, сильными острыми латеральными и вентро-латераль-  
ными бугорками и понижением ребер между ними близка виду  
*A. kostromense* (Nik.) [51, с. 109, табл. II, фиг. 7, 8].

Распространение и возраст. Верхний оксфорд, зо-  
на *Amoeboceras alternans* европейской части СССР, слои с  
*Amoeboceras* spp. Западной Сибири и севера Средней Сибири.

Местонахождение. Площадь Омская, скв. 1, гл. 2387,0 м, георгиевская свита.

*Amoeboceras regulare* Spath

Табл. 48, фиг. 16

Синонимика: см. Sykes and Callomon, 1979.

Умеренно инволютная раковина с уплощенными латеральными сторонами и строго радиальной правильной ребристостью тождественна виду *Amoeboceras regulare* Spath [78, с. 75—77, табл. XXVI, фиг. 2—3]. Отличается более частой ребристостью, меньшим реберным отношением и более мелкозубренным килем.

Распространение и возраст. Верхний оксфорд, зона *Amoeboceras regulare* Гренландии, Западной Шотландии, севера Северного моря; Новая Земля, валуны; зона *Amoeboceras ravnii* Западной Сибири и севера Средней Сибири; редко в верхах зоны *Amoeboceras serratum* Шотландии.

Местонахождение. Площадь Усть-Часельская, скв. 198, инт. 2717—2731 м (8,2), сиговская свита.

*Amoeboceras* sp. ex gr. *A. regulare* Spath

Табл. 48, фиг. 9

Ядро.

Мелкая раковина с уплощенными латеральными сторонами и прямыми радиальными, преимущественно одиночными ребрами, резко изгибающимися в вентро-латеральной части. Наиболее вероятна форма из группы *Amoeboceras regulare* Spath.

Местонахождение. Площадь Харампурская, скв. 315, инт. 2924—2939 м (12,2), васюганская свита.

*Amoeboceras freboldi* Spath

Табл. 48, фиг. 15

Синонимика: Sykes and Callomon, 1979.

Ядро с частично сохранившимся раковинным слоем.

Среднего размера умеренно инволютная раковина, с уплощенными латеральными сторонами по типу ребристости несомненно принадлежит к группе *Amoeboceras regulare*, наиболее вероятно к *Amoeboceras freboldi* Spath. Однако имеются отличия: ребристость не грубеет к концу оборота, не развиты латеральные бугорки и слабо развиты вентро-латеральные, несмотря на то, что экземпляр полный, на что указывает сгущение ребер в конце оборота.

Распространение и возраст. Верхний оксфорд, зона *Amoeboceras regulare* Восточной Англии, Шотландии, севера Северного моря, Восточной Гренландии, Новой Земли и Польши; зона *Amoeboceras ravni* Западной Сибири и севера Средней Сибири; редко в верхах зоны *Amoeboceras serratum* Шотландии.

Местонахождение. Войкарский профиль, скв. 2, инт. 399,0—404,5 м (4,5), даниловская свита.

*Amoeboceras* cf. *leucum* Spath emend. Mesezhnikov

Табл. 48, фиг. 14

Синонимика: см. Месежников, 1967.

Нецелое ядро.

Среднего размера раковина уплощенными латеральными сторонами и редкими грубыми острыми одиночными ребрами близка виду *Amoeboceras leucum* Spath [44, с. 118—120, табл. 1, фиг. 3; табл. III, фиг. 2, 3]. Отличается намного более грубыми, резкими, совершенно прямыми ребрами, без характерного выгиба вперед на середине латеральной стороны и полным отсутствием бугорков.

Распространение и возраст. Верхний оксфорд, зона *Amoeboceras serratum*, подзона *Amoeboceras serratum* (редко) и зона *Amoeboceras regulare* Гренландии, Англии, Шотландии, Шпицбергена и Новой Земли; зона *Amoeboceras ravni* Тимана, Подмосковья, Западной Сибири и севера Средней Сибири.

Местонахождение. Обский профиль, скв. 12, инт. 327—329 м, даниловская свита.

*Amoeboceras rosenkrantzi* Spath

Табл. 48, фиг. 18

Синонимика: см. Sykes and Callomon, 1979.

Небольшое скопление раковин с сохранившимся раковинным слоем.

Мелкая умеренно инволютная раковина с уплощенными латеральными сторонами и прямыми слегка наклоненными назад ребрами с тенденцией к ослаблению на середине латеральной стороны тождественна *Amoeboceras rosenkrantzi* Spath [92, с. 888, табл. 119, фиг. 10; табл. 120, фиг. 1—6].

Распространение и возраст. Верхний оксфорд, зона *Amoeboceras rosenkrantzi* Дорсета, Шотландии, Восточной Гренландии, севера Северного моря, Земли Франца-Иосифа и Арктической Канады, зона *Amoeboceras ravni* Западной Сибири.

Местонахождение. Площадь Западно-Фроловская, скв. 35, инт. 2737—2800 м (7,4), абалакская свита.



*Amoeboceras* sp. sp. indet.

Табл. 48, фиг. 10, 12, 13, 17

Ядро и фрагменты ядер.

Неудовлетворительная сохранность допускает только родовое определение.

Распространение и возраст. Широко распространенный род верхнего оксфорда и кимериджа в пределах Борзального пояса.

Местонахождение. Площади: Верхнечасельская, скв. 153, инт. 2962—2974 м (4,8), сиговская свита; Половинкинская, скв. 100, инт. 1892,95—1896,45 м, абалакская свита; Сартыньинская, скв. 150, инт. 1393,6—1398,5 м (верх), абалакская свита; Усть-Часельская, скв. 205, инт. 2720—2735 м (1,1—1,3), сиговская свита.

*Amoeboceras* sp. sp. juv.

Табл. 48, фиг. 19—26

Восемь ядер и два фрагмента юных особей аммонитов, делимых только до рода.

Местонахождение. Площади: Кынская, скв. 211, инт. 2860—2874 м (1,5; 4,8), сиговская свита, нижняя часть верхней подсвиты; скв. 216, инт. 2857—2868 м (1,6; 4,26; 4,8), сиговская свита, верхняя подсвита; Туруханская, скв. 1, инт. 2326,0—2329,5 м, сиговская свита; Усть-Часельская, скв. 208, инт. 2695—2710 м (1,2), основание яновстанской свиты; Харампурская, скв. 310, инт. 2905—2910 м (4,0), георгиевская свита.

ПОДРОД *AMOEBITES* Buckman, 1925

ГРУППА *Amoeboceras* (*Amoebites*) *kitchini* (Salfeld)

*Amoebites* с полностью обособленным килем, по бокам которого имеются гладкие бороздки.

*Amoeboceras* (*Amoebites*) *kitchini* (Salfeld) emend. Spath

Табл. 49, фиг. 4

Синонимика: см. Месежников, 1984.

Распространение и возраст. Широко распространенный вид. Нижний кимеридж, реже нижняя половина верхнего кимериджа Англии, Шотландии, Булонии, Восточной Гренландии, о. Шпицберген, Земли Франца-Иосифа, Поволжья, бассейна р. Печоры, Западной Сибири, восточного склона Урала, Енисейско-Ленского междуречья, Таймыра, Северо-Востока СССР и Канады.

Местонахождение. Площадь Харампурская, скв. 303, инт. 3000—3009 м (2,0), георгиевская свита.

*Amoeboceras (Amoebites) ex gr. kitchini (Salfeld)*  
emend. Spath

Табл. 49, фиг. 5—10

Ядро и пять фрагментов ядер разной степени сохранности, представляющие различные виды на разных стадиях развития. Объединены в группы *Amoeboceras (Amoebites) kitchini (Salfeld)*, так как на всех экземплярах четко виден полностью обособленный киль, сопровождающийся гладкими бороздками по бокам — основной признак, по которому выделена данная группа видов.

Местонахождение. Площади: Восточно-Таркасалинская, скв. 72, инт. 3406—3421 м (7,6), георгиевская свита; Усть-Часельская, скв. 202, инт. 2623—2633 м (5,8), верхи сйговской свиты; скв. 208, инт. 2695—2710 м, основание яновстанской свиты; скв. 210, инт. 2660—2669 м (3,5; 3,8; 5,3), верхи сйговской свиты.

*Amoeboceras (Amoebites) cf. subkitchini Spath*

Табл. 49, фиг. 11

Нецелое ядро.

Разделение близких видов *A. (A.) kitchini (Salfeld)* и *A. (A.) subkitchini Spath* затруднительно. Экземпляр отнесен к указанному виду условно из-за более частых первичных ребер и более широкого умбиликуса, чем у *A. (A.) kitchini (Salf.)*.

Распространение и возраст. *A. (A.) subkitchini Spath* характеризует нижний кимеридж Восточной Гренландии, Земли Франца-Иосифа, европейской части СССР, Западной Сибири, Таймыра и бассейна р. Хатанги.

Местонахождение. Площадь Усть-Часельская, скв. 208, инт. 2695—2710 м (2,8), основание яновстанской свиты.

*Amoeboceras (Amoebites) cf. alticarinatum Mesezhnikov et Romm*

Табл. 50, фиг. 1—3

Синонимика: см. Месежников, 1984.

Фрагменты двух ядер.

Высокий грубо зазубренный киль позволяет считать экземпляры сходными с видом *A. (A.) alticarinatum Mesezhn. et Romm* [46, с. 92, табл. III, фиг. 2].

Распространение и возраст. Нижний кимеридж Гренландии, Земли Франца-Иосифа, бассейна р. Печоры, Западной Сибири; бассейна р. Хатанги, Восточного Таймыра и нижняя часть верхнего кимериджа Гренландии.

Местонахождение. Площадь Усть-Часельская, скв. 199, инт. 2649—2664 м (2,1); скв. 202, инт. 2623—2633 м (7,8), верхи сиговской свиты.

*Amoeboceras (Amoebites) cf. modestum* Mesezhnikov et Romm

Табл. 50, фиг. 4

*Amoeboceras (Amoebites) modestum*: Месежников и Ромм, 1973, с. 43, табл. III, фиг. 1—3.

Нецелое ядро.

Небольшого размера, умеренно эволютная раковина преимущественным развитием одиночных ребер, отсутствием четко выраженных бугорков и обособленным килем подобна виду *A. (A.) modestum* Mesezhn. et Romm.

Распространение и возраст. Нижний кимеридж, зона *Rasenia evoluta* бассейна р. Хатанги и нижний кимеридж низовьев Енисея.

Местонахождение. Площадь Суходудинская, скв. 1, инт. 1130,7—1143,1 м, сиговская свита.

*Amoeboceras (Amoebites) sp. cf. A. salfeldi* Spath

Табл. 50, фиг. 5

Фрагмент отпечатка.

Низким сечением оборота, очень сильно развитыми вентролатеральными бугорками, редкими грубыми первичными ребрами и ранней их фибуляцией близок *A. (A.) salfeldi* Spath. Очень похож на типичный фрагмент, изображенный Спэтом [90, табл. 2, фиг. 7]. Возможно, к этому же виду относится экземпляр, изображенный в табл. 163, фиг. 6.

Распространение и возраст. *A. (A.) salfeldi* Spath характеризует нижний кимеридж, зону *Rasenia cymodoce* Шотландии и зону *Rasenia evoluta* бассейна р. Хатанги и Западной Сибири.

Местонахождение. Площади: Верхнечасельская, скв. 151, инт. 2957—2971 м (2,9), сиговская свита, основание верхней подсвиты; Усть-Часельская, скв. 199, инт. 2649—2664 м (4,5), верхи сиговской свиты.

*Amoeboceras (Amoebites) cf. uralense* Mesezhnikov

Табл. 50, фиг. 8—9

1973. *Amoeboceras (Amoebites) uralense*: Месежников и Ромм, 1973, с. 43—44, табл. III, фиг. 6.

Нецелое ядро и отпечаток одного экземпляра.

Мелкая раковина с длинными радиальными первичными ребрами, высокой точкой ветвления и хорошо развитыми вентро-латеральными бугорками полностью отвечает признакам вида *A. (A.) uralense* Mesezhn.

Распространение и возраст. Нижний кимеридж и низы верхнего кимериджа восточного склона Полярного и Приполярного Урала и Западной Сибири.

Местонахождение. Ятринский профиль, скв. 26, гл. отбора 100,5 м, лопсинская свита.

Группа *Amoeboceras (Amoebites) rasenense* Spath *Amoebites* с обособленным килем, на который переходят лишь отдельные ребра.

*Amoeboceras (Amoebites) sp. cf. A. mesezhnikovi* Sykes et Surluk juv.

Табл. 50, фиг. 7, 10

Два ядра.

Мелкие раковины с субквадратным сечением оборотов, уплощенной наружной стороной, отвесной умбиликальной стенкой, сильными ребрами, одиночными и редкими библикатовыми, с отчетливыми латеральными и вентро-латеральными бугорками. очень похожи на ранние обороты вида *A. (A.) mesezhnikovi* Sykes et Surluk [46, с. 94].

Распространение и возраст. Нижний кимеридж Гренландии, восточного склона Приполярного Урала, Западной Сибири и бассейна р. Хатанги.

Местонахождение. Площадь Верхнечасельская, скв. 153, инт. 2962—2974 м (0,9; 2,6), сиговская свита, основание верхней подсвиты.

*Amoeboceras (Amoebites) sp. indet. ex gr. A. (A.) rasenense* Spath

Табл. 50, фиг. 11

Отпечаток.

Из-за недостаточной сохранности экземпляр без установления видовой принадлежности отнесен к группе видов *A. (A.) rasenense* Spath [47, с. 93], у которых отдельные ребра переходят на киль, но гладкие полоски по сторонам кия выражены довольно отчетливо.

Местонахождение. Площадь Усть-Часельская, скв. 199, инт. 2649—2664 м (2,7), верхи сиговской свиты.

Группа *Amoeboceras (Amoebites) spathi* Schuigina, *Amoebites*, у которых ребра, ослабляясь на наружной стороне, более или менее отчетливо соединяются с бугорками кия.

*Amoeboceras (Amoebites) pulchrum* Mesezhnikov et Romm

Табл. 50, фиг. 12, 15

Синонимика: см. Месежников, 1984.

Два ядра.

Распространение и возраст. Нижний кимеридж, зона *Rasenia cymodoce* Восточной Гренландии; нижний кимеридж р. Печоры; нижний кимеридж и основание верхнего кимериджа п-ова Ямал и бассейна р. Хатанги.

Местонахождение. Площади: Новопортовская, скв. 104, инт. 2165,0—2175,7 м (4,9), даниловская свита; Харасавэйская, скв. 48, инт. 3120—3135 м (4,1), аналог георгиевской свиты в зоне перехода абалакской свиты к даниловской.

*Amoeboceras (Amoebites) cf. pulchrum* Mesezhnikov et Romm

Табл. 50, фиг. 13, 14

Нецелое ядро и неполный отпечаток.

Такие многочисленные радиальные ребра позволяют считать аммониты близкими виду *A. (A.) pulchrum* Mesezhnikov et Romm.

Местонахождение. Площади: Новопортовская, скв. 104, инт. 2165,0—2175,7 м (4,9), даниловская свита; Харасавэйская, скв. 48, инт. 2120—3135 м (2,6), аналог георгиевской свиты в зоне перехода абалакской свиты к даниловской.

*Amoeboceras (Amoebites) sp. sp. indet.*

Табл. 51, фиг. 1, 6; табл. 165, фиг. 1—2, 4—12

Семнадцать ядер, фрагментов ядер и отпечатков.

Местонахождение. Площади: Восточно-Таркосалинская, скв. 72, инт. 3406—3421 м (7,3), георгиевская свита; Восточно-Кубалахская, скв. 357, инт. 2296—2313 м (низ), яновстанская свита; Владимирская, скв. 3, инт. 1641,7—1645,2 м (середина), даниловская свита; Заполярная, скв. 77, инт. 3648—3662 м (0,35), аналог георгиевской свиты; Кынская, скв. 210, инт. 2862—2869 м, сиговская свита, верхняя подсвита; Озерная, скв. 335, инт. 1750,7—1759,7 (0,7), абалакская свита; Усть-Часельская, скв. 202, инт. 2623—2633 м (5,8), верхи сиговской свиты; скв. 204, инт. 2732—2738 м (3,0), основание яновстанской свиты; скв. 205, инт. 2720—2735 м (1,1—1,3), сиговская свита, основание верхней подсвиты; скв. 208, инт. 2695—2710 м (2,8), основание яновстанской свиты; Харасавэйская, скв. 48, инт. 3120—3135 м (5,6);

6,1; 6,4; 9,3; 10,4), аналог георгиевской свиты в зоне перехода абалакской свиты к даниловской; Харампурская, скв. 303, инт. 3000—3009 м (2,5), георгиевская свита.

ПОДРОД *NANNOCARDIOCERAS* Spath, 1935

*Amoeboceras* (*Nannocardioceras*) sp.

Табл. 52, фиг. 13

Нецелое ядро.

Некрупная раковина с уплощенной латеральной стороной и резким вентро-латеральным перегибом. Латеральная сторона покрыта тонкой густой струйчатостью. Четко прослеживаются многочисленные вентро-латеральные бугорки в форме короткого крючочка (на половине оборота более 39 бугорков), от которых отходят очень короткие, наклоненные вперед, быстро истончающиеся вентральные ребра. Киль хорошо обособлен, с крупными округлыми зубчиками. Отношение бугорков килья к вентро-латеральным бугоркам 1,2—1,3.

От существующих видов *Nannocardioceras* отличается большим размером.

Распространение и возраст. Верхний кимеридж, зона *Aulacostephanus autissiodorensis* Англии, Поволжья, ? бассейна р. Печоры. Верх кимериджа Приполярного Урала, Западной Сибири, Таймыра и бассейна р. Хеты. Первые *Nannocardioceras* появляются в зоне *Aulacostephanus sosvaensis* Приполярного Урала и в зоне *Aulacostephanus mutabilis* бассейна р. Хеты.

Местонахождение. Площадь Тагринская, скв. 59, инт. 2795—2801 м (0,2), георгиевская свита, верхняя половина.

## НАДСЕМЕЙСТВО PERISPHINCTACEAE

Семейство PERISPHINCTIDAE Steinmann, 1890

Подсемейство AULACOSTEPHANINAE Spath, 1924

РОД *PICTONIA* Bayle, 1878

*Pictonia* sp. juv.

Табл. 52, фиг. 14

Нецелое ядро.

Эволютная раковина небольшого размера с преимущественно библикатовой ребристостью внутренних и беспорядочной ребристостью внешнего оборотов. На внешнем обороте многочисленные вставные ребра, пережимы и намечающееся сглажива-

ние ребер в приумбональной части. Аммонит принадлежит к роду *Pictonia*, наиболее вероятно арктической группе *Pictonia involuta* Мезежников [45, с. 103].

Распространение и возраст. Нижний кимеридж, зона *Pictonia baylei* и ее бореальный аналог зона *Pictonia involuta* Европы, Гренландии, Западной Сибири и севера Средней Сибири. По-видимому, крайне редко в зоне *Rasenia cymodoce* и ее аналогах. На юге ФРГ в верхнем оксфорде.

Местонахождение. Площадь Татарская, скв. 1, инт. 2454—2560 м, марьяновская свита.

РОД *RASENIA* Salfeld, 1913

ПОДРОД *RASENIA* s. s.

*Rasenia (Rasenia) evoluta* Spath emend. Birkelund

Табл. 52, фиг. 15

Синонимика: см. Мезежников, 1984.

Раковина небольшого размера, большая часть внешнего оборота занята жилой камерой. Форма раковины, резкие короткие бугорковидные первичные ребра, от которых отходят три—четыре вторичных ребра, полностью соответствуют виду *Rasenia evoluta* Spath. От близкого *Rasenia involuta* Spath отличается положением точки деления ребер ниже умбиликального шва.

Распространение и возраст. Широко распространенный вид нижнего кимериджа. Верхние горизонты зоны *Rasenia cymodoce* Англии и Восточной Гренландии; зона *Rasenia evoluta* бассейна р. Печоры, восточного склона Приполярного Урала, Западной Сибири и бассейна р. Хатанги.

Местонахождение. Площадь Западно-Красноселькупская, скв. 49, инт. 2717—2732 м (8,3), сиговская свита.

*Rasenia (Rasenia) cf. optima* Мезежников

Табл. 53, фиг. 2

Синонимика: см. Мезежников, 1984.

Деформированное ядро раковины среднего размера, с благоприятно обнажившимися из-за неполной сохранности более ранними оборотами, изящная скульптура которых, с удлинненными первичными ребрами-бугорками и тонкими многочисленными вторичными ребрами и резко отличная скульптура внешнего оборота (возможно, уже жилая камера) с первичными ребрами-складками, высоким реберным отношением (около 6) и резко возросшим межреберным расстоянием, роднит экземпляр с видом *R. (R.) optima* Мезежн. [46, с. 106—108, табл. XVI,

110

фиг. 2; табл. XVII, фиг. 1; табл. XVIII, фиг. 1; табл. XIX, фиг. 1, 2; табл. XXI, фиг. 4; табл. XXII, фиг. 1, 3; табл. XXIII, фиг. 4; табл. XXVI, фиг. 1].

Распространение и возраст. Нижний кимеридж, зона *Rasenia evoluta* восточного склона Приполярного Урала, Западной Сибири и бассейна р. Хатанги.

Местонахождение. Площадь Усть-Часельская, скв. 199, инт. 2649—2664 м (9,8), верхи сиговской свиты.

*Rasenia (Rasenia) sp. cf. R. (R.) optima* M e s e z h n i k o v

Табл. 53, фиг. 1

Нецелое ядро и отпечаток той же раковины.

Широкий умбиликус, редкие первичные ребра, высокое реберное отношение (вероятно, больше шести), появление вторичных ребер выше умбиликального шва и наличие пережимов сближают экземпляр с *Rasenia (Rasenia) optima* M e s e z h n. p.

Местонахождение. Площадь Усть-Часельская, скв. 202, инт. 2623—2633 м (5,9), верхи сиговской свиты.

*Rasenia (Rasenia) cf. repentina* M e s e z h n i k o v

Табл. 53, фиг. 3

Синонимика: см. Месежников, 1969.

Нецелое ядро.

Среднего размера раковина с неправильной нерегулярной ребристостью: ребра разной высоты, толщины и густоты. Первичные ребра редкие (пять на пологорота), короткие, имеют вид невысоких заостренных вытянутых бугорков. Вторичные — густые; реберное отношение, вероятно, больше шести. Большая часть вторичных ребер имеет характер вставных, лишь немногие связаны с бугорками. Два отчетливых пережима разной ширины. Экземпляр близок виду *R. (R.) repentina* M e s e z h n. [45, с. 112—113, табл. XIII, фиг. 1, 3—4].

Распространение и возраст. Нижний кимеридж, зона *Rasenia evoluta* Западной Сибири и севера Средней Сибири.

Местонахождение. Площадь Усть-Часельская, скв. 210, инт. 2660—2669 м (4,7), верхи сиговской свиты.

*Rasenia (Rasenia) sp.*

Табл. 53, фиг. 6

Нецелое ядро и отпечаток той же раковины.

Распространение и возраст. Широко распространенный род нижнего кимериджа в пределах Бореального пояса.



Местонахождение. Площадь Усть-Часельская, скв. 210, инт. 2660—2669 м (4,6), верхи сиговской свиты.

*Rasenia* sp. juv.

Табл. 53, фиг. 4

Нецелое ядро мелкой раковины.

Местонахождение. Войкарский профиль, скв. 2, инт. 381,7—399,0 м, даниловская свита.

ПОДРОД *EURASENIA* Geyer, 1961

*Rasenia* (*Eurasenia*) cf. *triplicata* Mesezhnikov

Табл. 52, фиг. 16

Синонимика: см. Месежников, 1984.

Мелкая раковина (фрагмент жилой камеры) с залеченным прижизненным повреждением. Характер навивания, форма оборотов, широкий умбиликус, плавный умбиликальный перегиб, малое число вставных ребер и сохранение трехраздельной ребристости на жилой камере — признаки, по которым форма близка *R. (Eurasenia) triplicata* Mesezhn. [46, с. 112—113, табл. XVI, фиг. 4, 5; табл. XVII, фиг. 3; табл. XIX, фиг. 4]. Отличается присутствием двухраздельных ребер и меньшим реберным отношением.

Распространение и возраст. Нижний кимеридж, зона *Rasenia evoluta* Западной Сибири и бассейна р. Хатанги.

Местонахождение. Площадь Западно-Красноселькупская, скв. 49, инт. 2717—2732 м (8,3), сиговская свита, верхняя подсвита.

РОД *ZONOVIA* Sasonov, 1960

*Zonovia* sp. juv.

Табл. 54, фиг. 4

Фрагмент раковины юной особи.

Слегка вытянутыми дугообразными изогнутыми первичными ребрами — бугорками, от которых отходят три—четыре вторичных ребра, и понижением ребер на ventre с образованием V-образного желобка, форма близка юным *Z. (Z.) uralensis* (d'Orbigny) [46, с. 117—118].

Распространение и возраст. Род *Zonovia* характеризует верхи нижнего и низы верхнего кимериджа, зоны *Rasenia evoluta* и *Aulacostephanus mutabilis* Шпицбергена, Земли Франца-Иосифа, Верхнего Поволжья, восточного склона Припо-

лярного Урала, Западной Сибири и бассейна р. Хатанги; верхний кимеридж, зону *Aulacostephanus mutabilis* Англии и Гренландии.

Местонахождение. Площадь Владимирская, скв. 3, инт. 1659—1662 м (верх), даниловская свита.

? *Rasenia* (? *Zonovia*) sp. indet.

Табл. 54, фиг. 1

Фрагмент наружного оборота крупной раковины с грубыми одиночными радиальными ребрами. В равной степени может быть отнесен как к роду *Rasenia*, так и *Zonovia*.

Местонахождение. Площадь Усть-Часельская, скв. 204, инт. 2732—2738 м (4,8), основание яновстанской свиты.

ПОДРОД *XENOSTEPHANUS* Arkell et Callomon, 1963

*Zonovia* (*Xenostephanus*) sp.

Табл. 53, фиг. 5

Фрагменты двух последовательных оборотов крупной раковины, больший из которых с массивными вытянутыми бугорками первичных ребер представляет собой часть жилой камеры. Экземпляр отнесен к подроду *Xenostephanus* благодаря V-образному желобку на плоском ventre, эволютному навиванию и субпрямоугольному сечению оборотов.

Распространение и возраст. Нижняя часть зоны *Aulacostephanus mutabilis* Англии и Земли Франца-Иосифа; верхи зоны *Rasenia evoluta* нижнего кимериджа и основание верхнего кимериджа восточного склона Приполярного Урала, Западной Сибири и севера Средней Сибири.

Местонахождение. Обский профиль, скв. 12, инт. 280—284 м, даниловская свита.

РОД *AULACOSTEPHANUS* Sutner et Pompecky  
(in Tornquist, 1896)

*Aulacostephanus* sp.

Табл. 54, фиг. 2

Ядро.

Мелкая раковина. По перерыву ребер на наружной стороне отнесена к роду *Aulacostephanus*.

Распространение и возраст. Широко распространенный род верхнего кимериджа: Южная, Центральная и Северо-Западная Европа, Гренландия, Мексика, Южная Америка,

европейская часть СССР, восточный склон Приполярного Урала, Западная Сибирь, бассейн р. Хатанги, Северо-Восточный Таймыр и Дальний Восток.

Местонахождение. Площадь Карабашская, скв. 3, инт. 1844,05—1845,35 м (середина), даниловская свита.

*Aulacostephanus* gen. et sp. indet. (? *Rasenia*,

? *Zonovia*, ? *Aulacostephanus*)

Табл. 54, фиг. 7, 8, 11

Два отпечатка и фрагмент ядра.

По сохранившимся признакам можно только предположить родовую принадлежность экземпляров.

Местонахождение. Площадь Харасавэйская, скв. 48, инт. 3120—3135 м (9,3; 10,40; 12,65), аналог георгиевской свиты в зоне перехода абалакской свиты к даниловской.

Подсемейство PSEUDOVIRGATITINAE Spath, 1931

РОД *PECTINATITES* Buckman, 1932

*Pectinatites* sp. indet.

Табл. 55, фиг. 1

Обломок раковины крупного аммонита с высоким оборотом. Скульптура представлена радиальными, густыми, резко выраженными ребрами. Они примерно на середине боковой стороны делятся и образуют двух- и трехраздельные узкие вильчатые пучки. Высокий оборот и характер скульптуры свидетельствуют о принадлежности описываемой формы к роду *Pectinatites*.

Распространение и возраст. Аммониты рода *Pectinatites* широко распространены в верхней части нижневожского подъяруса. В европейской части СССР, Арктике и Северо-Западной Европе они характеризуют узкий интервал, соответствующий зоне *Novaiskaya pseudoscythicus*, а на севере Сибирской платформы, Северо-Востоке СССР, в Западной Сибири и Восточной Гренландии — зону *Pectinatites pectinatus*.

Местонахождение. Площадь Береговая, скв. 2, инт. 3135—3150 м, свита яновстанская.

*Pectinatites* sp. indet. juv.

Табл. 55, фиг. 2

Описание см. в кн.: «Баженовский горизонт...», 1986, с. 95.

Подсемейство DORSOPLANITINAE Arkell, 1950

РОД *PAVLOVIA* Il'ovaisky, 1917

Табл. 55, фиг. 3—10

Описание см. в кн.: «Баженовский горизонт...», 1986, с. 96—97.

РОД *DORSOPLANITES* Semenov, 1989

Табл. 56, фиг. 1—13; табл. 57, фиг. 1—7; табл. 58, фиг. 1—7

Описание см. в кн.: «Баженовский горизонт...», 1986, с. 97—101.

РОД *LAUGEITES* Spath, 1936

Табл. 59, фиг. 1—7; табл. 60, фиг. 1—9

Описание см. в кн.: «Баженовский горизонт...», 1986, с. 101—102.

РОД *EPILAUGEITES* Mesezhnikov, 1974

Табл. 59, фиг. 6, 7

Описание см. в кн.: «Баженовский горизонт...», 1986, с. 102.

РОД *VIRGATOSPHINCTES* Uhlig, 1910

Табл. 61, фиг. 1, 4—10

Описание см. в кн.: «Баженовский горизонт...», 1986, с. 103.

РОД *CHETAITES* Schulgina, 1962

*Chetaites* sp. indet.

Табл. 61, фиг. 11

Обломок раковины крупного аммонита. Форма имеет уплощенную боковую сторону с довольно широким умбиликусом. Скульптура представлена частыми, довольно тонкими ребрами, образующими тройные пучки. Третья ветвь иногда является промежуточным ребром. Деление ребер начинается примерно с середины боковой стороны. Чуть ниже точки ветвления ребра слабо выгибаются вперед. По всем указанным признакам форма принадлежит к роду *Chetaites*.

Распространение и возраст. Род *Chetaites* характеризует пограничные горизонты юра—мел в ряде регионов Бореального пояса: севера Сибирской платформы, Западной Сибири (зоны *Chetaites chetae* и *Chetaites sibiricus*), бассейна р. Печоры, Восточной Гренландии.

Местонахождение. Площадь Сузунская, скв. 15, инт. 2815,0—2830,5 м, свита сиговская.

### Семейство CRASPEDITIDAE Spath, 1924

#### РОД *KACHPURITES* Spath, 1924

? *Kachpurites* sp. indet.

Табл. 62, фиг. 1, 2

Описание см. в кн.: «Баженовский горизонт...», 1986, с. 104.

#### РОД *CRASPEDITES* Pavlow, 1914

*Craspedites* ex gr. *okensis* (d'Orbigny)

Табл. 63, фиг. 3

Описание см. в кн.: «Баженовский горизонт...», 1986, с. 104.

*Craspedites* ex gr. *mosquensis* Schulgina  
(non Gerasimov)

Табл. 63, фиг. 2

Описание см. в кн.: «Баженовский горизонт...», 1986, с. 104.

*Craspedites taimyrensi* (Bodylevsky)

Табл. 62, фиг. 3—6

Описание см. в кн.: «Баженовский горизонт...», 1986, с. 105.

*Craspedites* ex gr. *taimyrensis* (Bodylevsky)

Табл. 62, фиг. 7

Описание см. в кн.: «Баженовский горизонт...», 1986, с. 105.

? *Craspedites* (*Volgidiscus*) sp. indet.

Табл. 64, фиг. 1, 2

Описание см. в кн.: «Баженовский горизонт...», 1986, с. 107.

РОД *PRAETOLLIA* Spath, 1952

*Praetollia* spp.

Табл. 68, фиг. 1, 2; табл. 69, фиг. 1—4, 9

Ядра и отпечатки раковин аммонитов средних размеров. Умбиликус узкий. Скульптура представлена двойными и тройными пучками ребер. Точка ветвления несколько ниже середины оборота. Общий изгиб ребер напоминает изгиб ребер у аммонитов рода *Hectoroceras*, но более выположенный. По сохранившимся признакам и положению в разрезе аммониты относятся к роду *Praetollia*. Формы, с которыми сходны описываемые фрагменты, изображены Л. Спэтом из берриаса Гренландии [91, табл. I, фиг. 2; табл. II, фиг. 1; табл. IV, фиг. 2] и С. Н. Алексеевым из берриаса севера Средней Сибири [1 табл. VIII, фиг. 1, 4; табл. IX, фиг. 2, 3; табл. X, фиг. 4]. Определить видовую принадлежность рассматриваемых аммонитов в настоящее время не представляется возможным.

Распространение и возраст. Нижние горизонты берриаса бореальных территорий СССР: зона *Chetaites sibiricus* севера Средней Сибири, Западной Сибири, Приполярного Зауралья, Польши, Англии, Гренландии.

Местонахождение. Площади: Поселковая, скв. 2, инт. 2638,7—2645,2 м, свита баженовская (верхняя часть); Ларьякская, скв. 1, инт. 2646—2650 м, свита баженовская (кровля); Колтогортская, скв. 2, инт. 2710—2716 м; Северо-Еркальская, скв. 161, инт. 3212—3222 м, свита баженовская.

РОД *HECTOROCERAS* Spath, 1947

*Hectoroceras kochi* Spath

Табл. 65, фиг. 1—6; табл. 66, фиг. 1

Синонимика: см. «Баженовский горизонт...» 1986, с. 108.

Распространение и возраст. Берриас, зона *Hectoroceras kochi* Бореального пояса.

Местонахождение. Площади: Селимхановская, скв. 3, инт. 2290,4—2293,7 м, 2259,7—2273,1 м; Вэнгяхинская, скв. 37, инт. 2795—2810 м; скв. 355, инт. 2771—2786 м; Крючковская, скв. 3, инт. 2850—2858 м. Свита баженовская.

*Hectoroceras* cf. *kochi* Spath

Табл. 65, фиг. 7; табл. 66, фиг. 2, 3; табл. 67, фиг. 1—3

Местонахождение. Площади: Татарская, скв. 1, инт. 2391,35—2397,35 м; Вэнгяхинская, скв. 37, инт. 2795—2810 м; скв. 355, инт. 2771—2786 м, скв. 352, инт. 2745—2760 м, скв. 355, инт. 2771—2786 м. Свита баженовская.

*Hectoroceras* cf. *larwoodi* Casey

Табл. 66, фиг. 4

Синонимика: см. «Баженовский горизонт...», 1986, с. 108.  
Распространение и возраст. Берриас, зона *Hectoroceras kochi* Приполярного Зауралья, Западной Сибири, севера Сибирской платформы, Англии.

Местонахождение. Площадь Нижнешапшинская, скв. 134, инт. 2885,6—2892,3 м. Свита баженовская.

*Hectoroceras* (? *Schulginites*) sp. indet.

Табл. 66, фиг. 5

Описание см. в кн.: «Баженовский горизонт...», 1986, с. 109.

Местонахождение. Площадь Восточно-Моисеевская, скв. 3, инт. 2764,7—2777,0 м. Свита баженовская.

РОД *BOREALITES* Klimova, 1969

*Borealites* cf. *fedorovi* Klimova

Табл. 70, фиг. 1

*Borealites fedorovi*: Климова, 1969, с. 128, табл. 1, фиг. 1, 3.

Фрагмент ядра. Умбиликус умеренно узкий, ступенчатый. Умбиликальные ребра несколько ниже середины латеральной стороны разветвляются, образуя тройные пучки, между которыми имеются вставные ребра. Связь вентральных ребер с умбиликальными нечеткая: вентральные ребра нижними концами приближаются к умбиликальному ребру, но затухают, не присоединяясь к нему. Все ребра на уровне ветвления заметно понижаются.

По всем имеющимся признакам аммонит принадлежит к виду *Borealites fedorovi* Klim. из берриасских отложений Приполярного Зауралья [30, с. 128, табл. 1, фиг. 1, 3].

Распространение и возраст. Род *Borealites* характеризует зону *Hectoroceras kochi* Западной Сибири, Приполярного Зауралья, севера Средней Сибири, Англии, Гренландии, Канады. Характеризует отложения зоны Западной Сибири, Приполярного Зауралья, севера Средней Сибири, Англии.

Местонахождение. Площадь Назинская, скв. 3, глуб. 2092,07 м, свита куломзинская (нижняя часть).

*Borealites* sp. indet cf. *B. antiqua* Jeletsky

Табл. 70, фиг. 2

Фрагмент ядра крупного бореалита. Аммонит имеет высокое поперечное сечение, о чем свидетельствует величина латеральной стороны, низкую точку ветвления умбиликальных ребер, до-

статочны четкие тройные пучки. Эти признаки позволяют предполагать сходство этой формы с *B. antiqua* (Jeletz.) [81, табл. 7, фиг. 1].

Распространение и возраст. Род *Borealites* является характерной формой зонального комплекса *Hectoroceras kochi* (берриас) Бореального пояса.

Местонахождение. Площадь Салымская, скв. 157, инт. 2867,3—2874 м, свита баженовская (верхняя часть).

#### РОД *PEREGRINOCERAS* Sasonova, 1971

*Peregrinoceras* sp. indet. cf. *P. anglicus* Schulg.

Табл. 70, фиг. 9, 10

Два обломка ядер двух крупных особей аммонитов. Каждому умбиликальному ребру соответствует четыре—пять тонких вентральных ребра, которые на вентральной стороне выгибаются вперед. Скульптура свидетельствует о принадлежности фрагментов к роду *Peregrinoceras* [58, с. 56], коэффициент ветвления позволяет предполагать сходство с *Peregrinoceras anglicus* Schulg. [73, с. 139, табл. 1, фиг. 1, 2].

Распространение и возраст. Род *Peregrinoceras* характерен для зоны *Hectoroceras kochi* берриасского яруса Бореального пояса.

Местонахождение. Площади: Лукашкинярская, скв. 1, глуб. 2155,85 м, пограничные слои куломзинской и баженовской свит; Назинская скв. 1, глуб. 2093,7 м, свита куломзинская (нижняя часть).

#### РОД *RONKINITES* Schulgina, 1972

? *Ronkinites* sp. indet.

Табл. 70, фиг. 11

Обломок ядра, равный одной трети оборота аммонита средних размеров. Скульптура неупорядоченная: умбиликальные ребра делятся на разной высоте, образуя двойные и тройные пучки; вставные ребра располагаются или посередине между пучками, также затухая на разной высоте, или приближаются к переднему пучку, как бы образуя еще одну ветвь. Имеется пережим. На латеральной стороне ребра образуют пологую дугу выпуклостью назад, на вентральной — выгибаются вперед. Выгиб ребер на латеральной стороне, а также плохая сохранность экземпляра позволяют лишь предполагать его принадлежность к роду *Ronkinites* [73, с. 147], для ронкинитов характерно радиальное направление ребер.



Распространение и возраст. Род *Ronkinites* распространен в берриасе (зона *Hectoroceras kochi* Бореального пояса).

Местонахождение. Площадь Межовская, скв. 1, инт. 2260—2267 м, свита куломзинская (верхняя половина).

#### РОД *SURITES* Sasonov, 1951

*Surites* sp. indet.

Табл. 70, фиг. 3, 4

Фрагмент ядра, равный половине оборота аммонита средних размеров, и отпечаток ядра более молодого экземпляра. Умбиликус умеренно узкий, неглубокий, ступенчатый. Ребра раздваиваются несколько выше середины латеральной стороны. Вентральные ребра на вентральной стороне образуют отчетливый выгиб.

Распространение и возраст. Род *Surites* — широко распространенная руководящая форма в берриасе Бореального пояса. В пределах СССР суриды характеризуют зону *Surites spasskensis* Русской платформы и бассейна р. Печоры, зону *Surites analogus* Приполярного Зауралья, Западной Сибири, севера Средней Сибири.

Местонахождение. Площадь Русская, скв. 150, инт. 2955—2966 м, свита нижнехетская; Ереминский профиль, скв. 6, инт. 1013—1021 м, свита куломзинская (нижняя часть).

#### РОД *BOJARKIA* Schulgina, 1969

*Bojarkia* cf. *mesezhnikowi* Schulg.

Табл. 72, фиг. 13

*Bojarkia mesezhnikowi*: Шульгина, в кн.: Сакс и др., 1969, с. 46, табл. I, фиг. 2; Шульгина, 1972, табл. XIV, фиг. 1.

Нецелое ядро довольно крупной раковины аммонита. По сохранившимся морфологическим признакам, в том числе и скульптуре, аммонит следует отнести к виду *Bojarkia mesezhnikowi* Schulg.

Распространение и возраст. Род *Bojarkia* характеризует верхнюю зону берриаса бореальных территорий СССР, Гренландии и Англии. *Bojarkia mesezhnikowi* Schulg. является видом—индексом одноименной зоны на севере Средней Сибири.

Местонахождение. Профиль Шокурья-Саранпауль, скв. 1, глуб. 444,1 м, пограничные слои харосоймской и федоровской свит.

РОД *TOLLIA* Pavlow, 1913

*Tollia* sp. juv. cf. *payeri* (Toula)

Табл. 72, фиг. 4

*Tollia* sp. indet. juv.

Табл. 72, фиг. 5—9

*Tollia* sp. indet.

Табл. 72, фиг. 10, 11

Фрагменты ядер внутренних и наружных оборотов аммонитов, которые по сохранившимся признакам, а именно: узкому умбиликусу, тройным на внутренних и многоветвистым на наружных оборотах тесно расположенным пучкам, а также по положению в разрезе следует относить к роду *Tollia*.

Распространение и возраст. Род *Tollia* характеризуется верхние горизонты берриаса и нижние горизонты валанжина Бореального пояса.

Местонахождение. Площади: Малиновская, скв. 2, инт. 2031,7—2037,1 м, свита мегионская (основание); Среднеवासюганская, скв. 6, инт. 2631,78—2637,7 м, свита куломзинская (основание); Верхтарская, скв. 5, инт. 2409—2414 м, свита куломзинская (нижняя часть); Северо-Васюганская, скв. 3, инт. 2075,0—2080,95 м, свита куломзинская (кровля); Чуэльская, скв. 88, инт. 1613,5—1617,2 м.

РОД *NEOTOLLIA* Schulgina, 1969

*Neotollia sibirica* (Klim.)

Табл. 73, фиг. 3, 4

*Tollia sibirica*: Климова, 1960, с. 170.

Распространение и возраст. Валанжинский ярус, нижний подъярус, зона *Temnoptychites insolutus* Западной Сибири, зона *Temnoptychites syzranicus* севера Средней Сибири.

Местонахождение. Площадь Тарская, скв. 1, инт. 2483—2486,8 м, свита куломзинская.

*Neotollia* cf. *sibirica* (Klim.)

Табл. 73, фиг. 6, 7

Нецелые сдавленные раковины, которые по продолжительности стадии двойного ветвления и раннему появлению понижения ребер в точке ветвления в стадии многоветвистых пучков следует относить к *Neotollia sibirica*.

Распространение и возраст даны при описании вида.

Местонахождение. Площади: Покурская, скв. 1-Р, глуб. 2253,0 м, свита мегионская (верхняя часть); Южно-Тетевская, скв. 1116, инт. 1555—1561 м (0,1), свита куломзинская, средняя часть.

*Neotollia maimetschensis* Schulg.

Табл. 74, фиг. 1, 2

*Neotollia maimetschensis*: Шульгина, 1972, с. 167, табл. XX, фиг. 1, 2, табл. XXI, фиг. 2.

Распространение и возраст. Валанжинский ярус, нижний подъярус, зона *Temnoptychites insolutus* Западной Сибири, зона *Temnoptychites syzranicus* севера Средней Сибири.

Местонахождение. Площади: Русскореченская, скв. 700, инт. 3010—3023 м (5,5), свита ? нижнехетская: Сороминская, скв. 2, инт. 2525,7—2538,8 м (3,2), свита мегионская.

*Neotollia* cf. *maimetschensis* Schulg.

Табл. 74, фиг. 3

*Neotollia* ex gr. *maimetschensis* Schulg.

Табл. 74, фиг. 4

*Neotollia* aff. *maimetschensis* Schulg.

Табл. 75, фиг. 5

Нецелые сдавленные раковины и ядра раковин, фрагменты ядер со своеобразной скульптурой, состоящей из частых тонких ребер, образующих пучки. С увеличением диаметра раковины увеличивается густота ребер, количество ветвей в пучках, становится характерным нечеткое построение пучков. Стадия двойных пучков относительно непродолжительная. Это послужило основанием все экземпляры с разной степенью условности с учетом сохранности считать сходными с видом *Neotollia maimetschensis* Schulg. [73, с. 167].

Распространение и возраст. Валанжинский ярус, нижний подъярус, зона *Temnoptychites insolutus* Западной Сибири, зона *Temnoptychites syzranicus* севера Средней Сибири.

Местонахождение. Площади: Омская, скв. 1, гл. 2186,0 м, 2257 м, свита куломзинская; Русская, скв. 150, гл. 2984 м, свита нижнехетская; Вэнгаяхинская, скв. 355, инт. 2752—2761 м (2,1), аналог верхов сортымской свиты; Северо-Еркальская, скв. 161, инт. 3205—3212 м (6,2), свита мегионская; Ореховская, скв. 353, инт. 2552—2563 м, свита мегионская.

*Neotollia* sp. indet cf. *N. venusta* Klim.

Табл. 75, фиг. 1, 2, 4

Два фрагмента ядер и один фрагмент отпечатка крупных раковин аммонитов, для которых характерны четкие двойные и тройные пучки ребер. Такая скульптура при больших диаметрах раковины свойственна виду *Neotollia venusta* Klim. [31, с. 200, табл. XXXVIII, фиг. 1].

Распространение и возраст. Как и все представители рода *Neotollia venusta* Klim. входит в состав комплекса нижней зоны нижнего подъяруса валанжина.

Местонахождение. Площади: Омская, скв. 1, гл. 2281,8 м, свита куломзинская; Баклинская, скв. 3, инт. 2552,4—2559,4 м, свита куломзинская (подачимовская пачка).

РОД *TEMNOPTYCHITES* Pavlow, 1913

ПОДРОД *TEMNOPTYCHITES* Klimova, 1978

*Temnoptychites* cf. *simplicissimus* Bodul. juv.

Табл. 80, фиг. 1

*Temnoptychites simplicissimus*: Бодылевский, 1967, с. 107, табл. II, фиг. 2, 3.

Фрагмент ядра юного экземпляра аммонита, принадлежавшего к *Temnoptychites simplicissimus* Bodul., о чем свидетельствуют грубые одиночные редко расставленные радиальные ребра на латеральной стороне, которые сглаживаются на вентральной. На границе латеральной и вентральной сторон, перед затуханием ребра усиливаются и загибаются вперед, образуя своеобразный крючок. Неполная сохранность экземпляра не позволяет определить без ограничения.

Распространение и возраст. Валанжинский ярус, нижний подъярус, зона *Temnoptychites syzranicus*, нижняя подзона *Temnoptychites simplicissimus* севера Средней Сибири, зона *Temnoptychites insolutus* Западной Сибири (нижняя часть).

Местонахождение. Площадь Покачевская, скв. 34, инт. 2406,8—2413,0 м (8,6), свита ванденская (нижняя часть).

*Temnoptychites* (T.) cf. *insolutus* Klim.

Табл. 80, фиг. 2—8

Синонимика: см. Климова в кн.: Гельберт и др., 1972, с. 156.

Многочисленные целые и нецелые ядра и отпечатки аммонитов различных стадий роста. Грубые направленные вперед от носительно радиуса латеральные ребра разветвляются, образуя нечеткие пучки из двух—трех ребрышек-струек. Встречаются вставные ребра. У менее деформированных экземпляров сохра-

нилась широкая, округлая вентральная сторона, характерная для этой формы. Среди описываемых аммонитов встречаются особи более густоресчатые, как, например, экземпляр, изображенный под номером 8.

Распространение и возраст. Валанжинский ярус, зона *Temnoptychites insolutus* Западной Сибири и Приполярного Зауралья.

Местонахождение. Площади: Саргатская, скв. 3, инт. 2302—2308 м, свита куломзинская (под ачимовской пачкой); Шаимская, скв. 48, инт. 1489,74—1493,14 м, свита мулымбинская; Вэнгаяхинская, скв. 34, инт. 2648—2658 м (1,0), аналог верхов сортымской свиты; Губкинская, скв. 38, инт. 2742,25—2758,25 м (2,9), свита сортымская.

*Temnoptychites* (T.) cf. *syzranicus* (P a v l.)

Табл. 80, фиг. 17

Синонимика: см. Климова, 1978, с. 102.

Нецелое ядро аммонита по всем сохранившимся признакам принадлежит к *Temnoptychites syzranicus* (P a v l.) в морфогенетической стадии двойного ветвления.

Распространение и возраст. Валанжинский ярус, нижний подъярус, зона *Temnoptychites hoplitoides* Поволжья и бассейна р. Печоры, зона *Temnoptychites syzranicus*, верхняя подзона *Temnoptychites syzranicus* севера Средней Сибири, зона *Temnoptychites insolutus* (верхняя часть) Западной Сибири и Приполярного Зауралья.

Местонахождение. Площадь Завьяловская, скв. 3, глуб. 2174,84 м, свита тарская (нижняя половина).

*Temnoptychites* (T.) ex gr. *syzranicus* (P a v l.)

Табл. 80, фиг. 18—20

*Temnoptychites* (T.) aff. *syzranicus* (P a v l.)

Табл. 81, фиг. 6

Остатки аммонитов, которые по сохранившимся признакам с разной степенью вероятности можно рассматривать как сходные или близкие с *Temnoptychites syzranicus* P a v l. [32, с. 102].

Местонахождение. Площади: Айваседапурская, скв. 263, инт. 2855—2870 м (2,6), аналог верхов сортымской свиты; Восточно-Ягунская, скв. 251, инт. 2794—2801 м, свита сортымская (нижняя часть); Вэнгаяхинская, скв. 38, инт. 2668—2674 м, аналог верхов сортымской свиты; Котухтинская, скв. 1373, инт. 2858—2862 м, свита мегионская (нижняя часть).

*Temnoptychites* (T.) cf. *lgowensis* (Nik.)

Табл. 80, фиг. 11

*Olcostephanus lgowensis*; Никитин, 1888, с. 98, табл. III, фиг. 6; *Temnoptychites* aff. *lgowensis*: И. Г. Климова, 1960, с. 172, табл. XX, фиг. 10—11.

Фрагмент ядра — примерно одной трети оборота дисковидного не крупного аммонита с вытянутым треугольно-овальным поперечным сечением, узким или умеренно узким умбиликусом. Скульптура представлена короткими умбиликальными ребрами, которые образуют изящные четырехветвистые пучки. Ребра в пучках изогнуты в виде пологой дуги выпуклостью назад. На вентральной стороне ребра сглаживаются, образуя гладкую полосу. По всем перечисленным признакам аммонит можно считать формой, близкой *Temnoptychites lgowensis* (Nik.).

Распространение и возраст. Валанжинский ярус, нижний подъярус, зона *Temnoptychites hoplitoides* Русской платформы, зона *Temnoptychites insolulus* Западной Сибири и Приполярного Зауралья.

Местонахождение. Площадь Яковлевская, скв. 6, гл. 1065 м, пограничные слои куломзинской и тарской свит.

*Temnoptychites* (T.) sp. (? *T. lgowensis* Nik.)

Табл. 83, фиг. 2, 3

Два сдавленных ядра — одно почти целое, второе представлено фрагментарно — молодых особей в одной морфогенетической стадии. Видны узкий умбиликус, частые тонкие ребра, собранные в пучки двойные или тройные. Умбиликальные ребра короткие. На вентральной стороне ребра сглаживаются, образуется гладкая полоса. Можно предположить, что это молодые особи *Temnoptychites lgowensis* (Nik.).

Распространение и возраст. Нижняя зона нижнего подъяруса валанжинского яруса в пределах Бореального пояса.

Местонахождение. Площадь Вэнгайхинская, скв. 30, инт. 2458,6—2473,8 м, свита сортымская.

*Temnoptychites* (T.) cf. *triptychiformis* (Nik.)

Табл. 80, фиг. 13

Синонимика: см. Бодылевский, 1967, с. 105.

Фрагмент сдавленного ядра, составляющий чуть меньше половины оборота довольно крупного аммонита. Раковина толстая, умбиликус умеренно узкий, ребра собраны в пучки. Умбиликальные ребра приподнятые. На вентральной стороне ребра понижаются. Экземпляр близок к аммониту, описанному из валунов

на о. Новая Земля [6, с. 105, табл. IX, фиг. 3], но в более поздней стадии развития, а также напоминает образец, найденный в валанжинских отложениях по р. Ижме [4, табл. XVII, фиг. 1], который определен как *Olcostephanus* cf. *tritychiformis* Nik. et *syzranicus* Bogosl. Однако при достаточно хорошем знании морфогенеза *Temnoptychites syzranicus* (Pavl.) [32] неизвестны представители названного вида, достигшие размеров экземпляра, описанного с р. Ижмы. Поэтому правильное считать описываемый аммонит как конформный *T. triptychiformis* (Nik.).

Распространение и возраст. Валанжинский ярус, нижний подъярус, зона *Temnoptychites hoplitoides* Русской платформы, зона *Temnoptychites syzranicus* севера Средней Сибири, зона *Temnoptychites insolutus* Западной Сибири из валунов на о. Новая Земля.

Местонахождение. Площадь Выинтойская, скв. 158, инт. 2738—2753 м (2,9), свита ванденская (нижняя часть).

*Temnoptychites* (T.) ex gr. *tritychiformis* (Nik.)

Табл. 80, фиг. 14, 15

Два нецелых ядра юных темноптихитов по скульптуре, умеренно-узкому умбиликусу можно рассматривать как формы с разной степенью вероятности, близкие к *Temnoptychites triptychiformis* (Nik.).

Распространение и возраст даны ниже.

Местонахождение. Площади: Восточно-Сургутская, скв. 182, инт. 2736—2740 м; свита сортымская (низ); Западно-Котухтинская, скв. 133, инт. 2838—2845 м (3,5), свита мегионская (нижняя часть).

*Temnoptychites* (T.) sp. cf. *T. hoplitoides* (Nik.)

Табл. 81, фиг. 8

Почти целое сдавленное ядро не крупного темноптихита вероятно с дисковидной раковиной. Умбиликус умеренно узкий. Поперечное сечение предположительно овальное. Скульптура состоит из двойных и тройных пучков ребер с точкой ветвления вблизи середины латеральной стороны. Общий изгиб ребер слабо сигмоидный. На вентральной стороне они сильно ослабевают.

Аммонит напоминает представителей *Temnoptychites hoplitoides* (Nik.) из нижнего валанжина р. Ижмы, хранящихся в коллекциях СНИИГГиМС. К сожалению, опубликованный экземпляр этого вида значительно превышает описываемый по размерам [52, табл. II, фиг. 1].

Деформация экземпляра и его недостаточная сохранность позволяют только осторожно предполагать его принадлежность к указанному виду.

Местонахождение. Площадь Уренгойская, скв. 171, гл. 3207 м, свита сортымская.

ПОДРОД *SUBTEMNOPTYCHITES* Klimova, 1978

*Temnoptychites (Subtemnoptychites)* sp. indet. juv.

Табл. 82, фиг. 11

Ядро юной особи. Редкие грубые ребра, образующие вильчатые пучки, понижаются на вентральной стороне. Особенности скульптуры свидетельствуют о принадлежности аммонита к подроду *Subtemnoptychites* [33, с. 101].

Распространение и возраст. Нижний подъярус валанжинского яруса, зона *Temnoptychites syzranicus*, подзона *Temnoptychites simplicissimus* севера Средней Сибири; зона *Temnoptychites insolutus*, нижняя часть Западной Сибири и Приполярного Зауралья.

Местонахождение. Площадь Ваньеганская, скв. 132, инт. 2330—2345 м (3,5), свита мегнионская, верхняя часть.

РОД *MENJAITES* Sasonova, 1971

*Menjaites* sp. sp.

Табл. 82, фиг. 21—24; табл. 83, фиг. 6—9

Деформированные фрагменты и целые ядра меняитов разных размеров. В настоящее время таксономия этого рода изучена плохо. Поэтому видовая принадлежность изображенных экземпляров или степень сходства с тем или иным видом не определена. Родовая принадлежность сомнений не вызывает [58, с. 188].

Распространение и возраст. Валанжинский ярус, нижний подъярус, зона *Temnoptychites hoplitoides* Русской платформы, зона *Temnoptychites syzranicus*, подзона *Temnoptychites syzranicus* севера Средней Сибири, зона *Temnoptychites insolutus* — верхняя часть Западной Сибири.

Местонахождение. Площади: Покачевская, скв. 26, инт. 2399—2405 м, скв. 50, инт. 2417—2425 м, скв. 55, инт. 2460—2467 м, свита ванденская (нижняя часть); Вэнгайхинская скв. 39, инт. 2713—2728 м (1,0), аналог верхов сортымской свиты; Айваседапурская, скв. 65, инт. 2546—2561 м (8,78), аналог верхов сортымской свиты; Турковская, скв. 2, гл. 3054 м.



РОД *COSTAMENJAITES* Sasonova, 1971

*Costamenjaites* sp. sp. indet.

Табл. 82, фиг. 13—18; табл. 83, фиг. 5

Деформированные обломки ядер и целые сдавленные ядра по особенностям скульптуры и сохранившимся морфологическим особенностям раковины принадлежат к роду *Costamenjaites* [59, с. 74].

Недостаточная в большинстве случаев сохранность аммонитов, плохое знание систематики рода и его своеобразия не позволяют сделать видовые определения.

Распространение и возраст. Валанжинский ярус, нижний подъярус, зона *Temnoptychites hoplitoides* Русской платформы, зона *Temnoptychites syzranicus*, подзона *Temnoptychites syzranicus* севера Средней Сибири, зона *Temnoptychites insolutus* (верхняя часть) Западной Сибири.

Местонахождение. Площади: Западно-Таркосалинская, скв. 10, инт. 2723,4—2737,8 м (1,9), свита сортымская (верхняя часть); Айваседапурская, скв. 69, инт. 2577—2590 м, скв. 57, инт. 2559—2574 м, аналог верхов сортымской свиты; Уренгойская, скв. 123, инт. 3161—3175 м (2,6), свита сортымская; Восточно-Уренгойская, скв. 303, инт. 3224—3229 м (3,3), свита сортымская; Тевризская, скв. 1, инт. 2305—2310 м, свита мегнионская; Чебурлинская, скв. 4, гл. 1929,8 м, свита мегнионская (верхняя половина).

РОД *HOMOLSOMITES* Crickmay, 1930

*Homolsomites* sp. indet. cf. *H. golberti* Klim.

Табл. 86, фиг. 19

Нецелое ядро взрослой особи аммонита рода *Homolsomites* в стадии сглаживания скульптуры. Особенности скульптуры являются основанием предполагать сходство этой формы с *Homolsomites golberti* Klim. [17, с. 153, табл. IV, фиг. 4]. Сохранность аммонита не позволяет утверждать его видовую принадлежность.

Распространение и возраст. Пограничные горизонты валанжин—готерив Тихоокеанского побережья Северной Америки, Ярославского Поволжья, Печорского бассейна. В Сибири Западной и Средней род характеризует слои с *Dichotomites* и *Homolsomites* в верхнем валанжине и зону *Homolsomites bojar-kensis* в основании готерива.

Местонахождение. Площадь Юраховская, скв. 96, инт. 2886—2896 м (3,6), свита тангаловская.

? *Homolsomites* sp. indet.

Табл. 87, фиг. 1—4

Фрагменты ядер аммонитов в разных стадиях роста.

По дисковидной форме раковины, зауженной вентральной стороне, узкому умбиликусу и характеру скульптуры описываемые аммониты со знаком вопроса отнесены к роду *Homolsomites*.

Экземпляры, изображенные под номером 3, 4,— в стадии двойных пучков, под номером 2 — в стадии полиптихитового ветвления, под номером 1 — в стадии сглаживания скульптуры.

Местонахождение. Площади: Александровская, скв. 2, инт. 2390,75—2398,75 м (3,3), свита куломзинская (верхняя часть), Салымская, скв. 188, инт. 2592—2606 м (7,8), свита ахская (верхняя часть); Усть-Балыкская, скв. 236, инт. 2079,5—2083,4 м (0,4), свита усть-балыкская (верхняя часть); Айпимская, скв. 6, инт. 2447—2455 м, свита ахская.

## Семейство POLYPTYCHITIDAE Spath, 1924

Подсемейство BODYLEVSKITINAE Klimova, 1982

РОД *BODYLEVSKITES* Klimova, 1978

*Bodylevskites* sp. indet.

Табл. 84, фиг. 1

Фрагмент ядра бодылевскита в начале стадии сформировавшейся скульптуры [36, с. 172]. Умбиликус умеренно узкий. Умбиликальные ребра в виде продолговатых зашипов, слегка выгнутых назад в приумбиликальной части, во второй трети боковой стороны понижаются и тянутся, пересекая вентральную сторону. Вентральные ребра начинаются ниже середины оборота вблизи умбиликального ребра. Однако они расположены не настолько близко к нему, чтобы создавать впечатление пучков. Одному умбиликальному ребру соответствует 2—4 вентральных. На латеральной стороне ребра образуют сигмообразный выгиб, на вентральной — выгибаются вперед и усиливаются.

Описываемый экземпляр наиболее близок к *Bodylevskites polyptychitiformis* Klim. [33, табл. 2, фиг. 2], однако он явно не принадлежит к этому виду. Недостаточная сохранность экземпляра не позволяет судить о его видовой принадлежности.

Распространение и возраст. Род *Bodylevskites* характеризует нижний валанжин, зону *Temnoptychites syzranicus*, подзону *Temnoptychites simplicissimus* севера Средней Сибири, зону *Temnoptychites insolutus* (нижняя часть) Западной Сибири, нижний валанжин о. Шпицберген.

Местонахождение. Площадь Вэнгаяхинская, скв. 30, инт. 2458,6—2469,1 м (4,9), свита сортымская.

РОД *SIBERIPTYCHITES* Кемпер, 1977

*Siberiptychites* cf. *stubendorffi* (Schmidt.)

Табл. 84, фиг. 2

Синонимика: см. Климова, 1986, с. 172.

Нецелое ядро аммонита в стадии сформировавшейся скульптуры. Форма раковины, характер умбиликуса, особенности скульптуры свидетельствуют о принадлежности экземпляра к виду *Siberiptychites stubendorffi* (Schmidt.) [34, с. 74, табл. IX, фиг. 4, 6]. Недостаточно полная сохранность не позволяет провести определение без ограничения.

Распространение и возраст. Нижний валанжин, зона *Temnoptychites syzranicus* севера Средней Сибири, зона *Temnoptychites insolutus* Западной Сибири, нижний валанжин Арктической Канады.

Местонахождение. Площадь Северо-Чупальская, скв. 23, инт. 2511—2526 м (8,0), свита сортымская, кровля.

РОД *ASTIERIPTYCHITES* Veronetz, 1958

*Astieriptychites* cf. *astieriptychus* (Bodul.)

Табл. 84, фиг. 5, 6

Синонимика: см. Климова, 1983, с. 86.

Два неполных ядра астиераптихитов в стадии сформировавшейся скульптуры с признаками вида *Astieriptychites astieriptychus* (Bodul.) [35, с. 86, табл. XVII, фиг. 1, 5; табл. XVIII, фиг. 1]. Неполная сохранность является причиной определения с ограничением.

Распространение и возраст. Нижний валанжин, зона *Temnoptychites syzranicus* севера Средней Сибири, зона *Temnoptychites insolutus* Западной Сибири, нижний валанжин Мангышлака.

Местонахождение. Площади: Восточно-Тарасовская, скв. 93, инт. 2935—2950 м (5,9), свита мегнионская; Уренгойская, скв. 403, инт. 3540—3562 м (6,5), свита сортымская.

*Astieriptychites* sp.

Табл. 84, фиг. 7

Неполное ядро крупного экземпляра *Astieriptychites* в стадии сформировавшейся скульптуры. О родовой принадлежности свидетельствуют форма раковины, характер умбиликуса, типичная скульптура. От изученных видов астиераптихитов — *A. astieriptychus* Bodul. и *A. tenuiptychus* Bodul. [35, с. 81] — описываемый аммонит отличается радиальной скульптурой и ран-

ним появлением сглаживания ребер в приумбиликальной части раковины. Такое сглаживание у полиптихитид появляется в геронтической стадии при стирании характерных видовых признаков. Являются ли указанные отличия внутривидовой изменчивостью или форма относится к неизвестному виду астиериптихитов — сказать при такой сохранности невозможно.

Распространение и возраст. Род *Astieriptychites* характеризует нижний валанжин Сибири: зону *Temnoptychites syzranicus* севера Средней Сибири и зону *Temnoptychites insolutus* Западной Сибири, нижний валанжин Мангышлака.

Местонахождение. Площадь Северо-Чупальская, скв. 25, инт. 2543—2554,5 м (3,0), свита сортымская (верхняя часть).

#### РОД *SIBERITES* Климова, 1983

*Siberites* cf. *rectangulatiformis* Климова.

Табл. 85, фиг. 1

*Siberites rectangulatiformis*: см. Климова в кн.: Гольберт и др., 1983, с. 152, табл. XIII, фиг. 4.

Ядро аммонита в стадии сформировавшейся скульптуры. Морфологические признаки экземпляра — вздутая раковина, умеренно-узкий умбиликус, длинная стадия двойного ветвления, на смену которой приходит чередование двойных и полиптихитовых пучков, отсутствие бугорков и бугорковидных вздутий на умбиликальном перегибе свидетельствует о его принадлежности или к *Siberites rectangulatiformis* Климова, или *Primitiviptychites rectangulatus* (Вогосл.) [18, с. 118]. Эти два вида в стадии сформировавшейся скульптуры очень близки, отличия между ними наблюдаются на более ранних стадиях роста, которые на изучаемом экземпляре недоступны для исследования, указанные формы имеют разное время существования. Род *Siberites* — предковая форма [36, с. 176] рода *Primitiviptychites* и заканчивает свое существование вместе с родом *Temnoptychites*. Положение описываемого экземпляра в отложениях, содержащих комплекс *Temnoptychites insolutus*, является основанием для его отнесения к роду *Siberites*. Ограничение при определении объясняется сохранностью экземпляра.

Распространение и возраст. Нижний валанжин Сибири: зона *Temnoptychites syzranicus*, подзона *Temnoptychites syzranicus* севера Средней Сибири, зона *Temnoptychites insolutus*, верхняя часть Западной Сибири.

Местонахождение. Площадь Тарасовская, скв. 81, инт. 2924—2932 м (1,1), аналог верхов сортымской свиты.

Подсемейство POLYPTYCHITINAE Klimova, 1978

РОД *POLYPTYCHITES* Spath, 1924

*Polyptychites* cf. *canadensis* Kemper et Jeletzky

Табл. 85, фиг. 12

Синонимика: см. Климова, в кн.: Гольберт и др., 1983, с. 140.

Ядро раковины полиптихита в стадии сформировавшейся скульптуры. Форма раковины дисковидная. Умбиликус узкий, неглубокий, ступенчатый. Скульптура состоит из тесно расположенных многоветвистых пучков. На умбиликальном перегибе расположены короткие приподнятые бугорки — защипы, которые слегка выгнуты назад в виде запятой. От каждого бугорка отходят два—три ребра. На середине латеральной стороны ребра ветвятся, образуя пучки преимущественно бидихотомные, редко полиптихитовые и тридихотомные. Ребра направлены под острым углом к радиусу.

Указанные признаки свидетельствуют о принадлежности аммонита к виду *Polyptychites canadensis*.

Распространение и возраст. Нижний валанжин, зона *Polyptychites michalskii*, подзона *Amundiptychites sachsi* севера Средней и в Западной Сибири, нижний валанжин, верхние слои с *Polyptychites tschekanovskii* Северо-Западной Канады.

Местонахождение. Площадь Верхнепурнейская, скв. 109, инт. 2653—2660 м (1,0), свита сортымская (верхняя часть).

*Polyptychites* s. l. sp. indet.

Табл. 85, фиг. 4—8

Фрагменты ядер и отпечатков раковин разных стадий роста. На основании сохранившихся признаков, в первую очередь скульптуры и формы раковины, — это остатки полиптихитид. Плохая сохранность не позволяет точно и с уверенностью установить их таксономическую принадлежность.

Следует отметить, что в настоящее время род *Polyptychites* изучен плохо и, вероятно, объединяет в себе несколько родов, чем и объясняется определение — полиптихит в широком смысле.

Распространение и возраст. *Polyptychites* характеризуется валанжин Бореального пояса и сопредельных территорий Тэтического пояса.

Местонахождение. Площади: Покачевская, скв. 90, инт. 2428—2435 м (1,0), свита ванденская (нижняя часть); Медвежья, скв. 36, инт. 3265—3271 м (0,5; 4,5), свита ахская; Викуловская, скв. 2, глуб. 1921,2 м, свита ахская (нижняя часть); Среднебалыкская, скв. 92, инт. 2683,1—2684,1 м (0,6), свита сортымская (верхняя часть).

*Amundiptychites* sp. indet. (cf. *A. chatangensis* Klim.)

Табл. 85, фиг. 10

Фрагмент ядра аммонита в стадии сформировавшейся скульптуры, равный одной четверти оборота. Морфологические особенности, которые сохранились или которые можно восстановить, следующие: форма раковины дисковидная с уплощенными латеральными сторонами и неширокой вентральной стороной, умбиликальные ребра имеют вид продолговатых бугорковидных вздутий, которые сразу после умбиликального перегиба разветвляются. Видны бидихотомные, тридихотомные и вставные двойные пучки ребер. Вторая точка ветвления выше середины оборота. Все перечисленные особенности позволяют отнести экземпляр к роду *Amundiptychites* и предполагать его принадлежность к *A. chatangensis* Klim. [18, с. 148, табл. XII, фиг. 3].

Распространение и возраст. Нижний валанжин, зона *Polyptychites michalskii*, подзона *Amundiptychites sachsi* севера Средней и в Западной Сибири, верхняя часть зоны *Polyptychites michalskii* севера европейской части СССР, верхняя часть нижнего валанжина — слои с *Polyptychites tschekanovskii* Арктической Канады, валанжин Англии.

Местонахождение. Площадь Бичинская, скв. 1, инт. 2300—2308 м, свита мегнионская (средняя часть).

*Dichotomites* s. l. sp. indet.

Табл. 85, фиг. 13

Фрагмент ядра, равный примерно 1/6 оборота. Раковина дисковидная с уплощенными латеральными сторонами, вентральная сторона неширокая. Умбиликус вероятно умеренно-узкий. На умбиликальном перегибе коротенькие бугорки — защипы, от которых отходят 2/3 ребра. Выше середины оборота ребра раздваиваются, образуются бидихотомные и пятиветвистые пучки — последние при условии, когда средняя ветвь остается неразветвленной. Наблюдается вставной двойной пучок. Пучки ребер — узкие, изящные, под небольшим острым углом направлены вперед относительно диаметра. На вентральной стороне ребра выгибаются вперед.

По сохранившимся признакам аммонит принадлежит к роду *Dichotomites*. Э. Кемпер [82], изучая таксономию дихотомитов, выделил два подрода — *Dichotomites* s. str. и *Prodichotomites*. Предковой формой является подрод *Prodichotomites*.

Описываемый экземпляр ближе к *Dichotomites* s. str., типа *D. (D.) terescissus* Коенен [83, с. 106, табл. III, фиг. 1], *D. (D.) bidichotomoides* Кемпер [82, с. 206, табл. II, фиг. 2], *D. (D.) romani* Кемпер [82, с. 214, рис. 15].

Фрагментарность материала не позволяет утверждать принадлежность аммонита к *Dichotomites* s. str., характерное для *Prodichotomites* сглаживание скульптуры [82, с. 215] в этой стадии роста у изучаемого аммонита не наблюдается. Поэтому точнее чем *Dichotomites* s. l. определение невозможно.

Распространение и возраст. Род *Dichotomites* характеризует верхний подъярус валанжина Бореального пояса и сопредельных территорий Тэтического пояса.

Местонахождение. Площадь Сандибинская, скв. 9, инт. 2544—2552 м (3,2), свита ахская.

*Polyptychitidae* gen. et sp. indet.

*Polyptychitinae* gen. et sp. indet.

Табл. 86, фиг. 2—7

Ядра и отпечатки фрагментов раковин аммонитов разных стадий роста. Типичная скульптура свидетельствует об их принадлежности к семейству *Polyptychitidae*. Юные особи в ранних стадиях роста, у которых наблюдается скульптура из правильных полиптихитовых пучков, изображенные на табл. XXII, фиг. 2—7, принадлежат к подсемейству *Polyptychitinae* [36, с. 171].

Распространение и возраст. Семейство *Polyptychitidae* характеризует валанжин Бореального пояса и сопредельных территорий Тэтического пояса.

Подсемейство *Polyptychitinae* в Сибири существовало в верхах раннего и в позднем валанжине.

Местонахождение. Площади: Неремовская, скв. 104, инт. 1415—1418 м (0,10); Тобольская, скв. 3, инт. 2108—2120 м, свита тутлеймская (кровля); Пульпуяхская, скв. 51, инт. 2955,0—2965,0 м (4,95), свита сортымская; Студенная, скв. 1, инт. 2760—2769 м (0,4), свита ахская; Восточно-Сургутская, скв. 177, инт. 2700—2702 м (0,8), свита сортымская (нижняя часть); Викуловская, скв. 1, инт. 1892—1898 м, свита ахская (нижняя часть), скв. 2, глубины 1921,2, 1936,5, 1937,6, 1940,5, 1943,5, 1953,5 м, свита ахская (нижняя часть); Челноковская, скв. 6, инт. 1898—1904 м, свита мегионская (нижняя часть).

Семейство SIMBIRSKITIDAE Spath, 1924

РОД *SPEETONICERAS* Spath

*Speetoniceras* ex gr. *inversum* (M. Pavl.)

Табл. 87, фиг. 5, 7—18

Ядра, фрагменты ядер и отпечатки южных особей аммонитов. Отчетливо видны: ветвление ребер только двойное, бугорки в точке ветвления, умеренно-узкий или узкий умбиликус. Форма раковины предположительно дисковидная. На основании этих признаков аммониты отнесены к группе *Speetoniceras inversum* (M. Pavlow).

Замечания. Группа *Speetoniceras inversum* (M. Pavl.) включает виды: *Sp. subinversum* (M. Pavl.) [89, с. 34, табл. I, фиг. 9], *Sp. elegantum* Glas. [16, с. 96, табл. VII, фиг. 2], возможно, *Sp. agnessense* Imray [80, с. 213, табл. 42, фиг. 9, 10] и др. спитоницерасы, которые характеризуются дисковидной формой раковины, нешироким умбиликусом, овальным поперечным сечением, только двойным ветвлением ребер на ранних стадиях роста с бугорками в точке ветвления. К сожалению, морфогенез этих форм не изучен, поэтому вполне вероятно, что они все или частично являются синонимами.

Распространение и возраст. *Speetoniceras inversum* (M. Pavl.) — характерная форма комплекса — *Speetoniceras versicolor* нижнего готерива Русской платформе, Северо-Восток Англии, о. Шпицберген, Западной Сибири.

Местонахождение. Площади: Ингисоимская, скв. 15, инт. 1283—1288 м, свита алясковская (середина); Самутнельская, скв. 196, инт. 1548,8—1553,8 м, свита алясовская (середина чуэльской пачки); Деминская, скв. 33, инт. 1318—1322 м, скв. 19, инт. 1301,7—1303,5, свита алясовская (верхи деминской пачки); Неримовская, скв. 104, инт. 1410,35—1418,35, свита алясовская; Березовская, скв. 1, инт. 1288—1295 м, скв. 3, инт. 1291—1295 м, середина чуэльской пачки; Владимировская, скв. 1, инт. 1368—1371 м, свита ахская (верхняя половина); Обской профиль, скв. 24, инт. 1010,3—1017,13 м, свита ахская (средняя часть).



## СПИСОК ЛИТЕРАТУРЫ

1. *Алексеев С. Н.* Новые данные о зональном расчленении берриасского яруса на севере Сибири//Пограничные ярусы юрской и меловой систем.— М.: Наука, 1984.— С. 81—106.
2. *Атлас литолого-палеогеографических карт юрского и мелового периодов Западно-Сибирской равнины.* Масштаб 1 : 5 000 000.— Тюмень: 1976.
3. *Баженовский* горизонт Западной Сибири//Ю. В. Брадучан, А. В. Гольберт и др.— Новосибирск: Наука, 1986. (Труды ИГиГ СО АН СССР; вып. 649).
4. *Богословский Н. А.* Материалы для изучения нижнемеловой аммонитовой фауны Центральной и Северной России//Тр. Геолкома. Нов. сер., Вып. 2.— СПб.: 1902.
5. *Бодылевский В. И.* Келловейские аммониты Северной Сибири//Записки Ленингр. горн. ин-та.— Л.: 1960. Т. 37. Вып. 2.— С. 49—82.
6. *Бодылевский В. И.* Юрские и меловые фауны Новой Земли//Записки Ленингр. горн. ин-та.— Л.: 1967. Т. 3. Вып. 2.— С. 99—122.
7. *Бодылевский В. И., Шульгина Н. Н.* Юрские и меловые фауны низовьев Енисея. М.: 1958. (Труды НИИГА. Т. 93).
8. *Борисяк А. А.* Фауны Донецкой юры, Cephalopoda//Труды Геолкома. Нов. серия.— 1908. Вып. 37.
9. *Брадучан Ю. В.* О взаимоотношении фроловской, вартовской, ахской и черкашинской свит//Решения и труды Межведом. совещания по доработке, уточнению унифицированной и корреляционной стратиграфических схем Западно-Сибирской низменности.— Тюмень, 1969.— С. 121.
10. *Брадучан Ю. В.* Черкашинская свита//Решения и труды Межведом. совещания по доработке и уточнению унифицированных и корреляционных схем Западно-Сибирской низменности.— Тюмень, 1969.— С. 105—106.
11. *Брадучан Ю. В.* Зеленоцветные отложения неокома центральной части Западной Сибири//Материалы по геологии мезозоя и кайнозоя Западно-Сибирской равнины.— Тюмень, 1975.— С. 55—72. (Тр. ЗапСибНИГНИ; вып. 101).
12. *Брадучан Ю. В., Ясович Г. С.* Даниловская свита//Выделение и корреляция основных стратонев мезозоя Западной Сибири.— Тюмень, 1984.— С. 31—39. (Труды ЗапСибНИГНИ. Вып. 188).
13. *Булыникова А. А., Ясович Г. С.* Верхний отдел. Юрская система//Стратиграфо-палеонтологическая основа детальной корреляции нефтегазоносных отложений Западно-Сибирской низменности.— Тюмень.— С. 14—49 (Труды ЗапСибНИГНИ. Вып. 48).
14. *Герасимов П. А.* Руководящие ископаемые мезозоя центральных областей Европейской части СССР. Ч. 1. Пластинчатожаберные, брюхоногие, ладноногие моллюски и плеченогие юрских отложений.— М.: Госгеолтехиздат.— 1955.
15. *Глазунова А. Е.* Пелещиподы//Стратиграфия и фауна меловых отложений Западно-Сибирской низменности.— Л., 1960.— С. 134—183. (Труды ВСЕГЕИ. Нов. серия, т. 29).
16. *Глазунова А. Е.* Палеонтологическое обоснование стратиграфического расчленения меловых отложений Поволжья. Нижний мел.— М.: Недра, 1973.
17. *Гольберт А. В., Климова И. Г., Сакс В. Н.* Опорный разрез неокома Западной Сибири в Приполярном Зауралье.— Новосибирск: Наука.— 1972.
18. *Гольберт А. В., Климова И. Г.* Новые аммониты валанжина Северной Сибири//Мезозой Советской Арктики.— Новосибирск, 1983.— С. 137—154.
19. *Елисеев В. Г., Ясович Г. С.* Типы разрезов верхнеюрских отложений Шаимского нефтеносного района//Материалы по стратиграфии мезозойских и кайнозойских отложений Западной Сибири.— М., 1968.— С. 97—103 (Труды ЗапСибНИГНИ; Вып. 7).

20. Захаров В. А. Позднеюрские и раннемеловые двустворчатые моллюски севера Сибири (Отряд *Anisomyaria*) и условия их существования.— М.: Наука, 1966.

21. Захаров В. А. Позднеюрские и раннемеловые двустворчатые моллюски Северной Сибири и условия их существования. (Семейство *Astartidae*).— М.: Наука, 1970. (Труды ИГиГ СО АН СССР; Вып. 113).

22. Захаров В. А. Двустворчатые моллюски//Граница юры и мела и берриасский ярус в бореальном поясе.— Новосибирск, 1972.— С. 215—229.

23. Захаров В. А. Бухниды и биостратиграфия бореальной верхней юры и неокома.— М.: Наука, 1981 (Труды ИГиГ СО АН СССР. Вып. 458).

24. Захаров В. А., Лебедев А. И. Слои с бухнидами в верхней юре и неокоме Западной Сибири//Биостратиграфия мезозоя Сибири и Дальнего Востока.— Новосибирск: Наука, 1986.— С. 89—96. (Труды ИГиГ СО АН СССР. Вып. 648).

25. Захаров В. А., Месежников М. С. Волжский ярус Приполярного Урала.— Новосибирск: Наука, 1974 (Труды ИГиГ СО АН СССР. Вып. 196).

26. Захаров В. А., Трубина А. С. Раннеокомские иноцерамиды Северной Сибири и их роль в донных сообществах//Условия существования морских бореальных фаун.— Новосибирск, 1979.— С. 23—36 (Труды ИГиГ СО АН СССР. Вып. 411).

27. Захаров В. А., Шурыгин Б. Н. Биостратиграфия, фации и стратиграфия средней юры Советской Арктики (по двустворчатым моллюскам).— Новосибирск: Наука, 1978 (Труды ИГиГ СО АН СССР. Вып. 352).

28. Камышева-Елаптьевская В. Г., Николаева В. П., Троцкая Е. А. Определитель юрских аммонитов Саратовского Поволжья.— М.: Госгеолтехиздат, 1956.

29. Климова И. Г. Аммониты валанжина Западно-Сибирской низменности.— Новосибирск: 1960.— С. 163—174 (Труды СНИИГГиМС; Вып. 8).

30. Климова И. Г. О раннем берриасе Западной Сибири//Геология и геофизика.— 1969.— № 4.— С. 128—132.

31. Климова И. Г. Аммониты Западной Сибири//Граница юры и мела и берриасский ярус в Бореальном поясе.— Новосибирск, 1972.— С. 194—204.

32. Климова И. Г. К систематике аммонитов рода *Temnoptychites* (новые и дополнительные данные).— Новосибирск, 1978.— С. 98—114 (Труды СНИИГГиМС. Вып. 280).

33. Климова И. Г. Новый род аммонитов из нижнего валанжина севера Средней Сибири//Геология и геофизика.— 1978.— № 12.— С. 50—61.

34. Климова И. Г. Морфология раннемелового аммонита *Siberiptychites stubendorffi* (Schmidt).— Новосибирск: Наука, 1981.— С. 74—81 (Труды СНИИГГиМС. Вып. 287).

35. Климова И. Г. Род *Astieriptychites*, его онтогенез и морфологические особенности//Морфология и систематика беспозвоночных фанерозоя.— Новосибирск, 1983.— С. 136—149.

36. Климова И. Г. Ранневаланжинские полиптихитиды Сибири — новые данные по систематике и биостратиграфии//Биостратиграфия мезозоя Сибири и Дальнего Востока.— Новосибирск, 1986.— С. 171—177.

37. Князев В. Г. Аммониты и зональная стратиграфия нижнего оксфорда севера Сибири.— М.: Наука, 1975.

38. Лагузен И. Фауны юрских образований Рязанской губернии//Труды Геол. ком.— СПб. 1883.— Т. 1, № 1.— 94 с.

39. Лебедев А. И. Эколого-стратиграфическое значение ктенодонтид верхней юры и неокома Западно-Сибирской равнины//Экология юрской и меловой фауны Западно-Сибирской равнины.— Тюмень, 1981.— С. 101—124 (Труды ЗапСибНИГНИ. Вып. 163).

40. Ли П. Ф., Равдоникас О. В., Певзнер В. С. Геологическое строение и перспективы нефтегазоносности Усть-Иртышской впадины Западно-Сибирской низменности.— Л., 1960 (Тр. ВСЕГЕИ. Нов. серия; Т. 33).

41. Ломинадзе Т. А., Сахаров А. С. Космоцератинды Кавказа.— Тбилиси: Мецниереба, 1985.

42. Меледина С. В. Аммониты и зональная стратиграфия келловея Сибири.— М.: Наука, 1977.— С. 290.

43. Меледина С. В. Аммониты и зональная стратиграфия келловя суббореальных районов СССР.— М.: Наука, 1987.
44. Месежников М. С. Новая аммонитовая зона верхнего оксфорда и положение границы оксфорда и кимериджа в Северной Сибири//Проблемы палеонтол. обоснования детальной стратиграфии мезозоя.— М., 1967.— С. 110—130.
45. Месежников М. С. Кимериджские аммониты//Опорный разрез верхнеюрских отложений бассейна р. Хеты.— Л., 1969.— С. 99—124.
46. Месежников М. С. Кимериджский и волжский ярусы севера СССР.— Л.: Недра, 1984.
47. Месежников М. С., Захаров В. А. Зональное расчленение верхнеюрских отложений Западной Сибири//Геология и геофизика.— 1984.— № 8.— С. 47—56.
48. Месежников М. С., Ромм Г. М. К систематике подрода *Amoebites* (*Ammonoidea*, *Cardioceratidae*)//Палеонтологический журнал. 1973. № 3.— С. 35—46.
49. Нежданов А. А., Огибенин В. В. К стратиграфии тюменской свиты Западно-Сибирской равнины//Геология и минеральносырьевые ресурсы Западно-Сибирской плиты и ее складчатого обрамления.— Тюмень, 1982.— С. 23—24.
50. Никитин С. Н. Аммониты группы *Amaltheus juniferus*.— *Phill. Bull. Soc. Nat. Moscou*, 1878.— Т. 53.— С. 1—79.
51. Никитин С. Н. Юрские образования между Рыбинском, Мологой и Мышкиным.— СПб., 1881.
52. Никитин С. Н. Следы мелового периода в Центральной России.— СПб., 1888.
53. Никитин С. Н. *Cephalopoda* московской юры.— СПб., 1916.— С. 61 (Труды Геол. ком. Нов. серия; № 170).
54. Павлов А. П. Юрские и нижнемеловые *Cephalopoda* Северной Сибири. СПб., 1907.— С. 1—68 (Зап. АН. Сер. 8. 1. № 4).
55. Палеоландшафты Западной Сибири в юре, мелу и палеогене/ А. В. Гольберт, Л. Г. Маркова, И. Д. Полякова и др.— М.: Наука, 1968.
56. Предложения по изменению и уточнению корреляционной стратиграфической схемы мезозойских и кайнозойских отложений Западно-Сибирской низменности//Геологическое строение и нефтегазоносность Западно-Сибирской низменности.— М., 1965.— С. 5—28.— (Труды ЗапСибНИГНИ. Вып. 1).
57. Сазонов Н. Т. Юрские отложения центральных областей Русской платформы.— Л.: Гостоптехиздат, 1957.
58. Сазонова И. Г. Аммониты Русской равнины//Граница юры и мела и Берриасский ярус в Бореальном поясе.— Новосибирск, 1972.— С. 175—194.
59. Сазонова И. Г. Аммониты пограничных слоев юрской и меловой систем Русской платформы.— Л., 1977 (Труды ВНИГНИ. Вып. 185).
60. Сакс В. Н., Шульгина Н. И. Новые зоны неокома и граница берриасского и валанжинского яруса в Сибири//Геология и геофизика.— 1969.— № 12.— С. 42—52.
61. Санин В. Я., Захаров В. А., Шурыгин Б. Н. Позднеюрские и ранне-меловые *Arcasea* (*Bivalvia*) Севера СССР.— Новосибирск: Наука, 1984 (Тр. ИГиГ СО АН СССР, вып. 585).
62. Синцов И. Ф. Общая геологическая карта России. Лист 92, Саратов—Пенза.— СПб., 1888 (Труды Геол. ком.; Т. 7, № 1).
63. Соколов Д. Н. К аммонитовой фауне печорской юры.— СПб.: 1912 (Труды Геол. ком. Нов. сер. Вып. 76).
64. Соколов Д. Н. Окаменелости из валунов на Новой Земле.— СПб.: 1913.— С. 60—92 (Труды Геол. музея АН; Т. 7. Вып. 2).
65. Соколова Е. И. Космоцератиды из верхнеюрских отложений Мангышлака//Геология Эмбенской области.— М.—Л., 1950.— С. 93—155.
66. Стратиграфия мезозойских отложений платформенного чехла Западно-Сибирской плиты//Проблемы геологии Западно-Сибирской нефтегазоносной провинции.— М., 1968.— С. 27—95 (Труды ЗапСибНИГНИ. Вып. 11).
67. Стратиграфия мезозойских и третичных отложений Западно-Сибир-

- ской изменности/З. Т. Алескерова, Ф. Ли П., Т. И. Осыко, Н. Н. Ростовцев, М. А. Толстихина//Сов. геология.— 1957.— № 55.— С. 145—172.
68. Ясовиц Г. С., Барков С. Л., Зининберг П. Я. Стратиграфия отложенной неокома Среднего Приобья//Геология и разведка нефтяных и газовых месторождений Западной Сибири.— Тюмень, 1972.— С. 12—19 (Межвузовск. тем. сборник, Тюменского индустриального ин-та; Вып. 73).
69. Турбина А. С. Двустворчатые моллюски рода *Vichia* из верхнеюрских и нижнемеловых отложений Западно-Сибирской равнины//Материалы по стратиграфии и палеонтологии Сибири.— Новосибирск: 1972.— С. 146—152.— (Труды СНИИГГиМС. Вып. 116).
70. Турбина А. С. Окситомы из верхнеюрских и неокомских отложений Западно-Сибирской равнины//Новые материалы по стратиграфии и палеонтологии Сибири.— Новосибирск, 1978.— С. 115—120.— (Труды СНИИГГиМС. Вып. 260).
71. Турбина Л. С. Новые позднеюрские мелеагринеллы Западной Сибири//Новые виды древних беспозвоночных и растений нефтегазоносных провинций Сибири.— Новосибирск, 1984.— С. 71—76 (Тр. СНИИГГиМС).
72. Шерихора В. Я. О выделении васюганской свиты в составе юрских отложений//Вестн. ЗСТУ и НТГУ, 1961.— № 2.
73. Шульгина Н. И. Аммониты севера Средней Сибири.— Граница юрью и мела и берриасский ярус в Бореальном поясе.— Новосибирск: Наука, 1972.— С. 137—175.
74. Arkell W. J. A monograph on the *Ammonites* of the English Corallian Beds.— Paleontogr. Soc. 1935—1948, 420 p.
75. Boden K. Die Fauna des unteren Ohford von Populany in Litauen.— Abhandl. Geol. Palaentol. 1911. N. F., Bd 10, H. 2. S. 1—77.
76. Buchman S. Yorkshire Type *Ammonites*. London, 1909—1930, vol. I—VII, 790 p.
77. Douville R. Etudes sur les *Cardioceratides*.— Mem. Soc. geol. France, Paleontol., 1912, t. 19, fasc. 2 (Mem. N 45), p. 77.
78. Frebold H. Verbreitung und Ausbildung des Mesozoikums in Spitzbergen. Skrifter om Svalbard og Jshavet, 1930, N 31.
79. Jlovaisky D. L'Oxfordien et le Sequanien des Gouvernements de Moscou et de Riasan, 1903. Bull. Soc. imp. Nat. Moscou, N. S., 17, c. 222—292.
80. Imlay R. W. *Ammonites* of Early Cretaceous Age (Valanginian and Hauterivian) from the Pacific Coast States. Geol. Survey Prof. Paper 324-F, 1964. 253 p.
81. Jeltzky J. A. Biochronology of the marine boreal latest Jurassic, Berriasian and Valanginian in Canada. Geol. Journal 1973, No 5. Liver pool. P. 41—80.
82. Kemper E. Einige neue biostratigraphisch bedeutsame Arten der Ammoniten — Gattung *Dichotomites* (NW — Deutschland, Obervalangin).— Geol. 1978. Ib. A 45, S. 183—253.
83. Koenen A. Die Ammonitiden Norddeutschen Neocom. Jahrb. K. Preuss. Geol. Landesanst., N. F. Hit. XXII, 1902.— 451 s.
84. Maire V. Contribution á la connaissance des *Cardioceratides*. Etude sur les especes des genres *Pseudocadoceras*, *Quenstedticeras* et *Cardioceras* de France — Combe et Bonrgogne.— Mem. Soc. géol. France, 1937, N. S., t. 15, fasc. 2—3 (Mem. N 34), p. 131.
85. Makowski H. La fanne Callovienne de Luków en Pologne.— Palaeont. Polonica, 1952. N. 4, 64 p.
86. Makowski H. Problem on sexual dimorphism in *Ammonites*.— Paleont. Polonica, 1962. No 12. 87 p.
87. Malinowska L. Stratifragia oxforda Jura szestochowskiej na podstawie ammonitow. Inst. Geol. prace, 1963. t. 36. Warszawa, 54 s.
88. Pavlow A. P. Enchainement des Aucelles et Aucellines du Cretace Russe. Nouv. Moscou, 1907, 93 s. (Mem. Soc. Imp. Nat. Moscou, T. 17, liv. 17).
89. Pavlow M. Les ammonites du groupe *Olcostephanus versicolor*.— Bull. Natur Moscou, 1886, N 3, s. 27—42.

90. *Spath L. F.* The Upper Jurassic Invertebrate Fauna of Cape Leslie (Milne Land). I. Oxfordian and Lower Kimmeridgian.—*Med. om Groenland*, 1935, Bd. 99, N 1, 82 p.

91. *Spath L. F.* Additional observation of the invertebrates (chiefly ammonites) of the Jurassic and Cretaceous of East Greenland. Some Infra-Valanginian Ammonites from Lindemanus Fjord Wollaston Forland. *Medd Gronl.*, 1952, Bd. 133, No 4, p. 40.

92. *Sowerby J.* The mineral conchology of Great Britain, 7 vol., 1812—1846. p. 1—337, 338—648.

93. *Sykes R. M.* The stratigraphy of the Callovian and Oxfordian stages (Middle—Upper Jurassic) in northern Scotland.—*Scott. J. Geol.* 11 (1). 1975, p. 51—78.

94. *Sykes R. M., Callomon J. R.* The Amoeboceras Zonation of the Boreal Upper Oxfordian.—*Paleontology*, 1979, 22, 4, p. 839—903.

# Палеонтологические таблицы и объяснения к ним

## ТАБЛИЦА 1

Фиг. 1—4. *Taimyrodon horissiaki* S a n i n.

1—ядро левой створки,  $\times 3$ . Кулайская скв. 3, инт. 2012,2—2018,0 м. Валанжин. Тарская свита; 2—ядро левой створки,  $\times 3$ . Покровская скв. 3, инт. 1423,7—1431,0 м. Валанжин. Ахская свита; 3—вид с внутренней стороны с остатками замочного аппарата,  $\times 3$ ; 4—ядро левой створки,  $\times 3$ . Лодочная скв. 1, инт. 2760—2766 м (2,8). Берриас. Нижнехетская свита. Коллекция СНИИГГиМС.

Фиг. 5—15. *Nuculoma variabilis* (S o w e r b y).

5—вид со стороны правой створки, 5a—то же,  $\times 6$ . Александровская скв. 2, инт. 2496—2502 м. Берриас. Куломзинская свита; 6—ядро правой створки с остатками раковинного слоя,  $\times 4$ . Ермаковская скв. 3, гл. 920 м. Оксфорд. Сиговская свита; 7—ядро левой створки,  $\times 4$ . Пр. Щекурья—Саранпаульский, скв. 5, инт. 135,0—140,8 м. Кимеридж. Лопсинская свита; 8—ядро левой створки,  $\times 3$ . Завьяловская скв. 4, инт. 2774,0—2777,7 м. Верхний келловей—нижний оксфорд. Васюганская свита; 9—ядро левой створки; 10—ядро правой створки; 11—вид с внутренней стороны; 12—неполное ядро левой створки; 13—вид со стороны правой створки,  $\times 3$ . Белярская скв. 1, инт. 2217,8—2232,0 м. Кимеридж. Марьяновская свита; 14—вид со стороны правой створки. Пр. Щекурья—Саранпаульский, скв. 1, гл. 154—160 м. Кимеридж. Лопсинская свита; 15—вид со стороны левой створки,  $\times 4$ . Нарымская скв. 4, инт. 2445,9—2450,8 м. Берриас. Куломзинская свита. Коллекция СНИИГГиМС.

## ТАБЛИЦА 2

Фиг. 1—13. *Dacryotya chetaensis* S a n i n.

1—фрагменты ядер правых и левых створок,  $\times 3$ . Пр. Щекурья—Саранпаульский, скв. 2, инт. 116—123 м. Берриас. Федоровская свита; 2—вид со стороны правой створки,  $\times 6$ . Лорломкинская скв. 1, инт. 2101,0—2109,0 м. Валанжин. Тарская свита; 3—вид со стороны правой створки,  $\times 4$ . Кыксинская скв. 3, инт. 1031—1039 м. Берриас. Яновстанская свита; 4—вид со стороны правой створки,  $\times 3$ . Ермаковская скв. 1, инт. 760,0—766,5 м. Оксфорд. Сиговская свита; 5—вид со стороны правой створки,  $\times 2$ . Нижневартовская скв. 22, инт. 2550—2558 м. Верх-

ний келловей — нижний оксфорд. Васюганская свита; 6 — ядро правой створки, ×2. Татарская скв. 2, инт. 2322—2327 м. Берриас. Куломзинская свита; 7 — фрагменты разрозненных ядер, ×3. Татарская скв. 2, инт. 2465—2467 м. Кимеридж. Марьяновская свита; 8 — замочный аппарат, ×3. Там же; 9 — вид со стороны правой створки, ×1,5. Ушаковская скв. 2, инт. 2646—2657 м; 10 — вид со стороны правой створки, ×3. Кыксинская скв. 1, инт. 1045—1052 м; 11 — разрозненные ядра правых и левых створок, ×3. Кыксинская скв. 1, инт. 1059—1065 м, ×3. Кимеридж, волжский ярус. Яновстанская свита; 12 — разрозненные ядра правой и левой створок, ×2. Кыксинская скв. 3, инт. 1003—1011 м; 13 — фрагменты ядер левых створок, ×2. Елогуйская скв. 1, глуб. 1190 м. Берриас. Елогуйская свита. Коллекция СНИИГГиМС.

### ТАБЛИЦА 3

Фиг. 1—3, 5—19. *Malletia taimyrica* S a n i n.

1 — вид со стороны правой створки, ×3. Кочетская скв. 1, инт. 2106,4—2110,9 м. Валанжин. Тарская свита; 2 — вид со стороны правой створки, ×6; 3 — фрагмент ядра правой створки, ×3. Чупальская скв. 58, инт. 2964—2968 м. Берриас. Куломзинская свита; 5 — фрагмент ядра правой створки, ×3; 6 — фрагмент ядра правой створки. Ушаковская скв. 2, инт. 2646—2657 м; 7 — вид со стороны правой створки, ×3; 8 — вид со стороны левой створки, ×3; 9 — вид со стороны левой створки с остатками замочного аппарата, ×3; 9a — то же, ×6; 10 — замочный аппарат, ×3; 10a — то же, ×6. Нарымская скв. 2, инт. 2292—2299 м; 11 — вид со стороны левой створки, ×2,5. Колпашевская скв. 2, глуб. 2209 м; 12 — фрагмент ядра правой створки, ×6. Устьильгинская скв. 2, инт. 2123,3—2130,6 м; 13 — вид со стороны левой створки, ×4. Татарская скв. 4, инт. 2417—2422 м; 14 — вид со стороны левой створки, ×2. Собалиная скв. 172, инт. 2264,2—2270,2 м. Берриас. Куломзинская свита; 15 — ядро левой створки; ×4. Устьильгинская скв. 1, инт. 2149,3—2155,3 м; 16 — вид со стороны правой створки, ×3; 17 — вид со стороны левой створки, ×3. Среднеवासюганская скв. 5, инт. 2067—2073 м; 18 — вид со стороны левой створки, ×2. Кулайская скв. 3, инт. 2012—2018 м; 19 — вид со стороны правой створки, ×4. Там же. Валанжин. Тарская свита. Коллекция СНИИГГиМС.

Фиг. 4. *Malletia* sp. indet.

Вид со стороны правой створки, ×3. Ракитинская скв. 4, инт. 2452,6—2454,5 м. Волжский ярус. Баженовская свита.

### ТАБЛИЦА 4

Фиг. 1. *Nuculana (Jupiteria) subrecurva* (Phillips).

Фрагменты ядер правых створок, ×2. Татарская скв. 2, инт. 2322—2327 м. Берриас. Куломзинская свита. Коллекция СНИИГГиМС.

Фиг. 2, 3. *Malletia elongata* S a n i n et L e b e d e v.

2 — фрагменты двустворчатого раскрытого ядра, 2а — то же,  $\times 6$ . Кедровская скв. 33, инт. 2147—2156 м. Валанжин, основание ванганской свиты; 3 — вид со стороны левой створки,  $\times 3$ . Саргатская скв. 3, инт. 2186—2192 м. Валанжин. Куломзинская свита. Коллекция СНИИГГиМС.

Фиг. 4—6. *Malletia* sp. indet.

4 — вид со стороны правой створки,  $\times 3$ . Южно-Матюшинская скв. 41, инт. 2591,0—2596,6 м (4,1); 5 — вид со стороны левой створки,  $\times 3$ . Береговая скв. 2, инт. 3135—3150 м (9,1). Волжский ярус, нижний подъярус. Баженовская свита; 6 — вид со стороны левой створки. Глуховская скв. 4, инт. 3018—3019 м (ср. к.). Верхний келловей — нижний оксфорд. Васюганская свита.

Фиг. 7—17. *Malletia megionica* A. L e b e d e v.

7 — вид со стороны левой створки,  $\times 6$ . Айзасская скв. 1, инт. 2794,5—2798,9 м; 8—9 — фрагменты ядер левых створок,  $\times 4$ . Восточно-Моисеевская скв. 3, инт. 2787—2794,4 м; 10 — фрагмент ядра правой створки,  $\times 4$ . Нижневартовская скв. 2, инт. 2550—2558 м; 11 — фрагмент двустворчатого раскрытого ядра,  $\times 4$ . Мультигановская скв. 1, инт. 2925—2930 м; 12 — фрагмент ядра левой створки,  $\times 4$ ; 13 — вид со стороны левой створки,  $\times 6$ ; 14 — двустворчатое раскрытое ядро,  $\times 4$ ; 15 — вид со стороны правой створки,  $\times 6$ ; 16 — вид со стороны левой створки,  $\times 4$ . Западно-Кельватская скв. 66, инт. 2452,5—2456,5 м; 17 — фрагменты ядер, двустворчатых и разрозненных створок,  $\times 6$ . Нововасильевская скв. 1, инт. 2447—2453 м. Верхний келловей — нижний оксфорд. Васюганская свита. Коллекция СНИИГГиМС.

## ТАБЛИЦА 5

Фиг. 1—3. *Cosmetodon* cf. *bojarkensis* S a n i n.

1 — вид со стороны правой створки; 2 — вид со стороны левой створки; Вяткинская скв. 4, инт. 1760—1767 м. Кимеридж. Марьяновская свита; 3 — вид со стороны левой створки; 3а — то же,  $\times 3$ . Пр. Щекурья—Саранпаульский, скв. 5, инт. 135,0—140,8 м. Кимеридж. Лопсинская свита. Коллекция СНИИГГиМС.

Фиг. 4—6. *Cosmetodon* sp. indet.

4 — вид со стороны макушки; 4а — вид со стороны левой створки, 4б — вид со стороны правой створки. Катыльгинская скв. 96, инт. 2484,1—2490,2 м. Верхний келловей — нижний оксфорд. Васюганская свита; 5 — фрагмент ядра правой створки; 6 — фрагмент ядра левой створки. Елогуйская скв. 1, инт. 1153—1163 м. Берриас. Елогуйская свита. Коллекция СНИИГГиМС.

Фиг. 7—12. *Crammatodon lopsiensis* S a n i n.

7 — вид со стороны левой створки, 7а — вид сверху. Нижнебаихская скв. 1, инт. 158—165 м. Волжский ярус. Яновстанская свита; 8 — вид со стороны левой створки, 8а — вид сверху; 9 — вид сверху. Верхний келловей — нижний оксфорд. Моисеевская скв. 1,



инт. 2580,8—2588,1 м. Баженовская свита; 10 — вид со стороны левой створки; 11 — вид со стороны левой створки. Пр. Щекурья—Саранпаульский, скв. 5, инт. 135,0—140,8 м. Кимеридж. Лопсинская свита. 12 — вид со стороны левой створки, 12а — вид сверху. Пр. Щекурья—Саранпаульский, скв. 5, инт. 84,00—88,00 м. Волжский ярус. Федоровская свита. Коллекция СНИИГГиМС.

## ТАБЛИЦА 6

Фиг. 1—5. *Oxytoma (Oxytoma) expansa* (Phillips).

1 — ядро левой створки, 1а — то же,  $\times 2$ . Омская скв. 1, инт. 2384—2390 м. Кимеридж. Георгиевская свита; 2 — фрагмент ядра с остатками раковинного слоя. Покровская скв. 4, инт. 1587,7—1591,2 м. Кимеридж. Марьяновская свита; 3 — ядро левой створки,  $\times 2$ . Ракитинская скв. 1, инт. 1560—1566 м. Берриас. Ахская свита; 4 — фрагмент ядра левой створки с остатками раковинного слоя; 4а — то же,  $\times 2$ . Белоярская скв. 1, инт. 2154,7—2160,7 м. Волжский ярус. Марьяновская свита; 5а — то же,  $\times 2$ . Белоярская скв. 1, инт. 2252—2260 м. Верхний келловей—нижний оксфорд. Наунакская свита. Коллекция СНИИГГиМС.

Фиг. 6—10. *Oxytoma (Oxytoma) zakharovi* Turbina.

6 — фрагмент ядра правой створки, 6а — то же,  $\times 2$ . Новологиновская скв. 1, инт. 2328,8—2335,1 м. Нижний валанжин. Куломзинская свита; 7 — фрагмент ядер левых створок. Омская скв. 1, инт. 2256—2257 м. Нижний валанжин. Куломзинская свита; 8 — ядро левой створки, 8а — то же,  $\times 2$ . Викуловская скв. 2, инт. 1917—1923 м. Берриас. Ахская свита; 9 — ядро левой створки, 9а — то же,  $\times 2$ ; 10 — фрагмент ядра правой створки, 10а — то же,  $\times 2$ . Кыксинская скв. 1, инт. 1045—1052 м. Берриас. Яновстанская свита. Коллекция СНИИГГиМС.

Фиг. 11, 12. *Oxytoma (Oxytoma) articostata* Zakhargov.

11 — ядро левой створки, 11а — то же,  $\times 2$ . Нововасюганская скв. 1, инт. 2203,4—2298,0 м. Валанжин. Тарская свита; 12 — ядро правой створки, 12а — то же,  $\times 2$ . Колпашевская скв. 3, инт. 2223—2228 м. Берриас. Куломзинская свита. Коллекция СНИИГГиМС.

Фиг. 13—18. *Oxytoma (Oxytoma) neocomiana* Glasunova.

13 — ядро левой створки. Завьяловская скв. 5, инт. 2150—2154 м. Валанжин. Тарская свита; 14 — ядро левой створки, 14а — то же,  $\times 2$ . Елогуйская скв. 1, инт. 1156—1160 м. Берриас. Елогуйская свита; 15 — ядро правой створки; 15а — то же,  $\times 2$ ; 16 — ядро левой створки; 16а — то же,  $\times 2$ . Ермаковская скв. 1, инт. 721,8—728,3 м. Берриас. Яновстанская свита; 17 — ядро левой створки, 17а — то же,  $\times 2$ ; 18 — фрагмент ядра левой створки,  $\times 2$ . Омская скв. 1, инт. 2195—2198 м. Нижний валанжин. Куломзинская свита. Коллекция СНИИГГиМС.

## ТАБЛИЦА 7

Фиг. 1—9. *Meleagrinnella ovalis* (Phillips).

1—ядро правой створки. Ларьякская скв. 1, инт. 2679,5—2687,6 м. Кимеридж. Георгиевская свита; 2—ядро правой створки. Кулайская скв. 1, инт. 385—390 м; 3—скопление ядер и отпечатков. Матюкинская скв. 32, инт. 2649,5—2655,0 м; 4—5—скопление остатков раковин. Черталинская скв. 1, инт. 2839,6—2850,3 м; 6—ядро левой створки. Глуховская скв. 2, инт. 3002,5—3007,7 м; 7—ядро правой створки,  $\times 2$ ; 8—неполный отпечаток левой створки,  $\times 2$ ; 9—ядро правой створки,  $\times 2$ . Матюшкинская скв. 32, инт. 2649—2655 м. Верхний келловей—нижний оксфорд. Васюганская свита. Коллекция СНИИГГиМС.

Фиг. 10—16. *Meleagrinnella* cf. *decussata* (Münster).

10—ядро левой створки, 10а—то же,  $\times 2$ ; 11—ядро левой створки, 12—ядро правой створки,  $\times 2$ . Завьяловская скв. 4, инт. 2474,48—2477,78 м. Верхний келловей—нижний оксфорд. Татарская свита; 13—ядро правой створки,  $\times 2$ ; 14—ядро левой створки,  $\times 2$ . Чагвинская скв. 3, инт. 2759,5—2766,9 м. Верхний келловей—нижний оксфорд. Васюганская свита; 15—ядро правой створки,  $\times 2$ . Ивановская скв. 1, инт. 2584—2591 м. Верхний келловей—нижний оксфорд. Васюганская свита; 16—ядро левой створки, 16а—то же,  $\times 2$ . Коллекция СНИИГГиМС.

## ТАБЛИЦА 8

Фиг. 1—7. *Meleagrinnella* ex gr. *ovalis* (Phillips).

1—ядро левой створки; 2—ядра правых и левых створок. Таловая скв. 5, инт. 2936,7—2944,4 м; 3, 5, 7—скопления ядер и отпечатков. Таловая скв. 10, инт. 2892,6—2895,1 м; 4—скопление ядер и отпечатков,  $\times 2$ . Мыльджинская скв. 53, инт. 2423,2—2431,2 м; 6—скопление мелких ядер и отпечатков. Таловая скв. 7, инт. 2865,1—2866,5 м. Верхний келловей—нижний оксфорд. Васюганская свита. Коллекция СНИИГГиМС.

## ТАБЛИЦА 9

Фиг. 1—3. *Meleagrinnella lata* Turbina.

1—ядро левой створки, 1а—то же,  $\times 2$ ; 3—ядро левой створки; 3а—то же,  $\times 2$ . Елогуйская скв. 1, инт. 1225—1231 м. Кимеридж. Яновстанская свита; 2—ядра левых створок,  $\times 2$ . Вяткинская скв. 4, инт. 1725—1732 м. Кимеридж. Марьяновская свита. Коллекция СНИИГГиМС.

Фиг. 4—9. *Meleagrinnella* ex gr., *ovalis* (Phillips).

4—7, 9—ядра левых створок,  $\times 2$ . Южно-Фестивальная скв. 1, инт. 2879—2891,5 м. Верхний келловей—нижний оксфорд; 8—ядро левой створки с хорошо выраженной скульптурой, 8а—то же,  $\times 1,5$ . Глуховская скв. 4, инт. 3014,6—3018,0 м. Верхний келловей—нижний оксфорд. Васюганская свита. Коллекция СНИИГГиМС.

## ТАБЛИЦА 10

Фиг. 1—20. *Meleagrinnella subovalis* Zakharov.

1, 2, 4, 5, 15 — ядра правых и левых створок с остатками раковинного слоя,  $\times 2$ ; 6 — ядро левой и правой створок. Покровская скв. 4, инт. 1576—1589 м. Кимеридж. Марьяновская свита; 8, 16 — ядра правых створок. Покровская скв. 4, инт. 1583—1587 м. Кимеридж. Марьяновская свита; 3, 9, 10 — ядра левых створок; 12 — скульптура левой створки,  $\times 2$ . Покровская скв. 4, инт. 1587—1591 м. Кимеридж. Марьяновская свита; 7 — ядро левой створки. Покровская скв. 7, инт. 1591—1593 м. Оксфорд. Вогулкинская свита; 11, 19 — ядра левых створок, 11а — то же,  $\times 2$ . Рязкинская скв. 5, инт. 1330—1336 м. Кимеридж. Марьяновская свита; 13 — ядро правой створки; 13а — то же,  $\times 2$ . Кугинская скв. 161, инт. 1202—1207 м. Оксфорд. Вогулкинская пачка 3; 14 — ядро левой створки, 14а — то же,  $\times 2$ . Октябрьская скв. 1, инт. 1415 м. Кимеридж. Марьяновская свита; 17 — ядро левой створки. Туруханская скв. 16-К, инт. 138—144 м. Кимеридж — волжский. Яновстанская свита; 18 — ядро правой створки. Максимикирская скв. 1, инт. 1990—1995 м. Кимеридж. Максимовская свита; 20 — ядро левой створки, 20а — то же,  $\times 2$ , там же. Коллекция СНИИГГиМС.

Фиг. 21, 22. *Meleagrinnella recta* Turbina.

Ядра левых створок, 21а, 22а — то же,  $\times 2$ . Мальцевская скв. 2, инт. 1137—1147 м. Волжский ярус. Марьяновская свита. Коллекция СНИИГГиМС.

Фиг. 23—28. *Meleagrinnella lata* Turbina.

23 — ядро левой створки, 23а — то же,  $\times 2$ ; 24—27 — ядра левых створок. Вяткинская скв. 4, инт. 1725—1752 м. Кимеридж. Марьяновская свита; 28 — ядро правой створки. Елогуйская скв. 1, инт. 1225—1231 м. Коллекция СНИИГГиМС.

## ТАБЛИЦА 11

Фиг. 1—12. *Entolium demissum* (Phillips).

1, 2 — ядра левых створок. Уватская скв. 1, инт. 2137—2157 м. Валанжин — нижний готерив. Ахская свита; 3 — ядро левой створки,  $\times 1,6$ ; 4 — ядро левой створки; 5 — ядро левой створки,  $\times 2$ . 6 — ядро левой створки. Мальцевская скв. 2, инт. 1118—1147 м. Волжский ярус. Марьяновская свита; 7 — ядро правой створки. Устьбалыкская скв. 65, инт. 2170—2174 м. Валанжин. Усть-Балыкская свита; 8 — ядро левой створки. Нововасюганская скв. 51, инт. 2552—2557 м. Кимеридж. Георгиевская свита; 9 — ядро левой створки. Вяткинская скв. 2, инт. 1669—1700 м. Кимеридж. Марьяновская свита; 10 — ядро левой створки,  $\times 1,8$ . Заводоуковская скв. 4, инт. 1176—1182 м. Готерив. Ахская свита; 11 — ядро левой створки. Заводоуковская скв. 1, инт. 1240—1245 м. Берриас. Ахская свита; 12 — ядро правой створки. Тобольская скв. 3, инт. 2219—2231 м. Кимеридж. Абалакская свита. Коллекция СНИИГГиМС.

## ТАБЛИЦА 12

Фиг. 1—12. *Entolium nummulare* (Fischer de Waldheim). 1 — ядро правой створки. Татарская скв. 1, инт. 2330—2335 м. Берриас. Куломзинская свита; 2 — ядро левой створки. Пр. Щекурья—Саранпаульский, скв. 5, инт. 69,5—79,6 м. Берриас. Федоровская свита; 3 — отпечаток левой створки. Татарская скв. 1, инт. 2433—2439 м. Волжский ярус. Марьяновская свита. 4 — отпечаток левой створки. Татарская скв. 1, инт. 2454—2460 м. Кимеридж. Марьяновская свита; 5 — неполное ядро левой створки. Белоярская скв. 1, инт. 2154,7—2160,7 м. Волжский ярус. Марьяновская свита; 6—9 — фрагменты ядер левых створок. Елогуйская скв. 1, инт. 1153—1159 м. Берриас. Елогуйская свита; 10 — неполное ядро левой створки,  $\times 2$ . Колпашевская скв. 2, гл. 2253 м. Берриас. Куломзинская свита; 11 — неполное ядро левой створки,  $\times 2$ . Вяткинская скв. 2, инт. 1621—1627 м. Берриас. Ахская свита; 12 — ядро левой створки. Вяткинская скв. 1, инт. 1668—1678 м. Кимеридж. Марьяновская свита. Коллекция СНИИГГиМС.

## ТАБЛИЦА 13

Фиг. 1—3. *Camptonectes (Mclearnia) imperialis* (Keyserling).

1 — ядро левой створки,  $\times 3$ . Кыксинская скв. 1, инт. 1031—1038 м. Берриас. Яновстанская свита; 2 — отпечаток левой створки; 3 — отпечаток левой створки,  $\times 3$ . Омская скв. 1, инт. 2255—2261 м. Берриас. Куломзинская свита (ачимовская пачка). Коллекция СНИИГГиМС.

Фиг. 4—6. *Camptonectes (Mclearnia) broenlundi* Ravp.

4 — фрагмент правой створки; 5 — отпечаток и фрагмент ушка правой створки; 6 — отпечаток ядра правой створки. Ермаковская скв. 3, гл. 930 м. Оксфорд. Сиговская свита. Коллекция СНИИГГиМС.

Фиг. 7—12. *Camptonectes (Camptonectes) lens* Sowerby. 7 — ядро левой створки. Утешевская скв. 4, инт. 1241—1334 м. Кимеридж. Марьяновская свита; 8 — ядро правой створки. Омская скв. 1, глуб. 2377 м. Кимеридж. Георгиевская свита; 9—10 — фрагменты ядер с остатками раковинного слоя. Елогуйская скв. 1, инт. 1153—1165 м. Берриас. Елогуйская свита; 11 — фрагмент скульптуры с остатками раковинного слоя,  $\times 2$ . Татарская скв. 1, инт. 2454—2460 м. Кимеридж. Марьяновская свита; 12 — фрагмент ядра левой створки с раковинным слоем. Пр. Щекурья—Саранпаульский, скв. 5, инт. 104,6—109,7 м. Волжский ярус. Федоровская свита. Коллекция СНИИГГиМС.

## ТАБЛИЦА 14

Фиг. 1. *Buchia mosquensis* (Wisch).

Ядро правой створки. Деминская скв. 13, инт. 1316,6—1318,0 м. Нижний и средний подъярусы волжского яруса. Даниловская свита. Коллекция СНИИГГиМС.

Фиг. 2—5, 9—12. *Buchia concentrica* (Sowerby).

2—ядро левой створки,  $\times 2$ ; 3—фрагмент ядра правой створки; 3а—то же,  $\times 3$ ; 4—вид со стороны левой створки; 4а—то же,  $\times 2$ ; 5—фрагмент ядра левой створки,  $\times 1,3$ . Татарская скв. 1, инт. 2454—2460 м. Кимеридж. Марьяновская свита; 9—фрагмент ядра левой створки с ослабленной радиальной скульптурой; 9а—то же,  $\times 1,5$ ; 10—фрагмент ядра левой створки. Викуловская скв. 2, инт. 2053 м. Кимеридж. Марьяновская свита; 11—фрагмент ядра левой створки. Долганская скв. 2, инт. 2071—2076 м. Оксфорд—нижняя часть сиговской свиты; 12—фрагмент ядра левой створки с остатками радиальной скульптуры; 12а—то же,  $\times 3$ . Белоярская скв. 1, инт. 2224,8—2232,8 м. Кимеридж. Максимовская свита. Коллекция СНИИГГиМС.

Фиг. 6—8. *Buchia rugosa* (Fischer Waldheim).

6—вид со стороны левой створки, 6а—то же,  $\times 2$ ; 7—скопление ядер левых створок; 8—вид со стороны левой створки с остатками скульптуры, 8а—то же,  $\times 2$ . Елогуйская скв. 1, инт. 1237—1239 м. Волжский ярус, нижний подъярус. Яновстанская свита. Коллекция СНИИГГиМС.

#### ТАБЛИЦА 15

Фиг. 1—7. *Buchia* ex gr. *mosquensis* (Buch).

1—ядро левой створки с остатками раковинного слоя. Тобольская скв. 1, инт. 2064—2074 м; 2—ядро правой створки, 2а—то же,  $\times 1,5$ ; 3—ядро правой створки, 3а—то же,  $\times 1,5$ ; 4—ядро левой створки; 5—ядро правой створки. Тобольская скв. 3, инт. 2144—2156 м. Волжский ярус, нижний подъярус. Тутлеймская свита; 6—ядро левой створки, 6а—то же,  $\times 1,2$ ; 7—ядро правой створки, 7а—то же,  $\times 1,5$ . Викуловская скв. 2, инт. 2018—2024 м. Волжский ярус, нижний подъярус. Марьяновская свита. Коллекция СНИИГГиМС.

Фиг. 8—13. *Buchia mosquensis* (Buch).

8—ядро правой створки. Омская скв. 1, инт. 2364,9—2367,9 м. Волжский ярус. Баженовская свита; 9—ядро правой створки. Максимкинярская скв. 1, инт. 1990—1995 м. Волжский ярус, Марьяновская свита; 10—ядро левой створки, 10а—то же,  $\times 1,5$ ; 11—фрагмент ядра левой створки. Туруханская скв. 1, инт. 2020—2026 м. Волжский ярус. Яновстанская свита; 12—ядро левой створки; 13—фрагмент ядра правой створки,  $\times 1,5$ . Туруханская скв. 1, инт. 2032—2042 м. Волжский ярус. Яновстанская свита. Коллекция СНИИГГиМС.

#### ТАБЛИЦА 16

Фиг. 1—10. *Buchia mosquensis* (Buch).

1—вид со стороны правой створки. Вэнгайхинская скв. 38, инт. 2848—2860,5 м (6,7); 2—вид со стороны левой створки.

Омбинская скв. 9, инт. 2863—2868 м. (0,5); 3 — ядра правых створок. Северо-Сикторская скв. 96, инт. 2726—2731 м (4,2); 4 — фрагмент ядра правой створки. Широкая скв. 50, инт. 2622,3—2629,5 м (4,0); 5 — фрагмент двусторчатого ядра со стороны правой створки. Тагринская скв. 55, инт. 2728—2734 м (8,16); 6 — скопление ядер правых и левых створок. Полонская скв. 2, инт. 2517—2522 м (нк); 7 — ядро левой створки. Поньжевая скв. 300, инт. 2868,8—2871,2 м; 8 — ядро правой створки. Толпаровская скв. 2, инт. 2622,8—2629,8 м (5,9); 9 — отпечатки створок. Южная скв. 1, инт. 2459,0—2465,0 м; 10 — фрагменты ядер. Салымская скв. 116, инт. 2940—2949 м. Волжский ярус, средний подъярус. Баженовская свита. Коллекция СНИИГГиМС.

#### ТАБЛИЦА 17

Фиг. 1—7. *Buchia mosquensis* (Buch).

1 — ядро левой створки; 2 — отпечатки правых створок; 3 — ядра правой и левой створок; 4 — скопление перемятых правых и левых створок; 5 — ядра правых и левых створок. Полонская скв. 2, инт. 2517—2522 м; 6 — скопление перемятых створок. Поньжевая скв. 300, инт. 2868,8—2871,2 м; 7 — вид со стороны правой створки. Туганская скв. 2, глуб. 2620,2 м. Волжский ярус, средний подъярус. Баженовская свита. Коллекция СНИИГГиМС.

#### ТАБЛИЦА 18

Фиг. 1—4. *Buchia* cf. *russiensis* (Pavlov).

Скопление ядер и отпечатков правых и левых створок с остатками скульптуры. Глуховская скв. 4, инт. 2975,2—2978,0 м (0,5—0,9). Волжский ярус. Баженовская свита. Коллекция СНИИГГиМС.

Фиг. 5—8. *Buchia* ex gr. *terebratuloides* (Lahusen) — *unschensis* (Pavlov).

5 — фрагмент ядра; 6 — вид со стороны правой створки; 7 — вид со стороны левой створки; 8 — вид со стороны левой створки, ×2. Ушаковская скв. 2, инт. 2515—2525 м (1,2—1,8). Волжский ярус, верхний подъярус. Яновстанская свита. Коллекция СНИИГГиМС.

#### ТАБЛИЦА 19

Фиг. 1, 2. *Buchia russiensis* (Pavlov).

1 — ядро правой створки. Покомассовская скв. 16, инт. 2709—2714 м (2,6); 2 — ядро левой створки. Там же (3,1). Волжский ярус, средний подъярус. Баженовская свита. Коллекция ИГиГ СО АН СССР.

Фиг. 3—4. *Buchia* cf. *russiensis* (Pavlov).

3 — неполное ядро правой створки. Салымская скв. 130, инт. 2920—2928,4 м (1,6); 4 — отпечатки створок. Салымская скв. 116, инт. 2926—2933 м (0,15). Волжский ярус, средний подъярус. Баженовская свита. Коллекция СНИИГГиМС.

Фиг. 5—7. *Buchia* cf. *fischeriana* (d'Orbigny).

5 — фрагменты ядер. Восточно-Моисеевская скв. 3, инт. 2753,5—2767,7 м; 6 — отпечаток левой створки с остатками скульптуры; 7 — скопление ядер правых и левых створок. Полонская скв. 2, инт. 2517—2522 м. Волжский ярус, верхний подъярус — основание берриаса, Баженовская свита. Коллекция СНИИГГиМС.

Фиг. 8, 9. *Buchia obliqua* (Tullberg).

8а — вид со стороны правой створки; 8б — вид со стороны левой створки, сильно расплюснутый экземпляр. Южно-Сургутская скв. 20, инт. 2803—2809 м (2,94); 9 — фрагмент ядра правой створки, там же. Волжский ярус, верхний подъярус. Баженовская свита. Коллекция ИГиГ СО АН СССР.

#### ТАБЛИЦА 20

Фиг. 1—4. *Buchia* cf. *okensis* (Pavlov).

1 — скопление ядер правых и левых створок. Лодочная скв. 1, инт. 2901—2908 м. Берриас. Нижнехетская свита; 2 — ядро раскрытого экземпляра; 3 — фрагмент ядра левой створки. Сузунская скв. 15, инт. 2843,3—2858,7 м; 4 — ядро левой створки, ×3. Лодочная скв. 1, гл. 2958 м. Берриас. Нижнехетская свита. Коллекция СНИИГГиМС.

Фиг. 5, 7. *Buchia* cf. *tenuicollis* (Pavlov).

Ядра левых створок. Заречинская скв. 2, инт. 987,8—990,0 м. Волжский ярус, Марьяновская свита. Коллекция СНИИГГиМС.

Фиг. 6. *Buchia* sp. indet. ? *Buchia* ex gr. *lahuseni* (Pavlov). Фрагмент ядра правой створки. Мальцевская скв. 2, инт. 1094—1100 м. Берриас. Нижняя часть ахской свиты. Коллекция СНИИГГиМС.

Фиг. 8. *Buchia taimyrensis* Zakharov.

Правая створка, 8а — ядро, 8б — вид с внутренней стороны. Ракининская скв. 4, инт. 2438,5—2445,5 м (6,4). Волжский ярус, средний подъярус, совместно с *Dorsoplanites* sp. ind. Баженовская свита. Коллекция СНИИГГиМС.

Фиг. 9. *Buchia* cf. *taimyrensis* Zakharov.

Ядра створок. Салымская скв. 116, инт. 2926—2938 м (0,15). Волжский ярус, средний подъярус. Баженовская свита. Коллекция СНИИГГиМС.

#### ТАБЛИЦА 21

Фиг. 1—7. *Buchia fischeriana* (d'Orbigny).

1 — ядро левой створки. Покомассовская скв. 8, инт. 2724—2734 м; 2 — отпечаток правой створки; 3 — ядро правой створки; 4 — отпечаток правой створки; 5 — ядро правой створки.

Большереченская скв. 1, инт. 2515,0—2522,9 м. Волжский ярус, верхний подъярус — основание берриаса. Баженовская свита; 6 — фрагмент ядра левой створки; 7 — фрагмент ядра левой створки. Шугинская скв. 2, инт. 1943,5—1947,8 м. Волжский ярус, верхний подъярус. Марьяновская свита. Коллекция СНИИГГиМС.

Фиг. 8. *Buchia* cf. *terebratuloides* (L a h u s e n).

Ядро левой створки. Лодочная скв. 1, инт. 2773—2778 м (3,1). Берриас. Нижнехетская свита.

Фиг. 9—13. *Buchia* cf. *fischeriana* (d' O r b i g n y).

9 — скопление ядер и отпечатков створок. Салымская скв. 32, инт. 2763—2770 м, глуб. 2770 м. Волжский ярус, средний подъярус. Баженовская свита; 10 — фрагменты ядер. Северо-Айсазская скв. 1, инт. 2513,0—2525,0 м (1,5); 11 — фрагмент ядра левой створки. Полонская скв. 2, инт. 2493—2513 м. Берриас. Верхняя часть баженовской — нижняя часть куломзинской свит; 12 — неполное ядро правой створки. Лосиноярская скв. 40, глуб. 2350 м; 13 — скопление ядер и отпечатков створок (см. табл. 132, фиг. 5). Коллекция СНИИГГиМС.

#### ТАБЛИЦА 22

Фиг. 1—9. *Buchia* cf. *fischeriana* (d' O r b i g n y).

Фрагменты ядер и отпечатков правых и левых створок с остатками скульптуры,  $\times 1,5$ . 1 — Киевеганская скв. 356, инт. 2553,6—2561,4 м (0,7); 2—7 — Киевеганская скв. 360, инт. 2563,0—2571,0 м (0,3—0,7); 8, 9 — Львовская скв. 15, инт. 2563,4—2575,0 м. Волжский ярус, верхний подъярус, основание берриаса. Баженовская свита. Коллекция СНИИГГиМС.

#### ТАБЛИЦА 23

Фиг. 1—8. *Buchia* cf. *fischeriana* (d' O r b i g n y).

Фрагменты ядер и отпечатков левых и правых створок с остатками скульптуры. Киевеганская скв. 356, инт. 2553,6—2561,6 м (0,7—2,0). Волжский ярус, верхний подъярус — основание берриаса. Баженовская свита. Коллекция СНИИГГиМС.

#### ТАБЛИЦА 24

Фиг. 1, 2. *Buchia terebratuloides* (L a h u s e n).

1 — вид со стороны правых створок двух сплюсненных экземпляров. Салымская скв. 127, инт. 2829—2830 м (2,2); 2 — вид со стороны правых и левых створок. Западно-Катыльгинская скв. 109, инт. 2558,9—2565,3 м. Волжский ярус, верхний подъярус. Баженовская свита. Коллекция ЗапСибНИГНИ и ИГиГ СО АН СССР.



Фиг. 3, 4. *Buchia* cf. *terebratuloides* (L a h u s e n).

3 — отпечатки правой и левой створок; 4 — ядро правой створки. Салымская скв. 130, инт. 2920—2928 м (1,6). Волжский ярус, верхний подъярус. Баженовская свита. Коллекция СНИИГГиМС.

Фиг. 5, 6. *Buchia* ex gr. *terebratuloides* (L a h u s e n).

5 — ядро правой створки. Салымская скв. 121, инт. 3000—3007 м; 6 — ядро левой створки. Салымская скв. 127, инт. 2836—2837 м. Волжский ярус, верхний подъярус. Баженовская свита. Коллекция СНИИГГиМС.

Фиг. 7—9. *Buchia* cf. *unschensis* (P a v l o w).

7 — фрагмент ядра правой створки; 8 — фрагмент отпечатка (?) левой створки. Межовская скв. 1, инт. 2371—2378 м; 9 — фрагмент ядра и отпечаток створок. Салымская скв. 157, инт. 2867,8—2874,0 м. Волжский ярус, верхний подъярус. Баженовская свита. Коллекция СНИИГГиМС.

#### ТАБЛИЦА 25

Фиг. 1—6. *Buchia unshensis* (P a v l o w).

1 — ядро правой створки. Салымская скв. 121, инт. 2985—2992 м. (0,3); 2 — ядро левой створки,  $\times 2$ . Сузунская скв. 15, инт. 2804—2815 м (3,6); 3 — фрагмент ядра левой створки. Сузунская скв. 15, инт. 2815—2830 м (3,3); 4 — целое ядро, вид со стороны правой створки. Сузунская скв. 15, инт. 2815—2830 м (2,0); 5 — ядро правой створки,  $\times 1,5$ . Лодочная скв. 1, глуб. 2958 м (6,7); 6 — фрагмент ядра правой створки. Федущинская скв. 2, инт. 2820,5—2825,5 м (3,8). Волжский ярус, верхний подъярус — основание берриаса. Баженовская свита. Коллекция СНИИГГиМС.

Фиг. 7. *Buchia* ex gr. *unschensis* (P a v l o w).

Ядро правой створки. Покомасовская скв. 16, инт. 2709—2714 м (0,2). Волжский ярус, верхний подъярус — основание берриаса. Баженовская свита. Коллекция ИГиГ СО АН СССР.

Фиг. 8—13. *Buchia* cf. *unschensis* (P a v l o w).

8 — фрагмент ядра,  $\times 1,5$ . Южно-Фестивальная скв. 4, инт. 2765,3—2768,6 м (2,1); 9 — ядро правой створки. Салымская скв. 98, инт. 2818,5—2826,0 м (1,0); 10 — фрагменты ядер правой и левой створок. Салымская скв. 157, инт. 2867,8—2874,0 м; 11 — неполное ядро левой створки. Салымская скв. 147, инт. 2883,0—2890,0 м (0,5); 12 — фрагмент ядра (?) правой створки. Колтогорская скв. 2, инт. 2710—2716 м (3,5); 13 — фрагмент ядра левой створки, Северо-Айсазская скв. 2, инт. 2775,5—2780,0 м. Волжский ярус, верхний подъярус — основание берриаса. Коллекция СНИИГГиМС.

#### ТАБЛИЦА 26

Фиг. 1, 2. *Buchia okensis* (P a v l o w).

1 — целое ядро, вид со стороны правой створки. 2 — фрагмент правой створки. Фроловская скв. 2, глуб. 2777 м. Нижняя часть берриаса. Баженовская свита. Коллекция ИГиГ СО АН СССР.

Фиг. 3—18. *Buchia* cf. *okensis* (Pavlov).

3 — ядро правой створки. Фроловская скв. 2, глуб. 2777 м. Нижняя часть берриаса. Баженовская свита; 4 — фрагмент левой створки, 4а — то же,  $\times 3$ ; 5 — целое ядро, вид со стороны правой створки; 5а — то же,  $\times 4$ ; 6 — ядро левой створки; 7 — фрагмент левой створки; 8 — фрагмент целого ядра, вид со стороны правой створки; 9 — фрагмент ядра правой створки; 10 — фрагмент ядра правой створки; 11 — фрагмент ядра правой створки; 12 — ядро левой створки; 13 — фрагмент ядра правой створки. Пр. Щекурья-Саранпаульский, скв. 2, инт. 465—472 м. Нижняя часть берриаса. Федоровская свита; 14 — фрагмент ядра левой створки; 15 — фрагмент ядра левой створки. Останинская скв. 451, инт. 2428—2433 м; 16 — фрагмент ядра правой створки. Устьсылгинская скв. 1, инт. 2987,3—2995 м; 17 — ядро правой створки, 17а — то же,  $\times 3$ ; 18 — фрагмент ядра правой створки. Туйская скв. 1, инт. 2064—2070 м. Берриас. Куломзинская свита. 18 — то же,  $\times 2$ . Коллекция СНИИГГиМС.

#### ТАБЛИЦА 27

Фиг. 1—3, 5, 13, 14. *Buchia volgensis* (Lahusen).

1 — вид со стороны левой створки, 1а — то же,  $\times 1,2$ , 1б — вид со стороны правой створки, 1в — то же,  $\times 1,2$ ; 2 — фрагмент ядра левой створки, 2а — вид со стороны правой створки, 2б — вид сбоку; 3 — фрагмент ядра левой створки. Мальцевская скв. 2, инт. 1094—1100 м. Берриас. Ахская свита; 5 — фрагмент правой створки. Татарская скв. 1, инт. 2349—2355 м. Берриас. Куломзинская свита; 13 — ядро правой створки; 14 — фрагмент ядра. Лосиноярская скв. 40, глуб. 2345,1 м. Берриас. Верхняя часть баженовской — нижняя часть куломзинской свит. Коллекция СНИИГГиМС.

Фиг. 4, 6—12. *Buchia* cf. *volgensis* (Lahusen).

Фрагменты ядер правых и левых створок с остатками скульптуры. Татарская скв. 1, инт. 2349—2355 м. Берриас. Куломзинская свита. Коллекция СНИИГГиМС.

#### ТАБЛИЦА 28

Фиг. 1, 3, 5, 9. *Buchia volgensis* (Lahusen).

1 — вид со стороны правой створки. Лодочная скв. 1, инт. 2766—2779 м (2,6). Берриас. Нижнехетская свита; 3 — ядро левой створки. Полонская скв. 2, инт. 2491,8 м; 5 — ядро левой створки. Южно-Тарская скв. 2, инт. 2412,4—2417,4 м (2,4); 9 — ядро правой створки. Межовская скв. 8, инт. 2207—2211 м. Берриас. Куломзинская свита. Коллекция СНИИГГиМС.

Фиг. 2, 4, 6—8. *Buchia* cf. *volgensis* (Lahusen).

2 — фрагмент двустворчатого ядра и отпечаток створки. Салымская скв. 75, инт. 2806—2823 м. Берриас. Баженовская свита; 4 — фрагмент ядра правой створки. Сенькинская скв. 7,

инт. 1994,0—2004,6 м; 6 — ядро левой створки. Северо-Васюганская св. 1, инт. 2215—2219 м. Берриас. Куломзинская свита; 7 — ядро левой створки. Заводоуковская св. 1, инт. 1240—1245 м. Берриас. Ахская свита; 8 — фрагменты ядер. Полонская св. 2, глуб. 2493,3 м. Берриас. Куломзинская свита. Коллекция СНИИГГиМС.

#### ТАБЛИЦА 29

Фиг. 1—13. *Buchia* cf. *keyserlingi* (L a h u s e n).

1 — ядро правой створки. Устьсильгинская св. 3, инт. 2008—2016 м; 2 — фрагмент ядра правой створки. Устьсильгинская св. 6, гл. 2048 м; 3 — фрагмент ядра левой створки. Ларьякская св. 1, гл. 2375,9 м; 4 — фрагмент ядра левой и ядра правой створок. Среднеvasюганская св. 3, инт. 2055,7—2060,7 м. Валанжин. Тарская свита; 5 — фрагмент ядра правой створки, 5а — то же,  $\times 3$ . Ларьякская св. 1, инт. 2411,2—2419,7 м; 6 — фрагмент ядра левой створки. Пудинская св. 1, инт. 2464—2470 м; 7 — фрагмент ядра левой створки, 7а — то же,  $\times 2,5$ . Пудинская св. 1, инт. 2307—2312 м; 8 — ядро левой створки, 8а — вид со стороны переднего края, 8б — вид со стороны заднего края, 8в — вид со стороны макушки; 9 — фрагмент ядра левой створки. Пудинская св. 1, инт. 2263—2270 м; 10 — фрагмент ядра правой створки. Туйская св. 1, инт. 2064—2070 м. Нижний валанжин. Тарская свита; 11 — ядро правой створки; 12 — фрагмент ядра левой створки; 12а — то же,  $\times 3$ ; 13 — ядро правой створки. Александровская св. 1, инт. 2277—2281 м. Нижний валанжин. Куломзинская свита. Коллекция СНИИГГиМС.

#### ТАБЛИЦА 30

Фиг. 1. *Buchia* sp. indet.

1 — ядро левой створки, 1а — то же,  $\times 4$ . Вяткинская св. 4, инт. 1509—1513 м. Нижний готерив. Ахская свита. Коллекция СНИИГГиМС.

Фиг. 2—11. *Buchia* cf. *sublaevis* (K e y s e r l i n g).

2 — разрозненные ядра левых и правых створок; 3 — ядро правой створки; 4 — разрозненные ядра правых створок. Суходунинская св. 1, инт. 649,4—661,7 м. Верхний валанжин — нижний готерив. Суходунинская свита; 5 — скопление ювенильных форм; 6 — фрагменты ядер правой и левой створок. Тобольская св. 1, инт. 1971—1983 м; 7 — ядро правой створки; 8 — фрагмент ядра правой створки. Тобольская св. 3, инт. 2007—2017 м; 9 — скопление ювенильных экземпляров. Тобольская св. 3, инт. 2057—2969 м; 10 — ядро правой створки. Тобольская св. 1, инт. 1935—1947 м. Верхний валанжин — нижний готерив. Ахская свита; 11 — ядро правой створки. Шаимская св. 68, инт. 1497,5—1500,0 м. Верхний валанжин — нижний готерив. Малысьинская свита. Коллекция СНИИГГиМС.

## ТАБЛИЦА 31

Фиг. 1—4. *Goniomya* cf. *dubois* Agassiz.

1 — неполное раскрытое ядро. Вид со стороны левой створки. Татарская скв., инт. 2349,2—2355,0 м. Берриас. Куломзинская свита; 2 — фрагмент ядра правой створки с остатками скульптуры. Профиль Шекурья-Саранпаульский, скв. 2, инт. 465,8—472,0 м. Волжский ярус, верхний подъярус — берриас. Федоровская свита; 3 — фрагмент ядра. Вид со стороны правой створки; 3а — то же,  $\times 1,5$ . Тагайская скв. 2, инт. 2757—2762 м (3,0). Верхний келловей — нижний оксфорд. Васюганская свита; 4 — фрагмент ядра с остатками скульптуры. Профиль Шекурья-Саранпаульский, скв. 5, инт. 110,1—115,7 м. Волжский ярус, верхний подъярус — берриас. Федоровская свита. Коллекция СНИИГГиМС.

Фиг. 5. *Pholadomya* cf. *hemicardia* Roemer.

Целое ядро с остатками раковинного слоя. Вид со стороны переднего края, 5а — вид со стороны правой створки. Колпашевская скв. 2, инт. 2773,5—2776,2 м. Берриас. Куломзинская свита. Коллекция СНИИГГиМС.

Фиг. 6, 7. *Limatula consobrina* (d'Orbigny).

6 — ядра левых створок; 7 — фрагменты ядер левых створок. Колпашевская скв. 2, инт. 2773,5—2776,2 м. Берриас. Куломзинская свита. Коллекция СНИИГГиМС.

## ТАБЛИЦА 32

Фиг. 1, 2. *Musculus uralensis* (d'Orbigny).

1 — вид со стороны левой створки, 1а — то же,  $\times 3$ , 1б — вид со стороны правой створки, 1в — то же,  $\times 3$ , 1г — вид со стороны верхнего края,  $\times 3$ ; 2 — вид со стороны правой створки,  $\times 2$ . 2а — то же. Колпашевская скв. 2, инт. 2272—2280 м. Берриас. Куломзинская свита (ачимовская пачка). Коллекция СНИИГГиМС.

Фиг. 3, 4. «*Musculus*» *sibiricus* Bodylevsky.

3 — вид со стороны правой створки с остатками скульптуры. Профиль Шекурья-Саранпаульский, скв. 1, инт. 429—436 м. Берриас. Федоровская свита; 4 — вид со стороны левой створки. Лодочная скв. 1, гл. 2958 м (1,3). Волжский ярус (верхний подъярус) — берриас. Нижнехетская свита. Коллекция СНИИГГиМС.

Фиг. 5, 6. «*Musculus*» cf. *czekanowskii* Lahusen.

5 — вид со стороны левой створки. Вяткинская скв. 4, инт. 1718—1725 м. Кимеридж. Марьяновская свита (нижняя часть); 6 — фрагмент ядра правой створки. Карасевская скв. 61, инт. 2661,5—2666,5 (1,05). Нижний оксфорд. Васюганская свита (пласт Ю<sub>1</sub>). Коллекция СНИИГГиМС.

Фиг. 7, 8. *Pinna* sp. indet.

7 — фрагмент ядра с остатками скульптуры. Лодочная скв. 1, глуб. 3008 м (0,5); 8 — фрагмент ядра. Лодочная скв. 1, глуб. 2998 м (3,6). Волжский ярус — берриас. Нижнехетская свита. Коллекция СНИИГГиМС.

#### ТАБЛИЦА 33

Фиг. 1, 2. *Myophorella* sp. indet.

1 — фрагмент ядра правой створки, 1а — то же,  $\times 3$ ; 2 — фрагмент ядра левой створки. Южно-Чулымская скв. 1, инт. 1102,1 — 1109,1 м (0,2). Волжский ярус, средний подъярус. Марьяновская свита. Коллекция СНИИГГиМС.

Фиг. 3—5. *Isognomon* cf. *isognomonoides* (Stahl).

3, 4 — фрагменты ядер левых створок. Пуглалымская скв. 88, инт. 2455—2457 м (0,3); 5 — фрагмент ядра левой створки. Игольская скв. 12, инт. 2771,6—2785,1 м. Верхний келловей — нижний оксфорд. Васюганская свита. Коллекция СНИИГГиМС.

Фиг. 6—8. *Isognomon* ex gr. *embolicum* Zakharov.

Фрагменты ядер правой и левой створок и отпечаток правой створки. Южно-Тамбаевская скв. 75, инт. 2580,5—2590,6 м. Кимеридж. Георгиевская свита. Коллекция СНИИГГиМС.

#### ТАБЛИЦА 34

Фиг. 1—3. *Inoceramus subplanus* Zakharov et Turbina. 1 — ядро левой створки; 2 — целый экземпляр с раскрытыми створками (примакушечная часть). Сосновская скв. 71, инт. 2336,8—3444,8 м (0,7). Волжский ярус (?), верхний подъярус. Баженовская свита; 3 — левая створка и сочленение ее с правой в области замочного края (молодой экземпляр). Лесная скв. 206, инт. 2605,6—2612,2 м (3,0). Берриас, зона *chetaites sibiricus*. Баженовская свита. Коллекция СНИИГГиМС.

Фиг. 4. *Inoceramus* cf. *subplanus* Zakharov et Turbina. Ядро (?) левой створки с остатками раковинного слоя. Покомасовская скв. 8, инт. 2724,0—2734,1 м (8,1). Волжский ярус, верхний подъярус — основание берриаса. Баженовская свита. Коллекция СНИИГГиМС.

Фиг. 5—8. *Inoceramus vereshagini* Roschialainen.

5 — ядро, вид со стороны заднего края (фрагмент примакушечной части); 6 — ядро раскрытого экземпляра. Пудинская скв. 1, инт. 2459—2464 м. Берриас. Ачимовская пачка; 7 — ядро верхней части раскрытого экземпляра. Долганская скв. 3, инт. 1565,0—1567,8 м. Берриас. Яновстанская свита; 8 — ядро правой створки. Тагринская скв. 55, инт. 2744—2758 м (1,0). Волжский ярус, средний подъярус. Баженовская свита. Коллекция СНИИГГиМС.

### ТАБЛИЦА 35

Фиг. 1—4. *Inoceramus* cf. *vereshagini* Pochialaunep.

1 — фрагмент ядер левых и правых створок; 2 — фрагмент ядра двусторчатого экземпляра с остатками раковинного слоя. Полонская скв. 2, инт. 2486,9—2493,5 м; 3 — фрагменты ядер раскрытых створок с остатками раковинного слоя,  $\times 2$ . Айзановская скв. 1, инт. 2286,8—2290,0 м; 4 — фрагменты ядер раскрытых створок. Салымская скв. 121, инт. 2985—2992 м. Волжский ярус, верхний подъярус. Баженовская свита. Коллекция СНИИГГиМС.

Фиг. 5—7. *Inoceramus subplanus* Zakharov et Turbina.

5 — раскрытые створки с остатками раковинного слоя (фрагмент примакушечной части). Сузунская скв. 15, инт. 2843,9—2858,7 м; 6 — ядро левой створки и сочленение ее с правой в области замочного края. Снежная скв. 134, инт. 2415,7—2423,2 м (1,1). Волжский ярус, верхний подъярус — основание берриаса. Баженовская свита; 7 — ядро верхней части раскрытого экземпляра. Лодочная скв. 1, инт. 2916,0—2923,5 м (1,0). Волжский ярус, верхний подъярус — основание берриаса. Нижнехетская свита. Коллекция СНИИГГиМС.

### ТАБЛИЦА 36

Фиг. 1—5. *Inoceramus* cf. *vereshagini* Pochialaunep.

1 — раскрытые створки; 2 — скопление фрагментов ядер и отпечатков; 3 — скопление ядер неполных створок; 4 — разрозненное и раскрытое ядро; 5 — примакушечная часть ядер. Покомасовская скв. 8, инт. 2724—2734 м (5,7). Волжский ярус, верхний подъярус — основание берриаса. Баженовская свита. Коллекция СНИИГГиМС.

Фиг. 6, 7. *Inoceramus* sp. indet.

6 — скопление левой и правой створок. Сарымоишимская скв. 6, инт. 2769,5—2770,0 м (0,7). Баженовская свита; 7 — ядро правой (?) створки. Покомасовская скв. 12, инт. 2764—2770 м (0,7). Баженовская свита. Коллекция СНИИГГиМС.

### ТАБЛИЦА 37

Фиг. 1—7. *Inoceramus* sp. indet.

1 — скопление ядер правых и левых створок; 2 — ядро раскрытых створок. Мирная скв. 409, инт. 2407,7—2417,7 м; 3 — фрагмент ядра; 4 — фрагмент ядра. Салымская скв. 157, инт. 2881—2885 м; 5 — фрагмент ядра. Летняя скв. 2, глуб. 2567,5 м; 6 — фрагмент отпечатка. Салимхановская скв. 3, инт. 2250—2259 м; 7 — фрагмент ядра. Южно-Ягунская скв. 84, инт. 2802—2808 м. Волжский ярус, верхний подъярус — основание берриаса. Баженовская свита. Коллекция СНИИГГиМС.

### ТАБЛИЦА 38

Фиг. 1—4. *Liostrea (Praeexogyra) anabarensis* B o d y l e v s k y.

1 — отпечаток левой створки. Профиль Щекурья-Саранпаульский, скв. 2, инт. 454,5—459,0 м. Берриас. Федоровская свита; 2 — ядро правой створки. Татарская скв. 1, инт. 2349—2355 м. Берриас—валанжин. Куломзинская свита; 3 — фрагмент ядра. Мойсеевская скв. 3, инт. 2169—2179 м. Валанжин. Тарская свита; 4 — фрагмент ядра левой створки,  $\times 1,8$ . Профиль Щекурья-Саранпаульский, скв. 5, инт. 190,5—195,5 м. Берриас. Федоровская свита. Коллекция СНИИГГиМС.

Фиг. 5—9. *Liostrea (Praeexogy) Lyapinensis* Z a k h a r o v.

5—7 — вид левых створок с внутренней стороны; 9 — вид правой створки с внешней стороны. Профиль Щекурья-Саранпаульский, скв. 1, инт. 449,5—455,5 м. Берриас. Федоровская свита; 8 — вид правой створки с внешней стороны. Лодочная скв. 1, инт. 2760—2766 м. Берриас. Нижнехетская свита. Коллекция СНИИГГиМС.

Фиг. 10, 11. *Liostrea (Liostrea) plastica* (T r a u t s c h o l d).

Фрагмент ядра и отпечатка с остатками скульптуры. Южно-Тамбаевская скв. 75, инт. 2580,5—2590,5 м (0,2). Кимеридж — волжский ярус. Коллекция СНИИГГиМС.

### ТАБЛИЦА 39

Фиг. 1—3. *Liostrea (Liostrea) plastica* (T r a u t s c h o l d).

1 — скопление ядер левых створок с остатками скульптуры. Мурашевская скв. 1, инт. 2510,8—2522,0 м. Баженовская свита. Средневожский подъярус; 2 — ядро правой створки; 3 — отпечаток правой створки. Викуловская скв. 2, инт. 2052—2059 м. Кимеридж. Марьяновская свита. Коллекция СНИИГГиМС.

Фиг. 4—6. *Liostrea (Praeexogyra) siberica* Z a k h a r o v.

4 — вид со стороны правой створки, 4а — вид со стороны левой створки; 5 — фрагмент ядра левой створки, 5а — то же; 6 — ядро правой створки, 6а — то же,  $\times 1,5$ . Доволенская скв. 1, инт. 1175,8—1181,3 м. Волжский ярус, верхний подъярус. Марьяновская свита. Коллекция СНИИГГиМС.

Фиг. 7—11. *Exogyra nana* (S o w e r b y).

7 — вид правой створки с внутренней стороны, 7а — то же,  $\times 3$ ; 8 — отпечаток правой створки с внутренней стороны, 8а — то же,  $\times 3$ ; 9 — ядро левой створки; 10 — ядро левой створки; 11 — ядро левой створки; 11а — то же,  $\times 3$ . Южно-Чулымская скв. 1, инт. 1205,4—1213,4 м (2,1). Верхний кимеридж. Марьяновская свита. Коллекция СНИИГГиМС.

Фиг. 12. *Liostrea (Liostrea) sp. indet.*

Фрагмент ядра. Татарская скв. 2, инт. 2322—2327 м,  $\times 3$ . Валанжин. Куломзинская свита. Коллекция СНИИГГиМС.

#### ТАБЛИЦА 40

Фиг. 1—13. *Astarte (Astarte) lyapinensis* Zakhafov.  
1, 2, 4, 6—10 — ядра левых и правых створок с остатками скульптуры,  $\times 2$ ; 5, 11 — вид левых створок с внутренней стороны,  $\times 2$ . Профиль Щекурья-Саранпаульский, скв. 5, инт. 96,2—193,0 м; 3, 7 — ядра левых створок,  $\times 2$ . Маньинская скв. 11, инт. 84,6—89,3 м. Кимеридж. Лопсинская свита; 12 — ядро правой створки,  $\times 1,1$ . Татарская скв. 2, инт. 2445—2451 м. Кимеридж. Георгиевская свита; 13 — ядро правой створки,  $\times 2$ . Вяткинская скв. 4, инт. 1732—1739 м. Кимеридж. Марьяновская свита. Коллекция СНИИГГиМС.

Фиг. 14—16. *Astarte (Astarte) lopsiyaensis* Zakhafov.  
14 — ядро правой створки,  $\times 1$ . Профиль Щекурья-Саранпаульский, скв. 5, инт. 141—145 м; 15 — ядро правой створки,  $\times 1$ . Там же, инт. 177,5—193,6 м; 16 — ядро правой створки,  $\times 1$ . Там же, инт. 98,5—104,0 м. Кимеридж. Лопсинская свита. Коллекция СНИИГГиМС.

Фиг. 17. *Astarte (Astarte) veneris* d'Orbigny.  
Ядро левой створки. Татарская скв. 2, инт. 2322—2327 м. Берриас. Куломзинская свита.

Фиг. 18, 19. *Astarte (Astarte) veneriformis* Zakhafov.  
18 — фрагмент ядра левой створки. Кыксинская скв. 1, инт. 1031—1038 м. Берриас. Яновстанская свита; 19 — фрагмент ядра левой створки. Сургутская скв. 1 (51), инт. 2341—2349 м. Валанжин. Мегинская свита. Коллекция СНИИГГиМС.

Фиг. 20—24. *Eriphyla (Lyapinella) asiatica* Zakhafov.  
20—22 — фрагменты ядер правых и левых створок с остатками раковинного слоя. Южно-Чулымская скв. 1, инт. 1149,9—1154,9 м. Волжский ярус, средний подъярус. Марьяновская свита; 23—24 — ядра правых и левых створок. Кыксинская скв. 1, инт. 1031—1038 м. Волжский ярус. Яновстанская свита. Коллекция СНИИГГиМС.

#### ТАБЛИЦА 41

Фиг. 1. *Aequipecten* aff. *arachnoideus* (Sokolov et Bodylevsky).

Левая створка с остатками раковинного слоя, 1а — то же,  $\times 5$ . Толпаровская скв. 1, глуб. 2602,9 м. Волжский ярус, верхний подъярус. Баженовская свита. Коллекция СНИИГГиМС.

Фиг. 2. *Chlamys* sp. indet.  
Фрагмент ядра с остатками скульптуры. Южно-Чулымская скв. 1, инт. 1205,4—1213,6 м (2,1). Кимеридж. Марьяновская свита. Коллекция СНИИГГиМС.

Фиг. 3. *Chlamys* sp. indet.  
Фрагмент отпечатка с остатками скульптуры. Южно-Чулымская скв. 1, инт. 1205,4—1213,6 м (2,1). Кимеридж. Марьяновская свита. Коллекция СНИИГГиМС.



Фиг. 4. *Pleuromya* ex gr. *subpolaris* Koscholkina.  
Двустворчатое ядро. Вид со стороны верхнего края. Южно-Матюшинская скв. 41, инт. 2610,1—2615,1 м (2,8). Верхний келловей — нижний оксфорд. Васюганская свита. Коллекция СНИИГГиМС.

Фиг. 5. *Pleuromya* sp. indet.  
Двустворчатое ядро. Вид со стороны верхнего края. 5а — фрагмент ядра правой створки. Южно-Чулымская скв. 1, инт. 1149,9—1154,9 м (1,4). Волжский ярус, средний подъярус. Марьяновская свита. Коллекция СНИИГГиМС.

Фиг. 6. *Ponopora* ex gr. *borealis* Eichwald.  
Целое ядро, вид со стороны левой створки, 6а — вид со стороны верхнего края. Ереминская скв. 6, инт. 1024—1029 м.? Волжский ярус, верхний подъярус — основание берриаса. Хорошимская свита. Коллекция СНИИГГиМС.

Фиг. 7. «*Corbiculidae*» gen. indet.  
Вид сверху раскрытых створок, 7а — то же,  $\times 3$ . Рифтовая скв. 1, инт. 2851—2859 м (0,15—2,15). Келловей. Тюменская свита. Коллекция СНИИГГиМС.

Фиг. 8. *Pleuromya* sp. indet.  
Фрагмент ядра. Кыксинская скв. 3, инт. 1039—1046 м. Волжский ярус. Яновстанская свита. Коллекция СНИИГГиМС.

Фиг. 9. *Tancredia* (?) sp. indet.  
Фрагмент ядра. Черталинская скв. 1, инт. 2839—2850 м. Верхний келловей — нижний оксфорд. Васюганская свита. Коллекция СНИИГГиМС.

Фиг. 10. *Tancredia* sp. indet.  
Раскрытые створки. Вид со стороны правой створки. Устьильгинская скв. 2, инт. 2123,3—2130,6 м,  $\times 2,5$ . Валанжин. Тарская свита. Коллекция СНИИГГиМС.

Фиг. 11. *Pleuromya* sp. indet.  
Фрагмент ядра. Южно-Чулымская скв. 1, инт. 1149,9—1154,9 м. (0,4). Волжский ярус, средний подъярус. Марьяновская свита. Коллекция СНИИГГиМС.

Фиг. 12. *Entolium* (?) sp. indet.  
Фрагмент ядра. Карасевская скв. 61, инт. 2661,5—2666,5 м (2,25). Оксфорд. Васюганская свита. Коллекция СНИИГГиМС.

#### ТАБЛИЦА 42

Фиг. 1—11. *Thracia* cf. *lata* Agassiz.  
1 — фрагмент ядра левой створки,  $\times 2$ . Викуловская скв. 2, глуб. 1805 м. Берриас. Ахская свита; 2 — отпечаток правой створки. Парабельская скв. 3, инт. 2215—2220 м. Берриас. Куломзинская свита; 3 — ядро правой створки. Березовская скв. 15, инт. 1269—1276 м. Берриас — валанжинский ярус. Алясовская свита; 6 — ядро правой створки. Кыксинская скв. 3, инт. 1046—1057,7 м. Кимеридж — волжский ярусы. Яновстанская свита;

7 — фрагмент ядра левой створки. Кыксинская скв. 1, инт. 1059—1065 м. Кимеридж. Яновстанская свита; 8 — ядро правой створки. Омская скв. 1, инт. 2155—2161 м. Валанжин. Тарская свита; 9 — фрагмент ядра (?) левой створки. Лодочная скв. 1, инт. 2736—2741 м (0,7). Берриас — нижний валанжин. Нижнехетская свита; 10 — фрагмент ядра правой створки. Арыхалыхская скв. 5, глуб. 347 м. Арыхалыхская скв. 107, глуб. 748 м. Волжский ярус. Коллекция СНИИГГиМС.

Фиг. 12—18. *Thracia* ex gr. *schythica* Eichvald.

12 — фрагмент ядра (?) правой створки. Восточная скв. 1, инт. 2468,1—2473,7 м (4,1). Верхний келловей — нижний оксфорд. Васюганская свита; 12а — то же,  $\times 2$ ; 13 — ядро правой створки. Профиль Шекурья-Саранпаульский, скв. 5, инт. 190—195 м. Оксфорд. Маурымьинская свита; 14 — фрагмент левой створки ядра. Южно-Чулымская скв. 1, инт. 1144—1149 м (1,5). Волжский ярус. Марьяновская свита; 15 — фрагмент отпечатка левой створки. Южно-Фестивальная скв. 1, инт. 2886,0—2891,5 м; 16 — фрагмент отпечатка левой створки. Таловая скв. 9, инт. 2874—2877 м; 17 — фрагмент ядра правой створки. 18 — фрагмент ядра левой створки. Чворовая скв. 1, инт. 2757,0—2764,4 м. Верхний келловей — нижний оксфорд. Васюганская свита. Коллекция СНИИГГиМС.

#### ТАБЛИЦА 43

Фиг. 1. *Sigaloceras* sp. indet.

Нижний келловей, слой с *Sigaloceras*. Фрагмент ядра. Пальиновская скв. 96, инт. 2494—2509 м (0,45), основание абалакской свиты. Коллекция ЗапСибНИГНИ.

Фиг. 2. ? *Sigaloceras* (*Gulielmina*) sp. indet.

Нижний келловей, слой с *Sigaloceras*. Ядро полной раковины. Верхненазымская скв. 280, инт. 2565—2577 м (0,1), основание абалакской свиты. Коллекция ЗапСибНИГНИ.

Фиг. 3. *Kosmoceras* (*Gulielmites*) sp. indet. ex gr. *K. jason* (Reipесke).

Средний келловей. Фрагменты двух ядер. Средненазымская скв. 251, инт. 2510—2625 м (1,5), основание абалакской свиты. Коллекция ЗапСибНИГНИ.

Фиг. 4. *Kosmoceras* (? *Spinikosmoceras*) cf. *transitionis* Nikitin.

Верхний келловей. Ядро полной раковины. Верхненазымская скв. 284, инт. 2600—2610 м (0,24), абалакская свита. Коллекция ЗапСибНИГНИ.

Фиг. 5. *Kosmoceras* (*Kosmoceras*) *gemmatum* (Phillips) juv.

Верхний келловей. Пиритизированное ядро мелкой раковины. 5а —  $\times 1,0$ , 5б —  $\times 3,0$ . Сотэюганская скв. 252, инт. 2123—2127 м (1,3), абалакская свита. Коллекция ЗапСибНИГНИ.

Фиг. 6, 7. *Kosmoceras* s. l. sp. juv.

Верхний келловей. Два деформированных пиритизированных ядра. 6а —  $\times 1,0$ , 6б —  $\times 3,0$ , 6в —  $\times 3,0$ , вид вентральной стороны; 7а —  $\times 1,0$ , 7б —  $\times 3,0$ . Северо-Памялянская свкв. 31, инт. 3298,5—3300,0 м (0,3), васюганская свита. Коллекция ЗапСибНИГНИ.

Фиг. 8—13. *Cadoceratinae* gen. et sp. indet.

Нижний келловей, слой с *Cadoceratinae*. 8 — отпечаток раковины. Западно-Сургутская свкв. 928, инт. 2782—2783 м (1,9), базальный слой васюганской свиты; 9—12 — отпечаток ядра и фрагменты ядер. Нейтинская свкв. 27, инт. 2566—2580 м (2,5; 8,3; 9,55), даниловская свита. Коллекция ЗапСибНИГНИ; 13 — ядро. Большекаменская свкв. 144, инт. 2303,45—2319,95 м (0,7), абалакская свита. Коллекция ЗапСибНИГНИ.

Фиг. 14. *Pseudocadoceras* sp. indet.

Нижний—средний келловей. Фрагмент ядра. Даниловская свкв. 97, инт. 1746,7—1749,7 м (низ), базальный слой даниловской свиты. Коллекция ЗапСибНИГНИ.

Фиг. 15, 16. *Eboraciceras* sp. indet. cf. *E. nikolaevi* (В о d y l.). Верхний келловей, зона *Eboraciceras subordinarium*. Два ядра. 15 — Южно-Тамбейская свкв. 5, инт. 3435—3450 м (6,5), абалакская свита; 16 — Нейтинская свкв. 27, инт. 2566—2580 м (1,7), даниловская свита. Коллекция ЗапСибНИГНИ.

Фиг. 17. *Eboraciceras* sp. indet. cf. *E. subordinarium* (В u c k m a n).

Верхний келловей, зона *Eboraciceras subordinarium*. Фрагмент ядра. Усть-Балыкская свкв. 1150, инт. 2876,0—2880,6 м (2,9), переходная зона абалакской и васюганской свит. Коллекция ЗапСибНИГНИ.

#### ТАБЛИЦА 44

Фиг. 1—10. *Quenstedtoceras* subgen. et sp. indet.

Верхний келловей. Одиннадцать ядер и фрагментов. 1 — Таллиннская свкв. 113, инт. 2524,7—2525,2 м (8,5), абалакская свита. 2 — Уренгойская свкв. 254, инт. 3711—3724 м (6,75), абалакская свита. Коллекция ЗапСибНИГНИ; 3 — Федюшкинская свкв. 5, инт. 2901,7—2908,4 м (2,4), васюганская свита; 4 — Ягылъяхская свкв. 2, инт. 2461,5—2476,5 м (8,35), васюганская свита. Коллекция СНИИГГиМС; 5 — Восточно-Янгтинская свкв. 112, инт. 3022—3028 м (3,36), васюганская свита; 6 — Нарыкарская свкв. 120, инт. 1876—1882 м (1,5), абалакская свита; 7 — Новопортовская свкв. 96, инт. 2030,8—2042,6 м (1,56), даниловская свита; 8 — Федоровская свкв. 92, инт. 2793—2797 м (0,2), васюганская свита; 9 — Нижнесортымская свкв. 231, инт. 2889—2996 м (3,3), абалакская свита; 10 — Емьеговская свкв. 517, инт. 2409—2421 м (6,3), абалакская свита. Коллекция ЗапСибНИГНИ.

Фиг. 11, 12. *Longaeviceras* cf. *keyserlingi* (S o k o l o v).

Верхний келловей, зона *Longaeviceras keyserlingi*. 11 — отпеча-

ток раковины. Новопортовская скв. 96, инт. 2030,8—2042,6 м (0,63), даниловская свита; 12 — нецелое ядро. Эргинская скв. 28, инт. 2815—2825 м (6,0), абалакская свита. Коллекция ЗапСибНИГНИ.

Фиг. 13—19. *Longaeviceras* cf. *novosemelicum* (B o d y l e v s k y).

Верхний келловей, зона *Eboraciceras subordinarium*. 13 — ядро. Новопортовская скв. 87, инт. 2010—2025 м (0,4), даниловская свита; 14 — ядро. Икилорская скв. 303, инт. 2897—2903 м (3,3), васюганская свита; 15 — деформированное ядро. Усть-Балыкская скв. 1150, инт. 2876,0—2880,6 м (2,9), переходная зона между абалакской и васюганской свитами; 16 — нецелое ядро. Нижнесортымская скв. 231, инт. 2989—2996 м (3,25), абалакская свита; 17 — нецелое ядро. Новопортовская скв. 61, инт. 2021—2027 м (низ), даниловская свита; 18 — фрагмент ядра. Еловая скв. 3, инт. 2900—2907 м (1,12), васюганская свита; 19 — фрагмент ядра. Ватьеганская скв. 41, инт. 2925—2932 м (2,5), васюганская свита. Коллекция ЗапСибНИГНИ.

#### ТАБЛИЦА 45

Фиг. 1—3. *Longaeviceras* sp. indet.

Верхний келловей, зона *Longaeviceras keyserlingi*. 1 — ядро. Федоровская скв. 153, инт. 2867—2874 м (4,7), васюганская свита; 2 — фрагмент ядра. Тазовская скв. 52, инт. 3546—3554 м (4,0), абалакская свита; 3 — фрагмент ядра. Уренгойская скв. 253, инт. 3656—3670 м (0,85), абалакская свита. Коллекция ЗапСибНИГНИ.

Фиг. 4. *Longaeviceras* sp. cf. *L. nikitini* (S o k o l o v).

Верхний келловей, зона *Longaeviceras keyserlingi*. Нецелое ядро. Комсомольская скв. 403, инт. 3016,7—3028,7 м (7,0), васюганская свита. Коллекция ЗапСибНИГНИ.

Фиг. 5. ? *Longaeviceras* — *Quenstedtoceras* (*Soaniceras*) sp. indet.

Верхний келловей. Нецелое ядро. Акилорская скв. 305, инт. 2857—2864 м (0,1), васюганская свита. Коллекция ЗапСибНИГНИ.

Фиг. 6. *Quenstedtoceras* (*Lamberticeras*) sp. ? nov. ex gr. *Quenstedtoceras lamberti* (S o w e r b y).

Верхний келловей. Нецелое ядро. Каренская скв. 400, инт. 3027,0—3028,5 м, абалакская свита. Коллекция ЗапСибНИГНИ.

Фиг. 7. *Quenstedtoceras* (*Lamberticeras*) sp. cf. *Qu. henrici* D o u v i l l e juv.

Верхний келловей, зона *Eboraciceras subordinarium*. Нецелое ядро. Пальяновская скв. 411, инт. 2639—2643 м (1,7), абалакская свита. Коллекция ЗапСибНИГНИ.

Фиг. 8. *Quenstedtoceras* s. l. sp.

Верхний келловей. Фрагмент ядра. Каренская скв. 400, инт. 3027,0—3038,5 м, абалакская свита. Коллекция ЗапСибНИГНИ.

Фиг. 9. *Quenstedtoceras* (*Lamberticeras*) ex gr. *lamberti* (Sowerby).

Верхний келловей, зона *Eboraciceras subordinarium*. Ядро. Талинская скв. 113, глубина отбора 2522 м, абалакская свита. Коллекция ЗапСибНИГНИ.

Фиг. 10. *Quenstedtoceras* sp. cf. *Qu.* (? *Soaniceras*) *principale* Sazonov.

Верхний келловей, зона *Eboraciceras subordinarium*. Нецелое ядро. Новопортовская скв. 82, инт. 2039—2049 м (4,05), даниловская свита. Коллекция ЗапСибНИГНИ.

Фиг. 11. *Quenstedtoceras* (*Soaniceras*) cf. *involutum* (Troizkaya).

Верхний келловей, зона *Eboraciceras subordinarium*. Отпечаток мелкой раковины. Каменная скв. 13, инт. 2394,6—2398,6 м (0,9), абалакская свита. Коллекция СНИИГГиМС.

Фиг. 12—15. *Quenstedtoceras* (*Soaniceras*) *parvulum* Meledina.

Верхний келловей, зона *Eboraciceras subordinarium*. Ядра и отпечатки. 12 — Новопортовская скв. 96, инт. 2030,8—2042,6 м (1,44); 13 — та же площадь, скв. 82, инт. 2039—2049 м (2,15); 14 — там же; 15 — там же, инт. 2039—2049 м (2,3), даниловская свита. Коллекция ЗапСибНИГНИ.

Фиг. 16, 17. *Quenstedtoceras* (? *Soaniceras*) sp. nov.

Верхний келловей. 16 — ядра. Бованенковская скв. 126, инт. 2830—2841 м (7,2), переходная зона даниловской и абалакской свит; 17 — ядра. Нарыкарская скв. 120, инт. 1876—1882 м (2,3), абалакская свита. Коллекция ЗапСибНИГНИ.

#### ТАБЛИЦА 46

Фиг. 1. *Cardioceras* (*Scarburgiceras*) sp. indet. ex gr. *C.* (*Scarb.*) *scarburgense* (Young et Bird).

Нижний оксфорд, слои с *Scarburgiceras*. Неполный отпечаток с сохранившимся раковинным слоем. Васюганская скв. 8, инт. 2687—2694 м (1,88), васюганская свита. Коллекция ЗапСибНИГНИ.

Фиг. 2. *Cardioceras* (*Scarburgiceras*) cf. *praecordatum* R. Douville juv.

Нижний оксфорд, слои с *Scarburgiceras*. Ядро. Талинская скв. 113, инт. 2515,2—2524,7 м (3,7), абалакская свита. Коллекция ЗапСибНИГНИ.

Фиг. 3, 5, 6. *Cardioceras* (*Scarburgiceras*) ex gr. *alphacordatum* Sprath.

Нижний оксфорд, слои с *Scarburgiceras*. 3 — фрагмент отпечатка. Западно-Фроловская скв. 4, инт. 2796—2802 м (3,2), абалакская свита; 5 — фрагмент ядра. Восточно-Сургутская скв. 28, инт. 2869—2877 м (1,05), васюганская свита; 6 — фрагмент ядра,  $\times 1,3$ . Средневатъеганская скв. 88, инт. 3127—3137 м (4,35), васюганская свита. Коллекция ЗапСибНИГНИ.

Фиг. 4. *Cardioceras (Scarburgiceras) gloriosum* Arkell.  
Нижний оксфорд, слои с *Scarburgiceras*. Ядро,  $\times 1,05$ , Пальяновская скв. 43, инт. 2473—2488 м (4,5), абалакская свита.

Фиг. 7, 8. *Cardioceras (Scarburgiceras) cf. gloriosum* Arkell.

Нижний оксфорд, слои с *Scarburgiceras*. 7 — фрагмент ядра, Емъеговская скв. 4, инт. 2331,9—2335,4 м (верх); 8 — нецелое ядро,  $\times 1,15$ . Площадь та же, скв. 517, инт. 2409—2421 м (5,0), абалакская свита. Коллекция ЗапСибНИГНИ.

Фиг. 9, 10. *Cardioceras (Cardioceras) cf. percaelatum* Row.

Нижний оксфорд, слои с *Cardioceras s. s.* 9 — ядро,  $\times 1,4$ . Айторская скв. 7, инт. 2410,5—2414,5 м (2,5), абалакская свита; 10 — нецелое ядро,  $\times 1,35$ . Салымская скв. 11, инт. 2886—2889 м (0,4 от низа), абалакская свита. Коллекция ЗапСибНИГНИ.

Фиг. 11. *Cardioceras (Cardioceras) cf. cordatum* (Sowerby).

Нижний оксфорд, слои с *Cardioceras s. s.* Ядро. Семейровская скв. 18, инт. 2842—2851 м (4,8), абалакская свита. Коллекция ЗапСибНИГНИ.

Фиг. 12—16, 18—20. *Cardioceras (Cardioceras) ex gr. cordatum* (Sowerby).

Нижний оксфорд, слои с *Cardioceras s. s.* 12 — нецелое ядро. Каменная скв. 3, инт. 2391,7—2396,6 м (1,2), абалакская свита; 13 — фрагмент ядра. Южно-Поселковая скв. 1, инт. 2820,8—2823,0 м (1,0), васюганская свита. Коллекция СНИИГГиМС; 14 — нецелое ядро. Карабашская скв. 3, инт. 1871,35—1874,65 м (середина), даниловская свита. Коллекция ЗапСибНИГНИ; 15 — ядро. Туканская скв. 54, инт. 2922—2929 м (1,45 м от низа), васюганская свита. Коллекция СНИИГГиМС; 16 — нецелое ядро,  $\times 1,2$ . Шеркалинская скв. 131, инт. 2205,9—2210,9 м (1,0); абалакская свита; 18 — ядро. Пальяновская скв. 418, инт. 2343—2360 м (6,1), абалакская свита; 19 — нецелое ядро,  $\times 1,15$ . Елизаровская скв. 27, инт. 2450,60—2458,50 м, абалакская свита; 20 — ядро,  $\times 1,35$ . Айпимская скв. 15, инт. 2940—2951 м (1,8), абалакская свита. Коллекция ЗапСибНИГНИ.

Фиг. 17. *Cardioceras* (? *Scarburgiceras*, ? *Scoticardioceras*) sp.

Нижний оксфорд. Отпечаток. Шухтунгортская скв. 303, инт. 1785,75—1792,25 м (0,7 м от низа), абалакская свита. Коллекция ЗапСибНИГНИ.

Фиг. 21. *Goliathiceras (Korythoceras) cf. rotundatum* (Nikitin).

Нижний оксфорд, слои с *Scarburgiceras*. Нецелое ядро. Елизаровская скв. 25, инт. 2458—2462 м (1,0 м от низа), абалакская свита. Коллекция ЗапСибНИГНИ.

Фиг. 1—5. *Cardioceras (Maltoniceras) sp. nov.* (aff. *C. hithworthensis* Arkell).

Средний оксфорд, зона *Cardioceras tenuiserratum*. 1 — ядро. Голотип. Емъеговская скв. 517, инт. 2409—2421 м (0,05), абалакская свита; 2а, б — ядро, 2а — вид латеральной стороны, 2б — вид вентральной стороны. Катыльгинская скв. 102, инт. 2648,3—2655,5 м (2,5); глинисто-карбонатная конкреция в низах верхней подсвиты васюганской свиты. Коллекция ЗапСибНИГНИ; 3 — ядро. Тевризская скв. 4, инт. 2363,8—2368,3 м (0,45 м от низа), васюганская свита. Коллекция СНИИГГиМС; 4 — отпечаток. Верхнесалымская скв. 21, инт. 2941—2954 м (5,2), абалакская свита; 5 — экземпляр сохранился большей частью в виде отпечатка. Эргинская скв. 28, инт. 2815—2825 м (2,2), абалакская свита. Коллекция ЗапСибНИГНИ.

Фиг. 6. *Cardioceras (Subvertebriceras) cf. densiplicatum* Wopen juv.

Средний оксфорд, зона *Cardioceras densiplicatum*. Ядро. Нижнесортымская скв. 208, инт. 2929—2936 м (2,0), абалакская свита. Коллекция ЗапСибНИГНИ.

Фиг. 7. *Cardioceras (Subvertebriceras) zenaidae* Novaisky. Средний оксфорд, зона *Cardioceras tenuiserratum*. Нецелое ядро. Каменная скв. 201, инт. 2455—2460 м (0,1), абалакская свита. Коллекция ЗапСибНИГНИ.

Фиг. 8, 9. *Cardioceras (Scoticardioceras) cf. excavatum* (Sowby).

Средний оксфорд, зона *Cardioceras densiplicatum*. 8 — нецелое ядро. Камынская скв. 50, инт. 2888—2897 м (0,6), абалакская свита; 9 — нецелое ядро. Каменная скв. 31, инт. 2407—2414 м, абалакская свита. Коллекция ЗапСибНИГНИ.

Фиг. 10. *Cardioceras (Scarburgiceras) praecordatum* R. Douville.

Нижний оксфорд, слои с *Scarburgiceras*. Нецелое ядро. Каменная скв. 11, инт. 2406,4—2410,9 м (0,4), абалакская свита. Коллекция СНИИГГиМС.

Фиг. 11. *Cardioceras (Plasmatoceras) cf. tenuistriatum* (Borissiak).

Средний оксфорд, зона *Cardioceras densiplicatum*. Фрагмент ядра. Шеркалинская скв. 131, инт. 2205,9—2210,9 м (верх), абалакская свита. Коллекция ЗапСибНИГНИ.

Фиг. 12. *Cardioceras (Miticardioceras) sp.*

Средний оксфорд, зона *Cardioceras tenuiserratum*. Фрагмент отпечатка. Южно-Табаганская скв. 135, инт. 2607,6—2610,6 м (2,4), васюганская свита. Коллекция ЗапСибНИГНИ.

Фиг. 13—15. *Cardioceras sp. indet.*

Средний оксфорд, 13 — ядро. Пальяновская скв. 23, инт. 2417—2428 м (3,5), абалакская свита. Коллекция ЗапСибНИГНИ; 14 — фрагмент ядра. Южно-Матюшкинская скв. 4, инт. 2610,1—

2615,1 м (2,8), васюганская свита. Коллекция СНИИГГиМС; 15 — отпечаток. Эргинская скв. 20, инт. 2785—2799 м (5,2), абалакская свита. Коллекция ЗапСибНИГНИ.

#### ТАБЛИЦА 48

Фиг. 1—2. *Amoeboceras* (*Amoeboceras*) cf. *alternoides* (Nikitin).

Верхний оксфорд, слои с *Amoeboceras* sp. 1 — нецелое ядро. Средняяровская скв. 3, инт. 3250—3265 м (1,8), основание яновстанской свиты. Коллекция СНИИГГиМС; 2 — фрагмент ядра,  $\times 1,4$ . Харампурская скв. 324, инт. 2879—2889 м (1,5), васюганская свита. Коллекция ЗапСибНИГНИ.

Фиг. 3. *Amoeboceras* sp. cf. *A. alternoides* (Nikitin) juv. Верхний оксфорд, слои с *Amoeboceras* spp. Ядро,  $\times 1,4$ . 3а — вид латеральной стороны с частью наружного оборота; 3б — вид внутреннего оборота. Черкашинская скв. 1, инт. 2312,05—2318,45 м (низ), абалакская свита. Коллекция ЗапСибНИГНИ.

Фиг. 4, 5. *Amoeboceras* sp. aff. *A. glosense* (Bigot et Brasil).

Верхний оксфорд, слои с *Amoeboceras* spp. 4 — фрагмент ядра. Новопортовская скв. 88, инт. 2005—2016 м (3,8); 5 — ядро,  $\times 0,06$ . Там же, инт. 2005—2016 м (по слою), даниловская свита. Коллекция ЗапСибНИГНИ.

Фиг. 6. *Amoeboceras* (*Amoeboceras*) ex gr. *alternans* (Buch). Верхний оксфорд, слои с *Amoeboceras* spp. Фрагмент ядра. Малойчская скв. 9, инт. 2517,1—2529,6 м (низ), васюганская свита. Коллекция СНИИГГиМС.

Фиг. 7. *Amoeboceras* cf. *kostromense* (Nikitin).

Верхний оксфорд, слои с *Amoeboceras* spp. Нецелое ядро. Омская скв. 1, глубина отбора 2387,0 м, георгиевская свита. Коллекция СНИИГГиМС.

Фиг. 8. *Amoeboceras* sp. ex gr. *A. glosense* (Bigot and Brasil).

Верхний оксфорд, слои с *Amoeboceras* spp. Ядро,  $\times 1,35$ . Харампурская скв. 324, инт. 2879—2889 м (1,8), васюганская свита. Коллекция ЗапСибНИГНИ.

Фиг. 9. *Amoeboceras* sp. ex gr. *A. regulare* Spath.

Верхний оксфорд, зона *Amoeboceras ravni*. Ядро,  $\times 1,4$ . Харампурская скв. 315, инт. 2924—2939 м (12,2), васюганская свита. Коллекция ЗапСибНИГНИ.

Фиг. 10, 12—13, 17. *Amoeboceras* sp. sp. indet.

Верхний оксфорд. 10 — ядро,  $\times 1,5$ . Сарыньинская скв. 150, инт. 1393,6—1398,5 м (верх), абалакская свита; 12 — фрагмент ядра. Половинкинская скв. 100, инт. 1892,95—1896,45 м, абалакская свита; 13 — фрагмент ядра,  $\times 1,2$ . Усть-Часельская скв. 205, инт. 2720—2736 м (1,1—1,3), сиговская свита; 17 — фрагмент ядра,  $\times 1,1$ . Верхнечасельская скв. 153, инт. 2962—2974 м (4,8), сиговская свита. Коллекция ЗапСибНИГНИ.



Фиг. 11. *Amoeboceras* sp. cf. *A. serratum* (Sowerby).

Верхний оксфорд, слой с *Amoeboceras* spp. Ядро,  $\times 1,35$ . Харампурская скв. 308, инт. 2909—2916 м (5,0), васюганская свита. Коллекция ЗапСибНИГНИ.

Фиг. 10. *Amoeboceras* cf. *leucum* Spath emend. Mesezhnikov.

Верхний оксфорд, зона *Amoeboceras ravni*. Нецелое ядро. Обской профиль, скв. 12, инт. 327—329 м, даниловская свита. Коллекция ЗапСибНИГНИ.

Фиг. 15. *Amoeboceras freboldi* Spath.

Верхний оксфорд, зона *Amoeboceras ravni*. Ядро. Войкарский профиль, скв. 2, инт. 399,0—404,5 м (4,5), даниловская свита. Коллекция ЗапСибНИГНИ.

Фиг. 16. *Amoeboceras regulare* Spath.

Верхний оксфорд, зона *Amoeboceras ravni*. Ядро,  $\times 1,1$ . Усть-Часельская скв. 198, инт. 2717—2731 м (8,2), сиговская свита. Коллекция ЗапСибНИГНИ.

Фиг. 18. *Amoeboceras rosenkrantzi* Spath.

Верхний оксфорд, зона *Amoeboceras ravni*. Ядра,  $\times 1,5$ . Западно-Фроловская скв. 35, инт. 2787—2800 м (7,4), абалакская свита. Коллекция ЗапСибНИГНИ.

Фиг. 19—26. *Amoeboceras* sp. sp. juv.

Верхний оксфорд—нижний кимеридж. 19 — фрагмент ядра. Кынская скв. 211, инт. 2860—2874 м (4,8), сиговская свита, нижняя часть верхней подсвиты. Коллекция ЗапСибНИГНИ; 20 — фрагмент ядра,  $\times 2$ . Туруханская скв. 1, инт. 2326,0—2329,5 м, сиговская свита. Коллекция СНИИГГиМС; 21 — скопление мелких ядер. Кынская скв. 216, инт. 2857—2868 м (1,6), сиговская свита, верхняя подсвита; 22 — ядро. Кынская скв. 211, инт. 2860—2874 м (1,5), сиговская свита, нижняя часть верхней подсвиты; 23 — ядро. Кынская скв. 216, инт. 2857—2868 м (4,8), сиговская свита, верхняя подсвита; 24 — ядро. Усть-Часельская скв. 208, инт. 2695—2710 м (1,2), основание яновстанской свиты; 25 — ядро. Кынская скв. 216, инт. 2867—2868 м (4,26), сиговская свита, верхняя подсвита; 26 — ядро. Харампурская скв. 310, инт. 2905—2920 м (4,0), георгиевская свита. Коллекция ЗапСибНИГНИ.

#### ТАБЛИЦА 49

Фиг. 1—3. *Amoeboceras* sp. sp.

Верхний оксфорд—кимеридж. 1, 2 — фрагменты ядер; 3 — ядро,  $\times 2,3$ . Омская скв. 1, глубина отбора 2377,2 м, георгиевская свита. Коллекция СНИИГГиМС.

Фиг. 4. *Amoeboceras (Amoebites) kitchini* (Salfeld) emend. Spath.

Нижний кимеридж. Ядро. Харампурская скв. 303, инт. 3000—3009 м (2,0), георгиевская свита. Коллекция ЗапСибНИГНИ.

Фиг. 5—10. *Amoeboceras (Amoebites) ex gr. kitchini* (Salfeld) emend. Spath.

Нижний кимеридж. 5 — отпечаток фрагмента раковины; 6 — фрагмент ядра той же раковины. Восточно-Таркосалинская скв. 72, инт. 3406—3421 м (7,6), георгиевская свита; 7 — фрагмент ядра. Усть-Часельская скв. 210, инт. 2660—2669 м (3,5), верхи сиговской свиты; 8а — отпечаток латеральной стороны, 8б — вид вентральной стороны ядра. Усть-Часельская скв. 210, инт. 2660—2669 м (3,8), верхи сиговской свиты; 9 — ядро. Усть-Часельская скв. 208, инт. 2695—2710 м, основание яновстанской свиты; 10 — фрагмент ядра. Усть-Часельская скв. 202, инт. 2623—2633 м (5,8), верхи сиговской свиты. Коллекция ЗапСибНИГНИ.

Фиг. 11. *Amoeboceras (Amoebites) cf. subkitchini* Spath. Нижний кимеридж. Нецелое ядро. Усть-Часельская скв. 208, инт. 2695—2710 м (2,8), основание яновстанской свиты. Коллекция ЗапСибНИГНИ.

#### ТАБЛИЦА 50

Фиг. 1—3. *Amoeboceras (Amoebites) cf. alticarinatum* Meszhnikov et Romm.

Нижний кимеридж. 1 — фрагмент ядра; 2 — отпечаток той же раковины. Усть-Часельская скв. 202, инт. 2623—2633 м (7,8), верхи сиговской свиты; 3 — нецелое ядро. Усть-Часельская скв. 199, инт. 2649—2664 м (2,1), верхи сиговской свиты. Коллекция ЗапСибНИГНИ.

Фиг. 4. *Amoeboceras (Amoebites) cf. modestum* Meszhnikov et Romm.

Нижний кимеридж. Нецелое ядро. Суходудинская скв. 1, инт. 1130,7—1143,1 м, сиговская свита. Коллекция СНИИГГиМС.

Фиг. 5, 6. *Amoeboceras (Amoebites) sp. cf. A. salfeldi* Spath. Нижний кимеридж. 5 — фрагмент отпечатка. Усть-Часельская скв. 199, инт. 2649—2664 м (4,5), верхи сиговской свиты; 6 — нецелое ядро. Верхнечасельская скв. 151, инт. 2957—2971 м (2,9), сиговская свита, основание верхней подсвиты. Коллекция ЗапСибНИГНИ.

Фиг. 7, 10. *Amoeboceras (Amoebites) sp. cf. A. meszhnikovii* Sykes et Surlyk juv.

Нижний кимеридж. 7 — ядро. Верхнечасельская скв. 153, инт. 2962—2974 м (0,9); 10а — вид латеральной стороны, 10б — вид вентральной стороны. Там же, инт. 2962—2974 м (2,6), сиговская свита, основание верхней подсвиты. Коллекция ЗапСибНИГНИ.

Фиг. 8, 9. *Amoeboceras (Amoebites) cf. uralense* Meszhnikov.

Нижний кимеридж. 8 — ядро; 9 — отпечаток той же раковины. Ятринский профиль, скв. 96, глубина отбора 100,5 м, лопсинская свита. Коллекция ЗапСибНИГНИ.

Фиг. 11. *Amoeboceras (Amoebites) sp. indet. ex gr. A. rassenense* Sprath.

Нижний кимеридж. Отпечаток. Усть-Часельская скв. 199, инт. 2649—2664 м (2,7), верхи сиговской свиты. Коллекция ЗапСибНИГНИ.

Фиг. 12, 15. *Amoeboceras (Amoebites) pulchrum* Mesezhnikov et Romm.

Нижний кимеридж и основание верхнего кимериджа. 12 — ядро. Новопортовская скв. 104, инт. 2165,0—2175,7 м (4,9), даниловская свита; 15 — ядро. Харасавейская скв. 48, инт. 3120—3135 м (4,1), аналог георгиевской свиты в зоне перехода абалакской свиты к даниловской. Коллекция ЗапСибНИГНИ.

Фиг. 13—14. *Amoeboceras (Amoebites) cf. pulchrum* Mesezhnikov et Romm.

Нижний кимеридж и основание верхнего кимериджа. 13 — нецелое ядро. Новопортовская скв. 104, инт. 2165—2175,7 м (4,9), даниловская свита; 14 — неполный отпечаток. Харасавейская скв. 48, инт. 3120—3135 м (2,6), аналог георгиевской свиты в зоне перехода абалакской свиты к даниловской. Коллекция ЗапСибНИГНИ.

#### ТАБЛИЦА 51

Фиг. 1—6. *Amoeboceras (Amoebites) sp. sp. indet.*

Нижний кимеридж и основание верхнего кимериджа. 1 — нецелое ядро. Заполярная скв. 87, инт. 3648—3662 м (0,35), аналог георгиевской свиты; 2 — нецелое ядро. Харасавейская скв. 48, инт. 3120—3135 м (6,4); 3 — нецелое ядро. Там же, инт. 3120—3135 м (6,1); аналог георгиевской свиты в зоне перехода абалакской свиты к даниловской; 4 — нецелое ядро. Харампурская скв. 303, инт. 3000—3009 м (2,5), георгиевская свита; 5 — фрагмент ядра. Усть-Часельская скв. 208, инт. 2695—2710 м (2,8), основание яновстанской свиты; 6 — отпечаток. Усть-Часельская скв. 202, инт. 2623—2633 м (5,8), верхи сиговской свиты. Коллекция ЗапСибНИГНИ.

#### ТАБЛИЦА 52

Фиг. 1—2, 4—12. *Amoeboceras sp. sp. indet.*

Нижний кимеридж и основание верхнего кимериджа. 1 — отпечаток. Кынская скв. 210, инт. 2862—2869 м, сиговская свита, верхняя подсвита; 2 — фрагмент ядра. Усть-Часельская скв. 204, инт. 2732—2738 м (3,0), основание яновстанской свиты. Коллекция ЗапСибНИГНИ; 4 — ядро; 4а — вид латеральной стороны, 4б — вид противоположной стороны, 4в — вид со стороны вентра. Восточно-Кубалахская скв. 357, инт. 2296—2313 м (низ), яновстанская свита. Коллекция СНИИГГиМС; 5 — фрагмент ядра. Озерная скв. 335, инт. 1750,7—1759,7 м (0,7), абалакская

свита; 6 — ядро. Владимирская скв. 3, инт. 1641,7—1645,2 м (середина), даниловская свита; 7 — отпечаток, Восточно-Тарко-салинская скв. 72, инт. 3406—3421 м (7,3), георгиевская свита; 8 — фрагмент ядра. Усть-Часельская скв. 205, инт. 2720—2735 м (1,1—1,3), сиговская свита, основание верхней подсвиты; 9 — фрагмент отпечатка. Харасавейская скв. 48, инт. 3120—3135 м (5,6); 10 — ядро. Там же, инт. 3120—3135 м (9,3); 11 — отпечаток. Там же, инт. 3120—3135 м (10,4); 12 — отпечаток. Там же, инт. 3120—3135 м (9,3). Аналог георгиевской свиты в зоне перехода абалакской свиты к даниловской. Коллекция ЗапСибНИГНИ.

Фиг. 3. *Amoeboceras (Amoebites) ex gr. kitchini* (Salfeld) emend. Spath.

Нижний кимеридж. Фрагмент ядра. Усть-Часельская скв. 210, инт. 2660—2669 м (5,3), верхи сиговской свиты. Коллекция ЗапСибНИГНИ.

Фиг. 13. *Amoeboceras (Nannocardioceras) sp.*

Верхний кимеридж. Нецелое ядро. Ташринская скв. 59, инт. 2795—2901 м (0,2), георгиевская свита, верхняя половина. Коллекция ЗапСибНИГНИ.

Фиг. 14. *Pictonia sp. juv.*

Нижний кимеридж, зона *Pictonia involuta*. Ядро. Татарская скв. 1, инт. 2454—2460 м, марьяновская свита. Коллекция СНИИГГиМС.

Фиг. 15. *Rasenia (Rasenia) evoluta* Spath emend. Birkenp.

Нижний кимеридж, зона *Rasenia evoluta*. Ядро. 15a — вид латеральной стороны, 15б — вид вентральной стороны, Западно-Красноселькупская скв. 49, инт. 2717—2732 м (8,3), сиговская свита, верхняя подсвита. Коллекция ЗапСибНИГНИ.

Фиг. 16. *Rasenia (Eurasenia) cf. triplicata* Mesezhnikov.

Нижний кимеридж, зона *Rasenia evoluta*. Фрагмент ядра. 16a — вид латеральной стороны, 16б — вид вентральной стороны. Западно-Красноселькупская скв. 49, инт. 2717—2732 м (8,3), сиговская свита, верхняя подсвита. Коллекция ЗапСибНИГНИ.

## ТАБЛИЦА 53

Фиг. 1. *Rasenia sp. cf. R. optima* Mesezhnikov.

Нижний кимеридж, зона *Rasenia evoluta*. 1a — вид латеральной стороны ядра, 1б — вид вентральной стороны ядра, 1в — отпечаток латеральной стороны. Усть-Часельская скв. 202, инт. 2623—2633 м (5,9), верхи сиговской свиты. Коллекция ЗапСибНИГНИ.

Фиг. 2. *Rasenia (Rasenia) cf. optima* Mesezhnikov.

Нижний кимеридж, зона *Rasenia evoluta*. 2a — нецелое ядро, 2б — отпечаток. Усть-Часельская скв. 199, инт. 2649—2664 м (9,8), верхи сиговской свиты. Коллекция ЗапСибНИГНИ.

Фиг. 3. *Rasenia* (*Rasenia*) cf. *repentina* M e s e z h n i k o v.  
Нижний кимеридж, зона *Rasenia evoluta*. Фрагмент ядра. Усть-Часельская скв. 210, инт. 2660—2669 м (4,7), верхи сиговской свиты. Коллекция ЗапСибНИГНИ.

Фиг. 4. *Rasenia* sp. juv.  
Нижний кимеридж. Нецелое ядро. Войкарский профиль, скв. 2, инт. 381,7—399,0 м, даниловская свита. Коллекция ЗапСибНИГНИ.

Фиг. 5. *Zonovia* (*Xenostephanus*) sp.  
Нижний кимеридж, верхи зоны *Rasenia evoluta* и верхний кимеридж, основание зоны *Aulacostephanus mutabilis*. 5а — фрагмент ядра, 5б — вид вентральной стороны, 5в — тот же экземпляр с частью наружного оборота. Обской профиль, скв. 12, инт. 280,2—284 м, даниловская свита. Коллекция ЗапСибНИГНИ.

Фиг. 6. *Rasenia* (*Rasenia*) sp.  
Нижний кимеридж, зона *Rasenia evoluta*. 6а — нецелое ядро, 6б — отпечаток. Усть-Часельская скв. 210, инт. 2660—2669 м (4,6), верхи сиговской свиты. Коллекция ЗапСибНИГНИ.

Фиг. 7. *Rasenia* (? *Zonovia*) sp.  
Кимеридж. Нецелое ядро. Харампурская скв. 310, инт. 2890—2905 м (5,7), георгиевская свита. Коллекция ЗапСибНИГНИ.

Фиг. 8. *Aulacostephanus* (? *Zonovia*) sp. indet.  
? Верхи нижнего кимериджа — верхний кимеридж. Фрагмент ядра. Владимирская скв. 2, инт. 1552,25—1555,75 м (низ), даниловская свита. Коллекция ЗапСибНИГНИ.

#### ТАБЛИЦА 54

Фиг. 1. ? *Rasenia* (? *Zonovia*) sp. indet.  
Кимеридж. Фрагмент ядра крупной раковины. Усть-Часельская скв. 204, инт. 2732—2738 м (4,8), основание яновстанской свиты. Коллекция ЗапСибНИГНИ.

Фиг. 2. *Aulacostephanus* sp.  
Верхний кимеридж. Ядро. Карабашская скв. 3, инт. 1844,05—1845,35 м (середина), даниловская свита. Коллекция ЗапСибНИГНИ.

Фиг. 3. *Aulacostephanus* sp. juv.  
Верхний кимеридж. Нецелое ядро. Профиль Большая Люлья, скв. 11, инт. 113—118 м, лопсинская свита. Коллекция ЗапСибНИГНИ.

Фиг. 4. *Zonovia* sp. juv.  
Нижний кимеридж, верхи зоны *Rasenia evoluta* — верхний кимеридж, основание зоны *Aulacostephanus mutabilis*. Фрагмент ядра. Владимирская скв. 3, инт. 1659—1662 м (верх), даниловская свита. Коллекция ЗапСибНИГНИ.

Фиг. 5, 9, 12. ? *Aulacostephanus* sp. indet.  
Верхний кимеридж. 5 — нецелое ядро. Карабашская скв. 3, инт. 1844,05—1845,35 м (середина), даниловская свита; 9 — фраг-

мент ядра. Уренгойская скв. 510, инт. 3640—3649 м (3,3), основание баженовской свиты; 12 — нецелое ядро. Профиль Большая Люля, скв. 11, инт. 122,9—126,5 м, лопсинская свита. Коллекция ЗапСибНИГНИ.

Фиг. 6, 10. *Aulacostephanus* sp. sp. indet.

Верхний кимеридж. 6 — фрагмент ядра: 6а — вид латеральной стороны, 6в — вид вентральной стороны, 6б — вентральная сторона предыдущего оборота. Трехозерная скв. 12, инт. 1538—1541 м (низ), абалакская свита; 10 — фрагмент ядра. Уренгойская скв. 510, инт. 3640—3649 м (2,3), основание баженовской свиты. Коллекция ЗапСибНИГНИ.

Фиг. 7, 8, 11. *Aulacostephaninae* gen. et sp. indet. (? *Rasenia*, ? *Zonovia*, ? *Aulacostephanus*).

Кимеридж. 7 — фрагмент ядра. Харасавэйская скв. 48, инт. 3120—3135 м (9,3); 8 — отпечаток. Там же, инт. 3120—3135 м (12,65); 11 — отпечаток. Там же, инт. 3120—3135 м (10,40); аналог георгиевской свиты в зоне перехода абалакской свиты к даниловской. Коллекция ЗапСибНИГНИ.

#### ТАБЛИЦА 55

Фиг. 1, 2. *Pectinatites* sp. indet.

Волжский ярус, нижний подъярус. 1 — фрагмент ядра. Береговая скв. 2, инт. 3135—3150 м (4,4), свита яновстанская. Коллекция СНИИГГиМС; 2 — отпечаток юного экземпляра. Ярайнерская скв. 3, инт. 2926—2935 м, баженовская свита. Коллекция ЗапСибНИГНИ.

Фиг. 3, 5. *Pavlovia* cf. *iatriensis* Il'ov. em Michlv.

Волжский ярус, средний подъярус, зона *Pavlovia iatriensis*. 3 — отпечаток нецелого ядра. Тагринская скв. 55, инт. 2728—2734 м (0,35); 5 — нецелое ядро. Там же, инт. 2728—2734 м (4,75), баженовская свита. Коллекция ВНИГРИ.

Фиг. 4. *Pavlovia* cf. *hypophantica* Il'ov. em Michlv.

Волжский ярус, средний подъярус, зона *Pavlovia iatriensis*. Фрагмент ядра. Салымская скв. 124, инт. 2875—2881 м (1,9), баженовская свита. Коллекция ЗапСибНИГНИ.

Фиг. 6, 8. *Pavlovia* cf. *ponomarevi* Il'ov. em Michlv.

Волжский ярус, средний подъярус, зона *Dorsoplanites maximus*. 6 — фрагмент ядра. Северо-Хохряковская скв. 96, инт. 2726—2731 м, баженовская свита. Коллекция ВНИГРИ; 8 — отпечаток ядра. Тагринская скв. 58, инт. 2744—2758, баженовская свита. Коллекция ВНИГРИ.

Фиг. 7. *Pavlovia* sp. indet.

Волжский ярус, средний подъярус. Нецелое ядро. Тагринская скв. 58, инт. 2744—2758 м (4,5), баженовская свита. Коллекция ЗапСибНИГНИ.

Фиг. 9. *Pavlovia* sp. ind. (cf. *P. ponomarevi* Il'ov. em. Michlv.

Волжский ярус, средний подъярус ? зона *Dorsoplanites maximus*. Фрагмент ядра. Северо-Хохряковская скв. 96, инт. 2726—2731 м (4,2). Свита баженовская. Коллекция ВНИГРИ.

Фиг. 10. *Pavlovia* sp.

Волжский ярус, средний подъярус. Фрагмент ядра. Салымская скв. 154, инт. 2910—2917 м, баженовская свита. Коллекция ЗапСибНИГНИ.

#### ТАБЛИЦА 56

Фиг. 1. *Dorsoplanites* cf. *subdorsoplanus* Mesezhn.

Волжский ярус, средний подъярус, зона *Dorsoplanites maximus*. Нецелое ядро. Северо-Хохряковская скв. 81, инт. 2687—2696 м (4,0), баженовская свита. Коллекция ЗапСибНИГНИ.

Фиг. 2, 4. *Dorsoplanites* sp. cf. *D. flavus* Spath.

Волжский ярус, средний подъярус, ? зона *Dorsoplanites maximus*. 2 — фрагмент ядра. Северо-Хохряковская скв. 96, инт. 2718—2736 м (6,2), баженовская свита. Коллекция ЗапСибНИГНИ; 4 — фрагмент ядра. Тагринская скв. 70, инт. 2737—2740 м (0,9). Баженовская свита. Коллекция ЗапСибНИГНИ.

Фиг. 3, 5, 6, 9. *Dorsoplanites* sp. aff. *D. dainae* Mesezhn.

Волжский ярус, средний подъярус, зона *Dorsoplanites maximus*. 3 — фрагмент ядра. Западно-Катальгинская скв. 107, инт. 2569,0—2571,0 м (0,8); 5 — отпечаток. Там же, инт. 2569,0—2571,5 м (2,5); 6 — нецелое ядро. Там же, инт. 2569,0—2571,5 м (0,6); 9 — ядро. Там же, инт. 2559,0—2571,5 м (0,9), баженовская свита. Коллекция ЗапСибНИГНИ.

Фиг. 7, 10, 12, 13. *Dorsoplanites* cf. *ilovaiskii* Mesezhn.

Волжский ярус, средний подъярус зона *Dorsoplanites ilovaiskii*. 7 — фрагмент ядра. Салымская скв. 169, инт. 2823,0—2829,5 м; 10 — фрагмент ядра. Там же, инт. 2823,0—2829,5 м; 12 — фрагмент ядра. Там же, инт. 2823,0—2829,5 м; 13 — нецелое ядро. Там же, инт. 2823,0—2829,5 м, баженовская свита. Коллекция ЗапСибНИГНИ.

Фиг. 8. *Dorsoplanites* sp. indet. cf. *D. dainae* Mesezhn.

Волжский ярус, средний подъярус. Фрагмент ядра. Ореховская скв. 353, инт. 2563,0—2573,0 м (2,9), баженовская свита. Коллекция ЗапСибНИГНИ.

Фиг. 11. *Dorsoplanites ilovaiskii* Mesezhn.

Волжский ярус, средний подъярус, зона *Dorsoplanites ilovaiskii*. Нецелое ядро. Салымская скв. 169, инт. 2823,0—2828,5 м баженовская свита. Коллекция ЗапСибНИГНИ.

#### ТАБЛИЦА 57

Фиг. 1, 4. *Dorsoplanites* ex gr. *maximus* Spath.

Волжский ярус, средний подъярус, зона *Dorsoplanites maximus*. 1 — нецелое ядро. Янчинская скв. 71, инт. 2895—2903 м (0,8).

баженовская свита. Коллекция ЗапСибНИГНИ; 5 — фрагмент крупного экземпляра. Коликъеганская скв. 6, инт. 2369,7—2374,0 м, баженовская свита. Коллекция ЗапСибНИГНИ.

Фиг. 2, 3, 5, 6. *Dorsoplanites* sp. sp. indet.

Волжский ярус, средний подъярус. 2 — нецелый отпечаток. Салымская скв. 169, инт. 2823,0—2829,5 м, баженовская свита. Коллекция ЗапСибНИГНИ; 3 — фрагмент ядра. Тагринская скв. 55, инт. 2728—2834 м (0,1), баженовская свита. Коллекция ВНИГРИ; 5 — фрагмент ядра. Тагринская скв. 88, инт. 2750—2760 м (5,2), баженовская свита. Коллекция ЗапСибНИГНИ; 6 — фрагмент ядра. Крузенштерновская скв. 53, инт. 3470—3480 м (4,0), баженовская свита. Коллекция ЗапСибНИГНИ.

Фиг. 7. *Dorsoplanites* sp. indet. (? ex gr. *D. maximus* Spath.).

Волжский ярус, средний подъярус, ? зона *Dorsoplanites maximus*. Фрагмент ядра. Тундринская скв. 100, инт. 3155,0—3164,0 м (4,9), баженовская свита. Коллекция ЗапСибНИГНИ.

#### ТАБЛИЦА 58

Фиг. 1. *Dorsoplanites* sp. cf. *D. antiquus* Spath.

Волжский ярус, средний подъярус, зона *Pavlovia iatriensis*. Фрагмент ядра. Тагринская скв. 55, инт. 2728—2743 м (4,5), баженовская свита. Коллекция ЗапСибНИГНИ.

Фиг. 2, 3. *Dorsoplanites* cf. *tricostatus* Michlv.

Волжский ярус, средний подъярус, зона *Dorsoplanites maximus*. 2 — нецелый экземпляр. Каменная скв. 203, инт. 2435—2450 м (2,2), баженовская свита. Коллекция ЗапСибНИГНИ; 3 — нецелое ядро. Вэнгаяхинская скв. 38-Р, инт. 2846,0—2860,5 м (5,8), баженовская свита. Коллекция ЗапСибНИГНИ.

Фиг. 4. *Dorsoplanites tricostatus* Michlv.

Волжский ярус, средний подъярус, зона *Dorsoplanites maximus*. Нецелый экземпляр. Вэнгаяхинская скв. 38-Р, инт. 2846,6—2860,5 м, баженовская свита. Коллекция ЗапСибНИГНИ.

Фиг. 5—7. *Dorsoplanites* sp. cf. *D. tricostatus* Michlv.

Волжский ярус, средний подъярус, зона *Dorsoplanites maximus*. 5 — нецелый экземпляр. Вэнгаяхинская 38-Р, инт. 2846,0—2860,5 м (10,2); 6 — ядро. Там же, инт. 2846,0—2860,5 м (8,5); 7 — ядро. Там же, инт. 2846,0—2860,5 м (10,2), баженовская свита. Коллекция ЗапСибНИГНИ.

Фиг. 8. *Dorsoplanites* cf. *transitorius* Spath.

Волжский ярус, средний подъярус, зона *Dorsoplanites maximus*. Нецелое ядро. Кислорская скв. 91, инт. 2023—2030 м (0,2), тутлеймская свита. Коллекция ЗапСибНИГНИ.

Фиг. 9. *Dorsoplanites* sp. cf. *D. transitorius* Spath.

Волжский ярус, средний подъярус, ? зона *Dorsoplanites maximus*. Фрагмент ядра. Тундринская скв. 100, инт. 3155—3164 м (0,7), баженовская свита. Коллекция ЗапСибНИГНИ.



Фиг. 10. *Dorsoplanites* sp. cf. *D. sibiriacovi* Il'ov. em Michlv.

Волжский ярус, средний подъярус, зона *Dorsoplanites maximus*. Нецелый экземпляр. Тагринская скв. 58, инт. 2744—2758 м (1,0), баженовская свита. Коллекция ЗапСибНИГНИ.

Фиг. 11. *Dorsoplanites* cf. *crassus* Spath.

Волжский ярус, средний подъярус, фрагмент ядра. Северо-Варьганская скв. 52, инт. 2918—2925 м, баженовская свита. Коллекция ЗапСибНИГНИ.

#### ТАБЛИЦА 59

Фиг. 1. *Laugeites* cf. *stschurovskii* (Nik.).

Волжский ярус, средний подъярус, зона *Laugeites groenlandicus*. Ядро. Салымская скв. 170, инт. 2855,0—2857,5 м (0,3), баженовская свита. Коллекция ЗапСибНИГНИ.

Фиг. 2, 3. *Laugeites* sp. sp.

Волжский ярус, средний подъярус, верхняя часть. 2 — ядро. Етыпурская скв. 172, инт. 3014—3025 м (10,85), баженовская свита. Коллекция ЗапСибНИГНИ; 3 — ядро. Восточно-Моисеевская скв. 3, инт. 2764,7—2777,0 м (8,3), баженовская свита. Коллекция ЗапСибНИГНИ.

Фиг. 4. *Laugeites* sp.

Волжский ярус, средний подъярус, верхняя часть. Нецелое ядро. Салымская скв. 151, инт. 2897,9—2904,9 м (1,4), свита. Коллекция ЗапСибНИГНИ.

Фиг. 5. *Laugeites* sp. indet.

Волжский ярус, средний подъярус. Фрагмент ядра. Ледовая скв. 6, инт. 2657,0—2661,2 м (0,6), баженовская свита. Коллекция ЗапСибНИГНИ.

Фиг. 6. *Epilaugeites vogulicus* (Il'ov.).

Волжский ярус, средний подъярус, зона *Epilaugeites vogulicus*. Фрагмент ядра. Ракитинская скв. 4, глубина отбора 2445 м, баженовская свита. Коллекция СНИИГГиМС.

Фиг. 7. *Epilaugeites* cf. *iatriensis* Meszhn.

Волжский ярус, средний подъярус, зона *Epilaugeites vogulicus*. Нецелое ядро. Етыпурская скв. 82, инт. 2880,1—2886,7 м (0,2), баженовская свита. Коллекция ЗапСибНИГНИ.

Фиг. 8. ? *Laugeites* (? *Virgatosphinotes*) sp.

Волжский ярус, средний подъярус. Отпечаток. Поньжевая скв. 301, инт. 2875,2—2883,2 м, баженовская свита. Коллекция СНИИГГиМС.

#### ТАБЛИЦА 60

Фиг. 1—9. *Laugeites* sp. sp.

Волжский ярус, средний подъярус, верхняя часть. 1 — фрагмент ядра. Ракитинская скв. 4, инт. 2445,5—2452,6 м, баженов-

ская свита. Коллекция СНИИГГиМС; 2 — фрагмент ядра. Салымская скв. 151, инт. 2897,9—2904,9 м (0,8); 3 — фрагмент ядра. Там же, инт. 2897,9—2904,9 м (0,8), баженовская свита. Коллекция ЗапСибНИГНИ; 4 — фрагмент ядра. Ракитинская скв. 4, инт. 2445,5—2452,6 м, баженовская свита. Коллекция СНИИГГиМС; 5 — фрагмент ядра. Первомайская скв. 263, инт. 2511,3—2516,1 м, баженовская свита. Коллекция ЗапСибНИГНИ; 6 — фрагмент ядра. Ракитинская скв. 4, инт. 2445,5—2452,6 м, свита баженовская. Коллекция СНИИГГиМС; 7 — нецелое ядро. Восточно-Моисеевская скв. 3, инт. 2764,7—2777,0 м (8,0), баженовская свита. Коллекция ЗапСибНИГНИ; 8 — фрагменты двух отпечатков. Ракитинская скв. 4, инт. 2445,5—2452,6 м, свита баженовская. Коллекция СНИИГГиМС; 9 — ядро. Восточно-Моисеевская скв. 3, инт. 2764,7—2777,0 м (7,8), баженовская свита. Коллекция ЗапСибНИГНИ.

#### ТАБЛИЦА 61

Фиг. 1. *Virgatosphinctes* sp. indet. cf. *V. tenuicostatus* Schulg.

Волжский ярус, средний подъярус. Два отпечатка. Салымская скв. 32, инт. 2764,0—2770,3 м (2,2), баженовская свита. Коллекция ЗапСибНИГНИ.

Фиг. 2—7. *Virgatosphinctes* sp. indet.

Волжский ярус, средний—верхний подъярусы. 2 — ядро. Поньжевая скв. 301, инт. 2875,2—2880,3 м (0,1); 3 — ядро. Там же, инт. 2875,2—2880,3 м (0,1), баженовская свита. Коллекция СНИИГГиМС; 4 — фрагмент ядра. Каренская скв. 400, инт. 2972,7—2974,2 м (0,95), баженовская свита. Коллекция ЗапСибНИГНИ; 5 — фрагмент ядра. Там же, инт. 2972,7—2974,2 м (0,8), баженовская свита. Коллекция СНИИГГиМС; 6 — фрагмент ядра. Верхнешапшинская скв. 1, инт. 2806,7—2807,7 м (0,38), свита баженовская. Коллекция СНИИГГиМС; 7 — фрагмент ядра. Каренская скв. 400, инт. 2972,7—2974,2 (0,8), баженовская свита. Коллекция СНИИГГиМС.

Фиг. 8—10. ? *Virgatosphinctes* sp. indet.

Волжский ярус. 8 — фрагмент ядра. Салымская скв. 170, инт. 2855,0—2857,4 м (0,4); 9 — отпечаток. Там же, инт. 2855,0—2857,4 м (0,4), баженовская свита. Коллекция ЗапСибНИГНИ; 10 — нецелое ядро. Игольская скв. 12, инт. 2747,3—2750,9 м (0,2), баженовская свита. Коллекция СНИИГГиМС.

Фиг. 11. *Chetaites* sp. indet.

Волжский ярус, — берриас. Фрагмент ядра. Сузунская скв. 15, инт. 2815,0—2830,5 (2,5), яновстанская свита. Коллекция СНИИГГиМС.

## ТАБЛИЦА 62

Фиг. 1, 2. ? *Kachpurites* sp. indet.

? Волжский ярус, верхний подъярус. Фрагменты ядер. Салымская площадь: 1 — скв. 130, инт. 2920—2928 м, баженовская свита. Коллекция СНИИГГиМС.

Фиг. 3—6. *Craspedites (Taimyroceras) taimyrensis* (Bodul.).

Волжский ярус, верхний подъярус, зона *Craspedites taimyrensis*, 3, 4, 6 — ядра почти целые и фрагменты; 5 — отпечаток. 3—5 — Восточно-Моисеевская скв. 3; 3 — инт. 2753,5—2764,7 м (5,5), баженовская свита; 4, 5 — инт. 2764,7—2777,0 м (4,8—5,0), баженовская свита. Коллекция ЗапСибНИГНИ; 6 — Покамасовская скв. 8, инт. 2724—2734 м (5,8), баженовская свита. Коллекция ВНИГРИ.

Фиг. 7. *Craspedites (Taimyroceras) ex gr. taimyrensis* (Bodul.).

Волжский ярус, верхний подъярус, зона *Craspedites taimyrensis*. Почти целое ядро. Восточно-Моисеевская скв. 3, инт. 2764,7—2777,0 м (2,5), баженовская свита. Коллекция ЗапСибНИГНИ.

Фиг. 8—10. *Craspedites (Taimyroceras) sp.*

Волжский ярус, верхний подъярус, зона *Craspedites taimyrensis*. 8, 10 — нецелые ядра. 9 — целое ядро. 8, 9 — Мурасовская скв. 22, инт. 2476,5—2485,0 м, свита баженовская. Коллекция СНИИГГиМС. 10 — Восточно-Моисеевская скв. 3, инт. 2764,7—2777,0 м (5,6), баженовская свита. Коллекция ЗапСибНИГНИ.

## ТАБЛИЦА 63

Фиг. 1. *Craspedites (Taimyroceras) sp. indet.*

Волжский ярус, верхний подъярус, зона *Craspedites taimyrensis*. Фрагмент ядра. Покамасовская скв. 8, инт. 2724—2734 м, баженовская свита. Коллекция СНИИГГиМС.

Фиг. 2. *Craspedites ex gr. mosquensis* Schulgina (non Geras.).

Волжский ярус, верхний подъярус. Ядро. Малобалыкская скв. 21, инт. 2887,4—2890,0 м (0,5), баженовская свита. Коллекция ВНИГРИ.

Фиг. 3. *Craspedites ex gr. okensis* (d'Orbigny).

Волжский ярус, верхний подъярус, зона *Craspedites okensis*. Фрагмент ядра и отпечаток. Северо-Еркальская скв. 161, инт. 3222—3237 м (0,4), баженовская свита. Коллекция ЗапСибНИГНИ.

Фиг. 4, 5. *Craspedites sp.*

Волжский ярус, верхний подъярус. 4 — нецелое ядро. Покамасовская скв. 16, инт. 2702—2709 м (6,2), баженовская свита.

5 — фрагмент ядра. Пальяновская скв. 47, инт. 2400—2411 м (1,7), баженовская свита. Коллекция ЗапСибНИГНИ.

Фиг. 6—8. *Craspedites* sp. indet.

Волжский ярус, верхний подъярус. 6 — фрагмент ядра. Ларьякская скв. 1, инт. 2656,7 м, свита баженовская. Коллекция СНИИГГиМС; 7 — скопление ядер. Азановская скв. 1, инт. 2290—2298 м, свита баженовская. Коллекция СНИИГГиМС; 8 — нецелый отпечаток. Егурахская скв. 1, инт. 2733—2741 м (0,3), свита баженовская. Коллекция ЗапСибНИГНИ.

#### ТАБЛИЦА 64

Фиг. 1—2. ? *Craspedites* (*Volgidiscus*) sp. indet.

? Волжский ярус, верхний подъярус. Фрагменты ядер. Соломбальская скв. 1, инт. 2731,3—2736,6 м (3,0), баженовская свита. Коллекция ЗапСибНИГНИ.

Фиг. 3—7. *Craspedites* sp. indet.

Волжский ярус, верхний подъярус. 3—5 — фрагменты ядер: 3 — Северо-Покачевская скв. 98, инт. 2776—2783 м (3,7); 4 — Харампурская скв. 303, инт. 2950—2954 м (1,65); 5 — Нижнесортмыская скв. 231, инт. 2943,7—2956,4 м, баженовская свита. Коллекция ЗапСибНИГНИ; 6 — фрагмент отпечатка. Северо-Еркальская скв. 161, инт. 3222—3237 м (7,2), баженовская свита. Коллекция ВНИГРИ; 7 — перемятое ядро и фрагментарный отпечаток большого оборота. Северо-Останинская скв. 13, инт. 2450,8—2452,8 м, баженовская свита. Коллекция СНИИГГиМС.

Фиг. 8—10. *Craspeditidae* gen. et sp. indet.

8, 9 — волжский ярус—берриас. Скопление раздавленных раковин юных особей аммонитов. Чуэльская скв. 81: 8 — инт. 1666,8—1670,8 м (2,5); 9 — инт. 1660—1664 м. Коллекция ЗапСибНИГНИ; 10 — берриас—валанжин. Ядро. Татарская скв. 1, инт. 2349—2355 м, куломзинская свита, нижняя часть. Коллекция СНИИГГиМС.

#### ТАБЛИЦА 65

Фиг. 1—6. *Hectoroceras kochi* Spath.

Берриас, зона *Hectoroceras kochi*. Ядра фрагментов и почти целых экземпляров. 1—3, 5 — Селимхановская скв. 3; 1—3 — инт. 2290,4—2293,7 м, 5 — инт. 2259,7—2273,1 м (Л,3); 4 — Венгяхинская скв. 37, инт. 2795—2810 м (9,0); 6 — Крючковская скв. 3, инт. 2850—2857 м, баженовская свита. Коллекция ЗапСибНИГНИ.

Фиг. 7. *Hectoroceras* cf. *kochi* Spath.

Берриас, зона *Hectoroceras kochi*. Ядро юной особи. Татарская скв. 1, инт. 2391,35—2397,35 м, марьяновская свита (верхняя часть). Коллекция СНИИГГиМС.

ТАБЛИЦА 66

Фиг. 1. *Hectoroceras kochi* Spath.  
Берриас, зона *Hectoroceras kochi*. Нецелое ядро. Вэнгаяхинская скв. 355, инт. 2771—2786 м (3,8), баженовская свита. Коллекция ЗапСибНИГНИ.

Фиг. 2, 3. *Hectoroceras cf. kochi* Spath.  
Берриас, зона *Hectoroceras kochi*. 2 — отпечатки двух фрагментов раковины. Вэнгаяхинская скв. 57, инт. 2795—2810 м (9,0); 3 — фрагмент ядра крупного экземпляра. Вэнгаяхинская скв. 355, инт. 2771—2786 м (2,5), баженовская свита. Коллекция ЗапСибНИГНИ.

Фиг. 4. *Hectoroceras cf. larwoodi* Casey.  
Берриас, зона *Hectoroceras kochi*. Нецелое ядро. Нижнешапшинская скв. 134, инт. 2885,6—2892,3 м (3,7), баженовская свита. Коллекция ЗапСибНИГНИ.

Фиг. 5. *Hectoroceras* (? *Schulginites*) sp. indet.  
Берриас, зона *Hectoroceras kochi*. Обломок ядра. Восточно-Моисеевская скв. 3, инт. 2764,7—2777,0 м (3,0), баженовская свита. Коллекция ЗапСибНИГНИ.

Фиг. 6, 7. *Hectoroceras* sp. indet.  
Берриас, зона *Hectoroceras kochi*. Фрагмент ядер. 6 — Головная скв. 352, инт. 2510,0—1514,3 м. Коллекция СНИИГГиМС; 7 — Нарыкарская скв. 120, инт. 1881,45—1838,10 м (1,0 от конца керна), тутлеймская свита. Коллекция ЗапСибНИГНИ.

Фиг. 8. *Ammonites* (? *Hectoroceras*) sp. indet.  
? Берриас. Обломок ядра. Северо-Мыльджинская скв. 1, инт. 2602—2607 м (0,5), баженовская свита. Коллекция ЗапСибНИГНИ.

ТАБЛИЦА 67

Фиг. 1—3. *Hectoroceras cf. kochi* Spath.  
Берриас, зона *Hectoroceras kochi*. Фрагменты ядер крупных экземпляров. 1 — Вэнгаяхинская скв. 352, инт. 2745—2760 м (5,0); 2 — Вэнгаяхинская скв. 37, гл. 2800 м; 3 — Вэнгаяхинская скв. 355, инт. 2771—2786 м (3,0), баженовская свита. Коллекция ЗапСибНИГНИ.

Фиг. 4—6. *Hectoroceras* sp. indet.  
Берриас, зона *Hectoroceras kochi*. Фрагменты ядер. 4 — Ларьякская скв. 1, гл. 2641,8 м, куломзинская свита (основание). Коллекция СНИИГГиМС; 5 — Вэнгаяхинская скв. 37, инт. 2795—2810 м (14,0), баженовская свита; 6 — Селимхановская скв. 2, инт. 2259,7—2273,1 м (0,3); 5, 6 — Коллекция ЗапСибНИГНИ.

Фиг. 7. *Hectoroceras* sp. indet. juv.  
Берриас, зона *Hectoroceras kochi*. Нецелая раковина юной особи. Чуэльская скв. 6, инт. 1605—1609 м, свита ? тутлеймская (середина). Коллекция СНИИГГиМС.

## ТАБЛИЦА 68

Фиг. 1, 2. *Praetollia* sp. indet. cf. *P. maynsi* S p a t h.

Берриас, зона *Chetaites sibiricus*. 1 — отпечаток; 2 — нецелое ядро. Северо-Еркальская скв. 161, инт. 3212—3222 м, баженовская свита. Коллекция ЗапСибНИГНИ.

Фиг. 3, 4. *Hectoroceras* (? *Schulginites*) sp. indet.

Верхний подъярус волжского яруса — берриас; 3 — нецелый отпечаток. Восточно-Моисеевская скв. 3, инт. 2764,7—2777,0 м (2,7), баженовская свита. Коллекция ЗапСибНИГНИ; 4 — фрагмент ядра. Сузунская скв. 15, инт. 2804—2815 м (2,3). Коллекция СНИИГГиМС.

Фиг. 5—7. *Hectoroceras* sp. sp. indet.

? Берриас, зона *Hectoroceras kochi*. Фрагменты ядер разной величины и сохранности. 5 — Салымская скв. 49, инт. 2811,2—2821,1 м (4,9); 6 — Вэнгайхинская скв. 37, инт. 2795—2810 м (5,0); 7 — Салымская скв. 154, инт. 2893—2898 м (1,8), баженовская свита. Коллекция ЗапСибНИГНИ.

Фиг. 8. *Hectoroceras* sp. indet.

Берриас, зона *Hectoroceras kochi*. Нецелое ядро. Нарыкарская скв. 120, инт. 1831,4—1838,1 м (1,0 от низа), баженовская свита. Коллекция ЗапСибНИГНИ.

Фиг. 9. *Ammonites* (? *Praetollia*) sp. indet. juv.

? Берриас. Ядро юной особи. Большереченская скв. 1-Р, инт. 2522,9—2531,0 м, баженовская свита. Коллекция СНИИГГиМС.

Фиг. 10. *Ammonites* (? *Hectoroceras*, ? *Schulginites*) sp. indet.

? Берриас. Обломок ядра. Салымская скв. 121, инт. 2985—2992 м (4,0), баженовская свита. Коллекция ЗапСибНИГНИ.

## ТАБЛИЦА 69

Фиг. 1—4, 9. *Praetollia* sp. sp.

Берриас, зона *Chetaites sibiricus*. Ядра и отпечатки. 1—3 — Поселковая скв. 2, инт. 2738,7—2645,2 м, баженовская свита (верхи); 4 — Колтогортская скв. 2, инт. 2710—2716 м, баженовская свита (верхи); 9 — Ларьякская скв. 1, инт. 2646—2650 м, свита баженовская (кровля). Коллекция СНИИГГиМС.

Фиг. 5—8. *Praetollia* sp. sp. indet.

Берриас, зона *Chetaites sibiricus*. Ядра и отпечатки. 5 — Баклянская скв. 4, глуб. 2567,5 м, баженовская свита (верхи); 6 — Туруханская скв. 1, инт. 1990—1996 м; 7 — Сузунская скв. 13, инт. 2785,2—2799,0 м, свита нижнехетская (низы); 8 — Останинская скв. 451, гл. 2429,7 м, свита баженовская (верхи). Коллекция СНИИГГиМС.

Фиг. 10. *Craspedites* (? *Praetollia*) sp. indet. juv.

Волжский ярус, верхний подъярус — берриас. Раздавленное ядро юной особи. Мортымьинская скв. 27, инт. 1542,9—1546,4 м. Коллекция ЗапСибНИГНИ.

## ТАБЛИЦА 70

Фиг. 1. *Borealites* cf. *fedorovi* Klim.

Берриас, зона *Nectogoceras kochi*. Фрагмент ядра. Назинская скв. 3, инт. 2092,07 м, куломзинская свита, низы. Коллекция СНИИГГиМС.

Фиг. 2. *Borealites* sp. indet. cf. *B. antiqua* Jeletz.

Берриас, зона *Surites analogus*. Фрагмент ядра. Салымская скв. 157, инт. 2867,3—2874,0 м (0,8), свита баженовская (верхи). Коллекция СНИИГГиМС.

Фиг. 3, 4. *Surites* sp. indet.

Берриас, зона *Surites analogus*. 3 — фрагмент раковины, Ереминская скв. 6-ПР, инт. 1013,0—1021,3 м (0,3 от низа); 4 — целое ядро. Русская скв. 150, инт. 2955—2966 м (6,7). Коллекция ЗапСибНИГНИ.

Фиг. 5. ? *Surites* sp. indet.

? Берриас, зона *Surites analogus*. Обломок ядра. Татарская скв. 3, инт. 2407—2410 м, свита куломзинская, низы. Коллекция СНИИГГиМС.

Фиг. 6, 7. ? *Surites* (? *Bojarkia*) sp. indet.

Берриас. Фрагменты ядер. Северо-Васюганская скв. 6, инт. 2219,5—2215,15 м, свита куломзинская, низы. Коллекция СНИИГГиМС.

Фиг. 8. ? *Surites* (? *Borealites*) sp. indet.

Берриас. Фрагменты ядер. Чкаловская скв. 3, инт. 2583—2587,1 м (2,5). Коллекция ЗапСибНИГНИ.

Фиг. 9, 10. *Peregrinoceras* sp. indet. cf. *P. anglicus* Schulg.

Берриас, зона *Nectogoceras kochi*. Обломки ядер. 9 — Лукашкинъярская скв. 1, инт. 2144,85 м, пограничные слои куломзинской и баженовской свит; 10 — Назинская скв. 3, инт. 2093,7 м, куломзинская свита, низы. Коллекция СНИИГГиМС.

Фиг. 11. ? *Ronkinites* sp. indet.

Берриас, ? зона *Nectogoceras kochi*. Фрагмент ядра. Межовская скв. 1, инт. 2260—2267 м, куломзинская свита, верхняя подсвета. Коллекция СНИИГГиМС.

Фиг. 12. *Ammonites* (?? *Ronkinites*) sp. indet.

Берриас. Фрагмент ядра. Межовская скв. 1, инт. 2260—2267 м, свита куломзинская, верхняя половина. Коллекция СНИИГГиМС.

Фиг. 13. *Ammonites* (? *Borealites*, ? *Peregrinoceras*) sp. indet.

Фрагмент ядра. Лукашкинъярская скв. 1, инт. 2163,95—2170,30 м (3,9), баженовская свита, верхняя половина. Коллекция СНИИГГиМС.

## ТАБЛИЦА 71

Фиг. 1, 2. *Borealites* sp. indet.

Берриас, зона *Nectogoceras kochi*. Нецелые ядра. 1 — Венгяхинская скв. 37, инт. 2795—2810 м (5,5); 2 — Нижнешапшин-

ская скв. 134, инт. 2885,6—2892,3 м (3,3), баженовская свита. Коллекция ЗапСибНИГНИ.

Фиг. 3. *Praetollia* sp. indet.

Берриас, зона *Chetaites sibiricus*. Фрагмент ядра. Соломбальская скв. 1, инт. 2731,3—2736,6 м (3,0). Коллекция ЗапСибНИГНИ.

Фиг. 4. ? *Praetollia* sp. indet.

? Берриас, зона *Chetaites sibiricus*. Ядро. Нижнешапшинская скв. 134, инт. 2885,6—2892,3 м (2,8), баженовская свита. Коллекция ЗапСибНИГНИ.

Фиг. 5, 6. ? *Borealites* (? *Praetollia*) sp. indet.

Берриас. 5 — фрагмент ядра. Лабазная (Пермяковская) скв. 42-Р, инт. 2427—2440 м; 6 — нецелый отпечаток. Северо-Чульпальская скв. 24, инт. 2486,7—2000 м (6,0), баженовская свита. Коллекция ЗапСибНИГНИ.

Фиг. 7. ? *Borealites* (? *Surites*, ? *Neotollia*) sp. indet.

? Берриас — нижний валанжин. Фрагмент ядра. Соломбальская скв. 1, инт. 2731—2736 м. Свита баженовская. Коллекция ЗапСибНИГНИ.

Фиг. 8. *Hectoroceras* sp. indet.

? Берриас, зона *Hectoroceras kochi*. Фрагмент ядра. Салымская скв. 151, инт. 2897,9—2904,9 м (4,5), свита баженовская. Коллекция ЗапСибНИГНИ.

## ТАБЛИЦА 72

Фиг. 1—3. *Neotollia* sp. indet.

Нижний валанжин, зона *Temnoptychites insolutus*. Фрагменты ядер. 1 — Южно-Полноватская скв. 165, инт. 1784,7—1789,4 м (верх); 2 — Чуэльская скв. 233, инт. 1627,35—1632,65 м (2,0); 3 — Чуэльская скв. 81 (3), инт. 1646—1650 м. Коллекция ЗапСибНИГНИ.

Фиг. 4. *Tollia* sp. juv. cf. *Tollia payeri* (Толла).

Пограничные горизонты берриас—валанжин. Нецелое ядро юного экземпляра. Малиновская скв. 2-Р, инт. 2031,7—2037,1 м, свита мегионская (основание). Коллекция СНИИГГиМС.

Фиг. 5—10. *Tollia* sp. indet. juv.

Пограничные горизонты берриас—валанжин. Фрагменты ядер и отпечатков юных особей. 5—7 — Средне-Васюганская скв. 6, инт. 2311,4—2326,35 м, свита куломзинская (основание); 8 — Большереченская скв. 3, инт. 2631,78—2637,70 м, свита куломзинская (нижняя часть); 9 — Верхнетарская скв. 5, инт. 2409—2414 м (1,5), свита куломзинская (нижняя часть). Коллекция СНИИГГиМС; 10 — Ракитинская скв. 6, инт. 1691—1695 м. Коллекция ЗапСибНИГНИ.

Фиг. 11, 12. *Tollia* sp. indet.

Пограничные горизонты берриас—валанжин. Фрагменты ядер. 11 — Северо-Васюганская скв. 3, инт. 2075,00—2080,95 м, сви-



та куломзинская (кровля). Коллекция СНИИГГиМС; 12 — Чу-эльская скв. 88, инт. 1613,5—1617,2 м (2,0). Коллекция ЗапСибНИГНИ.

Фиг. 13. *Bojarkia* cf. *mesezhnikowi* Schulg.

Берриас, зона *Tollia* *rayeri*. Ядро почти целой раковины. Профиль Щекурья-Саранпауль, скв. 1, гл. 444,1 м. Коллекция ЗапСибНИГНИ.

#### ТАБЛИЦА 73

Фиг. 1. *Neotollia* sp. cf. *N. anabarensis* (Pavl.).

Нижний валанжин, зона *Temnoptychites insolutus*. Фрагмент ядра. Завьяловская скв. 3-Р, инт. 2318,25—2324,25 м, свита куломзинская (низы). Коллекция СНИИГГиМС.

Фиг. 2. *Neotollia* sp. indet cf. *N. anabarensis* (Pavl.).

Нижний валанжин, зона *Temnoptychites insolutus*. Фрагмент ядра. Тагринская скв. 88, инт. 2362—2375 м (0,1—0,5). Коллекция ЗапСибНИГНИ.

Фиг. 3. *Neotollia sibirica* (Klim.).

Нижний валанжин, зона *Temnoptychites insolutus*. Фрагменты раковин. Тарская скв. 1, 3 — гл. 2485,8 м; 4 — гл. 2483 м, свита куломзинская. Коллекция СНИИГГиМС.

Фиг. 5. *Neotollia* sp. indet. (? *N. sibirica* Klim.).

Нижний валанжин, зона *Temnoptychites insolutus*. Фрагмент раковины. Тарская скв. 1-Р, гл. 2492,62 м, свита куломзинская. Коллекция СНИИГГиМС.

Фиг. 6, 7. *Neotollia* cf. *sibirica* (Klim.).

Нижний валанжин, зона *Temnoptychites insolutus*. Фрагменты раковин. 6 — Покурская скв. 1-Р, глуб. 2253,0, свита мегнионская (верхняя часть). Коллекция СНИИГГиМС; 7 — Южно-Тетеревская скв. 1116, инт. 1555—1561 м (0,1). Коллекция ЗапСибНИГНИ.

Фиг. 8. *Neotollia* sp. cf. *N. klimovskiensis* Grith.

Нижний валанжин, зона *Temnoptychites insolutus*. Фрагменты ядер с частично сохранившимся веществом раковины: 8а — наружный оборот, 8б — внутренний оборот. Тарская скв. 1, гл. 2492,97 м, свита куломзинская. Коллекция СНИИГГиМС.

#### ТАБЛИЦА 74

Фиг. 1, 2. *Neotollia maimetschensis* Schulg.

Нижний валанжин, зона *Temnoptychites insolutus*. Фрагменты ядер крупных экземпляров. 1 — Русскореченская скв. 700, инт. 3010—3023 м (5,5); 2 — Сороминская скв. 2, инт. 2525,7—2538,8 м (3,2). Коллекция ЗапСибНИГНИ.

Фиг. 3. *Neotollia* cf. *maimetschensis* Schulg.

Нижний валанжин, зона *Temnoptychites insolutus*. Нецелый эк-

земляр раковины. Омская скв. 1, гл. 2186,0 м, свита куломзинская. Коллекция СНИИГГиМС.

Фиг. 4. *Neotollia* ex gr. *maimetschensis* Schulg.

Нижний валанжин, зона *Temnoptychites insolutus*. Отпечаток крупного аммонита. Русская, скв. 150, гл. 2984 м. Коллекция ЗапСибНИГНИ.

Фиг. 5, 7. *Neotollia* sp. cf. *maimetschensis* Schulg.

Нижний валанжин, зона *Temnoptychites insolutus*. 5 — нецелое ядро крупного аммонита. Венгаяхинская скв. 355, инт. 2752—2761 м (2,1); 6 — обломок ядра. Северо-Ермальская скв. 161, инт. 3206—3212 м (6,2). Коллекция ЗапСибНИГНИ; 7 — нецелая раковина. Омская скв. 1, гл. 2257,0 м, свита куломзинская. Коллекция СНИИГГиМС.

#### ТАБЛИЦА 75

Фиг. 1, 2, 4. *Neotollia* sp. indet. cf. *N. venusta* Klim.

Нижний валанжин, зона *Temnoptychites insolutus*. Фрагменты ядер крупных особей аммонитов. 1, 2 — Баклянская скв. 3, инт. 2552,4—2559,4 м; 4 — Омская скв. 1, гл. 2281,8 м, свита куломзинская. Коллекция СНИИГГиМС.

Фиг. 3. *Neotollia* sp. indet. cf. *N. klimovskiensis* (Krimh.).

Нижний валанжин, зона *Temnoptychites insolutus*. Фрагменты ядер двух аммонитов. Саргатская скв. 2, инт. 2478,0—2480,6 м, куломзинская свита. Коллекция СНИИГГиМС.

Фиг. 5. *Neotollia* aff. *maimetschensis* Schulg.

Нижний валанжин, зона *Temnoptychites insolutus*. Нецелое ядро крупного аммонита. Ореховская скв. 353, инт. 2552—2563 м. Коллекция ЗапСибНИГНИ.

Фиг. 6. *Neotollia* sp. indet.

Нижний валанжин, зона *Temnoptychites insolutus*. Фрагмент раковины. Профиль Щекурья—Саранпауль, скв. 1, инт. 436,3—444,1 м. Коллекция ЗапСибНИГНИ.

#### ТАБЛИЦА 76

Фиг. 1—11. *Neotollia* sp. sp. indet.

Нижний валанжин, зона *Temnoptychites insolutus*. Фрагменты ядер, целые ядра и фрагменты раковин. 1—4 — Омская скв. 1: 1 — гл. 2281,6 м, 3 — гл. 2281,0 м, 4 — 2314,9 м, свита куломзинская, 2 — глуб. 2127,6 м, свита тарская; 5 — Татарская скв. 1, инт. 2280,0—2287,0 м; 6 — Тарская скв. 1, глуб. 2488,0 м; 7, 9 — Большереченская скв. 1; 7 — инт. 2429—2435 м; 9 — инт. 2423—2429 м; 8 — Тевризская скв. 1, инт. 2320,3—2325,9 м; 10 — Новологиновская скв. 2, инт. 2645—2651 м; 11 — Нововасильевская скв. 1, инт. 2404—2409 м, свита куломзинская. Коллекция СНИИГГиМС.

## ТАБЛИЦА 77

Фиг. 1—15. *Neotollia* sp. sp. indet.

Нижний валанжин, зона *Temnoptychites insolutus*. Фрагменты ядер и целые ядра. 1, 2 — Завьяловская скв. 1; 1 — инт. 2344—2350 м (0,8); 2 — инт. 2318,25—2324,25 м; 3—5 — Чебурлинская площадь: 3 — скв. 2, инт. 2280—2291 м; 4, 5 — скв. 3, 4 — инт. 2280—2285,5 м (0,2); 5 — 2285,5—2292,0 м; 6 — Западно-Калгачская скв. 1, инт. 2009,6—2015,6 м (низ); 7 — Азановская скв. 1, инт. 2282,6—2290,0 м (2,8), свита куломзинская. Коллекция СНИИГГиМС; 8 — Вэнгапурская скв. 75, инт. 2742—2755 м (8,6). 9, 11 — Мулымьинская скв. 46: 9 — инт. 1502,23—1505,73 м (2,0); 11 — инт. 1505,73—1509,23 м (0,6). 10 — Тетеревская скв. 361, инт. 1566,3—1570,0 м (низ); 12 — Северо-Покурская скв. 361, инт. 2191,5—2195,5 м; 13 — Леушинская скв. 506, инт. 1878,8—1883,3 м (1,75). 14, 15 — Южно-Тетеревская скв. 1116, инт. 1549—1555 м (2,5). Коллекция ЗапСибНИГНИ.

## ТАБЛИЦА 78

Фиг. 1—12. *Neotollia* sp. sp. indet.

Нижний валанжин, зона *Temnoptychites insolutus*. Деформированные фрагменты ядер и отпечатков аммонитов разных размеров. 1 — Сороминская скв. 2, инт. 2525,7—2538,8 м (2,6); 2 — Покомасовская скв. 8, инт. 2709—2724 м (6,4); 3 — Мыхпайская скв. 782, инт. 2273,4—2278,0 м (0,7); 4 — Леушинская скв. 506, инт. 1878,8—1882,3 м (1,75); 5, 6, 12 — Куррачанская площадь: 5, 6 — скв. 20, инт. 2411—2418 м (1,8), 12 — скв. 21, инт. 2390—2395 м (0,5); 7, 8 — (противоотпечатки) — Студенная скв. 4; 9, 10 — Восточно-Таркосалинская скв. 73, инт. 3015—3030 м (4,77), 11 — Сороминская скв. 2, инт. 2525—2538 м (1,5). Коллекция ЗапСибНИГНИ.

## ТАБЛИЦА 79

Фиг. 1. 2. ? *Neotollia* sp. indet.

? Нижний валанжин, зона *Temnoptychites insolutus*. Фрагменты ядер. 1 — Западно-Котухтинская скв. 119, инт. 2892—2903 м (3,5), свита баженовская; 2 — Ермаковская скв. 379, инт. 2495—2510 м. Коллекция ЗапСибНИГНИ.

Фиг. 3. ? *Tollia* sp. indet. juv.

? Берриас, зона *Tollia rugeri*. Ядро. Вэнгаяхинская скв. 32, инт. 2430—2445 м (0,02). Коллекция ЗапСибНИГНИ.

Фиг. 4—7. ? *Borealites* sp. indet.

? Берриас, зона *Nectoceras kochi*. Фрагменты ядер. 4, 5 — Колтогортская скв. 2-Р, инт. 2710—2716 м; 6 — Нижнешапшинская скв. 134, инт. 2885,6—2892,3 м; 7 — Вэнгаяхинская скв. 133, инт. 2771—2786 м (3,8), свита баженовская. Коллекция ЗапСибНИГНИ.

Фиг. 8, 9. *Neotollia* (? *Bojarkia*, ? *Surites*) sp. indet.

Нижний валанжин, возможно берриас. 8 — ядро. Западно-Котухтинская скв. 133, инт. 2895—2908 м; 9 — фрагмент ядра. Западно-Котухтинская скв. 119, инт. 2895—2903 м (3,5), свита баженовская. Коллекция ЗапСибНИГНИ.

Фиг. 10, 11. *Craspeditidae* gen. et sp. indet.

Берриас — нижний валанжин. 10 — скопление ядер. Восточно-Моисеевская скв. 3, инт. 2764,7—2777,0 м (2,3); 11 — фрагменты ядер. Карайская скв. 4, инт. 2771,5—2778,1 м (2,1), свита баженовская. Коллекция ЗапСибНИГНИ.

## ТАБЛИЦА 80

Фиг. 1. *Temnoptychites* cf. *simplicissimus* Bodyl. juv.

Нижний валанжин, зона *Temnoptychites insolutus*, нижняя часть. Фрагменты ядер юных особей. 1 — Вэнгаяхинская скв. 34, инт. 2648—2658 м (1,0); 2 — Покачевская скв. 34, инт. 2406,8—2413,0 м (3,6). Коллекция ЗапСибНИГНИ.

Фиг. 2—8. *Temnoptychites* cf. *insolutus* Klim.

Нижний валанжин, зона *Temnoptychites insolutus*. 2, 7 — фрагменты ядер: 2 — Вэнгаяхинская скв. 34; инт. 2648—2658 м (1,0), 7 — Шаимская скв. 48, инт. 1489,74—1493,14 м (верх). Коллекция ЗапСибНИГНИ; 3—6 — целые и нецелые ядра и отпечатки. Саргатская скв. 3, инт. 2302—2308 м, свита куломзинская. Коллекция СНИИГГиМС; 8 — ядро молодого экземпляра. Губкинская скв. 38, инт. 2742,25—2738,25 м (2,9). Коллекция ЗапСибНИГНИ.

Фиг. 9, 10. *Temnoptychites* sp. juv. cf. *T. insolutus* Klim.

Нижний валанжин, зона *Temnoptychites insolutus*. 9 — нецелое ядро юной особи. Етыпурская скв. 172, инт. 2607—2621 м (7,2), 10 — раздавленное ядро юной особи. Восточно-Ягунская скв. 251, инт. 2794—2801 м (верх). Коллекция ЗапСибНИГНИ.

Фиг. 11. *Temnoptychites* cf. *Igowensis* (Nik').

Нижний валанжин, зона *Temnoptychites involutus*. Фрагмент ядра. Яковлевская скв. 6, глуб. 1065 м, пограничные слои тарской и куломзинской свит. Коллекция СНИИГГиМС.

Фиг. 12. *Temnoptychites* sp. indet. cf. *T. hoplitoides* (Nik.).

Нижний валанжин, зона *Temnoptychites insolutus*. Фрагмент ядра. Ватьеганская скв. 17, инт. 2797—2805 м (3,0). Коллекция ЗапСибНИГНИ.

Фиг. 13. *Temnoptychites* cf. *triptychiformis* (Nik.).

Нижний валанжин, зона *Temnoptychites involutus*. Фрагмент ядра. Выинтойская скв. 158, инт. 2738—2753 м (2,9). Коллекция ЗапСибНИГНИ.

Фиг. 14, 15. *Temnoptychites* ex gr. *triptychiformis* (Nik.).

Нижний валанжин, зона *Temnoptychites insolutus*. Нецелые ядра. 14 — Восточно-Сургутская скв. 182, инт. 2736—2740 м (0,5); 15 — Западно-Котухтинская скв. 133, инт. 2838—2845 м (0,7). Коллекция ЗапСибНИГНИ.

Фиг. 16. *Temnoptychites* sp. cf. *T. triptychiformis* (Nik.).  
Нижний валанжин, зона *Temnoptychites insolutus*. Нецелое ядро. Выинтойская скв. 133, инт. 2741—2754 м (9,7). Коллекция ЗапСибНИГНИ.

Фиг. 17. *Temnoptychites* cf. *syzranicus* (Pavl.).  
Нижний валанжин, зона *Temnoptychites insolutus*, верхняя часть. Фрагмент ядра и отпечаток одного и того же экземпляра. Завьяловская скв. 3, глуб. 2174,84 м, свита тарская. Коллекция СНИИГГиМС.

Фиг. 18—20. *Temnoptychites* ex gr. *syzranicus* (Pavl.).  
Нижний валанжин, зона *Temnoptychites insolutus*, верхняя часть. 18 — ядро. Айваседапурская скв. 263, инт. 2855—2870 м (2,6); 19 — фрагмент ядра. Восточно-Ягунская скв. 251, инт. 2794—2801 м (1,8); 20 — сдавленное ядро. Вэнгаяхинская скв. 38, инт. 2668—2674 м (2,2). Коллекция ЗапСибНИГНИ.

Фиг. 21. *Temnoptychites* sp. aff. *T. simplex inflatus* Bodyl.  
Нижний валанжин, зона *Temnoptychites insolutus*. Ядро. Северо-Губкинская скв. 64, инт. 2628—2643 м (6,8). Коллекция ЗапСибНИГНИ.

#### ТАБЛИЦА 81

Фиг. 1. *Temnoptychites* sp. aff. *T. triptychiformis* (Nik.).  
Нижний валанжин, зона *Temnoptychites insolutus*. Отпечаток нецелого аммонита. Уренгойская скв. 403, инт. 3540—3552 м (2,5). Коллекция ЗапСибНИГНИ.

Фиг. 2. *Temnoptychites* s. str. (? *T. simplex inflatus* subsp. Bodyl.).

Нижний валанжин, зона *Temnoptychites insolutus*. Ядро. Западно-Котухтинская скв. 126, инт. 2838—2845 м (0,7). Коллекция ЗапСибНИГНИ.

Фиг. 3, 4. *Temnoptychites* sp. indet.  
Нижний валанжин, зона *Temnoptychites insolutus*. Сдавленные ядра. Западно-Котухтинская скв. 126, инт. 2875—2884 м (3,4). Коллекция ЗапСибНИГНИ.

Фиг. 5. *Temnoptychites* sp. indet. juv. (? *T. triptychiformis* Nik.).  
Нижний валанжин, зона *Temnoptychites insolutus*. Фрагмент ядра. Грибная скв. 5, инт. 2802—2808 м (2,7). Коллекция ЗапСибНИГНИ.

Фиг. 6. *Temnoptychites* aff. *syzranicus* (Pavl.).  
Нижний валанжин. ? Зона *Temnoptychites insolutus*, верхняя часть. Фрагмент ядра. Котухтинская скв. 1373, инт. 2858—2862 м (0,6). Коллекция ЗапСибНИГНИ.

Фиг. 7. *Temnoptychites* sp. indet. aff. *T. hoplitoides* (Nik.).  
Нижний валанжин, зона *Temnoptychites insolutus*. Фрагмент ядра. Ватьеганская скв. 41, инт. 2453—2459 м (0,7). Коллекция ЗапСибНИГНИ.

Фиг. 8. *Temnoptychites* sp. cf. *T. hoplitooides* (Nik.).

Нижний валанжин, зона *Temnoptychites insolutus*. Сдавленное ядро. Уренгойская скв. 171, глуб. 3207 м. Коллекция ЗапСибНИГНИ.

Фиг. 9. *Temnoptychites* sp.

Нижний валанжин, зона *Temnoptychites insolutus*. Фрагмент ядра. Асомкинская скв. 1, инт. 2829—2839 м (0,4). Коллекция ЗапСибНИГНИ.

Фиг. 10, 11. *Temnoptychites* sp.

Нижний валанжин, зона *Temnoptychites insolutus*. 10 — сдавленное ядро. Пограничная скв. 61, инт. 3002—3009 м (0,5); 11 — Восточно-Сургутская скв. 183, инт. 2698—2703 м (1,8). Коллекция ЗапСибНИГНИ.

Фиг. 12, 13. *Temnoptychites* (? *Russanovia*) sp.

Нижний валанжин, зона *Temnoptychites insolutus*. 12 — фрагмент раковины. Омская скв. 1, глуб. 2127,9 м, свита тарская; 13 — нецелое ядро. Чебурлинская скв. 5, глуб. 2083,3 м, свита мегионская. Коллекция СНИИГГиМС.

Фиг. 14. *Temnoptychites* s. str. sp. indet.

Нижний валанжин, зона *Temnoptychites insolutus*. Фрагмент ядра. Северо-Губкинская скв. 64, инт. 2628—2643 м (6,3). Коллекция ЗапСибНИГНИ.

Фиг. 15—19. *Temnoptychites* sp. indet.

Нижний валанжин, зона *Temnoptychites insolutus*. Фрагменты ядер: 15 — Новомолодежная скв. 9, инт. 2280—2288 м (1,5). Коллекция ЗапСибНИГНИ; 16 — Листвягинская скв. 1, инт. 2236,5—2243,3 м, ачимовская толща. Коллекция СНИИГГиМС; 17 — Восточно-Ягунская скв. 251, инт. 2794—2801 м; 18 — Западно-Котухтинская скв. 126, инт. 2884—2898 м (1,8); 19 — Северо-Губкинская скв. 64, инт. 2628—2643 м (6,3). Коллекция ЗапСибНИГНИ.

## ТАБЛИЦА 82

Фиг. 1—7. *Temnoptychites* sp. indet. juv.

Нижний валанжин, зона *Temnoptychites insolutus*. Фрагменты ядер и отпечатков: 1 — Федоровская скв. 141, инт. 2738—2745 м (0,5); 2 — Восточно-Ягунская скв. 251, инт. 2794—2801 м (1,3); 3 — Айвасадапурская скв. 57, инт. 2546—2561 м (6,0); 4 — Большекотухтинская скв. 4, инт. 2577,5—2599,0 м (3,5); 5 — Восточно-Сургутская скв. 183, инт. 2698—2703 м (0,6); 6 — Асомкинская скв. 1, инт. 2829—2839 м; 7 — Западно-Котухтинская скв. 126, инт. 2884—2898 м (2,9). Коллекция ЗапСибНИГНИ.

Фиг. 8. ? *Temnoptychites* sp. indet.

? Нижний валанжин, зона *Temnoptychites insolutus*. Сдавленное ядро. Западно-Котухтинская скв. 104, инт. 2875—2884 м (3,4). Коллекция ЗапСибНИГНИ.

Фиг. 9, 10. *Temnoptychites* sp. indet.  
Нижний валанжин, зона *Temnoptychites insolutus*. Деформированные ядра. Вэнгайхинская скв. 34; 9 — инт. 2648—2663 м (5,8); 10 — инт. 2648—2663 м (по слою). Коллекция ЗапСибНИГНИ.

Фиг. 11. *Temnoptychites (Subtemnoptychites)* sp. indet. juv.  
Нижний валанжин, зона *Temnoptychites insolutus*, нижняя часть. Ядро. Ваньеганская скв., 132, инт. 2330—2345 м (3,5). Коллекция ЗапСибНИГНИ.

Фиг. 12. ? *Temnoptychites* sp. indet.  
? Нижний валанжин, зона *Temnoptychites insolutus*. Нецелый отпечаток. Тарская скв. 1, глуб. 2491,96 м. Коллекция СНИИГ-ГиМС.

Фиг. 13—18. *Costamenjaites* sp. sp. indet.  
Нижний валанжин, зона *Temnoptychites insolutus*. Верхняя часть. 13 — фрагмент ядра. Западно-Таркосалинская скв. 10, инт. 2723,4—2737,8 м (1,9). Коллекция ЗапСибНИГНИ; 14 — целый экземпляр, представленный частично ядром, частично отпечатком. Чебурлинская скв. 4, глуб. 1929,8 м, свита мегионская. Коллекция СНИИГГиМС; 15 — фрагмент ядра. Айваседапурская скв. 69, инт. 2577—2590 м (0,5—0,9). Коллекция ЗапСибНИГНИ; 16 — фрагмент ядра. Тевризская скв. 1, инт. 2305—2310 м. Коллекция СНИИГГиМС; 17 — раздавленное ядро. Уренгойская скв. 123, инт. 3161—3175 м (2,6); 18 — нецелое раздавленное ядро. Айваседапурская скв. 57, инт. 2559—2574 м (2,4). Коллекция ЗапСибНИГНИ.

Фиг. 19. ? *Temnoptychites* s. l. (? *Costamenlaites* sp.).  
? Нижний валанжин, зона *Temnoptychites insolutus*. Раздавленное ядро. Бичинская скв. 1, глуб. 2375,1 м, свита ? мегионская. Коллекция СНИИГГиМС.

Фиг. 20. ? *Menjaites* sp. indet.  
? Нижний валанжин, зона *Temnoptychites insolutus*. Раздавленное ядро. Покачевская скв. 90, инт. 2495—3505 м. Коллекция ЗапСибНИГНИ.

Фиг. 21—24. *Menjaites* sp. sp.  
Нижний валанжин, зона *Temnoptychites insolutus*, верхняя часть. 21 — фрагмент ядра. Покачевская скв. 26, инт. 2399—2405 м (2,75); 22 — ядро половины оборота. Вэнгайхинская скв. 39, инт. 2713—2728 м (1,0); 23 — фрагмент ядра. Покачевская скв. 26, инт. 2460—2467 м (4,2); 24 — ядро. Айваседапурская скв. 65, инт. 2546—2561 м. Коллекция ЗапСибНИГНИ.

#### ТАБЛИЦА 83

Фиг. 1. *Temnoptychites* sp. indet. cf. *T. simplex inflatus* subsp. *Bo dyl.*

Нижний валанжин, зона *Temnoptychites insolutus*. Фрагмент ядра. Турковская скв. 2, глуб. 3084,7 м. Коллекция СНИИГГиМС.

Фиг. 2, 3. *Temnoptychites* sp. [? *T. Igowensis* (Nik.)].  
Нижний валанжин, зона *Temnoptychites insolutus*. 2 — фрагмент ядра. Вэнгаяхинская скв. 30, инт. 2469,4—2473,8 м (2,0); 3 — ядро. Вэнгаяхинская скв. 30, инт. 2458,6—2469,1 м (4,9). Коллекция ЗапСибНИГНИ.

Фиг. 4. *Temnoptychites* sp. indet. juv.  
Нижний валанжин, зона *Temnoptychites insolutus*. Ядро. Айваседапурская скв. 270, инт. 2900—2916 м (6,5). Коллекция ЗапСибНИГНИ.

Фиг. 5. *Costamenjaites* sp. indet.  
Нижний валанжин, зона *Temnoptychites insolutus*, верхняя часть. Фрагмент ядра. Восточно-Уренгойская скв. 303, инт. 3224—3229 м. Коллекция ЗапСибНИГНИ.

Фиг. 6—9. *Menjaites* sp. sp.  
Нижний валанжин, зона *Temnoptychites insolutus*, верхняя часть. 6, 7 — фрагмент ядер: 6 — Покачевская скв. 50, инт. 2417—2425 м (2,7); 7 — Айваседапурская скв. 65, инт. 2546—2561 м (7,0). Коллекция ЗапСибНИГНИ; 8, 9 — Ядра: 8 — Турковская скв. 2, глуб. 3054 м. Коллекция СНИИГГиМС; 9 — Айваседапурская скв. 65, инт. 2546—2561 м (9,5). Коллекция ЗапСибНИГНИ.

Фиг. 10. *Menjaites* (? *Costamenjaites*) sp.  
Нижний валанжин, зона *Temnoptychites insolutus*, верхняя часть. Нецелое ядро. Айваседапурская скв. 65, инт. 2559—2574 м (8,78). Коллекция ЗапСибНИГНИ.

Фиг. 11. *Temnoptychites* sp. indet.  
Нижний валанжин, зона *Temnoptychites insolutus*. Фрагмент ядра. Чуэльская скв. 81, инт. 1650,8—1654,8 м (1,0). Коллекция ЗапСибНИГНИ.

Фиг. 12. ? *Temnoptychites* (? *Neotollia*) sp. indet.  
Нижний валанжин, зона *Temnoptychites insolutus*. Фрагмент ядра. Южно-Таркосалинская скв. 151, инт. 2193—3197 м (по слою). Коллекция ЗапСибНИГНИ.

#### ТАБЛИЦА 84

Фиг. 1. *Bodylevskites* sp. indet.  
Нижний валанжин, зона *Temnoptychites insolutus*, нижняя часть. Фрагмент ядра. Вэнгаяхинская скв. 30, инт. 2458,6—2469,1 м (4,9). Коллекция ЗапСибНИГНИ.

Фиг. 2. *Siberiptychites* cf. *stübendorffi* (Schmidt).  
Нижний валанжин, зона *Temnoptychites insolutus*. Ядро. Северо-Чупальская скв. 23, инт. 2511—2526 м (8,0). Коллекция ЗапСибНИГНИ.

Фиг. 3. ? *Siberiptychites* sp. indet.  
? Нижний валанжин, зона *Temnoptychites insolutus*. Фрагмент ядра. Малобалыкская скв. 22, инт. 2526—2534 м (1,8). Коллекция ЗапСибНИГНИ.



Фиг. 4. *Siberiptychites* sp. indet juv.

Нижний валанжин, зона *Temnoptychites insolutus*. Фрагменты ядра и отпечатка двух юных особей аммонитов. Нижнесортымская скв. 210, инт. 2787,0—2799,2 м (8,2). Коллекция ЗапСибНИГНИ.

Фиг. 5, 6. *Astieriptychites* cf. *astieriptychus* (B o d y l.).

Нижний валанжин, зона *Temnoptychites insolutus*, верхняя часть. Нецелые ядра крупных особей аммонитов: 5 — Восточно-Тарасовская скв. 93, инт. 2935—2950 м (5,9), 6 — Уренгойская скв. 403, инт. 3340—3552 м (6,5). Коллекция ЗапСибНИГНИ.

Фиг. 7. *Astieriptychites* sp.

Нижний валанжин, зона *Temnoptychites insolutus*, верхняя часть. Нецелое ядро. Северо-Чупальская скв. 25, инт. 2543—2554,5 м (3,0). Коллекция ЗапСибНИГНИ.

Фиг. 8. ? *Astieriptychites* sp. indet.

? Нижний валанжин, зона *Temnoptychites insolutus*. Фрагмент ядра. Чуэльская скв. 10-Р, инт. 1618,5—1627,7 м (0,5). Свита тутлеймская (верхи). Коллекция СНИИГГиМС.

Фиг. 9. *Astieriptychites* (? *Siberiptychites*) sp. indet. juv.

Нижний валанжин, зона *Temnoptychites insolutus*. Фрагмент ядра. Восточно-Ягунская скв. 251, инт. 2794—2801 м (1,3). Коллекция ЗапСибНИГНИ.

#### ТАБЛИЦА 85

Фиг. 1. *Siberites* cf. *rectangulatiformis* K l i m.

Нижний валанжин, зона *Temnoptychites insolutus*, верхняя часть. Ядро. Тарасовская скв. 81, инт. 2924—2932 м (1,1). Коллекция ЗапСибНИГНИ.

Фиг. 2. ? *Astieriptychites* (? *Siberites*) sp. indet.

Нижний валанжин, зона *Temnoptychites insolutus*, верхняя часть. Фрагмент ядра. Малобалыкская скв. 22, инт. 2526—2534 м (2,1). Коллекция ЗапСибНИГНИ.

Фиг. 3. *Polyptychitidae* gen. et sp. indet juv. (? *Siberites*, ? *Plimitiviptychites*).

Валанжин, ? нижний валанжин. Нецелый отпечаток юной особи аммонита. Нереповская скв. 104, инт. 1415—1418 м (0,10), деминская пачка. Коллекция СНИИГГиМС.

Фиг. 4—8. *Polyptychites* s. l. sp. indet.

Валанжин. 4 — Нецелое ядро. Покачевская скв. 90, инт. 2428—2435 м (1,0); 5, 6 — фрагменты ядер. Медвежья скв. 36, инт. 3265—3271 м (0,5). Коллекция ЗапСибНИГНИ; 7 — нецелое ядро юной особи аммонита. Викуловская скв. 2, глуб. 1921,2 м, ахская свита (низы). Коллекция СНИИГГиМС; 8 — фрагмент ядра. Среднебалыкская скв. 92, инт. 2683,1—2484,1 м (0,5). Коллекция ЗапСибНИГНИ.

Фиг. 9. *Amundiptychites* sp. indet. (cf. *A. sachsi* K l i m.).

? Нижний валанжин, зона *Polyptychites michalskii*, верхняя часть. Фрагмент ядра. Среднебалыкская скв. 92, инт. 2683,1—2684,1 м (0,5). Коллекция ЗапСибНИГНИ.

Фиг. 10. *Amundiptychites* sp. indet. (cf. *A. chatangensis* Klim.).

Нижний валанжин, зона *Polyptychites michalskii*, подзона *Amundiptychites sachsi*. Фрагмент ядра. Бичинская скв. 1, инт. 2300—2308 м, свита мегионская (середина). Коллекция СНИИГГиМС.

Фиг. 11. ? *Polyptychites (Amundiptychites)* sp. indet.

Валанжин, нижний подъярус. Фрагмент ядра. Викуловская скв. 2-Р, инт. 1892—1898 м (4,0), свита ахская (низы). Коллекция СНИИГГиМС.

Фиг. 12. *Polyptychites* cf. *canadensis* Kemper et Jeletzky.

Валанжин, зона *Polyptychites michalskii*, подзона *Amundiptychites sachsi*. Ядро. Верхнепурлейская скв. 109, инт. 2653—2660 м (1,0). Коллекция ЗапСибНИГНИ.

Фиг. 13. *Dichotomites* s. l.

Верхний валанжин. Фрагмент ядра. Сандыбинская скв. 9, инт. 2544—2552 м (3,2). Коллекция ЗапСибНИГНИ.

#### ТАБЛИЦА 86

Фиг. 1. *Polyptychitidae* gen. (?? *Astieriptychites*) et sp. indet.

Валанжин. ? Нижний валанжин. Нецелое ядро юной особи. Тобольская скв. 3, инт. 2108—2120 м, свита тутлеймская (кровля). Коллекция СНИИГГиМС.

Фиг. 2—7. *Polyptychites* gen. et indet.

Нижний валанжин, зона *Polyptychites michalskii*. Фрагменты ядер, целые ядра, отпечатки юных особей аммонитов. Викуловская скв. 2-Р: 2—4 — глуб. 1936,5 м; 5 — глуб. 1937,6 м; 6 — глуб. 1943,5 м; 7 — глуб. 1953,5 м. Свита ахская (низы). Коллекция СНИИГГиМС.

Фиг. 8—14, 20. *Polyptychites* gen. et sp. indet.

Валанжин. Ядра и отпечатки фрагментов аммонитов разных стадий роста: 8 — Студенная скв. 1, инт. 2760—2769 м (0,4); 9 — Пульпуяхская скв. 51, инт. 2955,0—2965,0 м (4,95); 10 — Восточно-Сургутская скв. 177, инт. 2700—2702 м (0,8). Коллекция ЗапСибНИГНИ. 11, 12 — Викуловская скв. 2: 11 — глуб. 1921,2 м; 12 — глуб. 1940,5 м; 13 — Викуловская скв. 1, инт. 1892—1898 м, свита ахская (низы); 14 — Челноковская скв. 6, инт. 1898—1904 м, свита ? мегионская (низы). Коллекция СНИИГГиМС. 20 — Нижнесортимская скв. 210, инт. 2787,0—2799,2 м (8,2). Коллекция ЗапСибНИГНИ.

Фиг. 15. *Polyptychitidae* gen. (? *Astieriptychites*) et sp. indet.

Валанжин. ? Нижний валанжин. Фрагмент отпечатка. Челноковская скв. 6-Р, инт. 1898—1904 м, свита ? мегионская. Коллекция СНИИГГиМС.

Фиг. 16, 17. *Polyptychitidae* gen. et indet.  
? Валанжин, фрагмент ядра: 16 — профиль Салехард-Полуй, скв. 24, инт. 1075,5—1087,5 м (начало интервала); 17 — Федоровская скв. 141, инт. 2738—2745 м (0,5). Коллекция ЗапСибНИГНИ.

Фиг. 18. ? *Dichotomites* (? *Homolsomites*) sp. indet.  
? Верхний валанжин — ? пограничные горизонты валанжин-готерив. Фрагмент ядра. Профиль Щекурья-Саранпауль, скв. 2, инт. 379—388 м (2,5). Коллекция ЗапСибНИГНИ.

Фиг. 19. *Homolsomites* sp. indet cf. *H. golberti* Klim.  
Пограничные горизонты, валанжин-готерив. Нецелое ядро. Юрхаровская скв. 96, инт. 2886—2896 м (3,6). Коллекция ЗапСибНИГНИ.

### ТАБЛИЦА 87

Фиг. 1, 2. ? *Homolsomites* sp. indet.  
? Верхний валанжин, слои с *Dichotomites* и *Homolsomites*, нижний готерив, зона *Homolsomites bojakensis*. Фрагменты ядра. 1 — Александровская скв. 2-Р, инт. 2390,75—2398,75 м (3,3), свита куломзинская. Коллекция СНИИГГиМС; 2 — Салымская скв. 188, инт. 2592—2606 м. Коллекция ЗапСибНИГНИ.

Фиг. 3, 4. *Homolsomites* sp. indet. juv.  
? Верхний валанжин, слои с *Dichotomites* и *Homolsomites* — нижний готерив, зона *Homolsomites bojakensis*. Фрагменты ядер: 3 — Усть-Балыкская скв. 236, инт. 2079,5—2083,4 м (0,4). Коллекция ЗапСибНИГНИ; 4 — Айпимская скв. 6, инт. 2447—2455 м (0,6). Коллекция СНИИГГиМС.

Фиг. 5, 7—19. *Speetonicerases* ex gr. *inversum* (M. Pavlow.).  
Нижний готерив, зона *Speetonicerases versicolor*. Фрагменты ядер и целые ядра преимущественно юных особей: 5 — Ингосоимская скв. 15, инт. 1283—1288 м; 7 — Самутельская скв. 196, инт. 1548,8—1553,8 м (1,0). Коллекция ЗапСибНИГНИ; 8 — Деминская скв. 33, инт. 1318—1322 м. Коллекция ЗапСибНИГНИ; 9—11 — Неримовская скв. 104, инт. 1410,35—1418,35 м, деминская пачка; 12 — Березовская скв. 15, инт. 1288—1295 м; 13, 14 — Березовская скв. 3, инт. 1291—1295 м, чуэльская пачка (середина); 15 — Владимировская скв. 1, инт. 1368—1371 м, свита ахская; 16 — Обской профиль, скв. 24, инт. 1017,3—1028,3 м, свита ахская; 17 — Обской профиль, скв. 24, инт. 1301,7—1303,5 м (0,3), свита ахская; 18 — Деминская скв. 19, инт. 1301,7—1303,5 м (0,4), верхи деминской пачки. Коллекция СНИИГГиМС.

Фиг. 6, 19—23. *Speetonicerases* sp. indet.  
Нижний готерив, зона *Speetonicerases versicolor*. Фрагменты ядер: 6 — Мулымьинская скв. 189, инт. 1419—1423 м, свита мулымьинская; 19 — Кугинская скв. 161, инт. 1170,9—1175,7 м (3,75), низы чуэльской пачки; 20 — Обской профиль, скв. 24, инт. 1017,3—1028,3 м, свита ахская. Коллекция СНИИГГиМС; 21 —

Новопортовская скв. 52, инт. 1934,0—1939,2 м (0,95). Коллекция ЗапСибНИГНИ; 22 — Обской профиль, скв. 24, инт. 1010—1017 м, свита ахская. Коллекция СНИИГГиМС; 23 — Северо-Игримская скв. 225, инт. 1580—1583,5 м. Коллекция ЗапСибНИГНИ.

Фиг. 24—26. *Simbirskitidae* gen. et sp.

Готерив. Фрагменты ядер. 24 — Похромская скв. 75, инт. 1345,22—1346,22 м. Коллекция ЗапСибНИГНИ; 25 — Горная скв. 323, инт. 1685—1691 м, кровля деминской пачки. Коллекция СНИИГГиМС; 26 — Ванзетурская скв. 256, инт. 1474—1480 м. Коллекция ЗапСибНИГНИ.

Фиг. 27, 28. *Simbirskitidae* gen. et sp. indet. juv.

Готерив. Два ядра аммонитов в стадии возникновения скульптуры,  $\times 2$ . 27 — вид сбоку; 28 — вид с вентральной стороны. Обской профиль, скв. 24, инт. 1028,3—1037,3 м, свита ахская. Коллекция СНИИГГиМС.

Таблица 1

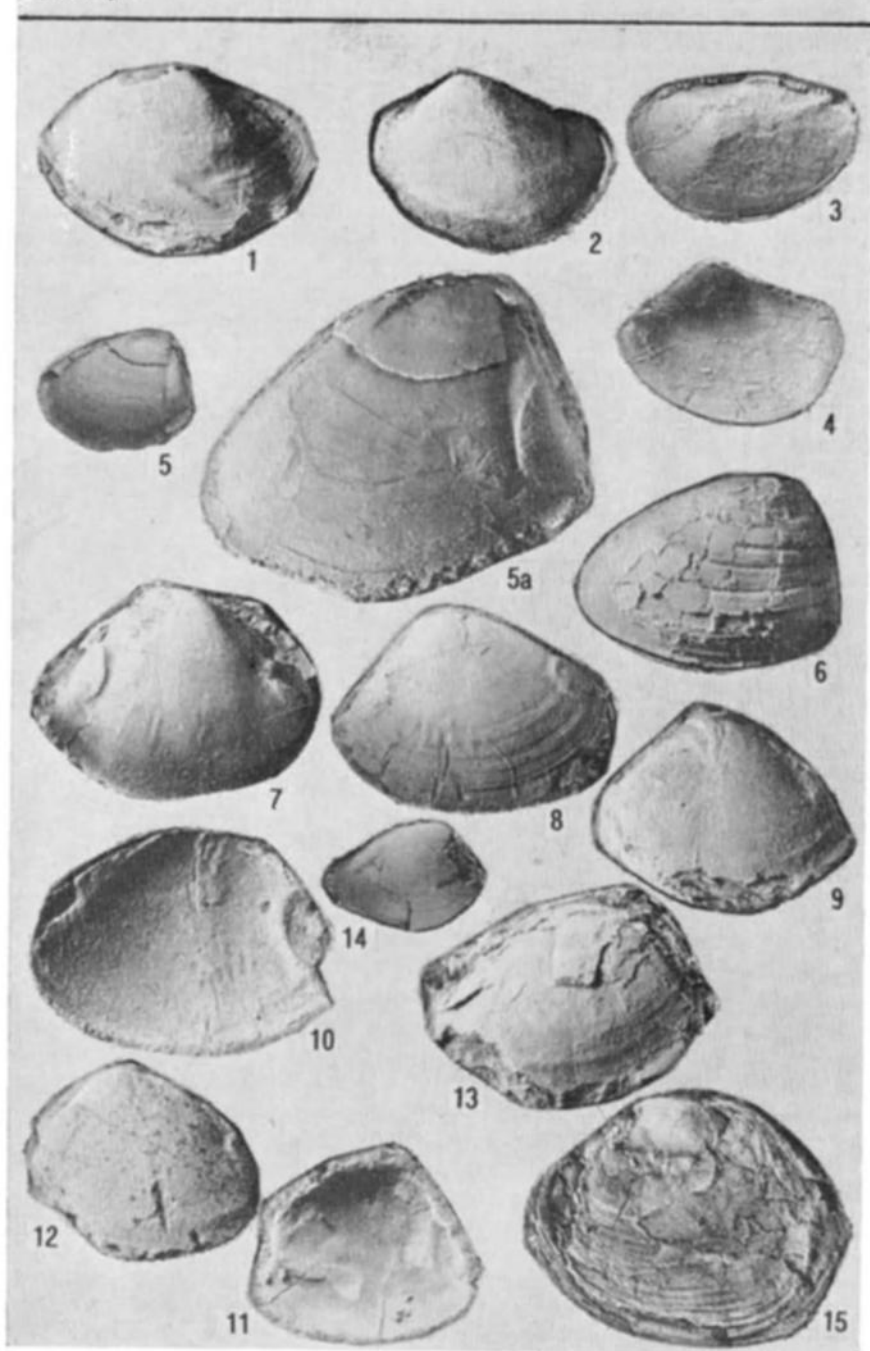


Таблица 2

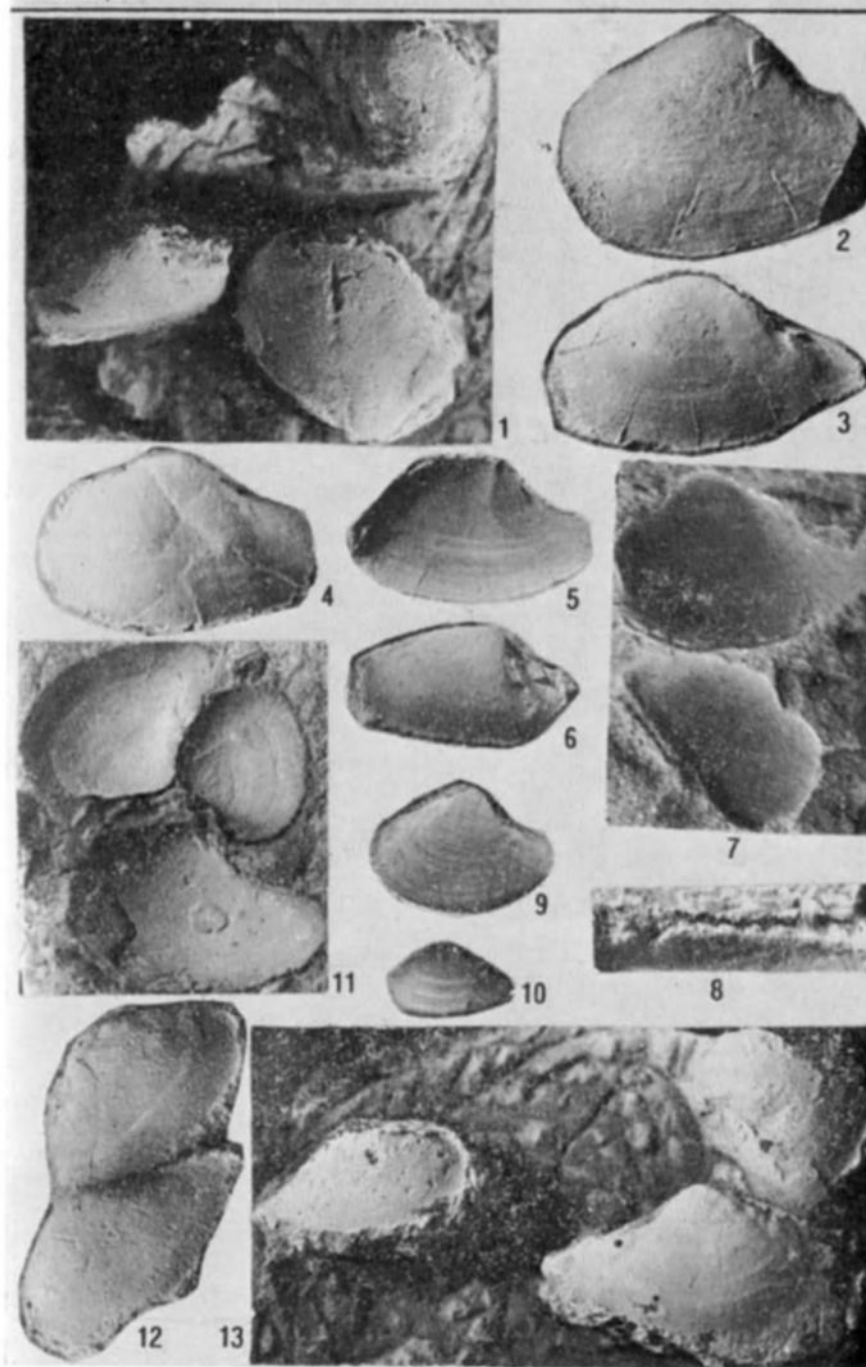


Таблица 3

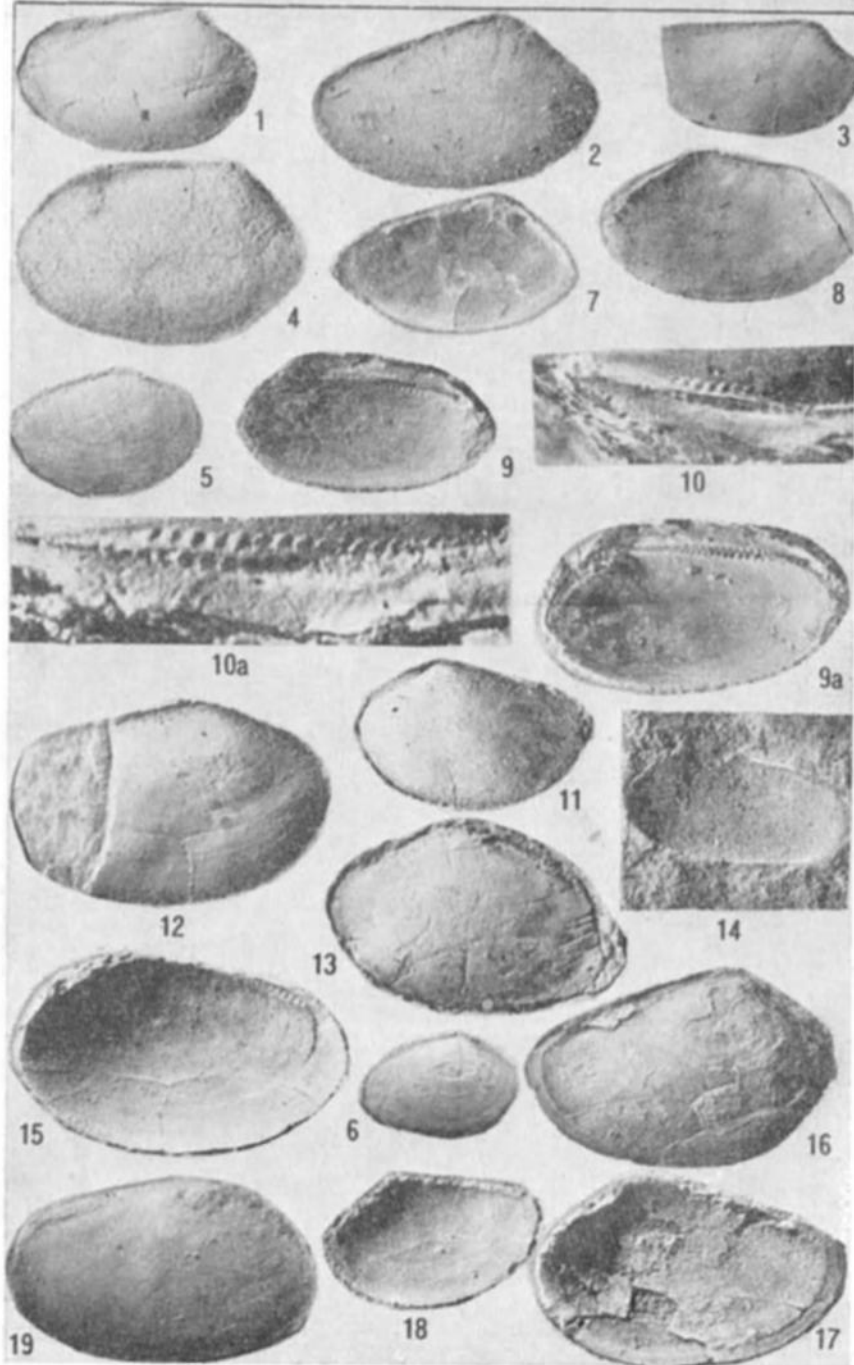


Таблица 4

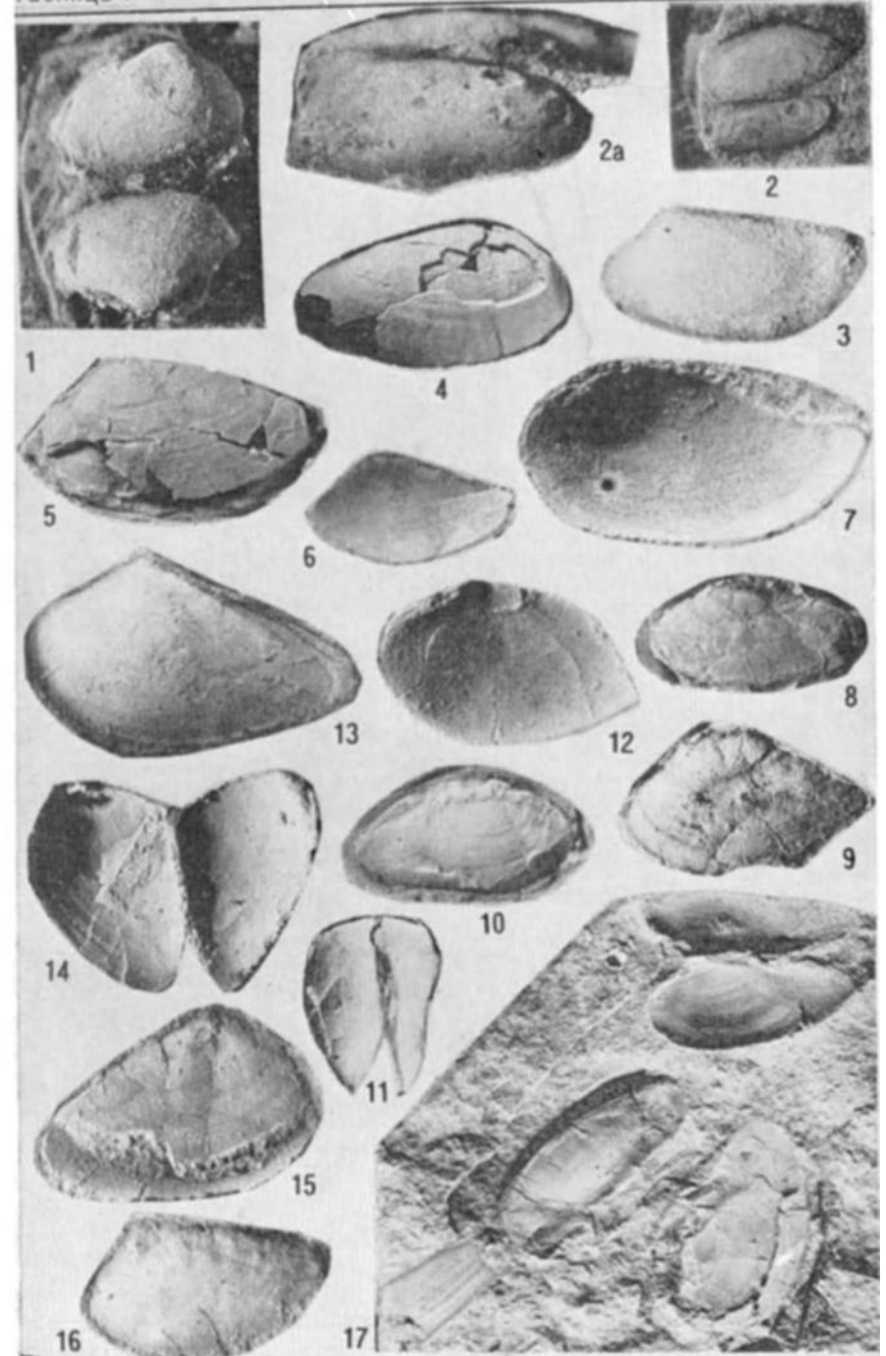


Таблица 5

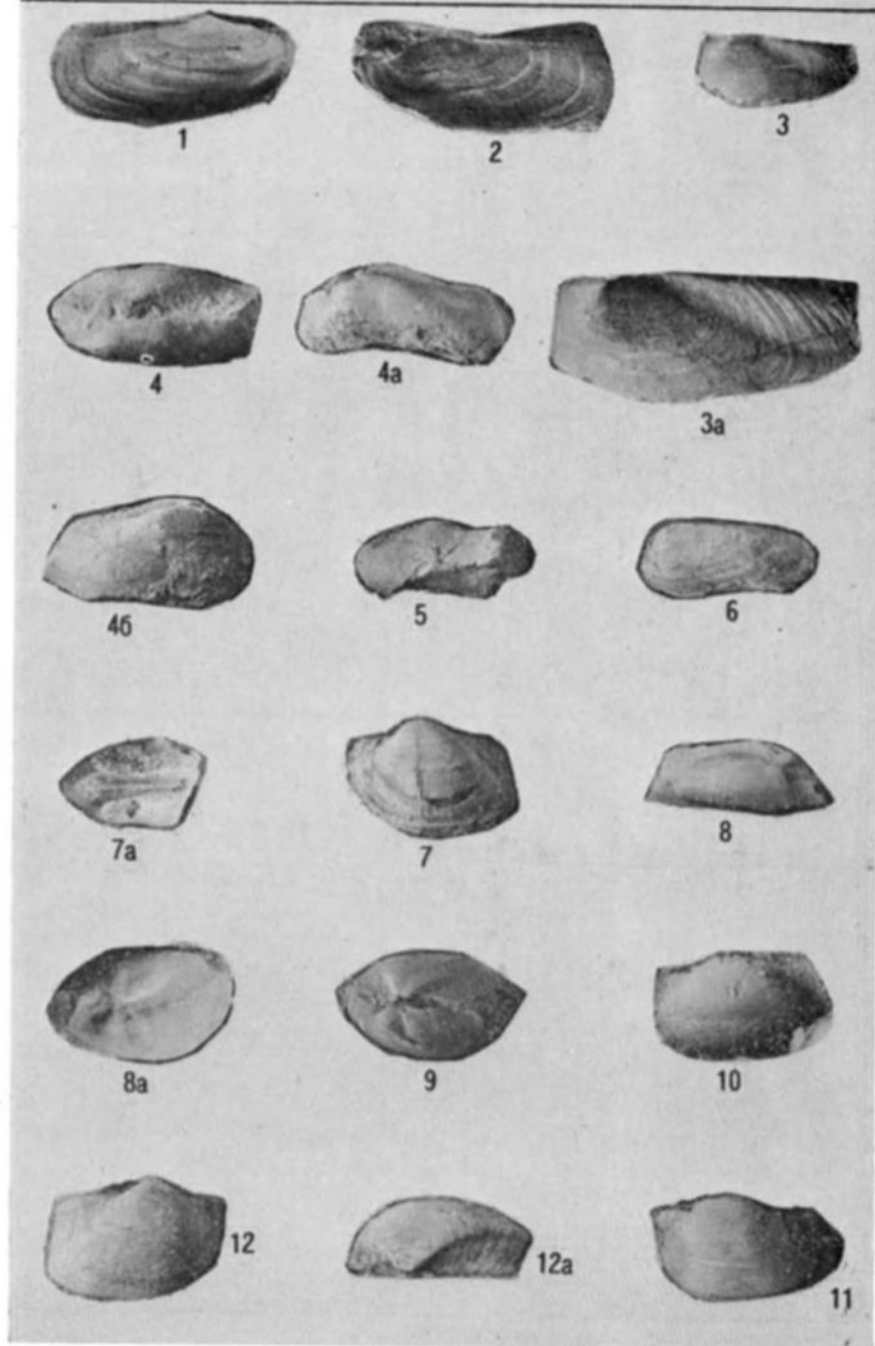


Таблица 6

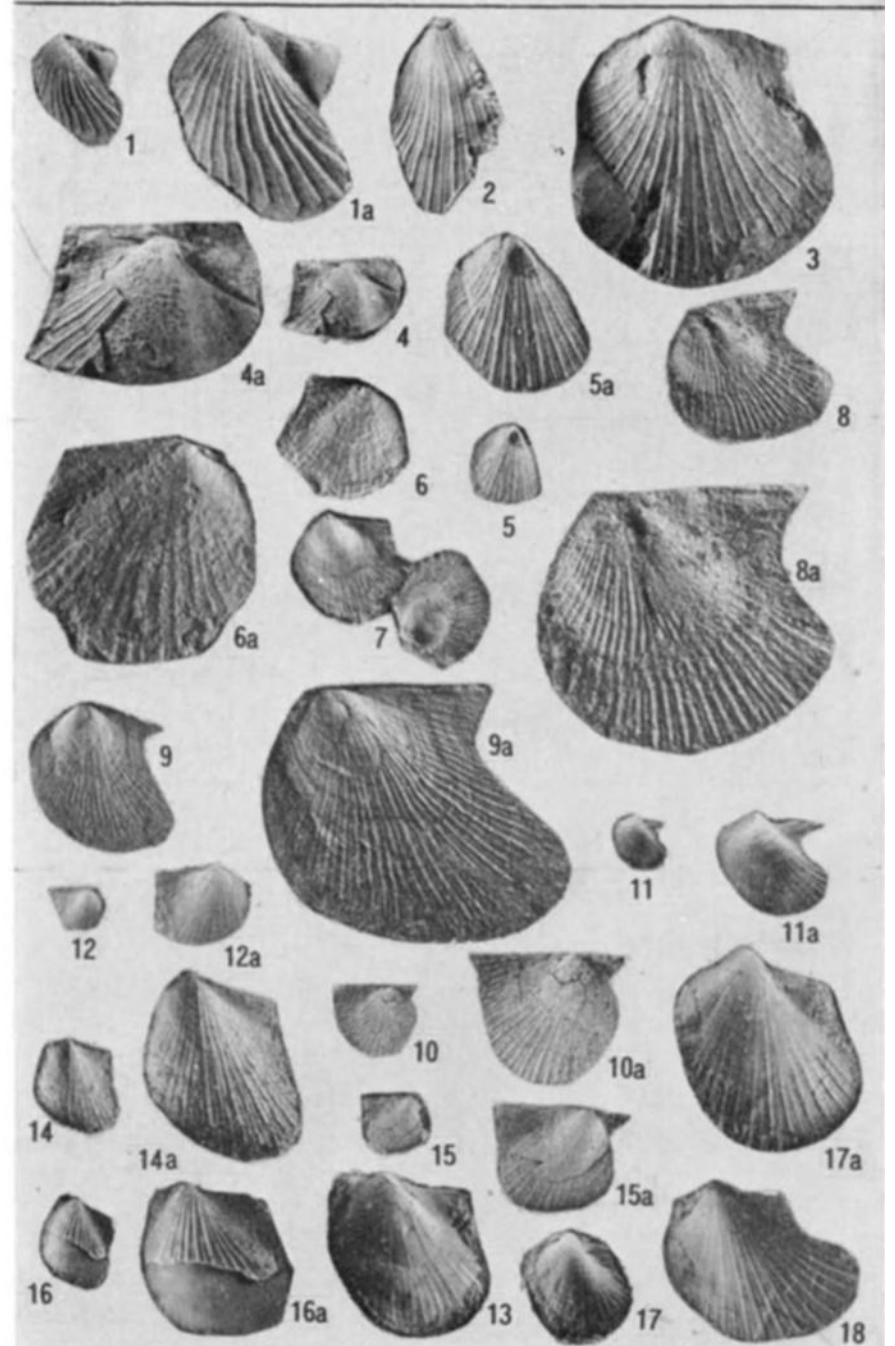


Таблица 7

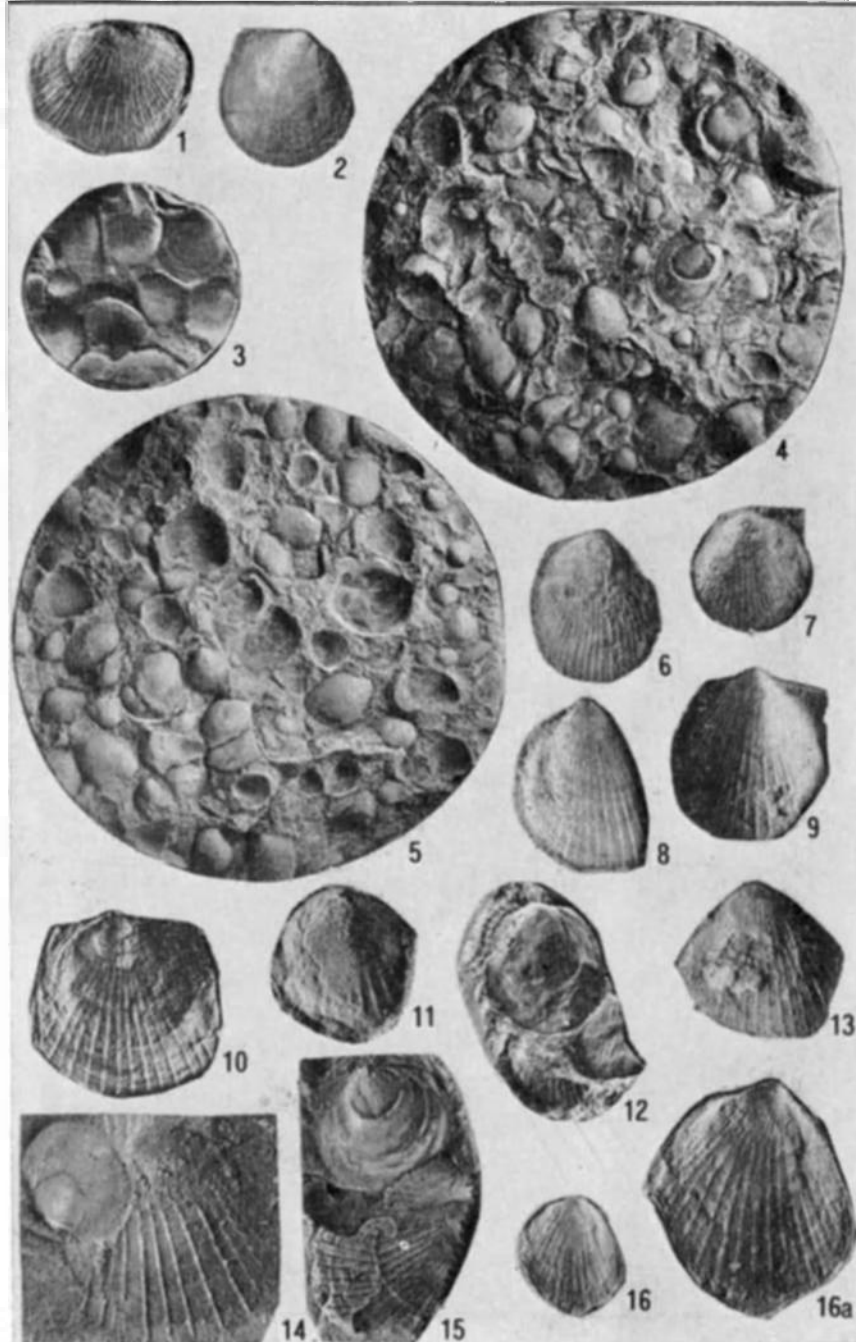


Таблица 8

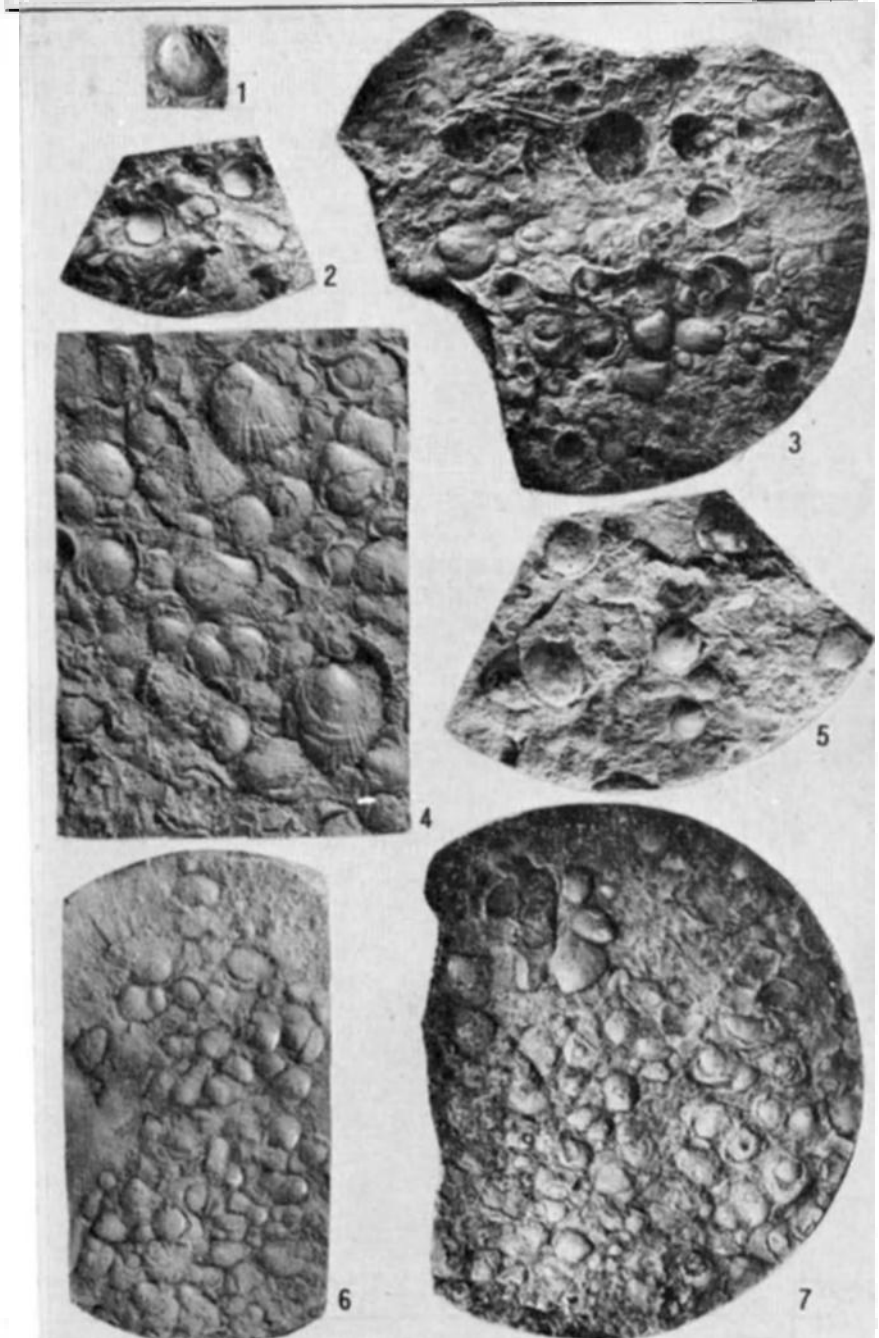




Таблица 9

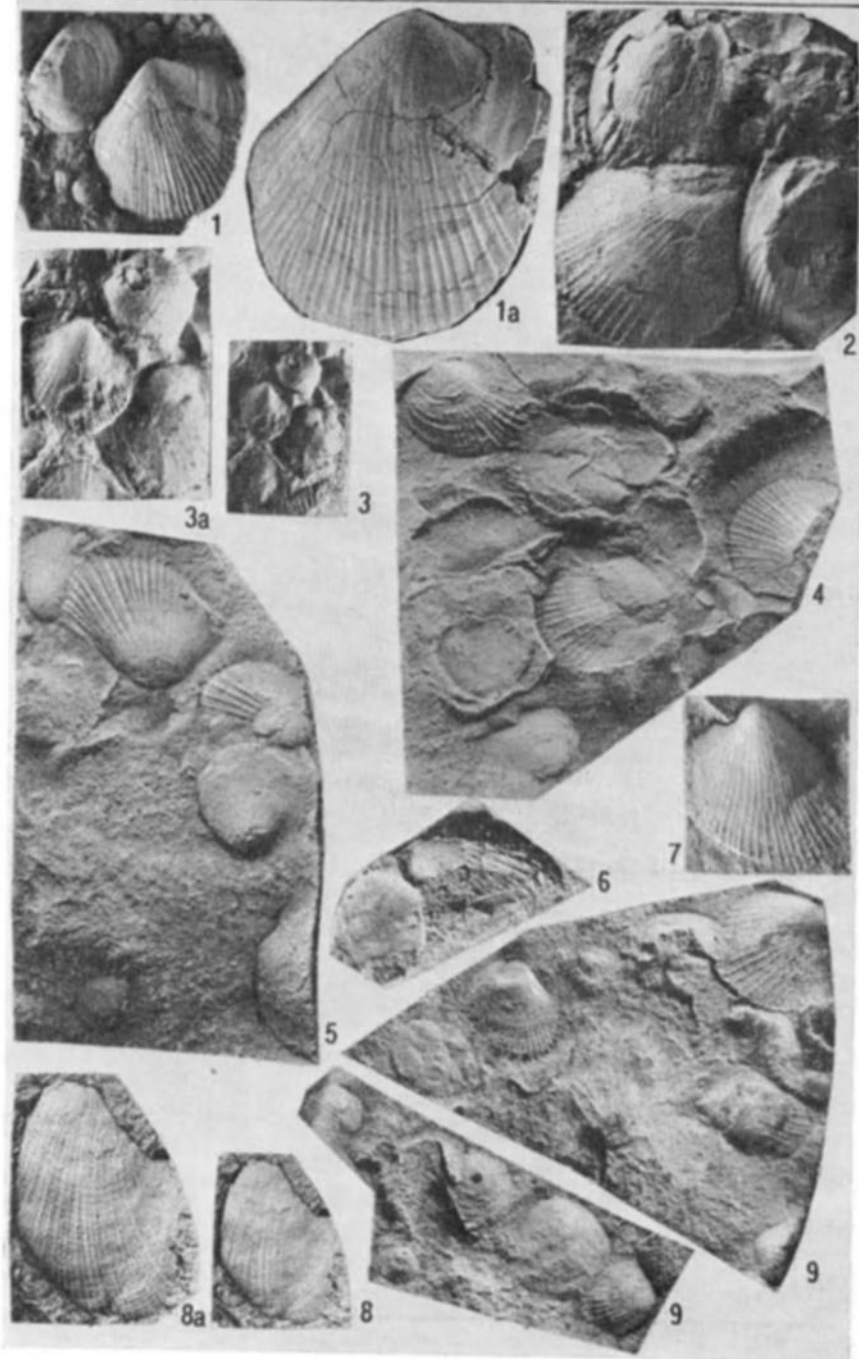


Таблица 10

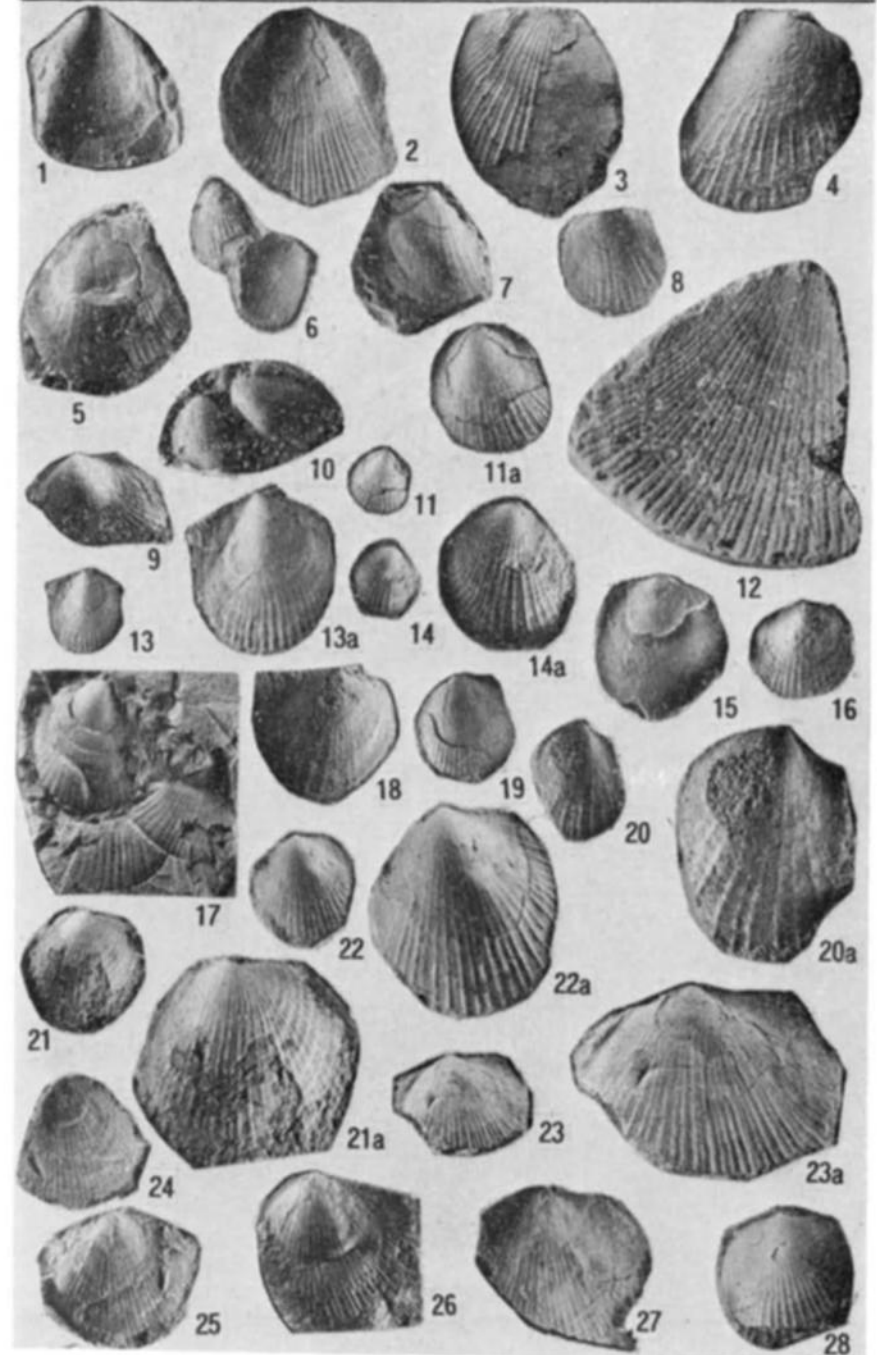


Таблица 11

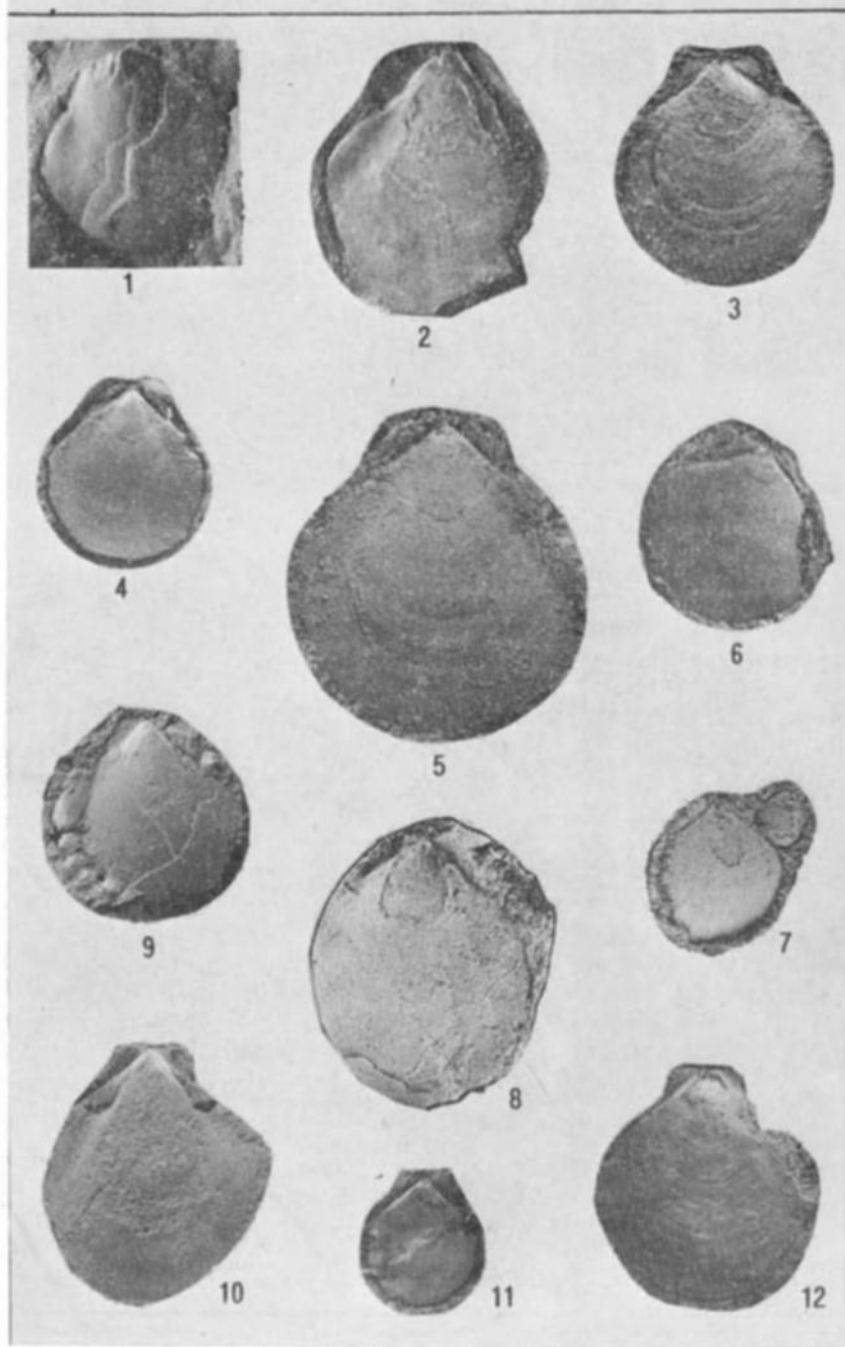


Таблица 12

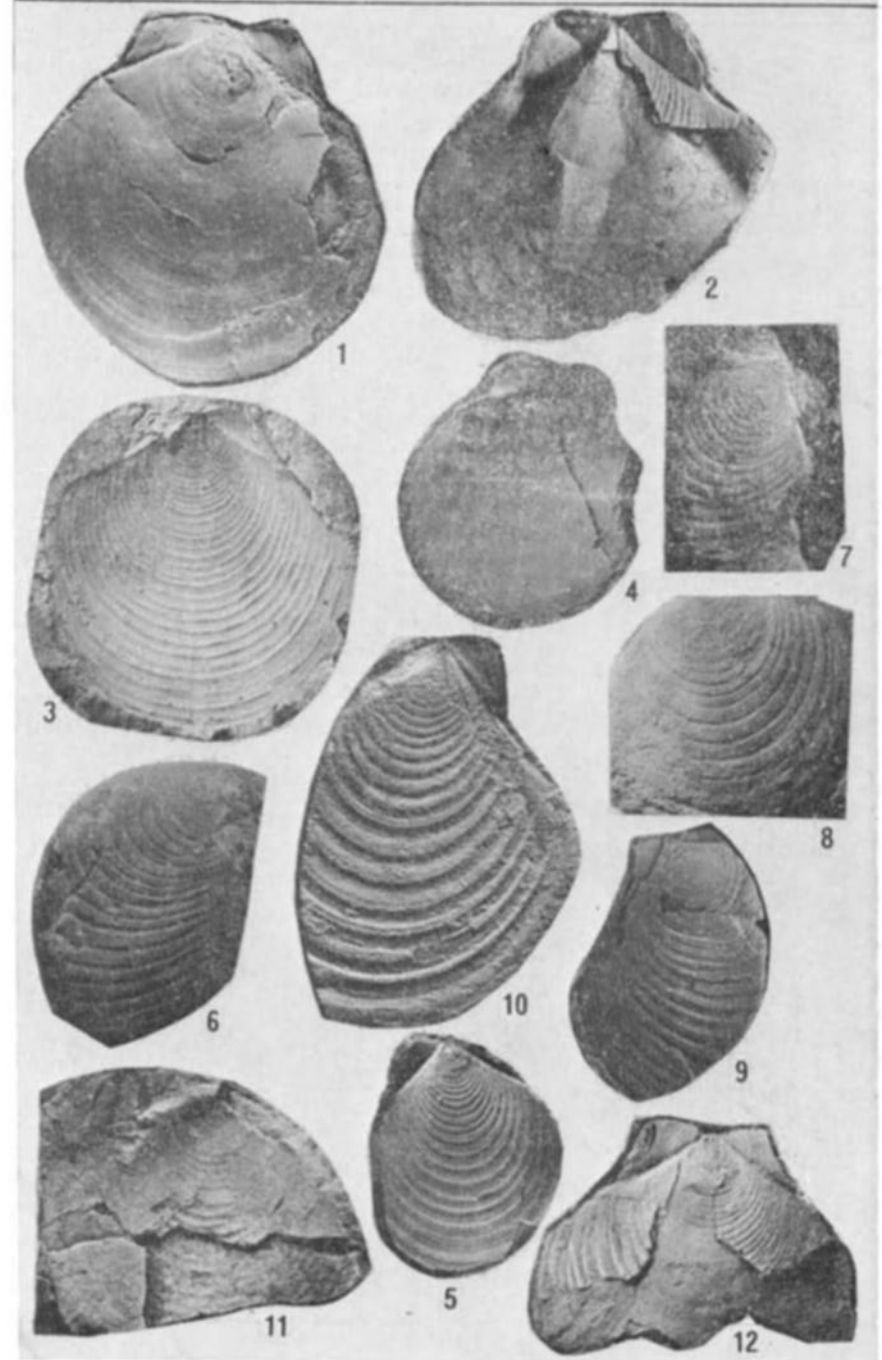


Таблица 13

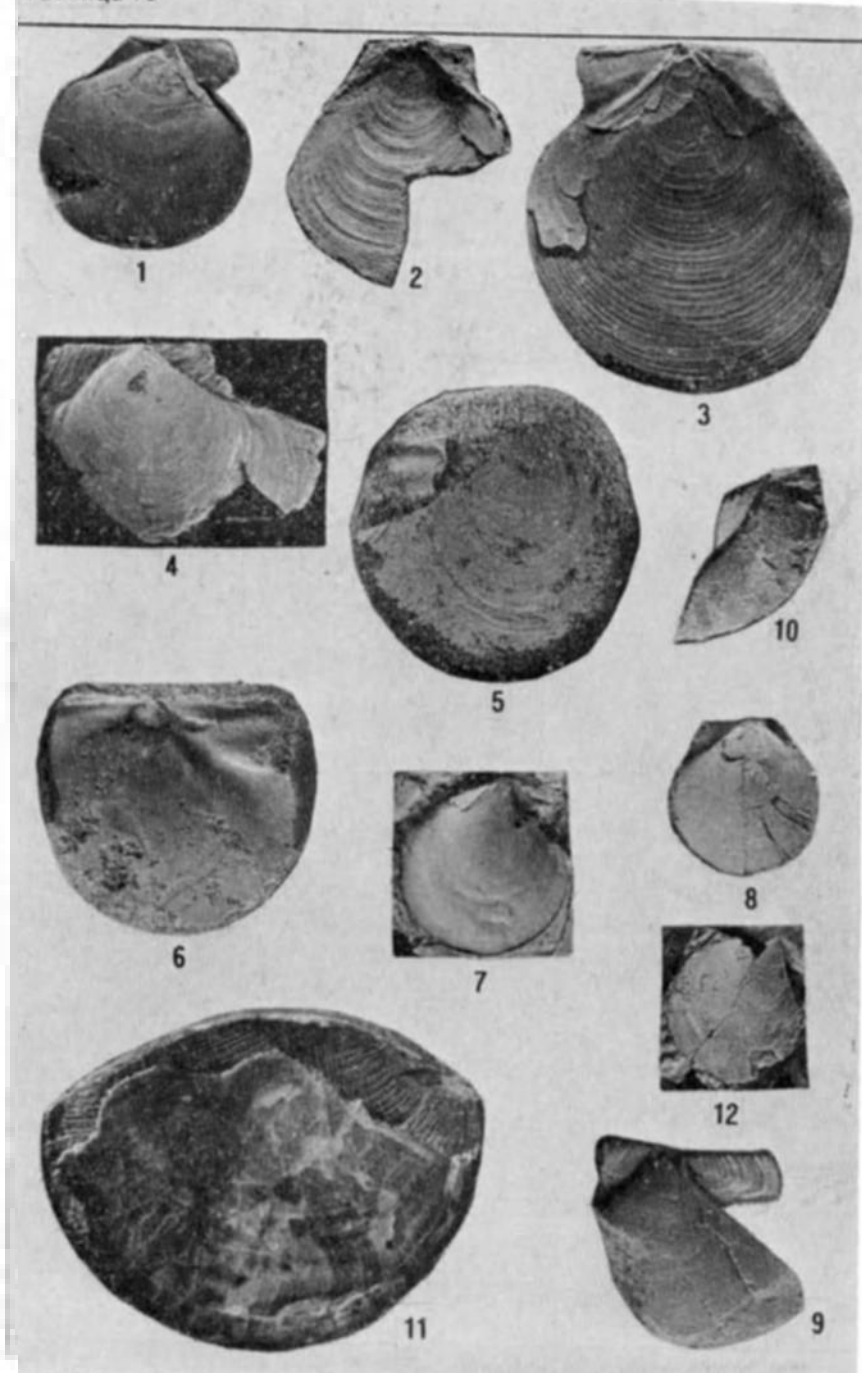


Таблица 14

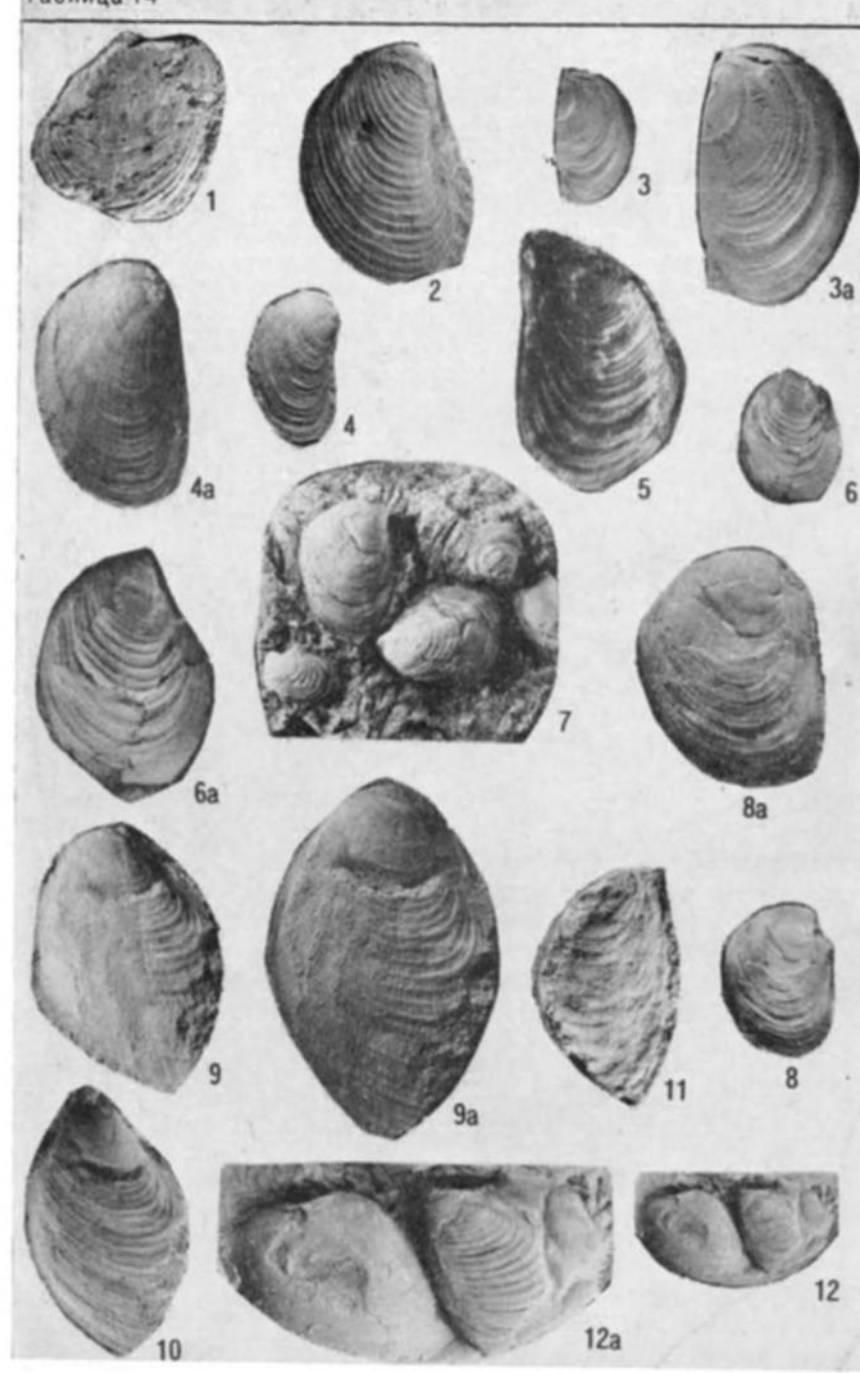


Таблица 15

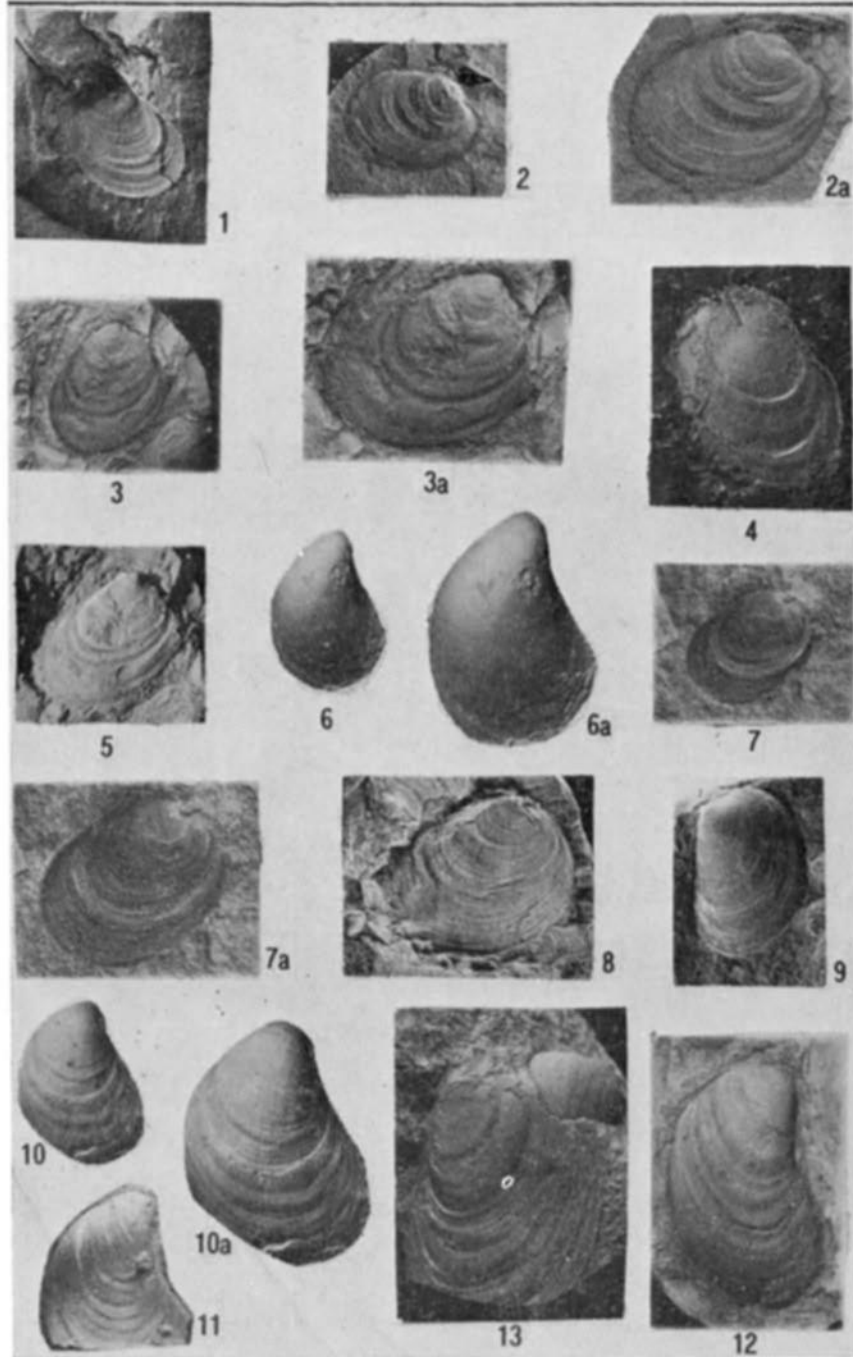


Таблица 16

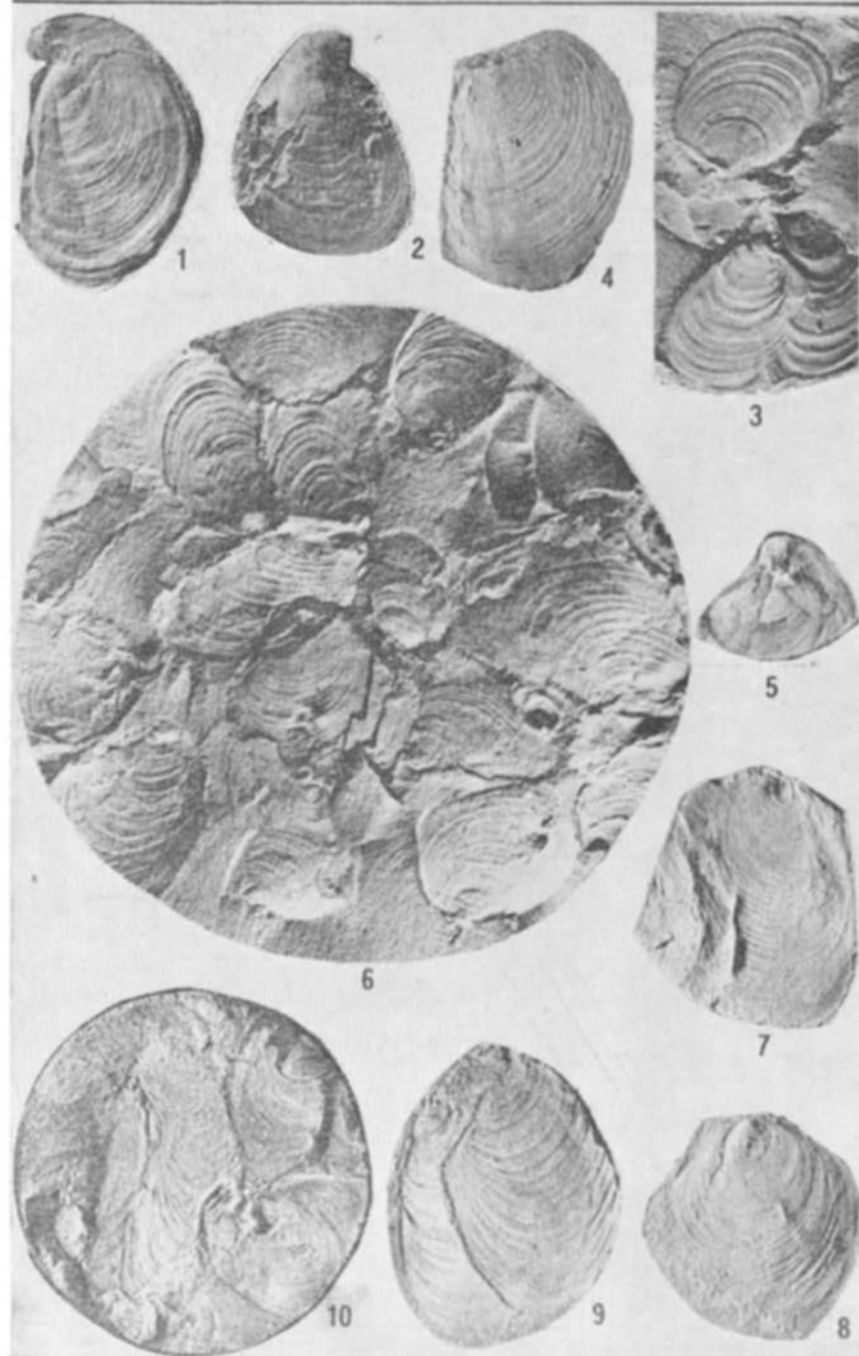


Таблица 17

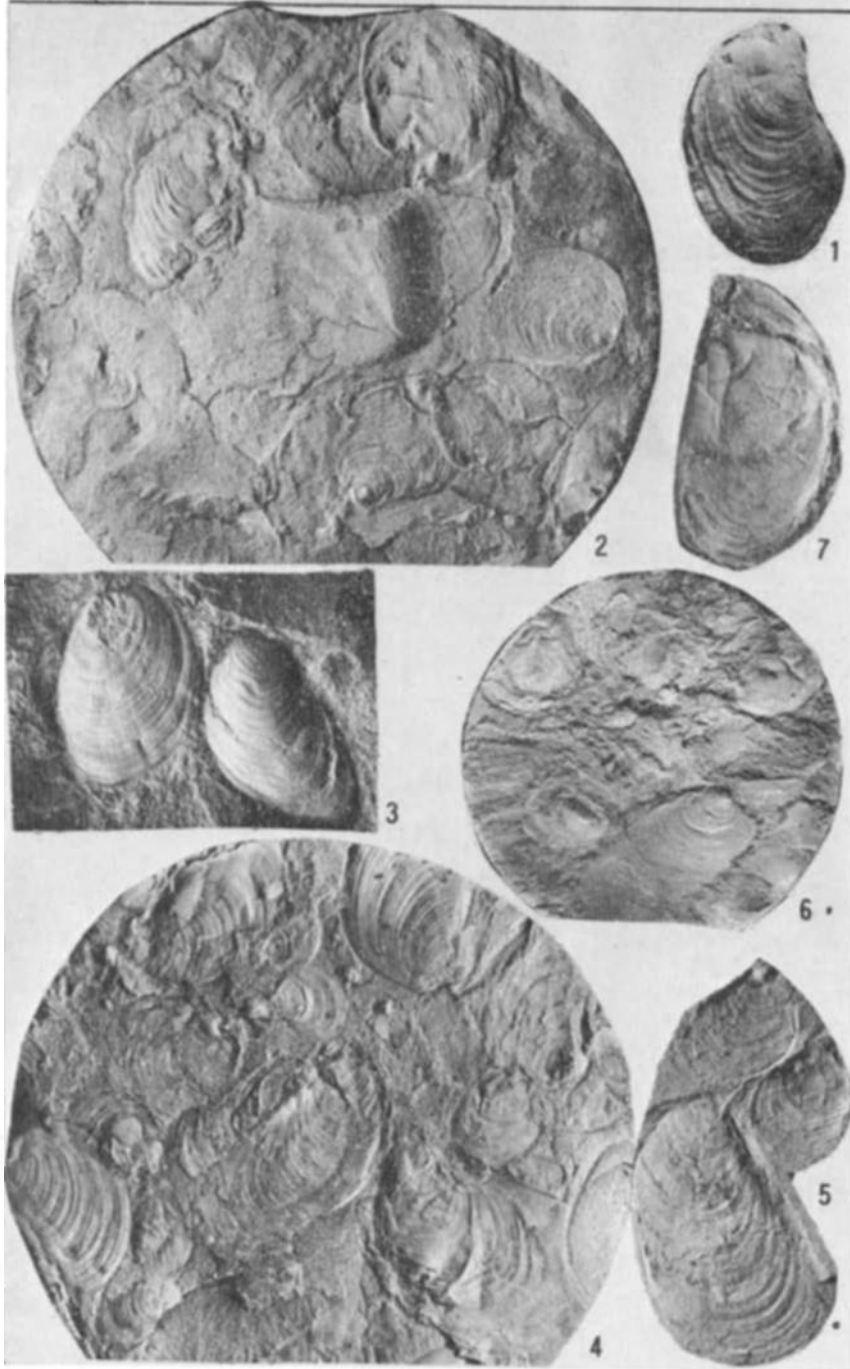


Таблица 18

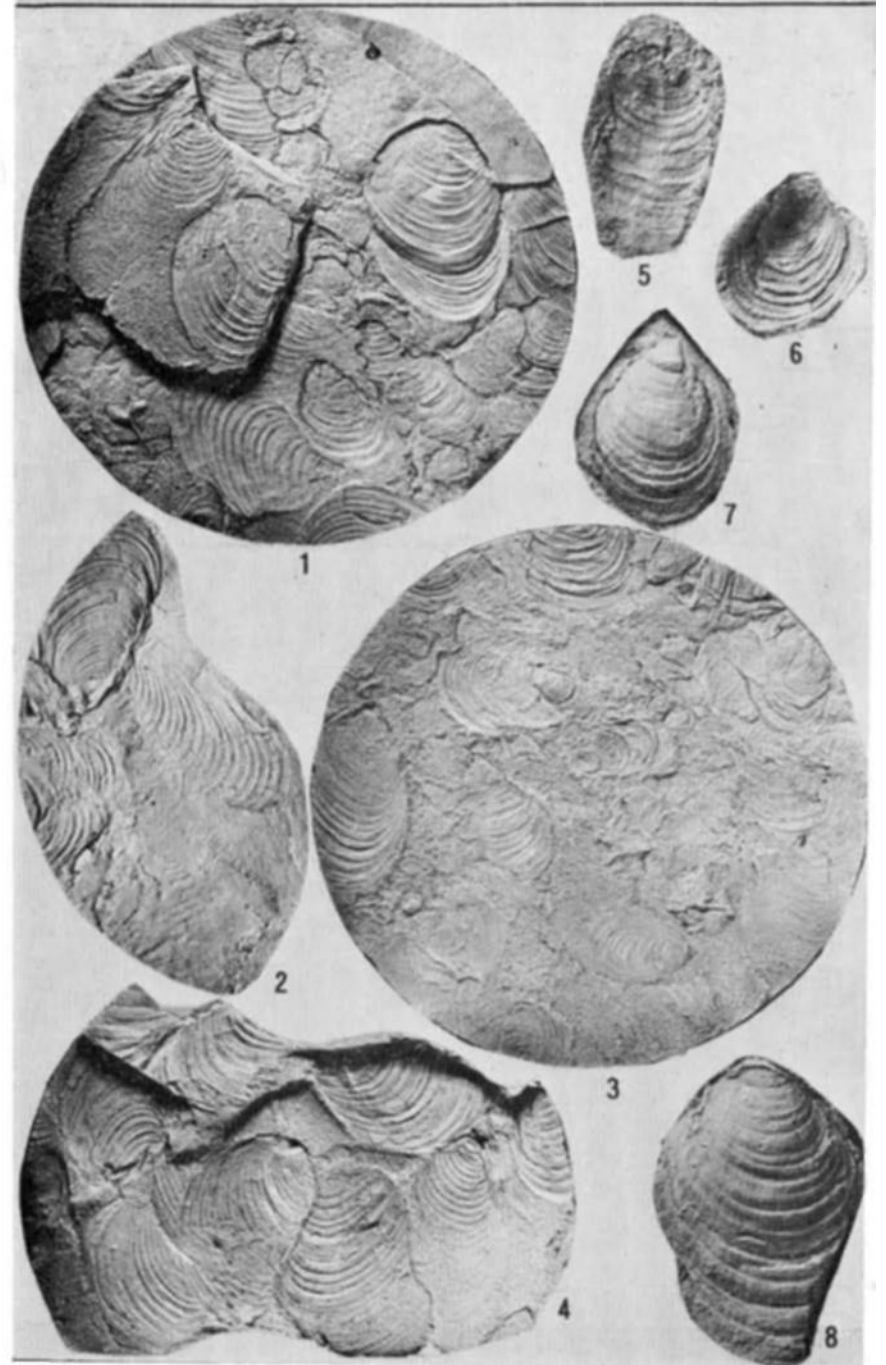


Таблица 19

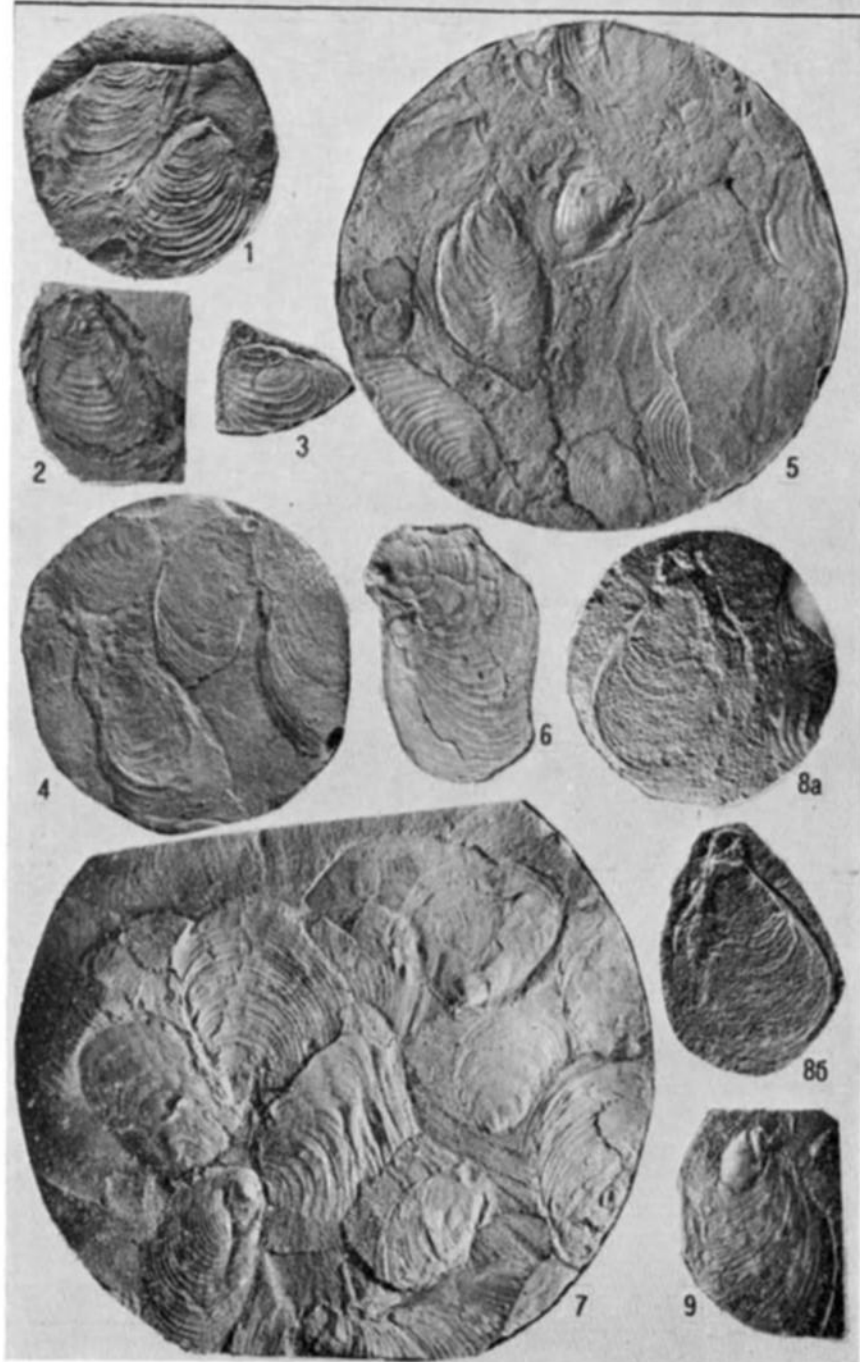


Таблица 20

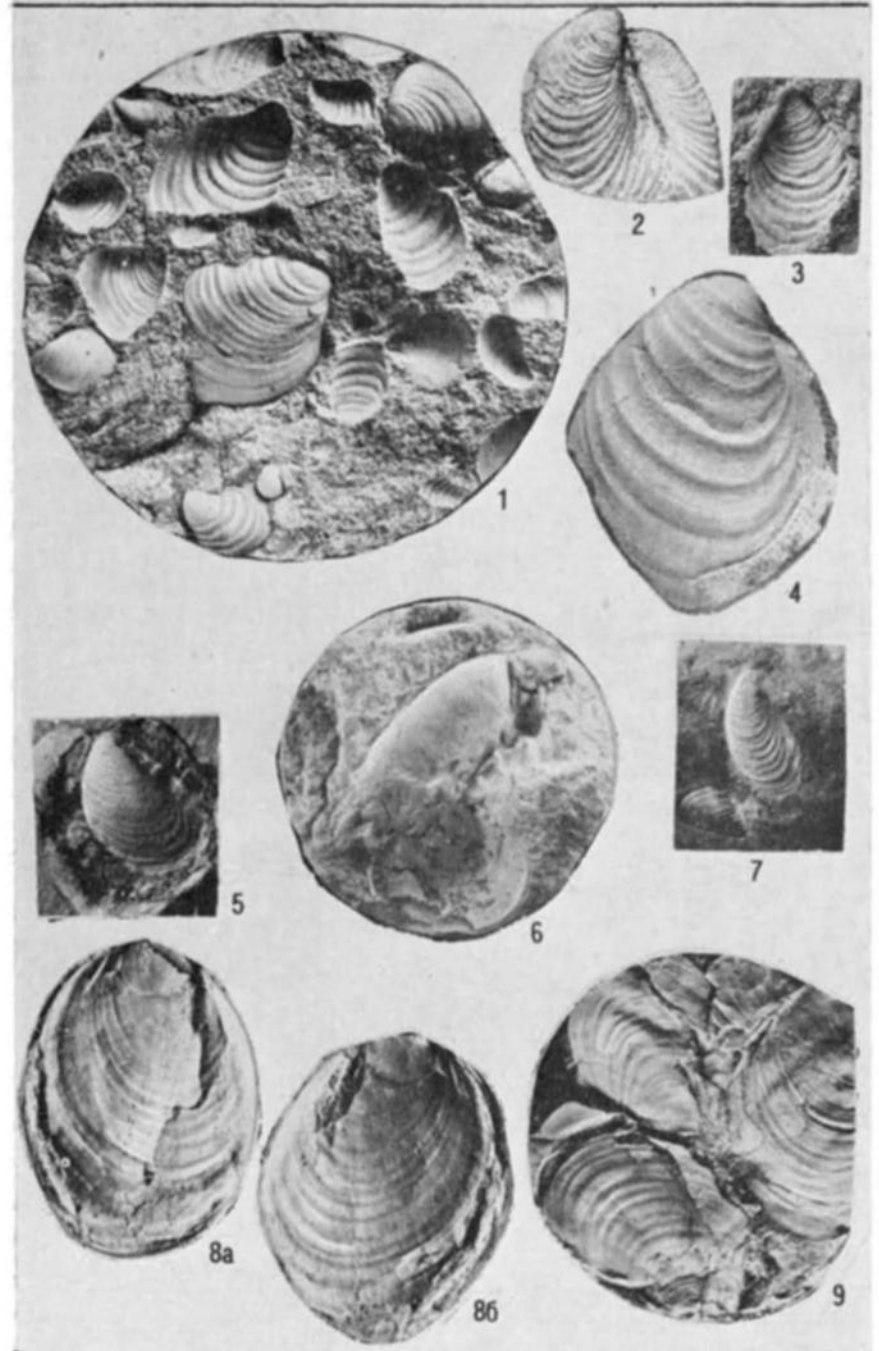


Таблица 21

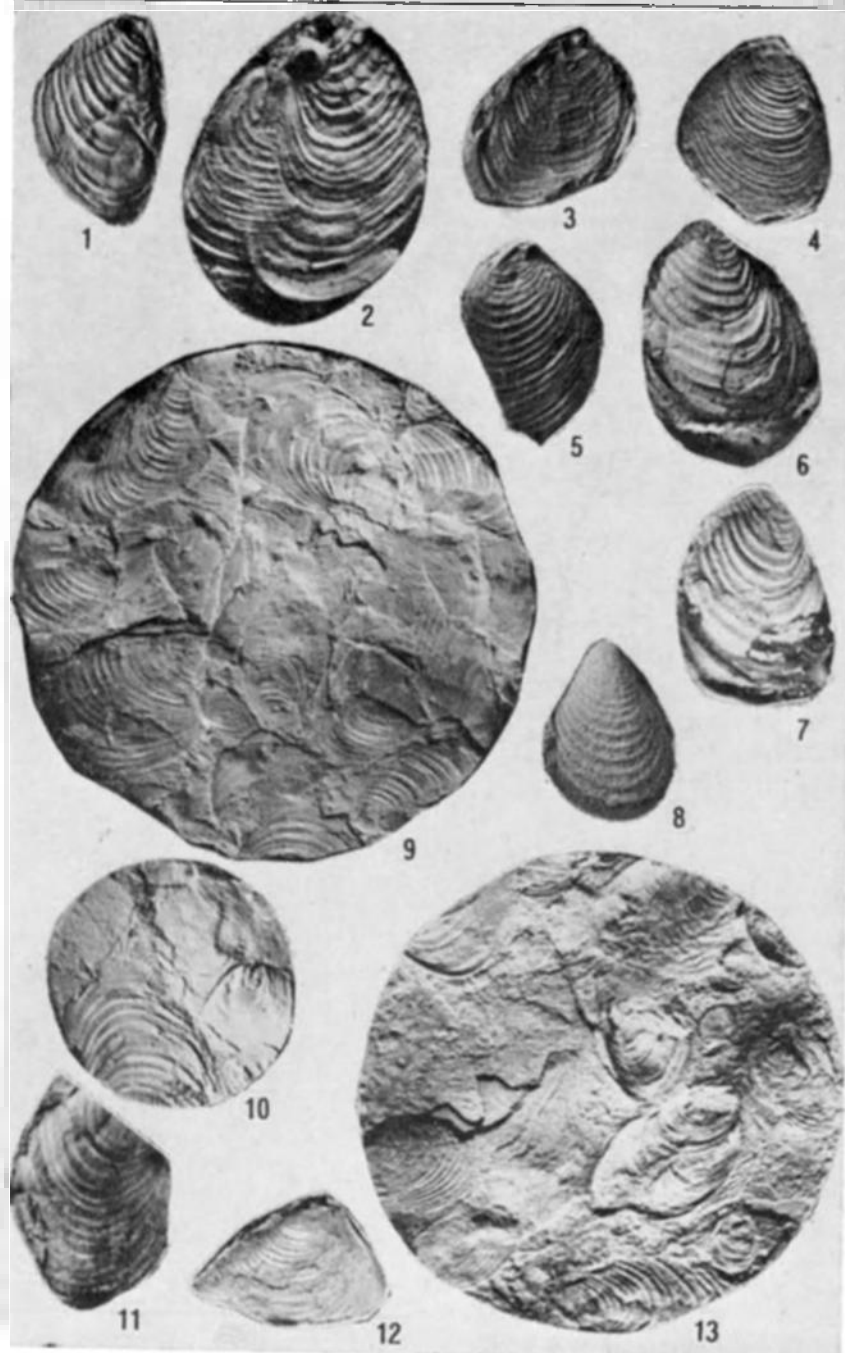


Таблица 22

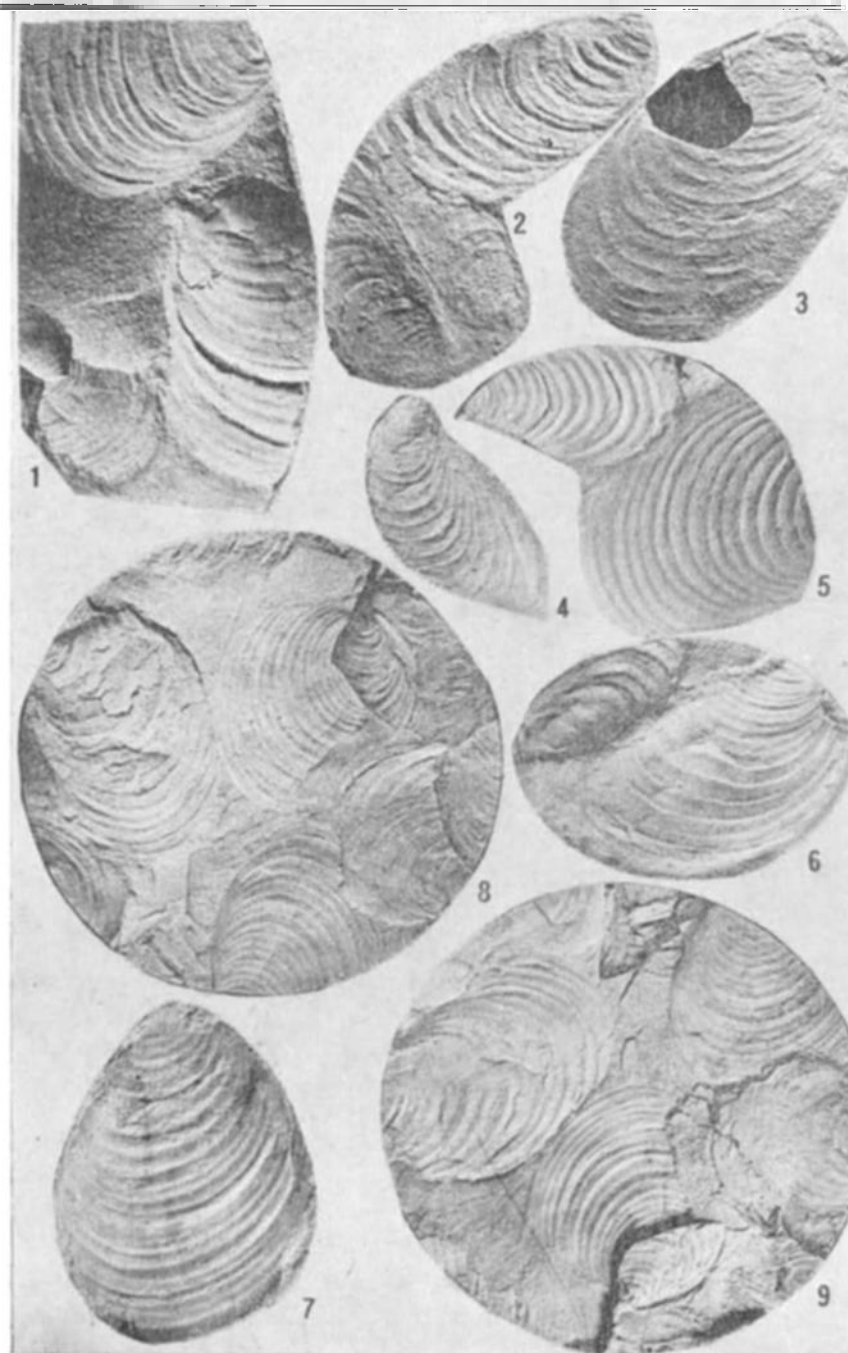


Таблица 23

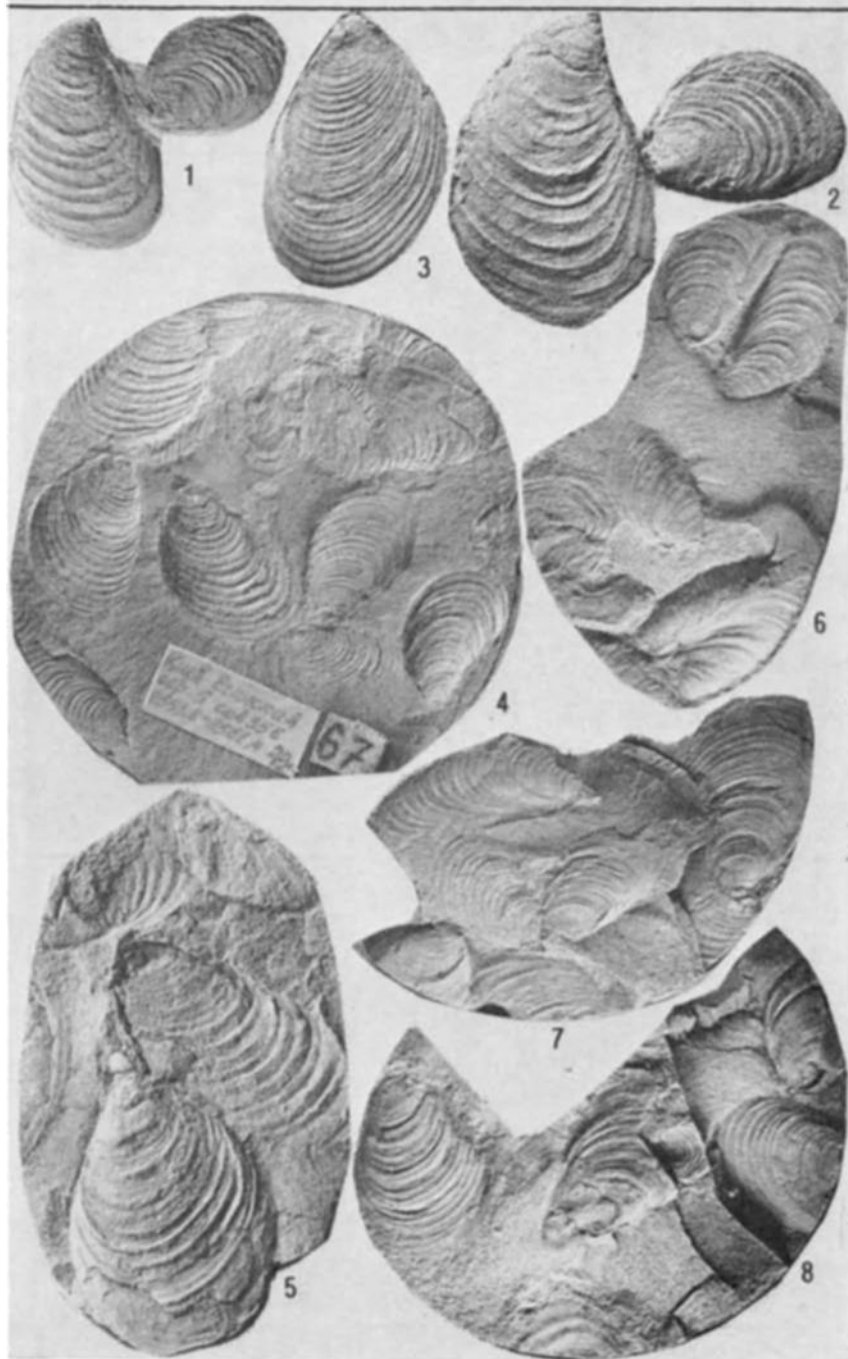


Таблица 24

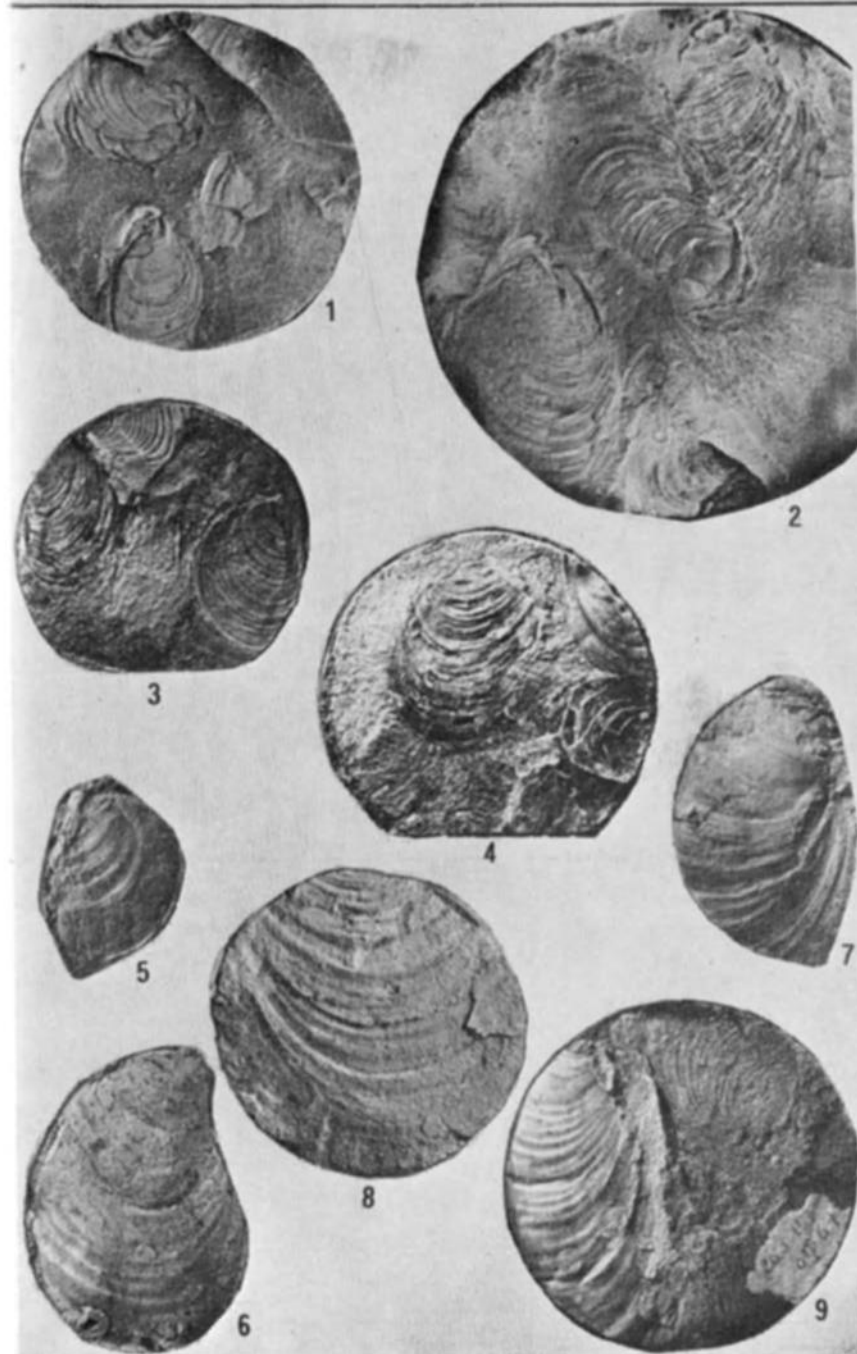




Таблица 25

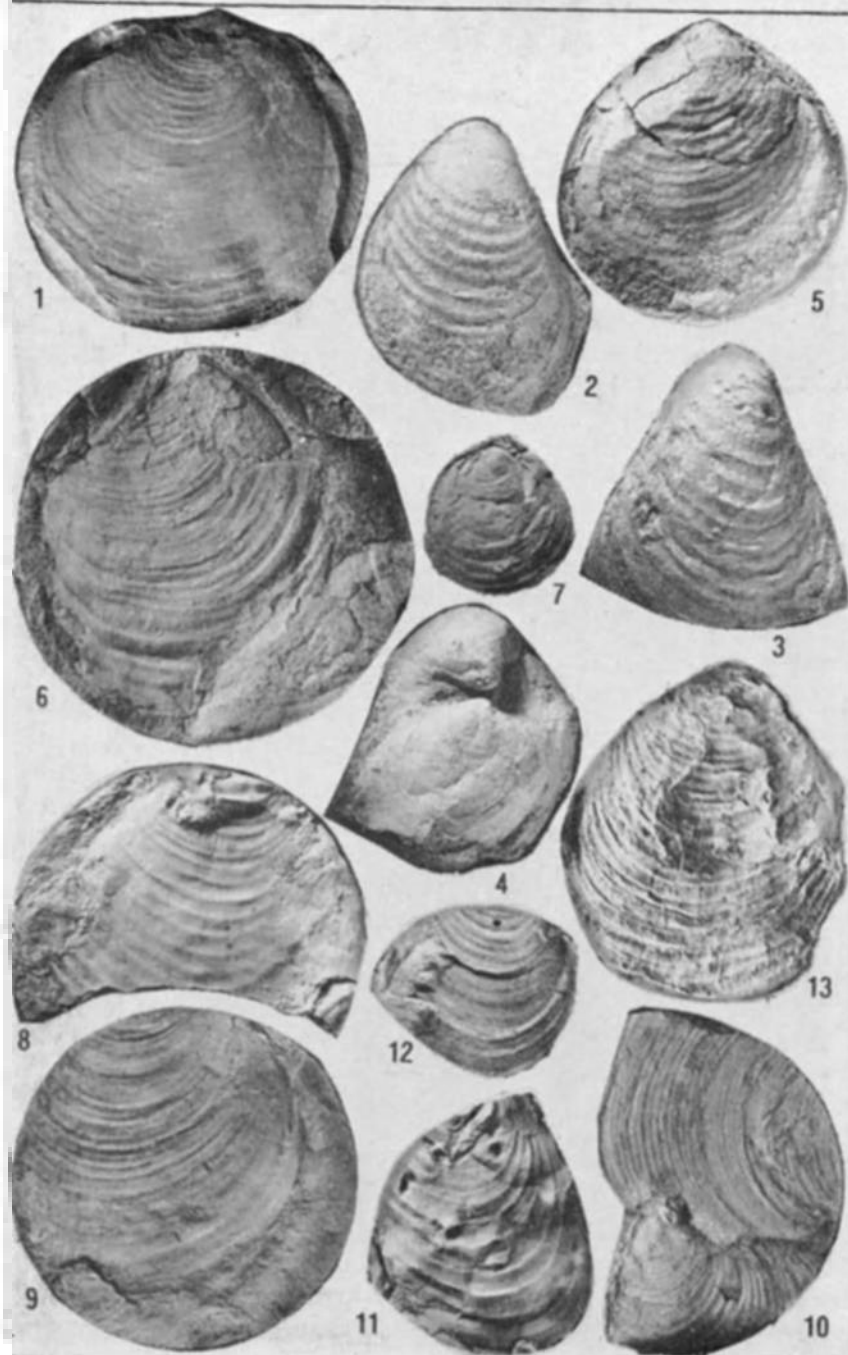


Таблица 26

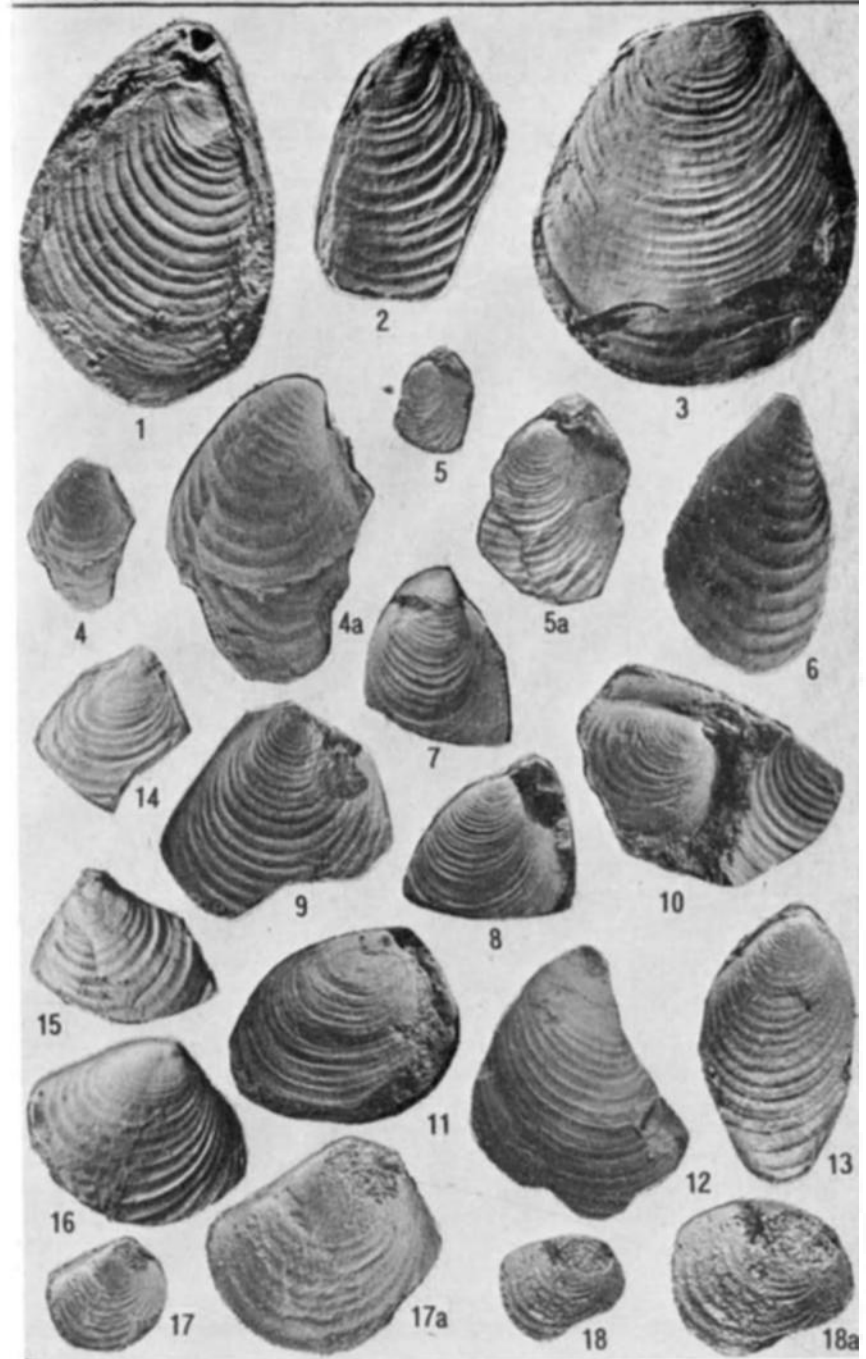


Таблица 27

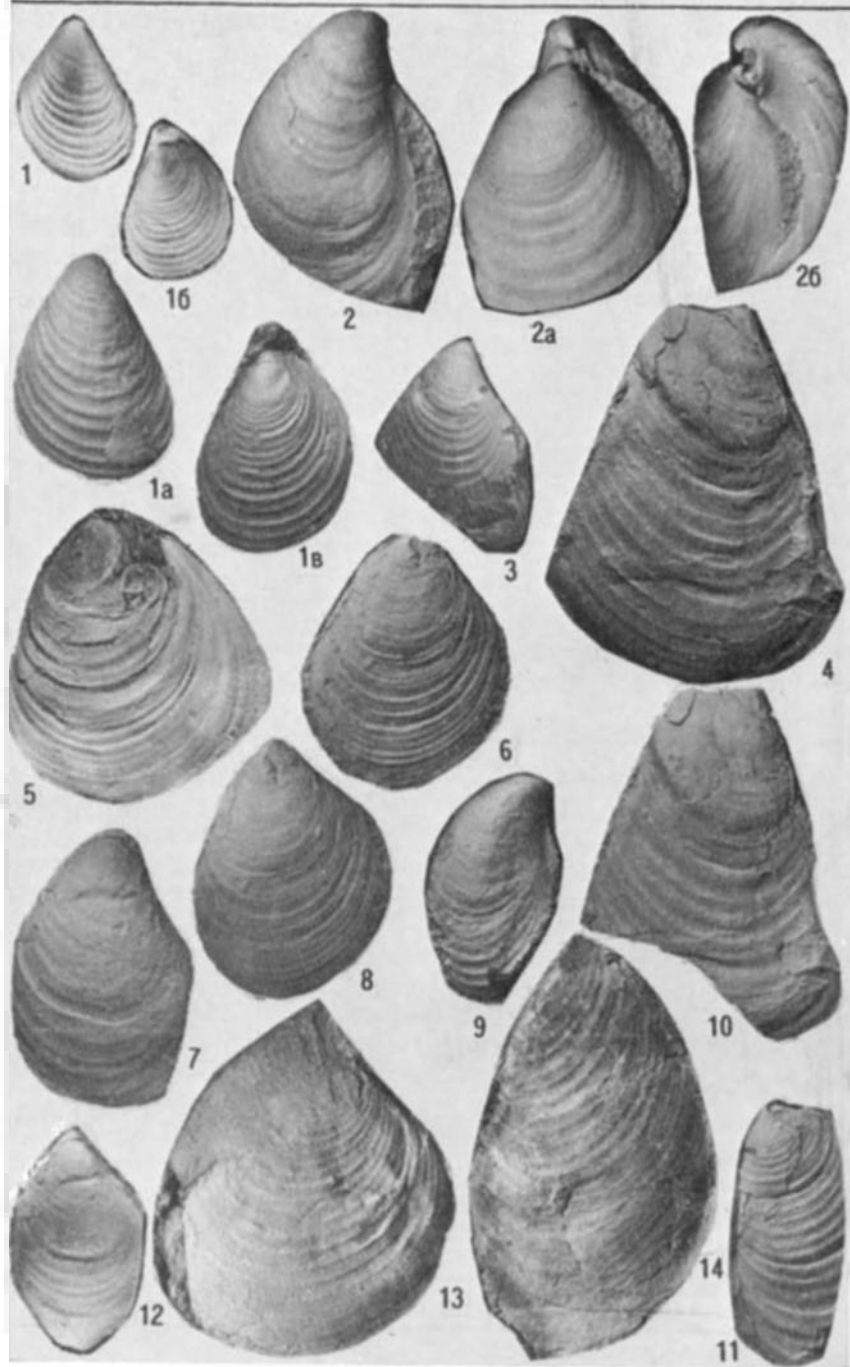


Таблица 28

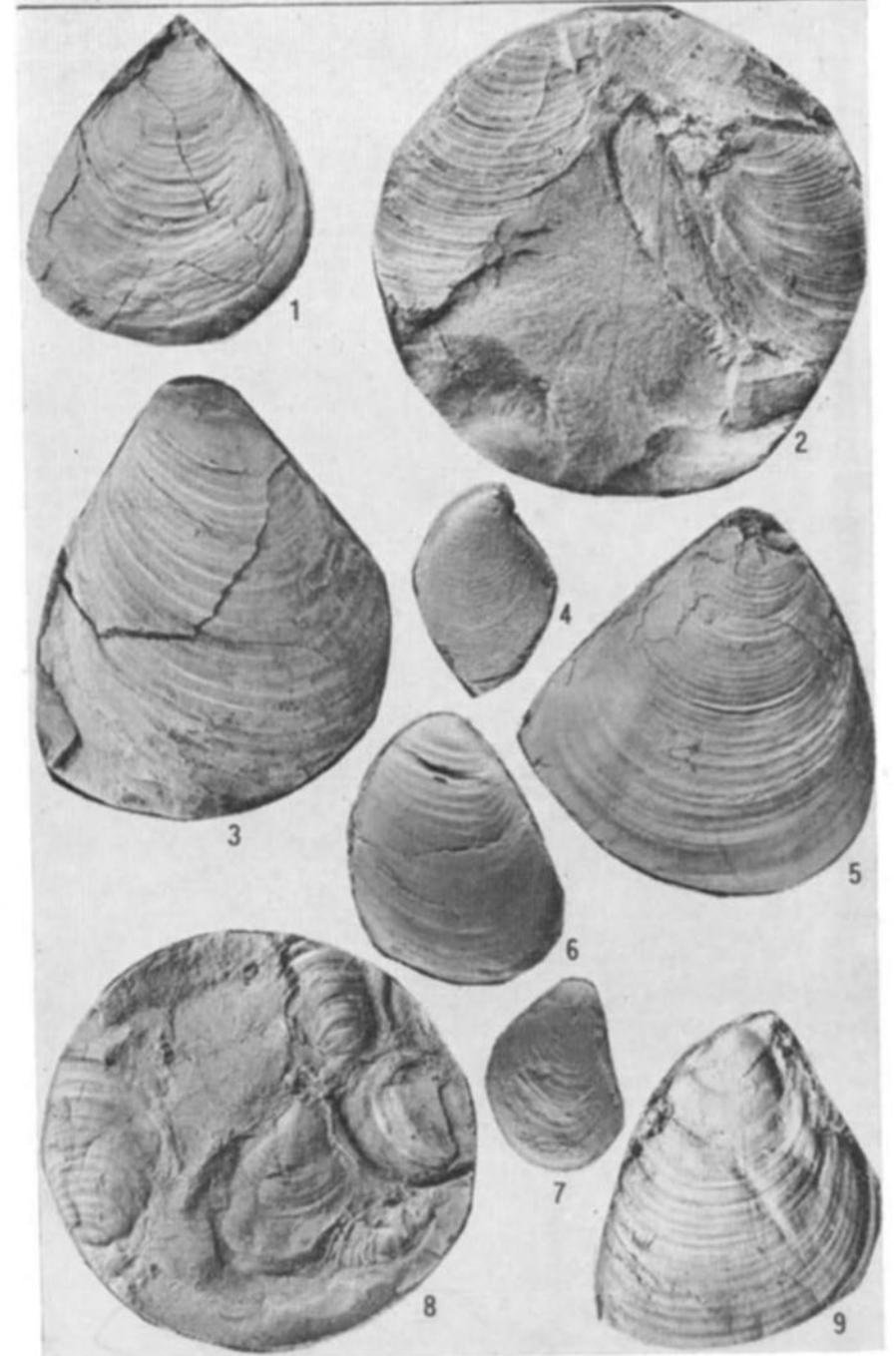


Таблица 29

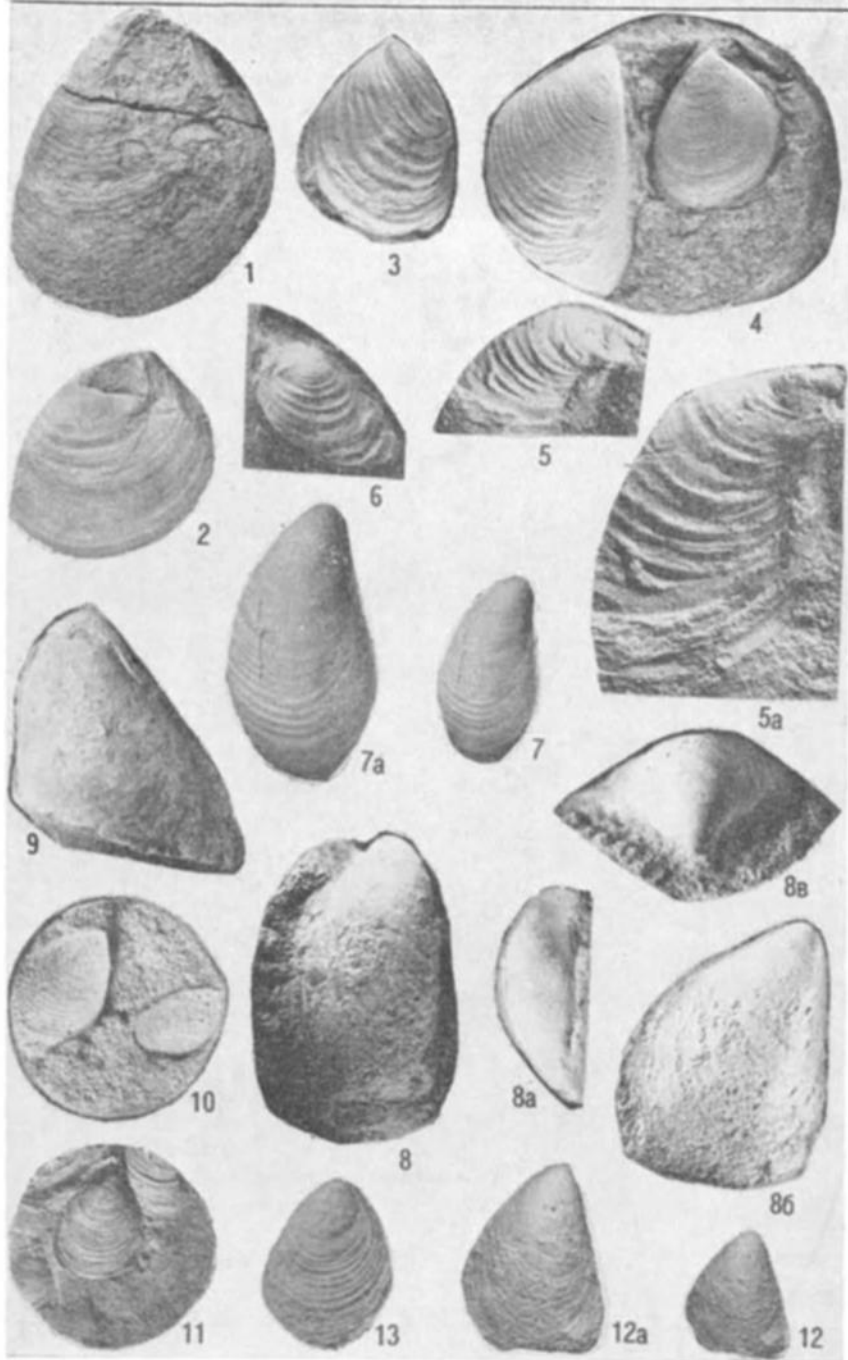


Таблица 30

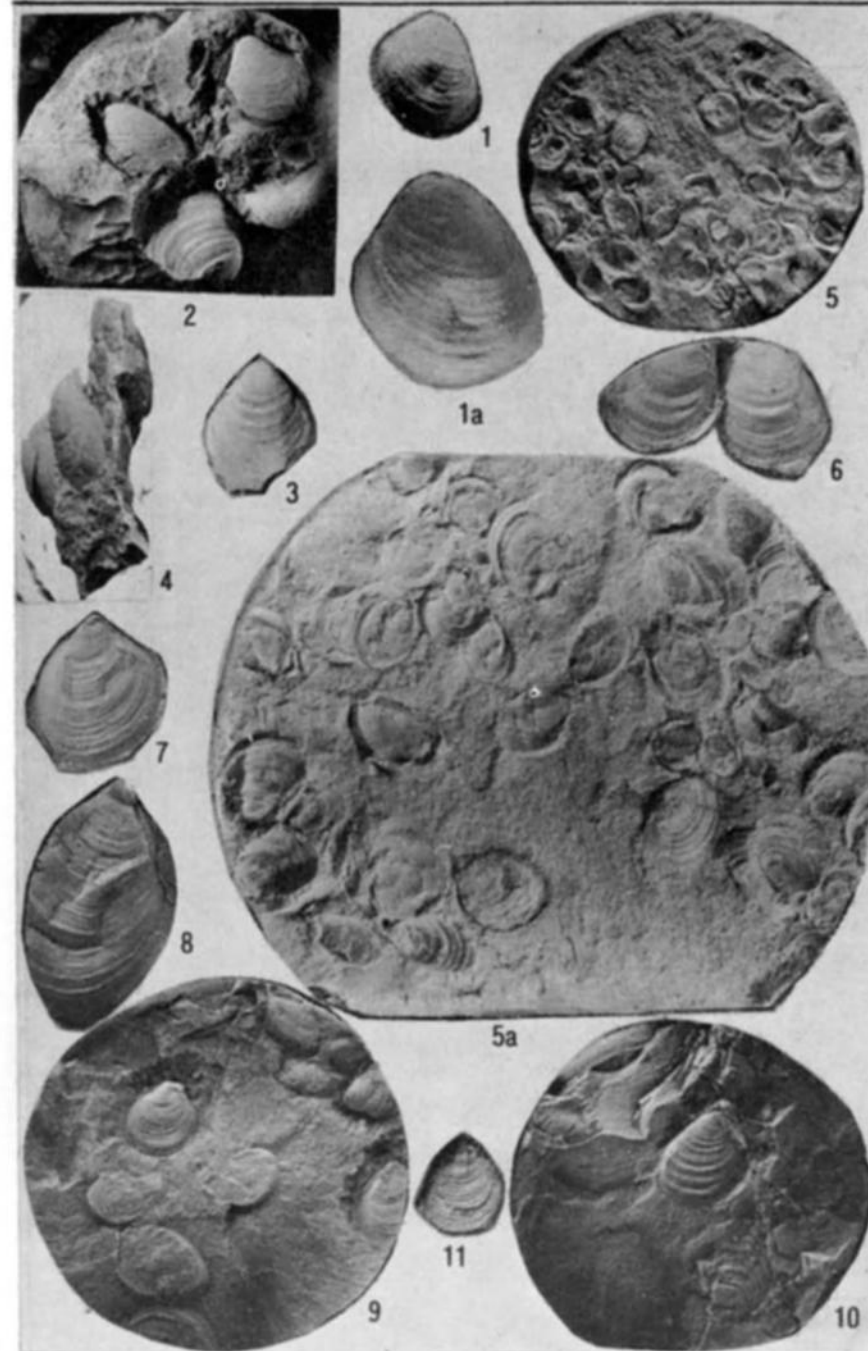


Таблица 31

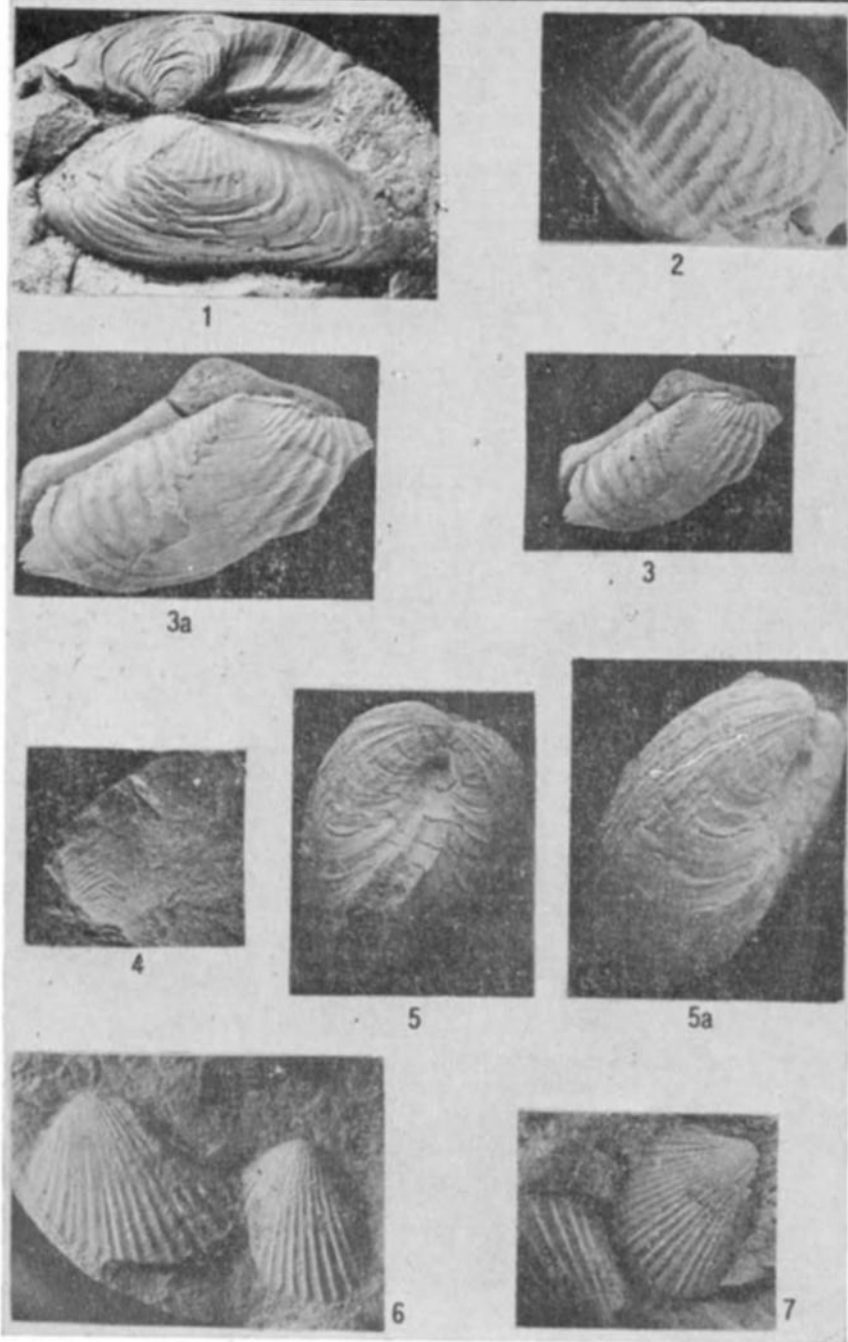


Таблица 32

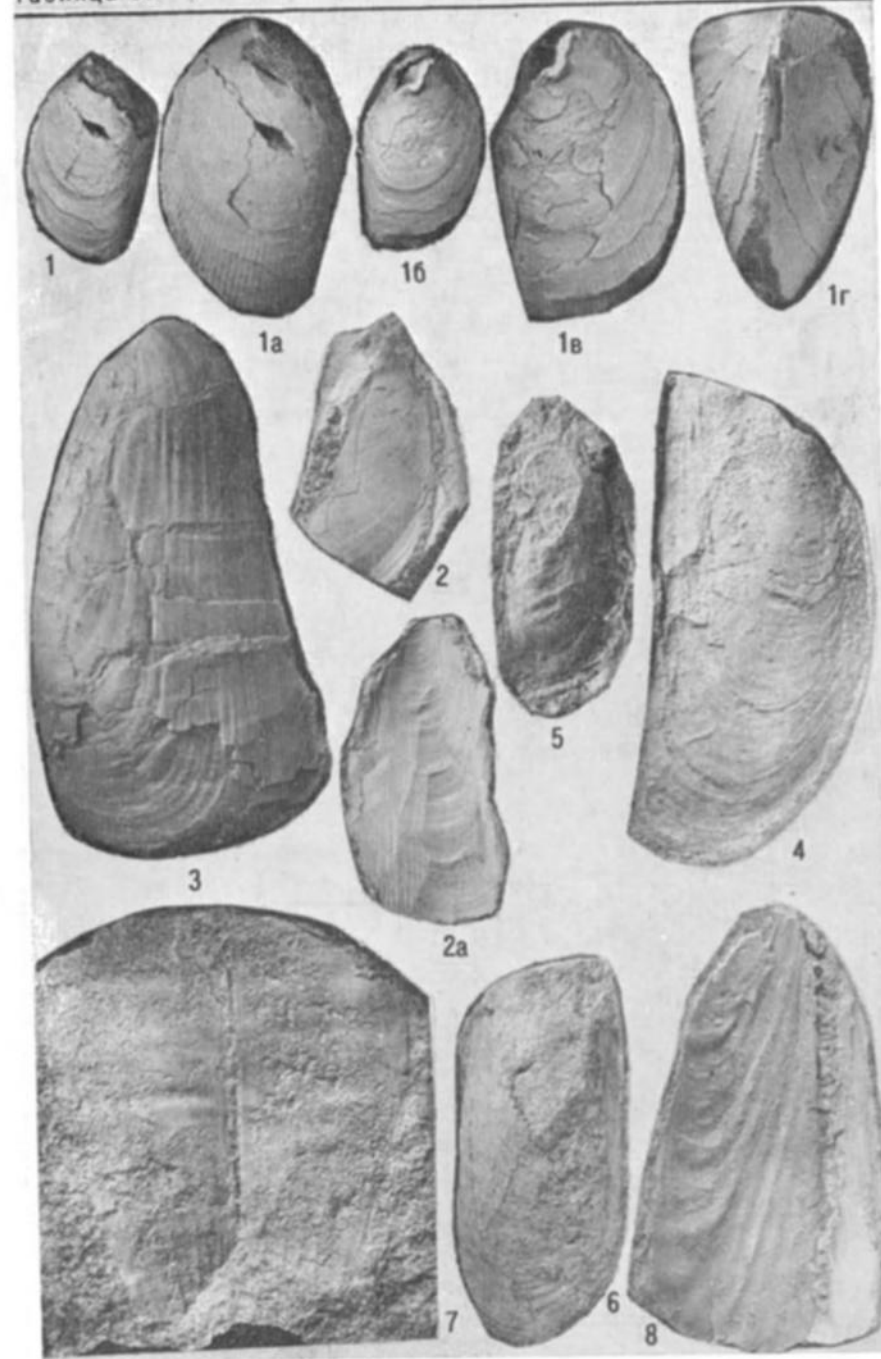


Таблица 33

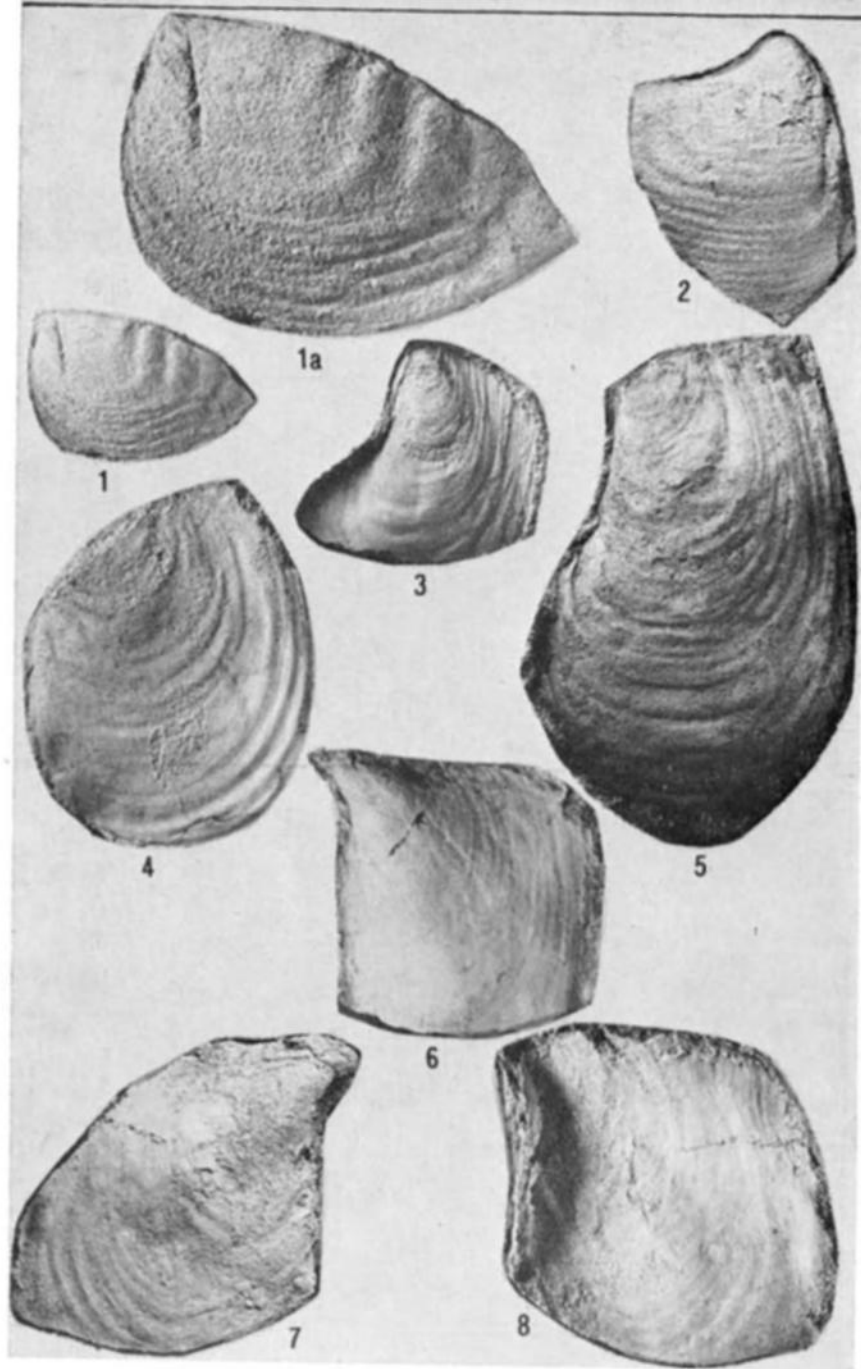


Таблица 34

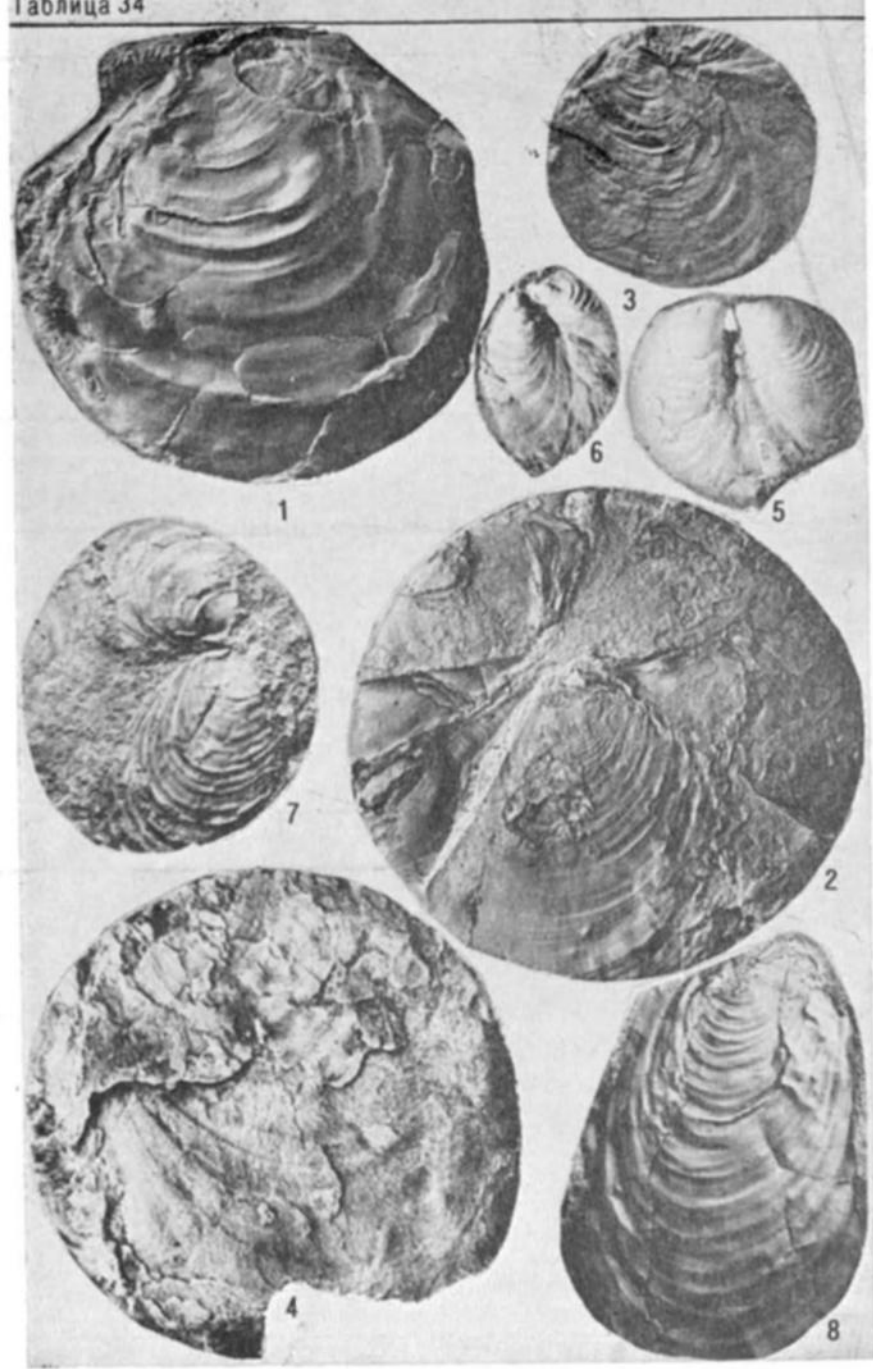


Таблица 35

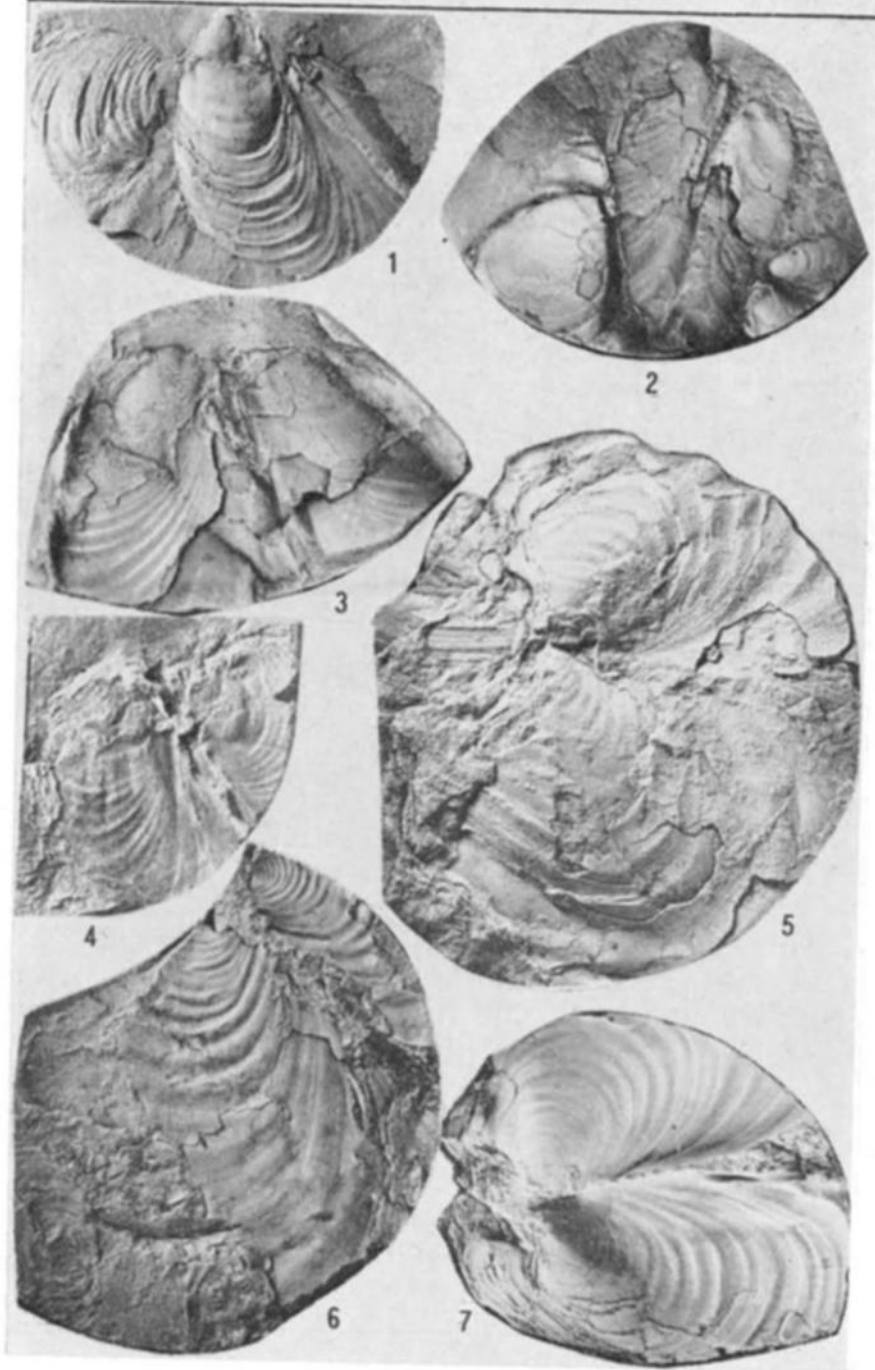


Таблица 36

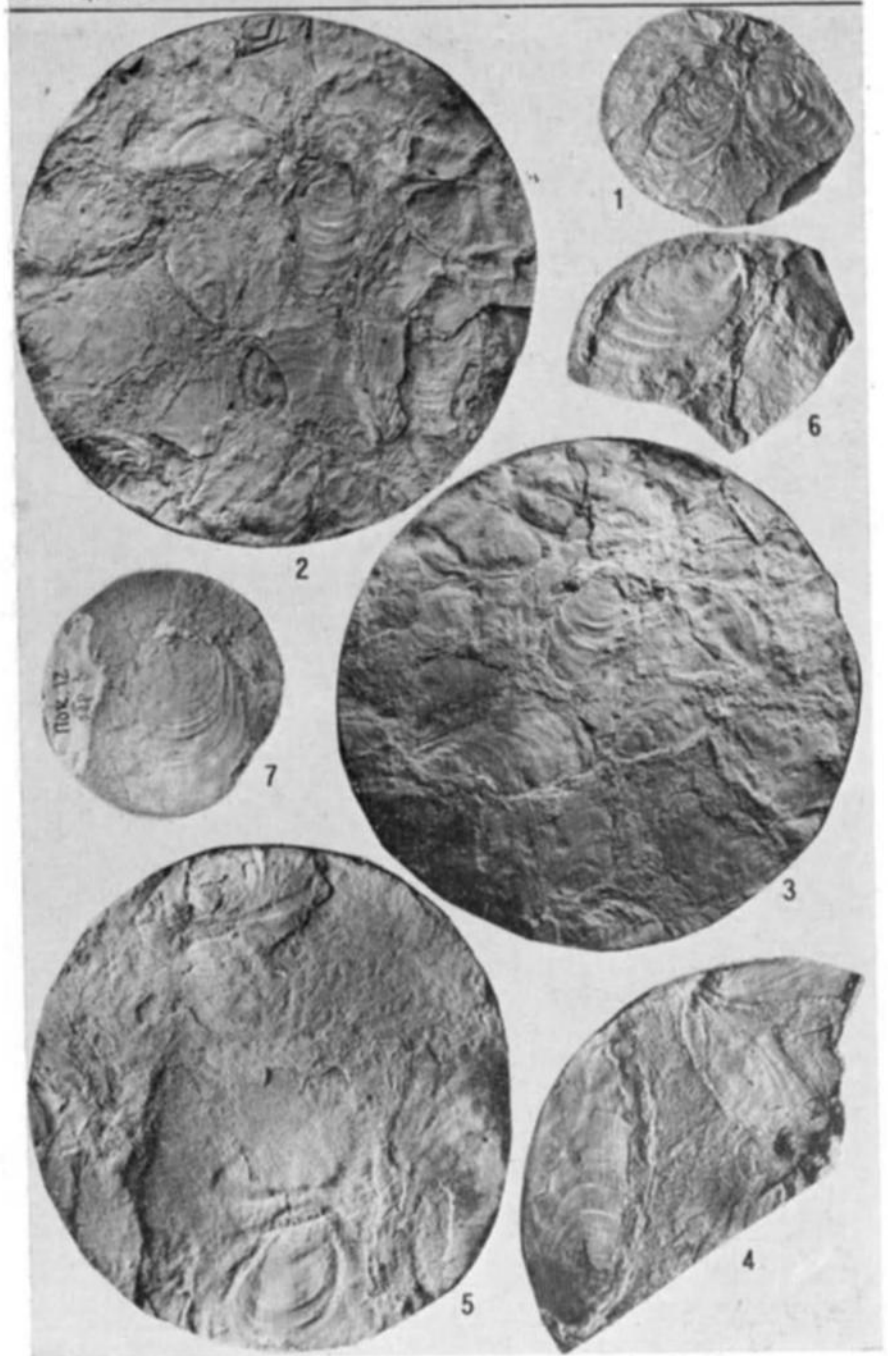


Таблица 37

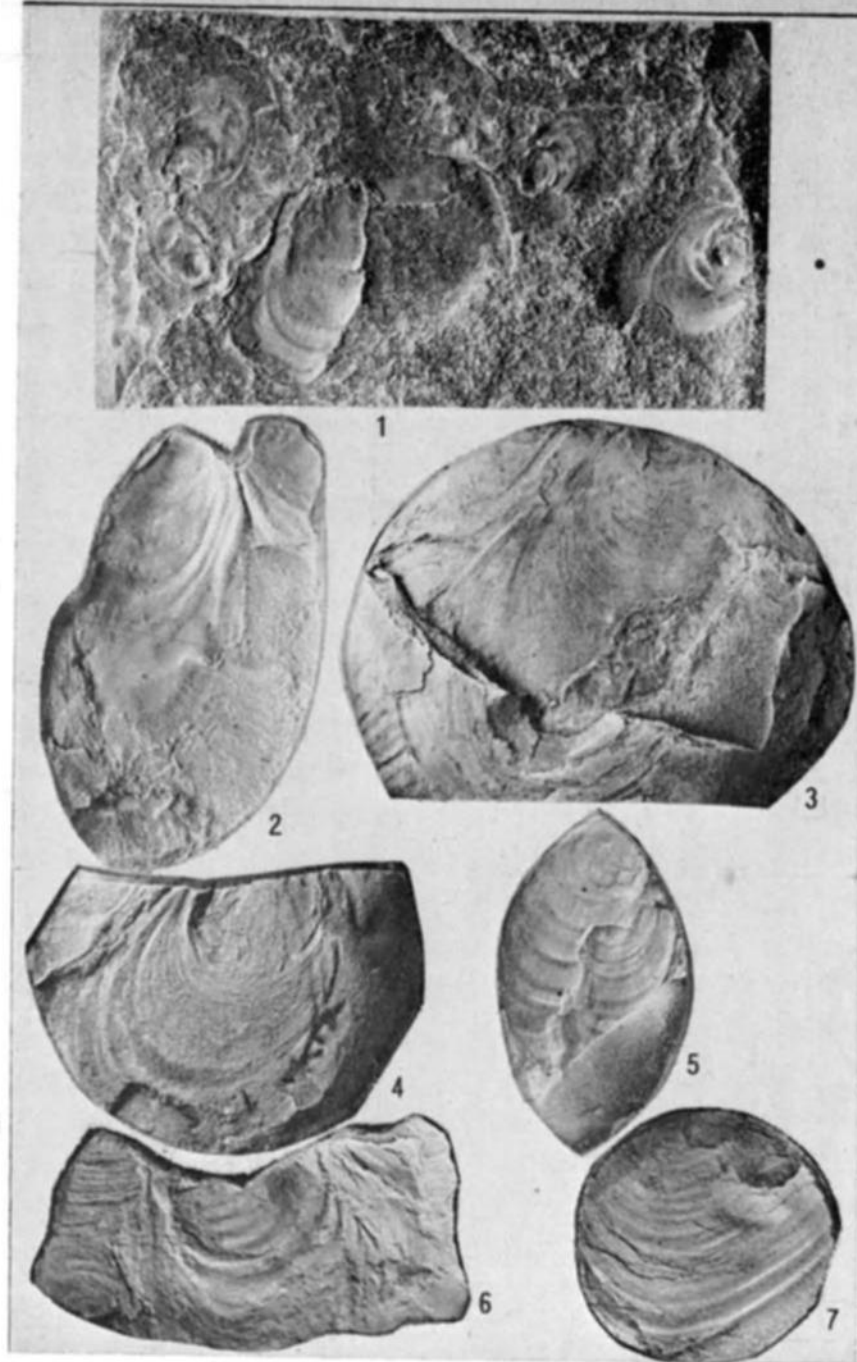


Таблица 38

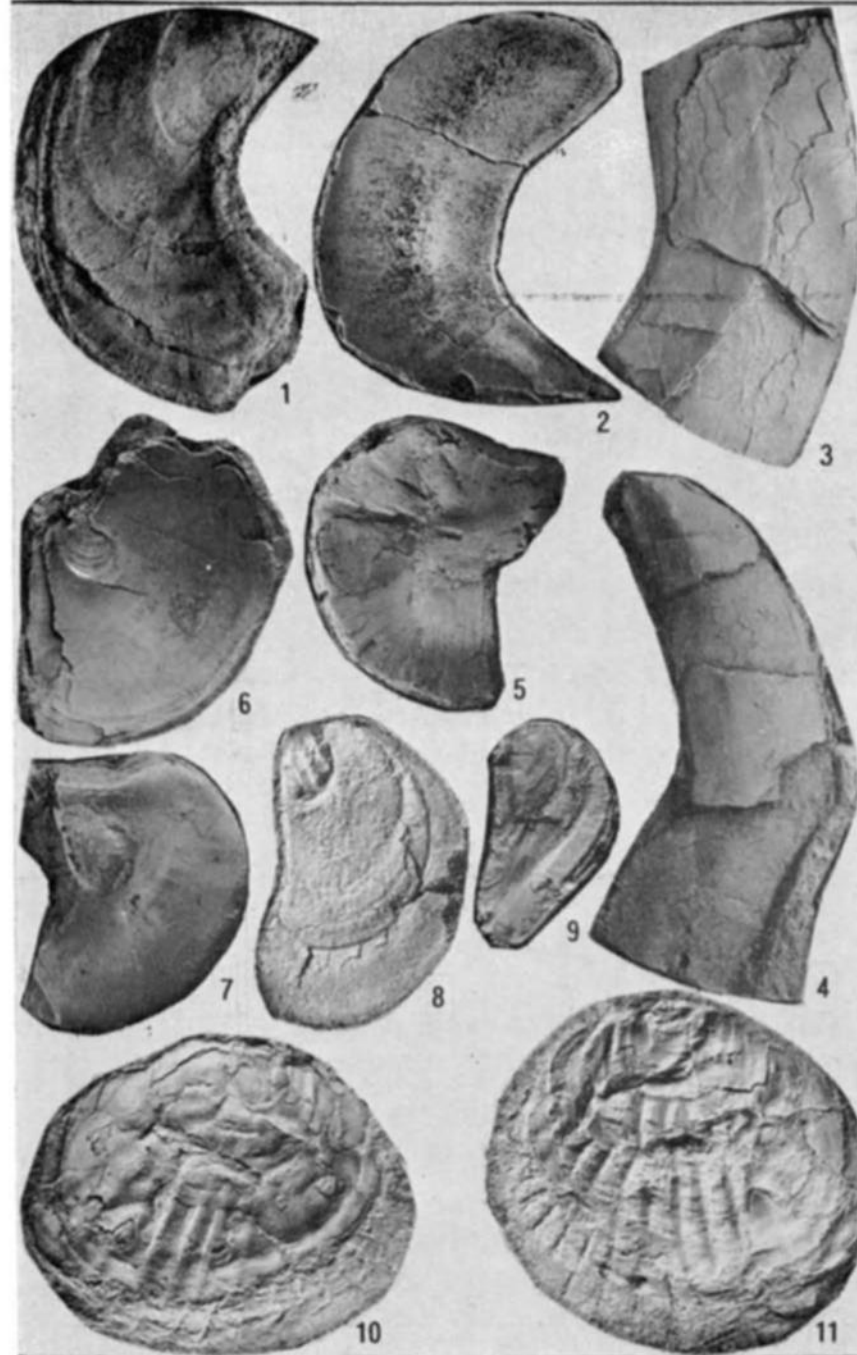


Таблица 39

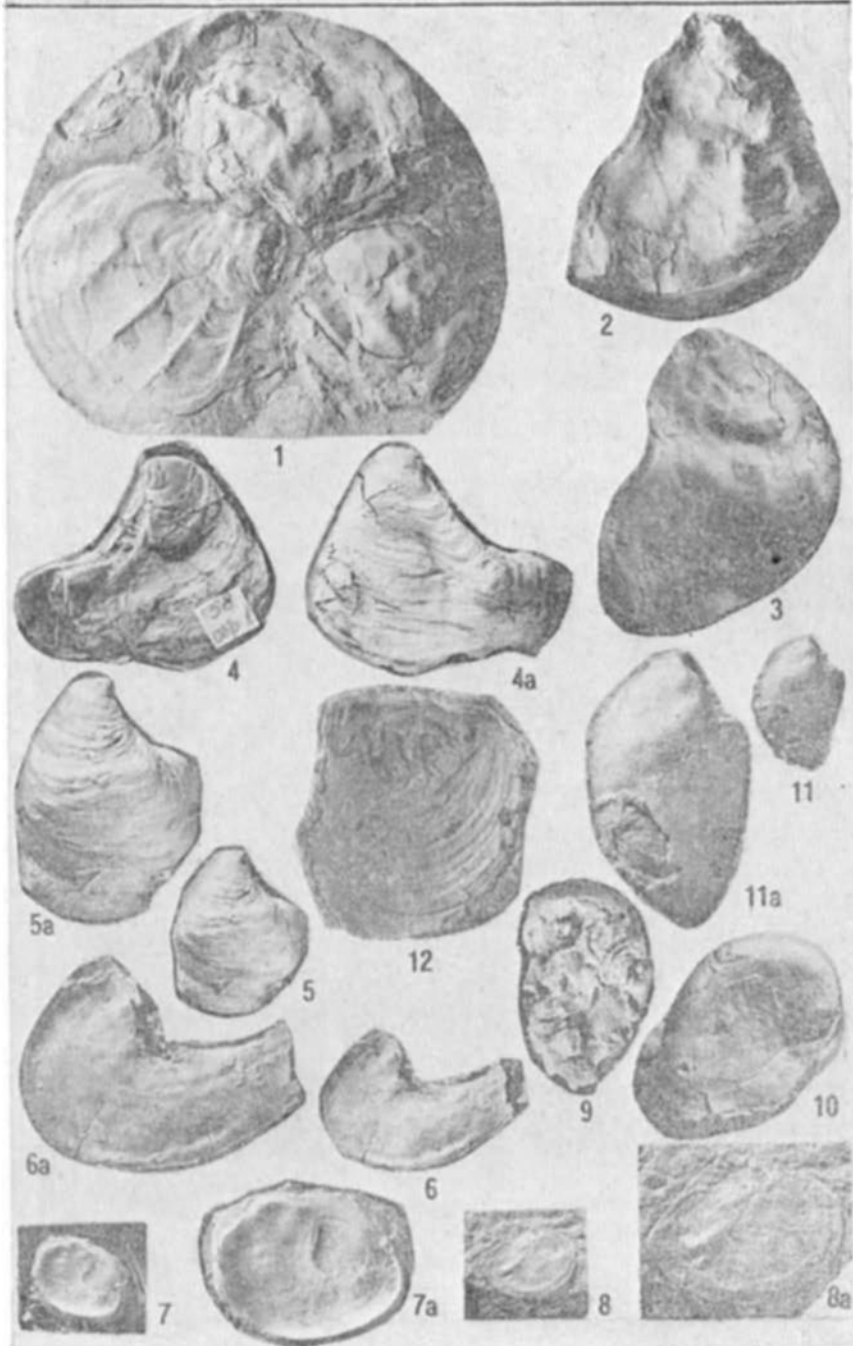


Таблица 40

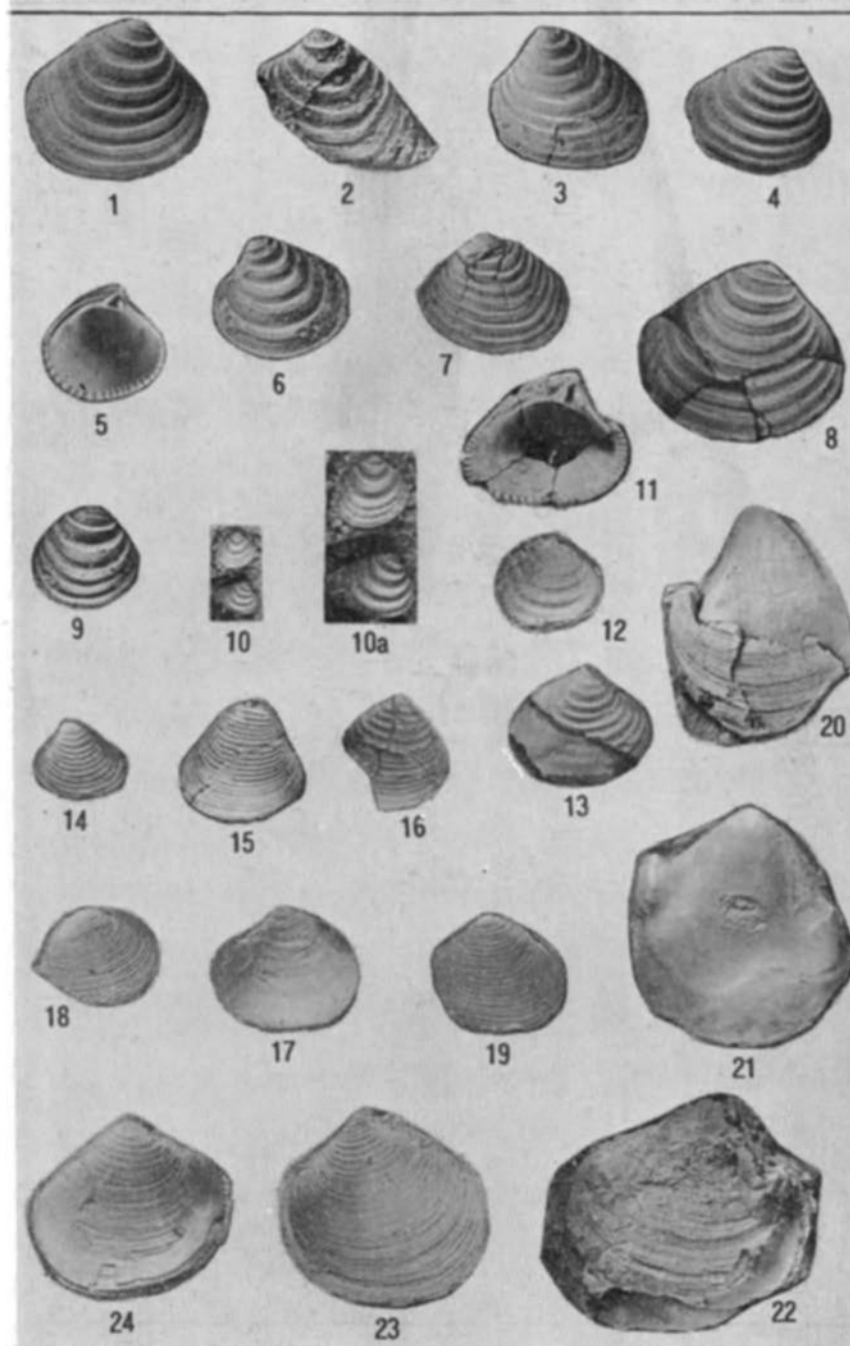




Таблица 41

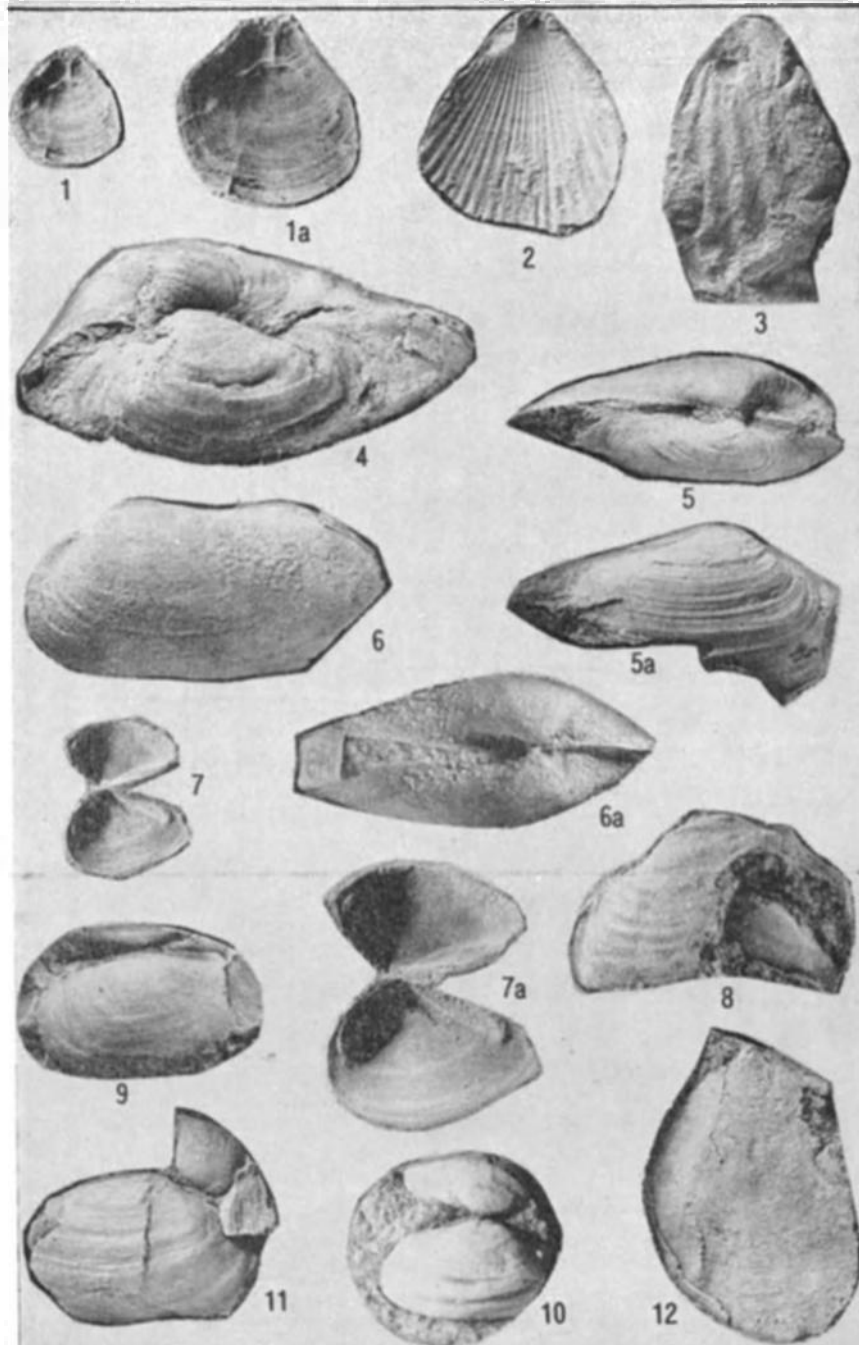


Таблица 42

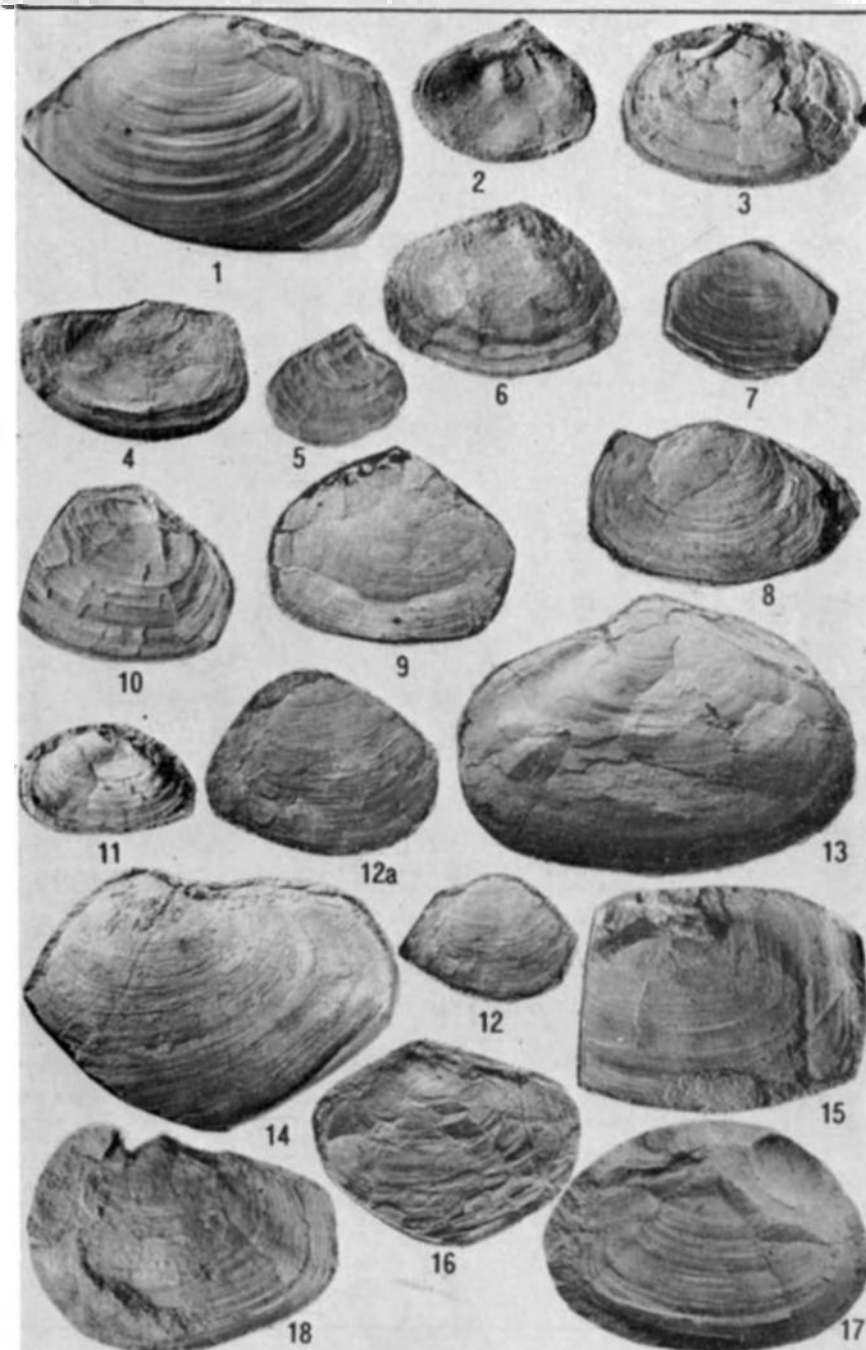


Таблица 43

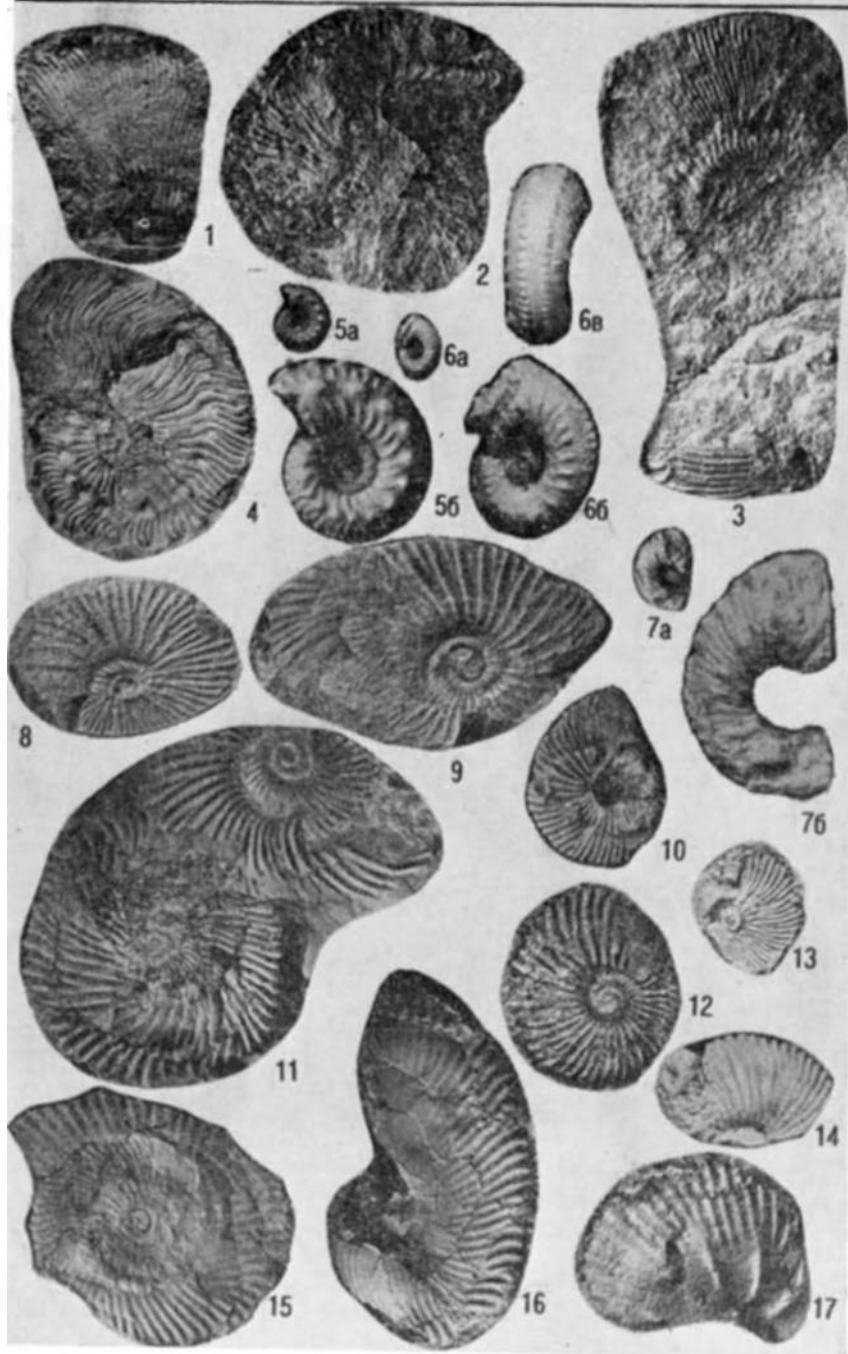


Таблица 44

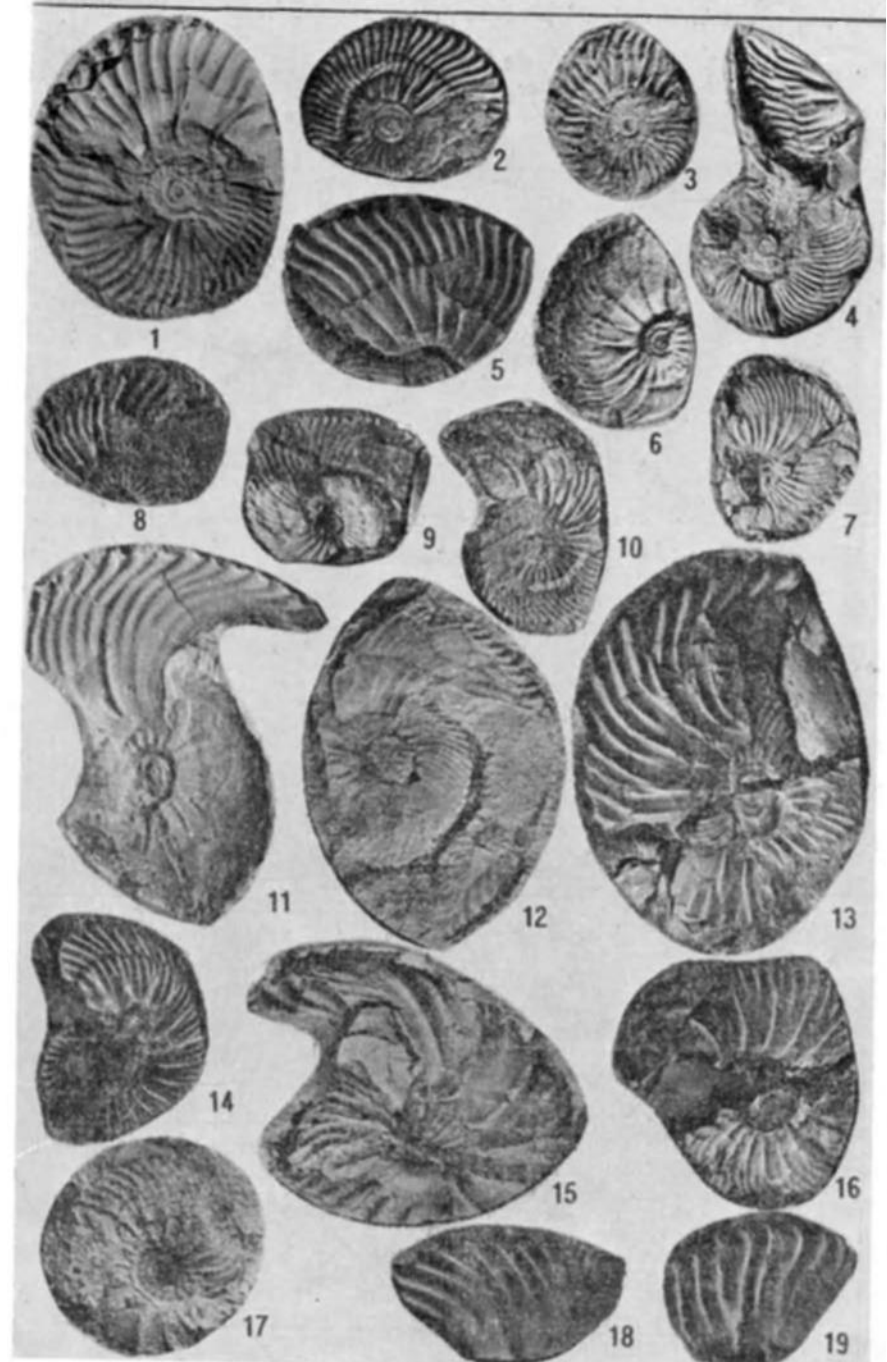


Таблица 45



Таблица 46

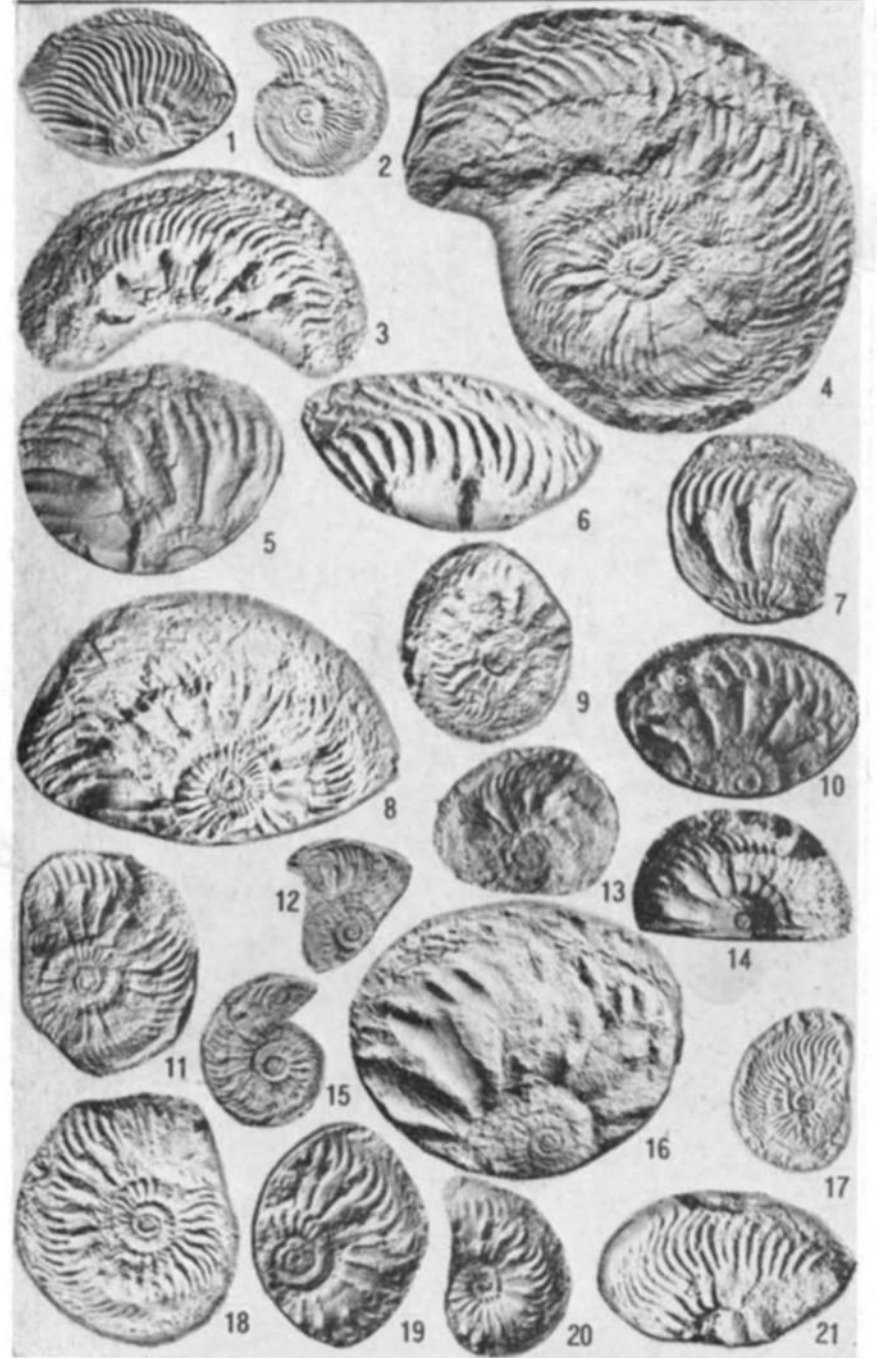


Таблица 47



Таблица 48

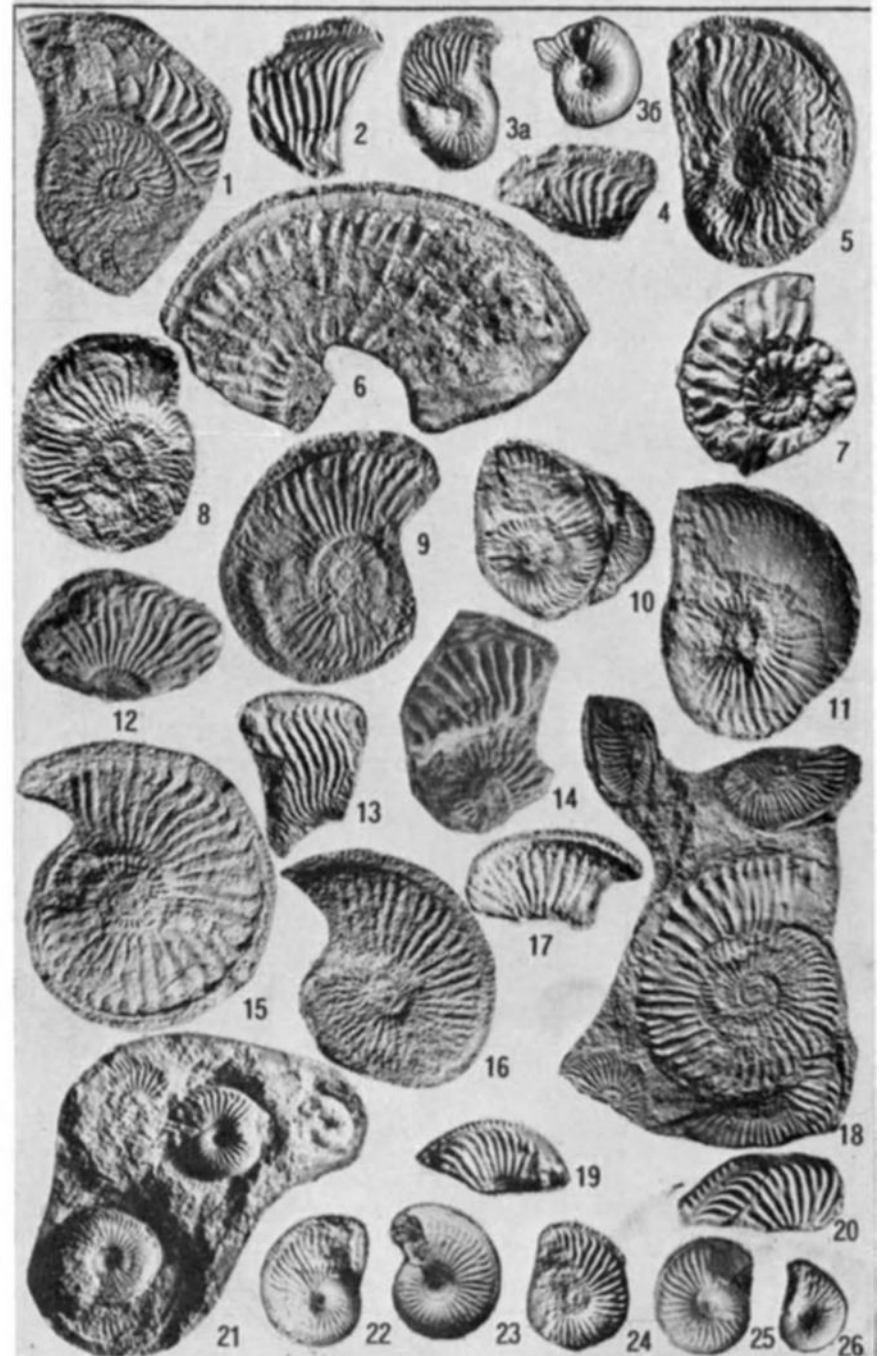


Таблица 49

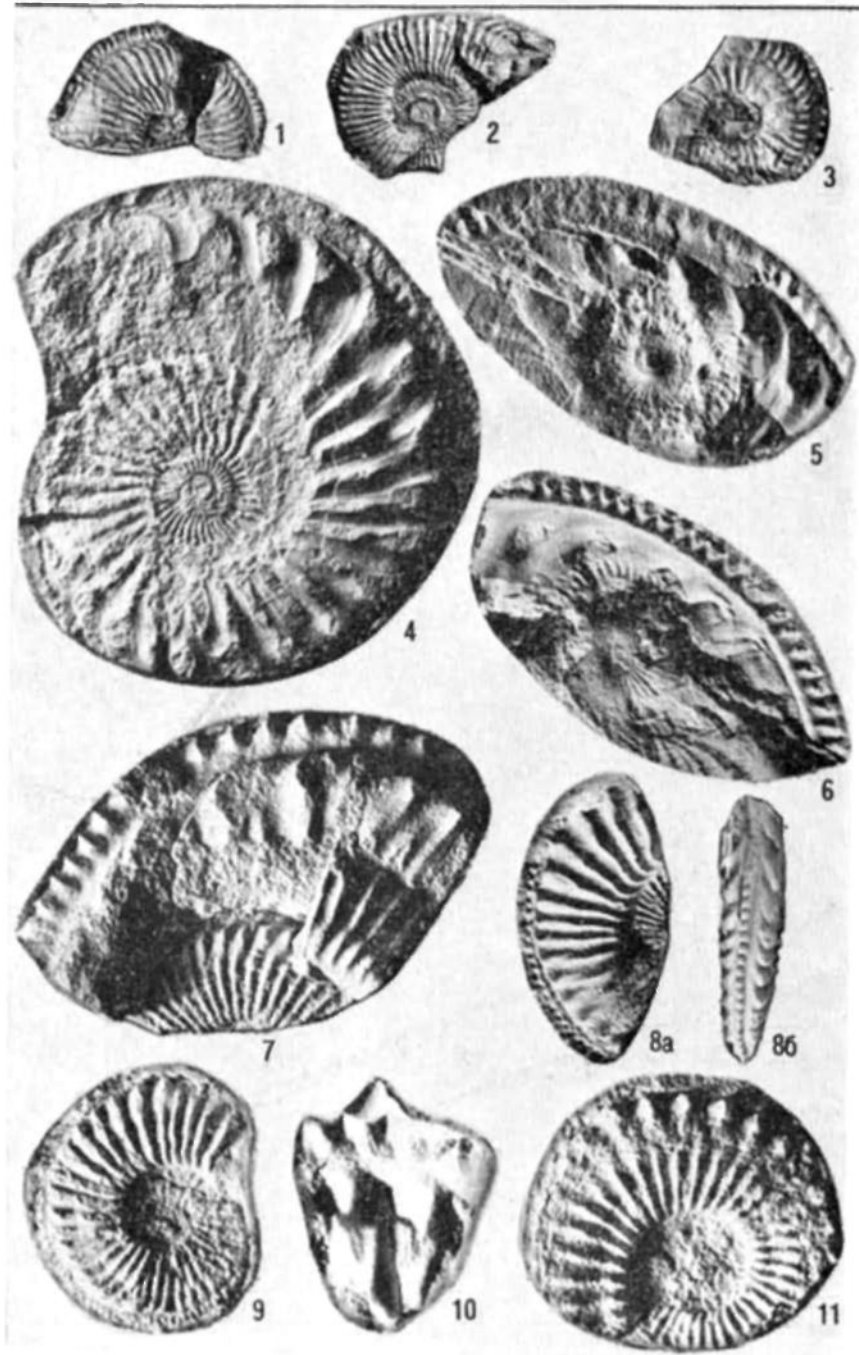


Таблица 50

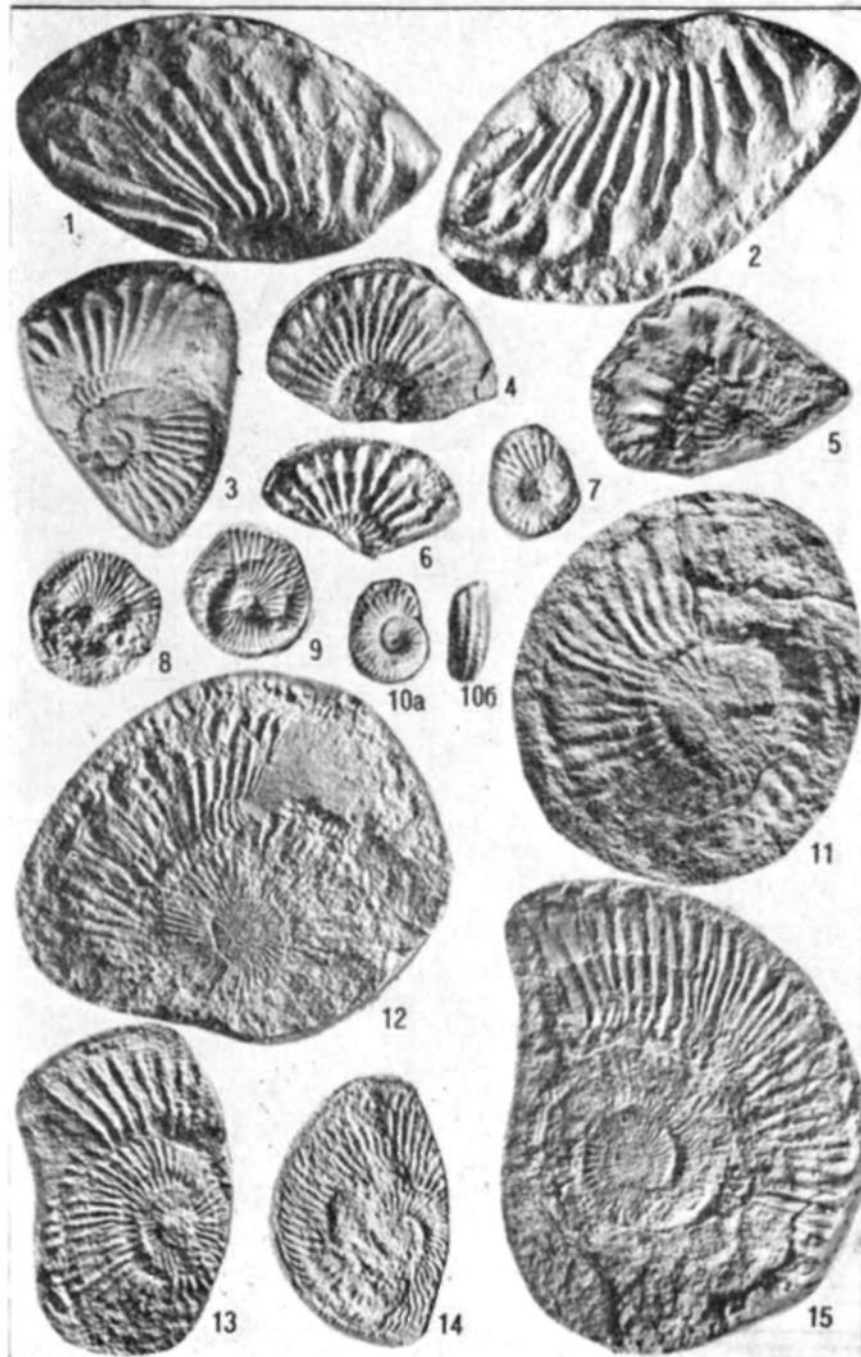


Таблица 51

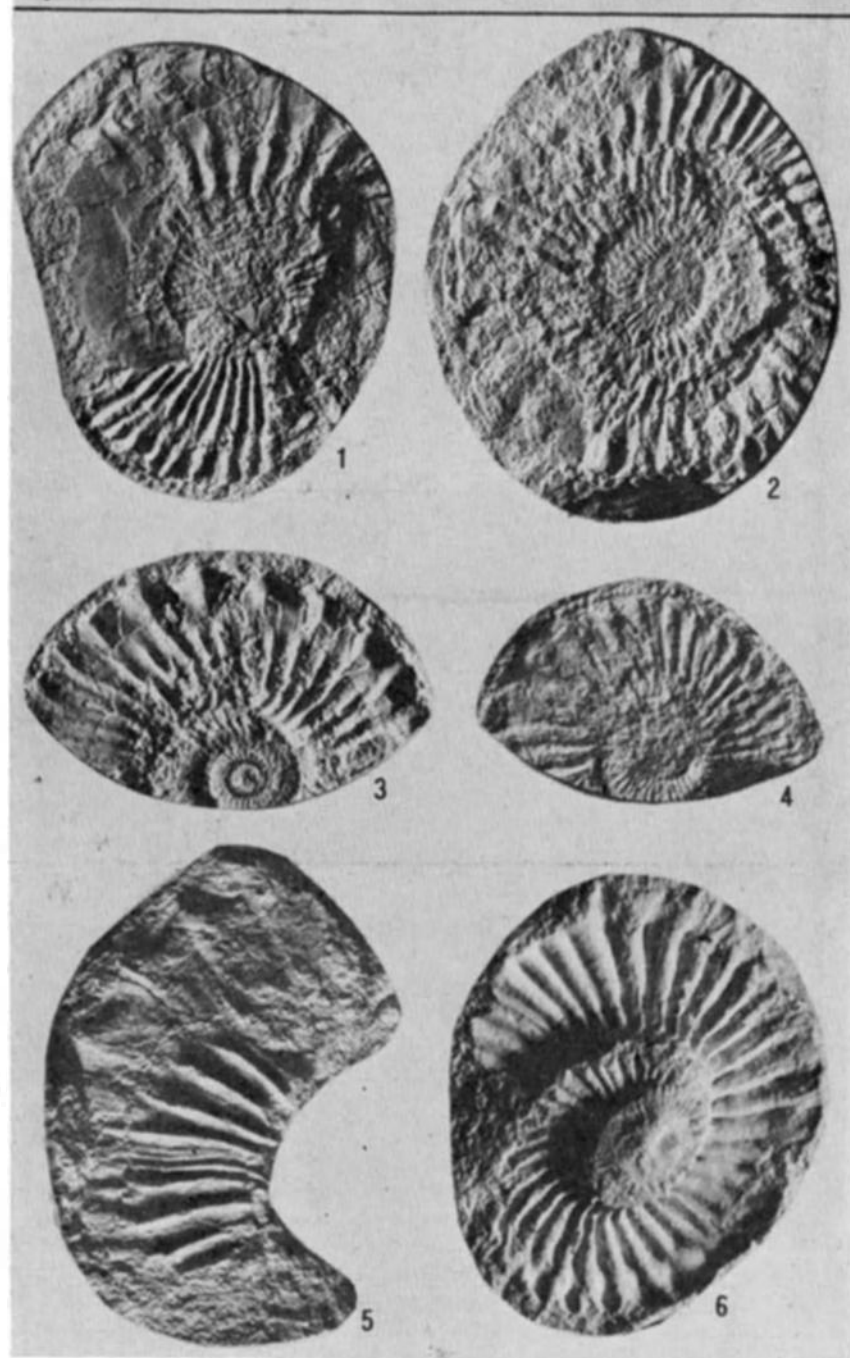


Таблица 52

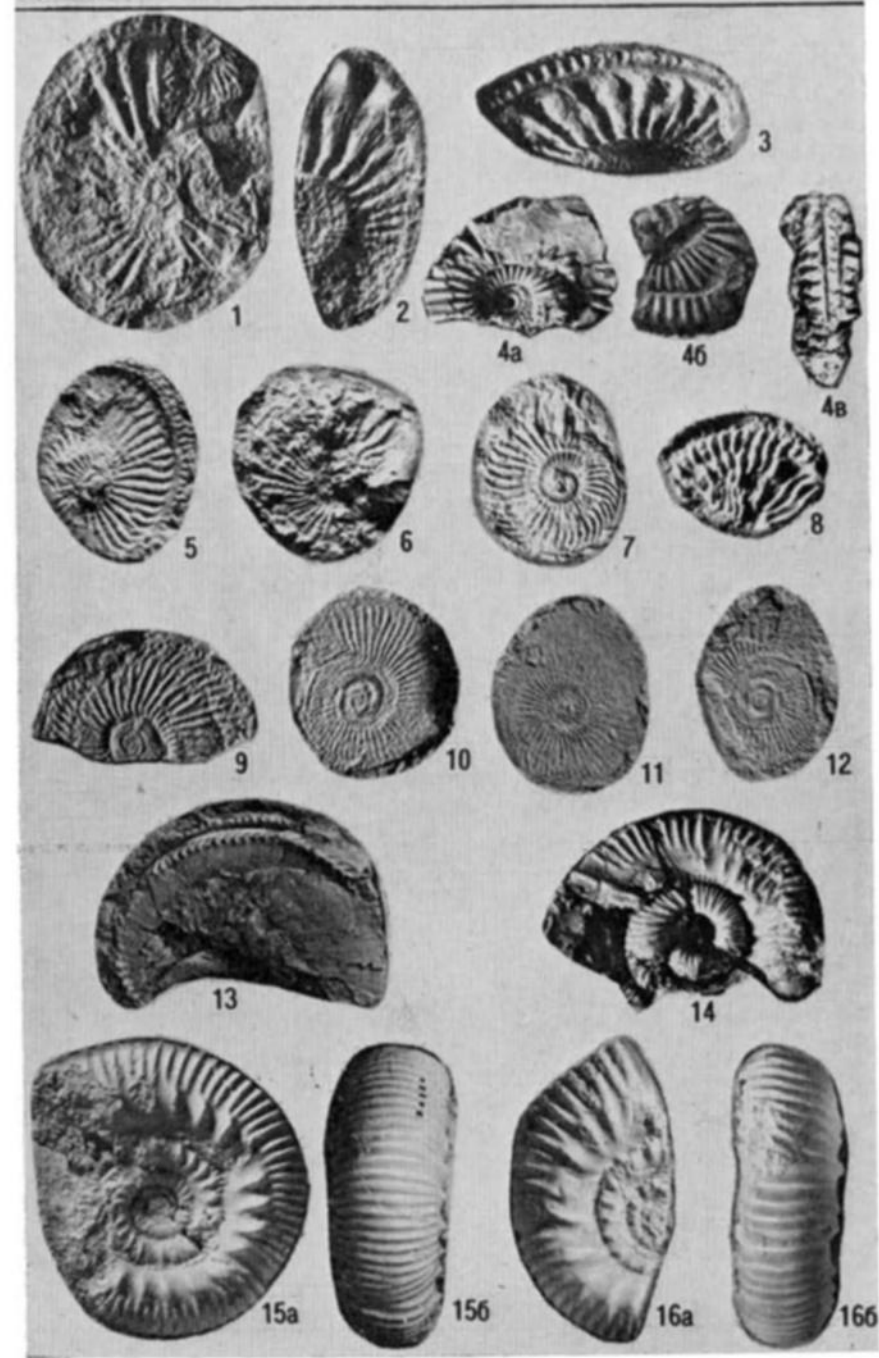


Таблица 53

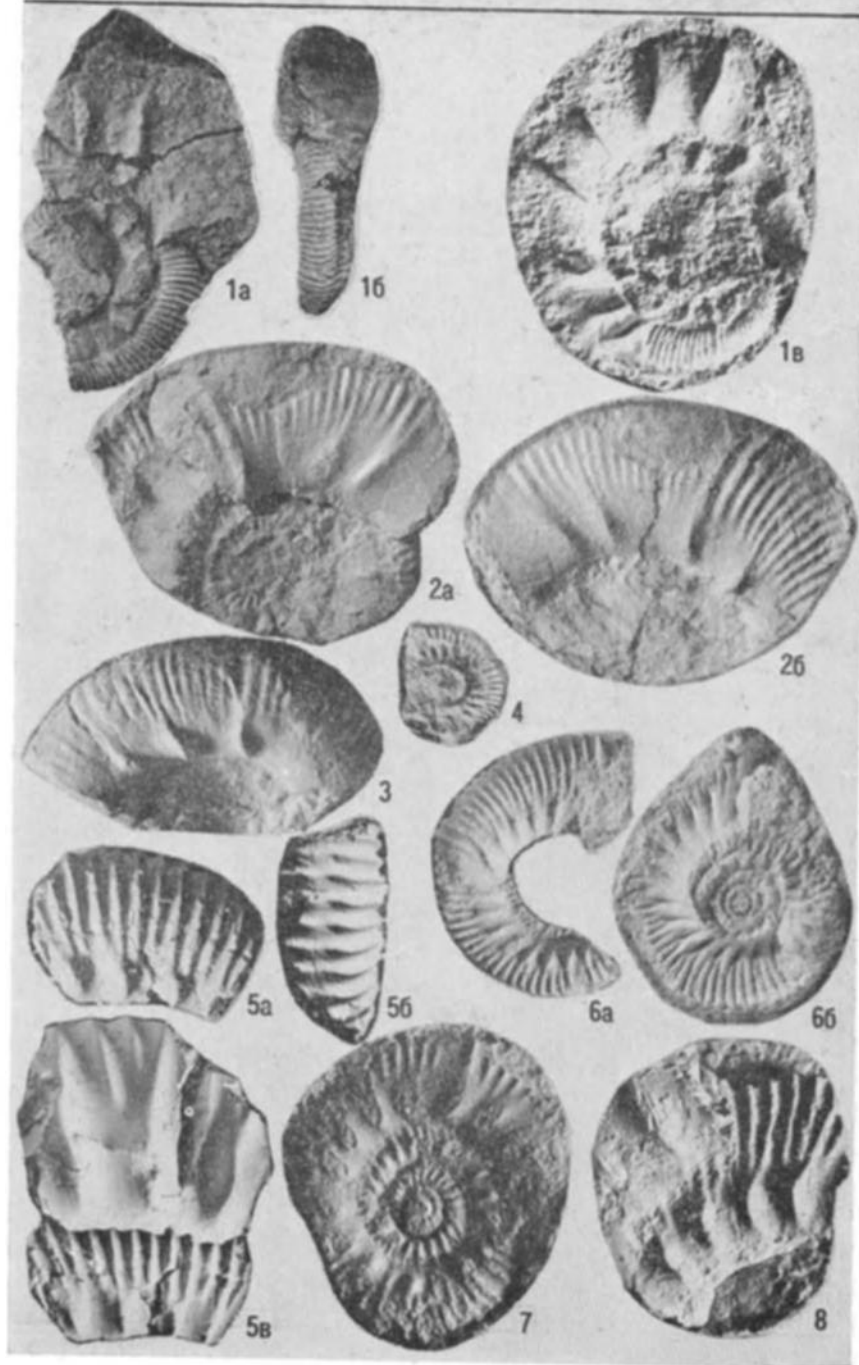


Таблица 54

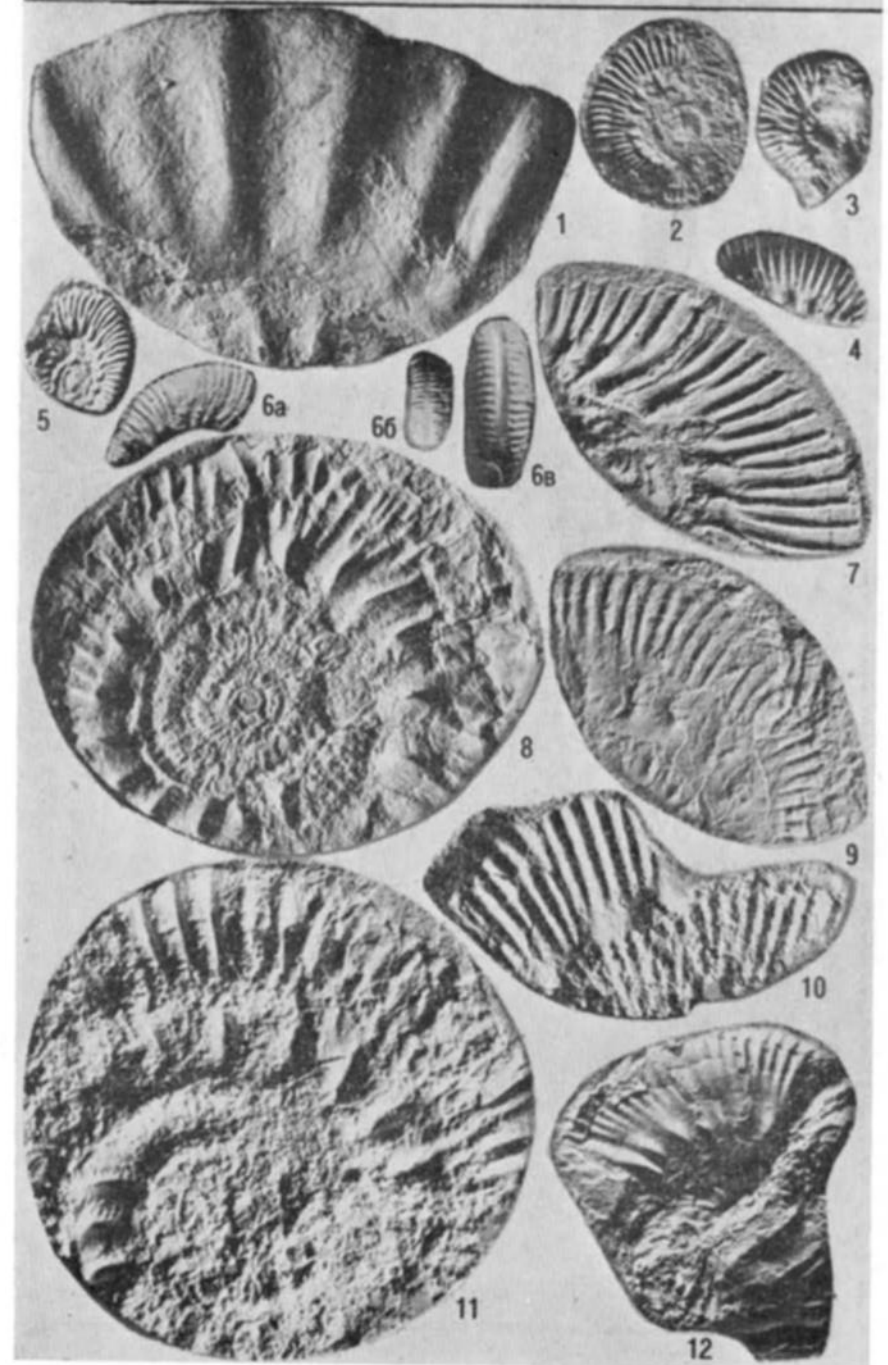


Таблица 55

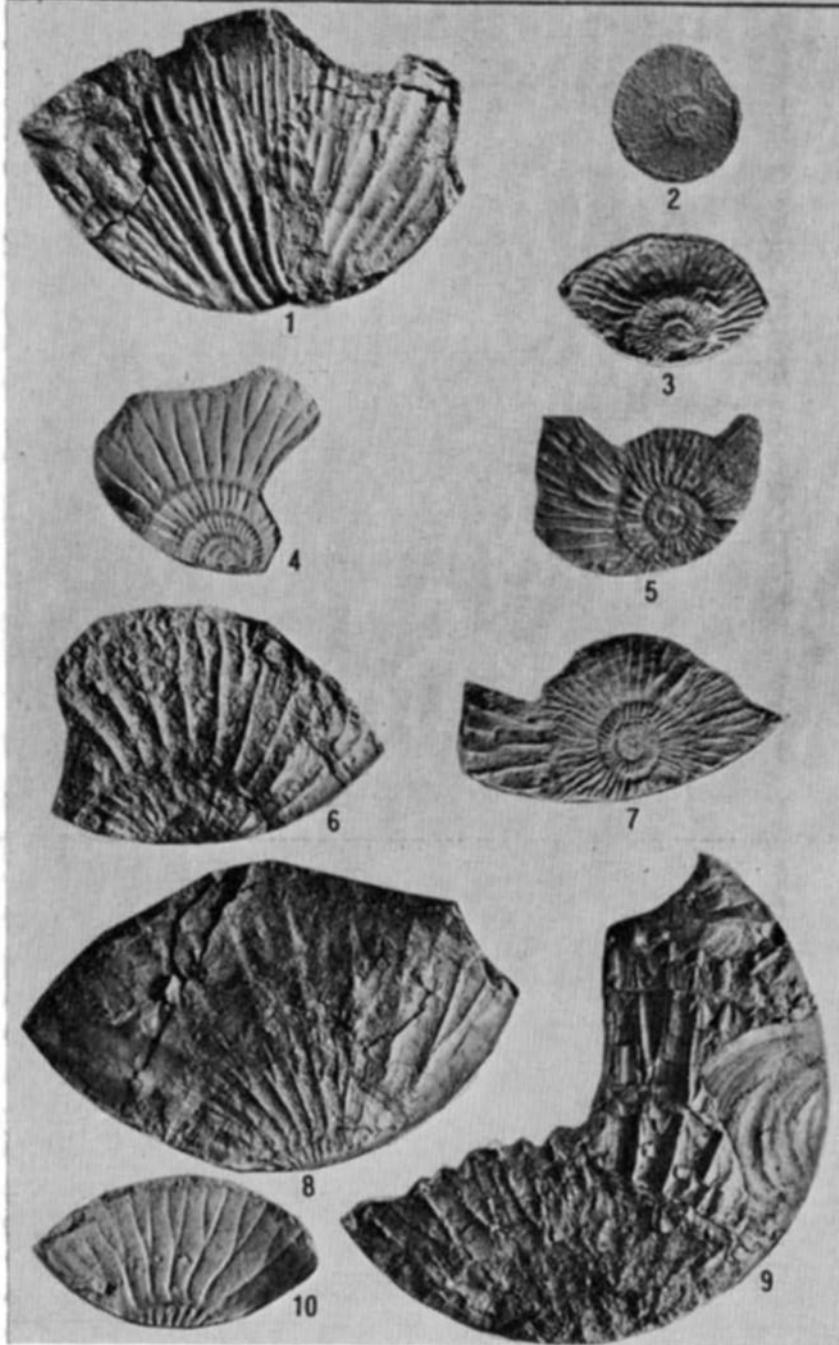


Таблица 56

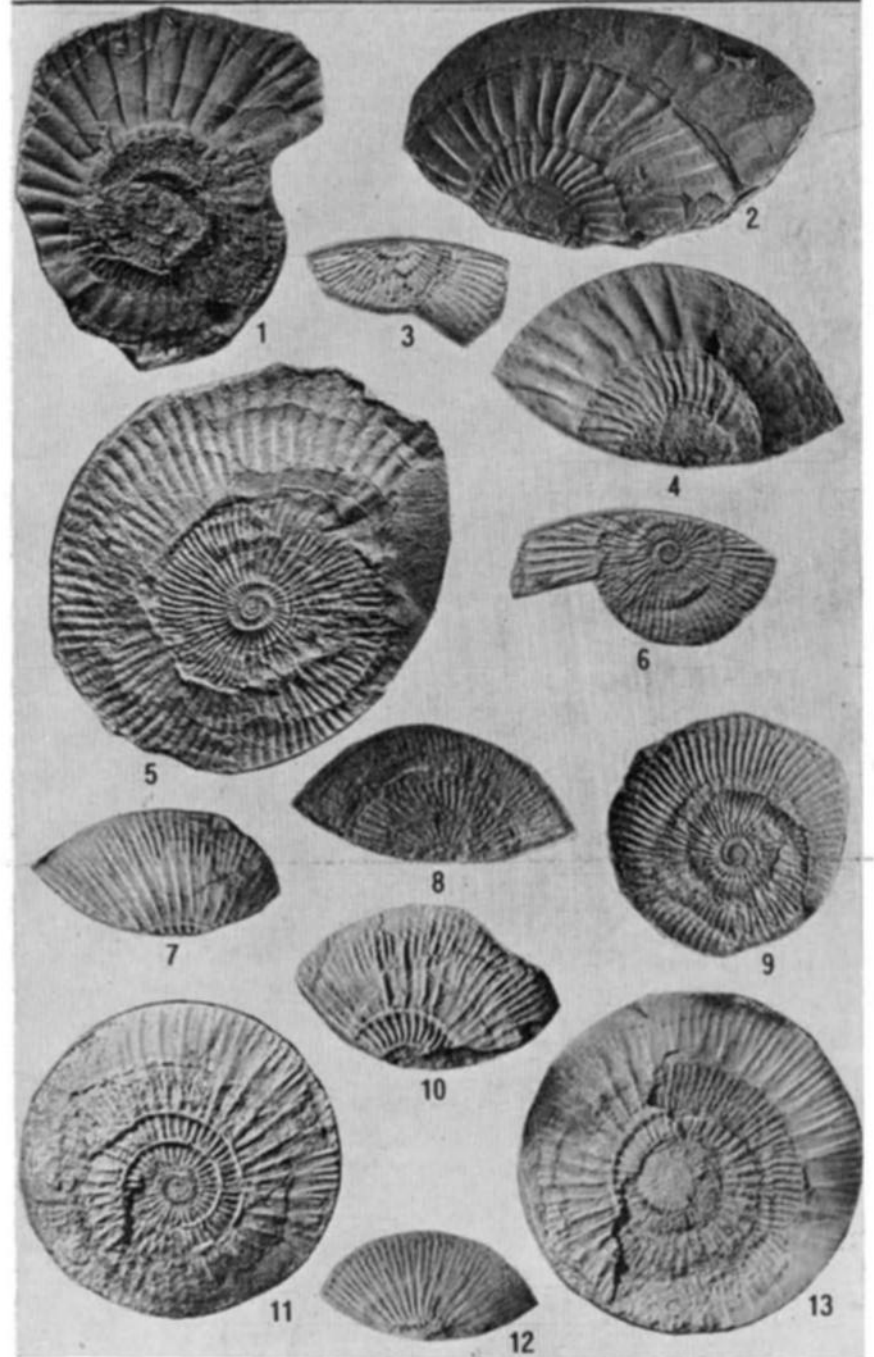




Таблица 57

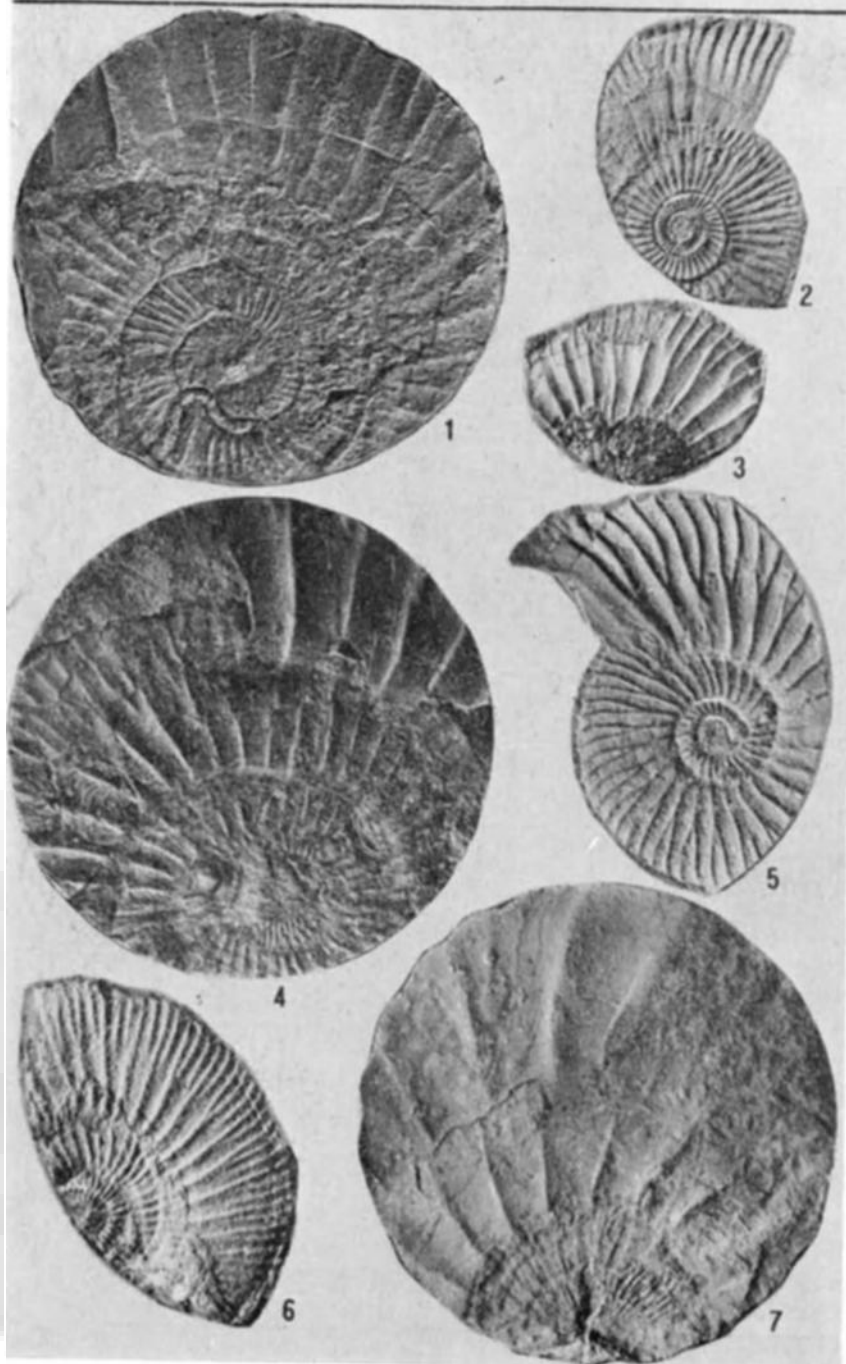


Таблица 58

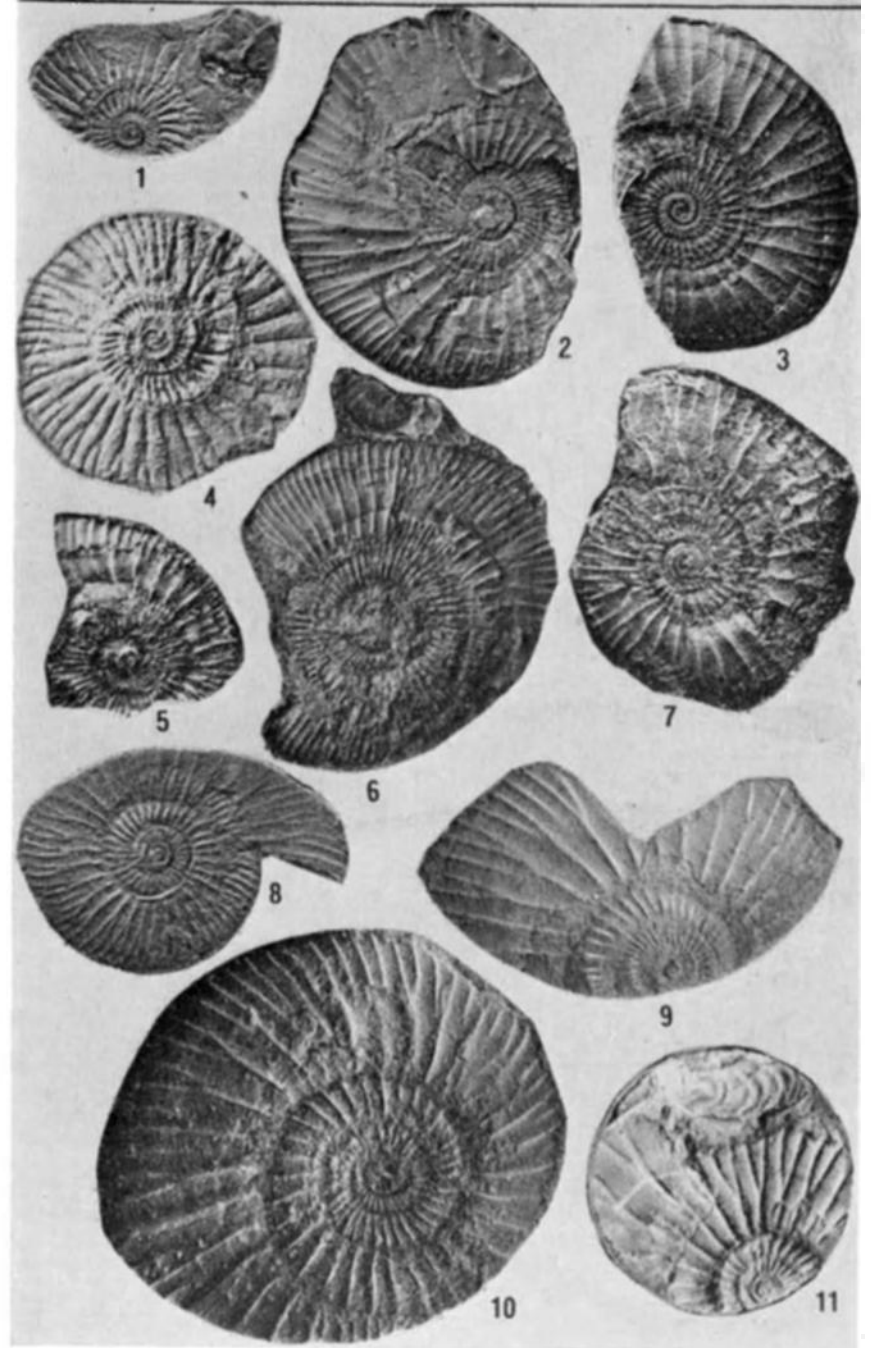


Таблица 59

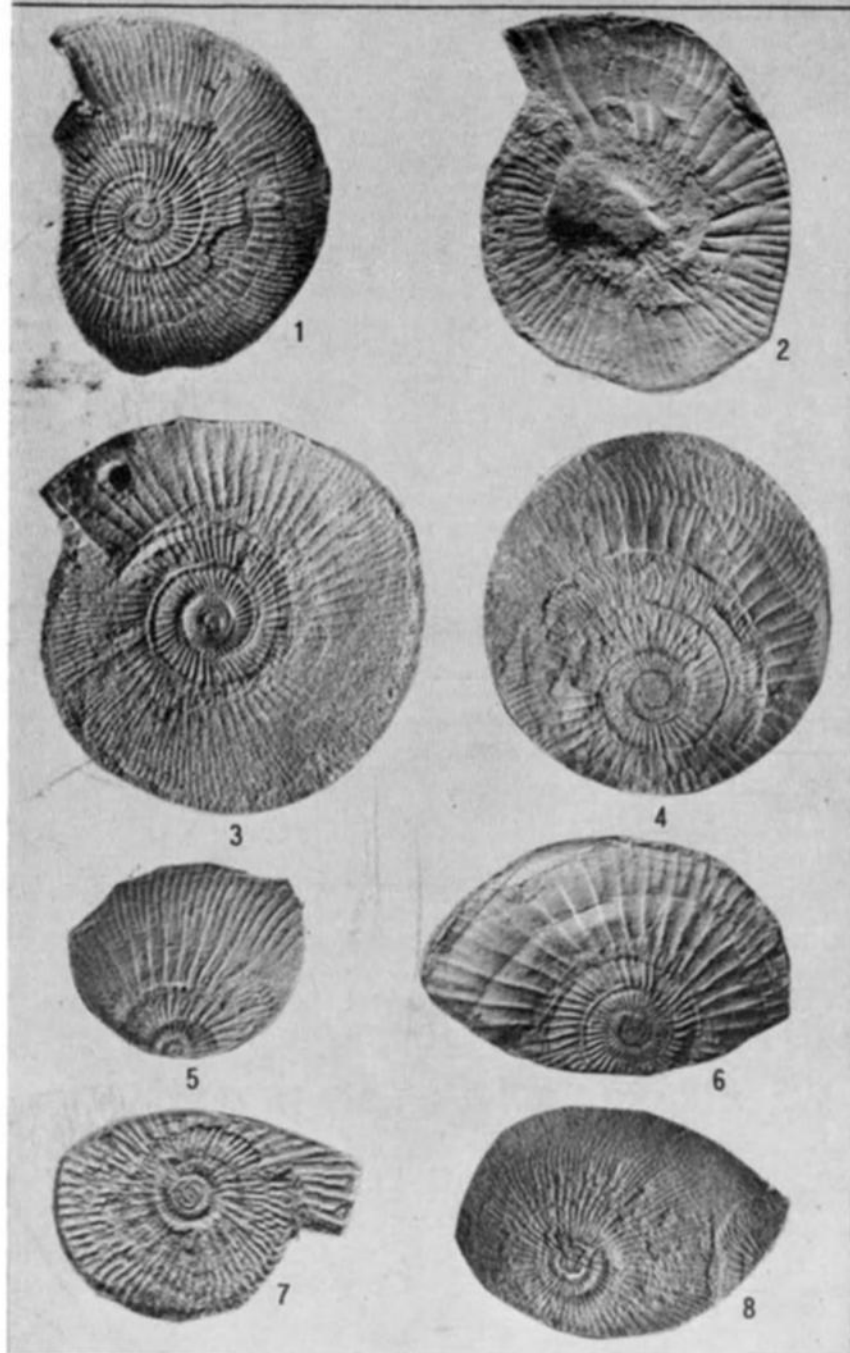


Таблица 60

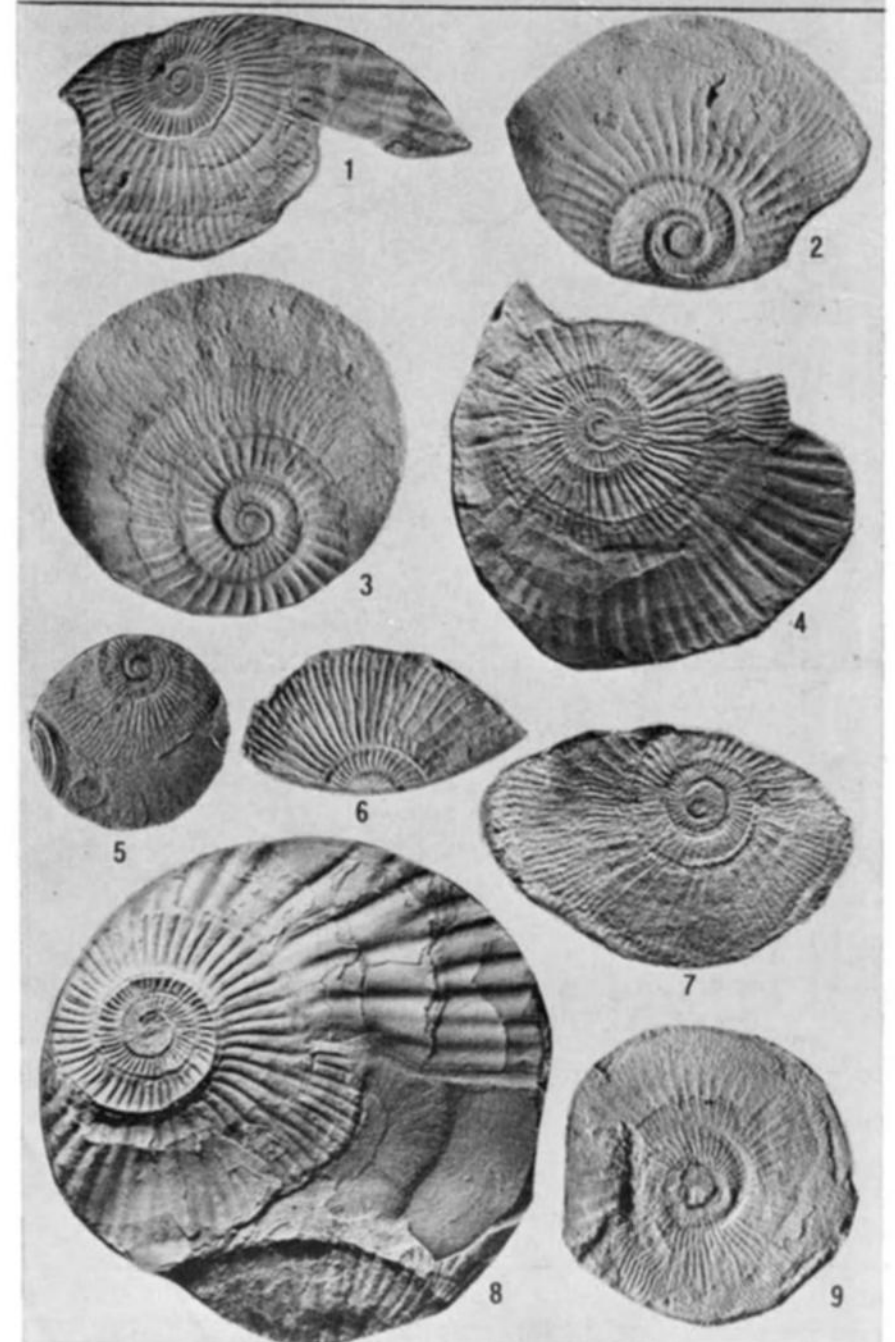


Таблица 61

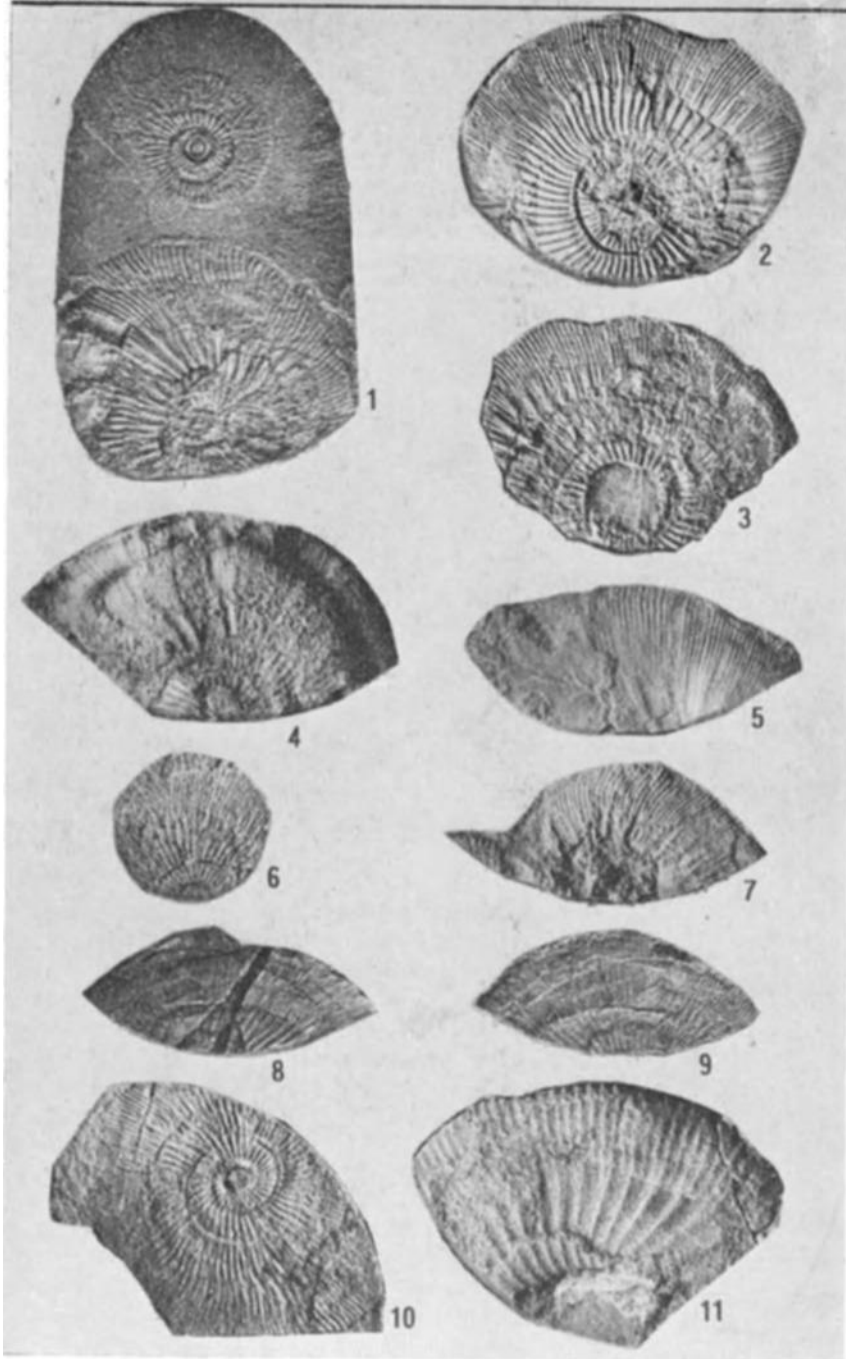


Таблица 62

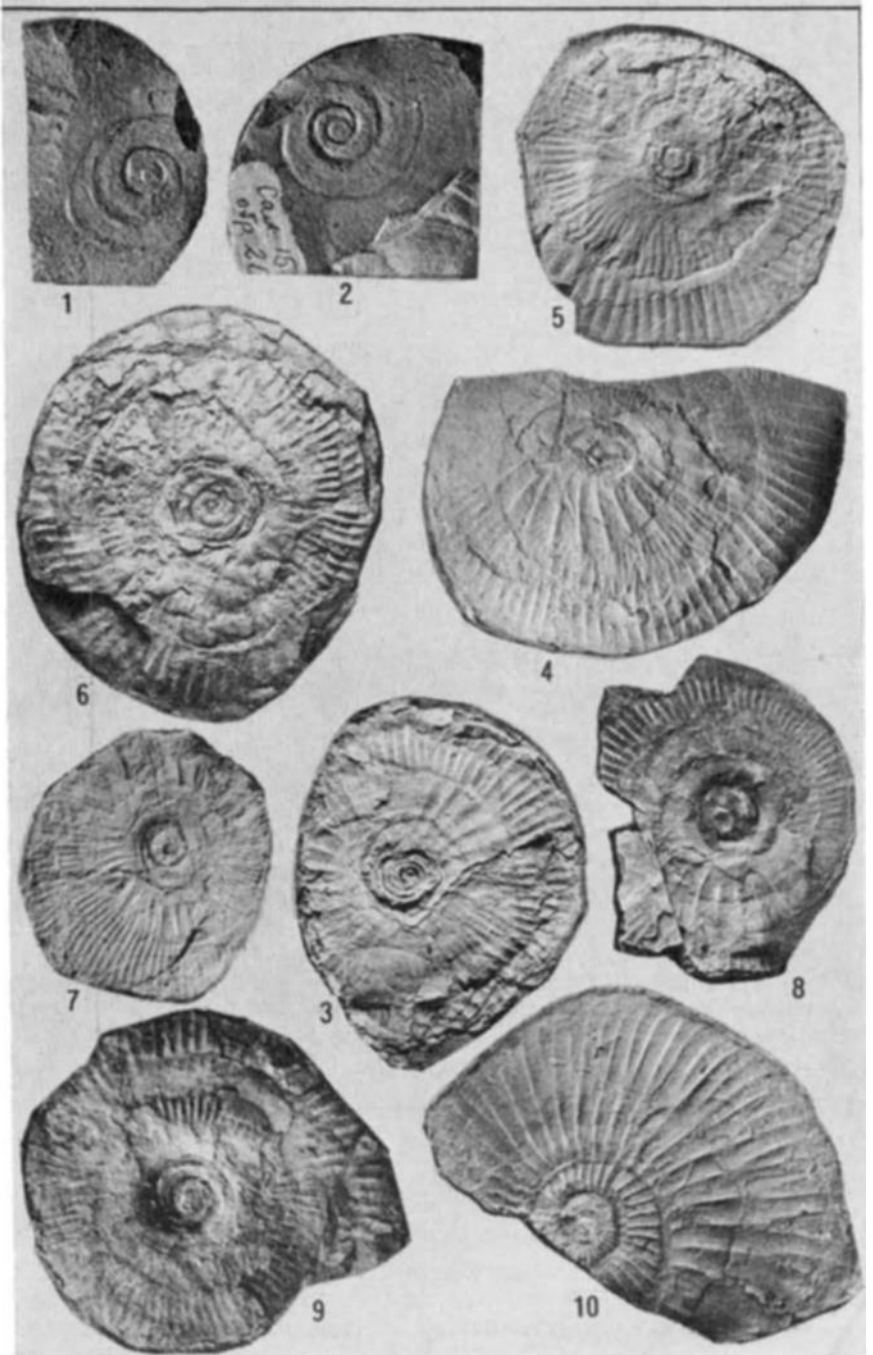


Таблица 63

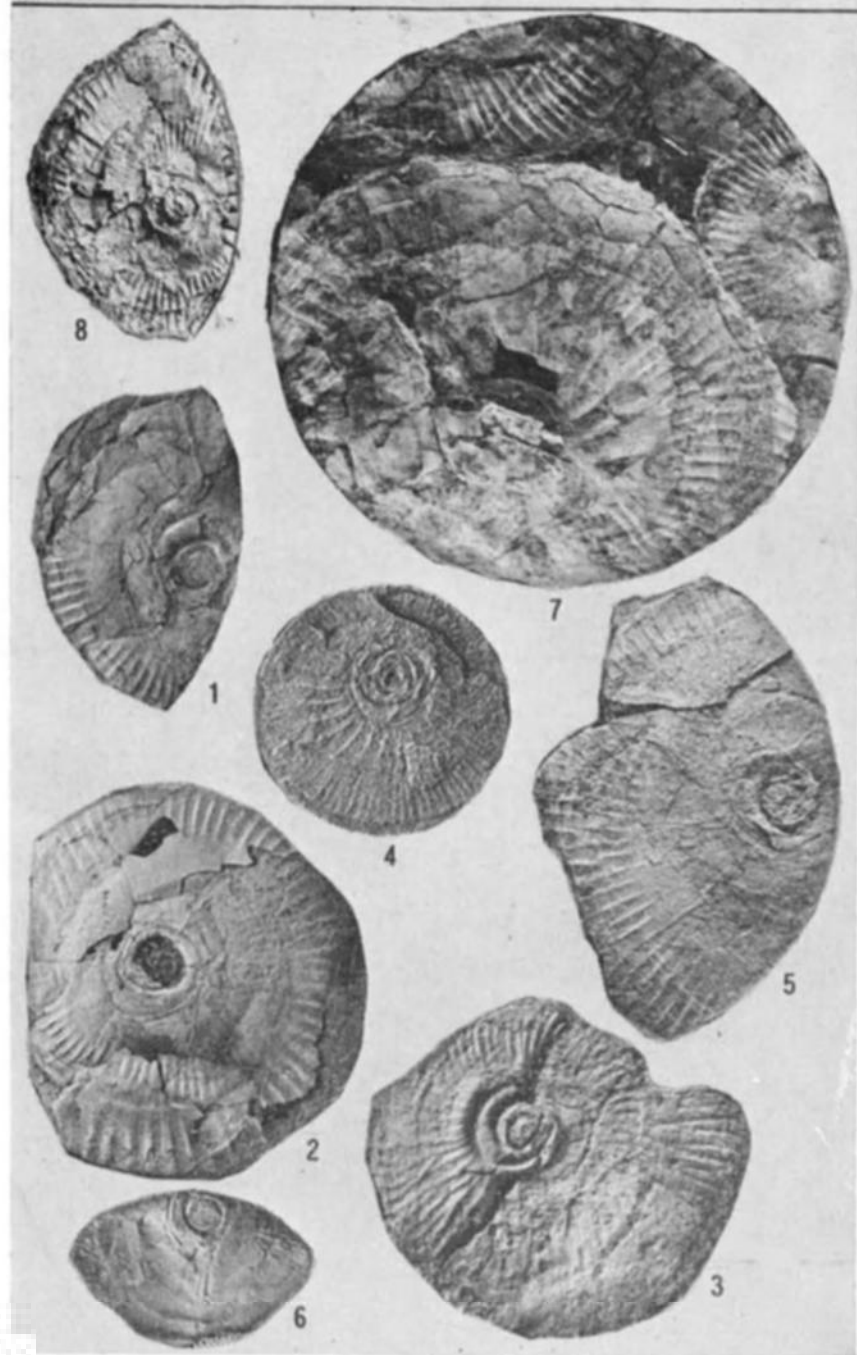


Таблица 64

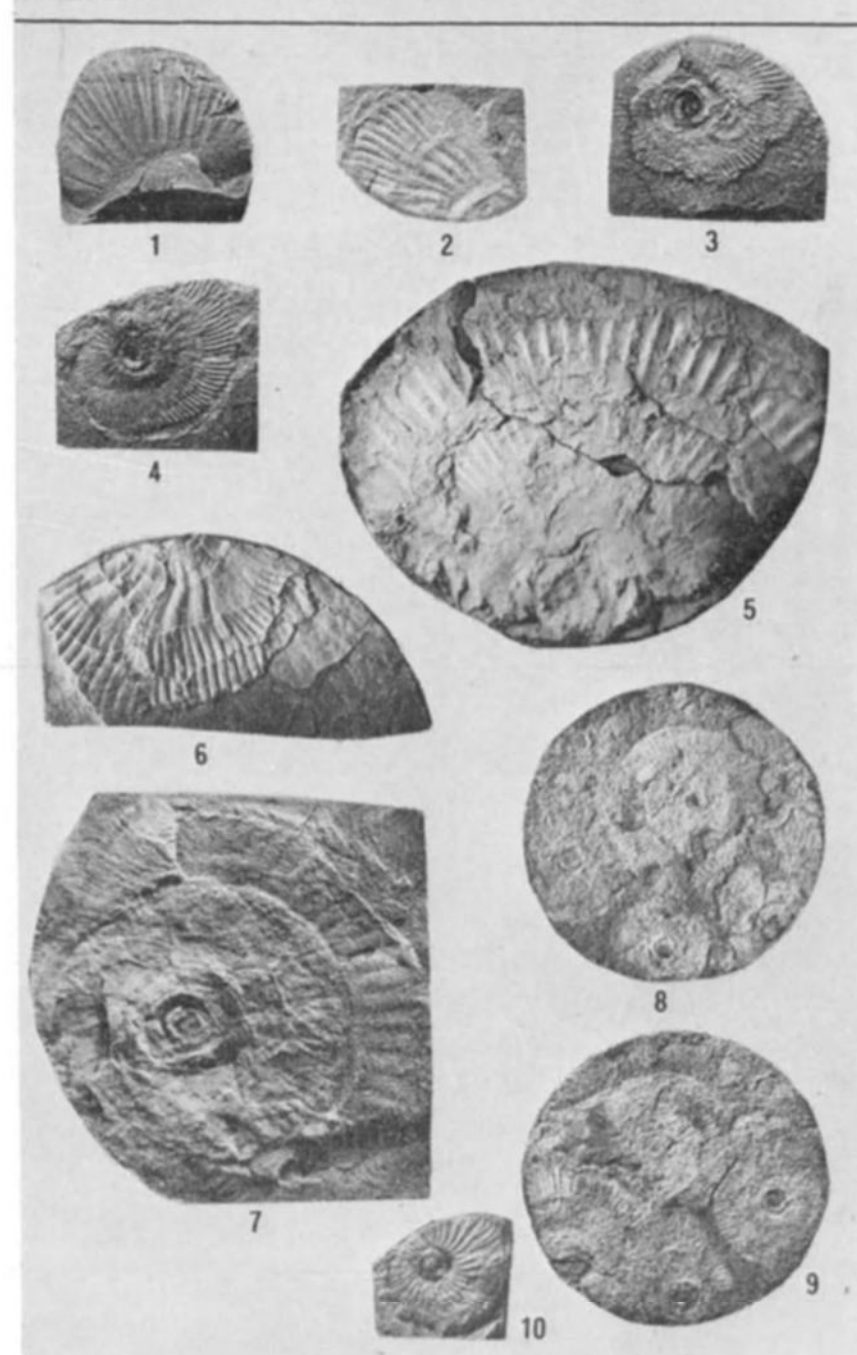


Таблица 65

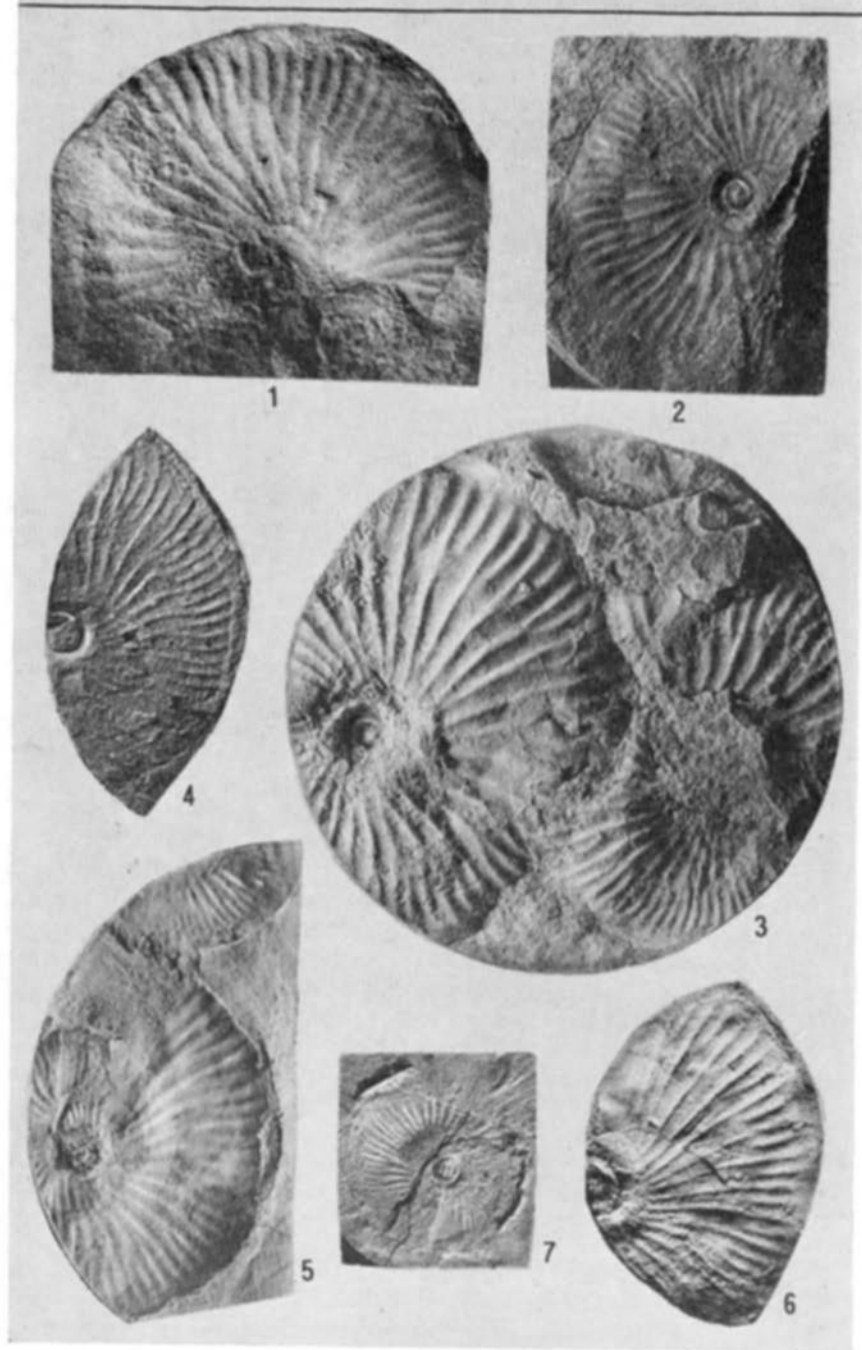


Таблица 66

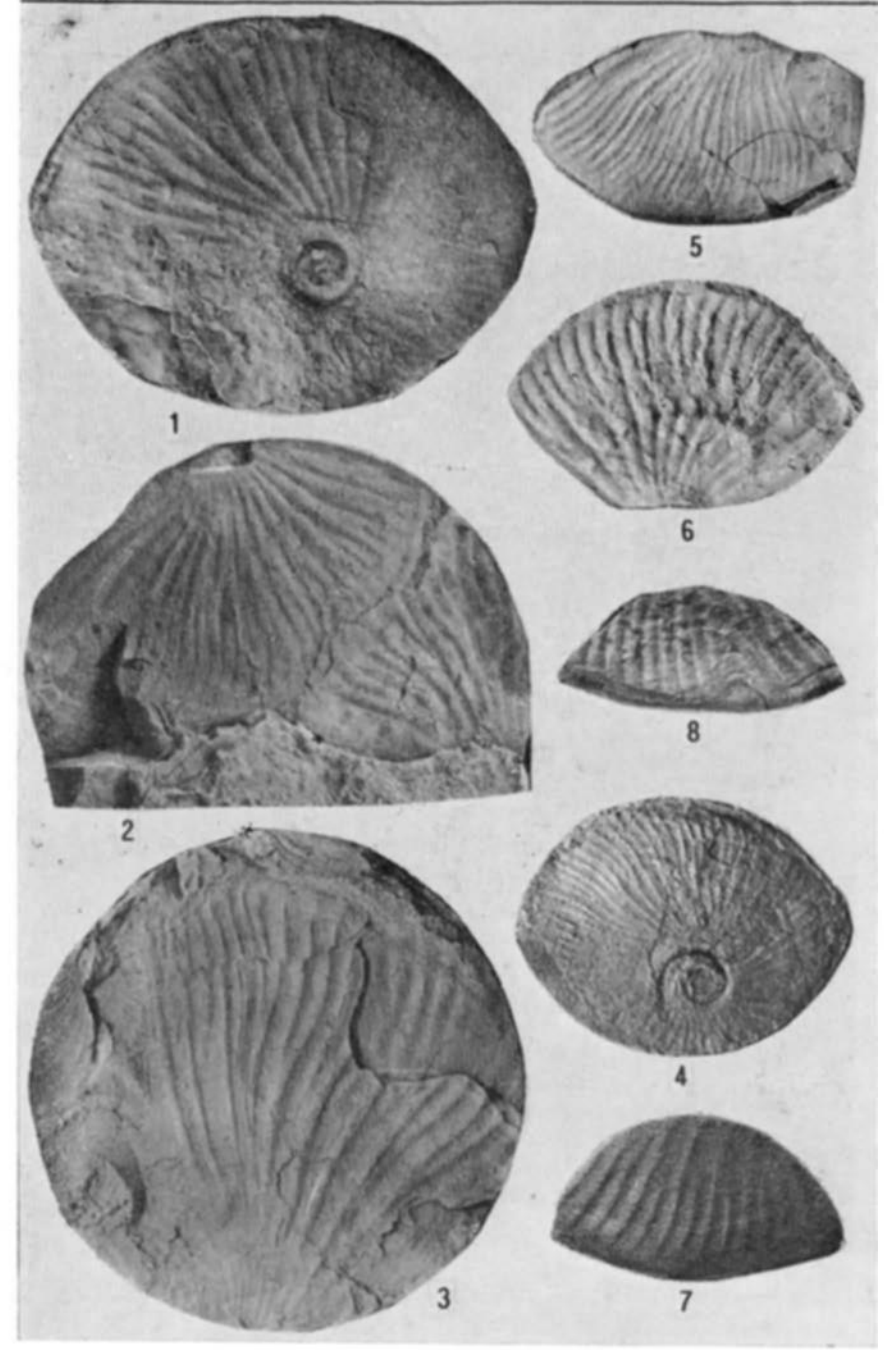


Таблица 67

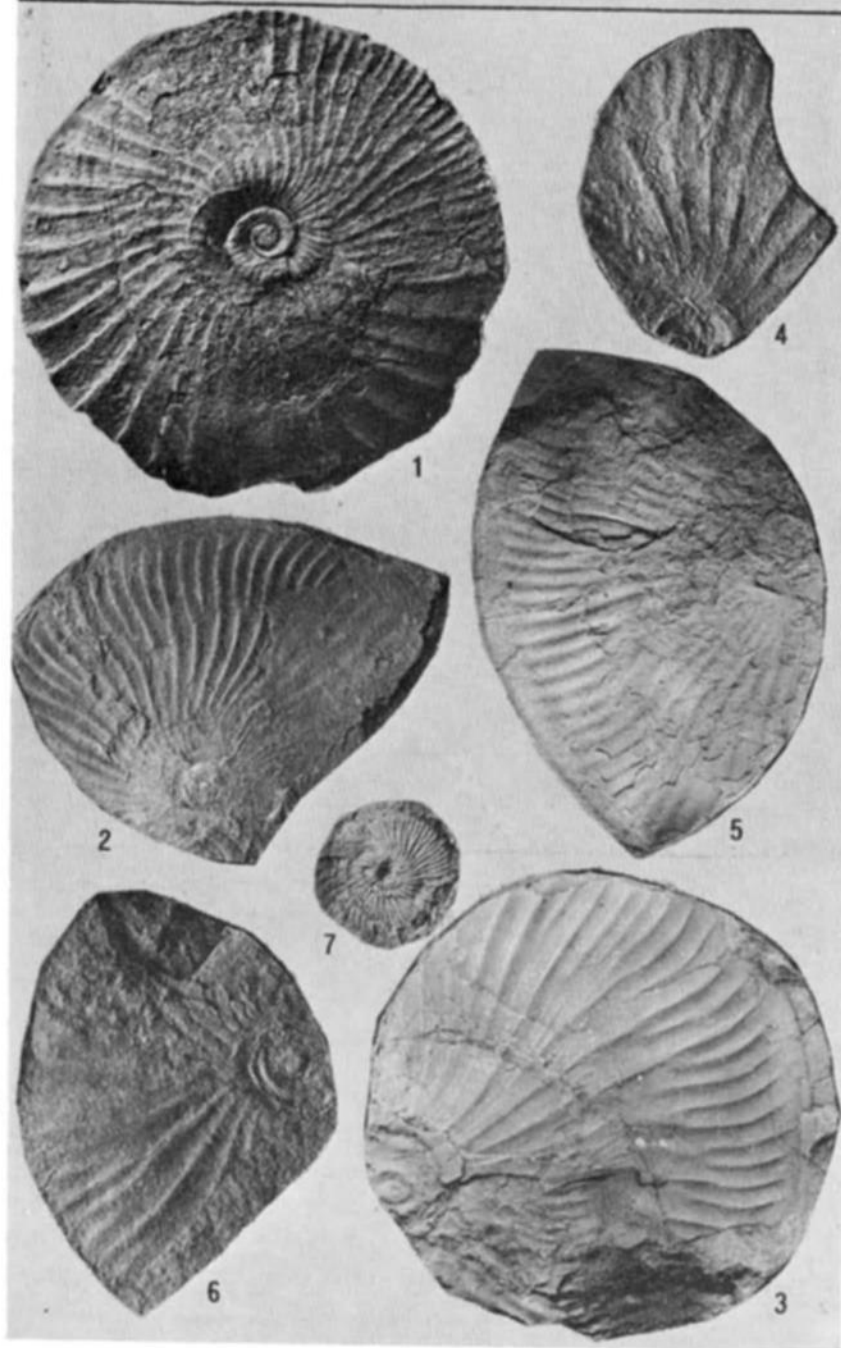


Таблица 68

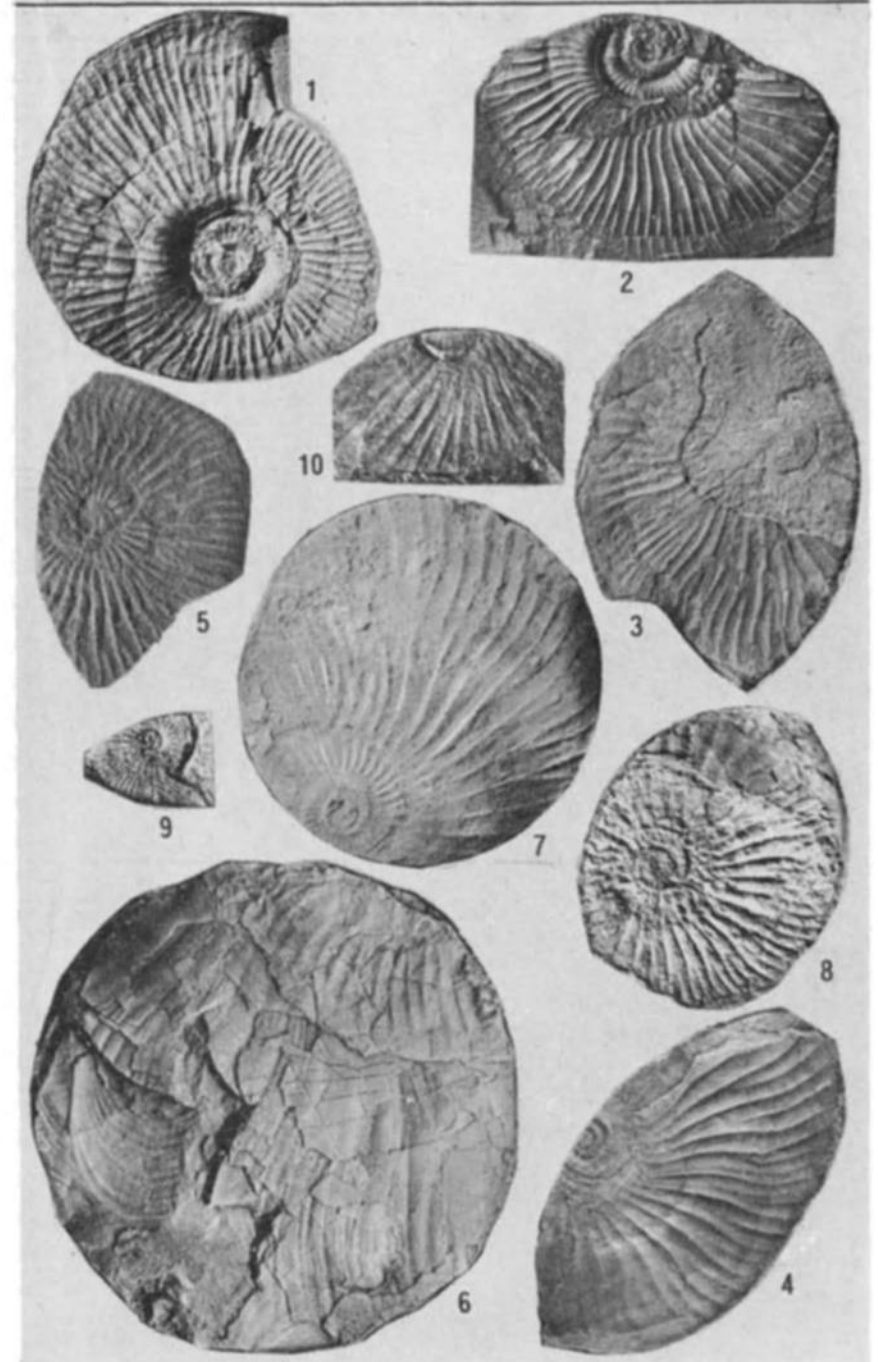


Таблица 69

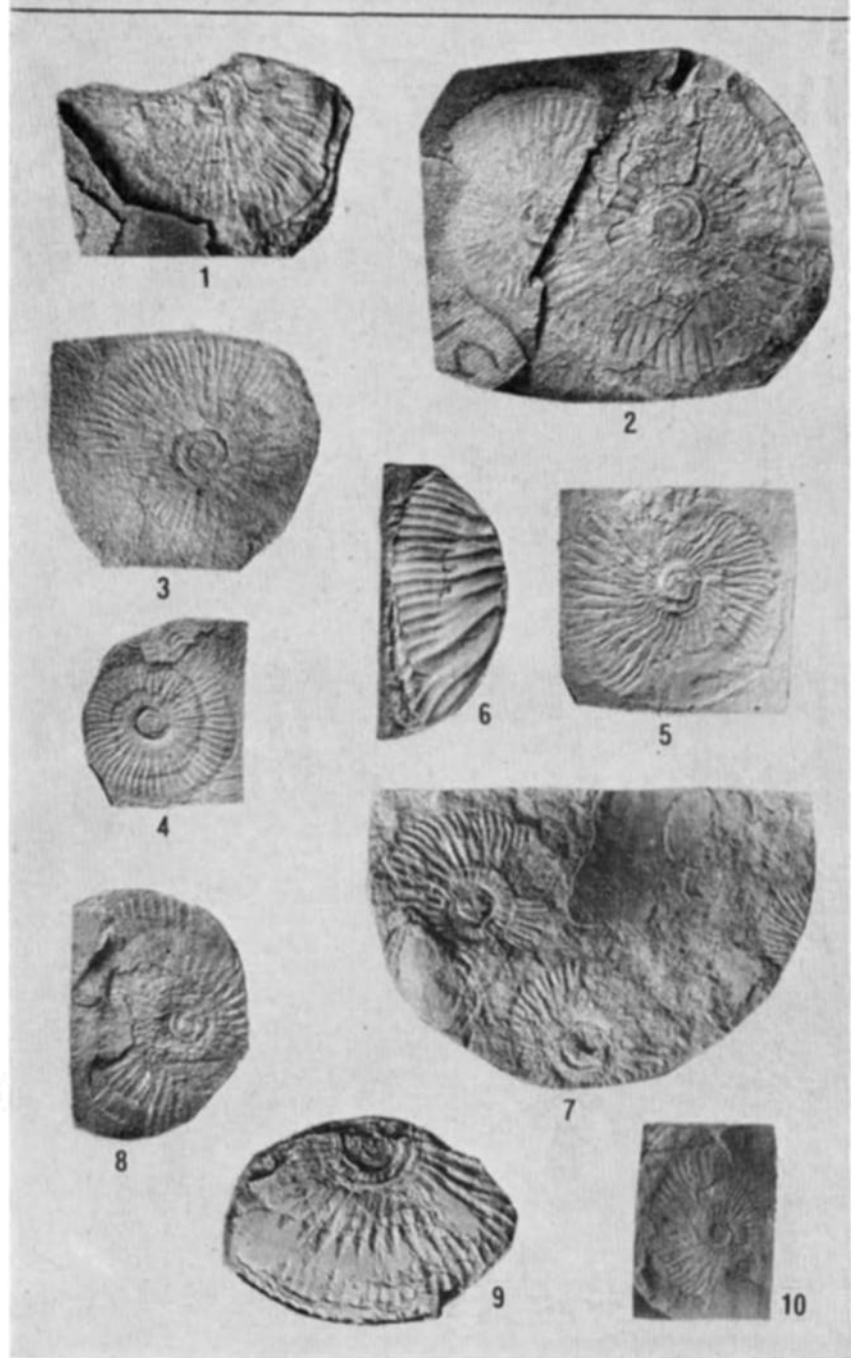


Таблица 70

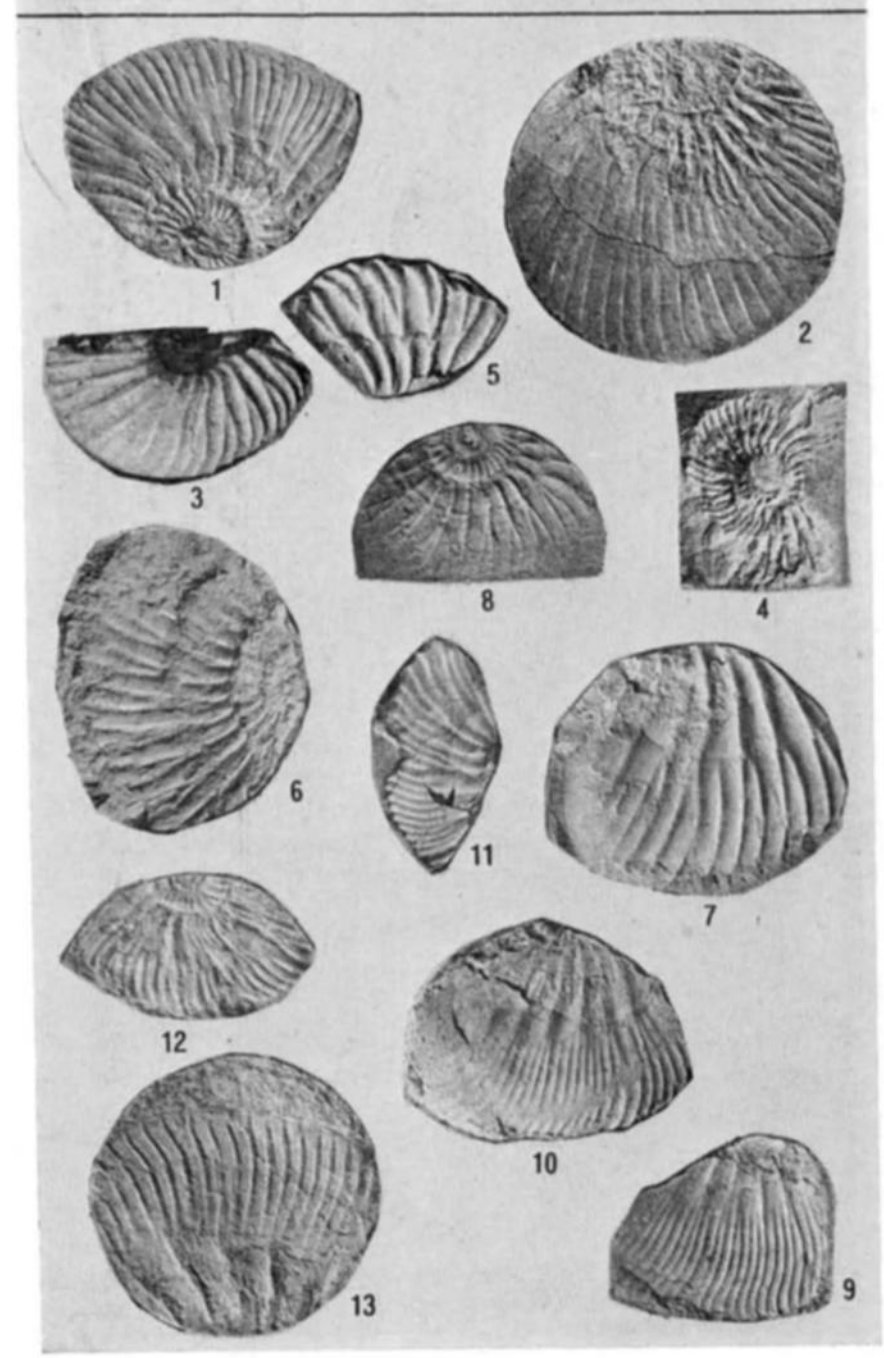


Таблица 71

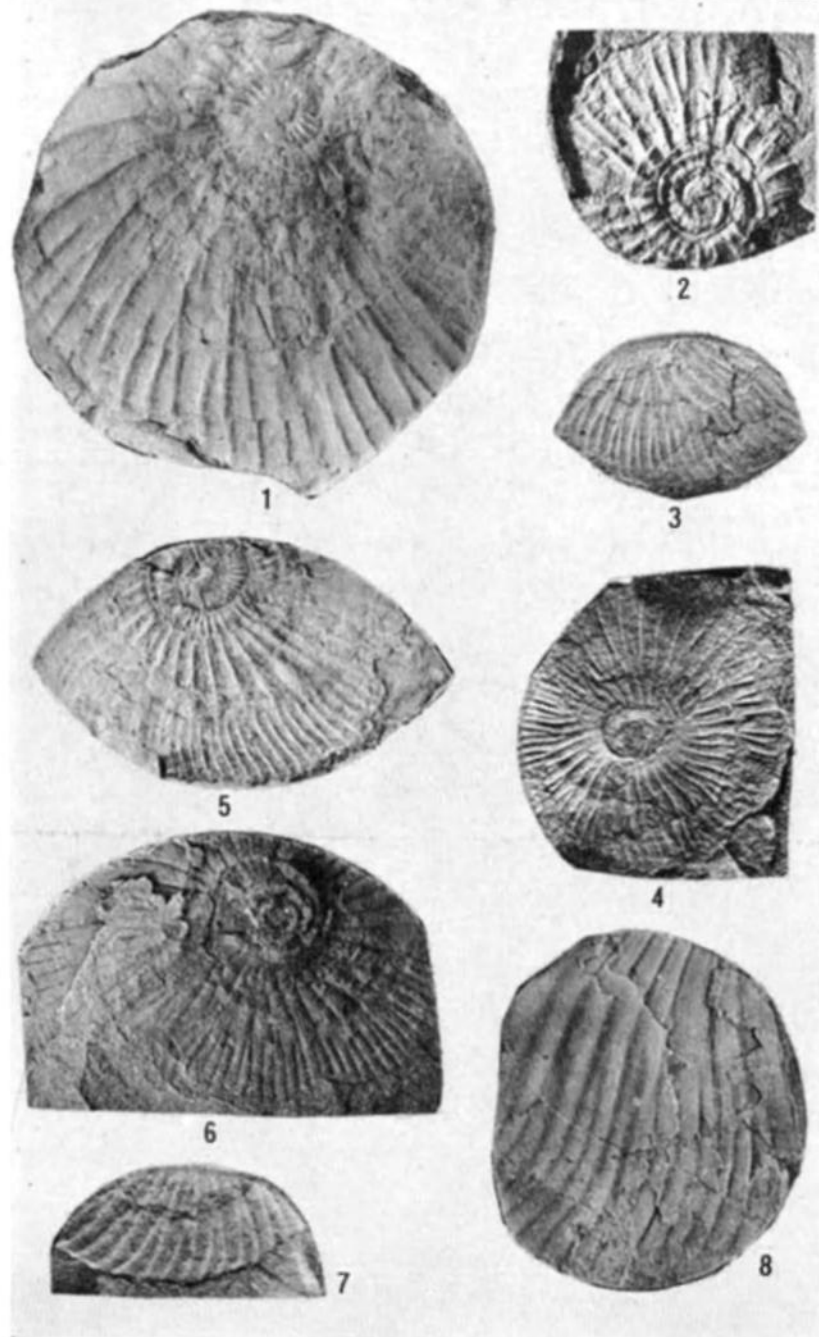


Таблица 72

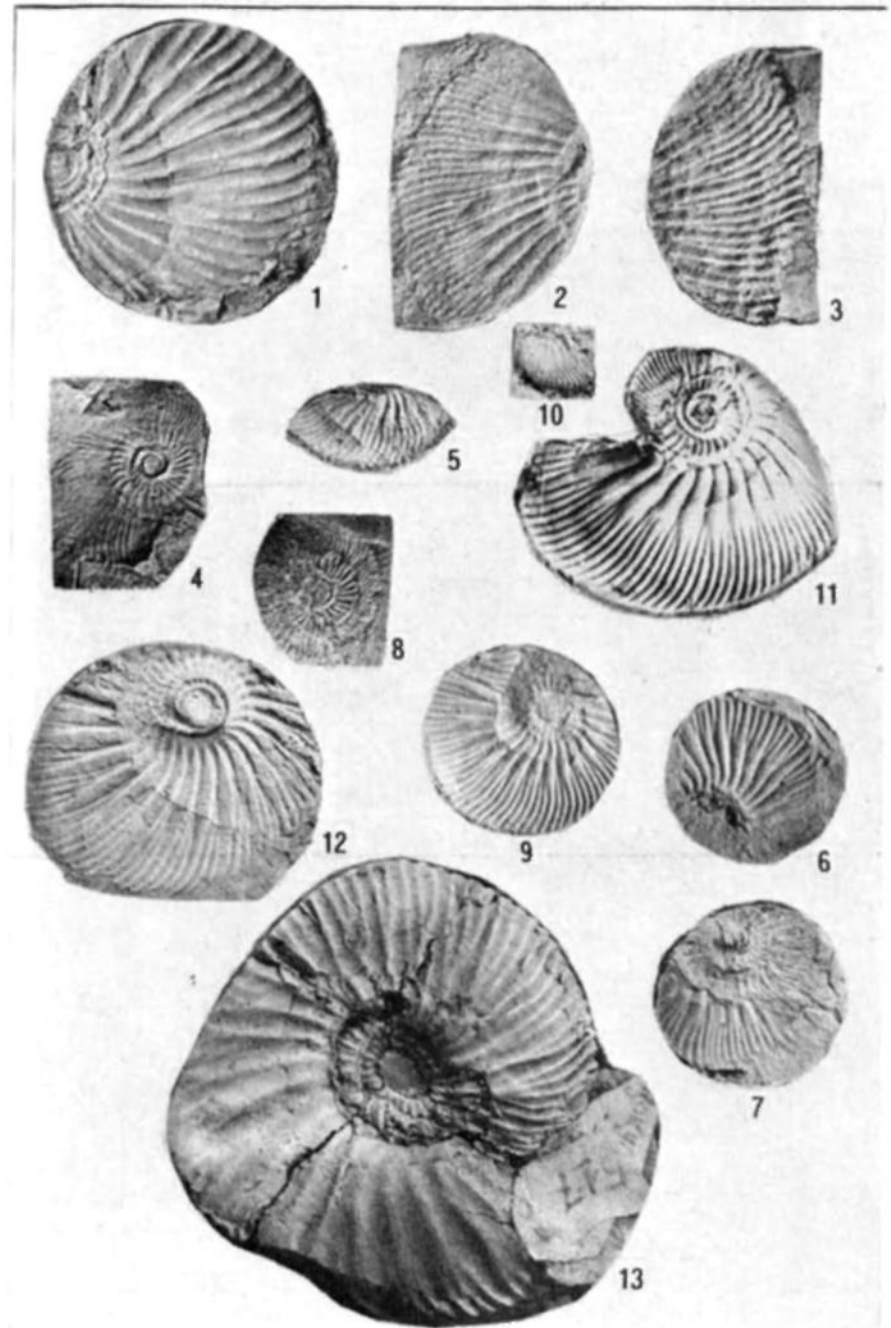




Таблица 73



Таблица 74

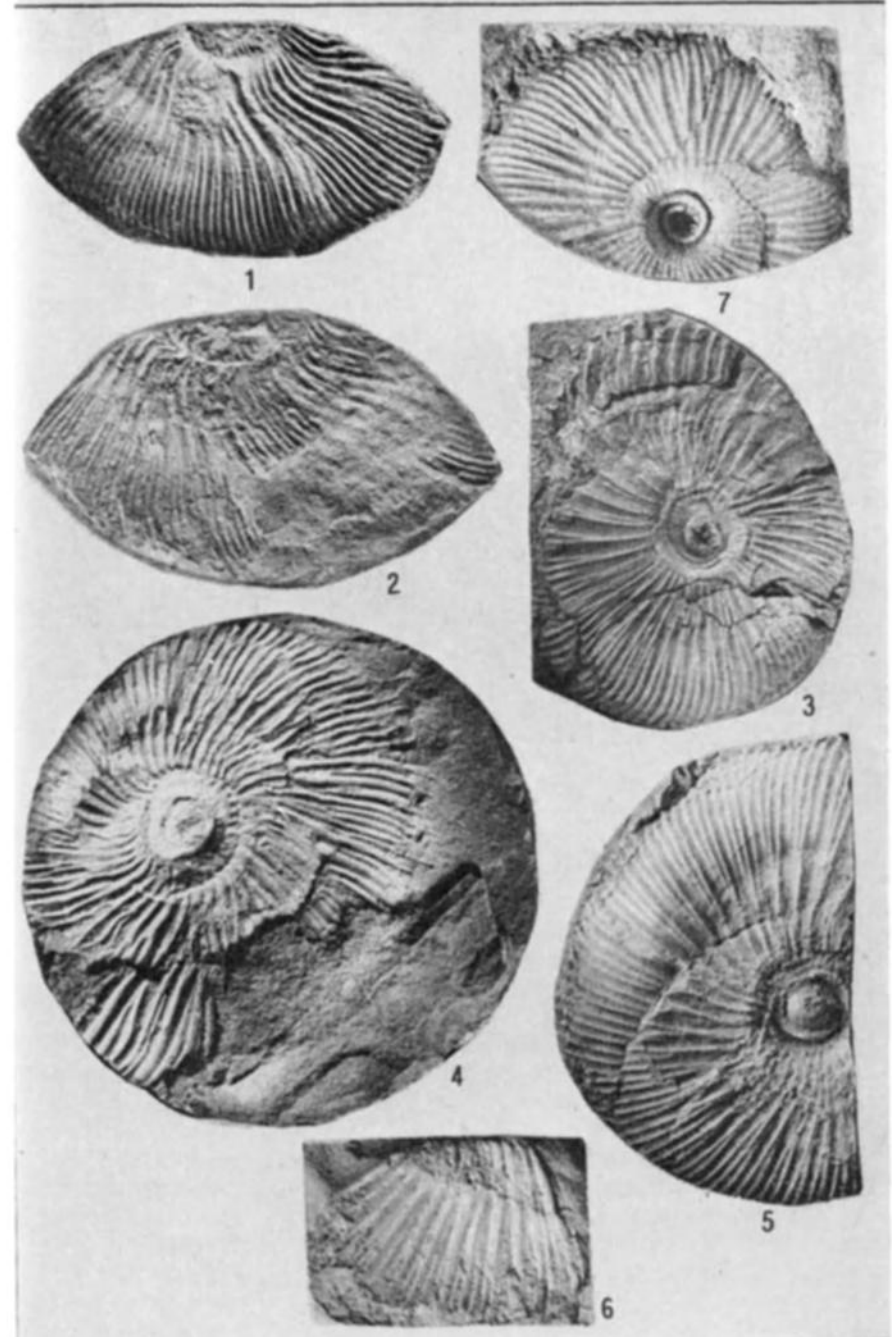


Таблица 75

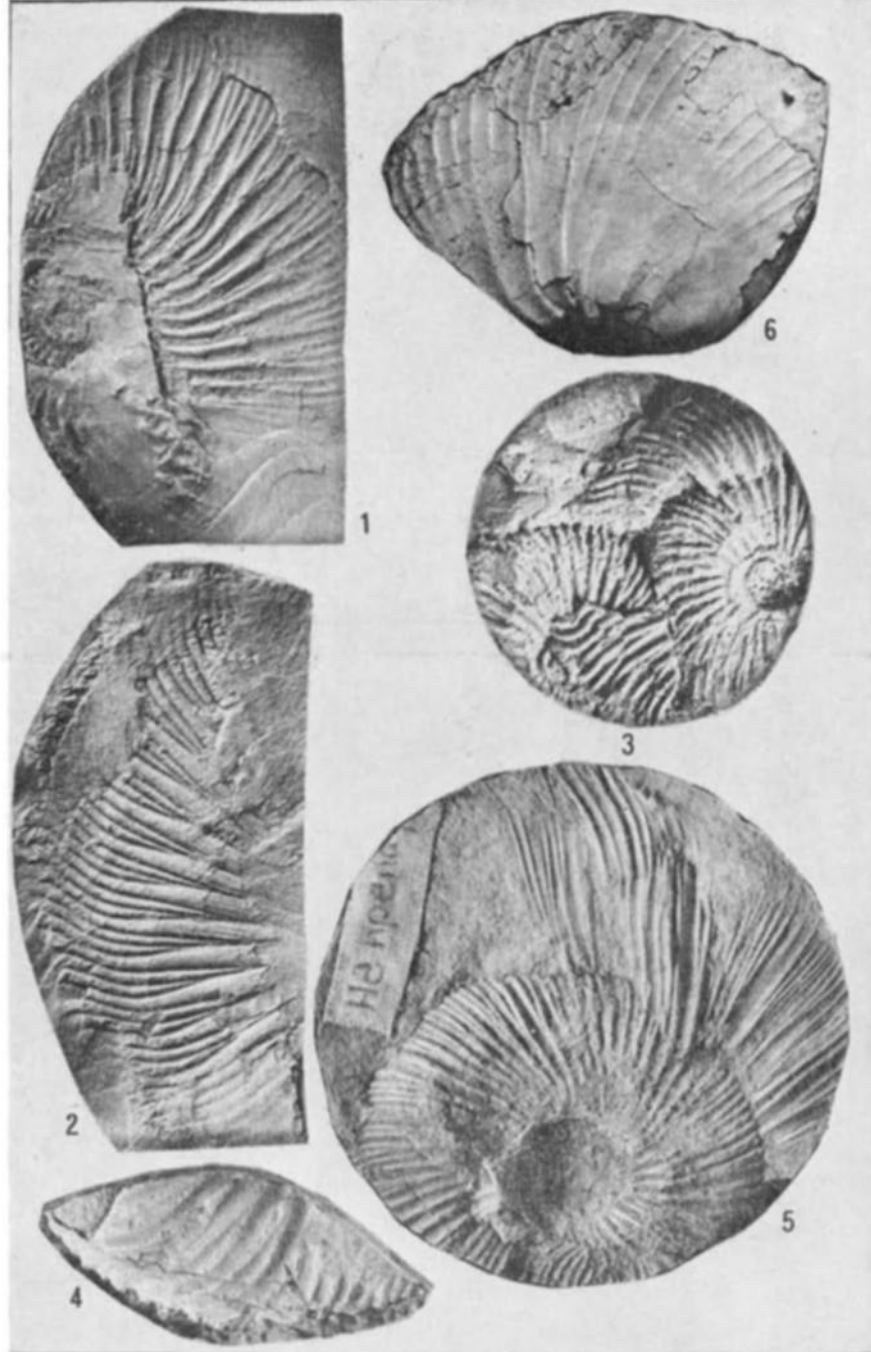
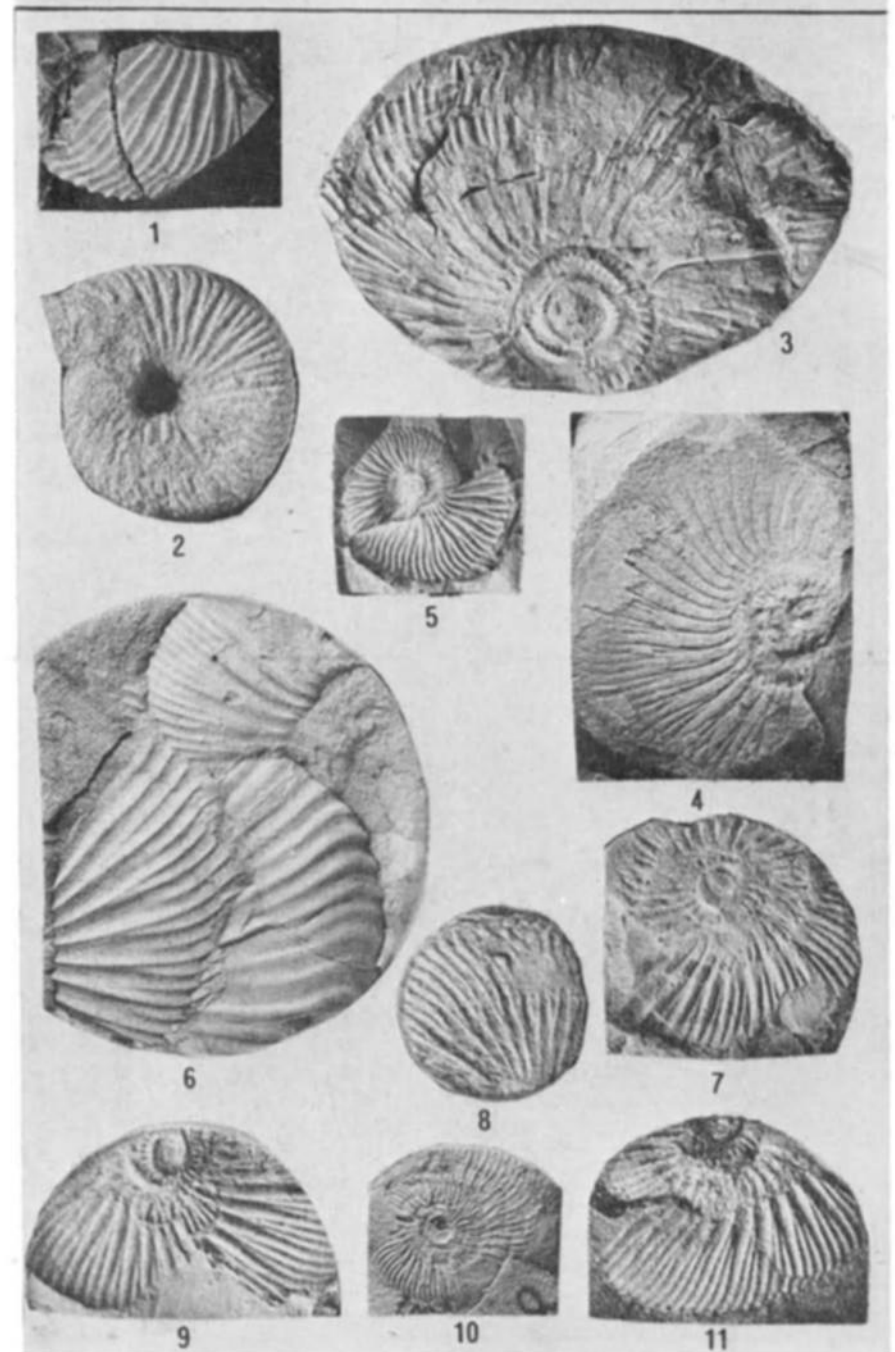
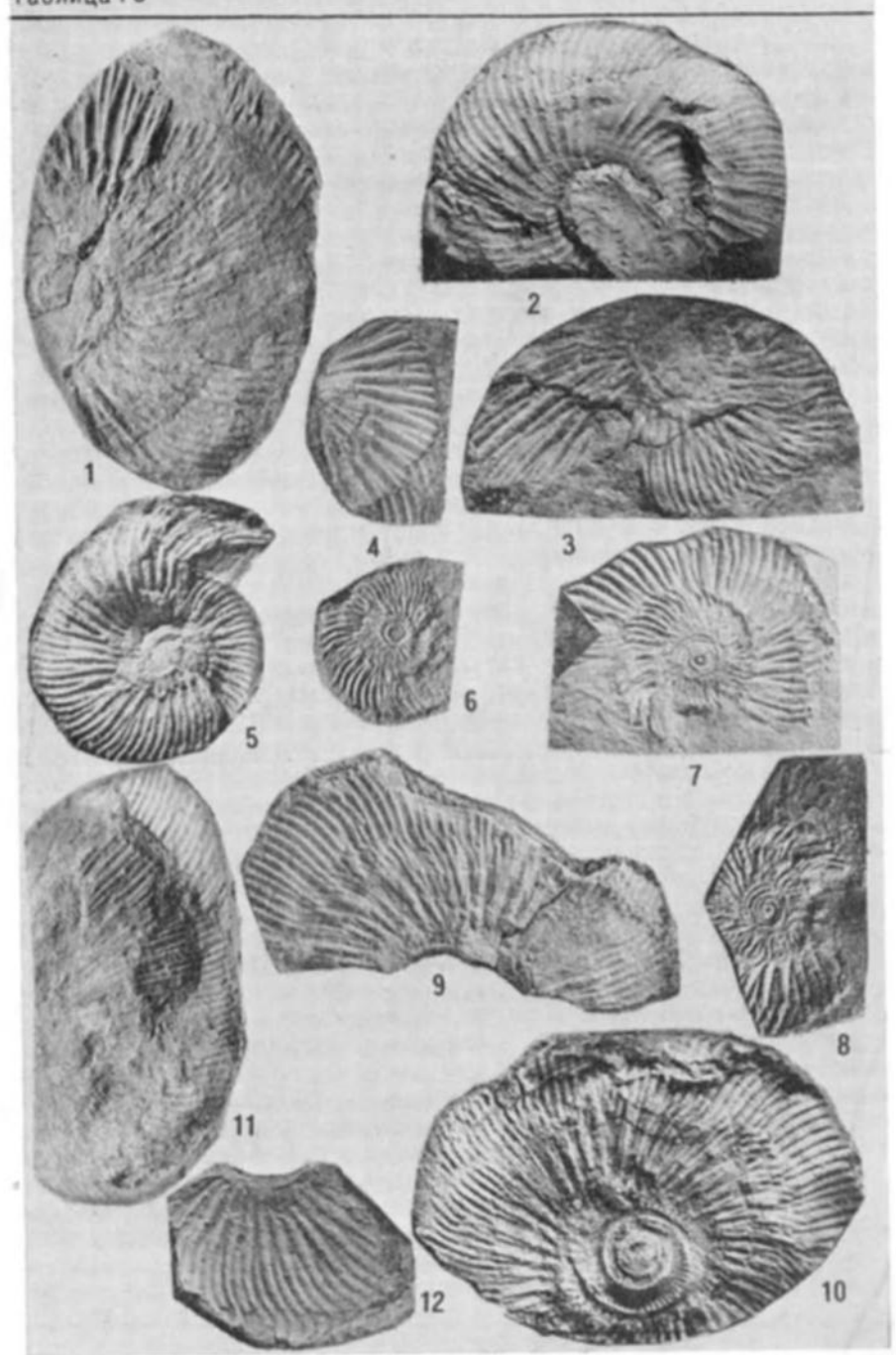
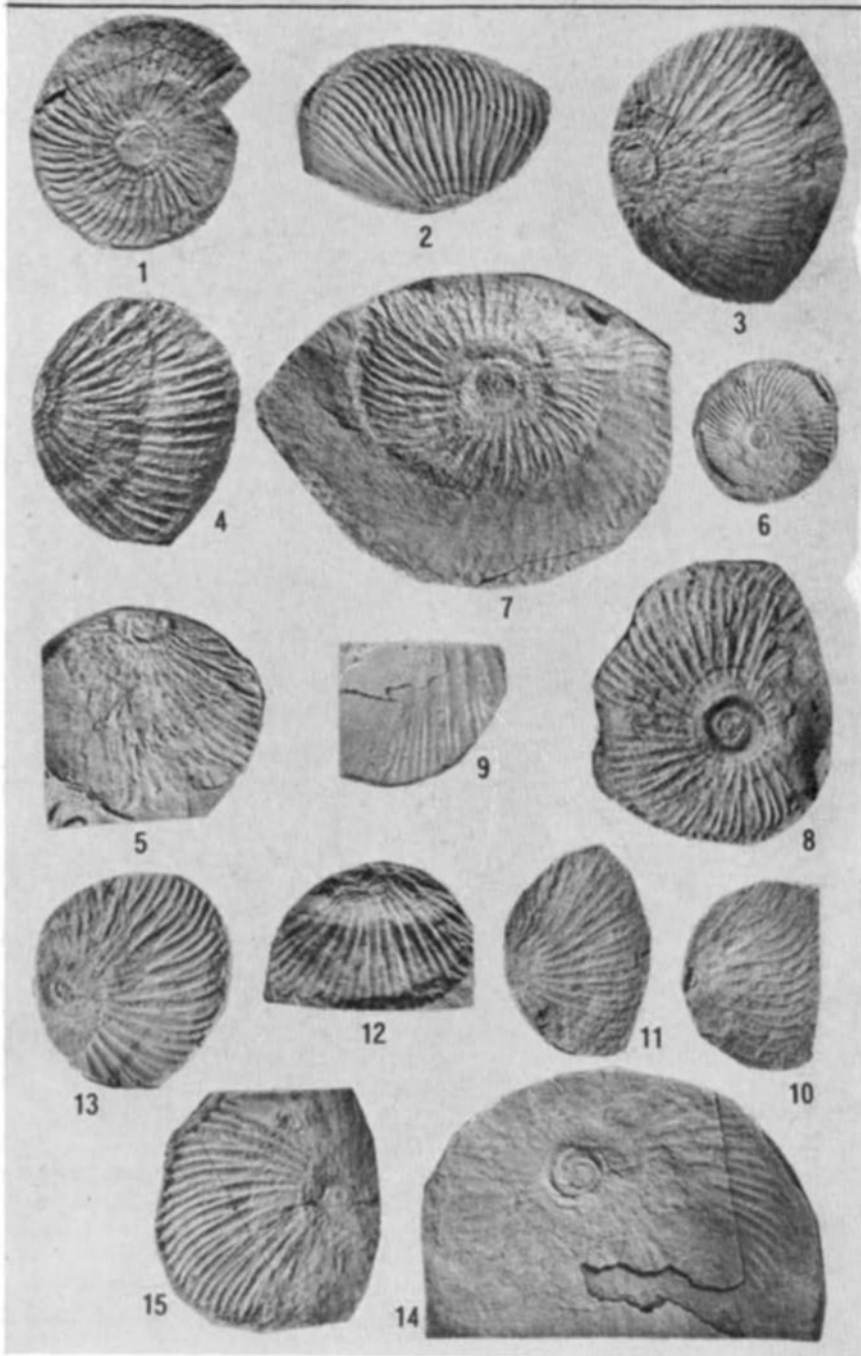


Таблица 76





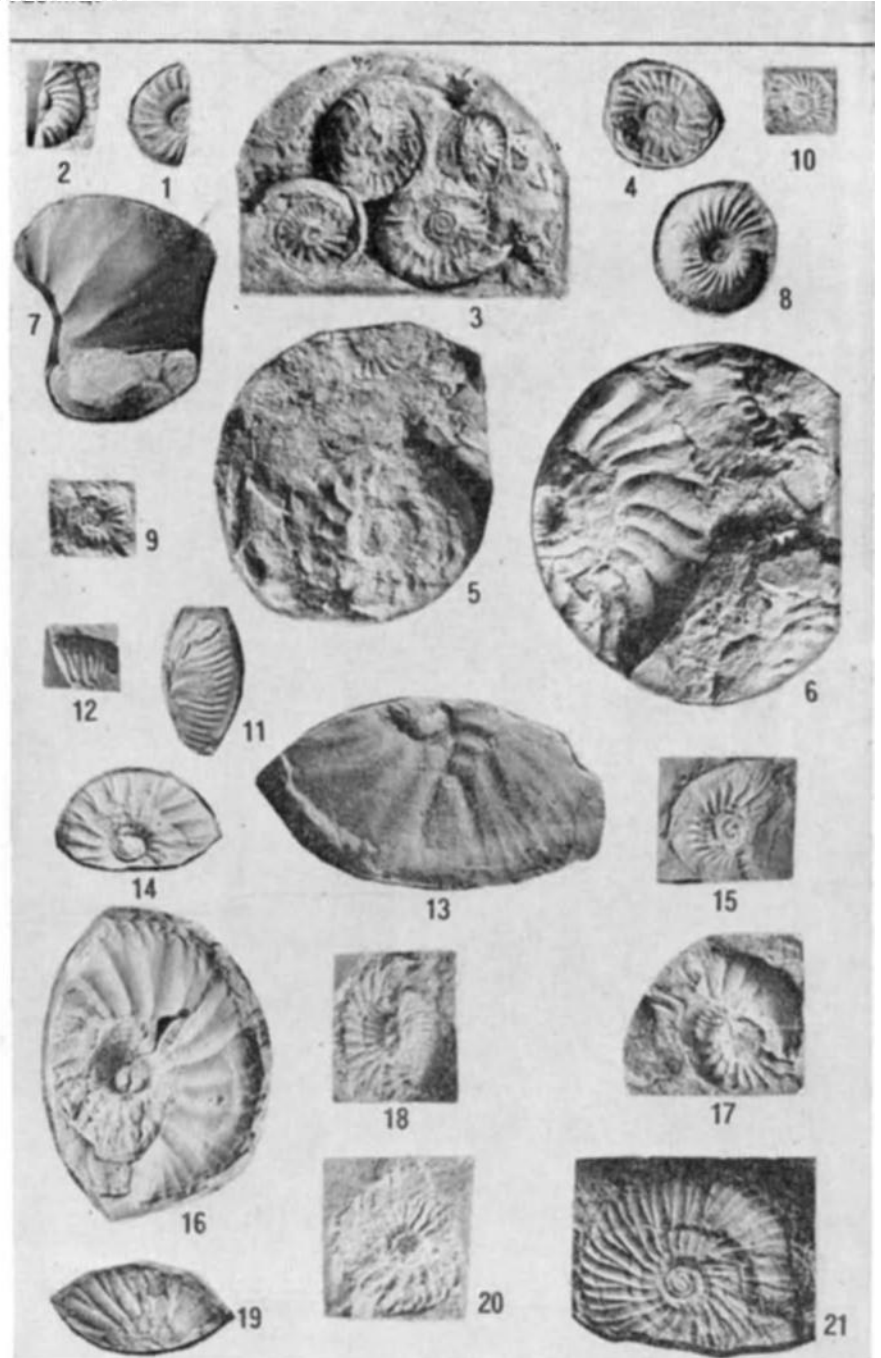
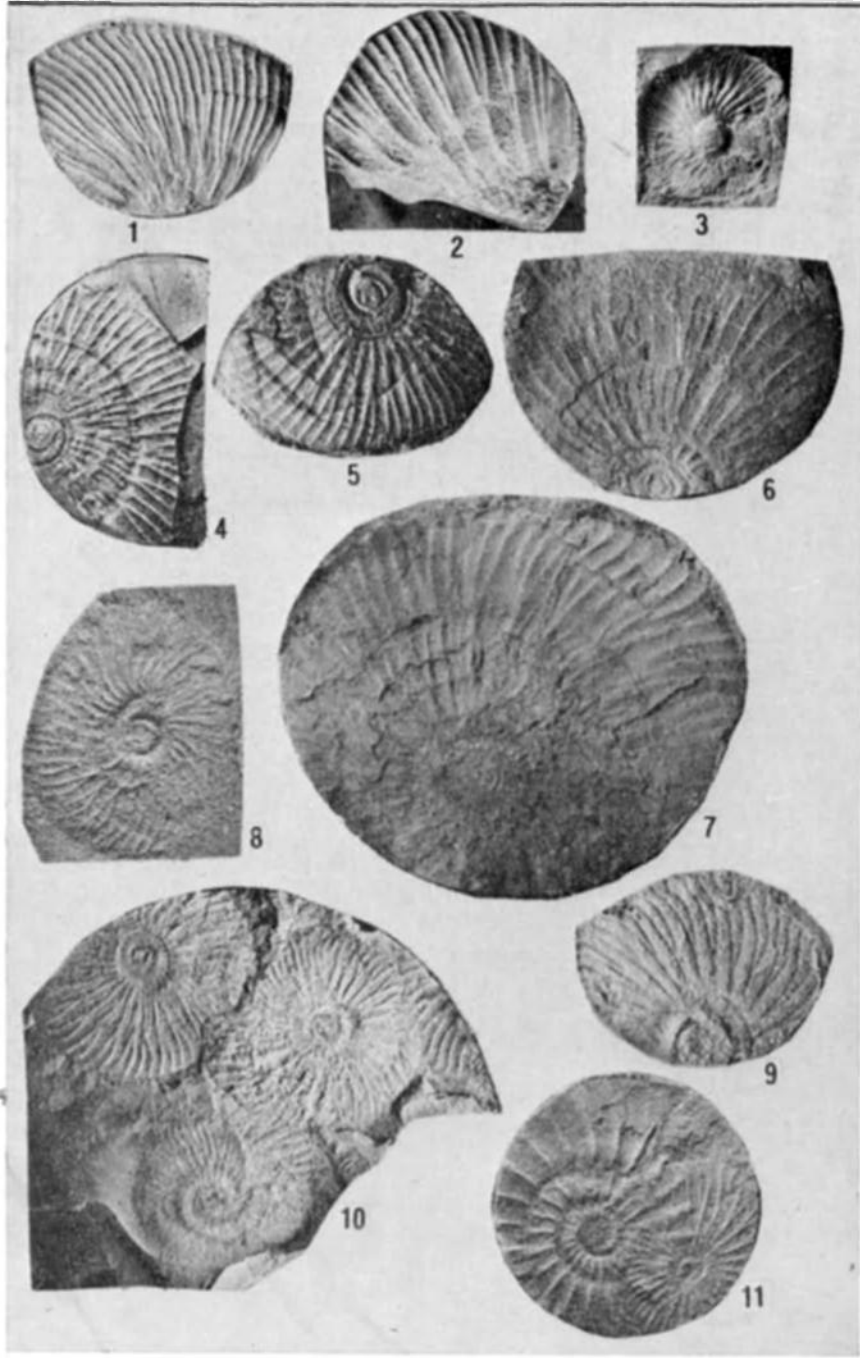


Таблица 81

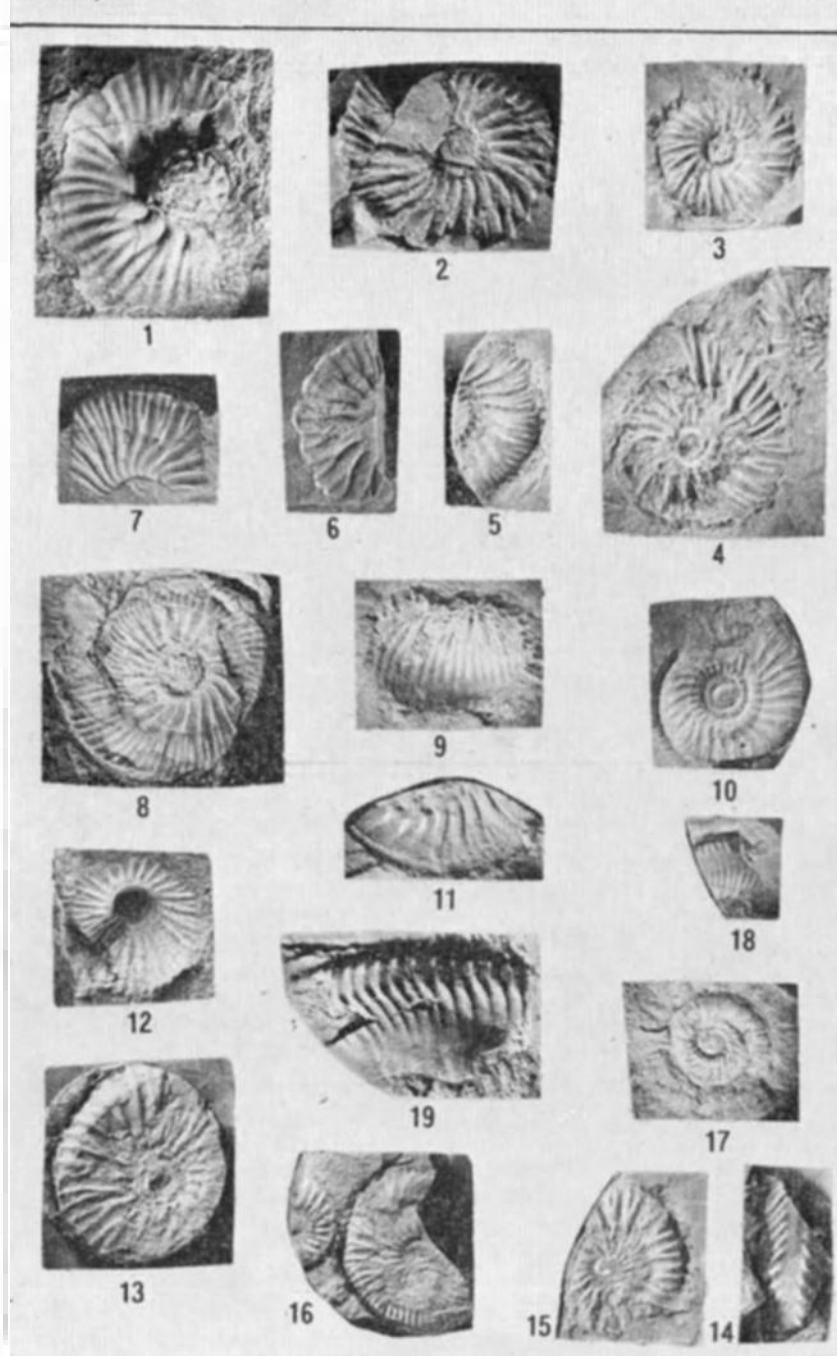


Таблица 82

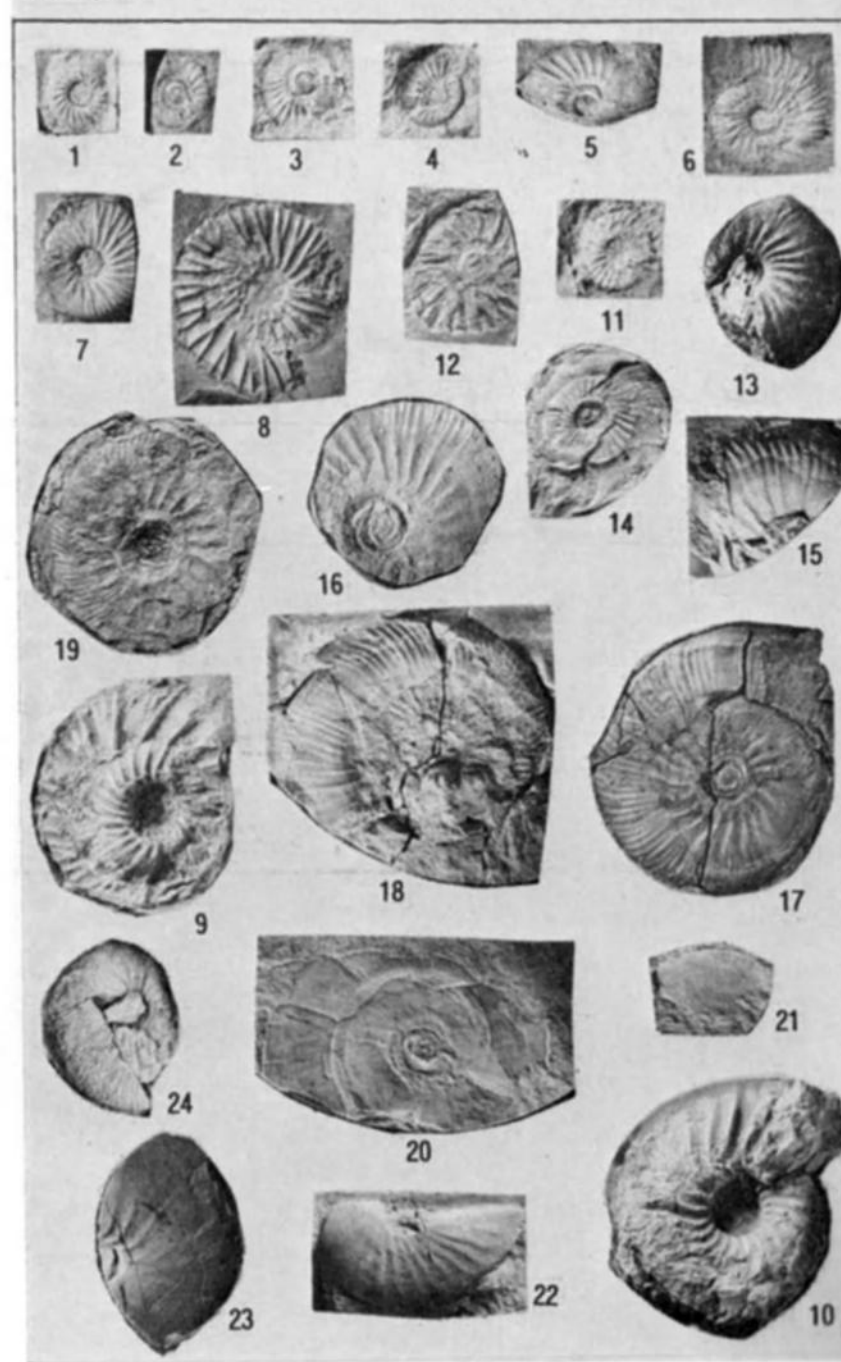


Таблица 83

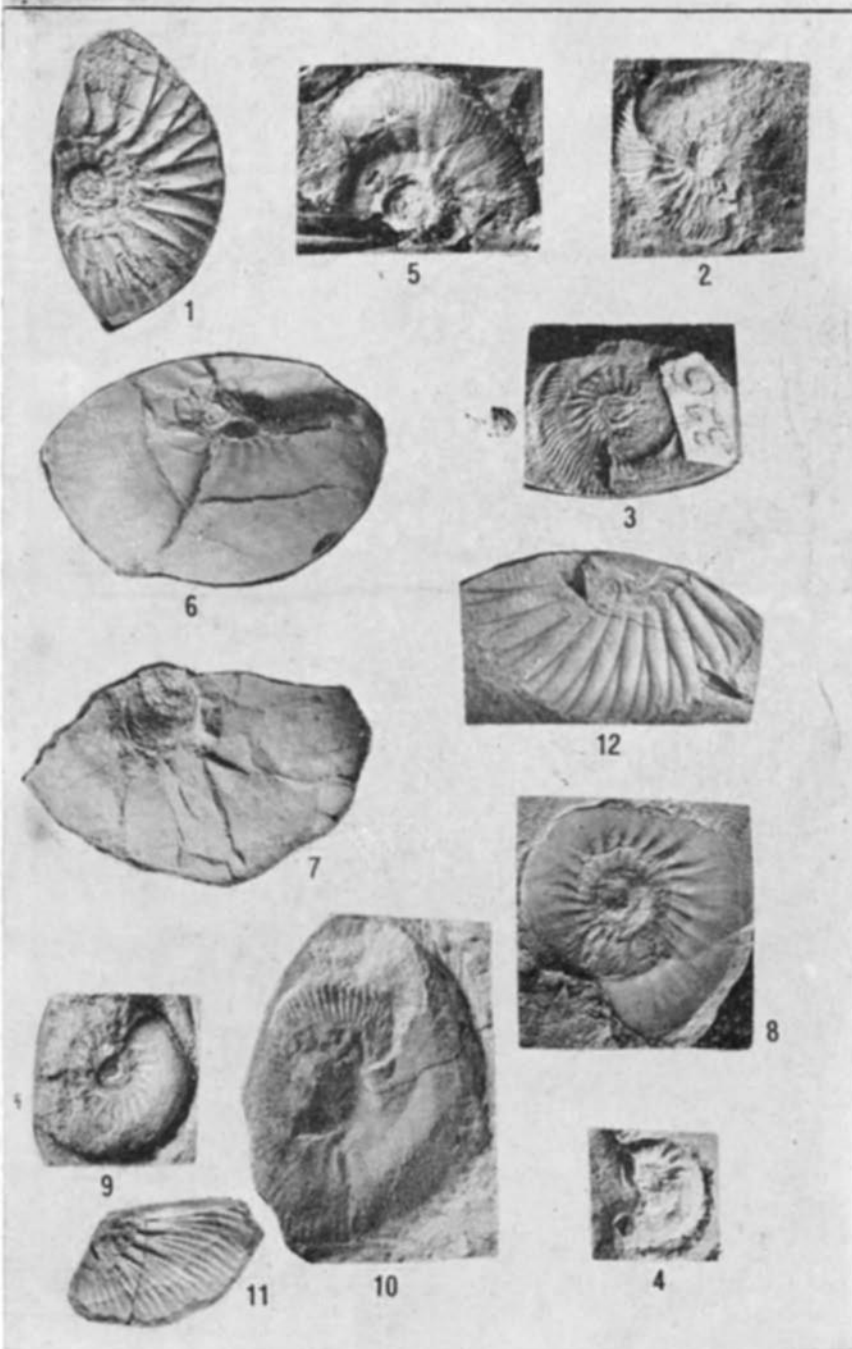


Таблица 84

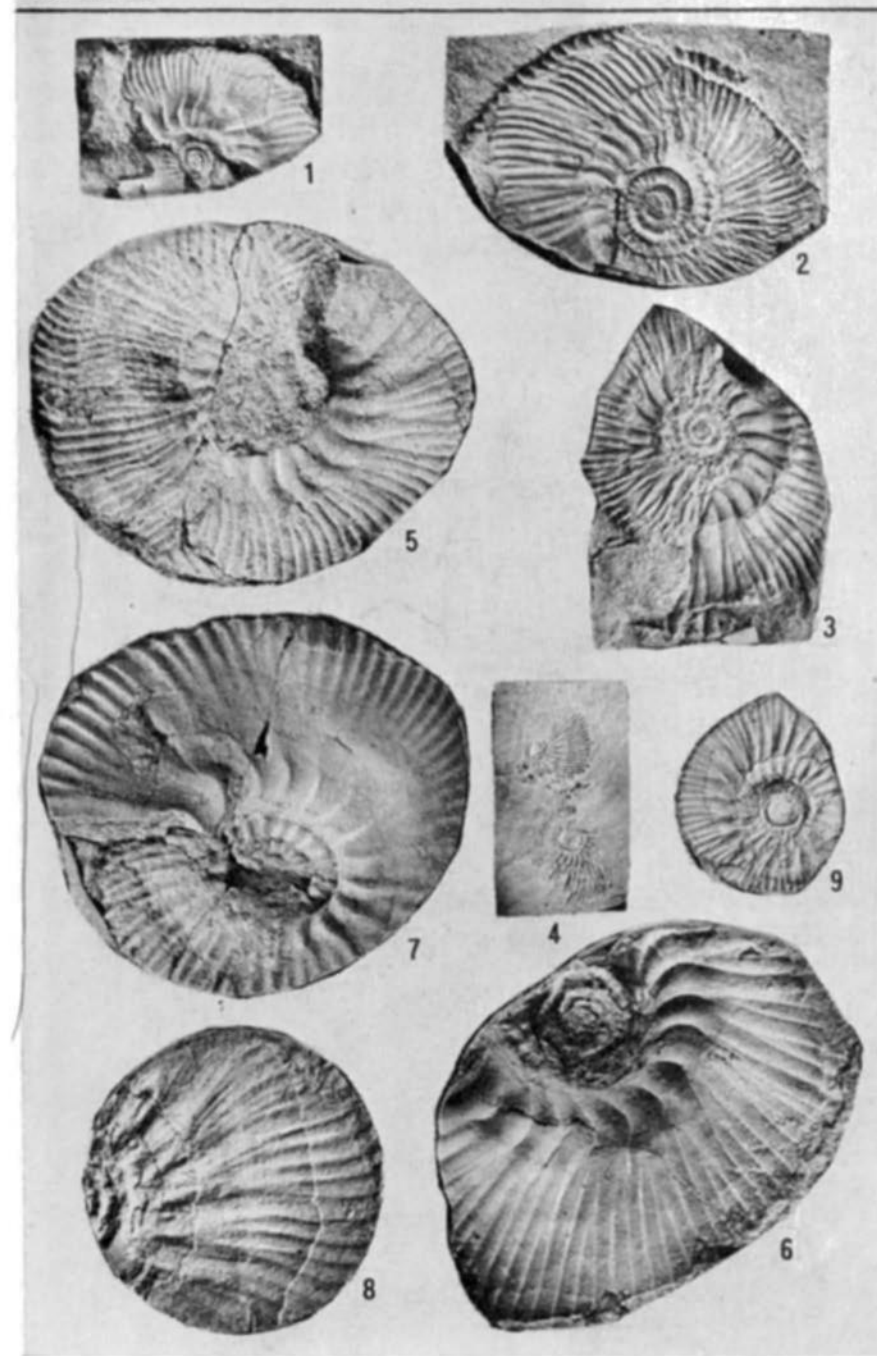
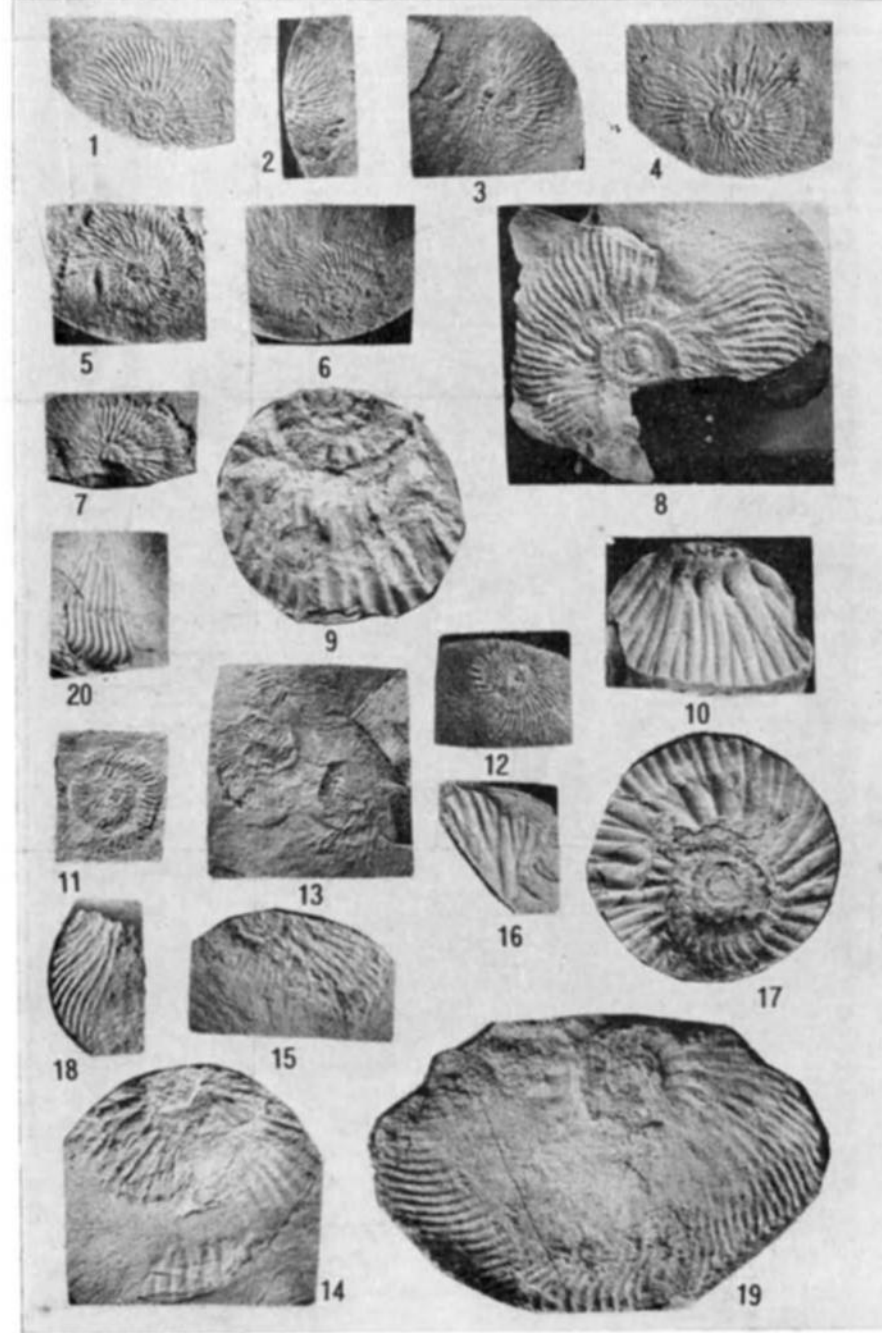
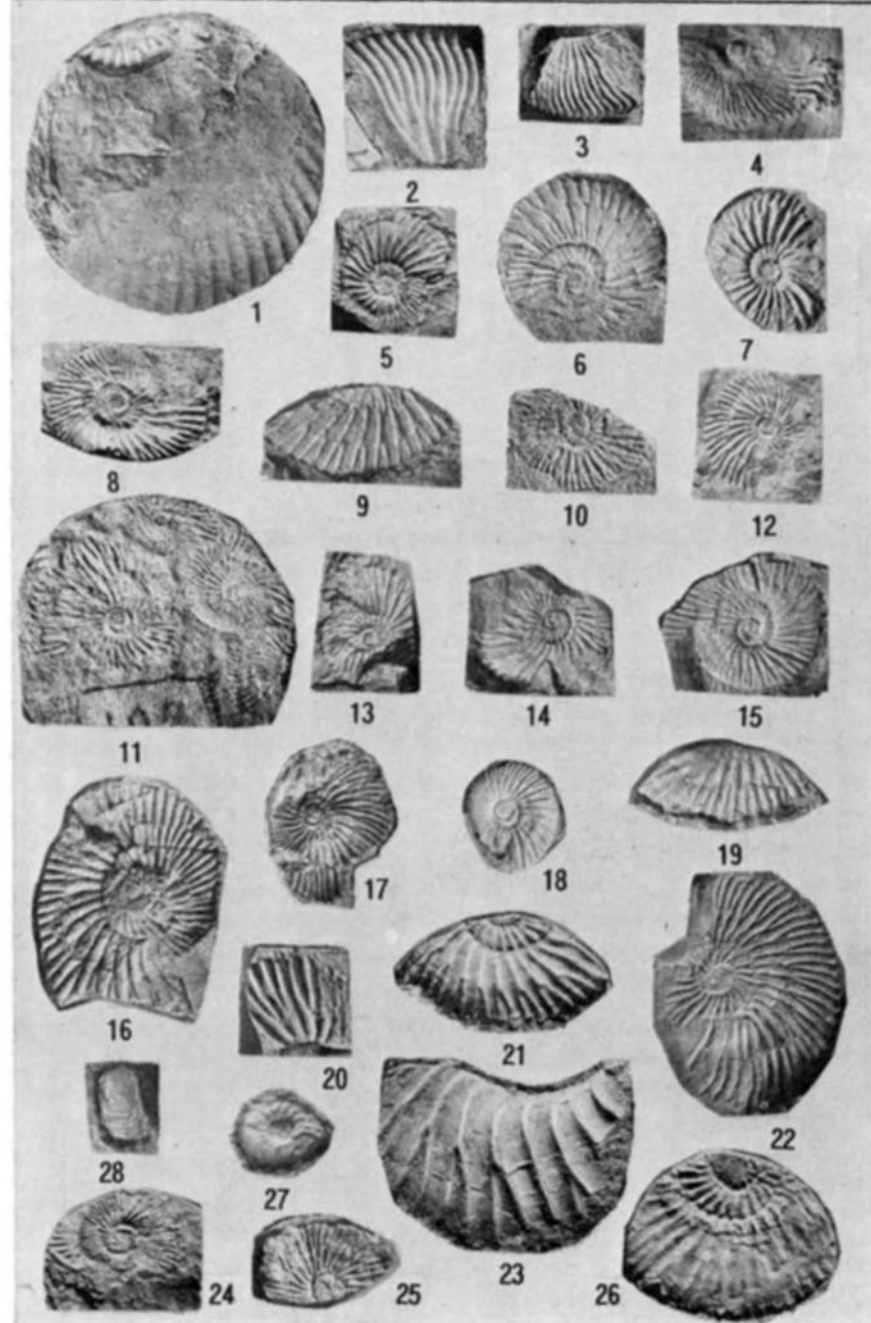


Таблица 85



Таблица 86





- Aequipecten* aff. *arachnoideus*, 59  
*Amoeboceras* cf. *alternoides*, 100  
 — cf. *alticarinatum*, 105  
 — *freboldi*, 102  
 — *kitchini*, 104  
 — cf. *kostromense*, 101  
 — cf. *leucum*, 103  
 — *modestum*, 106  
 — *pulchrum*, 108  
 — *regulare*, 102  
 — *rosenkrantzi*, 103  
 — *subkitchini*, 105  
 — cf. *uralense*, 106  
*Amundiptychites* sp., 133  
*Astarte topsyaensis*, 75  
 — *lyapinensis*, 76  
 — *veneris*, 76  
 — *veneriformis*, 76  
*Astieriptychites* cf. *astieriptychus*, 130  
*Aulacostephanus* sp., 113  
  
*Bodylevskites* sp., 129  
*Bojarkia* cf. *mesezhnikowi*, 120  
*Borealites* cf. *fedorovi*, 118  
*Buchia concentrica*, 59  
 — *fischeriana*, 62  
 — cf. *fischeriana*, 62  
 — cf. *keyserlingi*, 67  
 — ex gr. *lahuseni*, 65  
*Buchia mosquensis*, 60  
 — ex gr. *mosquensis*, 60  
 — *obliqua*, 62  
 — *okensis*, 66  
 — cf. *okensis*, 66  
 — *rugosa*, 60  
 — *russiensis*, 61  
 — cf. *russiensis*, 61  
 — cf. *sublaevis*, 68  
 — *taimyrensis*, 61  
 — cf. *taimyrensis*, 61  
 — cf. *tenuicollis*, 65  
 — *terebratuloides*, 63  
 — cf. *terebratuloides*, 63  
 — ex gr. *terebratuloides*, 63  
 — ex gr. *terebratuloides* — *unschensis*, 64  
 — *unschensis*, 64  
 — cf. *unschensis*, 64  
 — ex gr. *unschensis*, 65  
 — *volgensis*, 66  
 — cf. *volgensis*, 67  
  
*Camplonectes broentundi*, 58  
 — *imperialis*, 59  
 — *tens*, 58



*Cardioceras alphacordatum*, 94  
— cf. *cordatum*, 95  
— cf. *densiplicatum*, 96  
— cf. *excavatum*, 97  
*Cardioceras gloriosum*, 94  
— cf. *percaelatum*, 95  
— *praecordatum*, 92  
— cf. *tenuistriatum*, 98  
— *zenaidae*, 97  
*Chetaites* sp., 115  
*Chlamys* sp., 59  
*Cosmetodon* cf. *bojarkensis*, 53  
*Costamenjaite* sp., 128  
*Craspedites okensis*, 116  
— *taimyrensis*, 116  
  
*Dacryomya chetaensis*, 49  
*Dichotomites* sp., 133  
*Dorsoplanites*, 115  
  
*Eboraciceras* sp., 85  
*Entolium demissum*, 57  
— *nummulare*, 57  
*Epilaugeites*, 115  
*Eriphyla asiatica*, 77  
*Exogyra nana*, 74  
  
*Goliathiceras* cf. *rotundatum*, 92  
*Goniomya* cf. *dubois*, 77  
*Grammatodon lopsiensis*, 52  
  
*Hectoroceras kochi*, 117  
— cf. *larwoodi*, 118  
*Homolomites* sp., 129  
  
*Isognomon* cf. *isognomonoides*, 70  
— ex gr. *embolicum*, 70  
*Inoceramus subplanus*, 71  
— cf. *subplanus*, 71  
— *vereshagini*, 71  
— cf. *vereshagini*, 72  
  
*Kosmoceras gemmatum*, 82  
— cf. *transilionis*, 83  
  
*Laugeites*, 115  
*Limatula consobrina*, 69  
*Liostraea anabarensis*, 72  
— *lyapinensis*, 73  
— *plastica*, 73  
— *siberica*, 73  
*Longaeviceras* cf. *keyserlingi*, 86  
— cf. *novosemelicum*, 87  
  
*Malletia elongata*, 50  
— *megionica*, 50  
— *taimyrica*, 51  
*Meleagrinnella* cf. *decussata*, 55  
— *lata*, 57  
— *ovalis*, 56  
— ex gr. *ovalis*, 55  
— *recta*, 56  
— *subovalis*, 56

*Menjaites* sp., 127  
„*Musculus*“ cf. *czekanowskii*, 75  
— *sibiricus*, 74  
„*Musculus*“ *uralensis*, 74  
*Myophorella* sp., 81

*Neotollia sibirica*, 121  
— *maimetschensis*, 122  
*Nuculana subrecurva*, 52  
*Nuculoma variabilis*, 49

*Oxytoma articostata*, 54  
— *expansa*, 53  
— *neocomiana*, 54  
— *zakharovi*, 54

*Panopea* ex gr. *borealis*, 79  
*Pavlovia*, 115  
*Pectinatites* sp., 114  
*Peregrinoceras* sp., 119  
*Pholadomya* cf. *hemicardia*, 78  
*Pictonia* sp., 109  
*Pinna* sp., 69  
*Pleuromya* ex gr. *subpolaris*, 79  
*Polyptychites* cf. *canadensis*, 132  
*Praetollia* spp., 117  
*Pseudocadoceras* sp., 85

*Quenstedtoceras* cf. *involutum*, 91  
— ex gr. *lambergi*, 89  
— *parvulum*, 91

*Rasenia evoluta*, 110  
— cf. *optima*, 110  
— cf. *repentina*, 111  
— cf. *triplicata*, 112

*Siberites* cf. *rectangulatiformis*, 131  
*Siberiptychites* cf. *stueberdorffi*, 130  
*Sigaloceras* sp., 81  
*Speetonoceras* ex gr. *inversum*, 135  
*Surites* sp., 120

*Taimyrodon borissiaki*, 51  
*Temnopychites* sp., 125  
— cf. *insolutus*, 123  
— cf. *lgowensis*, 125  
— cf. *tritychiformis*, 125  
— cf. *simplicissimus*, 123  
— cf. *syzranicus*, 124  
*Thracia* cf. *lata*, 79  
— ex gr. *scythica*, 80  
*Tollia* sp., 121

*Virgatosphinctes*, 115

*Zonovia* sp., 112, 113

## СОДЕРЖАНИЕ

---

Предисловие . . . . .	3
Стратиграфический очерк . . . . .	5
Верхняя юра . . . . .	5
Неоком (берриас—готерив) . . . . .	25
Палеонтологическое описание . . . . .	49
Список литературы . . . . .	136
Палеонтологические таблицы и объяснения к ним . . . . .	141
Алфавитный указатель . . . . .	283

А 92 **Атлас моллюсков и фораминифер морских отложений верхней юры и неокома Западно-Сибирской нефтегазодобывающей области. В 2 т./Мин-во геол. СССР. Сиб. науч.-исслед. ин-т геологии, геофизики и минер. сырья.—М.: Недра, 1990.—Т. I: Стратиграфический очерк. Моллюски/Сост.: Н. П. Вячкилева, И. Г. Климова, А. С. Турбина и др.—286 с.: ил.**

ISBN 5—247—02087—1

Обобщены результаты многолетних исследований позднеюрских и неокомских моллюсков (аммониты, двустворчатые моллюски) и фораминифер из керна скважин, пробуренных в Западной Сибири. Первый том атласа содержит стратиграфический очерк и описание 124 видов и 40 родов, 25 семейств моллюсков.

Для стратиграфов и палеонтологов, изучающих юрские и нижнемеловые отложения, геологов-нефтяников, съемщиков, студентов геологических вузов и биологических факультетов.

А 1804030000—385 Заказное  
043(01)—90

ББК 28.1